

KARADENİZ TEKNİK ÜNİVERSİTESİ
FEN BİLİMLERİ ENSTİTÜSÜ

JEOLOJİ MÜHENDİSİĞİ ANA BİLİM DALI

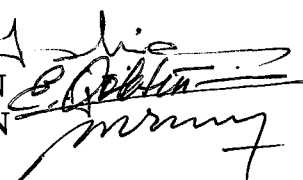
YUSUFELİ (ARTVİN) YÖRESİNİN JEOLOJİSİ, JEOTEKTONİĞİ, MAGMATİK -
METAMORFİK KAYAÇLARIN JEOKİMYASI VE PETROJENEZİ

Jeoloji Yüksek Müh. Abdurrahman DOKUZ
Karadeniz Teknik Üniversitesi Fen Bilimleri Enstitüsünde
“Doktor”
Ünvanı Verilmesi İçin Kabul Edilen Tezdir

Tezin Enstitüye Verildiği Tarih: 15.02.2000
Tezin Savunma Tarihi : 24.05.2000

96716

Tez Danışmanı: Prof. Dr. Salim GENÇ
Jüri Üyesi : Prof. Dr. Ergun GÖKTEN
Jüri Üyesi : Doç. Dr. Mehmet TURAN



T.C. YÜKSEKOĞRETM KURULU
DOKUMANTASYON MERKEZİ

Enstitü Müdürü: Prof. Dr. Asım KADIOĞLU



Trabzon 2000

ÖNSÖZ

Doğu Pontidler'in doğusunda yer alan Yusufeli yöresi, Permo-Karbonifer'den Eosen'e kadar olan zaman aralığında oluşmuş metamorfik, magmatik ve tortul özellikteki kayaç birimleri ile jeotektonik amaçlı çalışmalar için uygun bir jeolojik yapıya sahiptir. Yusufeli yöresinin jeolojisi, jeotektoniği, magmatik-metamorfik kayaçların jeokimyası ve petrojenezi konulu bu çalışmada elde edilen verilerle bölgenin ve buna bağlı olarak da Doğu Pontidler'in jeolojik gelişimi ile ilgili bilgilere katkıda bulunulmaya çalışılmıştır.

Karadeniz Teknik Üniversitesi Araştırma Fonu tarafından desteklenen bu çalışmanın başlangıcından son aşamasına gelinceye kadar değerli görüşleri ve yapıcı eleştirileri nedeniyle başta danışman hocam Prof. Dr. Salim Genç olmak üzere Prof. Dr. Erkan Tanyolu ve Prof Dr Osman Bektaş'a teşekkür ederim. Ayrıca mikropirop ve tüm kayaç analizlerinin değerlendirilmesi ve yorumlanmasında değerli bilgi ve görüşlerinden yararlandığım Doç. Dr. Mehmet Arslan ve Doç. Dr. Cüneyt Şen'e içtenlikle teşekkür ederim.

Mikropirop analizlerinin sağlanması Leicester Üniversitesi (İngiltere)'ndeki imkanlarından faydalandığım Doç Dr Miğraç Akçay'a teşekkürü bir borç bilirim. Arazi seçimi sırasında katkılardan dolayı Doç. Dr. Saadettin Korkmaz'a; parlatılmış ince kesitlerin hazırlanması ve opak minerallerin tayin edilmesindeki katkılardan dolayı Yrd. Doç. Dr. Mithat Vicił'a; paleontolojik tayinleri yapan MTA Genel Müdürlüğü elemanlarından Kemal Erdoğan ve Dr. Sefer Örcen'e; yöre ile ilgili dökümanların elde edilmesindeki katkılardan dolayı Turgut Çolak ve diğer MTA çalışanlarına teşekkür ederim. Ayrıca arazi çalışmaları sırasında zaman zaman benimle birlikte araziye çıkan ve arazi çalışmamı belli ölçüde kolaylaştıran Arş. Gör. Yener Eyüboğlu'na; ulaşımı zor alanların yapılması sırasında beni ve çalışma arkadaşımı misafir eden Morkaya Köyü muhtarı Mehmet Alkan ve sakinlerine, Ormandibi Köyü Muhtarı Rıza Kara'ya, İşhan Köyü muhtarına; misafirhane olanaklarından yararlandığım Yusufeli Öğretmenevi çalışanlarına; yardımlarını gördüğüm Jeoloji Bölümü elemanlarına ve tez süresince maddi ve manevi desteklerini esirgemeyen aileme içtenlikle teşekkür ederim.

Abdurrahman Dokuz

İÇİNDEKİLER

	Sayfa No
ÖNSÖZ.....	II
İÇİNDEKİLER.....	III
ÖZET.....	VII
SUMMARY.....	VIII
ŞEKİLLER DİZİNİ.....	IX
ÇİZELGELER DİZİNİ.....	XIII
SEMBÖLLER DİZİNİ.....	XIV
1. GENEL BİLGİLER	1
1.1. Giriş	1
1.2. Coğrafik Konum, Yüzey Şekilleri ve Ulaşım	2
1.5. Önceki Çalışmalar	4
2. YAPILAN ÇALIŞMALAR	10
2.1. Giriş	10
2.2. Arazi Çalışmaları	10
2.3. Büro Çalışmaları	10
2.4. Analitik Yöntemler.....	11
2.4.1. Kumtaşlarının K' lu Feldspatlar Açılarından Boyanması.....	12
2.4.2. Modal Analizler.....	12
2.4.3. Elektron Mikroprob Analizleri.....	12
2.4.4 Örneklerin Öğütülmesi.....	13
2.4.5. ICP-MS Yöntemi.....	13
2.4.6. Neutron-Activasyon Yöntemi.....	13
2.4.7. Fe ²⁺ ve Fe ³⁺ Ayırımı (Titrasyon).....	14
3. BULGULAR.....	15
3.1. Stratigrafi ve Petrografi.....	15
3.1.1. Giriş.....	15
3.1.2. Karadağ Metamorfitleri (Paleozoyik).....	19
3.1.2.1. Ad, Yayılım ve Topografik Görünüm.....	19
3.1.2.2. Alt-Üst Sınırlar.....	19
3.1.2.3. Litoloji.....	20
3.1.2.3.1. Gnayslar.....	20
3.1.2.3.2. Şistler.....	30
3.1.2.3.3. Kuvarsitler.....	32
3.1.2.3.4. Amfibolitler.....	33
3.1.2.4. Jeotermobarometri.....	35
3.1.2.5. Karadağ Metamorfitlerinin Yaşı.....	46
3.1.2.6. Deneştirme.....	47
3.1.3. Demirkent Plütonu (Geç Paleozoyik).....	49
3.1.3.1. Ad, Yayılım ve Topografik Görünüm.....	49
3.1.3.2. Dokanaklar.....	50
3.1.3.3. Litoloji.....	50
3.1.3.3.1. Gabro, Gabro Pegmatit ve Mikro Gabrolar.....	52
3.1.3.3.2. Diyoritler ve Diyorit Pegmatitler.....	55
3.1.3.4. Yaşı ve Deneştirme.....	57
3.1.4. Sebzeciler granitoyidi (Geç Paleozoyik).....	58
3.1.4.1. Ad, Yayılım ve Topografik Görünüm.....	58
3.1.4.2. Dokanaklar.....	59

3.1.4.3. Litoloji.....	61
3.1.4.4. Jeotermobarometri.....	69
3.1.4.5. Yaş ve Deneştirme.....	73
3.1.5. Kinalıçam Volkanik Karmaşığı (Liyas).....	74
3.1.5.1. Ad, Yayılım ve Topografik Görünüm.....	74
3.1.5.2. Alt-Üst Sınırlar, Kalınlık.....	75
3.1.5.3. Litoloji.....	75
3.1.5.3.1. Dolerit ve Diyabazlar.....	76
3.1.5.3.2. Bazaltlar	77
3.1.5.3.3. Spilitler.....	79
3.1.5.3.4. Andezitler.....	80
3.1.5.3.5. Dasit ve Riyolitler.....	82
3.1.5.4. Ortam.....	84
3.1.5.5.Yaş ve Deneştirme.....	85
3.1.6. Hamurkesen Formasyonu (Liyas- Dogger).....	86
3.1.6.1. Ad, Yayılım ve. Topografik Görünüm.....	86
3.1.6.2. Alt-Üst Sınırlar, Kalınlık.....	87
3.1.6.3. Lektostratotip ve Sınır Stratotipler.....	87
3.1.6.4. Litoloji.....	90
3.1.6.5. Fosil İçeriği ve Yaş.....	94
3.1.6.6. Çökelme Ortamı.....	94
3.1.6.7. Deneştirme.....	95
3.1.7. Berdiga Formasyonu (Malm-Alt Kretase).....	96
3.1.7.1. Ad, Yayılım ve Topografik Görünüm.....	96
3.1.7.2. Alt-Üst Sınırlar, Kalınlık.....	96
3.1.7.3. Referans Kesitler.....	97
3.1.7.4. Litoloji.....	102
3.1.7.5. Çökelme Ortamı.....	104
3.1.7.6. Fosil İçeriği ve Yaşı.....	105
3.1.7.7. Deneştirme.....	106
3.1.8. Yusufeli Formasyonu (Üst Kretase).....	107
3.1.8.1. Ad, Yayılım ve Topografik Görünüm.....	107
3.1.8.2. Alt-Üst Sınırlar, Kalınlık.....	108
3.1.8.3. Tip ve Referans Kesit.....	108
3.1.8.4. Litoloji.....	112
3.1.8.4.1. Çakıltaşı, Kumtaşısı ve Silttaşları.....	112
3.1.8.4.2. Kireçtaşları.....	115
3.1.8.4.3. Çört ve Çörtlü Kireçtaşları.....	115
3.1.8.4.4. Volkanikler.....	116
3.1.8.5. Fosil İçeriği ve Yaş.....	121
3.1.8.6. Çökelme Ortamı.....	123
3.1.8.7. Deneştirme.....	123
3.1.9. Üst Kretase Granitoidleri.....	124
3.1.9.1. Giriş.....	124
3.1.9.2. Modal Analizler ve Değerlendirmeleri.....	124
3.1.9.3. Granitoidlerin Yaşı ve Deneştirilmesi.....	124
3.1.10. Yağmuralan Formasyonu (Eosen).....	127
3.1.10.1.Ad, Yayılım ve Topografik Görünüm.....	127
3.1.10.2. Alt-Üst Sınırlar, Kalınlık.....	127

3.1.10.3. Referans Kesit.....	128
3.1.10.4. Fosil İçeriği ve Yaş.....	128
3.1.10.5. Deneştirme.....	128
3.1.11. Yamaç Molozu Taraça ve Alüvyon.....	129
3.2. Yapısal Jeoloji.....	130
3.2.1. Giriş.....	130
3.2.2. Uyumsuzluklar.....	130
3.2.3. Tabakalar.....	131
3.2.4. Kırımlar.....	132
3.2.5. Kıraklı Yapılar.....	135
3.2.5.1. Faylar.....	135
3.2.5.2. Çatlaklar.....	140
3.3. Jeokimya.....	141
3.3.1. Giriş.....	141
3.3.2. Karadağ Metamorfitleri.....	141
3.3.2.1. Gnays ve sıstler.....	141
3.3.2.2. Amfibolitler.....	154
3.3.2.3. Tektonik Ortam.....	163
3.3.3. Demirkent Plütonu.....	166
3.3.3.1. Ana, İz ve Nadir Toprak Elementler.....	166
3.3.3.2. Tektonik Ortam.....	176
3.3.3.3. Petrojenez.....	178
3.3.4. Sebzeciler Granitoyidi.....	180
3.3.4.1. Ana, İz ve Nadir Toprak Elementler.....	180
3.3.4.2. Tektonik Ortam.....	200
3.3.4.3. Petrojenez.....	202
3.3.5. Kınalıçam Volkanitleri.....	207
3.3.5.1. Giriş.....	207
3.3.5.2. Ana, İz ve Nadir Toprak Elementler.....	207
3.3.5.3. Tektonik Ortam.....	231
3.3.5.4. Petrojenez.....	233
3.3.6. Yusufeli Formasyonu.....	238
3.3.6.1. Giriş.....	238
3.3.6.2. Ana, İz ve Nadir Toprak Elementler.....	238
3.3.6.3. Tektonik Ortam.....	255
3.3.6.4. Petrojenez.....	255
4. İRDELEME.....	258
4.1. Metamorfizma.....	258
4.1.1. Giriş.....	258
4.1.2. Bölgesel Metamorfizma.....	258
4.1.2.1. Mineral Parajenezleri.....	258
4.1.2.2. Metamorfizma Zon ve Fasiyesleri.....	259
4.1.2.3. Metamorfizmanın Oluşum Koşulları.....	261
4.1.2.4. Köken Ayırımı.....	263
4.1.3. Gerileyen Metamorfizma.....	268
4.1.4. Kataklastik Metamorfizma.....	269
4.2. Demirkent Plütonunun Yitimle İlişkili Kayaçlar ile Karşılaştırılması.....	271
4.3. Sebzeciler Granitoyidi Kayaçlarının Plajiyogranitler ile Karşılaştırılması.....	273
4.4. Sebzeciler Granitoyidinin Yerleşimi.....	275

4.5. Pontidler'in Jeotektonik Evrimi Üzerine Düşünceler.....	278
4.6. Jeolojik ve Jeotektonik Evrim.....	282
4.6.1. Giriş.....	282
4.6.2. Paleozoyik Dönemi.....	283
4.6.3. Orta-Geç Triyas Rifleşme Dönemi.....	284
4.6.4. Liyas-Senomaniyen Dönemi.....	285
4.6.5. Geç Kretase Dönemi.....	287
4.6.6. Eosen-Miyosen Dönemi.....	288
4.6.7. Miyosen Sonrası Dönem.....	288
5. SONUÇLAR.....	289
5.1 Stratigrafi-Petrografi.....	289
5.2. Jeokimya.....	291
6. KAYNAKLAR.....	293
7. ÖZGEÇMİŞ.....	312
8. EKLER.....	Cep

ÖZET

Pontidler'in karakteristik jeolojik özelliklerini yansitan Yusufeli yöresi bu birligin doğusunda yer alır. Yaklaşık 500 km² lik bir alanı kapsayan çalışma sahasında litostratigrafi adlama kurallarına uygun olarak formasyon mertebesinde dört litostratigrafi ve beş litodem birim ayırtlanmıştır.

Karadağ metamorfitleri, Demirkent plütonu ve Sebzeciler granitoyidi bölgede Hersiniyen temel durumundadır. Karadağ metamorfitleri amfibolit ve amfibolit-granülit fasiyesi geçişine ait mineral parajenezlerini içerir. Granat - biyotit - plajiyoklas gnayslarda jeotermobarometrik yöntemlere göre hesaplanan basınç ve sıcaklıklar, metamorfitlerin Geç Paleozoyik'te yükselen bir temel durumunda olduğunu göstermektedir. Demirkent plütonu ve Sebzeciler granitoyidi bu temelin yükselimi sırasında yaklaşık kuzey-güney doğrultulu kırıklara yerleşmişlerdir. Bu derinlik magmatitlerinin jeokimyasal karakteristikleri yiten okyanus dilimi tarafından metasomatize olmuş manto kamasının kısmi ergimesi sonucu oluşuklarını ve kıtasal yay ortamına yerleşiklerini göstermektedir. Ayrıca Sebzeciler granitoyidi tonalitlerinde Al-jeobarometrisi ve plajiyoklas-hornblend jeotermometrisine göre hesaplanan basınç ve sıcaklıklar da granitoyidinin metamorfik temel yükselirken yerleştiğini ve kristallenmesini gittikçe sağlamış derinliklerde tamamladığını işaret etmektedir. Yükselimini Jura öncesinde tamamlayan temel kayaları Liyas ve sonrası yaşı tortul birimlere malzeme vermişlerdir.

Yusufeli yöresi Liyas-Kampaniyen sürecinde sürekli olarak açılan Neo-Tetis okyanusunun kuzeyindeki pasif kıta kenarı durumundadır. Bu zaman aralığında oluşan kırıntılı tortul birimlerin tabaka kalınlıkları ve tane boylarının yukarı doğru incelmesi gittikçe derinleşen bir havzanın ürünleri olduğunu gösterir. Ayrıca Liyas yaşı Kinalıçam volkanitleri ve Geç Kretase yaşı Yusufeli volkanitlerinin jeokimyasal özellikleri ada yayı veya kıtasal yay ortamında oluşuklarına işaret etmektedir. Eosen ve sonrası dönem kuzey-güney doğrultulu kompresif gerilmeler sonucu büyük yatay yerdeğiştirmelerin olduğu ve bölgenin karasal ortam haline geldiği dönemdir.

Anahtar Kelimeler: Stratigrafi, jeotermobarometre, jeokimya, jeotektonik, Yusufeli

SUMMARY

Geology, Geotectonics of the Yusufeli (Artvin) Area, and Geochemistry and Petrogenesis of the Metamorphic-Magmatic Rocks

Yusufeli area reflecting the characteristic features of the Pontide tectonic unit is located in the eastern part of the Pontides. In the study area covering about 500 km square, totally four lithostratigraphic and five lithodemic units were distinguished on the basis of stratigraphic nomenclature.

Karadağ metamorphics, Demirkent pluton and Sebzeciler granitoid represent Hercynian basement in the region. The Karadağ metamorphics are characterized by mineral assemblages of the amphibolite facies and amphiolite-granulite transition. Pressures and temperatures determined through the geothermobarometric calculations in garnet-biotite-plagioclase gneisses indicate that the metamorphics were an upwelling basement during the Late Paleozoic time. The Demirkent pluton and Sebzeciler granitoid intruded into nearly north-westerly cracks direction during the upwelling of this basement. Geochemical characteristics of intrusions point out that they have derived by partially melting of mantle wedge, metasomatized from subducted oceanic crust and have settled into a continental arc setting. Pressure and temperature calculations in tonalites based on Al-geobarometry and plagioclase-amphibole geothermometry also show that the intrusions intruded into metamorphic basement during upwelling and completed its crystallisation gradually shallowing depths. All the basement rocks have completed upwelling in Pre-Jurassic time and gave materials to Liassic and Post-Liassic units.

During the time from Liassic to Campanian, Yusufeli area have been a passive continental margin at the north of Neo-Tethyan ocean opening permanently. Upward decreasing of bedding thicknesses and grain size of clastic sedimentary units, occurred in this time interval, indicate that the units were deposited in an oceanic environment gradually getting deeper. Geochemical data of Liassic Kinalıçam volcanics and Late Cretaceous Yusufeli volcanics suggest that they have evolved in an island arc environment. Eocene and Post-Eocene period in the study area is dominated by great horizontal displacements as a result of compressive stresses in north-west direction, and becoming continental environment.

Key Words: Stratigraphy, geothermobarometry, geochemistry, geotectonics, Yusufeli

ŞEKİLLER DİZİNİ

	S.No
Şekil 1.1. Türkiye'nin tektonik birlikleri ve inceleme alanının konumu	3
Şekil 3.1. İnceleme alanının jeoloji haritası.....	16
Şekil 3.2. İnceleme alanının kuzey kesiminin dikme kesiti.....	17
Şekil 3.3. İnceleme alanının güney kesiminin dikme kesiti	18
Şekil 3.4. Süreksiz foliasyon türlerinden ayrık veya bölün foliasyon çeşitleri.....	21
Şekil 3.5. Granat-biyotit-plajiyoklas gnayslarda gözlenen grano-lepidobalstik dokular.....	22
Şekil 3.6. Kuvars mika şist ve kuvarsitlerde gözlenen dokular ve mineraller.....	31
Şekil 3.7. Kuvarsitlerde gözlenen taneli doku.....	31
Şekil 3.8. Amfibolitlerde gözlenen granoblastik doku.....	34
Şekil 3.9. Amfibolitlerde gözlenen şisti doku.....	34
Şekil 3.10. Granat-biyotit çiftlerinin(Mg/Fe)bi-(Mg/Fe)gt diyagramı.....	39
Şekil 3.11. Biyotit-granat K_D termometresi	39
Şekil 3.12. Granat biyotit-plajiyoklas gnaysların basınç (P) - sıcaklık (T) diyagramı.....	42
Şekil 3.13. Amfibolitlerdeki hornblendlerin Al^T - P (Kbar) diyagramı.....	43
Şekil 3.14. Amfibolitlerdeki plajiyoklas-hornblend çiftlerinin Ln (X_{An}/X_{Ab}) _{pl} - Ln ($Ca, M4/Na, M4$) _{amf} diyagramı.....	45
Şekil 3.15. Karadağ metamorfitleri amfibolitlerinin P (Kbar)-T (°C) diyagramı.....	46
Şekil 3.16. Demirkent bindirmesinin Demirkent Beldesi civarındaki görünümü.....	51
Şekil 3.17. Demirkent plütonu kayaçlarının Q-A-P ve Pl-Pir-Hbl diyagramları.....	52
Şekil 3.18. Demirkent plütonu gabrolarında gözlenen dokular	54
Şekil 3.19. Demirkent plütonu diyorit pegmatitlerinde gözlenen kümülofirk doku.....	56
Şekil 3.20. Demirkent plütonu diyoritlerinde gözlenen korona dokusu.....	56
Şekil 3.21. Sebzeciler granitoyidinin dokanaklarına ait görünümler.....	60
Şekil 3.22. Sebzeciler granitoyidinin Q-A-P diyagramı.....	62
Şekil 3.23. Tonalit, mikrotonalit ve granofirlerde gözlenen dokular.....	63
Şekil 3.24. Tonalitlerdeki kalsik amfibollerin sınıflaması.....	69
Şekil 3.25. Tonalitlerdeki amfibollerin Al^T - (P kbar) diyagramı.....	71
Şekil 3.26. (A) Tonalitlerdeki hornblendlerin P-T diyagramı ve (B) $Si_{amfibol}-Ab_{plajiyoklas}$ değişim diyagramı.....	72
Şekil 3.27. Kinalıçam volkanik karmaşığı dolerit ve bazaltlarında gözlenen dokular.....	78
Şekil 3.28. Kinalıçam volkanik karmaşığı andezitlerinde gözlenen dokular	81
Şekil 3.29. Kinalıçam volkanik karmaşığı dasitlerindeki gözlenen koy yapıları.....	83
Şekil 3.30. Hamurkesen formasyonunun lektostratotip kesiti.....	89
Şekil 3.31. Hamurkesen Formasyonunun kumtaşlarının mikroskopik görünüm.....	92
Şekil 3.32. Hamurkesen Formasyonu kumtaşlarının QFL diyagramın.....	92
Şekil 3.33. Berdiga Formasyonu'nun Kırac Tepe referans kesiti.....	98
Şekil 3.34. Berdiga Formasyonu'nun İşhan referans kesiti.....	100
Şekil 3.35. Bediga Formasyonu'nun Kemerlidağ referans kesiti.....	101
Şekil 3.36. Yusufeli formasyonunun tip kesiti.....	110
Şekil 3.37. Yusufeli formasyonunun Çağlayan referans kesiti.....	111
Şekil 3.38. Yusufeli formasyonu kumtaşlarının modal sınıflaması.....	114
Şekil 3.39. Yusufeli formasyonundaki bazatlarda gözlenen dokular.....	117
Şekil 3.40. Yusufeli formasyonu andezitlerindeki plajiyoklaslarda gözlenen dokular.....	120
Şekil 3.41. Üst Kretase granitoydlerinin Q-A-P diyagramı.....	126
Şekil 3.42. Berdiga Formasyonundan alınan tabaka ölçülerine göre hazırlanan kontur diyagramı (246 ölçü).....	133
Şekil 3.43. Berdiga Formasyonu kireçtaşlarında gelişen dom şeklindeki antikinal.....	134

Şekil 3.44.	Yusufeli formasyonu içerisindeki kilitası ve marnlarda ters faya bağlı olarak gelişmiş küçük ölçekli antiklinal.....	134
Şekil 3.45.	İnceleme alanı içerisindeki bindirme faylarına ait görüntüler.....	138
Şekil 3.46.	Berdiga Formasyonu kireçtaşlarında gelişen dubleks yapılar.....	139
Şekil 3.47.	Gnays ve şistlerin ACF ve AFK projeksiyonlarındaki dağılımları.....	144
Şekil 3.48.	Gnays ve şistlerin CaO' e karşı Sr ve Na ₂ O; K ₂ O' e karşı Ba ve Rb değişim diyagramları.....	145
Şekil 3.49.	Gnays ve şistlerin al-alk' ya karşı ana oksit değişim diyagramları.....	147
Şekil 3.50.	Gnays ve şistlerin al-alk' ya karşı iz element değişim diyagramları.....	148
Şekil 3.51.	Gnays ve şistlerin TiO ₂ ' ye karşı ana oksit ve iz element değişim diyagramları	149
Şekil 3.52.	Karadağ metaorfitlerinin La-Th-Sc ve Th-Hf-Co diyagramları.....	151
Şekil 3.53.	Gnays ve şistlerin kondrit' e, göre normalleştirilmiş uyumsuz element değişimleri.....	151
Şekil 3.54.	Gnays ve şistlerin okyanus ortası sırtı bazaltlarına (MORB) göre normalleştirilmiş iz element dağılımları.....	152
Şekil 3.55.	Gnays ve şistlerin kondrite göre normalleştirilmiş REE profilleri.....	154
Şekil 3.56.	Amfibolitlerin toplam alkali-silis adlandırma diyagramı.....	156
Şekil 3.57.	Amfibolitlerin AFM ve FeO*/MgO-SiO ₂ diyagramları.....	156
Şekil 3.58.	Amfibolitlerin Cr' a karşı Ni değişim diyagramı.....	157
Şekil 3.59.	Amfibolitlerin CaO' - Sr ve K ₂ O- Ba değişim diyagramları	158
Şekil 3.60.	Amfibolitlerin MgO' ya karşı ana oksit değişim diyagramları.....	159
Şekil 3.61.	Amfibolitlerin MgO' ya karşı iz element değişim diyagramları.....	160
Şekil 3.62.	Amfibolitlerin MORB' a göre normalleştirilmiş uyumsuz element diyagramları...	161
Şekil 3.63.	Amfibolitlerin kondrit'e göre normalleştirilmiş nadir toprak element diyagramı....	163
Şekil 3.64.	Gnays ve şistlerin Ayırım I -Ayırım II tektonik diyagramı.....	164
Şekil 3.65.	Gnays ve şistlerin SiO ₂ ' e karşı log (K ₂ O/Na ₂ O) diyagramı.....	164
Şekil 3.66.	Karadağ metamorfitleri amfibolitlerinin tektonomagmatik diyagramları	165
Şekil 3.67.	Demirkent plütonu kayaçlarının toplam alkali-silis diyagramı.....	168
Şekil 3.68.	Demirkent plütonu kayaçlarının SiO ₂ - K ₂ O diyagramı.....	168
Şekil 3.69.	Demirkent plütonu kayaçlarının SiO ₂ - FeO*/(FeO*+MgO) ve Al ₂ O ₃ -CaO-MgO diyagramları.....	169
Şekil 3.70.	Demirkent plütonu kayaçlarının AFM ve FeO*/MgO-SiO ₂ diyagramları.....	169
Şekil 3.71.	Demirkent plütonu kayaçlarını MgO' e karşı ana oksit diyagramları.....	170
Şekil 3.72.	Demirkent plütonu kayaçlarını MgO' e karşı iz element diyagramları.....	171
Şekil 3.73.	Demirkent plütonunda muhtemel ayırmalama yollarını gösteren değişim diyagramları	172
Şekil 3.74.	Demirkent plutonu kayaçlarının MORB' a göre normalleştirilmiş iz element değişim diyagramları	174
Şekil 3.75.	Demirkent plutonu kayaçlarının kondrite göre normalleştirilmiş REE diyagramı	175
Şekil 3.76.	Demirkent plütonu kayaçlarının tektonomagmatik ayırım diyagramları.....	177
XII		
Şekil 3.77.	Demirkent pütönu kayaçlarının FeO*/MgO- Ni ve Cr diyagramları.....	178
Şekil 3.78.	Sebzeciler granitoyidinin normatif ve modal Q-A-P diyagramı.....	182
Şekil 3.79.	Sebzeciler granitoyidinin P-Q kimyasal sınıflandırma diyagramı.....	182
Şekil 3.80.	Sebzeciler granitoyidi kayaçlarının A-B karakteristik mineral diyagramı	183
Şekil 3.81.	Sebzeciler granitoyidi kayaçlarının DI-ana oksit değişim diyagramları.....	184
Şekil 3.82.	Sebzeciler granitoyidi kayaçlarının SiO ₂ ' ye karşı log K ₂ O değişim	186
Şekil 3.83.	Sebzeciler granitoyidi kayaçlarının molar A/CNK - A/NK ve A/CNK- SiO ₂ diyagramları	187

Şekil 3.84.	Sebzeciler granitoyidi kayaçlarının normatif An-Ab-Or diyagramı.....	188
Şekil 3.85.	Sebzeciler granitoyidi kayaçlarının AFM diyagramı.....	188
Şekil 3.86.	Sebzeciler granitoyidi kayaçlarının K-Na-Ca ve normatif Q-Ab-Or diyagramları.....	190
Şekil 3.87.	Sebzeciler granitoyidi kayaçlarının Rb-K ve Sr-Rb değişim diyagramları.....	192
Şekil 3.88.	Sebzeciler granitoyidi kayaçlarının bazı iz element değişim diyagramları.....	192
Şekil 3.89.	Sebzeciler granitoyidi kayaçlarının SiO_2 -ana oksit değişim diyagramları.....	194
Şekil 3.90.	Sebzeciler granitoyidi kayaçlarının SiO_2 -iz element değişim iyagramları.....	195
Şekil 3.91.	Sebzeciler granitoyidi kayaçlarının kondride göre normalleştirilmiş uyumsuz element dağılım diyagramları.....	197
Şekil 3.92.	Sebzeciler granitoyidi kayaçlarının kondrite göre normalleştirilmiş REE dağılım diyagramları	199
Şekil 3.93.	Sebzeciler granitoyidi kayaçlarının Y-Nb ve Yb-Ta tektonik diyagramları	201
Şekil 3.94.	Sebzeciler granitoyidi kayaçlarının jeodinamik R1-R2 diyagramı	201
Şekil 3.95.	sebzeciler Granitoyidi kayaçlarının MORB' a göre normalleştirilmiş uyumsuz element dağılım diyagramları.....	203
Şekil 3.96.	Sebzeciler granitoyidi kayaçlarının La-Ba ve Th-La değişim diyagramları.....	204
Şekil 3.97.	Sebzeciler granitoyidi kayaçlarının kondrite göre normalleştirilmiş Yb_{N} 'a karşı $(\text{La/Yb})_{\text{N}}$ diyagramı	206
Şekil 3.98.	Sebzeciler granitoyidi kayaçlarının Y' a karşı Sr/Y diyagramı.....	206
Şekil 3.99.	Kinalıçam volkanitlerinin toplam alkali-silis adlandırma diyagramı.....	211
Şekil 3.100.	Kinalıçam volkanitlerinin SiO_2 -Zr/TiO ₂ ve Nb/Y- Zr/TiO ₂ diyagramları.....	211
Şekil 3.101.	Kinalıçam volkanitlerinin SiO_2 'e karşı K_2O değişim diyagramı.....	213
Şekil 3.102.	Kinalıçam volkanitlerinin AFM ve SiO_2 -FeO ^T /MgO diyagramları.....	213
Şekil 3.103.	Kinalıçam volkanitlerinin molar A/CNK - A/NK ve A/CNK- SiO_2 değişim diyagramları	216
Şekil 3.104.	Kinalıçam volkanitlerinin TiO_2 - K_2O - P_2O_5 diyagramı.....	217
Şekil 3.105.	Kinalıçam volkanitlerinin normatif K-Na-Ca diyagramı.....	217
Şekil 3.106.	Kinalıçam volkanitlerinin Y' a karşı Sr/Y değişim diyagramı.....	217
Şekil 3.107.	Kinalıçam volkanitlerinin SiO_2 ' e karşı ana element değişim diyagramları.....	220
Şekil 3.108.	Kinalıçam volkanitlerinin SiO_2 ' e karşı iz element değişim diyagramları.....	221
Şekil 3.109.	Kinalıçam volkanitlerinin Mg#'na karşı Cr ve Ni ve Ni' e karşı Sc ve Cr değişim diyagramları.....	223
Şekil 3.110.	Kinalıçam volkanitlerinin Zr' a karşı TiO ₂ ve Y değişim diyagramları.....	223
Şekil 3.111.	Kinalıçam volkanitlerinin Y-CaO değişim diyagramı.....	224
Şekil 3.112.	Doleritlerin MORB' a göre normalleştirilmiş uyumsuz element dağılımı.....	226
Şekil 3.113.	Andezitlerin MORB' a göre normalleştirilmiş uyumsuz element diyagramları.....	226
Şekil 3.114.	Dasit ve riyolitlerin MORB' a göre normalleştirilmiş uyumsuz element dağılımı	227
Şekil 3.115.	Dasit ve riyolitlerin ORG' a göre normalleştirilmiş uyumsuz element diyagramı..	227
Şekil 3.116.	Doleritlerin kondrite göre normalleştirilmiş REE dağılımları.....	230
Şekil 3.117.	Andezitlerin kondrite gören normalleştirilmiş REE dağılımları.....	230
Şekil 3.118.	Dasit ve riyolitlerin kondrite gören normalleştirilmiş REE dağılımları.....	230
Şekil 3.119.	Kinalıçam volkanitleri için seçilen tektonomagmatik ayırım diyagramları.....	232
Şekil 3.120.	Dasit ve riyolitlerin La-Ba ve Th-La diyagramları.....	234
Şekil 3.121.	Yusufeli volkanitlerinin toplam alkali-silis adlandırma diyagramı.....	240
Şekil 3.122.	Yusufeli volkanitlerinin SiO_2 -Zr/TiO ₂ ve Nb/Y- Zr/TiO ₂ diyagramları.....	240
Şekil 3.123.	Yusufeli volkanitlerinin TiO_2 - K_2O - P_2O_5 diyagramı.....	242
Şekil 3.124.	Dasit ve riyolitlerin molar A/CNK' ya karşı SiO_2 ve Y/Nb diyagramları.....	242
Şekil 3.125.	Yusufeli volkanik kayaçlarının SiO_2 'e karşı K_2O diyagramı.....	243

Şekil 3.126.	Yusufeli volkanitlerinin AFM ve FeO^T/MgO ' e karşı SiO_2 diyagramı.....	244
Şekil 3.127.	Yusufeli volkanitlerinin K-Na-Ca diyagramı.....	245
Şekil 3.128.	Yusufeli volkanitlerinin normatif Q-Ab-Or diyagramı.....	145
Şekil 3.129.	Yusufeli volkanitlerinin SiO_2 ' e karşı ana element değişim diyagramları.....	247
Şekil 3.130.	Yusufeli volkanitlerinin SiO_2 ' e karşı iz element değişim diyagramları.....	248
Şekil 3.131.	Yusufeli volkanitlerinin Y-CaO değişim diyagramı.....	249
Şekil 3.132.	Bazalt ve andezitlerin MORB' a göre normalleştirilmiş uyumsuz element dağılım diyagramları.....	250
Şekil 3.133.	Dasit ve riyolitlerin MORB' a göre normalleştirilmiş uyumsuz element dağılım diyagramları.....	251
Şekil 3.134.	Dasit ve riyolitlerin ORG' a göre normalleştirilmiş uyumsuz element dağılım diyagramları.....	251
Şekil 3.135.	Bazalt ve andezitlerin kondrite göre normalleştirilmiş REE dağılımları.....	254
Şekil 3.136.	Dasit ve riyolitlerin kondrite göre normalleştirilmiş REE dağılımları	254
Şekil 3.137.	Yusufeli volkanitleri için seçilen tektonomagmatik ayırım diyagramları.....	256
Şekil 4.1.	Karadağ metamorfitlerinin Niggli mg' a karşı c diyagramı.....	264
Şekil 4.2.	Karadağ metamorfitlerinin Niggli al-alk' ya karşı Niggli c diyagramı.....	264
Şekil 4.3.	Karadağ metamorfitlerinin $(\text{SiO}_2/10) - (\text{CaO}+\text{MgO}) - (\text{Na}_2\text{O}+ \text{K}_2\text{O})$ diyagramı	265
Şekil 4.4.	Gnays ve şistlerin (A) ana oksitlere ve (B) ana oksit/ Al_2O_3 ' e göre oluşturulan Fonksiyon I - Fonksiyon II köken ayırım diyagramları.....	266
Şekil 4.5.	Karadağ metamorfitlerinin $\text{Zr}/\text{TiO}_2\text{-SiO}_2$ ve $\text{Nb}/\text{Y-Zr}/\text{TiO}_2$ diyagramları.....	325
Şekil 4.6.	Yusufeli Bindirmesi boyunca gelişen fay zonunun görünümü.....	270
Şekil 4.7	İspir-Yusufeli-Ardanuç Fayı boyunca gelişen fay zonundan alman kataklastik kayaç örneğinin mikroskopik görünümü.....	270
Şekil 4.8.	Demirkent plütonu gabro ve diyoritlerinin ada yayı ve kıtasal yay bazaltları ile birlikte MORB' a göre normalleştirilmiş uyumsuz element diyagramları	272
Şekil 4.9.	Demirkent plütonu kayaçlarının Ba/La ve Th/La diyagramları.....	273
Şekil 4.10.	Yusufeli yöresinin Karboniferden günümüze kadar olan jeolojik evrimini gösteren şematik kesitler.....	286

ÇİZELGELER DİZİNİ

	Sayfa No
Çizelge 1. Granat-biyotit-plajiyoklas gnaysların gözlemsel mineralojisi.....	23
Çizelge 3.2. Granat-biyotit-plajiyoklas gnayslarda yapılan temsili plajiyoklas analizler....	24
Çizelge 3.3. Granat-biyotit-plajiyoklas gnayslarda yapılan temsili biyotit analizleri	25
Çizelge 3.4. Granat-biyotit-plajiyoklas gnayslarda yapılan temsili granat analizleri	26
Çizelge 3.5. Granat-biyotit-plajiyoklas gnayslarda yapılan temsili sillimanit analizleri.....	27
Çizelge 3.6. Granat-biyotit-plajiyoklas gnayslarda yapılan temsili antofillit analizleri.....	28
Çizelge 3.7. Diğer gnaysların gözlemsel mineralojisi.....	29
Çizelge 3.8. Şistlerin gözlemsel mineralojisi	32
Çizelge 3.9. Amfibolitlerin gözlemsel mineralojisi	33
Çizelge 3.10. Amfibolitlerde yapılan temsili plajiyoklas analizleri	36
Çizelge 3.11. Amfibolitlerde yapılan temsili amfibol (hornblend) analizleri.....	37
Çizelge 3.12. Demirkent plütonu kayaçlarının modal analiz sonuçları.....	51
Çizelge 3.13. Sebzeciler granitoyidi kayaçlarının modal analiz sonuçları.....	61
Çizelge 3.14. Tonalitlerde yapılan temsili plajiyoklas analizleri.....	65
Çizelge 3.15. Tonalitlerde yapılan temsili amfibol analizleri.....	67
Çizelge 3.16. Hamurkesen formasyonuna ait kumtaşlarının modal bileşimleri.....	91
Çizelge 3.17. Yusufeli formasyonuna ait kumtaşlarının modal bileşimleri.....	113
Çizelge 3.18. Üst Kretase granitoyidlere ait kayaçların modal analiz sonuçları.....	125
Çizelge 3.19. Karadağ metamorfitleri gnays ve şistlerinin ana (%) ve iz (ppm) element analizleri ile Niggli parametreleri.....	142
Çizelge 3.20. Karadağ metamorfitleri gnays ve şistlerinin REE (ppm) analizleri.....	153
Çizelge 3.21. Karadağ metamorfitleri amfibolitlerinin ana (%) ve iz (ppm) analizleri ile Niggli parametreleri.....	155
Çizelge 3.22. Karadağ metamorfitleri amfibolitlerinin REE (ppm) analizleri.....	162
Çizelge 3.23. Demirkent plütonu kayaçlarının ana (%) ve iz (ppm) element analizleri ile CIPW normları.....	167
Çizelge 3.24. Demirkent plütonu kayaçlarının REE (ppm) analizleri.....	175
Çizelge 3.25. Sebzeciler granitoyidi kayaçlarının ana (%) ve iz (ppm) element analizleri ile CIPW normları.....	181
Çizelge 3.26. Sebzeciler granitoyidi kayaçlarının REE (ppm) analizleri.....	198
Çizelge 3.27. Kinalıçam volkanitlerinin ana (%) ve iz (ppm) element analizleri ile CIPW normları.....	208
Çizelge 3.28. Kinalıçam volkanitlerinin REE (ppm) analizleri.....	229
Çizelge 3.29. Yusufeli volkanitlerinin ana (%) ve iz (ppm) element analizleri ile CIPW normları.....	239
Çizelge 3.30. Yusufeli volkanitlerinin Nadir toprak element (ppm) analizleri.....	252
Çizelge 4.1. Orta basınç/orta-yüksek sıcaklık koşullarında ilerleyici bölgesel metamorfizma sırasında metapelitik kayaçlarda gözlenen mineralojik değişimler.....	260
Çizelge 4.2. Orta basınç/orta-yüksek sıcaklık koşullarında ilerleyici bölgesel metamorfizma sırasında meta-bazitlerde gözlenen mineralojik değişimler.....	260

SEMBOLLER DİZİNİ

al = $100 \times (\text{Al}_2\text{O}_3 + \text{Cr}_2\text{O}_3)$
fm = $100 \times (2\text{Fe}_2\text{O}_3 + \text{FeO} + \text{MnO} + \text{MgO})$
c = $100 \times \text{CaO}$
alk = $100 \times (\text{Na}_2\text{O} + \text{K}_2\text{O})$
mg = MgO/FM
k = $\text{K}_2\text{O}/\text{ALK}$
p = $\text{P}_2\text{O}_5 \times 100 / (\text{AL} + \text{ALK} + \text{C} + \text{FM})$
ti = $\text{TiO}_2 \times 100 / (\text{AL} + \text{ALK} + \text{C} + \text{FM})$
si = $\text{SiO}_2 \times 100 / (\text{AL} + \text{ALK} + \text{C} + \text{FM})$
Qr: kuvars ve normatif kuvars
Or: normatif ortoklas
An: normatif anortit
Ab: normatif albit
Di: normatif diyopsid
Ol: olivin ve normatif olivin
Hy: normatif hipersten
Mt: manyetit ve normatif manyetit
İlm: normatif ilmenit
Ap: apatit ve normatif apatit
Crn: normatif korund
lc: normatif losit
ne: normatif nefelin
Pl: plajiyoklas
Kp: klinopiroksen
Op: ortopiroksen
Zr: zirkon
Sf: sfen
Hb: hornblend
Bi: biyotit
Gt: granat
Mg#: magnezyum numarası
A/CNK = normatif ($\text{Al}_2\text{O}_3 / (\text{CaO} + \text{Na}_2\text{O} + \text{K}_2\text{O})$)
A/NK = normatif ($\text{Al}_2\text{O}_3 / (\text{Na}_2\text{O} + \text{K}_2\text{O})$)
DI = q+or+ab+ne+ lc+kp
KA: kalk-alkali
ŞO: şoşonitik
tr: tronjemitik
ca. Kalk-alkali
TH: toleyitik
AK: alt kabuk
ÜK: üst kabuk
LOI: los of ignition (ateşte kayıp)
MORB: okyanus ortası sırtı bazaltları
N-MORB: normal tip MORB

E-MORB: zenginleşmiş MORB
P-MORB: plume tip MORB
WPT: plaka içi toleyitleri
WPA: plaka içi alkalileri
TTD tonalit-trondjemit-dasit
VAB: volkanik yay bazaltları
IAT: ada yayı toleyitleri
OIB: okyanus adası bazaltları
WPG: plaka içi granitleri
VAG: volkanik yay granitleri
Syn-COLG: çarpışma eş yaşı granitler
ORG: Okyanus sırtı granitleri
REE: nadir toprak elementler
LREE: hahif nadir toprak elementler
HREE: ağır nadir toprak elementler
LILE: büyük iyon yarı çaplı elementler
HFSE: yüksek çekim alanlı elemetler

1. GENEL BİLGİLER

1.1. Giriş

İnceleme alanı (Yusufeli-Artvin) coğrafik olarak Türkiye-Gürcistan sınırına yakın bir konumda yer alır. Bölge aynı zamanda Kuzey Anadolu-Küçük Kafkas ofiyolit kuşağıının kuzeyindeki kıtayı temsil eden Pontid-Transkafkas sisteminin bir parçasıdır. Bu bakımından Doğu Pontidler'in doğu kısmında bu güne kadar yerli ve yabancı bir çok araştırmacı tarafından genel jeolojik, tektono-stratigrafik amaçlı bir çok çalışma yapılmıştır (Adamia ve dig., 1995; Kraef, 1963; Erentöz ve Ketin, 1974; Şengör ve dig., 1980; Özsayar ve dig., 1982; Van, 1990; Konak ve Hakyemez, 1996). Oswald, (1912) ve Arni (1939) Pontidleri kuzey ve güney olmak üzere iki zona ayırmışlardır. Yusufeli yöresi, bu zonların doğu kesimini kapsayan Doğu Pontidler içinde, sınırı Niksar-İspir-Yusufeli-Ardanuç hattı ile belirlenen kuzey ve güney zonun geçiş bölgesinde yer alır ve bu nedenle de önemli bir konuma sahiptir. Bu durumun bir sonucu olarak inceleme alanında, Kuzey Zonu temsil eden magmatik ark özellikli bazik-asidik volkanitler ile Güney Zonu temsil eden metamorfitler ve bunlarla ilişkili granitoyidler, hornblendli-biyotitli ultramafikler birlikte bulunur (Bektaş ve Güven, 1995). Bu litolojik çeşitlilik nedeniyle Doğu Pontidler'in jeotektonik gelişimini aydınlatmaya yönelik tartışmalarda, Yusufeli yöresi adı sıkça geçen alanlardan biri olmuştur. Özellikle metamorfitler (Karadağ metamorfitleri) ve bunları kesen gabroyik (Demirkent Plütonu) ve asidik (Sebzeciler granitoyidi) kayaçlar bu görüşler içerisinde önemli bir yer tutmuştur (Şengör ve dig., 1980; Adamia ve dig., 1995). Bu bakımından Yusufeli yöresinde yüzeyleyen Hersiniyen temele ait bu kayaların (Karadağ metamorfitleri, Demirkent Plütonu ve Sebzeciler granitoyidi) petrografik, jeokimyasal ve petrolojik açıdan yeniden ayrıntılı bir şekilde gözden geçirilmesi bölgenin jeotektonik evrimini aydınlatmada faydalı bilgiler sağlayabilir. Bunun yanısıra Yusufeli yöresinde yüzeyleyen diğer birimlerin litostratigrafi sınıflama ve adlama kurallarına uygun şekilde tanımlanmaları, haritalanmaları, metamorfizit ve plütonik kayaçların mineralojik birlikteliği, metamorfitlerin metamorfizma koşulları bu tezin kapsamı içerisinde tartışılan diğer konulardır.

1.2. Coğrafik Konum, Yüzey Şekilleri ve Ulaşım

Çalışma alanı Doğu Karadeniz Bölgesinin doğusunda Artvin İli sınırları içerisinde yer alır ($41^{\circ} 30' - 41^{\circ} 45'$ D boylamları ile $40^{\circ} 39' - 40^{\circ} 55'$ K enlemleri arası). Artvin'in 55 km güneyinde, Erzurum'un ise 110 km kuzeyinde bir konuma sahiptir (Şekil 1.1) ve 1/25 000 ölçekli Tortum G47-a1, a2, a3, a4 ve Tortum G 47-b1, b2 paftaları içinde yaklaşık 500 km^2 lik bir alanı kapsar.

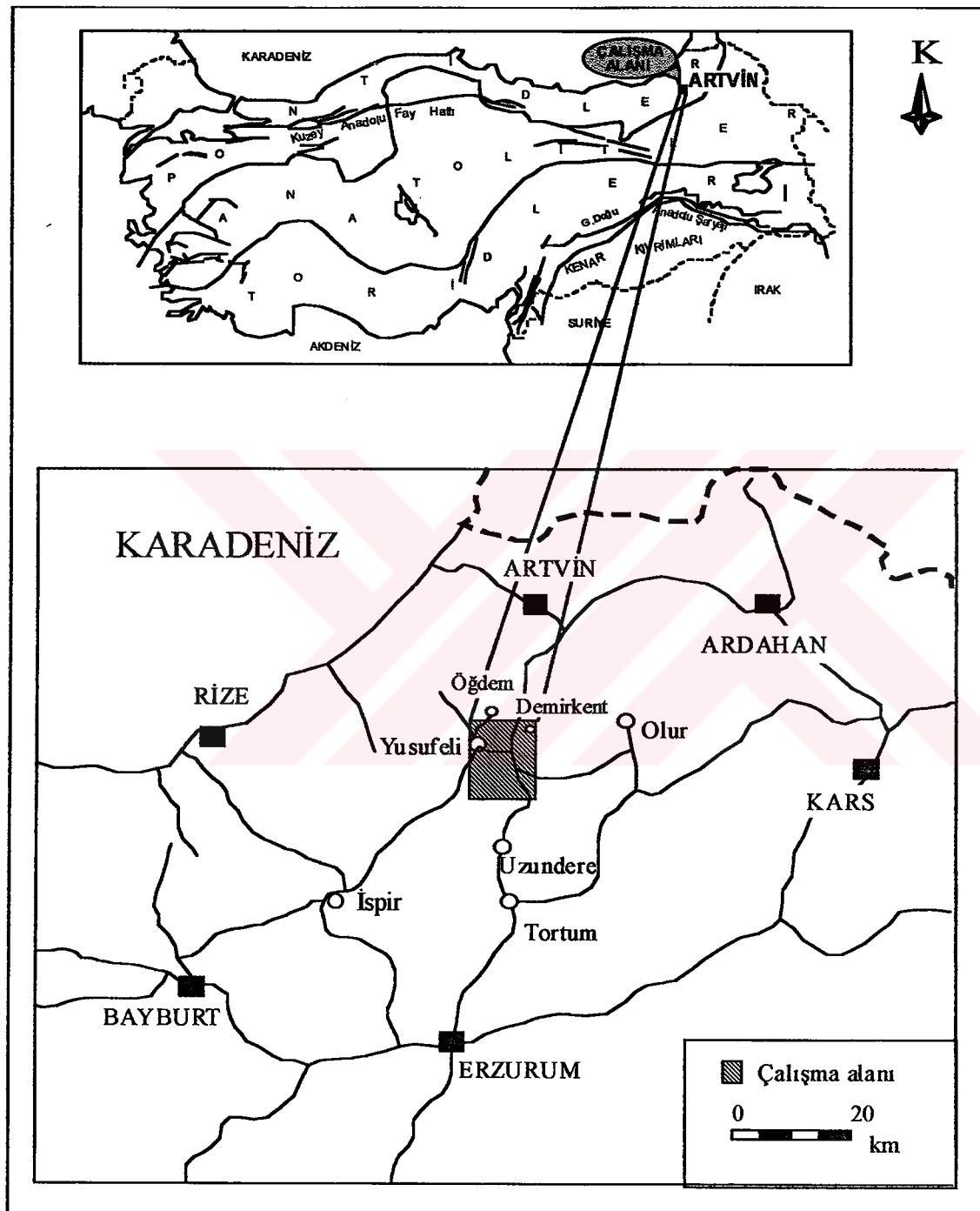
İnceleme alanı içindeki en önemli yerleşim merkezi Yusufeli İlçesidir. Demirkent Beldesi alanın kuzeydoğusunda yer alan önemli diğer bir yerleşim merkezidir. Bunların dışında inceleme alanının güneyinde yer alan Kinalıçam, Morkaya, Ormandibi, İşhan ve kuzeyinde yer alan Kömürlü ve Havuzlu köyleri de önemli yerleşim merkezlerini oluşturmaktadır.

İnceleme alanındaki en önemli yükseltiler güneyden kuzeye doğru Kemerlidağ (2770 m), Karadağ (2399 m) ve Legvan Dağı (2239 m) dır. Doğu-batı doğrultusunda uzanan Soğanlı Dağlarının doğuya doğru devamı olan Kaçkar Sıradağları alanın hemen kuzeyinde yer alır.

Bölgemin en önemli coğrafik ögesi Çoruh Nehridir. Yusufeli'nin 9 km doğusundaki Su Kavuşumu mevkiinde Çoruh Nehrinde güneydoğuya doğru ayrılan Tortum Çayı ve Yusufeli İlçe merkezinden kuzeye doğru ayrılan Barhal Çayı da diğer önemli su kaynaklarıdır. İnceleme alanı Çoruh Nehri ile yakın yükseltiler arasındaki kot farkının en fazla olduğu bölgedir. Bazı kesimlerde Çoruh Vadisi ve diğer su kaynaklarının 300 m yüksekliğinde kanyonlar oluşturduğu dikkati çeker. Eğimler vadilere yakın olan her yerde yüksektir. Vadilerden uzaklaşılıkça azalmaya başlar ve zirvelere yakın kesimlerde küçük düzlıklar oluştururlar.

Yusufeli yöresine ulaşım Çoruh Vadisi ve Tortum Çayı boyunca giden Artvin-Erzurum Devlet karayolu ile sağlanır. Köylere ulaşım topografik zorluklar nedeniyle oldukça kısıtlıdır. Henüz yolu olmayan mahalle ve köyler mevcuttur. Bu nedenle yüksek

alanlarda kalan köy ve mahallelerin çoğu vadi içlerine inmişlerdir. Bu yerleri yaz aylarında mezra olarak kullanmaktadır.



Şekil 1.1. Türkiye'nin tektonik birlikleri ve İnceleme alanının bu birlikler içerisindeki yerî

1.3. Önceki Çalışmalar

Doğu Pontidler'in doğusunda çok sayıda çalışma olmasına rağmen inceleme alanında şu ana kadar detaylı bir çalışma yapılmamıştır. İnceleme alanı ve yakın yöresinde yapılan önceki çalışmalar iki grupta toplanabilir.

Birinci grup çalışmalar; altın, bakır, kurşun çinko v.b. gibi metalik maden aramalarına yönelik Maden Tetkik ve Arama Enstitüsü tarafından yürütülmüş çalışmalarıdır. Son yıllarda yine aynı amaca yönelik olarak yabancı şirketler de bölgede çalışmalar yapmışlar ve yapmaya devam etmektedirler. İkinci grup çalışmalar ise bölgede yüzeyleyen litolojik birimlerin stratigrafisi üzerine yoğunlaşan genel jeoloji çalışmalarıdır. Bu çalışmalar kısaca aşağıdaki şekilde özetlenebilir:

Ketin (1949), Artvin yöresinde temelin çeşitli şist, gnays, meta-lavlar ile birlikte bunların içerisinde sokulum yapmış granit, granodiyoritten olduğunu ve koyu renkli diyabaz, serpentinit, bazalt, spilit ve yer yer ince marn ve kireçtaşlarından oluşan "Jura-Alt Kretase Serisi"nin bunların üzerine uyumsuzlukla geldiğini ifade etmiştir. Bu serinin volkanitli ve filiç özelliğindeki Üst Kretase ile uyumlu olarak üstlendiğini; bunlarında alt seviyelerinde Nummulites, Discocyclina, Assilina, Rotalia ve Globotruncana içeren konglomera ve kumtaşları ile başlayan, üste doğru bazik volkanitler ile son bulan "Eosen filiç"ı tarafından uyumsuz olarak örtülü olduğunu belirtmiştir.

Baykal (1951) Oltu-Olur yöresinde yaşı temel birimlerini açısal uyumsuzlukla üstleyen Tersiyer havza dolgusunun tabanda Nummulitli kumtaşı ve konglomeralardan oluşan Alt Eosen'in olduğunu, Orta Eosen'in uyumlu olarak sarı renkli karbonatlı kumtaşlarıyla bunların üzerine geldiğini ifade etmiştir. Bunların da üzerine kumtaşı ve konglomeralarla ara katkılı evaporitli Üst Eosen-Oligosen geldiğini belirtmiştir. Karbonatlı kumtaşı, konglomera, göl kalkerleri ve üst seviyelere doğru linyit arakatkıları içeren Neojen tortularının evaporitler üzerine uyumsuzlukla geldiğini ve bazik volkanitlerin Neojen'i keserek bunların üzerini örtüğünü vurgulamıştır.

Yalçınlar (1952) İspir-Pazar-Arhavi ve Yusufeli arasında yaptığı çalışmada, Yusufeli ile Hopa arasındaki yüksek dağlık alanın tabanında Jura-Kretase yaşı tortul kayaçlarla birlikte bir Paleozoyik temelden bahsetmiştir. Kretase'nin daha çok filiş, marn, kireçtaşı, kumtaşısı ve volkanitlerden olduğunu, Orta Çoruh Vadisi'nin güney yamaçlarında Eosen'in genellikle marn, kultaşı, filiş ve kireçtaşlarından meydana geldiğini belirtmiştir.

Erentöz (1954) Oltu bölgesi yeşil kayaçlarının güneyindekiler gibi kıraklı ve kıvrımlı olduğunu, güneydekilerden farklı olarak Eosen filişlerinin serpentinitler arasına ekaylanmış ve sıkışmış olduğunu, Şenkaya'ya bağlı Bardız (Gaziler) nahiyesi civarında kompakt kireçtaşları üzerinde serpentin kalıntılarının bir artık yama gibi yapışık olduğunu belirtmiştir.

Gattinger (1955) Oltu-Yusufeli arasındaki metamorfitleri ve ofiyolitli birimleri kristalin temel serisi olarak kabul etmiş ve seriyi kendi içinde ikiye ayırmıştır. Bu serileri gabro, amfibolit, serpentin, yeşil şist, diyorit, kuvarsdiyorit, aplit ve pegmatitli granitlerden oluşan Orta serisi ve bunu çatı gibi örten ve birlikte tektonize olmuş grafitşist, silisli şist, kuvarsit şist, kuvarsit fillit ve mermerlerden oluşan Para serisi olarak tanımlamıştır. Bu kristalin temel serisi üzerine, Jura yaşı kireçtaşı serisi ve filiş serisinin uyumsuzlukla geldiğini, bu serilerin de volkanitli ve filiş özelliğindeki Üst Kretase birimleri tarafından üstlendiğini vurgulamış ve Eosen filiş serisi ile istifin son bulduğunu belirtmiştir.

Kraeff (1963) Artvin güneyinde, Sırya ile Ardanuç arasındaki bölgede Paleozoyik yaşı reyonal metamorfizma ürünü metamorfitlerden bahseder. Bunların serizit şist, biyotit şist, gnays, gözülü gnays ve kuvarsitlerden oluşuklarını ve yer yer granodiyoritler tarafından kesildiğini belirtir.

Nebert ve dig. (1964) Oltu ve civarında Paleozoyik'in metamorfitler, Üst Kretase ve Eosen' in filişler ile temsil edildiğinden bahsetmiştir. Oligosen yaşı birimleri ise alttan üste doğru Narbazalt Horizonu(O_1), Alt Alacalı Horizon(O_2), Aglomera Horizonu(O_3), Üst Alacalı Horizon(O_4) ve Jips Horizonu(O_5) olarak ayırmıştır. Bu birimleri de Oligosen sonrası bazalt, aglomera, tüf ve tüfit'den oluşan volkanitlerin uyumsuz olarak örttügüünü belirtmiştir.

Altınlı (1969) Oltu-Olur ve Narman yöresinde temeli Paleozoyik yaşı metamorfitlerin oluşturduğunu, üzerine uyumsuzlukla Jura yaşı kırintılı tortuların geldiğini ve bunları da beyaz renkli ince ve düzenli katmanlı Alt Kretase kireçtaşlarının uyumlu olarak üstlediğini belirtmiştir. Üste doğru Üst Kretase-Paleosen tortularının kırintılı ve karbonat ardışımı ile temsil edildiğini, sığ denizel karakterdeki ince ve kaba kırintılılarla marn ardışımından oluşan Lütesiyen yaşı birimlerin, peneplenleşmiş bir yüzeyi doldurmuş çökeller ile yayılmış plato bazaltlarından oluşan Neojen yaşı birimler tarafından örtülü olduğunu belirtir.

Baydar ve diğ (1969) Yusufeli-Madenköy-Tortum gölü ve Kılıçkaya arasında yapmış oldukları çalışmada, Paleozoyik'in gnays, mikäşist, amfibolit ve bunları kesen gabrodan oluştuğunu ve Liyas'ın spilit silleri içeren kumtaşı, silttaşı, şeyl ve tuf ardışımı ile bunların üzerine uyumsuz olarak geldiğinden bahsederler. Bunların üzerine uyumsuz olarak konglomera, kumtaşı, çamurtaşı, silttaşı, şeyl ve marnlarla temsil edilen Dogger'in geldiğini, üste doğru yine uyumsuz olarak tabanda kırintılılarla başlayıp karbonatlarla devam eden Malm-Alt Kretase'nin yer aldığı belirtirler. Üst Kretase'nin filiş karakterinde başlayıp karbonatlı fasiyeste son bulduğunu ve aynı yaşı granit, dasit ve spilitlerle kesildiğinden bahsederler. Eosen filişinde bunları uyumsuz olarak üstlediğini ve andezitik aglomera ve tüflerle yanal geçişli olduğunu ifade ederler.

Yüksel (1972) Olur civarında, Paleozoyik yaşı temel üzerine Jura yaşı kayaçların taban konglomerasıyla başlayıp üste doğru asit ve bazik volkanitler ve konglomera, kumtaşı ve kireçtaşlarıyla geldiğini belirtir. Alt Kretase çörtlü kireçtaşları ve Üst Kretase volkanot-tortul istifinin uyumlu olarak bunların üzerine geldiğini ve volkanitlerden oluşan Eosen'in uyumsuz olarak diğer birimleri örttügünden bahseder.

Erentöz ve Ketin (1974) yapmış oldukları Kars paftası 1/500 000 ölçekli komplikasyon çalışmada, asidik intrüziflerle kesilen Paleozoyik metamorfit temelin Liyas transgresyonuyla örtülü olduğunu, Dogger'in bulunmadığını, deniz çekilmesi sonucu Liyas sonunda yer yer aşınma belirtilerine rastlandığını, Karbonatlı Malm-Alt Kretase istifinin Liyas üzerine uyumsuz geldiğini belirtmişlerdir. Üst Kretase'nin uyumsuzlukla bu birimleri üstlediğini, volkanit ve filiş karakterindeki Eosen birimlerinin tüm birimleri açısal uyumsuzlukla örttügünü ifade etmişlerdir. Ayrıca Üst Kretase-Eosen aralığında etkin

magmatik faaliyetin devam ettiğini, Eosen'den sonra Pireniyen fazına bağlı olarak şiddetli kıvrılmalar olduğunu, yersel yükselmelere bağlı olarak denizin bölgeyi terk etmeye başladığını, Oligosen'de tamamıyla yükselme devresine ulaştığını belirterek çukur alanlarda molas havzalarının gelişliğini söylemişlerdir.

Şengör ve diğ. (1980) Yusufeli yöresindeki Jura öncesi temelin iki değişik topluluktan oluştuğunu ve bunların Jura'da tektonik olarak bir araya geldiklerini ileri sürmüşlerdir. Buradaki mafik ve asidik kayaçları okyanusal topluluk, metamorfitleri de kıtasal topluluk olarak değerlendirmiştir. Mafik ve asidik derinlik kayaçların Triyas'dan (Permiyen ?) Erken Jura'ya kadar olan zaman aralığında oluşturuklarını ileri sürmüş ve bunları güneye doğru bir yitimle kapanan Paleotetis süturunun kalıntıları olarak yorumlamışlardır.

Özsayar ve diğ. (1982) Ardanuç (Artvin) yöresinde, en alta Üst Jura-Alt Kretase yaşı bazik volkanitler olduğunu ve bunların Doğu Pontid Kuzey Zonu'nda Alt Bazik Seri olarak adlandırılan birime karşılık geldiğini vurgulamıştır. Alt Kretase üzerine uyumsuzlukla gelen Üst Kretase'nin Turoniyen'le başladığını ve kırmızı biyomikrit, dasit ve dasitik türlerden olduğunu ve Kuzey zondaki Dasit serisi ile korele edildiğini belirtmiştir. Paleosen kireçtaşlarının taban konglomerası ile Üst Kretase üzerine uyumsuz geldiğini ve en üstte de Eosen marnları ile uyumsuz olarak üstlendiğini belirtmiştir. Bölgede, Alt-Üst Kretase, Üst Kretase-Paleosen ve Paleosen-Eosen arasında olmak üzere üç uyumsuzluk yüzeyinin olduğunu ve bunların Austrik, Laramik ve Anadolu fazlarına karşılık geldiğini vurgulamışlardır.

Yılmaz (1985) Olur yöresinde şist, gnays ve kuvarsitlerden oluşan Paleozoyik yaşı metamorfitler ve bunlarla tektonik dokanaklı Liyas ve Liyas öncesi dasitlerin bulunduğu bahsetmiştir. Metamorfitler ile dasitlerin transgresif olarak, Liyas-Dogger yaşı, lav ara katkılı, kırintılı-karbonatlı Olurdere formasyonu ve Üst Jura-Alt Kretase yaşı Yeşilbağlar kireçtaşlarının üstlediğini belirtmiştir. Üste doğru Alt Kretase yaşı ince kırintılı-karbonatlı Karmasor formasyonu'nun açısal uyumsuzlukla Üst Kretase yaşı Karagüney formasyonu ile üstlendiğini ve yine Üst Kretase'nin piroklastikli Kilis Tepe formasyonu ve karbonatlı Akbayır kireçtaşları ile son bulduğunu vurgulamıştır. Eosen'in tabanda nummulitli marnlarla Üst Kretase üzerine açısal uyumsuzlukla geldiğini, üste doğru tüfit ve volkanik

kum taşları ile devam ettiğini ve tüm birimlerin Alt Neojen yaşlı andezit, bazaltlardan oluşan, Uzunharman formasyonu tarafından uyumsuzlukla üstlendiğini belirtmiştir.

Van (1990) Artvin yöresinde tabanda Jura veya daha yaşlı kayaçlarla birlikte Paleozoyik metamorfitlerin yer aldığı, Artvin Granitoyidi tarafından kesildiklerini, bunların üzerine taban konglomerası ile cevherli dasit ve tüflerinin geldiğini ve mor dasitler tarafından kesildiklerinden bahsetmektedir. Üst Kretase yaşlı birimler yer yer Paleosen birimlerine geçiş gösterirler. Taban konglomerası ile başlayan Orta Eosen'in filiş fasiyesindeki kayaçları alttaki birimleri uyumsuz olarak üstlediğini ve Eosen sonrası yerleşen kuvaslı diyoritler ve hornblend dasitlerin en genç birimler olduğunu vurgular.

Bozkuş (1990) Olur-Kömürlü-Akşar arasındaki çalışmasında, temeli Permo-Karbonifer yaşlı Coşkunlar magmatitlerinin oluşturduğunu, üzerine Liyas-Alt Malm'in sıç denizel Olurdere formasyonunun transgresif olarak geldiğini belirtir. Bunun üzerine tabanında sıç, üste doğru derin denizel karbonatlardan oluşan Üst Jura-Alt Kretase yaşlı Yeşilbağlar formasyonu ile filiş karakterli derin denizel Hotriyyen-Kampaniyen yaşlı Karmasör formasyonunun uyumlu geldiğini vurgular. Kumtaşı ve tüften oluşan Üst Kampaniyen-Alt Maastrichtiyen Boğazören formasyonu ve pelajik karbonatlı Alt Maasrihiyen Akbayır formasyonu'nun uyumlu olduklarını belirtir. Alt-Orta Eosen yaşlı Dağdibi formasyonunun daha yaşlı birimleri uyumsuz üstlediğini ve üzerine Üst Eosen 'nin volkano-tortul Karataş formasyonunun uyumlu geldiğini vurgular. Oligo-Miyosen'in karasal (göl, akarsu bataklık) çökellerle temsil edildiğini ve daha yaşlı birimleri açısal uymsuzlukla üzerlediğini belirtir. Üst Miyosen'in volkanik malzemeli Penek formasyonun da diğer birimleri açısal uymsuzlukla örttügünden bahseder.

Yılmaz ve Yılmaz (1993) Olurdere, Yeşilbağlar, Karmasor, Karagüney Tepe, Akbayır Tepe ve Aşağı Karacasu yörelerinde aldıkları ölçülü stratigrafik kesitler ile Olur bölgesindeki Mesozoyik yaşlı istifi incelemiştir. Çökellerin yapı, doku özellikleri ile kaya türü değişimlerinden Olurdere formasyonunun sıç su, diğer birimlerin ise giderek derinleşen ortam koşullarında gelişiklerini ortaya koymışlardır. Verilerin Erken Liyas'ta açılan ve Geç Kretase'de okyanuslaşma aşamasına varmadan kapanan bir rift havzasına işaret ettiğini belirtmektedirler.

Yılmaz ve diğ. (1996) Türkiye-Gürcistan sınırı boyunca tektonik ünitelerin incelenmesi üzerine çalışmışlar ve sınır bölgesinde, kuzeyde Adjara-Trialeti ve güneyde Artvin-Bolnisi olmak üzere iki ana ünitenin varlığını ortaya koymuşlardır. Her iki ünite tabanının Doğu Pontid Üst Kretase yay biriktelikleri ile karakteristik olduğunu vurgulamışlardır. Kalınlık, yersel uyumsuzluklar ve kaya tipleri bakımından farklılıklar olmasına rağmen her iki ünitedeki Maastrichtien-Eosen istifleri denetirilmiş ve Artvin-Bolnisi Blok' unun Adjara-Trialeti havzasının kenar kesimi olduğu sonucunu çıkarmışlardır. Her iki ünitesi uyumlu olarak örtten Oligosen'in sıç denizel-kıtasal klastiklerini bölgesel istif olarak yorumlamışlardır. Bu ünitelerin hepsinin kıvrımlandığını ve Oligosen-Alt Miyosen'de KD-GB doğrultulu faylar boyunca birbiri üzerine bindirdiklerini vurgulamışlardır.

Hakyemez ve Konak(1996) Doğu Pontidler'in doğusunda Eosen havzalarının tektonik gelişimi ve stratigrafisi konulu çalışmalarında; Eosen istifinin Olur-Uzundere hattının kuzey ve güneyinde farklı stratigrafik dizilim ve tektonik gelişim sunduğunu belirtmişlerdir.

Konak ve Hakyemez (1996) Artvin-Erzurum arasındaki çalışmalarında Jura-Kretase yaşı kayaları dört ana zona ayırmışlardır. Bu zonlar kuzeyden güneye doğru Hopa-Borçka Zonu, Artvin-Yusufeli Zonu, Olur-Tortum Zonu ve Erzurum-Kars Ofiyolit Zonu'dur. Hopa-Borçka Zonu'nun güneyinde yer alan Artvin-Yusufeli Zonu'nda da farklı stratigrafik ve tektonik ilişkilere sahip altı alt zon ayrıt etmişlerdir. Bunlar kuzeydoğudan güneybatıya doğru Öğdem, Zeytinlik, Madenler, Ardanuç, Üçsu ve Günyayla zonlarıdır. Öğdem ve Zeytinlik zonları Hopa-Borçka Zonu üzerine olmak üzere hepsinin kuzeybatıya bindirdiklerini belirmiştir. Jura öncesi temele ait Harsdere Metamorfitlerinin Mesozoyik ile olan dokanağını gözleyemediklerini ve Demirkent Dayk kompleksi olarak tanımladıkları tonalitik, dasitik, diyabaz daykları tarafından kesildiğinden bahsetmişlerdir. Artvin-Yusufeli Zonu içerisinde, biri Dogger-Malm diğeri Albiyen-Senomaniyen ve Turoniyen arasında olan iki uyumsuzluğun varlığına dikkat çekmişlerdir.

2. YAPILAN ÇALIŞMALAR

2.1. Giriş

Bu çalışma stratigrafi sınıflama ve adlama kuralları esasına göre yapılmıştır. Birimlerin adlandırmasında Stratigrafi Adlaması Kuzey Amerika Yasa Kitabı (1983) esas alınmıştır. Kireçtaşlarının adlaması Folk (1962) ve Dunham (1962)⁷ a göre; plütonik kayaçların adlandırılması ise Jeoloji Bilimleri Uluslararası Birliği'nin (IUGS) sınıflama esaslarına göre yapılmıştır (Streckeisen, 1976). İncelenen litostratigrafi birimleri Doğu Pontid kuşağında yapılan diğer çalışmaların eşlenikleri ile denetirilmeye çalışılmış, böylece oluşum, köken ve yaşı ilişkileri açısından yorumlara gidilmiştir. Bu araştırmayı sonuçlandırmak için yürütülen çalışmaları arazi, büro ve analitik yöntemler olmak üzere başlıca üç bölümde toplamak mümkündür.

2.2. Arazi Çalışmaları

1993 yılında bir ön gezi ile başlayan ve yaz ayları içerisinde gerçekleştirilen arazi çalışmaları 1998 yılında tamamlanabilmiştir. Bu süreç içerisinde yaklaşık 550 km²lik bir alanın 1/25.000 ölçekli genel jeoloji haritası hazırlanmıştır. 1994-1995 yıllarındaki çalışmalar; litodem ve litostratigrafi birimlerinin ayrıt edilmesi, haritalanması, nokta örneklerin, tabaka ve çatlak ölçümlerinin alınması ve ayrıntılı tip kesit yerlerinin belirlenmesi şeklindeki 1996 ve 1997 yıllarında yapılan çalışmalar daha çok tespit edilen profil yerlerinden ölçülu stratigrafik kesitlerin çıkarılması şeklinde gerçekleştirilmiştir. 1998 yılında ise bazı kontroller yapılmış ve eksik kalan kısımlar tamamlanmıştır.

2.3. Büro Çalışmaları

Büro çalışmalarını teorik çalışmalar ve analitik yöntemler olmak üzere iki kısımda değerlendirmek mümkündür. Analitik yöntemler aşağıdaki bölümde irdelenmiştir. Teorik çalışmalar mikroprob ve tüm kayaç analizlerinin değerlendirilmesi ve tezin yazımı

şeklindedir. Mikroprob analizleri Karadağ metamorfitlerinin ve magmatik derinlik kayaçlarındaki kayaç yapıcı minerallerde gerçekleştirılmıştır. Karadağ metamorfitleri granat-biyotit-plajiyoklas gnayslarında jeotermometrik (Ferry ve Spear, 1978) ve jeobarometrik (Höisch, 1990) çalışmalar yapılmıştır. Amfibolitlerde alüminyum- jeobarometresi (Johnson ve Rutherford, 1989) ve Plajiyoklas-hornblend jeotermometresi (Blundy ve Holland, 1990) kullanılarak elde edilen sonuçlar granat-biyotit-plajiyoklas gnayslardan elde edilenler ile karşılaştırılmıştır. Amfibolitlerdeki jeotermobarometrik çalışmaya benzer bir çalışma Sebzeciler granitoyidi tonalitlerinde yapılmıştır.

Farklı oranlarda ayırmış şist, gnayslar ve amfibolitler köken kayaçları ve tektonik ortamları bakımından değerlendirilmiştir. Metamorfitlerde bu değerlendirmeler ana, iz ve REE yanı sıra ve ana elementlerden hesaplanan Niggli parametrelerine göre yapılmaktadır. Mafik derinlik kayaçların (Demirkent plutonu) ofiyolit veya ada yayalarının kök kısımlarına ait mafik kayaçlar, asidik derinlik kayaçların (Sebzeciler granitoyidi) ise kitasal granitoidler veya ofiyolitlerin son diferansiasyon ürünü plajiyogranitler olup olmadıkları değerlendirilmiştir. Volkanik kayaçlar da magmatik prosesler ve tektonik ortamları bakımından incelenmiştir.

2.4. Analistik Yöntemler

İnceleme alanında yüzeylenen çeşitli mineralojik bileşimlere sahip kayaçların jeokimyası ana, iz ve nadir toprak elementler bakımından incelenmiştir. Bu amaca yönelik olarak 101 adet taze veya az ayırmış örnek seçilmiştir. Bunların hepsinin ana ve iz element, 59 adedi de nadir toprak element içerikleri bakımından analiz edilmiştir. Bu tezin oluşturulması sırasında yapılan analistik çalışmalar kumtaşı kesitlerinin K'lu feldspatlar açısından boyanması, derinlik kayaçları ve kumtaşlarının modal analizleri, kimyasal analizler için bazı örneklerin öğretülmesi, Fe^{2+} (ferrous iron) ve Fe^{3+} (ferric iron) ayırımı, mineral ve tüm kayaç analizleri sırasında kullanılan yöntemler şeklinde sıralanabilir.

2.4.1. Kumtaşlarının K'lu Feldspatlar Açısından Boyanması

Modal analizleri yapılan bütün kumtaşı örnekleri K-feldspatlar açısından boyanmışlardır. Boyama işlemi ince kesitlerin bir müddet HF asidi üzerine tutularak aşındırılmışından sonra 100 ml suya 60 gr karıştırılarak hazırlanan Na-hekzanitrokobaltat sulu çözeltisine daldırılır. 10-30 sn arasında değişen bekletilme süresinden sonra kesitler soğuk su ile ykanır. Bu işleme tabi tutulan ince kesitlerde K-feldspatlar belirgin bir şekilde kanarya sarısı renk alırlar. Boyanan kesitlerde mikalar ve K içeren killer K'lu feldspatlar ile aynı renkleri aldıklarından modal analiz sırasında bunlara dikkat etmek gereklidir.

2.4.2. Modal Analizler

Modal analizler Demirkent plütonu, Sebzeciler granitoyidi kayaçları ve kumtaşlarında gerçekleştirılmıştır. Analizler sırasında otomatik Swift nokta sayacı kullanılmıştır. Sayım genellikle 0.4 mm aralığı, tane boyutuna göre bazı kesitlerde de 0.2 mm ve 0.6 mm aralığı üzerinden gerçekleştirılmıştır. Sebzeciler granitoyidi ve Demirkent plütonu kayaçlarına ait kesitlerde 1000 veya daha fazla, kumtaşı kesitlerinde ise 500 nokta sayılmıştır. Kumtaşlarının sayımı sırasında tane boyutuna bağımlılığı azaltan Gazzi-Dickinson yöntemi kullanılmıştır. Bu yöntemin esası kısaca aşağıdaki gibi özetlenebilir. Örneğin kuvars, plajiyoklas ve hamurdan meydana gelen bir kayaç parçası sayılıyor ise kayaç parçasının kuvars'ı kuvars, plajiyoklası plajiyoklas ve hamur kısmı da kayaç parçası olarak sayılır. Modal analizler sırasında genellikle ince taneli kumtaşları (0.2-0.4 mm) seçildiğinden, özellikle kötü boyanmalı ve iri taneli kumtaşlarında kullanışlı olan bu yönteme çoğunlukla ihtiyaç duyulmamıştır.

2.4.3. Elektron Mikroprob Analizleri

Metamorfik ve magmatik derinlik kayaçlarındaki kayaç oluşturan minerallerin Elektron mikroprob analizleri Leicester Üniversitesi (İngiltere) Jeoloji Mühendisliği Laboratuvarında parlatılmış ve karbon ile kaplatılmış ince kesitler üzerinde JXA-8600 model Jeol Superprobe cihazı kullanılarak gerçekleştirılmıştır. Dalga boyu dağıtım sistemi kullanılarak yapılan kantitatif analizler 15 Kv yardımcı voltajı, 30×10^{-9} sn probe akımı

kullanılarak; 20 sn (2×10) pik, 10 (2×5) sn negatif background, 10 (2×5) sn pozitif background sayım zamanı sırasına göre yürütülmüştür. Tane büyülüğu ve mineralin bileşimine (karbonat, sülfit) göre değişebilen yoğunlaştırılmış X-ışınının çapı silikat mineralleri için 5 μm dir.

2.4.4. Örneklerin Öğütülmesi

Tüm kayaç analizi için örnekler öncelikle KTÜ Jeoloji Mühendisliği Bölümü Örnek Hazırlama Labaratuvarında öğütülmüştür. Öğütülen örneklerin ayırmamış olmasına özen gösterilmiştir. 250-300 gr ağırlığındaki örnekler çeneli kırıcıda parçalandıktan sonra çeyreklemme metodu ile 50 gr' a indirilmiştir. Daha sonra bunlar halkalı öğütücüde 200 meş boyuta gelinceye kadar öğütülmüştür.

2.4.5. ICP-MS Yöntemi

Örneklerin ana, iz ve REE analizleri ACME Analytical Laboratories Ltd. (CANADA) analitik kimya laboratuvarında Inductively Coupled Plasma (ICP) yöntemiyle yapılmıştır. Ana element analizleri için 0.2 gr örnek 1.5 g LiBO₂' de eritilmiş ve % 5' lik 100ml HNO₃ içinde çözdirülmüştür. Cihaza standartlar okutulduktan (SO-15/CSA) sonra örnekler analiz edilmiştir. İz element analizleri ise 0.25 gr toz örnek üzerinde gerçekleştirilmiştir. Örnekler karbonun uçurulması için 200 °C de 100 ml HClO₄-HNO₃-HCl-HF' deki köpürmeleri giderilinceye kadar bekletilmişlerdir. Metalleri çözmek amacıyla 10 ml aqua-regia (HNO₃+HCl) ile sulandırılarak seyreltilmekten ve filtre edildikten sonra analiz edilmiştir.

2.4.6. Neutron-Activasyon Yöntemi

Bir kısım örneğin bazı iz (Rb, Hf Ta, U, Th vb.) ve REE (La, Ce, Nd, Sm, Eu, Tb, Yb, Lu) analizleri ACME Analytical Laboratories Ltd. (CANADA) analitik kimya laboratuvarında Neutron-Activation teknigi kullanılarak yapılmıştır. REE için kullanılan deteksiyon limitleri daima 1ppm' in altındadır.

2.4.7. Fe^{2+} ve Fe^{3+} Ayırımı (Titrasyon)

ICP ve X-Ray analizlerinde demir Fe_2O_3 cinsinden toplam demir olarak analiz edilmiştir. Örneklerin FeO içerikleri Jeoloji Mühendisliği Bölümü Jeokimya Laboratuvarında FeO titrasyon metodu kullanılarak bulunmuştur. Metod için kullanılan malzemeler ve işlem sırası aşağıdaki gibi özetlenebilir: Plastik veya teflon bir kab içine konan 1-20 mg arasındaki örneğe, çözmek için 1 ml hidroflorik asit ve FeO' i oksitlemesi için de 1 ml amonyum vanadat ilave edilir. Bir gün bekletildikten sonra çözeltiye 3 ml saf su, 3 ml 10 normallik sülfitik asit ve 3-4 damla renklendirici (baryum diphenyamin sulfonat) ilave edilir. Çözelti soluk griden soluk mor renge döner. Tekrar soluk gri renge dönene kadar amonyum demirsülfat ilave edilir. Çözeltiye eklenen amonyum vanadat ve amonyum demirsülfat arasındaki farkın 100' e oranından FeO miligram olarak hesaplanır. Elde edilen değer 100 ile çarpılıp örnek ağırlığına bölünerek yüzdeye çevrilmiş olur. Tüm kayaç analizlerinde toplam demir olarak elde edilen $\text{Fe}_2\text{O}_3'$ den titrasyon sonucunda bulunan FeO çıkarılarak Fe_2O_3 bulunur.

3. BULGULAR

3.1. Stratigrafi ve Petrografi

3.1.1. Giriş

İnceleme alanında Paleozoyik, Mesozoyik ve Senozoyik kayaları yüzeylenir (Şekil 3.1). Pontidler'i kuzey ve güney olmak üzere iki zona ayırdığı kabul edilen, KD-GB doğrultulu Niksar-İspir-Yusufeli-Ardanuç bindirmesi (Osswald, 1912, Arni, 1939) alanın yaklaşık ortasından geçer. Bu fayın kuzeybatisında ve güneydoğusunda yer alan eş yaşılı litostratigrafik birimler özellikle Dogger' den sonra litolojik ve kalınlık olarak farklılaşmaya başlar. Litostratigrafi adlama kuralları göz önünde bulundurularak haritalanan bu değişik yaş grupları içinde, yaşıdan gence doğru aşağıdaki birimler belirlenmiştir (Şekil 3.1; 3.2 ve 3.3):

KUZEY ZON

GÜNEY ZON

Taraça ve Alüvyonlar (Kuvartermer)

Yağmuralan formasyonu (Eosen)

Granitoyidler (Üst Kretase)

Yusufeli formasyonu (Üst Kretase)

Berdiga Formasyonu (Malm-Alt Kretase)

Yusufeli formasyonu (Üst Kretase)

Berdiga Formasyonu (Malm-Alt Kretase)

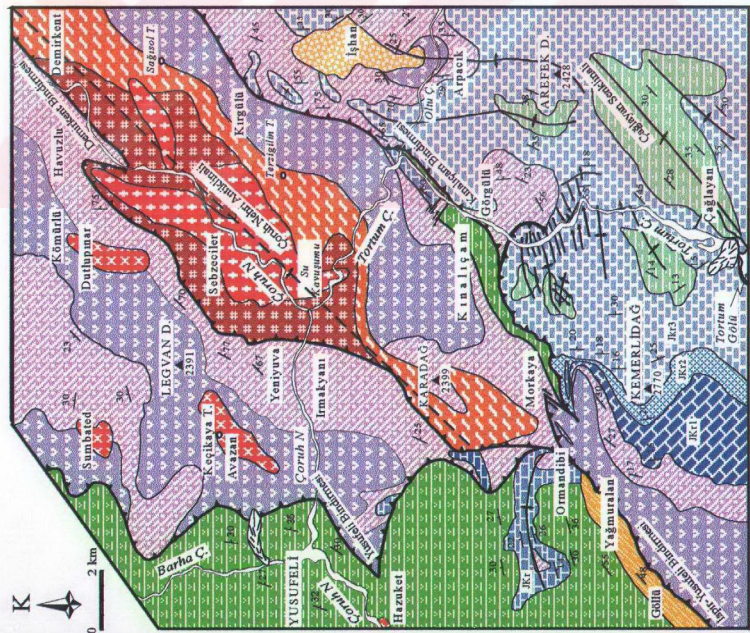
Permo-Karbonifer	Jura	Hamurkesen Formasyonu (Dogger) Kinalıçam Volkanik Karmaşığı (Liyas)
	Sebzeciler granitoyidi Demirkent plütonu Karadağ metamorfitleri	

Bu birimler aşağıda kısaca gözden geçirilecektir.

AÇIKLAMALAR

DUVATLAR	KUZEY ZON	GÜNEY ZON
Yanşılı ve alluvyon Yumuşak molozu		
Kumtaş, kilittaş, Kireçtaşlı ve marn	Kumtaş, kilittaş, Kavaklı, diorit, tonalit, Granodiorit, orti, kavaklı monzonit, monzogranit Cöküşlü, kumtaşlı, marn- kilittaş, kumtaşı biyomikrit, marn, kilittaş, gört ve görtli Kireçtaşlı, gri, kireçtaşlı piroklastları	Kumtaş, kumtaş marn, kilittaş, gört ve görtli Kireçtaşlı, gri, kireçtaşlı piroklastları
JKr1 JKr2 JKr3 JKr4 JKr5	JKr JKr2 JKr3 JKr4 JKr5	Oolitik-intraktikatik kireçtaş Marn-kilittaş ve şaklaşmış ardırmış Kumtaş ve şaklaşmış ardırmış
PERMO-KARADAG LIVAS-DOĞGEDE MILIM-ALT KIRTAŞ BERTIGA P YELDEKLİ F DÖT KIRTAŞ BOSN F DUVATLAR	BERTEGİA P YELDEKLİ F DÖT KIRTAŞ BOSN F DUVATLAR	HAMURKESEN F, KALITLIK KINALİCAM V. KALITLIK SEBZECİLER GR. KAVARŞI DEMİRKEN PL. GABRO KARADAĞ ME. GRAYA, YİST, KAVARŞIT VE AMFİBOLİT

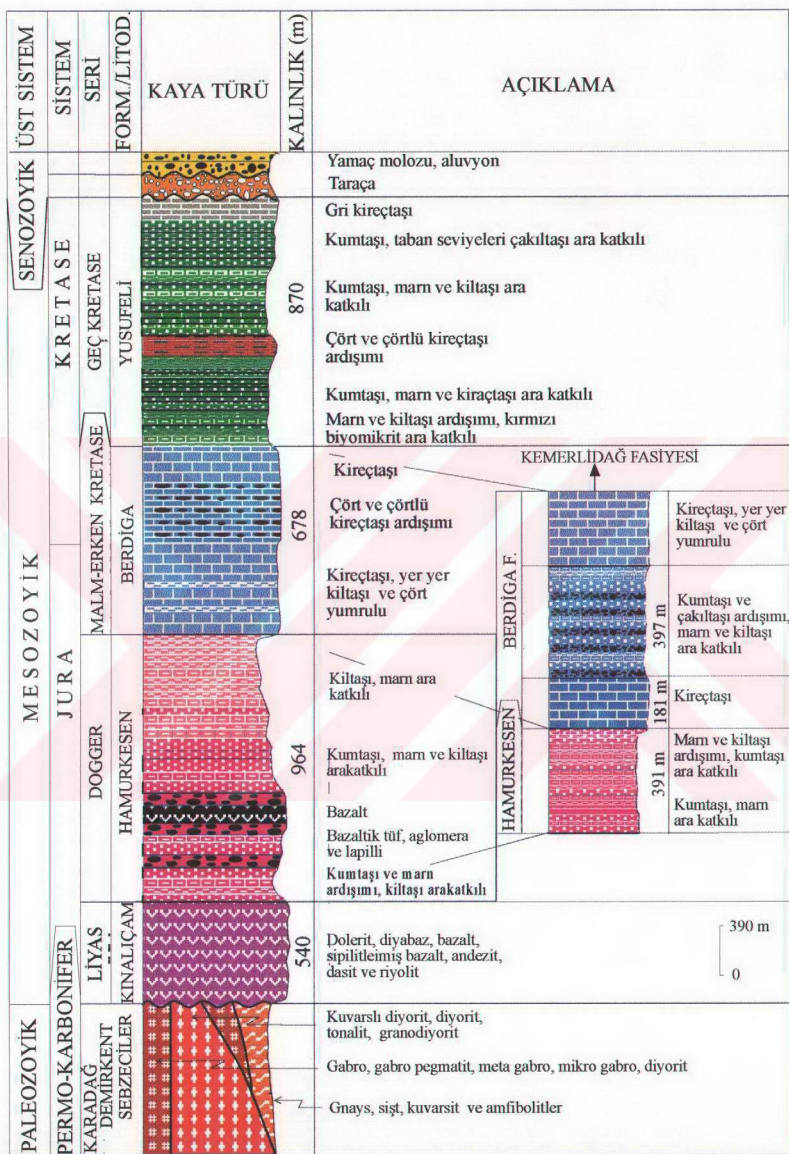
KİSALTMALAR
 F: Formasyon sunan
 S: Sentinal okenli
 A: Antikinal okenli
 D: Dağ
 E: Formasyon
 U: Üve
 V. K.: Volkanik Karması
 G.R.: Granitoyidi, Granitoyidleri
 PL.: Metamorfiter
 Met.: Metamorfiter
 T: Tepe
 H: Hayalet
 H: Hayalet
 H: Hayalet



Şekil 3.1. İnceleme alanının jeoloji haritası



Şekil 3.2. İnceleme alanının kuzey kesiminin dikme kesiti



Şekil 3.3. İnceleme alanının güney kesiminin dikme kesiti

3.1.2. Karadağ Metamorfitleri (Paleozoyik)

3.1.2.1. Ad, Yayılm ve Topografik Görünüm

Bölgесel bir temel durumunda olan metamorfitler önce Baydar ve diğ (1969) ve daha sonra da Konak ve Hakyemez (1996) tarafından incelenmişlerdir. En geniş yüzeyleme verdiği yer olan Karadağ mevkiine atfen birime Karadağ metamorfitleri adının verilmesi uygun görülmüştür. İnceleme alanında KD-GB doğrultusunda uzanan bir hat boyunca görülür. Yüzeyleme genişliği 1-3 km arasında değişen Karadağ metamorfitleri, güneyde G47-d1 paftası kuzeyinde yer alan Morkaya Köyü civarından başlar ve kuzeydoğuya doğru devam ederek G47-a4, a3, a2 ve b1 paftalarına geçer. Görüldüğü alanları güneydoğudan kuzeybatıya; Morkaya köyü, Karadağ, Karameşe Mahallesi, Yanık Tepe, Terziginin Tepe, Çambakacak Tepe, Sağışol Tepe ve Demirkent Beldesi olarak sıralayabiliriz.

Karadağ Metamorfitleri çalışma alanında çoğunlukla tepelerde ve tepelere yakın kısmen düşük eğimli alanlarda görülmektedir. Nispeten kolay gezilebilir alanlar oluşturmakla beraber, vadi içlerinde bölgenin sarp topografyasına uyum gösterirler. Genellikle gri-beyaz, sarımsı kırmızı ve yer yer de koyu gri-siyah görünümlüdürler. Uzaktan Sebzeciler granitoyidi ile olan dokanağı ayırt edilebilirken, gabroyik Demirkent plütonu ve Kinalıçam volkanik karmaşığı ile olan dokanağını ayırt etmek çoğunlukla mümkün değildir.

3.1.2.2. Alt-Üst Sınırlar

Karadağ metamorfitleri inceleme alanında yüzeyleyen en yaşlı birimdir. Bu nedenle birimin alt sınırı görülmemektedir. KD-GB uzanımlı birimin güneydoğu sınırı Jura yaşlı birimler ile uyumsuzdur. Karadağ civarında Dogger yaşlı Hamurkesen Formasyonu, daha kuzeydoğudaki kesimlerde ise Liyas yaşlı Kinalıçam volkanik karmaşığı metamorfitler üzerine uyumsuz olarak gelir. Ancak sınır boyunca uyumsuzluğa işaret eden taban konglomerası görülmemektedir. Kinalıçam volkanik karmaşığının metamorfitler üzerine volkanik etkinlik şeklinde gelmiş olması, bu kesimlerde aşınma uyumsuzluğuna ait verileri silmiş olabilir. Karadağ metamorfitlerinin kuzey batıdaki sınırı ise Karadağın batısında Hamurkesen Formasyonu ile faylıdır. Birim, Demirkent bindirmesi olarak adlandırılan bu fay

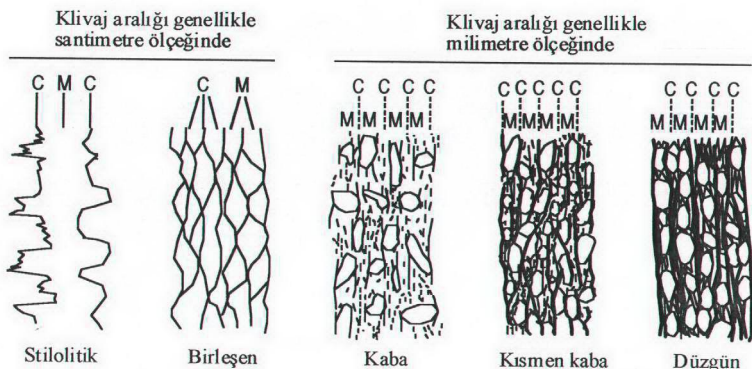
boyunca kuzeybatıya doğru Hamurkesen Formasyonu üzerine itilmiştir. Burada fay hattı boyunca 20-30 m genişliğinde bir ezilme zonu belirgin olarak görülmektedir. Birimin daha kuzeydoğu kalan kesimleri Karameşe Mahallesi, Sağsol Tepe ve Demirkent Beldesi civarında Demirkent plutonu; Yanık Tepe ve Terziginin Tepe doğusunda ise Sebzeciler granitoyidi tarafından sınırlanmıştır.

3.1.2.3. Litoloji

Saha çalışmaları sırasında Karadağ metamorfitlerinden seri ve nokta olmak üzere toplam 90 adet kayaç örneği alınmıştır. İçerdikleri mineralojik bileşime bağlı olarak ayrışma derecesi değişebilen metamorfitlerde, örneklerin nispeten az ayrılmış kısımlardan alınmasına özen gösterilmiştir. Bunlardan 58'inde gerçekleştirilen mikroskopik incelemeler sonucunda Karadağ metamorfitleri gnays, şist, kuvarsit ve amfibolit olmak üzere dört litoloji grubuna ayrılmışlardır.

3.1.2.3.1. Gnayslar

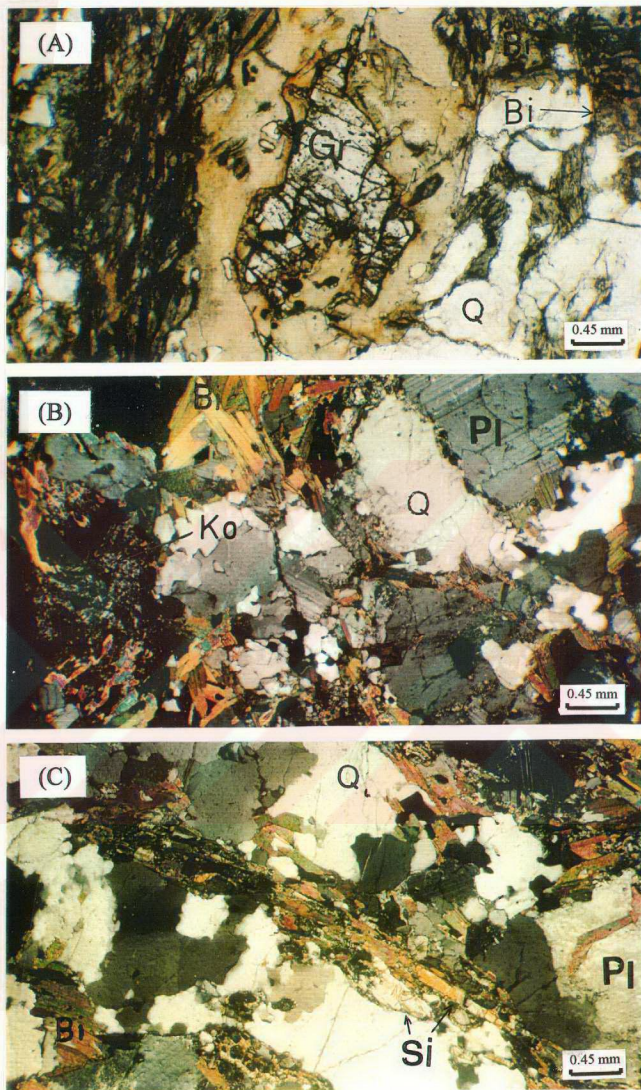
Karadağ metamorfitlerinin en yaygın kayaç grubunu oluştururlar. Şistler ile ardisıklı olarak bulunurlar. Makroskopik olarak genellikle 1-3 mm çapında mineraller içeren gnayslarda kaba ve kısmen kaba ayrık foliasiyon yapısı yaygın olarak görülür (Bkz Şekil 3.4). Bununla birlikte bazı örneklerde bireleşen ayrık foliasiyon yapısı (Twiss ve Moores, 1992) da görülmektedir. Mikrolithon alanlarının genişliği çoğunlukla 2-4 mm kadardır. Ancak örneklerin bazlarında genişliği 1-1.5 cm olan mikrolithon alanlarına da rastlanmaktadır. Bu tür örneklerde mikrolithon alanları içinde çok ince koyu renkli mikro-klivaj alanlarının; klivaj alanları içinde de yine nispeten ince, açık renkli mikrolithon alanlarının varlığı dikkati çeker. Açık renkli minerallerin koyu renkli minerallere oranında belirgin bir artma olduğu yerlerde foliasiyon yapısı belirsizleşmektedir. Plajiyoklas ve kuvars'ın baskın olduğu numunelerde granoblastik doku yaygın olarak görülür. Mika minerallerinin miktarı arttıkça grano-lepidoblatik doku ve lerido-granoblastik dokuya geçiş gösterirler (Şekil 3.5). Örneklerin çoğunda yer yer görülen kataklastik doku, özellikle metamorfitlerin Sebzeciler granitoyidi ile olan dokanına yakın yerlerden alınan örneklerde daha belirgindir.



Sekil 3.4. Süreksız foliasyon türlerinden ayrık veya bölen (disjunctive) foliasyon çeşitleri. C: klivaj alanları; M: mikrolitonlar (Twiss ve Moores, 1992' den)

Benzer dokusal özelliklere sahip gnayslar bazı minerallerin varlığı veya yokluğuna göre granat-biyotit-plajiyoklas gnays; granat-biyotit-muskovit-plajiyoklas gnays; granat-muskovit-plajiyoklas gnays; biyotit-plajiyoklas gnays; ortoklas-muskovit-plajiyoklas gnays; ortoklas-biyotit-muskovit-plajiyoklas gnays gibi alt litoloji gruplarına ayrılabilirler. Karadağ metamorfitleri içerisindeki en yüksek metamorfizma koşullarını temsil eden gnays grubu olan granat-biyotit-plajiyoklas gnayslardaki bazı minerallerin bileşimleri mikroprob analizleri (Örnek No 649, 652) sonucunda belirlendiğinden bunlar daha ayrıntılı olarak incelenecektir.

Granat-biyotit-plajiyoklas gnayslar bazı kesitlerde kordiyerit (% 0-5), sillimanit (% 0-2) ve ortonombik amfibol (% 0-2) gibi yüksek sıcaklık minerallerini içeren tek gnays grubudurlar. Bunlarda biyotit (% 1-20) ve granat (% 1-10) birlikte ve nispeten yaygın olarak, muskovit (% 0-5) bazı kesitlerde ve çok az oranlarda bulunur. Yer yer oldukça bol miktarlarda sodik plajiyoklas (% 20- 60) ve kuvars (% 20-40) içerirler. Epidot genellikle kataklaze olmuş kesitlerde kırıklär boyunca görülür. Tali mineraller olarak apatit ve zirkon içermektedirler. Opak mineraller olarak; manyetit, pirotin, rutil ve ilmenit bulundururlar. Serizit genellikle plajiyoklasların ve kısmen de biyotitlerin; klorit ise biyotitlerin ayrışma ürünü olarak görülmektedir (Çizelge 3.1).



Şekil 3.5. Granat-biyotit-plajiyoklas gnayslarda gözlenen dokular (A- Granolepidoblastik doku ve bireleşen ayrık foliasiyon yapısı; granat, kenarları boyunca kordiyeritleşmiş, biyotit ise kloritleşmiştir; Kesit no: 312; Tek nikol; B- Granoblastik ve C- Lepidogranoblastik dokular; Çift nikol; Kesit no: 649; (Pl: plajiyoklas, Bi: biyotit, Gr: granat, Si: sillimanit, Ko: kordiyerit, Q: kuvars)

Çizelge 3.1. Granat-biyotit-plajiyoklas gnayşların gözlemlsel mineralojisi

Örnek	Plj	Q	Or	Bi	Mu	Grn	Sillim.	Kord.	Ep	Zr	Ap	Op
103	30-35	30-35	-	15-20	-	5-10	-	-	-	-	-	1-2
312	40-45	25-20	-	5-10	10-15	5-10	-	-	-	-	-	1-2
491	35-40	25-30	-	15-20	15-20	10-15	-	-	-	-	-	1-2
509	20-25	60-70	-	1-5	5-10	10-15	-	-	1-5	-	-	1-5
510	55-60	20-25	10-15	10-15	15-20	5-10	-	-	1-5	-	-	1-2
648	30-35	40-45	-	15-20	-	5-10	-	-	1-5	<1	-	1-2
649	25-30	20-25	-	25-30	-	15-20	3-5	10-15	-	<1	<1	1-2
652	35-40	20-25	-	25-30	-	2-4	1-2	10-15	-	-	<1	1-2
831	40-45	30-35	-	10-15	5-10	5-10	-	-	-	<1	-	1-2
866	30-35	30-35	-	15-20	-	10-15	-	-	1-5	<1	-	1-2
868	50-55	20-25	10-15	10-15	-	5-10	-	-	1-5	<1	-	1-2

Plj = plajiyoklas, Q = kuvars, Or = ortoklas, Bi = biyotit, Mu = muskovit, Alm = almandin, Ep = epidot, Zr = zirkon, Ap = apatit, Op = opak mineraller.

Plajiyoklas kenarları aşındırılmış dairesel veya dikdörtgen şekilli kristaller halindedir.

Bazlarında çok belirgin ince bir polisentetik ikiz gelişmiştir. Çok ender olarak bir yönelim oluştururlar. Gerçekleştirilen mikroprob analizleri sonucunda andezin (An_{31-41}) bileşiminde oldukları tespit edilmiştir (Çizelge 3.2). Kuvars diğer mineraller arasında kalan boşlukları dolduran öz şeksiz kristaller halindedir. Sürekli ve kısmen de süreksız yönelimler oluşturur. Kataklastik deformasyon geçirmiş kesitlerdeki bütün plajiyoklas ve kuvarslarda çok belirgin bir mörter dokusu gelişmiştir. Biyotit ve muskovit genellikle yönelim oluştur ve yer yer plajiyoklas ve granatları saran zarflar halindedir (Şekil 3.5 A). Diğer gnayslarda çoğunlukla kloritleşen ve kısmen de serizitleşen biyotitler; alterasyon veya gerileyen metamorfizma etkisine uğramamış olarak en güzel granat-biyotit-plajiyoklas gnayslarda görülür (Şekil 3.5 B, C). Biyotitlerde gerçekleştirilen mikroprop analizleri sonucunda annit (44-59) ve flogopit (41-56) bileşiminde oldukları tespit edilmiştir (Çizelge 3.3). Granat-biyotit yönelimleri içinde elips ve dairesel şekilli bireysel kristaller durumundadır. İri taneli olanlar kataklastik doku gösterirler. Kırık açıklıkları bazen 50-60 mikron kadar olabilmektedir. Granatlar bu kırıklar ve kenar kısımları boyunca kordiyeritlemiş, serizitleşmiş ve kısmen de kloritleşmişlerdir (Şekil 3.5 A). Mikroprob analizleri sonucunda almandin (67-72), pirop (11-20), spessartin (5-11), grossular (4-5) ve andradit (3-4) bileşiminde (Çizelge 3.4) oldukları tespit edilen granatların almandin bileşenleri merkezi kısımlardan kenar kısımlara doğru artarken, pirop bileşenleri azalmaktadır.

Çizelge 3.2 .Granat-biyotit-plajiyoklas gnayslarda yapılan temsili plajiyoklas analizleri

Analiz	54	55	19	20	23	24	35	36	38	51	58	60	62	88
SiO ₂	58,38	58,46	58,29	56,68	56,72	58,29	57,66	57,21	58,51	56,90	57,06	58,38	54,79	51,37
TiO ₂	0,00	0,01	0,00	0,01	0,01	0,00	0,01	0,01	0,03	0,04	0,01	0,01	2,07	0,01
Al ₂ O ₃	26,02	26,30	26,28	25,57	26,16	26,35	26,74	26,09	26,01	25,63	25,91	24,30	25,18	29,40
Cr ₂ O ₃	0,02	0,04	0,04	0,02	0,04	0,02	0,00	0,06	0,04	0,01	0,04	0,02	0,04	0,01
FeO*	0,09	0,01	0,06	0,02	0,06	0,25	0,03	0,11	0,08	0,02	0,05	0,15	2,10	0,18
MnO	0,01	0,02	0,01	0,03	0,00	0,00	0,02	0,03	0,04	0,01	0,02	0,03	0,05	0,02
MgO	0,01	0,02	0,00	0,00	0,00	0,09	0,00	0,02	0,00	0,01	0,00	0,00	0,03	0,00
CaO	8,41	8,70	8,50	8,45	9,09	6,33	8,93	7,10	8,35	8,23	8,46	6,81	8,10	12,30
Na ₂ O	6,61	6,55	6,92	6,66	6,58	6,58	6,64	6,70	7,04	6,70	6,40	7,35	6,34	4,08
K ₂ O	0,15	0,20	0,13	0,23	0,10	1,73	0,18	0,68	0,22	0,11	0,16	0,14	0,17	0,11
NiO	0,02	0,01	0,01	0,00	0,01	0,02	0,01	0,02	0,05	0,02	0,02	0,03	0,01	0,02
Total	99,72	100,3	100,2	97,67	98,77	99,66	100,2	98,03	100,4	97,68	98,13	97,22	98,88	97,50
Si	10,47	10,43	10,42	10,40	10,31	10,49	10,32	10,44	10,45	10,43	10,41	10,71	10,03	9,55
Ti	0,00	0,00	0,00	0,00	0,00	0,00	0,00	0,00	0,01	0,01	0,00	0,00	0,36	0,00
Al ^{IV}	1,53	1,57	1,58	1,60	1,69	1,51	1,68	1,56	1,55	1,57	1,59	1,29	1,97	2,45
Al ^{VI}	3,97	3,96	3,95	3,94	3,92	4,08	3,96	4,05	3,92	3,96	3,98	3,96	3,46	3,99
Cr	0,00	0,01	0,01	0,00	0,01	0,00	0,00	0,01	0,01	0,00	0,01	0,00	0,01	0,00
Fe	0,01	0,00	0,01	0,00	0,01	0,04	0,00	0,02	0,01	0,00	0,01	0,02	0,32	0,03
Mg	0,00	0,01	0,00	0,01	0,00	0,00	0,01	0,01	0,01	0,00	0,01	0,01	0,01	0,01
Mn	0,00	0,00	0,00	0,00	0,00	0,01	0,00	0,00	0,00	0,00	0,00	0,00	0,00	0,00
Ca	1,62	1,66	1,63	1,66	1,77	1,22	1,71	1,39	1,60	1,62	1,65	1,34	1,59	2,45
Na	2,30	2,27	2,40	2,37	2,32	2,30	2,30	2,37	2,44	2,38	2,26	2,61	2,25	1,47
K	0,03	0,05	0,03	0,05	0,02	0,40	0,04	0,16	0,05	0,03	0,04	0,03	0,04	0,03
Ni	0,00	0,00	0,00	0,00	0,00	0,00	0,00	0,00	0,01	0,00	0,00	0,01	0,00	0,00
	19,94	19,96	20,03	20,04	20,05	20,06	20,03	20,01	20,05	20,00	19,95	19,99	20,04	19,98
An	40,93	41,85	40,14	40,68	43,05	31,19	42,21	35,44	39,11	40,18	41,82	33,59	40,96	62,08
Ab	58,20	57,01	59,13	58,01	56,38	58,66	56,78	60,52	59,66	59,18	57,24	65,59	58,01	37,26
Or	0,87	1,15	0,73	1,32	0,56	10,15	1,01	4,04	1,23	0,64	0,94	0,82	1,02	0,66

* toplam demir FeO olarak ölçülmüştür.

Çizelge 3.3 .Granat-biyotit-plajiyoklas gnayslarda yapılan temsili biyotit analizleri

Analiz	13	15	16	17	18	19	20	21	22	23	27	28	29	30
SiO ₂	34,58	34,96	31,64	35,1	35,61	35	35,03	35,61	36,51	36,98	35,19	35,57	33,86	35,32
TiO ₂	4,15	4,34	3,73	3,86	3,42	3,86	3,14	4,27	3,94	3,09	3,45	3,23	3,14	3,4
Al ₂ O ₃	18,09	19,76	16,54	18,22	18,7	17,74	19,17	18,61	19,28	20,17	18,6	18,92	18,62	18,95
Cr ₂ O ₃	0,13	0,11	0,1	0,08	0,07	0,1	0,15	0,1	0,09	0,08	0,06	0,07	0,05	0,05
FeO	17,62	18,54	17,83	18,61	18,37	18,31	17,85	18,33	18,58	17,37	18,02	19,14	19,07	18,86
MgO	8,24	9,6	7,36	9,06	9,38	8,98	9,01	8,27	9,09	8,73	9,43	8,95	8,68	8,81
MnO	0,08	0,18	0,12	0,17	0,11	0,08	0,13	0,1	0,14	0,15	0,13	0,08	0,13	0,13
CaO	0,04	0,01	0,01	0,02	0	0,01	0,01	0,01	0,01	0,02	0,01	0,01	0,02	0,01
Na ₂ O	0,39	0,34	0,28	0,32	0,3	0,27	0,43	0,3	0,35	0,3	0,3	0,33	0,34	0,33
K ₂ O	9,38	8,08	9,48	9,24	7,66	9,14	8,86	9,54	9,47	8,4	9,34	9,36	9,21	9,35
NiO	0,07	0,01	0,02	0,02	0,06	0,01	0,01	0,05	0,01	0,02	0,04	0,04	0,02	0,04
Toplam	92,77	95,93	87,11	94,7	93,68	93,5	93,79	95,19	97,47	95,31	94,57	95,7	93,14	95,25

Katyonlar 22 oksijene göre hesaplanmıştır.

Si	5,2	5,073	5,084	5,166	5,304	5,22	5,186	5,229	5,216	5,401	5,167	5,182	5,068	5,17
Ti	0,587	0,592	0,564	0,534	0,479	0,541	0,437	0,59	0,529	0,424	0,476	0,442	0,442	0,468
Al ^T	3,206	3,38	3,133	3,161	3,283	3,118	3,345	3,221	3,247	3,472	3,219	3,249	3,285	3,269
Al ⁴	2,8	2,927	2,916	2,834	2,696	2,78	2,814	2,771	2,784	2,599	2,833	2,818	2,932	2,83
Al ⁶	0,406	0,453	0,217	0,327	0,587	0,338	0,532	0,451	0,463	0,873	0,387	0,43	0,352	0,439
Fe ³⁺	1,119	0,865	1,584	1,249	0,667	1,161	1,184	0,987	1,072	0,512	1,309	1,316	1,541	1,278
Fe ²⁺	1,097	1,385	0,812	1,042	1,621	1,122	1,027	1,265	1,148	1,609	0,904	1,016	0,845	1,031
Cr	0,015	0,013	0,013	0,009	0,008	0,012	0,018	0,012	0,01	0,009	0,007	0,008	0,006	0,006
Mg	1,847	2,076	1,762	1,987	2,082	1,996	1,988	1,81	1,936	1,9	2,064	1,943	1,936	1,922
Mn	0,01	0,022	0,016	0,021	0,014	0,01	0,016	0,012	0,017	0,019	0,016	0,01	0,016	0,016
Ca	0,006	0,002	0,002	0,003	0	0,002	0,002	0,002	0,002	0,003	0,002	0,002	0,003	0,002
Na	0,114	0,096	0,087	0,091	0,087	0,078	0,123	0,085	0,097	0,085	0,085	0,093	0,099	0,094
K	1,799	1,496	1,943	1,735	1,456	1,739	1,674	1,787	1,726	1,565	1,75	1,74	1,759	1,746
Ni	0,011	0,001	0,003	0,003	0,009	0,002	0,002	0,008	0,001	0,003	0,006	0,006	0,003	0,006
Toplam	15	15	15	15	15	15	15	15	15	15	15	15	15	15
Ann.	45,46	43	52,18	46,44	41,28	46,08	42	45,36	43,69	36,79	43,82	45,41	47,48	45,2
Flog.	37,89	39,67	38,39	40,29	37,56	40,27	37,78	36,47	38,09	32,95	40,86	37,84	38,51	37,62
Sid.	8,325	8,664	4,716	6,636	10,58	6,826	10,11	9,082	9,115	15,13	7,66	8,379	7,007	8,589
Eas.	8,325	8,664	4,716	6,636	10,58	6,826	10,11	9,082	9,115	15,13	7,66	8,379	7,007	8,589
	100	100	100	100	100	100	100	100	100	100	100	100	100	100

Fe³⁺ Schumacher (1991) göre hesaplanmıştır

$$\text{Mg}^{\#} = \text{Mg}/(\text{Mg}+\text{Fe}^{3+}+\text{Fe}^{2+})$$

Çizelge 3.4. Granat-biyotit-plajiyoklas gnayslarda yapılan temsili granat analizleri

Analiz	11	12	13	14	24	25	26	27	28	29	30	31	40	41
SiO ₂	37,66	37,23	37,29	37,22	58,29	38,14	37,12	38,47	37,05	37,21	37,11	38,00	36,47	37,18
TiO ₂	0,00	0,02	0,01	0,01	0,00	0,02	0,02	0,03	0,01	0,01	0,01	0,02	0,01	0,01
Al ₂ O ₃	21,36	21,10	21,27	21,13	26,35	21,47	21,02	21,76	21,00	21,15	20,97	21,49	20,92	20,90
Cr ₂ O ₃	0,03	0,01	0,04	0,04	0,02	0,04	0,00	0,07	0,01	0,02	0,04	0,04	0,00	0,02
FeO	32,13	32,64	31,76	32,57	0,25	32,59	32,29	33,36	32,09	32,48	32,07	33,16	33,33	33,13
MnO	2,50	3,45	2,01	3,63	0,00	5,05	4,45	3,34	5,02	4,23	4,31	4,19	3,19	2,76
MgO	4,51	2,99	5,04	3,51	0,09	2,79	2,80	3,78	2,80	2,81	2,93	3,16	3,04	3,00
CaO	1,54	1,66	1,41	1,47	6,33	1,48	1,55	1,58	1,47	1,53	1,57	1,55	1,56	1,55
Na ₂ O	0,00	0,02	0,00	0,02	6,58	0,02	0,03	0,01	0,04	0,01	0,01	0,01	0,01	0,01
K ₂ O	0,01	0,01	0,00	0,01	1,73	0,01	0,01	0,01	0,01	0,02	0,01	0,02	0,00	0,00
NiO	0,02	0,03	0,01	0,03	0,02	0,05	0,02	0,02	0,03	0,01	0,02	0,02	0,02	0,01
Toplam	99,76	99,16	98,84	99,64	99,66	101,7	99,31	102,4	99,53	99,48	99,05	101,7	98,55	98,57
FeOh	30,53	31,01	30,17	30,94	30,96	30,67	31,70	30,49	30,86	30,47	31,50	31,66	31,47	31,80
Fe ₂ O ₃ h	1,79	1,81	1,76	1,81	1,81	1,79	1,85	1,78	1,80	1,78	1,84	1,85	1,84	1,86
Top hes.	98,60	98,45	98,03	97,97	100,2	97,99	101,0	98,40	97,96	97,91	100,4	97,20	97,41	97,94
TSi	3,01	3,02	2,99	3,00	3,02	3,01	3,01	3,00	3,02	3,02	3,01	2,98	3,03	3,02
TAl	0,00	0,00	0,01	0,00	0,00	0,00	0,00	0,00	0,00	0,00	0,00	0,02	0,00	0,00
Top_T	3,01	3,02	3,00	3,00	3,02	3,01	3,01	3,00	3,02	3,02	3,01	3,00	3,03	3,02
Al ⁶	2,01	2,02	2,00	2,00	2,00	2,01	2,00	2,00	2,02	2,01	2,00	1,99	2,01	2,00
Fe ³⁺	0,11	0,11	0,11	0,11	0,11	0,11	0,11	0,11	0,11	0,11	0,11	0,11	0,11	0,11
Ti	0,00	0,00	0,00	0,00	0,00	0,00	0,00	0,00	0,00	0,00	0,00	0,00	0,00	0,00
Cr	0,00	0,00	0,00	0,00	0,00	0,00	0,00	0,00	0,00	0,00	0,00	0,00	0,01	0,00
Top_A	2,12	2,13	2,11	2,12	2,11	2,12	2,12	2,11	2,13	2,12	2,12	2,11	2,13	2,12
Fe ²⁺	2,04	2,10	2,03	2,09	2,05	2,08	2,07	2,07	2,09	2,07	2,09	2,16	2,15	2,15
Mg	0,54	0,36	0,60	0,42	0,33	0,34	0,44	0,34	0,34	0,36	0,37	0,37	0,37	0,36
Mn	0,17	0,24	0,14	0,25	0,34	0,31	0,22	0,35	0,29	0,30	0,28	0,22	0,19	0,21
Ca	0,13	0,14	0,12	0,13	0,13	0,14	0,13	0,13	0,13	0,14	0,13	0,14	0,14	0,13
Na	0,01	0,00	0,00	0,00	0,03	0,00	0,00	0,01	0,00	0,00	0,00	0,00	0,00	0,00
Top_B	2,88	2,85	2,89	2,88	2,87	2,87	2,87	2,88	2,86	2,86	2,87	2,89	2,84	2,86
Top_Kat	8,00	8,00	8,00	8,00	8,00	8,00	8,00	8,00	8,00	8,00	8,00	8,00	8,00	8,00
Alm	77,93	74,27	80,17	73,99	69,25	70,86	75,20	69,03	71,71	71,15	72,18	75,80	77,36	76,14
And	4,09	3,92	4,20	3,90	3,65	3,71	3,95	3,64	3,77	3,74	3,81	3,99	4,07	3,99
Gross	5,05	5,08	4,79	4,51	4,23	4,59	4,82	4,28	4,56	4,70	4,57	4,80	4,87	4,74
Pyrope	6,47	8,37	5,42	8,80	11,43	10,42	8,01	11,53	9,98	10,20	9,72	7,71	6,85	7,56
Spess	6,47	8,37	5,42	8,80	11,43	10,42	8,01	11,53	9,98	10,20	9,72	7,71	6,85	7,56

Fe³⁺ Schumacher(1991) ve üç üyeleri Deer ve diğ. (1992) göre hesaplanmıştır.

Çizelge 3.5 .Granat-biyotit-plajiyoklas gnayslarda yapılan temsili sillimanit analizleri

Analiz	1	2	3	25	26	81	82	83
SiO ₂	34,75	36,54	36,16	38,20	36,95	42,66	42,25	42,06
TiO ₂	0,01	0,03	0,02	0,01	0,01	0,00	0,02	0,01
Al ₂ O ₃	58,83	61,11	60,31	63,01	61,58	61,02	62,04	63,29
Cr ₂ O ₃	0,10	0,07	0,02	0,07	0,04	0,04	0,04	0,03
FeO*	0,18	0,30	0,23	0,25	0,19	0,74	0,62	0,49
MgO	0,00	0,00	0,00	0,00	0,00	0,44	0,33	0,23
MnO	0,00	0,03	0,03	0,03	0,05	0,00	0,02	0,03
CaO	0,00	0,01	0,02	0,02	0,00	0,20	0,16	0,11
Na ₂ O	0,00	0,01	0,01	0,01	0,01	0,14	0,05	0,06
K ₂ O	0,01	0,01	0,02	0,01	0,01	0,78	0,29	0,18
NiO	0,02	0,02	0,03	0,03	0,00	0,02	0,01	0,02
Toplam	93,90	98,13	96,85	101,64	98,84	106,04	105,83	106,51
Kationlar 20 oksijene göre hesaplanmıştır								
Si	3,999	4,025	4,034	4,060	4,037	4,367	4,318	4,267
Ti	0,001	0,003	0,002	0,001	0,001	0,000	0,002	0,001
Al	7,979	7,934	7,931	7,894	7,930	7,363	7,473	7,568
Fe	0,009	0,006	0,002	0,006	0,003	0,003	0,003	0,002
Cr	0,017	0,028	0,021	0,022	0,017	0,063	0,053	0,042
Mg	0,000	0,000	0,000	0,000	0,000	0,067	0,050	0,035
Mn	0,000	0,003	0,003	0,003	0,005	0,000	0,002	0,003
Ca	0,000	0,001	0,002	0,002	0,000	0,022	0,018	0,012
Na	0,000	0,002	0,002	0,002	0,002	0,028	0,010	0,012
K	0,001	0,001	0,003	0,001	0,001	0,102	0,038	0,023
Ni	0,002	0,002	0,003	0,003		0,002	0,001	0,002
Toplam	12,009	12,006	12,004	11,994	11,997	12,017	11,967	11,966
Al/Si	1,995	1,971	1,965	1,944	1,964	1,686	1,730	1,774

*toplam demir FeO olarak ölçülmüştür

Çizelge 3.6 Granat-biyotit-plajiyoklas gnayslarda yapılan temsili antofillit analizleri

Analiz	68	69	70	72	75	76	77	78	82	83	84	85	92	93
SiO ₂	47,97	50,23	50,6	54,64	50,88	46,88	50,22	48,53	46,5	51,72	50,23	49,94	49,2	49,57
TiO ₂	0,11	0,12	0,06	0,02	0,06	0,10	0,02	0,12	0,06	0,03	0,05	0,03	0,08	0,09
Al ₂ O ₃	0,82	0,78	3,24	8,51	1,93	2,05	2,57	2,78	2,78	4,95	1,81	1,67	2,34	1,99
Cr ₂ O ₃	0,04	0,01	0,00	0,04	0,04	0,04	0,02	0,04	0,00	0,04	0,03	0,01	0,01	0,01
FeO*	31,93	34,54	31,79	20,2	30,89	33,68	29,73	32,17	27,64	26,42	30,72	34,57	32,74	32,95
MnO	1,03	1,05	1,03	0,56	1,59	1,49	1,44	1,91	1,29	1,25	1,36	1,46	1,34	1,39
MgO	11,51	12,33	11,53	7,88	11,76	11,43	10,96	9,71	9,66	10,23	11,93	12,64	12,61	12,01
CaO	0,51	0,47	1,14	2,67	0,22	0,25	0,26	1,3	0,54	0,9	0,24	0,23	0,39	0,26
Na ₂ O	0,32	0,07	0,48	2,23	0,1	0,03	0,32	0,27	0,05	0,97	0,11	0,04	0,10	0,03
K ₂ O	0,13	0,02	0,06	0,23	0,06	0,01	0,01	0,19	0,22	0,00	0,02	0,01	0,06	0,04
NiO	0,02	0,02	0,02	0,02	0,01	0,01	0,03	0,00	0,07	0,01	0,02	0,02	0,03	
Top	94,39	99,64	99,95	97	97,55	95,97	95,56	97,05	88,74	96,58	96,51	100,6	98,89	98,37
Katyon oranları 23 oksijene göre hesaplanmıştır														
T Si	7,138	7,055	7,1	8,024	7,263	6,836	7,334	7,103	7,337	7,502	7,236	6,918	6,919	7,026
T Al	0,144	0,129	0,468	0,214	0,264	0,351	0,282	0,445	0,322	0,395	0,271	0,273	0,387	0,332
T Fe ³⁺	0,718	0,817	0,431	0	0,473	0,812	0,384	0,452	0,341	0,104	0,493	0,809	0,694	0,642
Top_T	8	8	8	8,239	8	8	8	8	8	8	8	8	8	8
C Al	0,000	0,000	0,067	1,257	0,061	0,000	0,161	0,034	0,194	0,451	0,036	0,000	0,000	0,000
C Cr	0,004	0,002	0,001	0,004	0,005	0,004	0,002	0,004	0,001	0,004	0,004	0,001	0,001	0,001
C Fe ³⁺	1,351	1,437	1,381	1,013	1,265	1,575	1,305	1,499	1,358	1,392	1,295	1,494	1,462	1,46
C Ti	0,012	0,012	0,007	0,003	0,006	0,011	0,002	0,014	0,008	0,003	0,005	0,003	0,009	0,009
C Mg	2,553	2,583	2,412	1,725	2,503	2,485	2,387	2,118	2,271	2,212	2,562	2,611	2,643	2,537
C Fe ²⁺	1,019	0,909	1,075	0,965	1,071	0,84	1,06	1,22	1,088	0,866	1,021	0,812	0,811	0,915
C Mn	0,061	0,058	0,057	0,033	0,089	0,086	0,083	0,111	0,08	0,072	0,077	0,08	0,074	0,078
Top_C	5	5	5	5	5	5	5	5	5	5	5	5	5	5
B Fe ²⁺	0,887	0,896	0,844	0,503	0,88	0,88	0,883	0,766	0,86	0,843	0,892	0,89	0,884	0,889
B Mn	0,07	0,067	0,065	0,037	0,103	0,099	0,096	0,126	0,092	0,082	0,089	0,092	0,085	0,09
B Ca	0,081	0,071	0,172	0,421	0,033	0,039	0,041	0,203	0,091	0,139	0,037	0,034	0,059	0,04
B Na	0,043	0,009	0,061	0,539	0,013	0,004	0,042	0,036	0,007	0,128	0,014	0,004	0,013	0,004
Top_B	1,081	1,042	1,141	1,498	1,028	1,022	1,061	1,131	1,05	1,193	1,031	1,02	1,04	1,022
A Na	0,05	0,01	0,069	0,097	0,015	0,005	0,048	0,041	0,008	0,146	0,016	0,005	0,015	0,004
A K	0,024	0,004	0,01	0,044	0,01	0,003	0,001	0,036	0,044	0,001	0,003	0,002	0,011	0,007
Top_A	0,074	0,014	0,079	0,141	0,025	0,007	0,05	0,077	0,053	0,146	0,019	0,007	0,026	0,011
Top_K	14,16	14,06	14,22	14,88	14,05	14,03	14,11	14,21	14,1	14,34	14,05	14,03	14,07	14,03
Top_O	22,36	22,3	22,43	23,81	22,34	22,24	22,47	22,49	22,53	22,88	22,32	22,23	22,25	22,28

* toplam demir FeO olarak ölçülmüştür, Mg# = Mg/(Mg+Fe²⁺), Al^T: toplam Al Fe³⁺ Schumacher (1997)'e göre stakiyometrik olarak hesaplanmıştır.

Kordiyerit genellikle elips veya dairesel şekilli kristaller halindedir. Granatların kırık ve kenarları boyunca reaksiyon zarfı olarak (Şekil 3.5 A) ve biyotit yönelimleri içerisinde serizitik hamur halinde görülür (Şekil 3.5 B). Plajiyoklas ile benzer rölyef ve çift kırılmaya sahip olan kordiyerit, serizitlenmiş ve benekler şeklinde opaklaşmış olması (pinitleşme) ile ondan ayrılır. Sillimanit, biyotit yönelimleri içerisinde granat ve kordiyerit ile birlikte bulunur. Yer yer kendisi de yönelim oluşturur. Genellikle kareye yakın dairesel şekilli kafa kesitlerine rastlanan sillimanitlerin yer yer çubuk şekilli (Şekil 3.5 C) kesitlerine de rastlanmaktadır. Bunların temsili mikropirob analizleri sonucunda % 58-63 Al₂O₃, % 34-42 SiO₂ içerdikleri ve Al/ Si oranlarının ~2/1 olduğu tespit edilmiştir (Çizelge 3.5). Ortorombik amfibol biyotitlerle birlikte yönelimler oluştur ve saçılım küçük taneler halindedir. Amfibolit

Çizelge 3.7. Diğer gnayşların gözlemsel mineralojisi

Örnek	Plj*	Q	Or	Bi ⁺	Mu	Grn	Ep	Zr	Ap	Op ⁺
36	45-50	20-25	15-20	-	10-15	-	-	-	-	1-2
37	25-30	30-35	10-15	15-20	-	-	-	-	-	1-2
39	40-45	25-30	-	-	20-25	1-5	-	-	-	1-2
63	30-35	65-70	-	-	-	-	-	-	-	1-2
102	30-35	35-40	1-5	10-15	-	-	1-5	-	-	1-2
306	25-30	40-45	-	5-10	10-15	-	-	-	-	1-2
309	20-25	40-45	-	15-20	10-15	-	-	-	<1	1-2
326	35-40	45-50	-	10-15	-	-	-	-	<1	1-2
327	35-40	35-40	-	10-15	-	-	5-10	-	-	1-2
328	50-55	35-40	-	5-10	-	-	-	<1	<1	1-2
330	55-60	20-25	-	10-15	-	-	1-5	-	<1	1-2
482	25-30	30-35	15-20	-	20-25	-	-	-	<1	1-2
483	25-30	25-30	10-15	5-10	10-15	-	1-5	-	-	1-2
485	50-55	1-5	20-25	15-20	-	-	-	<1	<1	1-2
486	25-30	45-50	-	10-15	-	-	1-5	<1	-	1-2
488	40-45	40-45	-	-	-	-	5-10	-	-	1-2
490	20-25	30-35	-	30-35	-	-	1-5	<1	-	1-2
507	45-50	20-25	10-15	-	1-5	-	-	-	-	1-2
508	35-40	10-15	25-30	-	1-5	1-5	-	-	-	1-2
519	50-55	10-15	-	20-25	1-5	-	-	-	-	1-2
521	35-40	25-30	-	20-25	1-5	-	-	-	-	1-2
524	25-30	35-40	-	15-20	1-5	-	1-5	-	-	1-2
527	30-35	25-30	-	25-30	-	-	1-5	-	-	-1-2
646	25-30	35-40	1-5	5-10	5-10	-	-	-	-	1-2
647	25-30	35-40	1-5	5-10	-	-	-	<1	-	1-2
650	55-60	35-40	-	1-5	-	-	-	<1	<1	1-2
659	35-40	40-45	1-5	-	-	-	5-10	<1	-	1-2
836	30-35	40-45	-	5-10	-	-	1-5	<1	-	1-2
873	20-25	25-30	20-25	1-5	5-10	-	1-5	<1	<1	1-2

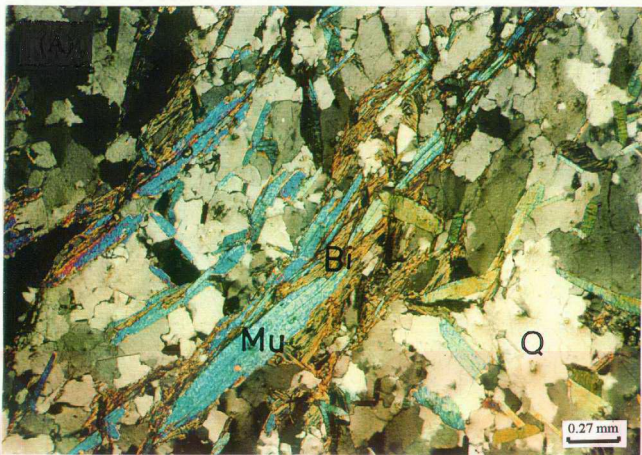
Plj = plajiyoklas, Q = kuvars, Or = ortoklas, Bi = biyotit, Mu = muskovit,
Alm = almandin, Ep = epidot, Zr = zirkon, Ap = apatit, Op = opak mineraller

fasiyesi kayaçlarında; granat, kordiyerit ve alüminosilikatlar ile birlikte bulunabilen ortorombik amfibollerin mikropirop analizleri (Çizelge 3.6) sonucunda antofillit, kısmen de antofillit-gedrit geçişinde yer aldıkları belirlenmiştir (Leake, 1978).

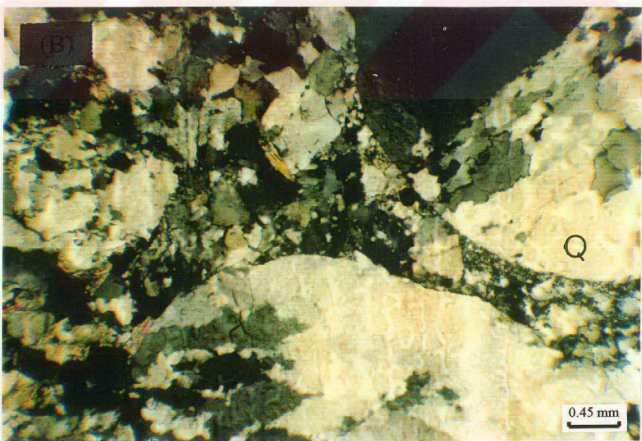
Karadağ metamorfitleri içerisindeki diğer gnayalar makroskopik olarak açık sarı-turuncu ve gri-beyaz renklerdedirler. Mineralojik bileşimleri Çizelge 3.7 de verilmiştir. Oldukça bol miktarlarda sodik plajiyoklas ve kuvars içerirler. Muskovit ve biyotit birlikte ve nispeten yaygın olarak; K'lu feldspat genellikle az; granat ise bazı kesitlerde ve çok az oranlarda bulunur. Epidot çatlaklar boyunca ve yer yerde kümülofirk olarak görülür. Tali mineraller olarak zirkon ve apatit; opak mineraller olarak da protin, manyetit, rutil ve ilmenit bulundururlar. Minerallerin mikroskopik özellikleri granat-biyotit-plajiyoklas gnayaların benzediğinden burada tekrar edilmeyecektir.

3.1.2.3.2. Şistler

Şistler, Karadağ metamorfitlerinin en çok ayıran kayaç grubu olduklarından toprak örtüsünün en fazla geliştiği alanları oluştururlar. Bu nedenle bunlardan fazla sayıda örnek alınamamıştır. Alınanlarında sadece bir kaçından ince kesit hazırlanmıştır. Gnays ve kuvarsitler ile ardisıklı seviyeler halindeki şistler, gri-kahve görünümleri ile onlardan kolaylıkla ayırt edilirler. Ancak biyotitlerin yoğun bir şekilde kloritleştiği yerlerde yeşilimsi kahve veya gri-yeşil renklerde de görülürler. Makroskopik olarak son derece belirgin, 0.1-0.3 mm genişliğinde, düzgün ayrık foliasyon yapısı gösterirler (Bkz. Şekil 3.4). Genellikle yassı düzlemler şeklindeki foliasyon yüzeyleri yer yer ondüleli veya milimetre ölçügede kıvrımlı yapılar oluştururlar. Bu şekildeki mikro kıvrımlar muskovit (% 5-40) ve biyotitlerin (% 0-30) yüksek oranlarda olduğu kısımlarda görülmektedir. Muskovit ve biyotit bakımından zengin olanlar lepidoblastik dokuya sahiptir (Şekil 3.6). Bunlar çubuk ve yer yer kenar kısımları kare veya dikdörtgen şekilli lepidoblastlar halindedirler ve çok düzgün yönelimler oluştururlar (Şekil 3. 6). Kuvars (% 10-50) ve plajiyoklas (% 5-20) içeriklerinin arttığı örneklerde lepidogranoblastik ve hatta granolepidoblastik dokular da görülebilmektedirler. Son derece düzensiz şekilli kuvarlar genellikle sürekli ve kısmen de sürekli önemliler oluşturur (Şekil 3.6). Plajiyoklas (% 5-20) kenarları aşındırılmış,



Şekil 3.6. Kuvars mika şistlerde gözlenen dokular ve mineraller (Çift nikol; Q: kuvars, Bi: biyotit, Mu: muskovit)



Şekil 3.7. Kuvarsitlerde gözlenen taneli doku (Çift nikol; A: Q: kuvars)

Çizelge 3.8: Şistlerin gözlemsel mineralojisi

Örnek	Plj*	Q	Or	Bi†	Mu	Ep	Zr	Ap	Op‡
15	1-5	60-65	-	15-20	15-20	-	<1	-	1-2
17	5-10	20-25	50-55	-	5-10	-	<1	-	-
37	25-30	30-35	10-15	15-20	-	-	-	-	1-2
38	5-10	15-20	-	25-30	50-55	-	-	-	1-2
46	20-25	55-60	-	-	20-25	-	-	-	1-2
47	30-35	20-25	15-20	15-20	10-15	-	-	-	1-2
408	5-10	85-90	-	-	1-5	-	-	<1	1-2
481	20-25	30-35	5-10	10-15	10-15	1-5	-	-	1-2

Plj = plajiyoklas, Q = kuvars, Or = ortoklas, Bi = biyotit, Mu = muskovit, Ep = epidot, Zr = zirkon, Ap = apatit, Op = opak mineraller

dairesel ve yer yer uzun kristaller şeklindedir. Çoğunlukla tamamen serizitleşmişlerdir ve sürekli olmayan yönelikler oluştururlar. Opak mineraller olarak; manyetit, pirotin rutil ve ilmenit bulundururlar. Tali mineraller olarak apatit ve zirkon içerirler. Serizit plajiyoklasların; klorit ise biyotitlerin ayıurma ürünü olarak görülmektedir. Şistler mineralojik bileşimlerine göre (Çizelge 3.8) iki mikali şist, muskovit-plajiyoklas-kuvars şist, kuvars-biyotit-muskovit şist, biyotit-muskovit kuvars şist, biyotit-muskovit-plajiyoklas-kuvars-şist gibi alt gruplara ayrılabilirler.

3.1.2.3.3. Kuvarsitler

Kuvarsitler genellikle gnays ve şistler ile ardışıklı seviyeler ve bu seviyeleri kesen damarlar halinde görülmektedirler. Ardışıklı olanlar gri kahve görünümü ile gnays ve şistlere benzediklerinden ayırt edilmeleri zordur. Ancak dikkat edildiğinde elipsoid şekilli kuvars taneleri içerdikleri görülür. Tanelerin boyları genellikle 1-3 mm kadardır. Bu şekilde kuvars kumtaşı görünümündedirler. Bu yapı mikroskopik olarak da görülebilmektedir (Şekil 3.7). Bunlar çoğunlukla dairesel ve elips şekilli taneler halindedirler. Tek nikolde elips şekilli iri kuvars tanelerinin çift nikolde “alt tane oluşumu” adı verilen ve gayet belirgin yönelikler oluşturan küçük kuvarslardanoluştugu görüülür. Damar şeklindeki kuvarsitler ise 10-30 cm kalınlığında açık gri beyaz ve süt beyaz görünümü ile kolaylıkla ayırt edilirler. Mikroskopik olarak tamamına yakını kuvarslardan (% 95-98) meydana gelen kuvarsitlerin yer yer muskovit (% 0-5) içerdiği de görülür.

3.1.2.3.4. Amfibolitler

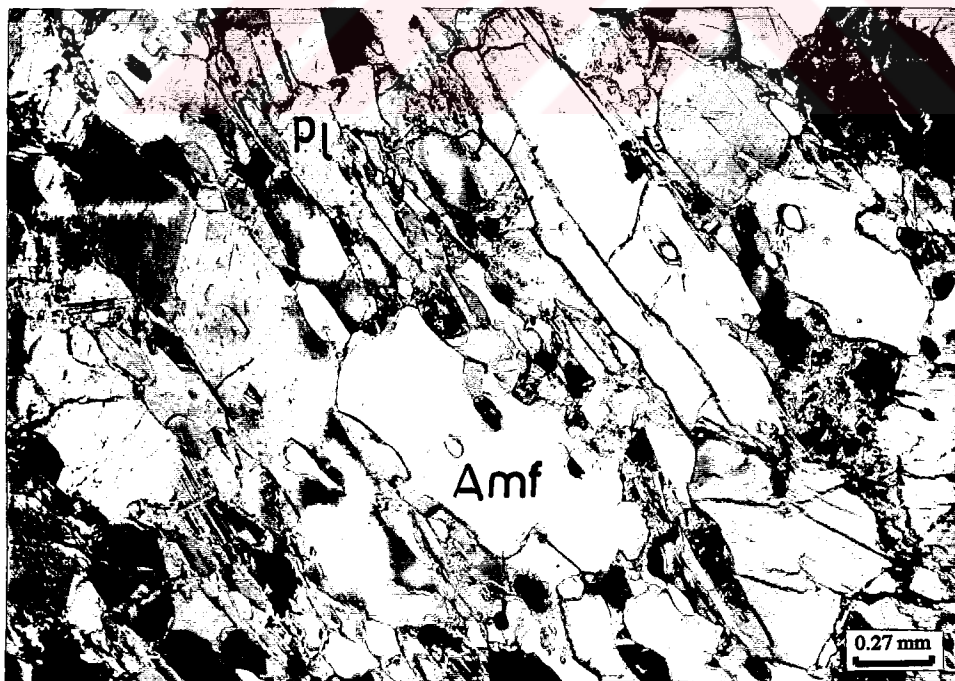
Amfibolitler, Karadağ metamorfitleri içinde mercek şeklinde koyu gri-siyah alanlar oluştururlar. En yaygın olarak Demirkent Beldesi'nin doğusunda yüzeylenirler. Mercek kalınlıkları 5-10 m arasında değişir. Makroskopik olarak az belirgin, 1-2 mm genişliğinde ayırt foliasyon yapısı gösterirler (Bkz Şekil 3.4). Amfibolitlerde genel olarak granoblastik doku hakimdir. Bazı numunelerde bu doku granoblastik poligonal doku şeklindedir (Şekil 3.8). Hornblendin çok yüksek oranlarda bulunduğu örneklerin bazlarında ise belirgin bir şisti doku da görülmektedir (Şekil 3.9). Amfibolitlerde klivaj alanlarını genellikle amfibol ve kısmen de klinopiroksen; mikrolithon alanlarını ise plajiyoklas ve nadir olarak da kuvars oluşturmaktadır. Mineralojik olarak fazla çeşitlilik göstermezler. Oldukça bol miktarda andezin türü plajiyoklas (% 40-60) ve hornblend (% 20-50) içerirler. Klinopiroksenler (% 5-40) bazı kesitlerde ve oldukça yaygın olarak görülmektedir. Kuvars (% 5-20) bazı kesitlerde ve çok az miktarlardadır. Tali mineraller olarak apatit ve zirkon, opak mineraller olarak da manyetit (yer yer hematit'e dönüşmüş), rutil ve ilmenit bulundururlar. Çoğunlukla andezin-hornblend gnays bileşimindeki amfibolitler (Çizelge 3.9) içerisinde yer yer andezin-hornblend sist, ve klinopiroksen-hornblend-andezin gnayslara da rastlanır.

Çizelge 3.9. Amfibolitlerin gözlemsel mineralojisi

Örnek	Plj*	Q	Horn	Kpir	Bi	Ep	Zr	Ap	Op*
56	35-40	-	35-40	15-20				<1	1-2
59	40-45	15-20	30-35	-	-	-	-	-	1-2
520	30-35	5-10	45-50	-		1-5			1-2
657	40-45		50-55	-	-	1-5	-	<1	1-2
823	35-40	-	35-40	15-20				<1	1-2
824	50-55	10-15	20-25	1-5	1-5			<1	1-2
825	40-45	15-20	30-35	-	-	-	-	-	1-2
832	45-50	-	30-35	5-10	-	-	-	-	1-2
833	55-60	-	35-40	-	-	-	-	-	1-2
834	35-40	-	25-30	25-30	-		<1	<1	5-6
908	50-55	-	35-40	-	-	1-5	-	-	1-2
909	50-55	-	40-45	-	-	-	-	-	1-2

Plj = plajiyoklas, Q = kuvars, Bi = biyotit, Horn = hornblend, Kpir = klinopiroksen,
Ep = epidot, Zr = zirkon, Ap = apatit, Op = opak mineraller

Şekil 3.8. Amfibolitlerde gözlenen granoblastik doku. Kayaçta ilksel olarak bulunan klinopiroksenler amfibolleşmiş (uralitleşme), opaklaşmış, kloritleşmiş ve kalsitleşmişlerdir. Amfiboller ise amfibolit fasiyesinin tipik minerali olduklarından taze görünümlüdürler. Çift Nikol; Kesit no: 834 (Kp: klinopiroksen, Amf: amfibol; Pl: plajiyoklas)



Şekil 3.9. Amfibolitlerde gözlenen şisti doku. Çift Nikol; Kesit no 520 (Amf: amfibol, Pl: plajiyoklas)

Plajiyoklas dairesel veya elips ve yer yer de kısmen köşeli taneler halindedir. Bazıları zonlu olan plajiyoklaslar yer yer yönelik oluştururlar. Genellikle serizitlenmiş ve yer yer hidrogranata dönüşümlerdir. Mikropirop analizleri sonucunda labradorit (An_{50-64}) ve andezin (An_{31-50}) bileşiminde oldukları tespit edilmiştir (Çizelge 3.10). Hornblend genellikle yassı ve kısmen de köşeli taneler halindedir. Köşeli olanlarda genellikle iki dilinim birden görülür ve plajiyoklas ile birlikte yer yer granoblastik poligonal doku oluşturur. Bazlarında yapışma yüzeyi 100 olan ikizleri görülür. Yönelim oluşturanlar lepidoblastik dokuya benzer bir doku sunarlar (Şekil 3.8). Bazı kesitlerde opak minerallerin poikiloblastlar halinde hornblendler üzerinde toplandıkları görülmektedir. Mikropirop analizleri sonucunda magneziyo-hornblend (Çizelge 3.11) bileşiminde oldukları tespit edilmiştir (Leake, 1978). Klinopiroksen bazı kesitlerde görülür ve kısmen köşeli taneler halindedir. Genellikle tek dilinimleri belirgindir. Bazı kesitlerde sadece hornblende dönüşen klinopiroksenler diğer bazlarında ise horblend, kalsit, siderit ve hematit'e dönüşmüşlerdir. Bu tür kesitlerde opak minerallerin (hematit) bariz olarak benekler şeklinde sadece klinopiroksenler üzerinde toplandıkları görülür. Klinopiroksenler hornblendlerle beraber yan yana bulundukları halde hematitlerin sadece klinopiroksenler üzerinde yoğunlaşması, bunların piroksenlerin ayırtma ürünü olduklarına işaret etmektedir (Bkz Şekil 3.9). Kuvars çok az sayıdaki kesitte görülen, sürekliliği olmayan bireysel taneler halindedir. Serizit ve hidrogranat plajiyoklasların; klorit biyotitlerin; kalsit, siderit ve hematit klinopiroksenlerin ayırtma ürünüdür.

3.1.2.4. Jeotermobarometri

Karadağ metamorfiterindeki jeotermobarometri çalışmaları granat-biyotit-plajiyoklas gnayslar ve amfibolitlerde yapılmıştır. Granat-biyotit-plajiyoklas gnayslardaki jeotermometri hesaplamaları granat-biyotit Fe-Mg değişim termometresi (Ferry ve Spear, 1978); jeobarometri hesaplamaları da granat-biyotit-plajiyoklas-kuvars (GBPQ) jeobarometrisi (Höisch, 1990) esasına göre yapılmıştır. Amfibolitlerdeki jeotermometri hesaplamaları ise plajiyoklas-amfibol jeotermometrisi (Spear, 1980; Blundy ve Holland, 1990), jeobarometri hesaplamaları da Al-jeobarometrisi (Hammarstrom ve Zen, 1986; Hollister ve dig., 1987; Johnson ve Rutherford, 1989; Schmidt, 1991) esasına göre yapılmıştır.

Çizelge 3.10. Amfibolitlerde yapılan temsili plajiyoklas analizleri

Analiz	102	103	106	107	111	112	115	116	118
SiO₂	52,17	55,72	54,07	53,83	56,77	56,05	59,55	60,36	60,69
TiO₂	0,00	0,00	0,01	0,12	0,01	0,01	0,01	0,01	0,00
Al₂O₃	30,69	28,49	28,01	26,53	27,35	28,38	24,42	24,33	25,29
Cr₂O₃	0,02	0,03	0,04	0,04	0,01	0,02	0,00	0,04	0,00
FeO*	0,11	0,18	0,07	0,10	0,34	0,08	0,06	0,10	0,07
MnO	0,03	0,00	0,01	0,00	0,03	0,02	0,01	0,03	0,03
MgO	0,00	0,00	0,00	0,02	0,15	0,00	0,00	0,01	0,00
CaO	13,54	10,85	11,02	9,47	9,99	10,70	6,41	6,30	6,84
Na₂O	4,06	5,70	5,29	5,65	6,04	5,80	7,45	7,73	7,49
K₂O	0,07	0,02	0,03	0,05	0,03	0,04	0,14	0,13	0,11
NiO	0,01	0,01	0,00	0,01	0,02	0,01	0,02	0,05	0,01
Total	100,70	101,00	98,55	95,82	100,74	101,11	98,07	99,09	100,53
Katyonlar 32 oksijene göre hesaplanmıştır									
Si	9,418	9,952	9,901	10,097	10,150	9,990	10,793	10,832	10,738
Ti	0,000	0,000	0,002	0,021	0,002	0,002	0,002	0,002	0,000
Al⁴	2,582	2,048	2,099	1,903	1,850	2,010	1,207	1,168	1,262
Al⁶	3,948	3,949	3,946	3,962	3,914	3,952	4,010	3,978	4,012
Cr	0,003	0,004	0,006	0,006	0,001	0,003	0,000	0,006	0,000
Fe	0,017	0,027	0,011	0,016	0,051	0,012	0,009	0,015	0,010
Mg	0,008	0,000	0,003	0,000	0,008	0,005	0,003	0,008	0,008
Mn	0,000	0,000	0,000	0,003	0,023	0,000	0,000	0,002	0,000
Ca	2,619	2,076	2,162	1,903	1,914	2,043	1,245	1,211	1,297
Na	1,421	1,974	1,878	2,055	2,094	2,004	2,618	2,689	2,569
K	0,016	0,005	0,007	0,012	0,007	0,009	0,032	0,030	0,025
Ni	0,002	0,002	0,000	0,002	0,004	0,002	0,004	0,009	0,002
	20,034	20,037	20,014	19,980	20,016	20,032	19,922	19,950	19,922
An	64,571	51,211	53,425	47,944	47,676	50,373	31,960	30,821	33,329
Ab	35,032	48,677	46,402	51,755	52,154	49,403	67,209	68,422	66,033
Or	0,397	0,112	0,173	0,301	0,170	0,224	0,831	0,757	0,638

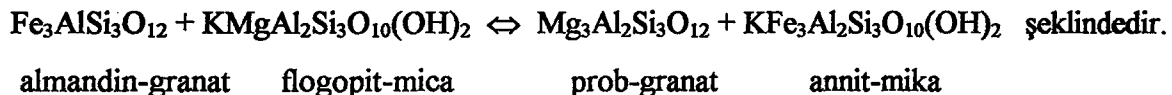
* toplam demir FeO olarak ölçülmüştür.

Çizelge 3.11. Amfibolitlerde yapılan temsili amfibol (hornblend) analizleri

Analiz	97	98	99	100	101	104	105	108	109	110	113	114	117	119	120
SiO ₂	45,7	46,8	45,4	46,0	46,8	46,0	44,8	45,7	46,1	45,9	46,8	45,0	55,0	51,2	52,4
TiO ₂	1,2	1,2	1,2	1,2	1,3	1,2	1,1	1,2	1,2	1,0	1,3	1,2	0,1	0,1	0,1
Al ₂ O ₃	10,6	10,8	10,7	12,0	11,4	12,2	12,0	10,5	11,4	12,4	11,1	11,7	2,0	4,4	4,6
Cr ₂ O ₃	0,1	0,1	0,1	0,1	0,1	0,1	0,1	0,1	0,1	0,0	0,1	0,0	0,0	0,0	0,0
FeO*	12,0	12,0	12,5	12,7	12,7	12,8	12,6	11,7	12,7	12,5	12,4	12,3	29,8	26,2	27,0
MnO	0,2	0,2	0,2	0,3	0,3	0,3	0,2	0,2	0,2	0,2	0,2	0,3	1,4	1,3	1,4
MgO	13,7	13,9	13,6	13,4	13,9	13,5	13,2	13,7	13,8	13,6	14,1	13,2	10,6	9,7	9,9
CaO	10,6	11,2	10,5	10,6	10,7	10,7	10,5	10,7	11,1	10,8	11,0	10,9	0,2	0,9	0,9
Na ₂ O	1,3	1,3	1,2	1,6	1,4	1,7	1,6	1,2	1,5	1,8	1,4	1,7	0,0	1,2	1,0
K ₂ O	0,2	0,2	0,2	0,3	0,3	0,2	0,2	0,2	0,3	0,2	0,2	0,2	0,1	0,2	0,2
NiO	0,0	0,0	0,0	0,0	0,0	0,0	0,0	0,1	0,0	0,0	0,0	0,0	0,0	0,0	0,0
Total	95,7	97,9	95,6	98,1	98,8	98,8	96,2	95,1	98,3	98,2	98,6	96,5	99,2	95,3	97,6
Kationlar 23 oksijene göre hesaplanmıştır															
T Si	6,70	6,72	6,66	6,59	6,65	6,56	6,56	6,73	6,61	6,56	6,67	6,58	7,74	7,59	7,57
T Al	1,30	1,28	1,34	1,41	1,35	1,45	1,44	1,27	1,40	1,44	1,33	1,42	0,15	0,36	0,36
T Fe ³⁺	0,00	0,00	0,00	0,00	0,00	0,00	0,00	0,00	0,00	0,00	0,00	0,00	0,25	0,10	0,11
Top_T	8,00	8,00	8,00	8,00	8,00	8,00	8,00	8,00	8,00	8,00	8,00	8,00	8,14	8,05	8,04
C Al	0,53	0,55	0,51	0,63	0,55	0,60	0,63	0,55	0,52	0,65	0,53	0,59	0,17	0,41	0,41
C Cr	0,01	0,01	0,01	0,01	0,01	0,01	0,01	0,01	0,01	0,00	0,01	0,01	0,00	0,00	0,00
C Fe ³⁺	0,48	0,41	0,56	0,51	0,53	0,53	0,50	0,45	0,49	0,50	0,48	0,42	1,38	1,42	1,42
C Ti	0,13	0,13	0,13	0,13	0,13	0,12	0,13	0,13	0,11	0,14	0,13	0,01	0,01	0,01	0,01
C Mg	2,99	2,97	2,96	2,86	2,93	2,88	2,87	3,00	2,94	2,89	2,98	2,87	2,23	2,14	2,14
C Fe ²⁺	0,84	0,91	0,82	0,85	0,82	0,84	0,87	0,85	0,90	0,84	0,85	0,97	1,13	0,94	0,94
C Mn	0,01	0,01	0,02	0,02	0,02	0,02	0,00	0,01	0,01	0,01	0,01	0,02	0,08	0,08	0,08
C Ca	0,00	0,00	0,00	0,00	0,00	0,00	0,00	0,00	0,00	0,00	0,00	0,00	0,00	0,00	0,00
Top_C	5,00	5,00	5,00	5,00	5,00	5,00	5,00	5,00	5,00	5,00	5,00	5,00	5,00	5,00	5,00
B Mg	0,00	0,00	0,00	0,00	0,00	0,00	0,00	0,00	0,00	0,00	0,00	0,00	0,00	0,00	0,00
B Fe ²⁺	0,14	0,12	0,15	0,16	0,16	0,16	0,16	0,14	0,13	0,15	0,14	0,12	0,75	0,79	0,80
B Mn	0,01	0,02	0,02	0,02	0,02	0,02	0,00	0,01	0,01	0,01	0,01	0,02	0,09	0,09	0,09
B Ca	1,67	1,71	1,65	1,62	1,63	1,63	1,65	1,69	1,70	1,65	1,67	1,71	0,03	0,15	0,14
B Na	0,18	0,15	0,17	0,20	0,19	0,20	0,19	0,17	0,16	0,19	0,17	0,16	0,01	0,20	0,17
Top_B	2,00	2,00	1,99	2,00	2,00	2,00	2,00	2,00	2,00	2,00	2,00	2,00	0,88	1,22	1,19
A Ca	0,00	0,00	0,00	0,00	0,00	0,00	0,00	0,00	0,00	0,00	0,00	0,00	0,00	0,00	0,00
A Na	0,21	0,22	0,18	0,25	0,20	0,28	0,28	0,19	0,25	0,30	0,22	0,32	0,00	0,13	0,11
A K	0,04	0,04	0,05	0,05	0,05	0,04	0,04	0,04	0,05	0,03	0,04	0,04	0,01	0,03	0,04
Top_A	0,25	0,25	0,22	0,30	0,25	0,32	0,32	0,22	0,29	0,33	0,26	0,36	0,01	0,16	0,16
Top_cat	15,2	15,3	15,2	15,3	15,2	15,3	15,3	15,2	15,3	15,3	15,3	15,4	14,0	14,4	14,4
Top_ok	23,0	23,0	23,0	23,1	23,0	23,0	23,0	23,0	23,0	23,0	23,0	23,0	22,7	23,0	23,0
(Ca+Na)	1,85	1,87	1,82	1,82	1,83	1,83	1,84	1,85	1,86	1,84	1,85	1,86	0,04	0,34	0,30
B															
Mg#	0,75	0,74	0,75	0,74	0,75	0,74	0,74	0,75	0,74	0,74	0,75	0,72	0,54	0,55	0,55
Al ^T	1,83	1,83	1,85	2,03	1,90	2,05	2,06	1,82	1,91	2,09	1,86	2,02	0,32	0,77	0,77

* toplam demir FeO olarak ölçülmüştür, Mg# = Mg/(Mg+Fe²⁺), Al^T: toplam Al Fe³⁺ Schumacher (1991)' e göre stakiyometrik olarak hesaplanmıştır.

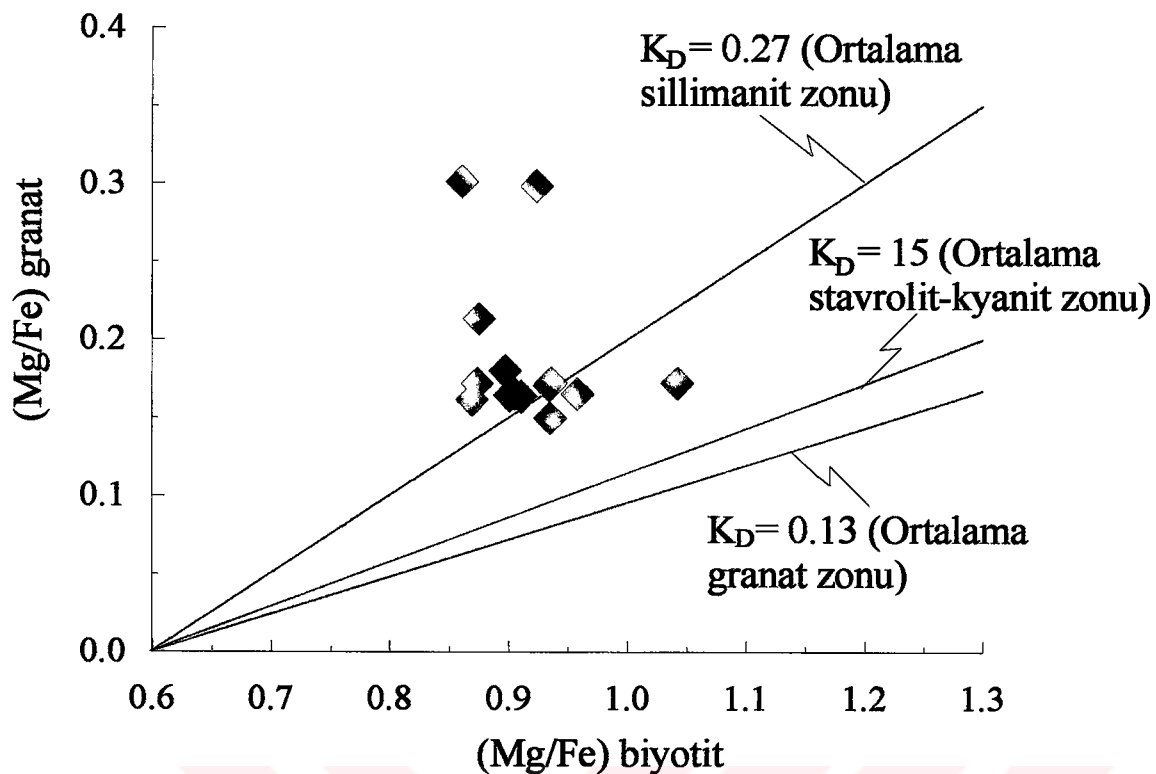
Birlikte oluşan granat ve biyotit arasındaki $\text{Fe} \leftrightarrow \text{Mg}$ değişim reaksiyonu;



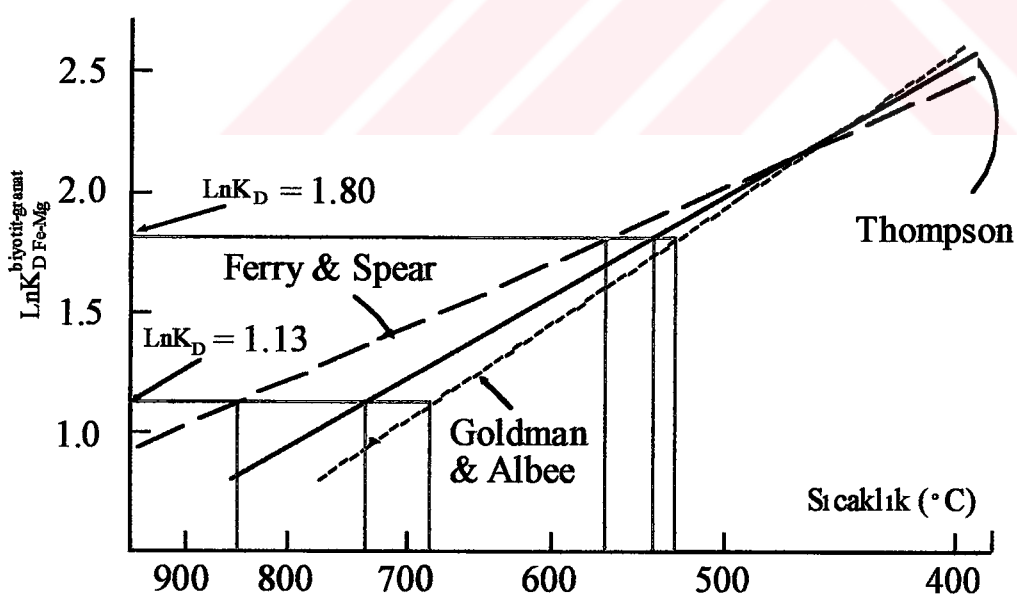
Bu denklem Mg ve Fe bakımından $\text{MgFe(gt)} \leftrightarrow \text{MgFe(bi)}$ şeklinde de yazılmalıdır. Burada dağılım katsayısı $K_D = (\text{Mg}/\text{Fe})^{\text{bi}}/(\text{Mg}/\text{Fe})^{\text{gt}}$ olarak tanımlanmaktadır (Ferry ve Spear, 1978). Ferry ve Spear (1978), $\text{Fe} \leftrightarrow \text{Mg}$ değişim termometresinin düşük Ca ve Mg içerikli granatlar ve düşük Ti içerikli biyotitler ile sınırlı olduğunu ileri sürmektedirler. Granat-biyotit-plajiyoklas gnayslardaki granatlar düşük Ca ve Mg içerikleri; biyotitler de genel olarak % 4'den düşük Ti içerikleri ile $\text{Fe} \leftrightarrow \text{Mg}$ değişim termometresi için uygun şartları oluştururlar. Bu termometrenin uygulanmasında diğer önemli bir problemede biyotitlerde tespit edilemeyen Fe^{3+} miktarıdır. Biyotitlerdeki demirin toplam demir cinsinden Fe^{2+} olarak hesaplanması ısı değerlerini önemli ölçüde düşürmektedir. Bu bakımından biyotitlerin Fe^{2+} ve Fe^{3+} katyon oranları toplam demir olarak ölçülen FeO miktarından stokiyometrik olarak hesaplanmıştır (Schumacher, 1991).

K_D 'nin farklı metamorfizma derecelerindeki değişimi Şekil 3.10' da görülmektedir (Baltazis, E., 1979). Ancak şekilde kullanılan dağılım katsayısında ($K_D = \text{Bi}/\text{Gr}$) biyotit ile granat yer değiştirmiştir. Granat biyotit-plajiyoklas gnayslarda değişim reaksiyonuna göre hesaplanan dağılım katsayıları genellikle 0.17-0.24 arasında değişmektedir. Bu değerler ortalama stavrolit-kiyanit zonu granat ve biyotitlerinin dağılım katsayılarına karşılık gelmektedir.

$\text{Ln}K_D$ değerleri granat ve biyotit çiftlerinin merkezi kısımlarından kenar kısımlarına doğru artmaktadır. $\text{Ln}K_D$ granat ve biyotitlerin kenar kısımlarında 1.5-1.8 arasında iken, merkezi kısımlarda 1.3- 1.5 arasındadır. Bu değerler Ferry ve Spear (1978), Thompson, (1976) ve Goldman ve Albee (1977) kalibrasyonlarının bulunduğu Sıcaklık- $\text{Ln}K_D$ diyagramına (Şekil 3.11) aktarıldığında granat-biyotit çiftlerinin merkezi kısımlar için Ferry ve Spear (1978)' e göre hesaplanan en yüksek sıcaklık 850 °C olarak bulunmuştur. Bu sıcaklık granat ve biyotit çiftlerinin karşılaştıkları en yüksek sıcaklık olarak düşünülmektedir.



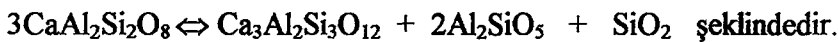
Şekil 3.10. Granat-biyotit çiftlerinin $(\text{Mg}/\text{Fe})_{\text{bi}} - (\text{Mg}/\text{Fe})_{\text{gt}}$ diyagramı. Farklı metamorfik zonlara ait granat-biyotit çiftlerinin Mg/Fe^{2+} dağılımları (Baltatzis, 1979' dan)



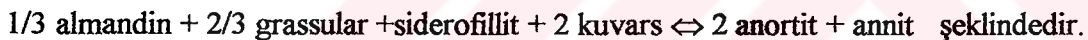
Şekil 3.11. Biyotit-granat K_D termometresi (Bohlen ve Essene, 1979' dan) ve granat-biyotit-plajiyoklaslardaki biyotit ve granatlarda hesaplanan $\text{Ln}K_D$ değerlerine göre bulunan sıcaklıklar.

Granat-biyotit çiftlerinin kenar kısımları için Ferry ve Spear (1978)' a göre hesaplanan en düşük sıcaklık ise 575 °C dir. Bu sıcaklık da granat ve biyotitlerin soğuma veya minerallerin kapanma sıcaklıkları olarak yorumlanabilir. Thompson (1976) ve Goldman ve Albee (1977)' ye göre kenar ve merkezi kısımlar için hesaplanan sıcaklıklar daha düşüktür.

Kordiyerit-Al₂SiO₅-granat-biyotit-muskovit-plajiyoklas-kuvars birlikteliğinden oluşan metamorfik kayaçlar için geliştirilen ilk jeobarometri, granat-plajiyoklas-Al₂SiO₅-kuvars (GBPQ) jeobarometrisidir (Ghent, 1976). Bu barometri için önerilen değişim reaksiyonu:



Granat-biyotit-plajiyoklas gnayslar; plajiyoklas - granat - kordiyerit - sillimanit - biyotit - antofilit - muskovit - ortoklas - kuvars birliktelikleri ile granat-plajiyoklas-Al₂SiO₅-kuvars jeobarometrisi için uygun mineralojik bileşime sahiptirler. Bu nedenle bunların oluşum basınçlarının hesaplanmasında Hoisch (1990) tarafından geliştirilen GBPQ jeobarometrisi kullanılmıştır. Bu jeobarometri için önerilen denge değişim reaksiyonu:



Bu reaksiyona göre oluşturulan jeobarometri:

$$P \text{ (bar)} = \frac{-46707.2 + 85.5824 T - RT \ln K_R - 30960.2(X_{\text{Al}}^B X_{\text{Fe}}^B) + 24289.6X_{\text{Mg}}^B + 37265.6X_{\text{Ti}}^B}{3.8996 \cdot 2/3 \Delta V_{\text{gr}}} \text{ dir.}$$

Burada, dağılım $K_R = \frac{(X_{\text{ann}}(a_{\text{an}}))^{2/3}}{(a_{\text{al}})^{1/3} (a_{\text{gr}})^{2/3} X_{\text{sid}}}$ katsayısı olarak verilmektedir.

Formüllerde kullanılan aktiviteler ve ΔV_{gr} nin hesaplanması:

Biyotitler;

$$X_{\text{ann}} = (X_{\text{Fe}}^B)^3 ; \quad X_{\text{flg}} = (X_{\text{Mg}}^B)^3 ; \quad X_{\text{sid}} = 6.75(X_{\text{Fe}}^B)^2 X_{\text{Al}}^B \quad X_{\text{eas}} = 6.75(X_{\text{Mg}}^B)^2 X_{\text{Al}}^B$$

Burada,

$$X_{\text{Mg}}^B = \text{Mg}/3 ; \quad X_{\text{Fe}}^B = \text{Fe}/3 ; \quad X_{\text{Al}} = (\text{Al} + \text{Si} - 4)/3$$

Plajiyoklas;

$$a_{an} = \frac{X_{an}(1+X_{an})^2}{4} \exp \left[\frac{(1-X_{an})^2}{RT} (8578 + 39300X_{an}) \right]$$

Burada, $X_{an} = Ca/(Ca+Na+K)$

Granatlar;

$$a_{al} = \left[X_{al} \exp \left(\frac{(6.28T - 13809)}{RT} \right) X_{pr} X_{gr} \right]^3$$

$$a_{gr} = \left[X_{gr} \exp \left(\frac{(13809 - 6.28T)}{RT} \right) (X_{pr} + X_{al} X_{pr} + X_{pr} X_{sp}) \right]^3$$

$$V_{gr} (j/b\text{ar}) = 0.1 \left[V_{al} \left(\frac{X_{al}}{X_{al} + X_{pr}} \right) + V_{pr} \left(\frac{X_{pr}}{X_{al} + X_{pr}} \right) \right]$$

$$\Delta V_{gr} (j/b\text{ar}) = V_{gr} - 12.53$$

Burada,

$$V_{al} = 125.24 + (1.482[1 - X_{gr}])^2 - 0.48 \left(1 + Z_1[(1 - X_{gr})/0.066] \exp[-(Z_1)^2/2] \right)$$

$$V_{pr} = 125.24 + (0.512[1 - X_{gr}])^2 - 0.48 \left(1 + Z_2[(1 - X_{gr})/0.083] \exp[-(Z_2)^2/2] \right)$$

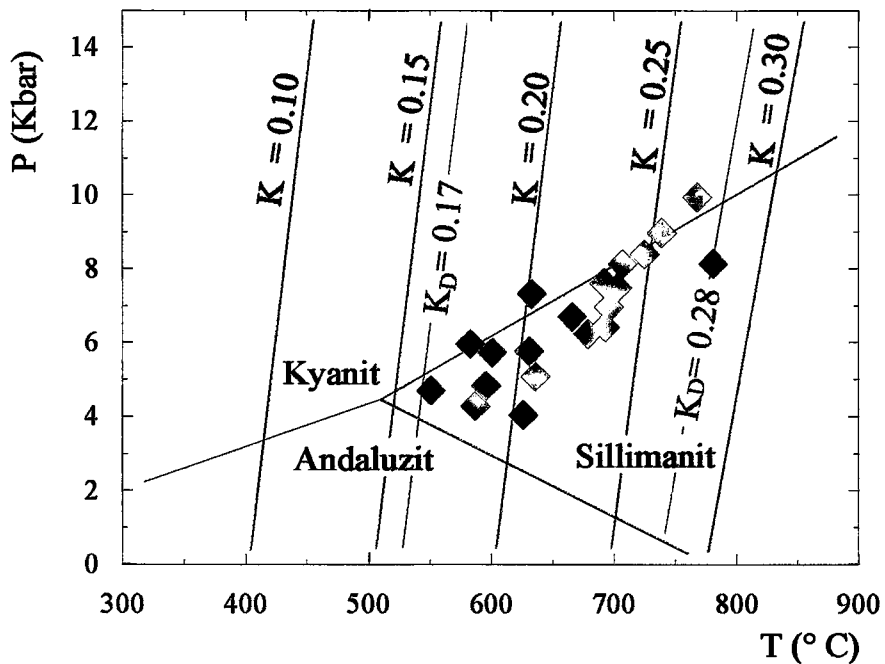
$$X_{al} = Fe^{2+}/(Fe^{2+} + Mg + Ca + Mn)$$

$$X_{pr} = Mg/(Fe^{2+} + Mg + Ca + Mn)$$

$$X_{gr} = Ca/(Fe^{2+} + Mg + Ca + Mn)$$

$$X_{sp} = Mn/(Fe^{2+} + Mg + Ca + Mn) \text{ dir.}$$

GBPQ barometri yöntemi kullanılarak hesaplanan basınçlar, almandin granatlarının merkezi kısımlarında 8 kbar'dan başlayarak kenar kısımlarına doğru 4 kbar'a kadar azalmaktadır (Şekil 3.12). Merkezi kısımlar karşılık gelen yüksek basınçlar GBPG'ların karşılaştıkları pik basınçları, kenar kısımlara karşılık gelen düşük basınçlar ise minerallerin



Şekil 3.12. Granat biyotit-plajiyoklas gnayşların basınç (P) - sıcaklık (T) diyagramı. Sıcaklıklar Ferry ve Spear (1978), basınçlar ise Hoisch (1990)' e göre hesaplanmıştır

kapanma basınçları olarak yorumlanmaktadır. GBPG' larda hesaplanan jeotermometri ve jeobarometri sonuçları P-T diyagramına aktarıldığında saatin tersi yönünde bir değişim geçirdikleri görülmektedir.

Amfibolitler, Karadağ metamorfitlerinde jeotermobarometri hesaplamalarının yapıldığı diğer bir kayaç gurubudurlar. Bunlar plajiyoklas ve hornblend birlilikleri ile amfibol jeobarometri hesaplamalarına uygun mineralojik bileşime sahiptirler. Amfibol jeobarometrisi olarak kullanılacak amfibollerin katılışma fazı sırasında oluşmuş olmaları gerekmektedir. Çünkü, amfibollerin oluşumundan sonra sistemde aktinolite dönüşüm, kloritleşme ve opaklaşma gibi katı fazda oluşmuş mineraller yaygın olarak bulunmaktadır. Bu gibi alterasyona uğramış bileşimler hesaplamaların dışında tutulmalıdır (Hammarstrom ve Zen, 1986). Hornblendlerde $Al = 0,79$ sınırı hornblendlerin Al içeriğinin alt sınırını oluşturmaktadır (Leake, 1971). Bu nedenle $Al^T < 0,79$ olması durumunda negatif basınçlar söz konusu olmaktadır. Amfibollerin tahmin edilen kristalizasyon basıncı ile toplam Al içerikleri arasında ileri sürülen deneysel korelasyonlar aşağıda tanımlanan doğrusal ilişkiler şeklinde dir.

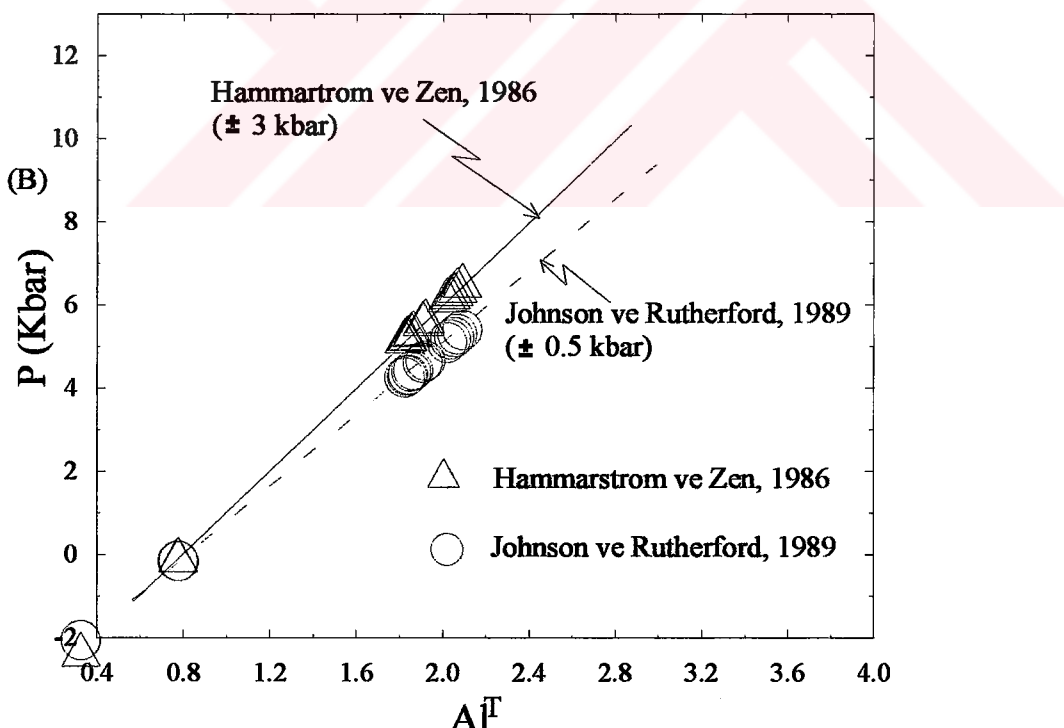
$$P (\pm 3 \text{ kbar}) = -3.92 + 5.03 Al^T \quad r^2 = 0.80 \quad (\text{Hammarstrom ve Zen, 1986})$$

$$P (\pm 1 \text{ kbar}) = -4.76 + 5.64Al^T \quad r^2 = 0.97 \quad (\text{Hollister ve dig., 1987})$$

$$P (\pm 0.5 \text{ kbar}) = -3.46 + 4.23Al^T \quad r^2 = 0.99 \quad (\text{Johnson ve Rutherford, 1989})$$

$$P (\pm 0.6 \text{ kbar}) = -3.01 + 4.76Al^T \quad r^2 = 0.99 \quad (\text{Schmidt, 1992})$$

Hornblendler ile ilgili bu deneysel korelasyonlar hornblendlerin ve buna bağlı olarak da komşu minerallerin kristalizasyon basıncını verdiği kabul edilmektedir (Ghent ve dig., 1991). Bu bakımdan hesaplanan basınçlar hornblendlerin kristalleme derinliklerini yansıtabilir. Amfibolitlerde alüminyum-hornblend jeobarometrisi esasına göre hesaplanan en düşük basınçlar Johnson ve Rutherford (1989)'un korelasyonuna göre elde edilmiştir ($P_3 = 4.73 \pm 0.5$ kbar). Diğer korelasyonlara göre bulunan kristalizasyon basınçları ise sırasıyla $P_1 = 5.82 \pm 0.55$ kbar, $P_2 = 6.16 \pm 0.6$ kbar, $P_4 = 6.21 \pm 0.6$ kbar dir (Şekil 3.13). Üç nokta için 0 veya 0' a yakın negatif basınçlar elde edilmiştir. Bu şekildeki düşük veya negatif basınç değerleri hornblendlerin kenar kısımlarında aktinolite dönüşüm, kloritleşme, oksidasyon (opaklaşma) gibi katı faz dönüşümlerinin geliştiğine işaret etmektedir.



Şekil 3.13. Karadağ metamorfitleri amfibolitlerindeki hornblendlerin Al^T içerikleri ile hesaplanan basınç (P Kbar) değerleri arasındaki ilişki

Amfibolitlerdeki jeotermometri hesaplamaları Spear (1980) ve Blundy ve Holland (1990)'a göre gerçekleştirilmiştir. Amfibol ve plajiyoklas, metamorfize olmuş mafik kayaçlarda ve bazı derinlik kayaçlarında görülen en yaygın mineral birliktelini oluşturur. Bunların kimyasal bileşimlerinin metamorfizma da olduğu gibi artan basınç ve sıcaklık koşullarında değişim gösterdiği bilinmektedir. Deneysel olarak kalibre edilen plajiyoklas ve amfibol arasındaki denge değişimi:

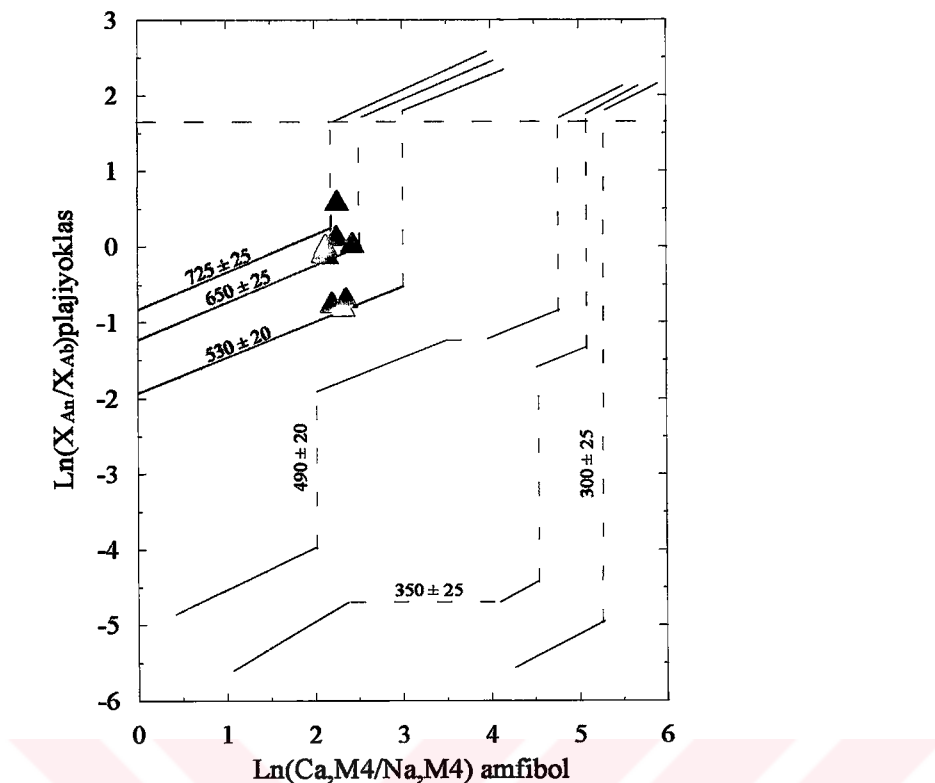


Değişim reaksiyonunun dağılım katsayısı $K_D = (X_{An}/X_{Ab})_{pl}/(X_{Na}/X_{Ca})_{amf}$ şeklinde verilir.

Şekil 3.14, 450-750 °C arasında oluşan amfibol-plajiyoklas birliliklerinde termometre olarak kullanılabilir (Spear, 1980). Diyagramdaki düşey kesikli çizgiler metabazitlerdeki amfibol ve plajiyoklaslarda bilinen karışmamazlık boşluklarını göstermektedir. Amfibolitlerin yalnızca amfibolit fasiyesini temsil etmeleri, diğer bir ifade ile yeşil şist-amfibolit geçişinde yer almamaları nedeniyle özellikle bazik metamorfitlerde bilinen karışmamazlık boşlukları (Spear ve Selverstone, 1983; Grove ve dig., 1983) görülmemektedir. (Ca, M4) ve (Na, M4) amfibollerin 2 M4 odacığından oluşan B odasındaki Ca ve Na bileşenlerine, X_{An} ve X_{Ab} ise plajiyoklaslardaki % anortit ve albit veya birim formüldeki Ca ve Na oranlarına karşılık gelmektedir. Amfibolitlerdeki plajiyoklas ve amfibol birliliklerinin bu yöntemle grafiksel olarak bulunan kristalleşme sıcaklıklarını genelde 725 ± 25 °C ve 650 ± 25 °C arasında değişmektedir. Ancak üç nokta 530 ± 20 değerleri elde edilmiştir. Bu noktalar aktinolitik hornblend bileşimindeki kenar kısımlarına karşılık gelmektedir.

Pajiyoklas-amfibol çiftlerinde kullanılan diğer bir termometre Blundy ve Holland, (1990) tarafından geliştirilmiştir. Özellikle kalk-alkali granitoidlerdeki plajiyoklas-amfibol çiftleri için geliştirilen ancak metamorfitlerde de kullanılan bu jeotermometri için önerilen termodinamik değişim reaksiyonları:



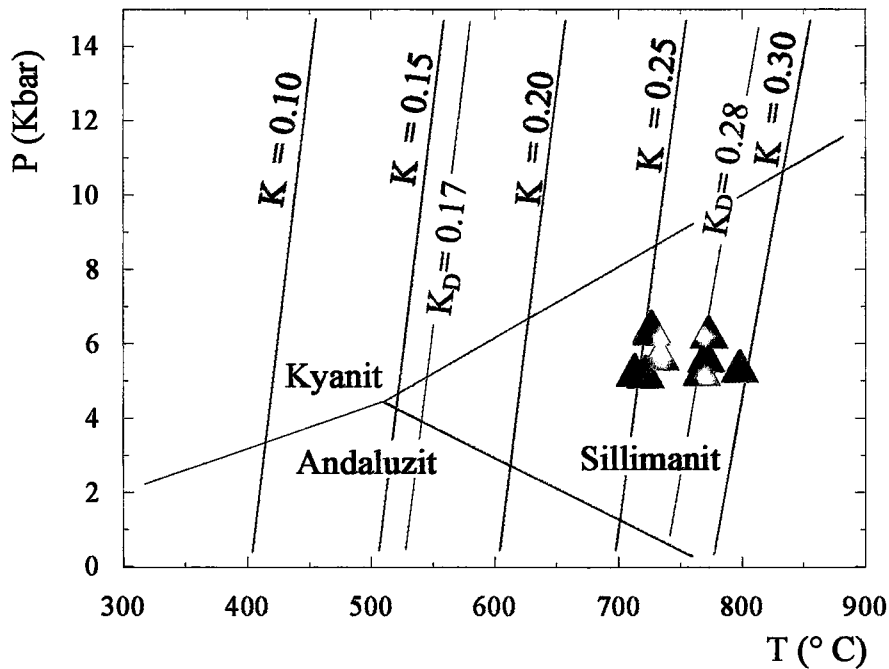


Şekil 3.14. Amfibolitlerdeki plajiyoklas-hornblend çiftlerinin $\ln(X_{An}/X_{Ab})_{pl}$ - $\ln(Ca,M4/Na,M4)_{amf}$ diyagramı (Spear, 1980)

Değişim reaksiyonlarının dağılım katsayısı, $K = (Si-4)/(8-Si)X_{ab}$ olarak verilmektedir. Burada: X_{ab} ; plajiyoklasın albit içeriğidir. Her iki reaksiyon için de denge ilişkisi aşağıdaki jeotermometrinin önerilmesine yol açmıştır.

$$T = (0,677 P - 48,98 + Y) / (-0,0429 - 0,008314 \ln K), \text{ (Blundy ve Holland, 1990).}$$

Burada; T: sıcaklık, P: basınç(kbar), Y: plajiyoklasın ideal olmaması durumu. $X_{ab} > 0,5$ için $Y = 0$, $X_{ab} < 0,5$ için $Y = -8,06 + 25,5 (1-X_{ab})^2$ dir. 500-1100 °C arasındaki sıcaklıklarda oluşmuş amfibol-plajiyoklas birliliklerinde kullanışlı olan bu termometri % An₉₂'den daha az kalsik plajiyoklas ve birim formülünde 7.8'den daha az Si içeren amfibol birlilikleri için kullanılmaktadır (Blundy ve Holland, 1990). Bu yöntemle amfibolitlerdeki plajiyoklas-hornblend birliliğinin kristalleşme sıcaklıkları 747 ± 40 °C, olarak elde edilmiştir.



Şekil 3.15. karadağ metamorfitlerindeki amfibolitlerin basınç (P) - sıcaklık (T) diyagramı. Basınçlar Hammarstrom ve Zen (1986), sıcaklıklar ise Blundy ve Holland (1990)'a göre hesaplanmıştır

Amfibolitlerde Al-jeobarometri ve hornblend jeotermometri hesaplamaları sonucunda elde edilen basınç ve sıcaklıklar sonuçları Şekil 3.15'deki P-T diyagramına aktarılmıştır. Şekilde de görüldüğü gibi amfibolitlerde hesaplanan basınç (5.6-6.8 kbar) ve sıcaklıklar (747 ± 40 °C), granat biyotit-plajiyoklas gnayslarda hesaplanan basınç ve sıcaklıklara göre daha dar bir değişim aralığına sahiptir. Bu durum hornblendlerin granatlara göre daha dar bir basınç-sıcaklık aralığında olmuş olabilecekleri şeklinde yorumlanabilir.

3.1.2.5. Karadağ Metamorfitlerinin Yaşı

Karadağ metamorfitlerinde jeokronolojik yaşı tayinleri yapılmamıştır. Orta ve yüksek dereceli metamorfitler olmaları nedeniyle de yaş verebilecek herhangi bir fosile rastlanmamıştır. Bu nedenle yaşı, çevre kayaçlarla olan ilişkileri ve Doğu Pontidler'de bilinen diğer yüzeylemeler ile karşılaştırılarak verilmeye çalışılmıştır.

Çalışma alanının doğu ve güneydoğu kesimlerinde Liyas yaşı Kinalıçam volkanik karmaşığı, Karadağ metamorfitleri, üzerine uyumsuz olarak gelmektedir. Bu bakımından

metamorfitlerin yaşı Liyas öncesi olmalıdır. Ayrıca metamorfitleri kesen Jura öncesi yaşı Demirkent plütonunun batı sınırı boyunca Hamurkesen Formasyonu itilmiş olması da metamorfitlerin Liyas öncesi yaşı olabileceğini gösterebilir. Karadağ metamorfitleri, Bayburt yöresindeki kuzeydoğu-güneybatı uzanımlı Pulur Masifi'nin doğudaki devamı niteliğindedir. Bayburt yöresinde ise Pulur metamorfitleri üzerine Permo-Karbonifer kireçtaşları uyumsuz olarak gelmektedir (Ağar, 1977 ; Korkmaz ve Baki, 1984; Tanyolu, 1988; Okay, 1996). Bu stratigrafik ilişki nedeniyle benzer fasiyes ve litolojiye sahip Karadağ metamorfitleri de Permo-Karbonifer veya öncesi yaşı olabilir. Diğer taraftan Topuz (2000) Pulur metamorfitlerinin migmatitik metapelitlerindeki monazitlerde U-Pb yöntemine göre elde ettiği 329 ± 2 milyon yıllık yaşı (Alt-Orta Karbonifer) metamorfitlerde pik veya pike yakın koşulların gerçekleştiği zaman olarak yorumlamıştır. Masifin pegmatitlerinde elde ettiği Ar-Ar muskovit yaşı 315 ± 3 milyon yıl, gnayslardaki Rb-Sr biyotit-toplam kayaç yaşı ise 310 ± 4 , 311 ± 3 , 307 ± 3 m.y.'dır. Gnaysların soğuma yaşı olarak kabul edilen bu yaşılar da Orta Karbonifer'e karşılık gelmektedir. Karadağ metamorfitleri de çoğunlukla benzer gnayslar ile temsil edilmiş olduğundan gnaysların soğuma yaşı aynı olabilir. Ayrıca Topuz (2000), Pulur Masifi'nin yeşil şist fasiyesi kayaçlarındaki muskovitlerinde elde ettiği Ar-Ar yaşı (259 ± 2.5 m.y.) ve Rb-Sr muskovit-toplam kayaç yaşı (260 ± 3 , 264 ± 3 m.y.) ise masifin soğuma yaşı olarak yorumlamıştır. Bu yaşılar ise Alt-Üst Permian geçişine karşılık gelmektedir. Ancak, Karadağ metamorfitleri düşük dereceli metamorfitler içermemektedir.

3.1.2.6. Deneştirme

Gnays, şist, kuvarsit ve amfibolitlerden meydana gelen Karadağ metamorfitleri Doğu Pontidler Güney Zonu'nda yüzeyleyen diğer metamorfik fasiyesler ile deneştirilebilir. Demirözü (Bayburt) yöresindeki Pulur metamorfitleri, gerek litolojik içeriği ve gerekse metamorfizma fasiyesleri açısından Karadağ metamorfitleri ile oldukça benzerdir. Pulur metamorfitleri; yeşil şist, amfibolit ve yer yer de granülit fasiyesi koşullarında metamorfizma geçirmiş meta-sediment ve meta-bazitlerden oluşmaktadır. Ayrıca Karadağ metamorfitlerine benzer şekilde gabro, diyorit ve tonalit gibi mafik ve asidik kayaçlar Pulur metamorfitlerini kesmişlerdir (Ağar, 1977 Korkmaz ve Baki, 1984, Tanyolu, 1988; Habiboglu, 1989; Okay,

1996, Aslan, 1998). Ancak Pulur Masifindeki yeşil şist fasiyesi kayaçlar Karadağ metamorfitlerinde yer almamaktadır. Topuz (2000), Pulur Masifi’nde farklı yerlerde ve farklı zamanlarda başkalaşımı ugramış iki büyük tektonometamorfik birim ayırt etmiştir. Bunlardan düşük dereceli parotokton olanı (Doğankavak) yeşil şist ve albit-epidot amfibolit fasiyesi (425 ± 30 °C, 6-9 kbar) koşullarında başkalaşımı ugramıştır. Bu şekildeki düşük dereceli metamorfitler Karadağ metamorfitlerinde yer almamaktadır. Düşük dereceli metamorfitler amfibolit fasiyesinin üst kısmı ile granülit fasiyesi koşullarında başkalaşımı ugramış tektonometamorfik bir birim (Cenci) tarafınfan üzerlenmiştir. Cenci birimi ise çok heterojen olup, litolojik ve deformasyon yoğunluğuna bağlı olarak Petekli, Pirörenler ve Serenli alt birimlerine ayrılmıştır. Petekli birimi başlıca oldukça heterojen olan, grafit içeren metapelitik gnayşlar, çok ince taneli granit gnayşlar ve metabazitlerden oluşmaktadır. Pirörenler birimi milonitik-metapelitikten metapsamitiğe kadar varan stromatik migmatitlerden oluşmaktadır. Milonitleşme üst amfibolit koşullarında gerçekleşmiştir. Serenli alt birimi ise başlıca 1 km den daha kalın kuvarsofeldspatik milonitlerden oluşmaktadır. Milonitleşmenin koşulları Pirörenlerin aksine yeşil şist fasiyesidir. Karadağ metamorfitleri litolojik birlikteliği ve göstermiş oldukları dokular bakımından Cenci biriminin alt birimleri ile oldukça benzerdir. Pulur Masifi'nin batıdaki devamı kabul edilen Ağvanis Masifi, Karadağ metamorfitleri ve Pulur Masifi'nden farklı olarak, başlıca meta-bazitlerden ve daha az oranda da mermer, fillit, meta-dasit ve meta-asidik plütonlardan oluşmaktadır (Okay, 1983). Tokat-Zile-Çekerek yöresinde görülen yeşil şist fasiyesindeki değişik litolojideki şistler, Permo-Karbonifer yaşı Karaağaçdere formasyonu ve Alsancak kireçtaşı tarafından üstlenmektedir (Tarhan, 1976). Amasya yöresinde görünür temeli oluşturan yeşil şist serisi, bazik ve yarı-bazik kayaların düşük sıcaklıklardaki bölgesel metamorfizma ile ilişkili olabileceği düşünülmüştür (Alp, 1972). Reşadiye yöresinde Paleozoyik yaşta olduğu kabul edilen Tozanlı grubu metamorfik kayaçlar ise yeşil şist fasiyesindedir (Seymen, 1975).

3.1.3. Demirkent Plütonu (Geç Paleozoyik)

3.1.3.1. Ad, Yayılım ve Topografik Görünüm

Adamia ve diğ.(1995) inceleme alanındaki asidik derinlik kayaçları ve gabroyik kayaçlardan “Ahalt masifi” adıyla sözetmişlerdir. Bu çalışmalarında gabro ve diyabazların şiddetle amfibolleştiğini, kimyasal bileşimlerinin çok belirgin bir toleyitik trend ile okyanusal bazalt ve plütonik kayaçlara benzедigini ileri sürmektedirler. Ayrıca asidik kayaçların plajiyogranit porfir daykları olduğunu ve jeokimyasal olarak okyanusal eğilime sahip olduklarını belirtmektedirler. Konak ve Hakyemez (1996) ise aynı birime “Demirkent Dayk Kompleksi” adını vermişlerdir. Ancak birimin ofiyolitlere bağlı levhamsı dayk kompleksi ile benzer olmadığını ileri sürmektedirler. Bu çalışmada gerek asidik derinlik kayaçların, gerekse gabroyik kayaçların masif yapılı oldukları ve dayk özelliğinin sadece birimlerin kuzey ve güneydeki sınırlarına yakın kesimlerde olduğu belirlenmiştir. Jeokimyasal olarak da her iki kayaç grubunun yukarıda bahsedildiği gibi okyanusal karakterli olmadıkları ve aksine yitimle ilişkili oldukları görülmüştür. 1/25.000 ölçekli haritada ayrı ayrı haritalanabilir özellikte olmaları bakımından birbirinden ayrılmışlar ve gabroyik kayaçlar, yakın yöredeki en büyük yerleşim merkezi olan Demirkent Beldesi’ne atfen Demirkent plütonu olarak adlandırılmıştır. Demirkent plütonu Tortum G47- a2, a3 paftaları içinde güneybatı-kuzeydoğu doğrultusunda uzanan, 23 km uzunluğunda ve ortalama 5-6 km genişliğinde, elips şeklinde bir yüzeyleme alanına sahiptir (Bkz Şekil 3.1, Ek - 1). Karayolu boyunca Su Kavuşumu mevkiinde 1.5-2 km lik bir mesafede ve Sebzeciler'in 2 km kuzeydoğusundan başlayarak kuzeye doğru devam eden yaklaşık 4 km lik bir mesafede yüzeyler. Bunun dışında Çoruh' a paralel sıralanan Eğribakacak Tepe, Köknarlı Tepe, Havuzlu Köyü, Hog Mahallesi ve inceleme alanının kuzeydoğusundaki Demirkent Beldesi civarında görülür.

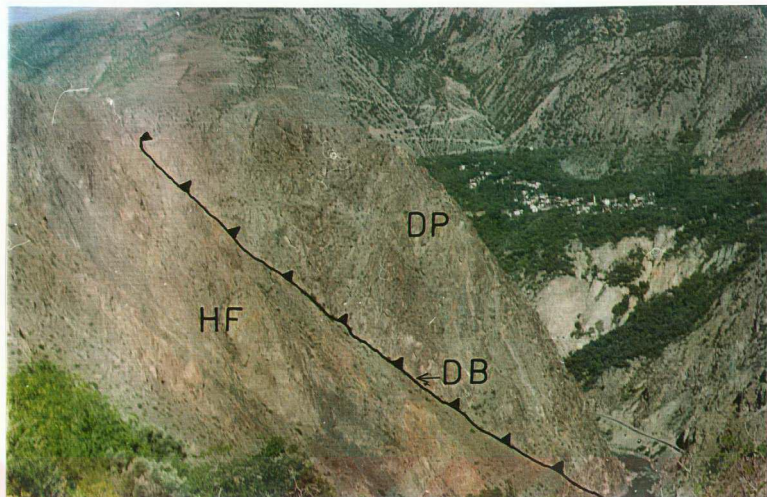
Çoruh Nehri, plütonun yaklaşık ortasından geçer. Sebzeciler granitoyidi plütonun orta ve doğu kesimlerine yerleştiğinden, Demirkent plütonunun batı kesimi iç içe yerleşmiş iki elips arasında kalan bir alan şeklinde yüzeyler. Koyu gri ve siyaha yakın görünümüldür. Açık renkli minerallerin yoğun olduğu kesimlerde ise gri-beyaz renklerde görülür.

3.1.3.2. Dokanaklar

Demirkent plütonu, Paleozoyik yaşı Karadağ metamorfitlerini kesmiştir. Ancak metamorfitlerdeki yoğun ayrışma nedeniyle bu ilişki açık olarak görülememektedir. Bu bakımdan plüton doğudan Karadağ metamorfitleri ile sınırlıdır. Batıdaki sınır ise Liyas-Dogger yaşı Hamurkesen Formasyonu ile faylıdır. Eosen sonrası orojenik hareketlere (Geç Alpin) bağlı olarak batı kenarı boyunca kuzeybatıya doğru Liyas yaşı Hamurkesen Formasyonu üzerine itilmiştir (Şekil 3.16). Bu durum özellikle Havuzlu Köyü doğusunda belirgindir. Burada Demirkent plütonunun yaklaşık 45° lik bir fay yüzeyi ile Hamurkesen Formasyonu üzerine oturmaktadır. Ayrıca, bu harekete işaret eden fay zonunu plütonun batı sınırı boyunca özellikle Hamurkesen formasyonu içerisindeki volkanitlerde görmek mümkündür. Faya yakın plüton ve Hamurkesen Formasyonu'ndan alınan örneklerin mikroskopik incelemelerinde kataklastik doku yaygın olarak görülmektedir. Fayın daha güneydeki devamında, Liyas yaşı birimleri kuzeybatıya doğru Eosen birimleri üzerine ittiği görülür (Baydar ve diğ., 1969; Konak ve Hakyemez, 1996). Çizgisele yakın elips şeklindeki Sebzeciler granitoyidi Demirkent plütonunun orta ve doğu kesimlerine yerleştiğinden plütonun bu birim ile olan sınırı çizgiseldir. Bu sınırın ait noktaların vadi ve sırtlarda yaklaşık aynı düşey düzlem üzerine düşmesi, dokanağın düşey bir düzlem şeklinde olduğunu göstermektedir. Sınırın kuzey ve güneydeki kısa kenarlarına gelindiğinde, Demirkent plütonuna ait gabroyık kayaçlar ile Sebzeciler granitoyidine ait asidik kayaçların yaklaşık kuzey güney doğrultulu (uzun kenara paralel) dayklar şeklinde sıralandıkları görülür. Genişlikleri 0.5-1.5 ve yer yer 3 m'ye kadar çıkan Sebzeciler granitoyidine ait dayklar içerisinde yer yer Demirkent plütonunun dairesel veya elips şeklindeki anklavlardan Sebzeciler granitoyidinin Demirkent plütonunu kestiğine işaret etmektedir.

3.1.3.3. Litoloji

Demirkent plütonunun farklı yerlerinden 68 adet nokta örnek derlenmiştir. Bunlardan temsili olarak seçilen 23 örneğin ince kesiti yapılarak mikroskopta incelenmiş ve modal analizleri yapılmıştır (Çizelge 3.12). Bütün kesitlerde 1500-2000 arasında değişen nokta sayımı gerçekleştirilmiştir. Modal sınıflama Demirkent plütonunun gabbro ve diorit bileşimli



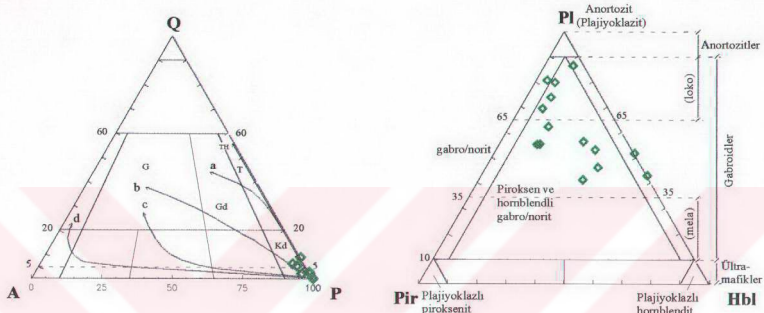
Şekil 3.16. Demirkent plutonun Demirkent Beldesi civarındaki görünümü. Demirkent plutonu kuzeybatı yönünde Hamurkesen Formasyonu üzerine itilmiştir (DP: Demirkent plutonu, HF : Hamurkesen Formasyonu, DB: Demirkent Bindirmesi; fotoğraf Havuzlu Köyü'nden kuzeydoğu yönünde çekilmiştir)

Cizelge 3.12 Demirkent plutonu kayaçlarının modal analiz sonuçları

Örnek No	Plj	Q	A.F	Amf	Kpir	Ap	Kl	Ep	Op	COL
D 499	63.75	3.67	2.19	28.86	-	1.53	-	-	-	28.86
G 503	70.82	-	-	8.18	17.1	-	2.97	-	0.93	29.18
G 504	61.65	-	-	13.38	24.28	-	-	-	0.69	38.35
DP 515	66.56	4.64	3.1	21.98	-	-	0.93	-	2.79	25.7
GP 518	72.24	-	-	3.44	14.1	0,43	2.37	-	7.42	27.33
G 612	65.12	-	-	26.03	8.15	-	-	-	0.7	34.88
MG 621	48.82	-	-	45.86	-	0,15	1.23	-	3.94	51.03
MG 624	41.05	4	-	54.95	-	-	-	-	-	54.95
D 625	54.66	1.22	-	34.2	1.5	-	-	8,42	-	44.12
D 626	59.58	16.12	0	23.6	-	-	0.45	-	0.25	24.3
D 627	57.15	1.7	-	27.5	-	-	1.75	5,8	6.1	41.15
D 635	63.15	1.4	1.99	29.27	2.49	-	0	-	1.7	33.46
D 680	55	0.3	-	39.1	1.7	-	0.3	3,6	-	44.7
G 681	53.03	-	-	34.14	12.83	-	-	-	-	46.97
G 682	84.5	-	-	9.6	3.8	-	0.15	0,9	1.05	15.5
G 683	68	-	-	7.65	22.5	-	1.1	0,25	0.5	32
G 684	79.44	-	-	6.89	13.42	-	-	-	0.25	20.56
G 685	53.5	-	-	12.6	31	-	-	2,9	-	46.5
G 686	40.43	-	-	35.15	22.71	-	-	-	1.71	59.57
G 692	45.14	-	-	37.86	15.14	-	1.29	-	0.57	54.86
G 694	55.2	-	-	14	30.8	-	-	-	-	44.8
G 884	55.57	-	-	28.4	15.1	-	-	-	1.19	44.43
D 885	41.73	-	-	54.56	-	-	-	-	3.71	58.27

G: gabro, D: diyorit, MG: mikro gabro, GP: gabro pegmatit, DP: diyorit pegmatit; Plj: plajiyoklas, Q: kuvars, A.F: alkali feldspat, Amf: amfibol, Kpir: klinopiroksen, Ap: apatit, Kl: klorit, Ep: epidot, Op: opak mineraller; COL = 100-(Plj+Q+A.F+Ap)

kayaçlardan olduğunu göstermektedir. Gabroların, Plj-Pir-Horn diyagramında hornblend gabro ve piroksen-hornblend gabro bileşiminde oldukları görülmektedir (Şekil 3.17). Demirkent plütonu kayaçları dokusal özellikleri bakımından gabro, gabro pegmatit, mikrogabro, diyorit ve diyorit pegmatit şeklinde sınıflandırılabilir.



Şekil 3.17. Demirkent plütonu kayaçlarının QAP diyagramı ve gabroların Plj-Pir-Horn diyagramındaki dağılımları

3.1.3.3.1. Gabro, Gabro Pegmatit ve Mikro Gabrolar

Eşit taneli dokuya sahip gabrolar Demirkent plütonu içerisindeki en yaygın kayaç grubunu oluştururlar. Gabro pegmatitler, gabrolar ile geçişli ve 2-3 m genişliğindeki çok düzensiz şekilli kapanımlar halindedirler. Mikro gabrolar ise kenar kısımlarda ve özellikle dayklarda görülmektedirler. Modal olarak daha yüksek oranlarda açık renkli mineraller içermelerine rağmen genellikle siyah ve koyu gri renklerde görülürler. Gabro ve gabro pegmatitler iri taneli subotomorf, mikrogabrolar ise ince taneli subotomorf dokuya sahiptirler. Gabrolar 1-3 mm, mikro gabrolar ise 0.5-1 mm boylarında eşit taneli doku gösterirler. Gabro pegmatitlerde ise mineral boyları 6-12 mm arasında değişmektedir. Renk indisleri 15.5-59.5 arasında değişir. Bu nedenle yer yer loko-gabroya geçiş gösterirler. Eşit taneli doku göstermeyen gabro pegmatitlerin renk indisleri ise ince kesitin yapıldığı yere göre çok değişken olmaktadır. Gabrolar yer yer az belirgin ve sürekli olmayan bir bantlı yapı gösterirler. Amfibol bakımından zengin ve sürekli olmayan koyu renkli bantlar,

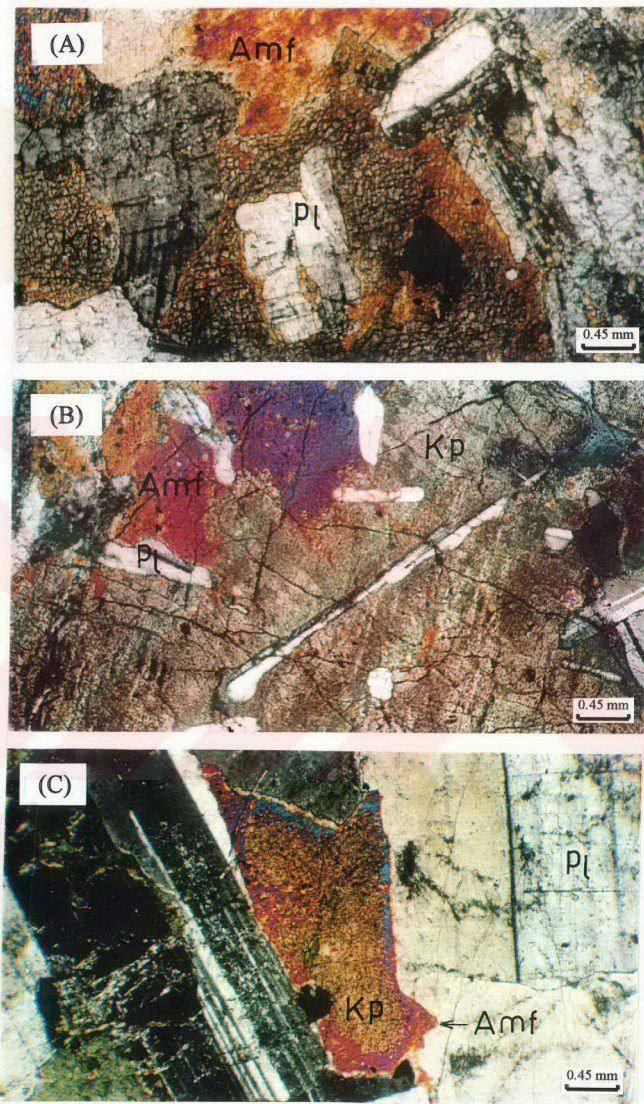
plajiyoklaslardan oluşan açık renkli bantlar tarafından çevrilir. Plajiyoklas: (% 40-70) bütün gabrolarda en fazla bulunan açık renkli mineraldir. Koyu renkli mineraller olarak klinopiroksen (% 10-31) ve amfibol (% 3-54) içerirler. Opak mineraller olarak manyetit, titanomanyetit, pirit, pirotin, kalkopirit; tali mineral olarak da apatit içerirler.

Plajiyoklas diğer taneler arasındaki boşlukları dolduran iri kristaller ve poikilitik olmak üzere iki şekilde görülür. İri plajiyoklaslar genellikle uzun lameller halindedir ve albit ikizi gösterirler. İkiz lamelleri çoğunlukla düzensiz aralıklıdır. 1-2 mm boylarındaki plajiyoklasların bazıları zonlu yapıdadır. Plajiyoklaslar genellikle temiz görünümü olmakla birlikte bazı kesitlerde oldukça yüksek oranlarda serizitleşmişlerdir. Diğer bazı kesitlerde ise hidrogranatlaşma ve epidotlaşma oldukça yaygın olarak görülür. Poikilitik olarak gelişenler, genellikle klinopiroksenler tarafından çevrelenmiş uzun lameller halindedir (Şekil 3.18 A, B).

Klinopiroksenler çoğunlukla bazı kenarları belirgin ve dikdörtgene yakın şekilli kristaller halindedirler. Dairesel yakın sekiz kenarlı olarak da görülürler. Tane boyları 0.5-4 mm arasındadır. Yer yer hornblendler tarafından çevrelenmişlerdir (korona dokusu, Şekil 3.18 C). Positistik olarak ince uzun plajiyoklas lamelleri içerirler. Kenardan merkeze doğru gelişen hornblend ve klorite dönüşümler yaygındır.

Amfibol üç değişik şekilde görülür: (1) Altı köşeli veya dikdörtgen şeklinde olanlar. Bunlarda çoğunlukla iki dilinin birden görülür. Dilinimler boyunca yer yer opaklaşmışlardır. (2) Belli bir geometrik şekli olmayan ve tek nikolde yeşil-açık yeşil renklerde çok az pleokroik olanlar. Bunlar çift nikolde genellikle lifi yapıda görülürler. Çoğunlukla ayrı mineraller ve yer yer de diğer amfibollerin çevresini sarar durumdadırlar. Muhtemelen amfibollerin kenar kısımlarındaki ikincil aktinolit dönüşümlerine karşılık gelmektedirler. (3) Klinopiroksenlerin ayrışması sonucu klinopiroksenlerin kenarları boyunca gelişenler.

Klorit klinopiroksenlerin ayrışma ürünüdür. Epidotlar plajiyoklasların ayrışma ürünü olarak ve kırıklar boyunca gözlenmektedir. Tali mineral olarak apatit bulundururlar. Bunlar yer yer 4-10 mm uzunluğundadırlar. Opak mineraller olarak manyetit, titanomanyetit (rutil ilmenit sistemleri kısmen kafes yapısı oluşturmuş), pirit, pirotin, kalkopirit içermektedirler.



Şekil 3.18. Demirkent plütonunun gabroları ve gabro-pegmatitlerinde gözlenen poikilitik doku (A ve B; Çift nikol, Kesit no: 504) ve korona dokusu (C Kesit no: 884), Kp: klinopiroksen, Amf: amfibol, Pl: plajiyoklas

3.1.3.3.2. Diyoritler ve Diyorit Pegmatitler

Diyoritler, gabrolar ile geçişli olarak bulunurlar ve makroskopik olarak ayrıt edilmeleri zordur. Renk indisleri 25-45 arasında olan diyoritler dokusal özellikleri bakımından da gabrolara benzerler. Mikroskopik olarak genellikle klinopiroksen içermemeleri ile onlardan ayrılırlar. Subotomorf taneli dokuya sahiptirler. Diyorit pegmatitler; diyorit ve gabro pegmatitler ile birlikte ve çok az oranlarda bulunurlar. Diyorit ve diyorit pegmatitlerde plajiyoklas (% 55-63) ve hornblend (% 15-30) mineralojik bileşimin % 95'ini oluşturur. Hornblend ve klinopiroksenler (% 1-10) yer yer positistik ince-uzun plajiyoklas lamelleri içerirler. Kuvars ve ortoklas bazı kesitlerde ve % 5' in altındadır. Tali mineral olarak apatit; opak mineraller olarak da manyetit, titanomanyetit, pirotin, pirit ve kalkopirit içerirler.

Plajiyoklas kenarları yer yer belirgin dikdörtgene yakın şekilli kristaller halindedir. Coğunlukla 0.2-0.5 mm arasında olan plajiyoklasların boyları, diyorit pegmatitlerde yer yer 1.5 mm ye kadar çıkmaktadır (Şekil 3.19). Zonlu yapıya sahip plajiyoklaslar daha çok karlsbad ikizi gösterirler. Serizitleşmiş ve yer yer hidrogranata dönüşmüştür.

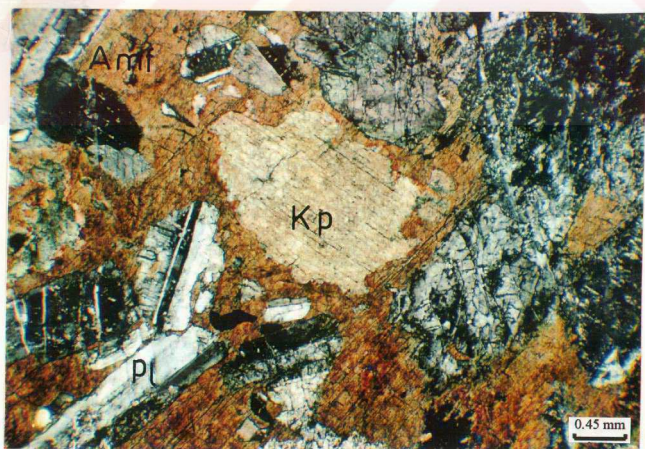
Amfibol belirgin bir geometrik şekli olmayan kristaller halindedir. Koyu yeşil ve açık kahve renklerde pleokroiktir. Amfibollerin klinopiroksenleri sarması ile oluşan korona dokusu yaygındır (Şekil 3.20). Diyorit pegmatitlerde genellikle kümülofirk olarak görülürler.

Klinopiroksenler dikdörtgene yakın şekillerde görülürler. Yer yer hornblendler tarafından sarılırlar. Coğunlukla kenardan merkeze doğru gelişen hornblende dönüşümler yaygındır.

Kuvars (%0-16) belirgin bir geometrik şekli olmayan kristaller halindedir. Ortoklas ile birlikte yer yer yazı dokusu oluşturur. Ortoklas genellikle kuvars ile birlikte ve kısmen de plajiyoklasların kenar kısımları boyunca görülür. Epidotlar genellikle kırıklar boyunca ve yer yerde küçük kümelenmeler şeklinde dirler. Tali mineral olarak apatit bulundururlar. Opak mineraller olarak manyetit, titanomanyetit, pirotin, içermektedirler.



Şekil 3.19. Demirkent plütonunun diyorit pegmatitlerinde gözlenen kümülofirik doku, Çift Nikol, Kesit no: 515 (Pl: plajiyoklas, Amf: amfibol)



Şekil 3.20. Demirkent plütonunun diyoritlerinde gözlenen korona dokusu, Çift Nikol, Kesit no: 686 (Kp: klinopyrokse, Amf: amfibol, Pl: plajiyoklas)

3.1.3.4. Yaş ve Deneştirme

Demirkent plütonunun yaşı ile ilişkili jeokronolojik veriler bulunmamaktadır. Bu nedenle birimin yaşı stratigrafik ilişkilerine ve diğer masiflerdeki eşleniklerine göre verilmeye çalışılmıştır. Demirkent plütonu Karadağ metamorfitlerini (Paleozoyik) keserek yerleşmiştir. Bu nedenle plüton doğudan Karadağ metamorfitleri ile sınırlandırılmıştır. Batıdan ise Liyas-Dogger yaşı Hamurkesen Formasyonu ile tektonik dokanaklıdır. Eosen sonrası orojenik hareketlere (Geç Alpin) bağlı olarak batı kenarı boyunca kuzeybatıya doğru Hamurkesen Formasyonu üzerine itilmiştir. Bu stratigrafik ilişkiler birimin Liyas öncesi yaşı olabileceğini göstermektedir. Doğu Pontidler'de temel durumundaki metamorfik birimler içerisindeki mafik ve ültramafik derinlik kayaçlarının Geç Paleozoyik yaşı oldukları kabul edilmektedir (Ağar, 1977; Okay, 1983; Özcan ve dig., 1980). Demirkent plütonu bunlar ile aynı stratigrafik konuma sahip olduğundan yaşı Geç Paleozoyik olabilir. Diğer taraftan Topuz (2000)'un Pulur Masifindeki mafik ve ültramafik kayaçlardan elde ettiği Ar-Ar hornblend yaşları 180 ± 4 milyon yıldır. Bu yaşlar ise Liyas-Dogger sınıra karşılık gelmektedir. Ancak inceleme alanındaki Liyas-Dogger yaşı Hamurkesen Formasyonu'nun kırintılı seviyeleri içerisinde Gabroyik Demirkent plütonunu kesen Sebzeciler granitoyidi kayaçlarına benzer granitoyid çakıllarının varlığı, Demirkent Plütonu ve Sebzeciler granitoyidinin Hersiniyen Orijenezi sırasında yerleşiklerini ve yükselserek Liyas havzalarına malzeme verdiklerini gösterebilir.

3.1.4. Sebzeciler granitoyidi (Geç Paleozoyik)

3.1.4.1. Ad, Yayılm ve Topografik Görünüm

Sebzeciler granitoyidi kayaçları Şengör ve diğ. (1980)'nin plaka tektoniği ile ilgili model çalışmalarında önemli bir yere sahip olmuştur. Yazarlar Artvin yöresindeki Malm öncesi yaşı Sebzeciler granitoyidi ve Demirkent plutonu kayaçlarını okyanusal topluluğa dahil ederek, Doğu Pontidler'deki okyanusal topluluğun Triyas (Permiyen ?) dan Erken Jura' ya kadar olan zaman aralığında oluşturularını ileri sürmektedir. Adamia ve diğ., (1995) "Ahalt (Yusufeli) masifi" adı altında deşindikleri Sebzeciler granitoyidi ve Demirkent plutonu kayaçlarının okyanusal toleyit karakterinde olduklarını belirterek, bunları Liyas yaşı volkanitler ile birlikte yay gerisi havza tipi ofiyolitik topluluk olarak yorumlamışlardır. Plajiyogranit adı altında deşindikleri asidik kayaçların K₂O içeriklerinin çok düşük olduğunu ve jeokimyasal olarak okyanusal eğilime sahip olduklarını ileri sürmektedirler. Konak ve Hakyemez (1996) ise aynı kayaçlardan "Demirkent Dayk Kompleksi" adı altında bahsetmektedirler. Ancak diğerlerinden farklı olarak Demirkent Dayk Kompleksi' nin ofiyolitlere bağlı levha dayk kompleksi ile benzer olmadığını ileri sürmektedirler. Bu çalışmada Sebzeciler granitoyidi kayaçlarının kuvarslı dioritten granodiyorite kadar değişen mineralojik bileşime ve düşük K' lu trondjemitik yönsemeye sahip oldukları tespit edilmiştir. Jeokimyasal olarak da her iki kayaç grubunun yukarıda bahsedildiği gibi okyanusal karakterli olmadıkları, aksine yitimle ilişkili oldukları görülmüştür. Diğer taraftan gerek asidik kayaçların, gerekse gabroyik kayaçların kendi içlerinde masif yapıları oldukları ve dayk yapısının sadece iki birimin kuzey ve güney sınırlarına yakın kesimlerde olduğu belirlenmiştir. 1/25.000 ölçekli haritada ayrı ayrı haritalanabilir özellikle olmaları nedeniyle birbirinden ayrılmışlar ve asidik derinlik kayaçları yöredeki Sebzeciler Köyü'ne atfen Sebzeciler granitoyidi olarak adlandırılmıştır.

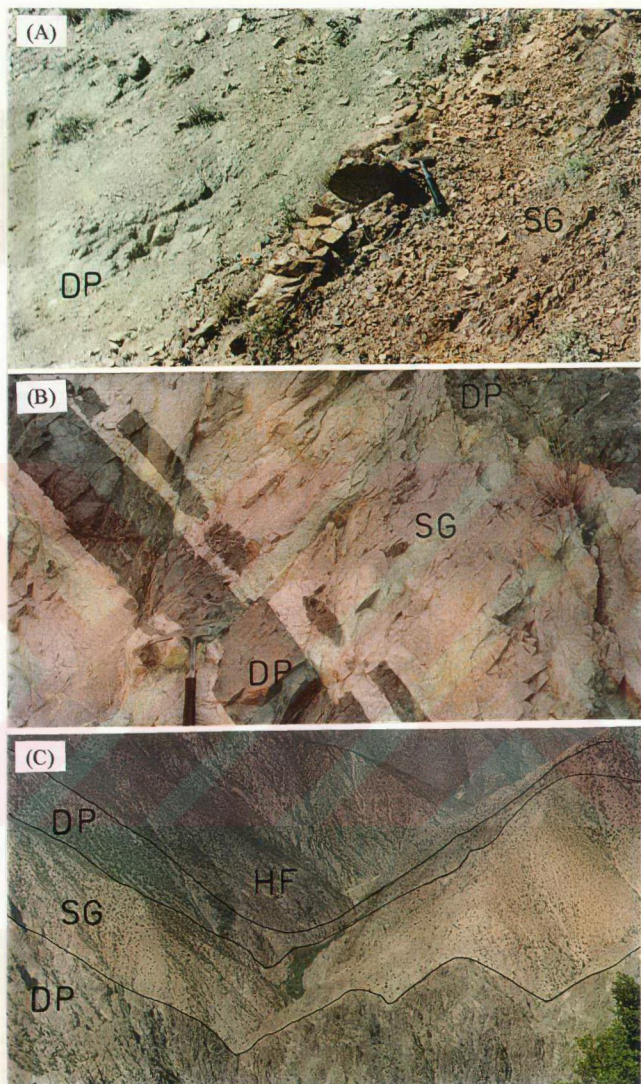
Sebzeciler granitoyidi Artvin' in yaklaşık 70 km güneyinde Tortum G47- a2, a3 paftaları içerisinde yer alan biri büyük, diğeri küçük iki stoktan oluşmaktadır (Bkz Şekil 3.1). Büyük ekseni kuzey-güney doğrultulu büyük stok 12 km uzunluğa, 2.5-3 km genişliğe sahip olup, yaklaşık 20 km² lik bir alanda yüzeyler. Büyük ekseni kuzeydoğu-güneybatı doğrultulu küçük stok ise 2.5 km uzunluğa, 1 km genişliğe ve yaklaşık 2 km² lik bir

yüzeyleme alanına sahiptir. Karayolu boyunca Su Kavuşumu' nun 1.5 km kuzeyinden başlayan ve Sebzeciler' in 2 km kuzeyine kadar olan 5.5-6 km lik bir mesafe boyunca yüzeyler. Nehir güzergahı dışında ise nehre 1-1.5 km lik mesafedeki tepelerde ve sırlarda görülür (Bkz Ek-1).

Büyük ekseni kuzey-güney doğrultusunda uzanan büyük stok kuzey kesimlerinde çizgisel, büyük ekseni kuzeydoğu-güneybatı doğrultusunda uzanan küçük stok ise çizgisele yakın elips şeklinde bir yüzeyleme alanına sahiptir. Sebzeciler granitoyidi kayaçları makroskopik olarak genelde açık gri-beyaz ve yer yer pembe renkler sunarlar. Pembe olan kesimlerde K' lu feldspat oranları yüksektir. Demirkent plütonu ile dayk yapısı oluşturdukları yerlerde renk gittikçe açılmakta ve açık gri-kırkı beyaz olmaktadır. Çoruh Nehri boyunca ve diğer vadi içlerinde genellikle az ayrılmış ve sarp bir görünümü sahip olan Sebzeciler granitoyidi, tepelerde ve yüksek kesimlerde kısmen arenalaşmıştır.

3.1.4.2. Dokanaklar

Sebzeciler granitoyidi Paleozoyik yaşlı Karadağ metamorfitlerini ve Demirkent plütonunu kesmiştir. Sinevrat Mahallesi civarında Sebzeciler granitoyidi içinde Demirkent plütonunun dairesel ve elipsoid şekilli anklavlarnı görmek mümkündür. Bu bakımdan Sebzeciler granitoyidinin Demirkent plütonunu kestiği çok açıklıktır. Granitoyidin Demirkent plütonu ile olan batıdaki sınırı yaklaşık K-G doğrultulu bir çizgi şeklidendir (Şekil 3.21 A). Kuzey ve güney kısımlarında ise 1.5-2 m ye varan genişliklerde granitoyid dayklarının Demirkent plütonunun kuzey-güney doğrultulu çatlakları arasına sokulduğu görülmektedir. Bunun sonucu olarak, granitoyidin kuzey ve güney sınırları Demirkent plütonu kayaçları ile arduşklu dayk yapısı kazanmıştır (Şekil 3.21 B). Plütonun daykları ile granitoyidin daykları arasında göreceli geçiş yoktur. Sınır genelde düz çizgi ve kısmen de bloksu özellikle edilir. Granitoyid bu özellikleri ve yukarıda bahsedilen çizgisel yüzeyleme şekli ile yapısal (kırık) kontrollü bir granitoyid olduğunu düşündürmektedir (Şekil 3.21 C). Granitoyidin doğu kenarı yer yer Karadağ metamorfitleri ile sınırlanmıştır. Ancak metamorfitlerdeki yoğun ayrışma nedeniyle dokanağın bu kısımları ayrıntılı olarak gözlenmemektedir.



Şekil 3.21. Sebzeciler granitoidinin dokanaklarına ait görünümler (A: Granitoidin Demirkent plutonu ile olan batıdaki çizgisel dokanlığı, B: Granitoidin Demirkent plutonu kayaçları ile arılışlı dayk yapısı oluşturduğu kuzeydeki dokanlığı, C: Granitoidin kuzey kesimlerinin genel görünümü (fotograf doğudan batıya doğru çekilmiş); SG: Sebzeciler granitoidi, DP: Demirkent plutonu, HF: Hamurkesen Formasyonu)

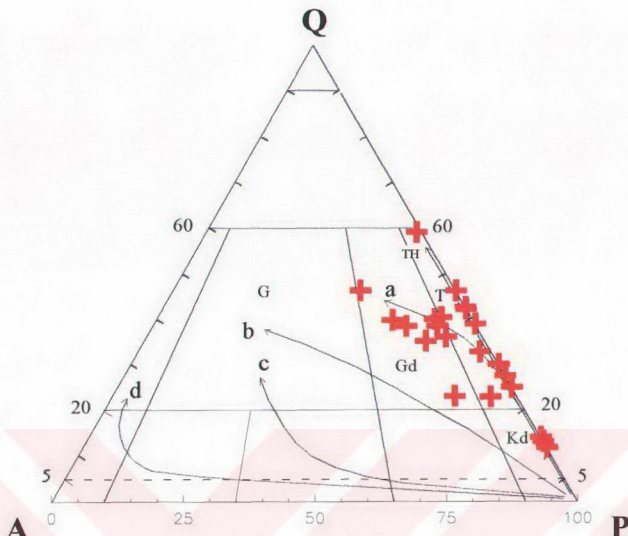
3.1.4.3. Litoloji

Sebzeciler granitoyidinden alınan 55 adet örneğin tamamına yakını ince kesit yapılırlar mikroskopta incelenmiştir. Granitoyidi temsilen seçilen 23 örneğin ince kesitlerinde 2000 nokta sayilarak modal mineralojik bileşimleri bulunmuştur (Çizelge 3.13). Mikroskopik incelemeler ve modal analizler Sebzeciler granitoyidinin kuvarslı diyoritten granodiyorite kadar değişen bileşime sahip olduğunu göstermektedir (Şekil 3.22). Bu değişim sistematik olmayıp çok kısa mesafelerde, hatta bir el örneği ölçünde bile olabilmektedir. Sebzeciler civarındaki büyük stok çoğunlukla tonalitlerden oluşmaktadır (Şekil 3.23 A). Ancak IUGS'ın 1976 yılındaki sınıflamasında plajiyoklas olarak oligoklas veya andezin içeren loko-tonalitler tronjemit olarak tanımlanmışlardır (Streckeisen, 1976).

Çizelge 3.13. Sebzeciler granitoyidi kayaçlarının modal analiz sonuçları

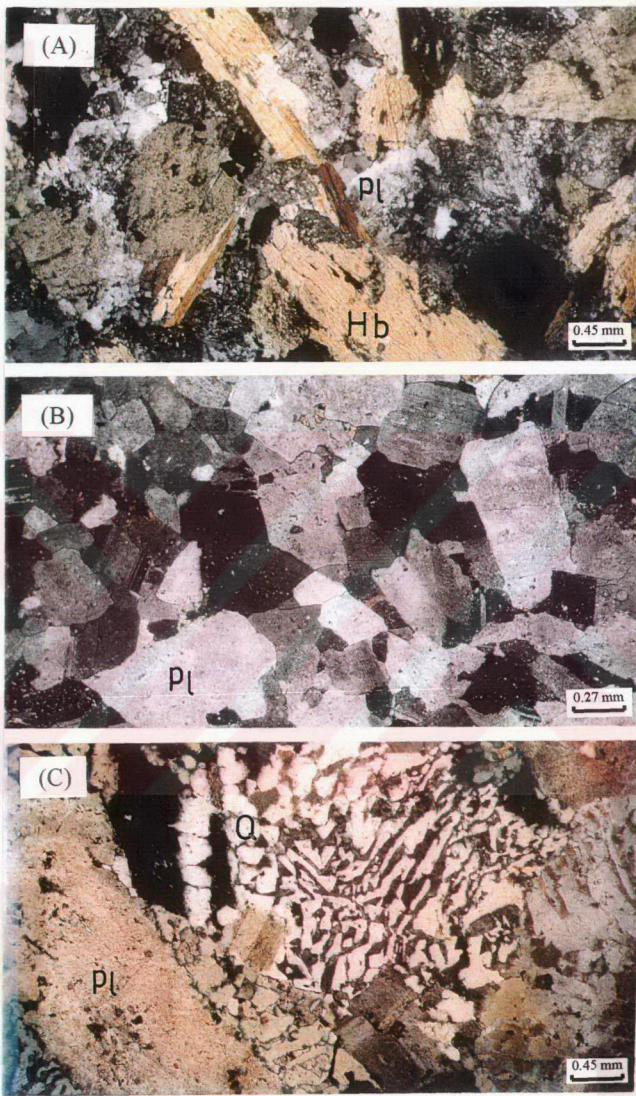
Örn. No	Q	Pl	Or	Bi	Amf	Ep	Kl	Op	SAT	COL	FELDS
418▼	55.25	37.50	1.00	-	-	6.15	-	0.10	46.50	6.25	2.60
420▼	52.80	43.70	-	-	-	3.50	-	-	42.37	3.50	-
502▼	33.25	63.45	-	-	-	2.80	0.50	-	26.08	3.30	-
613^x	34.85	49.15	6.80	3.10	-	4.70	0.95	0.45	28.13	9.20	12.15
614^x	36.75	48.70	6.65	3.65	-	2.60	1.15	0.50	30.81	7.90	12.01
615^x	42.04	31.58	20.09	2.13	0.22	2.13	1.39	0.43	39.91	6.47	33.69
618*	41.00	47.90	-	-	-	11.10	-	-	33.83	11.10	-
619^x	37.25	42.30	14.40	4.40	-	0.75	0.55	0.35	31.61	6.05	25.40
620*	40.70	55.05	-	1.20	-	1.35	0.40	1.30	32.30	4.25	-
622*	36.10	48.45	5.20	8.80	-	0.45	0.40	0.60	38.30	10.25	9.69
623*	29.45	58.55	1.95	5.05	-	2.75	1.40	0.85	30.28	10.05	3.22
629*	11.30	69.60	-	3.25	14.80	-	-	1.05	9.70	19.10	-
630*	9.91	65.82	-	-	19.52	2.20	0.40	2.15	9.27	24.27	-
631^x	34.85	43.95	12.20	0.45	7.35	-	0.25	0.95	35.58	9.00	21.73
636^x	31.00	47.36	10.01	-	0.36	9.86	1.17	0.25	31.13	11.64	17.45
653*	18.30	57.65	4.10	3.55	14.45	-	0.10	1.85	19.14	19.95	6.64
654^x	20.75	58.70	10.70	2.00	5.50	-	-	2.35	21.22	9.85	15.42
655*	22.15	58.40	-	4.65	12.35	0.65	-	1.80	19.64	19.45	-
675*	23.50	70.60	-	4.60	-	0.60	0.20	0.50	18.31	5.90	-
676*	40.50	55.65	0.15	-	-	2.05	-	1.65	32.23	3.70	0.27
677^x	33.50	53.10	6.60	6.15	-	0.25	0.30	0.10	34.22	6.80	11.06
678*	36.80	58.00	-	3.35	-	0.35	1.00	0.50	29.49	5.20	-
679*	10.00	66.70	-	4.20	16.60	0.70	0.60	1.20	11.31	23.30	-
689*	24.16	56.44	-	11.53	6.58	-	-	1.29	29.98	19.41	-
691*	10.15	76.40	-	5.05	5.95	0.40	0.90	1.15	11.73	13.45	-

^x granodiyorit, ^{*} tonalit, ^{*} kuvarslı diyorit, ▼ mikrotonalit ve granofir; SAT: doygunluk indisi ($Q/Q+F$), COL: renk indisi ($100-(Q+F)$), FELDS: feldspat indisi ($Or/(Or+Pl)$); F: feldspat ($Or+Pl$)



Şekil 3.22. Sebzeciler granitoyidinin Q-A-P diyagramı (Streckeisen ,1975). Kd: Kuvarşlı diyorit, T = tonalit, Gd = Granodiyorit, G = granit. Oklar magmatik kayaç serilerinin farklılaşmalarını göstermektedir (Lameyre ve Bowden, 1982): TH = toleyitik yönseme, a = kalk-alkali trondjemitik (düşük K'lu) yönseme, b = kalk-alkali granodiyoritik (orta K' lu) yönseme, c = kalk-alkali monzonitik (yüksek K'lu) yönseme, d = alkali yönseme.

Bu sınıflamaya göre açık renkli minerallerin % 20'si veya daha oranlarda kuvars, % 10 veya daha az oranlarda alkali feldspat içeren ve renk indisi 10 veya daha düşük kayaçlar trondjemit adını almaktadır. Modal analizi yapılan 25 örneğin 14'ünde renk indisi % 10'dan küçüktür. Bu bakımdan tonalit alanına düşen örneklerin önemli bir kısmı trondjemit bileşimindedir. Kuzey doğudaki 2 km² lik küçük stok ise çoğunlukla tonalit, çok az oranda da kuvarşlı diyoritlerden meydana gelmektedir. Mikro-tonalitler granitoyidin kenar kısımlarında ve özellikle Demirkent plutonunun mikro-gabroları ile ardisıklı dayklar oluşturduğu kuzey ve güney kesimlerinde yaygındır (Şekil 3.23 B). Tonalit granofirler ise granitoyidin doğusunda ve özellikle metamorfiterle olan sınıra yakın kesimlerde görülmektedirler (Şekil 3.23 C).



Şekil 3.23. Tonalit, mikrotonalit ve granofirlerde gözlenen dokular, Çift Nikol, (A: tonalitlerde görülen iri taneli doku, Örnek no: 654; B: mikrotonalitlerde gözlenen ince taneli doku, Örnek no: 497; C: granofirlerde gözlenen yazı dokusu, Örnek no: 420 ; Pl: plajiyoklas, Q: kuvars, Hb: hornblend)

Sebzeciler granitoyidi özellikle kuvars, plajiyoklas ve hornblend oranlarındaki büyük değişim aralığı nedeniyle kuvarslı diyoritten granodiyorite kadar değişen bir bileşime ve düşük K'lu kalk-alkali trondjemitik yönsemeye sahiptir (Şekil 3.22). Kayaçlar genellikle iri taneli doku gösterirler. Granitoyidin büyük bir bölümünü oluşturan tonalit ve trondjemitler arasındaki ayırm trondjemitlerin tonalitlere göre daha az oranlarda hornblend ve biyotit içermeleri ile yapılmaktadır. Ayrıca, trondjemitler tonalitlere göre daha az oranlarda zonlu plajiyoklas içerirler. Granodiyoritler özellikle K'lu feldspat içeriklerinin yüksek, hornblend ve biyotit içeriklerinin düşük olması ile tonalit ve trondjemitlerden; kuvarslı diyoritler ise K'lu feldspat içermemeleri yanında, göreceli olarak yüksek hornblend içerikleri ile granodiyorit ve tonalitlerden ayrılmaktadırlar. Mikro-tonalitler ve granofirler mineralojik olarak aynı bileşime sahiptirler. Bunlar dokusal özelliklerinin farklı oluşu yanında biyotit ve hornblend içermemeleri ve yaygın olarak çatlak dolgusu şeklinde epidot içermeleri ile tonalit ve granodiyoritlerden ayrırlırlar.

Plajiyoklaslar (% 31-76) genellikle yarı öz şekilli, kısmen de öz şekillidirler. İri plajiyoklas kristallerinin hemen hepsi halkalı zonludur. Genellikle serizitleşmişlerdir. Serizitleşme oranları kuvarslı diyorit ve tonalitlerden, granodiyorit ve tonalit-granofirlere doğru gidildikçe artmaktadır. Tonalitlerdeki plajiyoklaslarda yapılan mikroprob analizleri sonucunda iri plajiyoklasların bitovnitten oligoklasa (An_{79-25}) kadar, küçük kristallerin ise labradoritten oigoklasa (An_{60-19}) kadar değişen bileşimlere sahip oldukları görülmüştür (Çizelge 3.14). Plajiyoklasların kenar ve merkezi kısımları arasındaki % An değişimi daima % 30' dan büyütür. Granodiyoritlerde daha yaygın olarak görülen K-lu feldspatlar (% 6-20) öz şekilsiz ve kısmen yarı öz şekillidirler. Yer yer kuvars ile yazı dokusu oluştururlar. Koyu renkli mineraller olarak biyotit (% 0-15) ve hornblend (% 0- 7) içermektedirler. Biyotit horblendler de tonalitlerden granodiyoritlere doğru gidildikçe azalmaktadır. Granodiyoritlerdeki hornblend ve biyotitler genellikle öz şekilsiz ve kloritleşmişlerdir. Tonalit ve trondjemitlerdeki hornblend ve biyotitler ise genellikle yarı öz, kısmen de öz şekillidirler. Tonalitlerdeki hornblendlerin mikroprob analizleri sonucunda magnesyo hornblend bileşiminde oldukları (Çizelge 3.15) ve birim formüllerindeki Si oranlarının merkezden kenara doğru arttığı belirlenmiştir (Leake, 1978). Ayrıca hornblenderin kenar kısımlarında yer yer aktinolitik horblende dönüşümler de söz konusudur. Byotitlerin mikroprob analizleri sonucunda ise annit (47-49)-flogopit (51-53) bileşiminde oldukları tespit

edilmiştir (Çizelge 3.15' in devamı). Granitoyidin kuvars içeriği kuvarslı diyoritlerden (% 9-11) tonalit-trondjemit (% 18-41), granodiyorit (% 31-37) ve tonalit granofirlere (% 52-55) doğru geçildikçe artar. Özellikle tonalit granofirlerde oligoklas ile kuvars arasında çok yaygın yazı dokusu gelişmiştir (Bkz Şekil 3.23 C). Epidotlar (%1-11), granodiyorit ve tonalitlerde biyotitler içerisinde inklüzyonlar halinde ve nadir olarak da plajiyoklasların alterasyon ürünü olarak, mikro tonalit ve tonalit granofirlerde ise kırık yüzeyleri boyunca görülmektedirler. Tali mineral olarak zirkon, opak mineral olarak da manyetit (ilmenit) içermektedirler.

Çizelge 3.14. Tonalitlerde yapılan temsili plajiyoklas analizleri

Analiz	630/ 1	630/ 1	630/ 1	630/ 2	630/ 2	630/ 2	630/A	630/A	630/ A	630/ B	630/ B	630/ B	689
SiO₂	63,23	54,07	64,25	58,03	47,40	59,85	58,08	54,54	55,28	54,77	54,43	58,26	63,51
TiO₂	0,02	0,01	0,01	0,01	0,01	0,01	0,02	0,01	0,02	0,01	0,00	0,01	0,01
Al₂O₃	23,42	27,09	22,74	26,75	28,3	25,59	25,86	28,5	28,28	28,46	28,63	26,39	22,9
Cr₂O₃	0,00	0,05	0,02	0,01	0,01	0,01	0,02	0,05	0,00	0,02	0,04	0,02	0,04
FeO	0,14	0,22	0,18	0,23	1,5	0,21	0,21	0,29	0,27	0,36	0,33	0,3	0,15
MnO	0,02	0,01	0,02	0,03	0,05	0,03	0,03	0,02	0,00	0,03	0,01	0,01	0,03
MgO	0,00	0,01	0,00	0,00	0,02	0,01	0,01	0,02	0,02	0,03	0,02	0,00	0,00
CaO	4,31	12,61	4,07	8,78	18,06	7,49	7,85	11,01	10,86	11,25	11,44	8,6	4,38
Na₂O	8,90	4,97	9,19	6,5	3,14	7,25	6,62	5,07	5,27	5,07	4,92	6,56	9,16
K₂O	0,34	0,20	0,25	0,29	0,00	0,34	0,34	0,17	0,19	0,16	0,16	0,23	0,20
NiO	0,03	0,02	0,02	0,02	0,02	0,04	0,00	0,02	0,02	0,01	0,01	0,02	0,01
Toplam	100,4	99,26	100,8	100,7	98,51	100,8	99,04	99,7	100,2	100,2	99,99	100,4	100,4
	kenar	merkez	kenar	kenar	merkez	kenar	kenar	merkez	kenar	kenar	merkez	kenar	kenar
Katyonlar 32 oksijene göre hesaplanmıştır													
Si	11,146	9,899	11,274	10,343	8,995	10,610	10,487	9,879	9,953	9,882	9,842	10,402	11,201
Ti	0,003	0,002	0,002	0,002	0,002	0,002	0,003	0,002	0,003	0,002	0,000	0,002	0,002
Al⁴	0,854	2,101	0,726	1,657	3,005	1,390	1,513	2,121	2,047	2,118	2,158	1,598	0,799
Al⁶	4,012	3,744	3,977	3,963	3,325	3,957	3,991	3,963	3,955	3,935	3,944	3,956	3,962
Cr	0,000	0,007	0,003	0,001	0,002	0,001	0,003	0,007	0,000	0,003	0,006	0,003	0,006
Fe*	0,021	0,034	0,026	0,034	0,238	0,031	0,032	0,044	0,041	0,054	0,050	0,045	0,022
Mn	0,005	0,003	0,005	0,008	0,014	0,008	0,008	0,005	0,000	0,008	0,003	0,003	0,004
Mg	0,000	0,002	0,000	0,000	0,003	0,002	0,002	0,003	0,003	0,005	0,003	0,000	0,000
Ca	0,814	2,474	0,765	1,677	3,672	1,423	1,519	2,137	2,095	2,175	2,216	1,645	0,828
Na	3,041	1,764	3,126	2,246	1,155	2,492	2,317	1,780	1,840	1,774	1,725	2,271	1,566
K	0,076	0,047	0,056	0,066	0,000	0,077	0,078	0,039	0,044	0,037	0,037	0,052	0,045
Ni	0,004	0,003	0,003	0,003	0,003	0,006	0,000	0,003	0,003	0,001	0,001	0,003	0,001
Toplam	19,977	20,078	19,963	20,000	20,415	19,998	19,954	19,984	19,984	19,993	19,985	19,979	18,436
An	20,703	57,737	19,385	42,038	76,070	35,646	38,799	54,008	52,664	54,575	55,717	41,460	33,941
Ab	77,352	41,173	79,197	56,309	23,930	62,428	59,200	44,999	46,239	44,501	43,355	57,220	64,214
Or	1,945	1,090	1,418	1,653	0,000	1,927	2,001	0,993	1,097	0,924	0,928	1,320	1,845

Çizelge 3.14'ün devamı

Analiz	689	689	689	689	689	689	689 A	689 A	689 A	689 B	689 B	689 B	689 C
SiO₂	54,42	56,17	51,79	55,14	56,16	60,05	55,64	51,57	60,54	58,55	52,94	59,03	52,97
TiO₂	0,01	0,01	0,01	0,02	0,01	0,03	0,01	0,01	0,03	0,01	0,01	0,00	0,02
Al₂O₃	28,5	27,39	30,01	27,81	27,17	25,01	27,87	30,43	25,02	25,32	29,48	25,66	29,56
Cr₂O₃	0,01	0,01	0,04	0,02	0,04	0,04	0,04	0,04	0,04	0,01	0,00	0,04	0,01
FeO	0,17	0,23	0,27	0,28	0,28	0,18	0,19	0,22	0,13	0,14	0,41	0,20	0,22
MnO	0,02	0,03	0,03	0,04	0,03	0,02	0,02	0,01	0,03	0,01	0,00	0,03	0,03
MgO	0,00	0,01	0,02	0,03	0,01	0,02	0,01	0,01	0,01	0,01	0,02	0,00	0,00
CaO	11,35	9,75	13,45	10,59	9,89	6,96	10,42	13,44	6,7	7,59	12,4	7,86	12,54
Na₂O	5,11	5,87	3,85	5,49	5,09	7,70	5,53	3,70	7,69	7,13	4,39	6,86	4,45
K₂O	0,09	0,17	0,06	0,12	0,13	0,28	0,12	0,10	0,21	0,20	0,12	0,15	0,09
NiO	0,00	0,02	0,02	0,01	0,01	0,00	0,00	0,02	0,02	0,03	0,02	0,03	0,01
Toplam	99,68	99,66	99,55	99,55	99,63	100,3	99,85	99,55	100,4	99	99,79	99,86	99,9
	merkez					kenar	kenar	merkez	kenar	kenar	merkez	kenar	merkez

Katyonlar 32 oksijene göre hesaplanmıştır

Si	9,861	10,14	9,46	9,993	10,15	10,69	10,04	9,415	10,74	10,57	9,624	10,56	9,616
Ti	0,002	0,002	0,002	0,003	0,002	0,005	0,002	0,002	0,005	0,002	0,002	0	0,003
Al⁴	2,139	1,862	2,54	2,007	1,853	1,308	1,964	2,585	1,258	1,429	2,376	1,439	2,384
Al⁶	3,949	3,965	3,922	3,933	3,934	3,941	3,961	3,963	3,974	3,96	3,941	3,972	3,941
Cr	0,001	0,001	0,006	0,003	0,006	0,006	0,006	0,006	0,006	0,001	0,000	0,006	0,001
Fe*	0,026	0,035	0,041	0,042	0,042	0,027	0,029	0,034	0,019	0,021	0,062	0,03	0,033
Mn	0,003	0,005	0,005	0,006	0,005	0,003	0,003	0,002	0,005	0,002	0,000	0,005	0,005
Mg	0,000	0,003	0,005	0,008	0,003	0,005	0,003	0,003	0,003	0,003	0,005	0,000	0,000
Ca	2,204	1,886	2,633	2,056	1,915	1,328	2,014	2,629	1,274	1,468	2,415	1,507	2,439
Na	0,898	1,027	0,682	0,964	1,033	1,329	0,967	0,655	1,323	1,248	0,774	1,19	0,783
K	0,021	0,039	0,014	0,028	0,03	0,064	0,028	0,023	0,048	0,046	0,028	0,034	0,021
Ni	0	0,003	0,003	0,001	0,001	0,000	0,000	0,003	0,003	0,004	0,003	0,004	0,001
Toplam	19,1	18,97	19,31	19,05	18,97	18,71	19,01	19,32	18,66	18,76	19,23	18,75	19,23
An	70,58	63,88	79,1	67,45	64,29	48,81	66,94	79,5	48,18	53,16	75,09	55,18	75,21
Ab	28,75	34,79	20,48	31,64	34,7	48,85	32,14	19,8	50,02	45,17	24,05	43,57	24,15
Or	0,666	1,326	0,42	0,91	1,006	2,338	0,918	0,704	1,798	1,668	0,865	1,254	0,643

Çizelge 3.15. Tonalitlerde yapılan temsili amfibol analizleri

Analiz	630/A	630/ A	630/ A	630/A	630/A	630/ A	630/ A	630/ A	630/A	630/ 1	630/ 1	630/ 1	630/ 3
SiO₂	48,81	47,89	50,01	49,90	49,20	48,19	45,55	47,74	49,27	49,62	49,59	48,33	49,47
TiO₂	1,16	1,57	1,17	1,25	1,34	1,52	2,10	1,60	1,15	1,14	1,20	1,28	1,12
Al₂O₃	6,24	7,01	5,06	5,15	5,79	6,95	9,22	7,45	6,18	5,44	5,60	6,67	6,10
Cr₂O₃	0,01	0,01	0,04	0,02	0,03	0,02	0,02	0,03	0,01	0,01	0,04	0,01	0,03
FeO	15,50	15,44	14,49	14,67	15,45	14,81	15,95	15,69	15,04	14,99	15,12	15,51	15,62
MnO	0,46	0,44	0,49	0,46	0,43	0,33	0,41	0,41	0,47	0,44	0,52	0,54	0,58
MgO	13,84	12,80	14,34	13,98	13,52	13,56	12,46	13,38	14,35	13,91	13,38	13,09	13,94
CaO	10,51	11,38	11,27	11,23	11,22	11,16	10,88	10,56	10,27	11,37	11,31	10,39	10,17
Na₂O	1,33	1,24	0,96	1,08	1,17	1,30	2,13	1,75	1,51	1,08	0,94	1,46	1,34
K₂O	0,17	0,43	0,41	0,45	0,45	0,56	0,25	0,20	0,17	0,47	0,42	0,19	0,18
Toplam	98,03	98,21	98,24	98,19	98,60	98,40	98,97	98,81	98,42	98,47	98,12	97,47	98,55
	kenar			merkez	merkez				kenar	kenar	kenar	kenar	kenar
Kationlar 23 oksijene göre hesaplanmıştır													
Si	7,065	6,995	7,227	7,24	7,222	6,995	6,632	6,898	7,084	7,185	7,212	7,067	7,112
Al	0,935	1,005	0,773	0,76	0,769	1,005	1,368	1,102	0,916	0,815	0,788	0,933	0,888
Fe³⁺	0	0	0	0	0,009	0	0	0	0	0	0	0	0
Top_T	8	8	8	8	8	8	8	8	8	8	8	8	8
Al	0,128	0,201	0,088	0,12	0,059	0,183	0,213	0,166	0,13	0,113	0,171	0,216	0,144
Cr	0,001	0,001	0,005	0,002	0,003	0,002	0,002	0,003	0,001	0,001	0,005	0,001	0,003
Fe³⁺	0,571	0,309	0,385	0,332	0,314	0,365	0,43	0,519	0,602	0,349	0,324	0,492	0,627
Ti	0,126	0,172	0,127	0,136	0,148	0,166	0,23	0,174	0,124	0,124	0,131	0,141	0,121
Mg	2,986	2,787	3,089	3,024	2,959	2,934	2,704	2,882	3,076	3,003	2,901	2,854	2,987
Fe²⁺	1,159	1,502	1,277	1,358	1,49	1,329	1,395	1,231	1,038	1,383	1,436	1,263	1,082
Mn	0,028	0,027	0,03	0,028	0,027	0,02	0,025	0,025	0,028	0,027	0,032	0,033	0,035
Top_C	5	5	5	5	5	5	5	5	5	5	5	5	5
Fe²⁺	0,146	0,075	0,089	0,091	0,083	0,104	0,117	0,146	0,168	0,083	0,079	0,141	0,169
Mn	0,029	0,027	0,03	0,029	0,027	0,02	0,026	0,025	0,029	0,027	0,032	0,034	0,036
Ca	1,63	1,781	1,745	1,746	1,765	1,736	1,697	1,635	1,582	1,764	1,762	1,628	1,566
Na	0,184	0,116	0,133	0,135	0,125	0,14	0,161	0,193	0,207	0,125	0,126	0,197	0,184
Top_B	1,988	2	1,998	2	2	2	2	2	1,987	2	2	2	1,955
Na	0,189	0,235	0,136	0,169	0,208	0,226	0,441	0,297	0,214	0,178	0,139	0,217	0,19
K	0,031	0,08	0,076	0,083	0,084	0,104	0,046	0,037	0,031	0,087	0,078	0,035	0,033
Top_A	0,22	0,315	0,211	0,252	0,292	0,329	0,487	0,334	0,245	0,265	0,217	0,253	0,223
Toplam	15,209	15,315	15,209	15,252	15,292	15,329	15,487	15,334	15,231	15,265	15,217	15,253	15,178
Top_Oks	23,015	23,025	23,016	23,042	23,031	23,033	23,032	23,038	23,038	23,018	23,032	23,057	23,039
Mg#	0,6959	0,6386	0,6934	0,6761	0,6529	0,6719	0,6414	0,6767	0,7184	0,672	0,6569	0,6703	0,7048

$$\text{Mg\#} = \text{Mg}/(\text{Mg}+\text{Fe}^{2+})$$

Çizelge 3.15' in devamı ve temsili biyotit analizleri

Analiz	630/ 3	630/ 3	689/A	689/A	689/A	689/B	689/B	689/B	689/1	689/2	654/1	
SiO₂	47,81	47,31	49,3	48,96	51,46	48,38	48,55	48,65	SiO₂	36,45	36,64	40,69
TiO₂	1,52	1,22	1,00	1,14	0,36	1,19	1,29	1,37	TiO₂	4,01	3,69	3,82
Al₂O₃	6,88	5,64	6,51	6,68	3,94	6,92	6,84	6,73	Al₂O₃	13,58	13,89	14,79
Cr₂O₃	0,03	0,01	0,02	0,01	0,01	0,04	0,01	0,02	Cr₂O₃	0,05	0,03	0,00
FeO	15,77	14,83	15,14	14,93	14,73	13,48	13,5	13,65	FeO	17,71	17,44	18,34
MnO	0,53	0,48	0,71	0,61	0,96	0,39	0,49	0,42	MnO	0,44	0,46	0,47
MgO	12,82	13,01	13,68	13,74	14,55	14,61	14,87	14,70	MgO	12,11	12,18	13,58
CaO	10,95	10,68	10,15	10,52	10,95	10,65	10,77	10,84	CaO	0,13	0,13	0,55
Na₂O	1,31	1,10	1,09	1,11	0,56	1,53	1,51	1,44	Na₂O	0,26	0,24	0,00
K₂O	0,32	0,37	0,15	0,14	0,22	0,14	0,17	0,16	K₂O	8,62	8,67	7,67
Toplam	97,94	94,65	97,75	97,84	97,74	97,33	98,00	97,97	NiO	0,03	0,02	0,00
	merkez	kenar	kenar	merkez	kenar	kenar	merkez	kenar	Toplam	93,39	93,39	99,91

Kationlar 22 oksijene göre hesaplanmıştır

kenar merkez

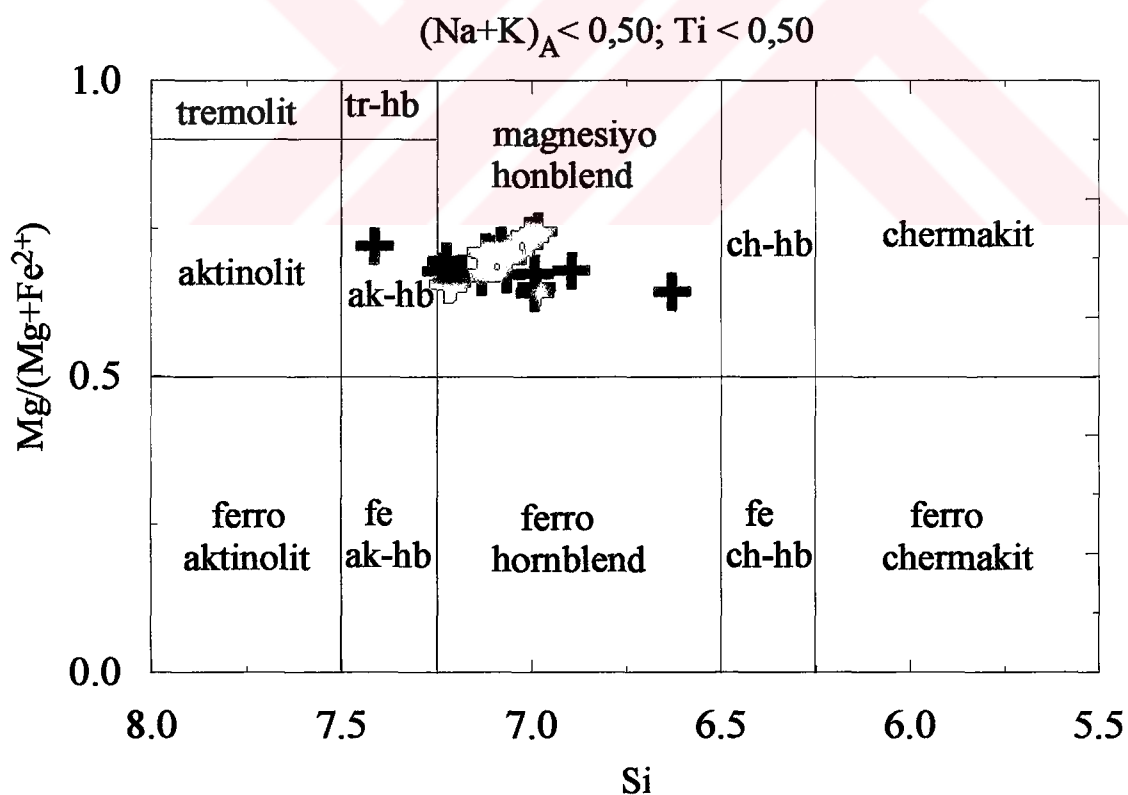
Si	6,99	7,133	7,124	7,075	7,417	7,01	6,986	7,008	Kationlar 22 O'	e göre hesap.		
Al	1,01	0,867	0,876	0,925	0,581	0,99	1,014	0,992	Si	5,405	5,425	5,648
Fe³⁺	0	0	0	0	0,002	0	0	0	Ti	0,559	0,514	0,499
Top_T	8	8	8	8	8	8	8	8	Al⁴	0,595	0,575	0,352
Al	0,175	0,134	0,23	0,21	0,09	0,19	0,15	0,15	Al⁶	1,856	1,928	2,104
Cr	0,003	0,001	0,00	0	0	0,01	0	0	Cr	0,006	0,004	0,000
Fe³⁺	0,416	0,401	0,62	0,56	0,55	0,51	0,52	0,49	Fe³⁺	1,399	1,402	0,645
Ti	0,167	0,138	0,11	0,12	0,04	0,13	0,14	0,15	Fe²⁺	1,892	1,855	1,825
Mg	2,794	2,924	2,94	2,96	3,13	3,16	3,19	3,16	Mn	0,055	0,058	0,055
Fe²⁺	1,412	1,371	1,05	1,11	1,14	0,99	0,97	1,02	Mg	2,676	2,687	2,809
Mn	0,032	0,03	0,04	0,04	0,06	0,02	0,03	0,03	Ca	0,021	0,021	0,082
Top_C	5	5	5	5	5	5	5	5	Na	0,075	0,069	0,000
Fe²⁺	0,1	0,098	0,16	0,14	0,09	0,14	0,13	0,13	K	1,631	1,638	1,358
Mn	0,033	0,031	0,04	0,04	0,06	0,02	0,03	0,03	Ni	0,004	0,002	0,000
Ca	1,715	1,725	1,57	1,63	1,69	1,65	1,66	1,67	Toplam	16,172	16,178	15,377
Na	0,151	0,146	0,15	0,15	0,08	0,18	0,18	0,17	Mg#	0,448	0,452	0,532
Top_B	2	2	1,92	1,96	1,91	2	2	2	Ann	43,292	42,782	35,712
Na	0,22	0,176	0,16	0,16	0,08	0,25	0,24	0,23	Sider	21,500	21,922	23,671
K	0,06	0,071	0,03	0,03	0,04	0,03	0,03	0,03	Flog	35,207	35,296	40,617
Top_A	0,28	0,247	0,18	0,18	0,12	0,27	0,27	0,26				
Toplam	15,28	15,247	15,11	15,14	15,03	15,27	15,27	15,26				
Top oks.	23,024	23,024	23,04	23,02	23	23,03	23,01	23,02				
Mg#	0,6489	0,6656	0,7084	0,7031	0,7179	0,7366	0,7436	0,7332				

$$\text{Mg\#} = \text{Mg}/(\text{Mg}+\text{Fe}^{2+})$$

$$\text{Mg\#} = \text{Mg}/(\text{Mg}+\text{Fe}^{2+}+\text{Fe}^{3+})$$

3.1.4.4. Jeotermobarometri

Sebzeciler granitoyidindeki jeobarometri hesaplamaları tonalitlerindeki amfibollerde Al-jeobarometrisi esasına göre gerçekleştirilmiştir (Hammarstrom ve Zen, 1986; Hollister ve dig., 1987; Johnson ve Rutherford, 1989; Schmidt, 1991). Kuvars, plajiyoklas, K' lu feldspat, hornblend, biyotit, magnetit, ilmenit birikteği ile kalk-alkali plütonlar amfibol jeobarometri hesaplamalarına uygun mineralojik bileşimlere sahiptirler. Ancak amfibollerin oluşumundan sonra sistemde aktinolite dönüşüm, kloritleşme ve opaklaşma gibi katı faz dönüşümleri meydana geldiğinden, amfibol jeobarometrisi olarak kullanılacak amfibollerin katılışma fazı sırasında oluşmuş olmaları gerekmektedir. Bu bakımdan alterasyona uğramış bileşimler hesaplamaların dışında tutulmalıdır (Hammarstrom ve Zen, 1986). Tonalitlerdeki amfiboller trondjemit ve granodiyoritlerdekilere göre daha az oranlarda altere olduklarından bu tür hesaplamalar için daha uygun bileşimlere sahiptirler. Amfibollerin sınıflamasında (Şekil 3.24) da görüldüğü gibi tonalitlerdeki amfiboller aktinolitik hornblend alanına düşen bir nokta dışında magnesiyo hornblend alanında toplanmaktadır.



Şekil 3.24. Tonalitlerdeki kalsik amfibollerin sınıflaması (Leake, 1978).

Kalk-alkali granitoyidlerdeki amfibollerin Al içeriği kristalizasyon basıncı ile doğrusal ilişkilidir. Bu bakımından plütonların yerleşim derinlikleri ile ilgili bilgiler verirler. Kalk-alkali plütonik kayaçlarla ilgili literatürdeki bilgiler ve deneyel çalışmalar amfibollerin bileşimlerinin ilksel magma bileşimin yanında basınç, sıcaklık ve oksijen uçuculuğu ile de ilişkili olduğunu göstermektedir. Kabuğun sıç ve derin kesimlerine yerleşen kalk-alkali plütonlardaki amfibollerin hemen hepsi kalsik amfiboller olmalarına rağmen, özellikle Al içeriği bakımından önemli farklılıklar gösterirler. Al içeriğindeki bu farklılık doğrudan plütonların yerleşim derinlikleri ile ilişkilidir (Hammarstrom ve Zen, 1986; Hollister ve diğ., 1987). Kalk-alkali plütonların tahmin edilen kristalizasyon basıncı (P) ve hornblendelerin Al^T içeriği arasında ileri sürülen deneyel korelasyonlar aşağıda tanımlanan doğrusal ilişkiler şeklindedir:

$$P (\pm 3 \text{ kbar}) = -3.92 + 5.03Al^T \quad r^2 = 0.80 \quad (\text{Hammarstrom ve Zen, 1986})$$

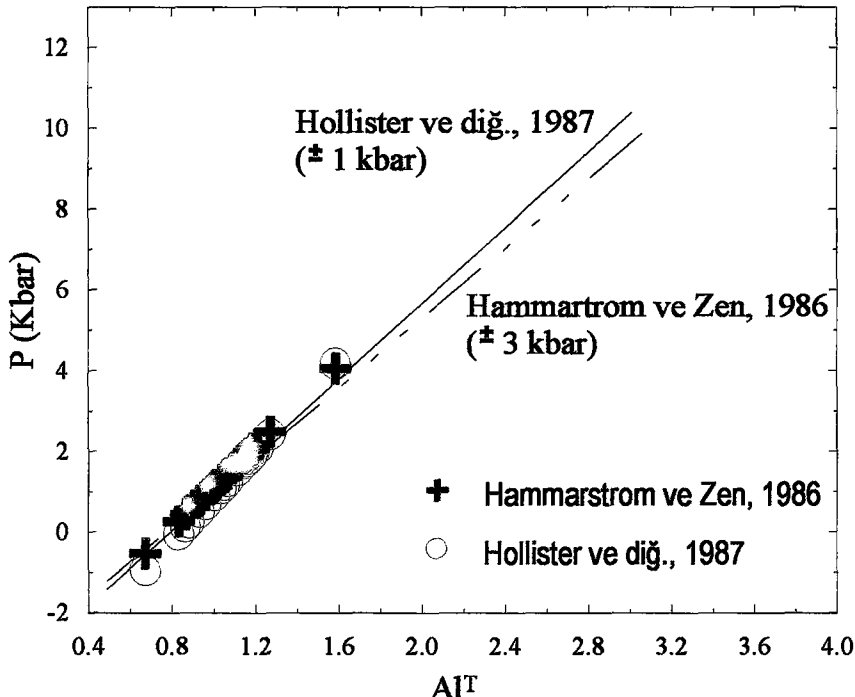
$$P (\pm 1 \text{ kbar}) = -4.76 + 5.64Al^T \quad r^2 = 0.97 \quad (\text{Hollister ve diğ., 1987})$$

$$P (\pm 0.5 \text{ kbar}) = -3.46 + 4.23Al^T \quad r^2 = 0.99 \quad (\text{Johnson ve Rutherford, 1989})$$

$$P (\pm 0.6 \text{ kbar}) = -3.01 + 4.76Al^T \quad r^2 = 0.99 \quad (\text{Schmidt, 1991})$$

Hornblendler ile ilgili deneyel korelasyonlar plütonun yerleşim basıncından daha çok hornblendelerin ve buna bağlı olarak da komşu minerallerin kristalizasyon basıncını verdiği kabul edilmektedir. Bu nedenle hesaplanan basınçlar hornblendelerin kristalleme derinliklerini yansıtabilir (Ghent ve diğ., 1991).

Şekil 3.24' de de görüldüğü gibi tonalitlerdeki hornblendelerin Al^T içerikleri merkezi kısımlarında yüksek, kenar kısımlarına doğru gittikçe azalmaktadır. Bu bakımından hornblendelerin merkezi kısımları için yüksek, kenar kısımlarına doğru giderek azalan basınç değerleri hesaplanmaktadır. Bu basınç değerleri merkezi kısımları için Hollister ve diğ., (1987)' ne göre 2.37 - 4.15 kbar, Hammarstrom ve Zen, (1986) göre de 2.44 - 4 kbar arasındadır (Şekil 3.25). Kenar kısımları için hesaplanan basınçlar ise 0-2 kbar arasında değişmekte, hatta bir de negatif basınç söz konusu olmaktadır. Düşük ve negatif basınç değerleri hornblendelerin sınıflamasında da görüldüğü gibi kenar kısımlarında aktinolite dönüşüm, kloritleşme, oksidasyon (opaklaşma) gibi katı faz dönüşümlerinin merkezi kısımlara göre daha yaygın olarak gelişmiş olabileceğine işaret etmektedir. Hammarstrom ve Zen (1986), hornblendelerdeki Al^T un 4 değerini aşamayacağını, Al^T < 0.79 olması durumunda ise negatif basınçların söz konusu olacağının bahsetmektedir. Çünkü Al = 0.79



Şekil 3.25. Sebzeciler granitoyidi tonalitlerindeki amfibollerin Al^T içeriği ile kristalizasyon basıncı (P kbar) arasındaki ilişki. Diyagramdaki doğrular kalk-alkali plütonlardaki amfibollerin Al^T içeriklerinin basıncı bağlı değişimini göstermektedir.

sınıri kor kayaçlardaki amfibollerin Al^T içeriğinin alt sınırını oluşturmaktadır (Leake, 1971).

Granitoyidin tonalitlerinde gerçekleştirilen jeotermometri hesaplamaları amfibol-plajiyoklas jeotermometri (Spear, 1980 ve Blundy ve Holland, 1990) esasına göre yapılmıştır. Amfibol ve plajiyoklas, metamorfize olmuş mafik kayaçlarda ve bazı derinlik kayaçlarında görülen en yaygın mineral birliktelliğini oluştururlar. Plajiyoklas-amfibol birliktelikleri ile ilgili ilk jeotermometri çalışmaları metamorfitlerde gerçekleştirilmiş (Spear, 1980). Daha sonraki yıllarda plajiyoklas-amfibol jeotermometresi ile ilgili çalışmalar magmatik kayaçları da kapsayacak şekilde geliştirilmiştir. Blundy ve Holland (1990)'ın amfibol-plajiyoklas jeotermometrisi için önerdikleri termodinamik değişim reaksiyonları:

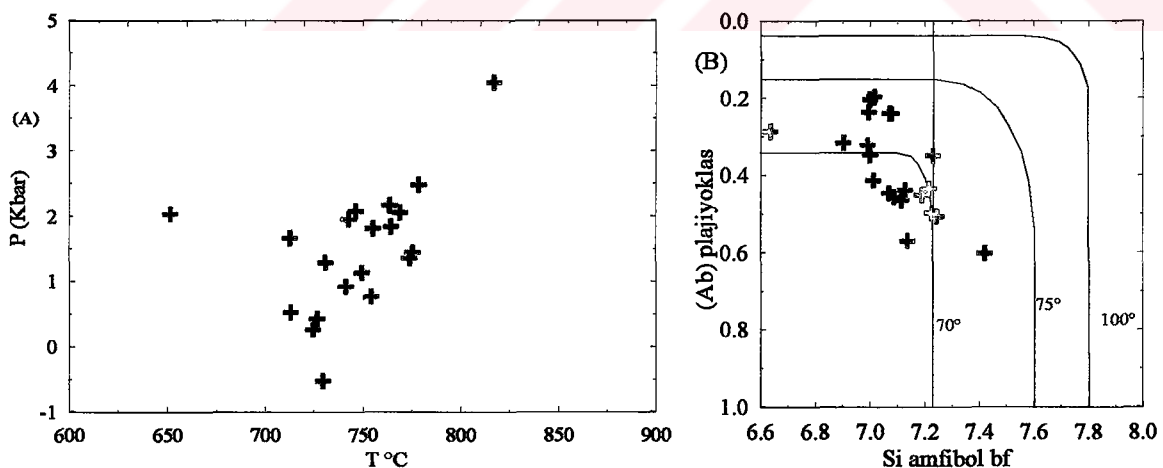
- 1- **Edenit + 4 Kuvars = Tremolit + Albit**
- 2- **Pargasit + 4 kuvars = Hornblend + Albit** şeklindedir.

Değişim reaksiyonlarının dağılım katsayısı $K = (\text{Si}-4)/(8-\text{Si})\text{X}_{\text{Ab}}$ olarak verilmektedir (X_{Ab} : plajiyoklasın albit içeriği). Her iki reaksiyon için de denge ilişkisi aşağıdaki jeotermometrinin önerilmesine yol açmıştır.

$$T = (0,677 P - 48,98 + Y) / (-0,0429 - 0,008314 \ln K), \quad (\text{Blundy ve Holland}, 1990).$$

Burada, T: sıcaklık, P basınç (kbar), Y: plajiyoklasın ideal olmaması durumu: $\text{X}_{\text{Ab}} > 0.5$ için $Y = 0$; $\text{X}_{\text{Ab}} < 0.5$ için $Y = -8.06 + 25.5(1-\text{X}_{\text{Ab}})^2$ dir.

500-1100 °C arasındaki sıcaklıklarda oluşmuş amfibol-plajiyoklas birliliklerinde kullanışlı olan bu termometri; % An_{92} 'den daha az kalsik plajiyoklas ve birim formülünde 7.8'den daha az Si içeren amfibol birlilikleri için kullanılmaktadır (Blundy ve Holland, 1990). Bu yöntemle tonalitlerdeki Plajiyoklas-hornblend birliliğinin hesaplanan kristalleşme sıcaklıkları, merkezi kısımlar için 775 ± 25 °C, kenar kısımlar için ise 675 ± 25 °C olarak elde edilmiştir (Şekil 3.26 A). Ayrıca bulunan sıcaklıklar bu yöntemle bulunan sıcaklıkların hata paylarını gösteren diyagramda (Şekil 3.26 B) en küçük hata payı sınırları içerisinde yer almaktadır (Blundy ve Holland, 1990). Sonuç olarak her iki yönteme göre elde edilen sıcaklık değerlerinin birbiri ile uyumlu ve 700 ± 50 °C olduğu söylenebilir.



Şekil 3.26. (A) Tonalitlerde hornblend jeobarometri (Hammarstrom ve Zen, 1986) ve plajiyoklas-hornblend jeotermometri (Blundy ve Holland, 1990). yöntemlerine göre elde edilen basınç-sıcaklık diyagramı. (B) $\text{Si}_{\text{amfibol}}\text{-Ab}_{\text{plajiyoklas}}$ değişim diyagramı. Diyagramda hesaplanan sıcaklıkların genellikle en küçük hata payı sınırları içerisinde kaldığı görülmektedir. 100°C sınırının üzerindeki alanda hata payları çok büyük olmaktadır (Blundy ve Holland, 1990).

Tonalitlerdeki hornblendler deneyel çalışmaların yapıldığı diğer kalk alkali granitoyidlerdeki hornblendler ile karşılaştırıldığında, silisyum içeriklerinin daha yüksek olduğu görülmektedir. Bu nedenle hornblendlerin silisyum bakımından zengin ve kristalizasyonun ileri aşamalarında da gittikçe zenginleşen bir eriyikten itibaren oluştuğunu söylenebilir. Silisyum içeriklerinin yüksek olması yanında düşük basınç koşulları altında oluşmuş olmaları, tedralihedral aluminyum (Al^{IV}) ve buna bağlı olarak da toplam aluminyum (Al^T) içeriklerinin düşük olmasına yol açmıştır. Bulunan basınç değerleri dikkate alındığında, Sebzeciler granitoyidi Hammarstrom ve Zen (1986)' in düşük basınç (< 5 kbar) da oluşan orojenik plütonlarına benzemektedir. Hesaplanan sıcaklıkların kalk-alkali plütonlardaki tonalitlerin oluşum sıcaklıkları ile son derece uyuşması, hesaplamaların yapıldığı hornblendlerin uygun bileşimlere sahip olduklarını ve çok az oranlarda katı faz dönüşümlerine uğramış olabileceklerine işaret etmektedir.

3.1.4.5. Yaş ve Deneştirme

Sebzeciler granitoyidinin yaşı ile ilgili olarak şu ana kadar yapılmış jeokronolojik tayinler yoktur. Daha genç birimler ile olan dokanak ilişkileri, stratigrafik konumu ve Doğu Pontidler'de eşleniği olabilecek diğer granitoyidlerdeki radyometrik yaşlar dikkate alınarak olası yaşlandırma yoluna gidilmiştir. Sebzeciler granitoyidi, Geç Paleozoyik yaşı Karadağ metamorfitleri ve Demirkent plütonu içerisinde yerleşmiştir. Liyas-Dogger yaşı Kinalıçam volkanik karmaşığı ve Hamurkesen Formasyonu ile herhangi bir dokanağa sahip değildir. Demirkent Plütonu ile birlikte kuzey batıya doğru Liyas-Dogger yaşı Hamurkesen Formasyonu üzerine itilmiştir. Ayrıca çoğunlukla kırtılı bir fasiyeste gelişen Hamurkesen Formasyonu içerisinde tonalit-granodiyorit bileşimli çakılların Sebzeciler granitoyidinden kaynaklandığı düşünülmektedir. Bütün bu verilerden hareketle granitoyidin Liyas öncesi yaşı olabileceği düşünülmektedir. Ayrıca, Pontidler'deki Malm öncesi yaşı diğer granitoyidler Permo-Karbonifer yaşıdır. Örneğin; Gümüşhane granitinin yerlesim yaşı “tüm kaya” Pb yöntemine göre 298-338 milyon yıl ile Permiyen (Çoğulu, 1975), radyometrik ölçümlere göre de 285-300 milyon yıl ile yine Permiyen (Tokel, 1972); Kösedağı granitoyidi ise Rb^{87}/Rb^{86} yöntemine göre 360 ± 2 yıl ile Alt Karbonifer (Bergougnan, 1987) olarak bulunmuştur. Bu bakımından Sebzeciler granitoyidinin de Permo-Karbonifer yaşı olabileceği söylenebilir.

3.1.5. Kinalıçam Volkanik Karmaşığı (Liyas)

3.1.5.1. Ad, Yayılım ve Topografik Görünüm

Kinalıçam volkanik karmaşığı adı, Tortum G47-a3 paftası içerisinde yer alan Kinalıçam Köyü'nden türetilmiştir. İnceleme alnındaki Liyas-Dogger oluşukları istiflenme yasasına uyan ve uymayan litolojiler olmak üzere iki şekildedirler. Bunlardan istiflenme yasasına uymayan ve tabanda yer alan volkanitler ayrı bir litodem birim olarak değerlendirilmiştirlerdir. Dolerit, diyabaz, bazalt, spilitleşmiş bazalt, andezit, dasit, riyolit ve yer yer de bunların piroklastlarından meydana gelen Alt Jura birimlerine, yakın yöredeki önemli yerleşim merkezlerinden biri olan Kinalıçam Köyü'ne atfen Kinalıçam volkanik karmaşığı adının verilmesi uygun görülmüştür.

Kinalıçam volkanik karmaşığı inceleme alanında en geniş yüzeyleme alanına sahip birimdir. Çalışma alanının orta kesimlerinde yer alan ve kuzeydoğu-güneybatı uzanımlı yüzeyleme şekilleri olan Karadağ metamorfitleri, Demirkent plütonu ve Sebzeciler granitoyidinin doğusu ve batısında yer alan yaklaşık 120 km^2 lik bir alanda görülür (Bkz Şekil 3.1, Ek-1). Bu nedenle genel olarak kuzeydoğu-güneybatı doğrultulu bir uzanıma sahiptir. Kinalıçam volkanik karmaşığının inceleme alanının doğusunda görüldüğü yerleri güneyden kuzeye doğru Çiçekli Tepe, Kinalıçam Köyü, Kavaklıkesi Tepe ve Kırgülü Mahallesi olarak; kuzey batıda görüldüğü yerleri ise güneyden kuzeye doğru, Yusufeli batısı, Avazan doğusu, Yukarıhaset Mahallesi, Legvan Dağı ve Kömürlü Köyü olarak sıralayabiliriz.

Kinalıçam volkanik karmaşığı içindeki litolojiler prizmatik yapı göstermeyen ve sınırları makroskopik olarak belirlenemeyen düzensiz yığışımalar şeklindedirler. Genellikle koyu gri-siyah, yer yer yeşil ve yüzeysel alterasyon nedeniyle de kahve-kırmızı renklerde görülürler. Dolerit ve diyabazlar dayk ve sil şeklinde iken, bazalt ve spilitler yastık lavlar şeklindedirler. Birim içerisinde büyük çoğunluğu oluşturan andezit ve dasitler ise büyük masif küteler oluştururlar. Riyolit ve dasitler arasındaki ayırım ise mikroskopik incelemelere ve kayaç kimyasına bağlı olarak yapılmaktadır. Kinalıçam volkanik karmaşığına ait kayaçlar oldukça kırıklı yapıya sahiptirler. Genellikle iki kırık sistemi hemen her alanda

görlür. Ancak bazı alanlarda 3 ve hatta 4 farklı kırık sistemini de görmek mümkündür. Genel olarak yüksek eğimli bir topografyaya sahip olan Kinalıçam volkanik karmaşığı, Çoruh Nehri ve Tortum Çayı boyunca dik veya $70\text{-}80^{\circ}$ lik eğimlere sahip şeveler oluşturur.

3.1.5.2. Alt-Üst Sınırlar, Kalınlık

Kinalıçam volkanik karmaşığı stratigrafik olarak Karadağ metamorfitleri, Demirkent plütonu ve Sebzeciler granitoyidi üzerine gelmektedir. İnceleme alanının doğu kesimlerinde yüzeyleyen bölümü Karadağ metamorfitleri üzerine uyumsuz olarak gelir. Kinalıçam volkanik karmaşığı magmanın kırıklar boyunca yüzeye çıkması ve yüzeyde akması sonucu oluşan efüsiv evreye karşılık gelen ürünlerden meydana gelmektedir. Dolerit ve diyabazların bir kısmı Karadağ metamorfitleri içerisinde yer yer 1.5 m varan genişliklerde dayklar şeklinde bulunurken, bazalt andezit, dasit ve riyolitler metamorfitler üzerinde düzensiz akmalar şeklindedirler. Hamurkesen Formasyonu'nun ince tabakalı kumtaşı, kiltaşı ve marnları; Kinalıçam volkanik karmaşığı üzerine uyumlu olarak gelir. Kinalıçam volkanik karmaşığının Jura öncesi yaşı birimlerin kuzeybatisında yer alan bölümü Hamurkesen formasyonu ile birlikte tektonik dilim özelliğindedir (Bkz Ek 1). Bu dilimin batı sınırı güneyde Eosen, kuzeyde ise Üst Kretase birimleri ile faylıdır. Eosen sonrası orojenik hareketlere (Geç Alpin) bağlı olarak batı kenarı boyunca kuzeybatıya doğru Üst Kretase ve Eosen birimleri üzerine itilmiştir. Doğuya doğru uyumlu olarak Hamurkesen Formasyonu'na geçmektedir. Kinalıçam volkanik karmaşığı istiflenme yasasına uymadığından kalınlığı ölçülemez.

3.1.5.3. Litoloji

Kinalıçam volkanik karmaşığı dolerit, diyabaz, bazalt ve spilit gibi bazik kayaçlardan; andezit gibi nötr ve dasit - riyolit gibi asidik kayaçlara kadar değişen çok geniş bir litolojik birlikteliğe sahiptir. Andezit ve dasitlerin büyük çoğunluğu oluşturduğu karmaşığın içinde bazaltlar ve bunların alterasyon ürünleri spilitlerde oldukça yaygındır.

3.1.5.3.1. Dolerit ve Diyabazlar

Dolerit ve diyabazlar, metamorfitler ve Kinalıçam volkanik karmaşığı içerisinde küçük stoklar ve dayklar halinde bulunurlar. Kinalıçam volkanik karmaşığı içerisindekileri makroskopik olarak diğer volkanitlerden ayırt etmek mümkün değildir. Metamorfitler içerisindekiler koyu gri-siyah renkleri ile çoğunlukla açık renklerdeki metamorfitlerden kolaylıkla ayırt edilirler. Bunlar genellikle kuzeydoğu güneybatı doğrultusunda uzanan dik dayklar şeklärindedirler. Genişlikleri 0.5-1.5 m arasında değişir. Mikroskopik incelemelerinde plajiyoklas ve klinopiroksenler genellikle bütün kesit alanının % 90 veya daha fazlasını kapladığı görülür. Genellikle ofitik (Şekil 3.27A) ve subofitik doku gösteren dolerit ve diyabazlar yer yer entergranüler, poikilitik ve entersertal dokular da gösterirler. Ofitik, subofitik, entergranüler ve poikilitik dokuları aynı ince kesitin değişik yerlerinde de görmek mümkündür. Mikroskopik incelemeleri sonucunda aşağıdaki mineraller ve özellikleri tespit edilmiştir;

Plajiyoklas (% 60-65): Genellikle çubuk şekilli lameller halindedir. Yer yer belirgin bir geometrisi olmayan fenokristaller halinde de olabilmektedir. Lameller genellikle karlsbad ikizi gösterirken, iri kristaller albit ve karlsbad ikizini birlikte gösterirler. Doleritlerdekiler genellikle andezin An₍₃₅₋₄₅₎, diyabazlardakiler ise oligoklas (An₁₅₋₂₅) bileşimindedir. Bazı kesitlerde bütün plajiyoklas lamelleri zonlu yapı gösterir. Yer yer ayışma mineralleri olan kalsit, serisit ve epidota dönüşmüşlerdir. Kırıklı yapıda olanların kırıkları klorit ve kalsit dolguludur.

Klinopiroksen (% 25-30): Dikdörtgene yakın şekilli ve belirgin bir geometrisi olmayan kristaller halindedir. Genellikle plajiyoklas lamelleri arasını doldurur. Ancak aynı kesit içerisinde ve diğer bazı kesitlerde küçük kristaller halinde de olabilmektedir. İri kristaller yer yer poikilitik olarak ince plajiyoklas lamellerini içerirler. Genellikle tek dilinimleri belirgin olan klinopiroksenlerin bazal kesitlerinde (c eksene dik) iki dilinim birden görülür. Bazıları 100 yapışma yüzeyi ikizi (h' 100) gösterir. Bazı kesitlerde oldukça kırıklı bir yapı sunan klinopiroksenler yer yer kloritleşmişlerdir.

Amfibol, biyotit, kuvars, apatit, epidot ve opak mineraller ise bazı kesitlerde ve tali miktarlardadır. Amfiboller plajiyoklas lamelleri arasında veya klinopiroksenlerin çevresinde ve tamamen kloritleşmiş olarak bulunurlar. Biyotitler bazı kesitlerde ve son derece az miktarlarda bulunur. Genellikle tamamen kloritleşmiş durumdadırlar. Bununla birlikte yinede yönlerde göre X-yeşil, Z-sarımsı yeşil renklerde pleokroiktirler. Kuvars bazı kesitlerde bulunur. Apatitler kuvarslar üzerinde ve ince-uzun inklüzyonlar şeklinde bulunurlar. Opak mineraller dikdörtgen, uzun lameller ve hamurda küçük benekler halinde bulunurlar. Kloritler ayırtma ürünü olarak görülür. Özellikle amfibol ve yer yer de biyotitlerin ayırtması sonucu oluşmuşlardır. Epidotlar plajiyoklasların ayırtma ürünüdür. Bununla birlikte çatlaklıarda ve piroksenlerin etrafında da görülürler. Kalsitler ise plajiyoklasların ayırtma ürünü ve boşlukları dolduran ikincil mineral olarak gözlenir.

3.1.5.3.2. Bazaltlar

Dolerit, spilit ve andezitler ile iç içe bulunan bazaltlar makroskopik olarak koyu grisiyah renklerdedirler ve diğer volkanitlerden ayırt edilmeleri çoğunlukla mümkün değildir. Bununla birlikte yastık lav yapısının olduğu kesimlerde spilitler ile birlikte bulunurlar. Genellikle plajiyoklas ve klinopiroksenlerden meydana gelen bazaltlar yer yer olivin, amfibol ve Fe-Ti oksitler de içerirler. Genellikle subofitik, kısmen de entersetal ve mikrolitik dokular gösterirler. Mikroskopik incelemeler sonucunda tespit edilen mineraller ve özellikleri aşağıdaki gibidir;

Plajiyoklas (% 60-90): Uzun kenarları belirgin dikdörtgen şekilli fenokristaller ve mikrolitler halindedir. Fenokristaller karlsbad ve yer yer de albit ikizi gösterirler. Bunlar zonlu yapıya sahiptirler ve glomeroporfirik olarak bulunurlar. Kısa kenarları genellikle hamur tarafından yenmiştir. Yer yer plajiyoklasın kenar ve merkezi kısımlarında gelişen süzgeç dokusu görülür (Şekil 3.27 B). Bazı fenokristallerin merkezi kısımlarının hamur tarafından yenmesi sonucu plajiyoklas kenar kısımda bir halka şeklinde kalmıştır. Genellikle serizitleşen plajiyoklasların bazıları tamamen kalsitleşmiş ve diğer bazıları üzerinde de küçük epidot dönüşümleri gelişmiştir. Mikrolitler genellikle paralel akma yapısı göstermekle birlikte bazı kesitlerde yarı paralel akma yapısı gösterebilmektedirler.



Şekil 3.27. Kinalıçam volkanik karmaşığı dolerit ve bazaltlarında gözlenen dokular, Çift Nikol (A: doleriterin ofitik dokusu, Örnek no: 10, Morkaya güneyi; B: bazatlardaki klinopiroksenlerde gelişen koy yapısı ve mikrolitik hamur, Kesit no: 771, Legvan Dağı kuzeyi; C: bazatlardaki plajiyoklasda gelişen süzgeç dokusu ve iddingsite dönüşen olivinler, Örnek no: 302, Kırğülü; Pl: plajiyoklas; Kp: klinopiroksen; Ol: olivin)

Klinopiroksen (% 5-30) Genellikle bazı kenarları belirgin çokgen şekilli kristaller halindedir. Ancak yer yer kenarları belirgin olmayan sekizgen şekilli kristallerine de rastlanır. Glomeroporfirik olarak da görülen bazı klinopiroksenlerde belirgin bir koy yapısı görülür (Şekil 3.27 C). Opak inklüzyonlarını yoğun olarak bulunduran klinopiroksenler sünger şeklinde bir doku kazanmışlardır. Tek dilimimi belirgin ve genellikle kırıklı yapıdadırlar. Yaygın olarak 100 yapışma yüzeyi ikizi ve yer yer de kum saatı ikizi gösterirler.

Olivin (% 0-2): Çubuk ve nadir olarak da yassı kristaller halindedir. Genellikle kırıklı yapıdadır. Aktinolitik veya kloritik bir alterasyon alanı içerisinde yer alır. Hemen hemen bütün olivinler kenar ve kırık yüzeyleri boyunca sarımsı kahve renk tonlarında ve hafif pleokroik olan iddingsite dönüşmüştür. Ayrıca kenar çizgileri ve kırık yüzeyleri boyunca ince bir opak mineral halkası da gelişmiştir.

Tali miktarlarda bulunan minerallerden biyotit kloritik bir alan içerisinde küçük kristaller halinde bulunur. Kenar kısımları boyunca kloritleşmiştir. Opak mineraller ve klinopiroksenler bunlara eşlik eder. Hornblend belirgin bir geometrik şekli olmayan kristaller halindedir. Tamamen işinsal yapılı aktinolite ve benekli görünümülü klorite dönüşmüştür. Klorit özellikle amfibol, olivin ve yer yerde biyotitlerin ayrışması sonucu oluşmuştur. Kalsit plajiyoklasların ayrışma ürünü ve boşlukları dolduran ikincil mineral olarak gözlenir. Hamur ise plajiyoklas, klinopiroksen ve opak kristallerden oluşmaktadır.

3.1.5.3.3. Spilitler

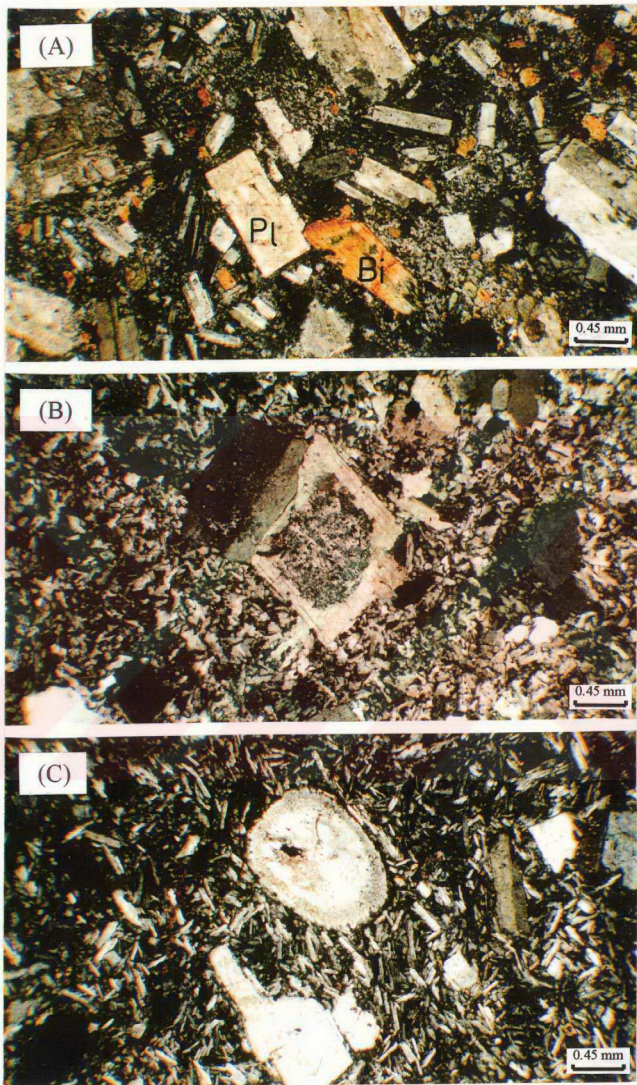
Spilitler yastık lav yapısının olduğu kesimlerde son derece yaygındırlar. Genellikle boşluklu bir yapı ve yeşilimsi görünümleri ile bazaltlardan ayrırlırlar. Boşluklar genellikle badem veya küresel şekillidirler ve koyu yeşilden siyaha kadar değişen renklerde görülürler. Spilitler genellikle entersetal, entergranüler ve yer yer fluidal doku gösterirler. Spilitleşmenin yoğun olarak gerçekleştiği örneklerde plajiyoklas fenokristalleri genellikle tamamen serizitleşmiş veya kalsitleşmişlerdir. Mikrolitler albitik özellikte olup genellikle klorit, kalsit ve klinopiroksenden oluşan bir hamur içerisinde bulunurlar. Amfiboller çok az oranlarda ve tamamen klorit ve kalsite dönüşmuş olarak bulunurlar. Apatitler, plajiyoklaslar üzerinde iğnemsi kristaller halindedirler. Kalsit ve epidotlar, plajiyoklasların ayrışma ürünü

ve kırıklarda ikincil olarak gelişmişlerdir. Bunun yanı sıra dairesel veya elips şeklindeki boşluklarda klorit, kalsit, epidot ve kaledon gibi düşük sıcaklık ve sulu kristalizasyon ürünleri ile dolguludur. Kloritler genellikle boşlukların merkezi kısımlarında ve benekler şeklinde görülürler. Kaledonlar ise genellikle boşlukların kenar kısımlarında ve kloritleri saran zarflar şeklinde dirler. Bunlarda kloritler de olduğu gibi benekler şeklinde görülürler. Ancak boşlukların tamamen kaledon dolgulu olması durumunda genellikle işinsal bir dizim gösterirler.

3.1.5.3.4. Andezitler

Andezitler Kinalıçam volkanik karmaşığı içinde en yaygın kayaç grubunu oluştururlar. Makroskobik olarak koyu gri ve yeşil renklerde görülen andezitler, bazalt ve sipilitlerden çok dasitler ile birlilikte sunarlar. Andezitler masif yapıda ve sistematik kırık düzlemlerinin en iyi geliştiği kayaç grubudurlar. Plajiyoklas, porfirik olarak en fazla ve hatta bazı kesitlerde tek olarak bulunan mineraldir. Plajiyoklasa daha az oranlarda biyotit, klinopiroksen ve amfibol eşlik eder. Andezitler genellikle porfirik, mikrogrönü-porfirik (Şekil 3.28 A), mikrolitik porfirik ve daha az olarak da traktik ve pilotaksitik dokuda görülürler.

Plajiyoklas (% 85-90): Fenokristaller ve mikrolitler olmak üzere iki şekilde bulunur. Fenokristaller genellikle bazı kenarları, yer yer de bütün kenarları belirgin prizmatik kristaller halindedirler. Bunlar genellikle bireysel kristaller ve kısmen glomeroporfirik olarak görülür. Üzerlerinde iğne ucu büyülüğünde opak benekler yaygındır. Genellikle zonlu yapıya sahip fenokristaller albit ve karlsbad ikizi gösterirler. Bir çoğunun genellikle kenar, daha az olarak da merkezi kısımlarında süzgeç dokusu gelişmiştir (Şekil 3.28 B,C). Bazlarının merkezi kısımları mikrogrönü hamur tarafından yenmiştir. Mikrolitik hamur içerisinde bireysel kristaller halinde olanların çevresinde ince bir reaksiyon zarfı açık olarak görülmektedir. Kalsitleşme ve serizitleşme plajiyoklaslarda görülen yaygın altersyon türleridir.



Şekil 3.28. Kınalıçam volkanik karmaşığının andezitlerinde gözlenen dokular, Çift Nikol (A: Mikrogronü porfirik doku, Örnek no: 176, Yusufeli güneyi; B ve C: Plajiyoklasın merkezi ve kenarında gelişmiş süzgeç dokusu, Kesit no: 54 ve 56 Morkaya güneyi; Pl: plajiyoklas; Bi: biyotit)

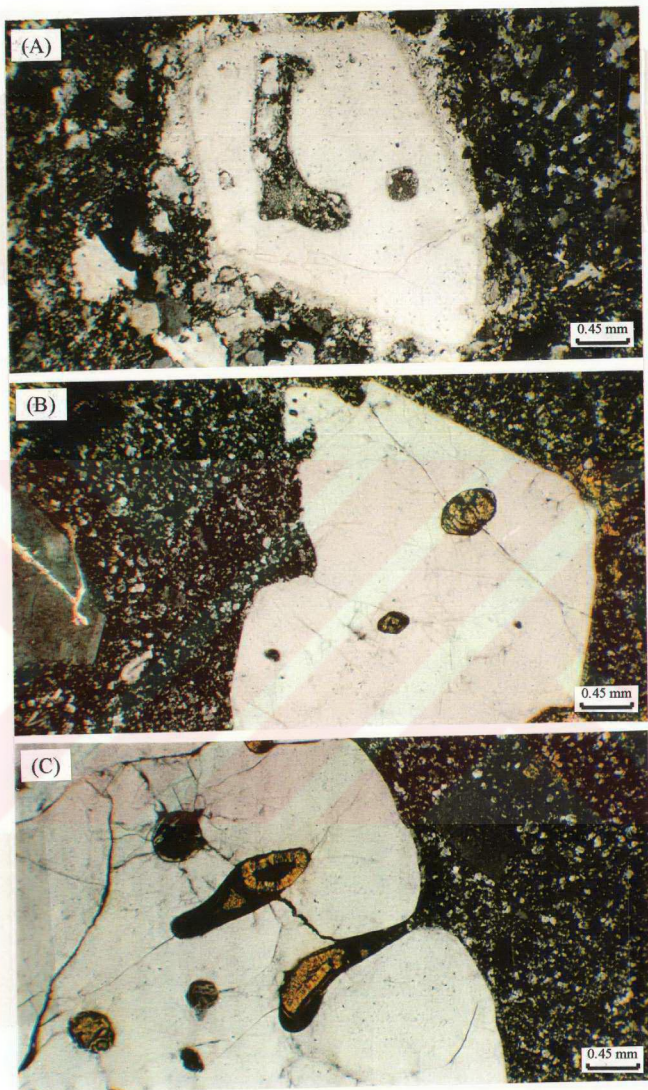
Biyotit (% 0-10). Genellikle yassı ve çubuk şekilli kristaller halindedirler. Plajiyoklas mikrolitleri arasında iğnemi olarak da görülür. Bazı kesitlerde kloritleşmiş, diğer bazlarında ise tamamen opaklaşmıştır.

Klinopiroksen (% 0-5): Belirgin bir geometrik şekli olmayan küçük kristaller halindedir. Çoğunlukla kıraklı yapıda olan klinopiroksenlerin bazılarının merkezi kısımları hamur tarafından yenmiştir. Küçük kristaller ise mikrolitik hamur içerisinde dağınık olarak bulunurlar. Amfiboller çok az oranlarda ve tamamen klorit ve kalsite dönüşmuş olarak bulunurlar. Apatitler plajiyoklaslar üzerinde iğnemi kristaller halinde bulunurlar. Kalsit ve epidot plajiyoklasların ayrışma ürünü ve kırıklarda ikincil olarak gelişmişlerdir.

3.1.5.3.5. Dasit ve Riyolitler

Dasitler, Kinalçam volkanik karmaşığı içerisinde nispeten yaygın olarak bulunurlar. Andezitlerin farklılaşma ürünleri olduklarıdan onlar ile birlilikte sunarlar. Genellikle açık gri-yeşil ve ayrışmaya bağlı olarak yer yer sarımsı veya pembemsi renklerde de görülürler. Hemen hemen daima porfirik dokuda gözlenirler. Ancak bazı kesitlerde sferolitik dokuda görülmektedir. Hamur genellikle mikrogrönü ve felsitik dokudadır. Kuvars ve plajiyoklas ana mineralojik bileşenleri oluşturur. Biyotit, alkali feldspat, klinopiroksen, hornblend ve opak mineraller ise genellikle çok az oranlarda bulunurlar.

Kuvars (% 20-30): Dairesel veya çubuk şekilli kristaller halindedir. Yer yer hezagonal olarak da görülür. Genellikle hamur tarafından çevrelenmiş bireysel kristaller halindedir. Hemen hemen bütün kuvars fenokristalleri ile hamur arasında belirgin bir reaksiyon halkası görülür (Şekil 3.29A). Bazı kesimlerde hamur maddesinin kuvarsın iç kısımlarına doğru ilerlemesiyle oluşan koy yapısı yaygın olarak gelişmiştir (Şekil 3.29 A,B,C). Bazi durumlarda bu koy yapılarının giriş kısımlarının dar ve iç kısımlara doğru genişledikleri görülür.



Şekil 3.29. Kınalıçam volkanik karmaşığı dasitlerindeki kuvarslardaki gözlenen koy yapıları ve mikrogronü hamur, Çift Nikol (A: Kesit no:755, B ve C: Kesit no: 251)

Plajiyoklas (% 10-20): Genellikle bütün kenarları belirgin dikdörtgen şekilli kristaller halindedir. Yer yer kenarları tamamen aşındırılmış olarak da görülür. Zonlu yapıya sahiptir. Çoğunlukla hamur tarafından çevrelenmiş bireysel fenokristaller ve yer yer glomeroporfirk olarak görülür. Karlsbad, albit ve yer yer de haç ikizi gösterir. Bazı fenokristallerin kenar kısımlarının hamur tarafından yenmesi sonucu belirgin bir koy yapısı gelişmiştir. Bu özellik bazen plajiyoklasların merkezi kısımlarında görülür. Genellikle serizitlesen plajiyoklaslarda kalsitleşme ve özellikle kırıklı yapıdakilerde epidotlaşma yaygındır.

Alkali feldspat (% 0-10) Çubuk veya dikdörtgene yakın şekilli kristaller halindedir. Karlsbad ikizi yaygın olarak görülür. Kaolinleşmiş olması ile plajiyoklasdan ayrılır.

Biyotit, klinopiroksen ve amfiboller bazı kesitlerde ve çok az oranlardadır. Biyotitler çubuk veya iğnemsi kristaller halindedirler. Çoğunlukla kloritlemiş, bazı kesitlerde ise tamamen opaklaşmışlardır. Klinopiroksenler genellikle kenar kısımları boyunca karbonatlaşmış ve yer yer kloritlemişlerdir. Amfiboller ise tamamen kloritlemiş veya aktinolite dönüşmüş olarak bulunurlar. Dasitlerin hamur maddeleri (% 40-50) genellikle mikrogrönü kuvars ve plajiyoklaslardan meydana gelir. Bununla birlikte bazı kesitlerde biyotit ve opak minerallerde yaygın olarak bulunurlar.

3.1.5.4. Ortam

Kıralıçam volkanik karmaşığının diyabaz ve dolerit daykları, bunların ekstansiyonel dönemin ürünlerini olduklarını gösterebilir. Bazaltlarda gelişen yastık lav yapısı sulu bir ortamda oluştularını göstermektedir. Ayrıca volkanik karmaşığın üzerine gelen Hamurkesen Formasyonu içerisinde bitki ve kömür kirintılarının varlığı, bu ortamın rıftleşmenin erken safhalarına karşılık gelen gölsel veya çok sıçanlı denizel bir ortam olabileceğine işaret etmektedir.

3.1.5.5. Yaş ve Deneştirme

Kınalıçam volkanik karmaşığı ile ilgili radyometrik yaş tayinleri yoktur. Bu nedenle stratigrafik olarak yaşlandırma yoluna gidilmiştir. Karmaşının üzerine uyumlu olarak gelen Hamurkesen Formasyonu'ndan elde edilen paleontolojik verilerden hareketle volkanitlerin oluşum aralığının üst sınırı hakkında bilgiler elde edilebilir. Bununla birlikte Hamurkesen Formasyonu' nun yaşı sadece Kimmerisiyen öncesi olarak bulunmuştur. Bu ise daha önce oluşan volkanik karmaşık için son derece sınırlı bir bilgidir. Bu bakımdan Kınalıçam Volkanik karmaşının yaşı, diğer alanlardaki eşlenikleri ile deneştirilerek verilme yoluna gidilmiştir. Ağar (1977) Demirözü-Köse (Bayburt) bölgesindeki çalışmalarında Jura' nın volkaniklastik ara tabaklı tortul kayaçlarının Üst Sinemuriyen yaşı olduğunu ileri sürmektedir. Tanyolu (1988) aynı yöredeki çalışmasında aynı kayaçlardan Liyas yaşı olarak bahsetmektedir. Akdeniz (1988) Hamurkesen Formasyonu içerisindeki olistostromal kireçtaşlarının Liyas yaşı verdiğini belirtmektedir. Kınalıçam volkanik karmaşının yaşı, Kimmerisiyen öncesi yaşı Hamurkesen Formasyonu'nun tabanında yer almasından ve diğer yörelerdeki eşleniklerinden elde edilen bulgulardan hareketle Liyas olarak verilebilir.

Kınalıçam volkanik karmaşığı, bazı yazarlara göre (Bektaş ve diğ., 1984; 1987) Erken Jura' da Doğu Pontidler' de yay gerisi rift, bazı yazarlara göre (Şengör ve diğ., 1980) de Neotetis okyanusunun açılmasını sonuçlayan ekstansiyonel döneme karşılık gelmektedir. Bu nedenle özellikle Doğu Pontidler Güney ve yer yer de Kuzey Zonu'nda bilinen ve çeşitli adlar altında deñinilen (Schultze-Westrum, 1961; Alp, 1972; Pelin, 1977; Ağar, 1977; Özsayar ve diğ., 1982; Tanyolu, 1988; Van, 1990, Boynukalın, 1990; Ceryan, 1999) Erken Jura yaşı volkanik ve volkano-tortul birimlerin özellikle taban seviyelerindeki volkanitler ile deneştirilebilir. Doğankent (Giresun) bölgesindeki diyabaz, bazalt, andezit, dasit ve piroklastiklerinden oluşan masif özellikteki volkanitler Kınalıçam volkanik karmaşığı ile tamamen benzer özelliktedirler (Eyüboğlu, sözlü bilgi).

3.1.6. Hamurkesen Formasyonu (Liyas-Dogger)

3.1.6.1. Ad, Yayılım ve Topografik Görünüm

Doğu Pontidler Güney Zonu'nda kirintılı tortul kayaçlar ve tüfit, aglomera gibi tabakalı volkaniklastik kayaçların ardalanmasından oluşan Jura yaşı litolojiler Ağar (1977) tarafından Hamurkesen Formasyonu olarak adlandırılmıştır. Daha sonraki araştırmacılar da çoğunlukla bu isme bağlı kalmışlardır. İnceleme alanındaki Liyas-Dogger oluşuklarından Kinalıçam volkanik karmaşığı üzerine uyumlu olarak gelen kumtaşı, marn, kiltaşı ve yer yer bazalt ara katkılı istiflenme yasasına uyan birimler; yukarıda tanımlanan Hamurkesen Formasyonu ile benzer olduğundan birime aynı adın verilmesi uygun görülmüştür. Kumtaşı, marn ve kiltaşı ardalanmasından oluşan birim ara seviyeler halinde bazık volkanikler, aglomera, lapilli ve tuf seviyeleri de içerir.

Hamurkesen Formasyonu birisi inceleme alanının güneydoğusunda, diğeri ise daha kuzeybatıda yer alan ve kuzeydoğu-güneybatı doğrultulu iki şerit halinde görülür. Genellikle Kinalıçam volkanik karmaşığının doğusunda kalan alanlarda görülür ve ona paralel bir uzanıma sahiptir. Kinalıçam volkanik karmaşığı ile Berdiga Formasyonu arasındaki geçiş sahayayan birimdir. Hamurkesen Formasyonu'nun inceleme alanının güneydoğusundaki kısmı Copla Tepe doğusu, Morkaya Köyü, KızıltAŞ Tepe, İşhan Köyü doğusu ve Kırgülü (Avrez) Mahallesi; kuzeybatısındaki kısmı ise Irmakyarı Mahallesi, Yeniyuva Köyü, Dutlupınar ve Havuzlu Köyleri civarında görülür (Şekil 3.1; Bkz Ek-1).

İnceleme alanının özellikle doğu kesimlerinde görülen birim kuzeydoğu-güneybatı doğrultusunda uzanır ve 1-3 km genişliğe sahiptir. Yüksek rölyeflere sahip Kinalıçam volkanik karmaşığı ile Berdiga Formasyonu arasında yer alır ve göreceli olarak düşük rölyeflere sahiptir. Çoğunlukla kumtaşı, marn ve kiltaşı ardışımından oluşan birim içerisinde kumtaşı seviyeleri ve volkanikler kornişler oluştururlar. Genellikle gri renklerde görülen birim yer yer yeşil ve volkaniklerin olduğu kesimlerde yüzeysel alterasyon nedeniyle kahve-kırmızı renklerde görülür.

3.1.6.2. Alt-Üst Sınırlar, Kalınlık

İşhan Köyü ve Kızılıtaş Tepe mevkilerinde Kinalıçam volkanik karmaşığının bazaltik andezitik volkanikleri üzerine orta-kalın tabakalı çakıltaşı ve kumtaşları ile uyumlu olarak gelen Hamurkesen Formasyonu; Çağrıdüzü Tepe mevkiinde aglomera ve lapilli tüfler üzerine fosilli, ince-orta tabakalı kumtaşı ve çamurtaşları ile uyumlu olarak gelir. İnceleme alanının her yerinde üste doğru kilitaşlarına geçen Hamurkesen Formasyonu, Berdiga Formasyonu'nun orta-ince tabakalı oolitik kireçtaşları ile uyumlu olarak üstlenir. Demirkent plütonu ve Karadağ metamorfitleri kuzeybatıya doğru Hamurkesen Formasyonu'nun batıdaki bölümü üzerine itilmiştir. Plütonik kayaçlar ve metamorfitlerin, Liyas yaşılı birimler üzerine itildiğini gösteren fay zonunu özellikle Hamurkesen Formasyonu'nun volkanitleri ile olan dokanaklarında görmek mümkündür. Bu kısımlardan alınan örneklerden yapılan ince kesitlerin mikroskopik incelemelerinde yer yer mikron ölçüğine kadar varan ufalanmalar görülmektedir.

Birimin kalınlığı inceleme alanının bir yerinden başka bir yerine büyük değişimler göstermektedir. İşhan Köyü mevkiinde ölçülen kalınlığı 1110 m iken, Kemerli Dağ'ın batısındaki Çağrıdüzü tepe mevkiinde ölçülen kalınlığı ise 324 m kadardır. Erzurum, Olur-Oltu yol ayrimının batısındaki Kızılıtaş Tepeden doğuya doğru ise 67 m. olarak ölçülmüştür. Ancak Hamurkesen Formasyonunun buradaki bölümü Kinalıçam bindirmesinin altında kaldığı için üstten eksiktir.

3.1.6.3. Lektostratotip ve Sınır Stratotipler

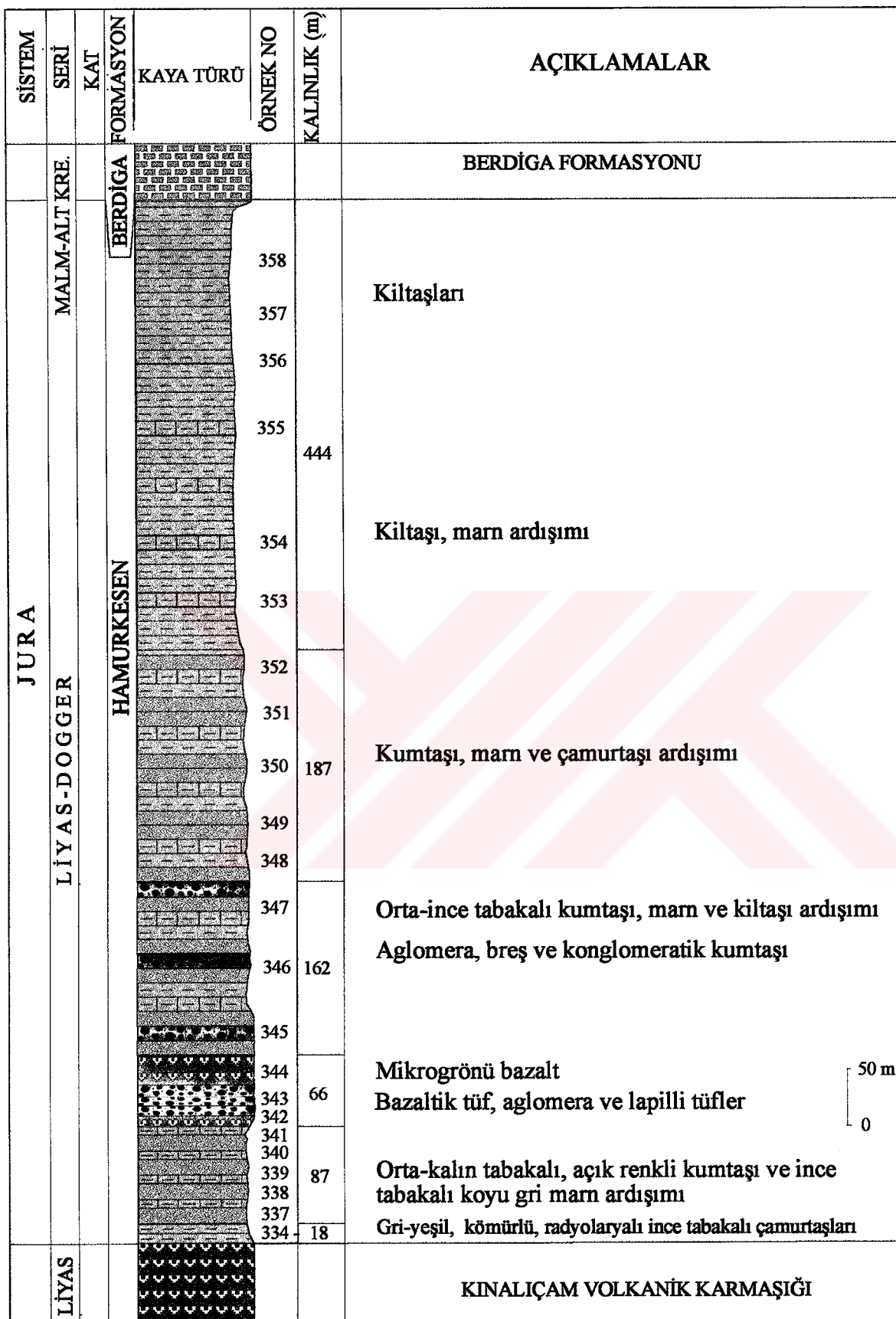
Hamurkesen Formasyonu inceleme alanının farklı yerlerinde tabandan tavana en fazla değişiklik gösteren birimdir. Birimi ilk olarak adlandıran Ağar (1977), Hamurkesen Formasyonu'nun üstten Üst Jura - Alt Kretase tabakaları (Hozbirik yayla Kireçtaşı), bazen Üst Paleosen - Alt Eosen yaşılı formasyonlar (Sıratashlar ve Kızılıyar Formasyonları) ve bazen de Pliyosen yaşılı Karaçayır Formasyonu tarafından açısal uyumsuzlukla örtülüduğundan bahsetmektedir. Bu nedenle Hamurkesen Formasyonu tip yeri olarak verilen Hamurkesen mevkiinde üstten eksik olmalıdır. İnceleme alanının ilk tanımlandığı yere oldukça uzak

olması ve birimin yatay ve düşey yönde çok kısa mesafelerde farklılıklar göstermesi lektostratotip ve sınır stratotiplerin yeniden tanımlanmasını gerektirmektedir.

Birimin inceleme alanındaki Lektostratotipi İşhan'ın 1 km kadar doğusundaki kuru vadiden kuzeydoğu yönünde (Pafta G47-b4, Başlangıç: Enlem = $40^{\circ} 46' 50''$, Boylam = $41^{\circ} 45' 5''$; Bitiş: Enlem = $40^{\circ} 47' 42''$, Boylam = $41^{\circ} 45' 30''$) çıkarılmıştır. Referans kesiti ise Çağrıdüzü Tepeden kuzeydoğu yönünde Copla Tepeye doğru (Pafta G47-d1, Başlangıç: Enlem = $40^{\circ} 40' 55''$; Boylam = $41^{\circ} 33' 30''$ Bitiş: Enlem = $40^{\circ} 41' 38''$, Boylam = $41^{\circ} 34' 28''$) çıkarılmıştır.

Hamurkesen Formasyonu'nun İşhan güneyinde ölçülen lektostratotip kesitinde tabandan tavana doğru litolojik değişimi aşağıdaki şekildedir: Tabanda yeşil-gri renkli, ince tabakalı, kömürü, radyolaryalı çamurtaşları ve bunlar ile ara tabakalı kristal tüfler ile başlamaktadır (18 m). Bunlara yer yer ince tabakalı kumtaşı ara seviyeleri eşlik etmektedir. Birim üste doğru birbiri ile ardisıklı orta-iri tabakalı açık gri kumtaşları ve ince tabakalı koyu gri marnlara geçer (87 m). Bunların üzerine taban (9 m) ve tavan (30 m) kısımları mikrogrönü bazaltlardan, orta kısmı ise bazaltik tüf, aglomera ve lapilli tüflerden oluşan (27 m) volkanikler gelmektedir (66 m). Bunları ince-orta tabakalı kiltaşı marn ve kumtaşları ile ardisıklı, 10-15 m, yer yer 50 m kalınlığında seviyeler halinde aglomera, breş ve konglomeratik kumtaşı seviyeleri izler (162 m). Bunlar üste doğru kumtaşı, marn ve çamurtaşları arasımdan oluşan bir istife (187 m), bunlar da tamamen çamurtaşlarına geçmektedirler (444 m). Çamurtaşları ise üstten Berdiga Formasyonu'nun orta-ince tabakalı mikritik kireçtaşları ile uyumlu olarak örtülmektedir. Birimin kesitten çıkarılan toplam kalınlığı 964 m dir (Şekil 3.30).

Hamurkesen Formasyonu'nun Çağrıdüzü Tepe'den Coplas Tepe'ye doğru ölçülen referans kesitinde Kinalıçam volkanik karmaşığının piroklastikleri üzerine kumtaşları ile uyumlu olarak geldiği görülmektedir. Burada tabanda detritik, kömürü ve glokonili kumtaşları yer almaktır ve bunlara çok ince seviyeler halinde çamurtaşları eşlik etmektedir (57 m). Birim üste doğru yer yer orta tabakalı kumtaşı seviyeleri içeren marn ve kiltaşlarına geçmektedir (334 m). Bunlar ise üstten Berdiga Formasyonu'nun sparitik çimentolu oolitik-intraklastik tanetaşı fasiyesi kireçtaşları ile uyumlu olarak üzerlenmektedirler.



Şekil 3.30. Hamurkesen formasyonunun İşhan Köyü güneyinden kuzeydoğu yönünde çıkarılan lektostratotip kesiti

3.1.6.4. Litoloji

Hamurkesen Formasyonu çoğunlukla kumtaşı, silttaşları ve kilittaşlarından daha az oranlarda da çakıltaşları ve marnlardan meydana gelmektedir. Özellikle İşhan mevkiiindeki kesitinde bunlara ilave olarak, ara seviyeler halinde, bazık volkanikler ve piroklastlarına da rastlanmaktadır. Çakıltaşlarının türünü tespit etmek amacıyla değişik litolojilerdeki çakıllar derlenmiş ve mikroskopik olarak incelenmiştir. Kumtaşlarının türleri modal analizleri sonucunda belirlenen kuvars, feldspat ve kayaç kırtıltısı içeriklerine göre yapılmıştır. Marn ve kireçtaşları ise Folk (1962) ve Dunham (1962)'a göre sınıflandırılmışlardır.

Hamurkesen Formasyonu'ndan derlenen çakıltaşlarının mikroskopik incelemeleri sonucunda dört farklı tipte oldukları tespit edilmiştir. Bunların büyük çoğunluğunu bazalt, spilitleşmiş bazalt, andezit ve dasit çakılları oluşturmaktadır. Bunlara ilave olarak daha az oranlarda tonalit-granodiyorit bileşimli granitoyid çakıllarına rastlanmaktadır. Volkanik çakıllar Kinalıçam volkanik karmaşığındaki kayaçları ile benzer doku ve mineralojik özelliklere sahiptirler. Ancak bunlardaki ayrışma genellikle daha yüksek oranlardadır. Özellikle andezit ve dasit çakıllarındaki biyotitler genellikle tamamen veya kenarları boyunca opaklaşmış ve diğer bazıları tamamen kloritleşmişlerdir. Tonalit ve granodiyorit çakılları ise Sebzeciler granitoyidi kayaçları ile benzer mineralojik bileşime ve dokusal özelliklere sahiptir. Ancak mineralojik ayrışma bunlarda daha ileri derecelerdedir ve özellikle biyotitler tamamen kloritleşmiş veya opaklaşmışlardır.

Kumtaşları Hamurkesen Formasyonu içerisindeki en yaygın kayaç grubunu oluştururlar. Kumtaşlarının mikroskopik incelemesi İşhan, Çağrıdüzü Tepe, Kızıltas Tepe ve Öğdem ölçülü stratigrafik kesitlerinden derlenen 20 adet örnek üzerinde gerçekleştirilmiştir. Örneklerin seçiminde bileşenleri ayırt edilebilen ve eş boyutlu olanların seçilmesine özen gösterilmiştir. Modal analizleri yapılan bütün kumtaşı örnekleri K-feldspatlar açısından boyanmıştır. Kumtaşlarının modal analizleri kesitlerde 500 nokta sayilarak gerçekleştirilmiştir (Çizelge 3.16). Modal analizler yapılırken dikkate alınan bileşenler ve özellikleri aşağıdaki gibi özetlenebilir:

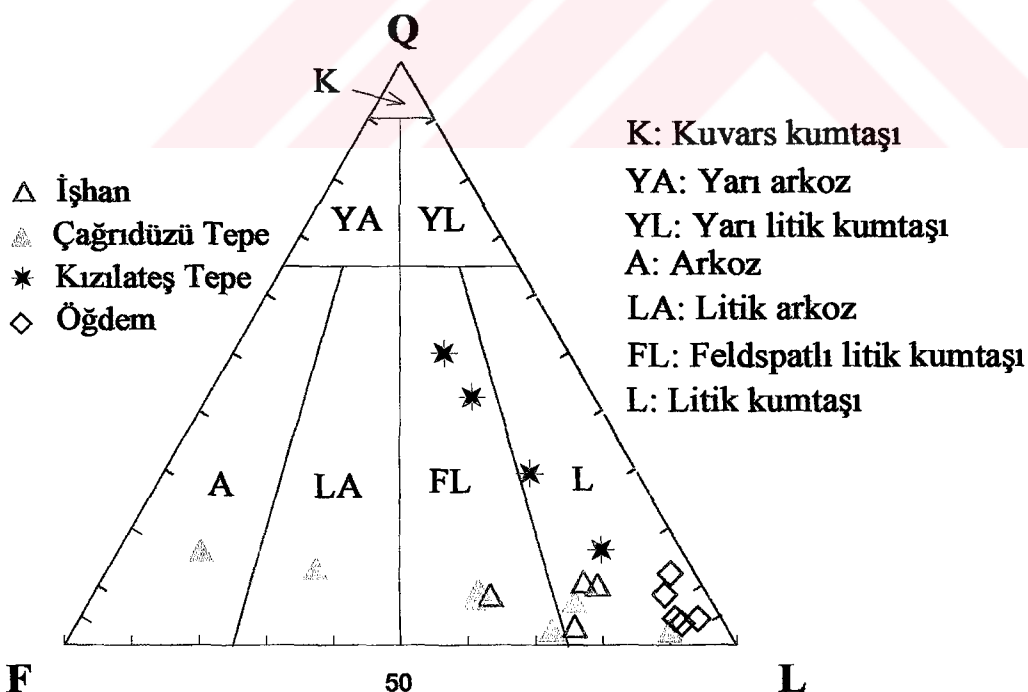
Kuvarslar monokristalin (Qm) ve polikristalin (Qp) olmak üzere iki kategoride değerlendirilmiştir. Polikristalin kuvarslar kolaylıkla küçük parçalara bölündüklerinden tane boyları küçük kuvarslar monokristalin olarak algılanabilecektirler. Tek nikolde kirli gri-sarı, çift nikolde mikro kuvars kristalli kayaç parçaları çört olarak değerlendirilmiştir. Ancak dasitik kayaç kırtıtlarının mikrogronü kısımları yer yer çörtlere benzer görünümler göstermektedir. Feldspatlar, K-feldspatlar (Kf) ve Ca-feldspatlar (Pl) olmak üzere iki kısımda; kayaç kırtıtları volkanik ise (Lv), sedimentter (Ls) ve metamorfik (Lm) olmak üzere üç grupta değerlendirilmiştir. Volkanik kayaç kırtıtları genellikle opklaştıkları ve ayırtıkları için dokusal özellikleri çoğunlukla belirlenmemiştir. Bununla birlikte mikrolitik dokudakiler, opaklaşanlar ve devitrifiye olanlar, mikrolitik kayaç kırtıtları (Lvmi); mikrogronü dokuya sahip dasitik özellik gösterenler ise dasitik kayaç kırtıtları (Lvd) olarak değerlendirilmiştir. Metamorfik kayaç kırtıtları mekanik olarak kolaylıkla ufalandıklarından iri taneli kumtaşlarında ve özellikle kuvars-mika birlaklılığı şeklinde görülmektedirler. Kumtaşlarında bağlayıcı malzeme genellikle kalsit olmakla birlikte Öğdem kesitinden alınan örneklerde Fe-oksitler bağlayıcı olarak yer almaktadır. Ağır mineraller olarak genellikle opak mineraller (Op) ve çok az olarak da amfibol içermektedirler.

Çizelge 3.16. Hamurkesen formasyonuna ait kumtaşlarının modal bileşenleri.

Ö.No	Qm	Qp	Çört	Lvd	Lvmi	Ls	Lm	Pl	K.F	Op	Bağl.
İşhan											
338	5,0	1,6	1,8	49,2	9,2	0,4	0,0	22,0	10,4	0,4	0,0
349	7,6	0,6	1,6	69,4	1,4	0,4	0,0	13,6	1,4	0,6	3,4
351	8,6	0,4	0,2	59,4	1,2	1,2	0,0	13,0	2,0	0,6	13,4
352	3,0	0,0	0,0	72,0	0,6	0,0	0,0	20,6	1,6	0,0	2,2
Çağrıdüzü											
535	12,2	0,0	1,2	10,2	0,0	0,0	0,0	60,0	0,0	2,6	13,8
536	6,4	1,4	0,0	54,6	2,2	0,0	0,0	34,8	0,0	0,6	0,0
537	2,0	0,0	0,4	70,4	0,0	0,0	0,0	26,2	0,0	1,0	0,0
539	1,4	0,4	0,6	86,8	0,0	0,0	2,0	8,8	0,0	0,0	0,0
542	12,0	0,0	1,0	30,8	0,0	0,0	0,0	56,2	0,0	0,0	0,0
544	1,6	0,0	4,2	33,8	0,0	1,2	0,0	20,8	0,0	0,0	38,4
548	6,0	0,0	1,4	72,0	0,0	0,0	0,0	20,6	0,0	0,0	0,0
Kızılataş Tepe											
460	11,6	6,6	1,2	34,8	0,0	1,4	0,0	10,8	0,0	0,0	33,6
461	13,2	8,0	4,6	17,2	0,0	6,8	0,0	11,2	0,0	2,6	36,4
462	21,2	20,8	2,8	25,0	0,0	0,0	3,2	12,8	4,0	0,0	10,2
462/2	8,8	0,0	0,0	34,8	0,0	4,2	0,0	6,6	0,0	0,0	45,6
Öğdem											
81	4,0	3,0	0,4	48,4	25,4	0,0	0,0	5,6	0,0	8,2	5,0
730	2,6	1,2	0,2	57,6	23,2	0,0	0,0	6,4	0,0	6,2	2,6
895	0,8	1,4	1,6	22,2	58,2	0,0	0,0	3,2	0,0	9,4	3,2
896	4,8	4,2	2,4	72,8	6,4	0,0	0,0	3,6	0,0	4,6	1,2
897	2,8	0,2	0,2	50,4	25,2	4,8	0,0	5,8	0,0	8,4	2,2



Şekil 3.31. Hamurkesen formasyonunun tabanındaki kumtaşlarına ait mikroskopik görünüm. K'lu feldspatlar açısından boyanan kumtaşı kesitlerinde K'lu feldspatların kanarya sarısı renk alındıkları görülmektedir (K: K'lu feldspat, Pl: Plajiyoklas, Kk: Kayaç kırıntıları, Q: kuvars (Örnek No: 338; T.N.)



Şekil 3.32 Hamurkesen Formasyonu kumtaşlarının QFL üçgen diyagramında sınıflaması (Folk, 1974)

Hamurkesen formasyonunun bütün kumtaşları orta-iyi boylanmalı taneli bir doku göstermektedirler. İşhan ölçülu stratigrafik kesitinde tabandaki dasitik tüfler ile ardisıklı kumtaşlarının bağlayıcı malzemesi mikrogrönü kuvarstır. Üste doğru gelen kumtaşlarının bağlayıcısı ise kalsittir. K-feldspat yalnızca İşhan kesitinden alınan örneklerde görülmüştür (Şekil 3.31). Bu kumtaşlarında bağlayıcı malzeme hiç bir zaman % 15' in üzerine çıkmadığından arenit bileşiminde kumtaşlardır. Yüzde değerleri Çizelge 3.16' da özetlenen kumtaşlarının bileşenleri genellikle yarı yuvarlaklaşmışlardır. Çağrıdüzü Tepe kesitinden derlenen örneklerde de bağlayıcı malzeme kalsit ve % 15' in altında olduğundan bunlarda arenit bileşimindedirler. Kızılateş Tepe kesitinden alınan örneklerde bağlayıcı malzeme genellikle % 15' in üzerinde (%10-45) olduğundan bunlar wake bileşimindedirler (Çizelge 3.16). Kumtaşlarının bileşenleri genellikle iyi yuvarlaklaşmıştır. Öğdem kesitinden alınan örnekler % 15' in altında bağlacı malzeme içeren litik kumtaşlarıdır. Genellikle orta-kötü boylanmalı ve orta derecede yuvarlaklaşan bileşenlerin bağlayıcı malzemesi genellikle Fe-oksitler ve daha az oranda da kalsittir.

Modal analizler sonucunda Hamurkesen formasyonunda gözlenen kumtaşlarının Folk (1974) sınıflamasına göre genellikle litik kumtaşı oldukları belirlenmiştir (Şekil 3.32). Bununla birlikte Çağrıdüzü Tepe kesitinden derlenen bazı kumtaşı örnekleri, yüksek Ca-feldspat içerikleri ile QFL üçgen diyagramında yataya yakın bir doğru şeklinde değişim göstermektedirler. Kızılateş Tepe kesitinden derlenen kumtaşı örneklerinin ise kuvars içeriklerinin yüksek olduğu ve QFL diyagramında düşeye yakın bir doğru şeklinde değişim gösterdikleri görülmektedir. Bu değişimler kumtaşlarının genellikle litik kumtaşı daha az oranlarda feldspatlı litik kumtaşı, litik arkoz ve arkoz bileşiminde oluklarını göstermektedir.

Kireçtaşları biyojenler olarak; *Radiolaria spp.*, *Lagenidae* ve yer yer de *Echinoidea*, *Lamellibranch kavkı kesitleri* ve *gastropod kavkaları*, litoklast olarak da detritik kömür ve volkanik parçaları içeren mikritik kireçtaşları şeklindedirler.

Hamurkesen Formasyonu'nun özellikle İşhan ölçülu stratigrafik kesitinde oldukça kalın seviyeler halinde görülen (66 m) volkanikler genellikle bazalt, bazaltik tuf, lapilli tuf, aglomera ve volkanik breşlerden meydana gelmektedir. Mikrogrönü porfirkik dokuya sahiptirler. Yarı öz şekilli plajiyoklaslar en yaygın mineral olup genellikle zonlu yapıdadırlar.

Klinopiroksenler yer yer oldukça yüksek oranlara çıkabilmektedir. Olivinler çok az oranlarda ve tamamen iddingsite dönüşmüştür. Tüfler ise kısmen iri plajiyoklas kırıntıları içeren kristal tuf özelliğindedirler.

3.1.6.5. Fosil İçeriği ve Yaş

Alınan ölçülu stratigrafik kesitlerde direkt olarak Hamurkesen Formasyonu'nun yaşını kat mertebesinde verebilecek fosiller bulunamamıştır. Ancak Çağrıdüzü Tepe ölçülu stratigrafik kesitinin üst seviyelerinden alınan örneklerde bulunan *Cornuspira sp.*, *Pseudocyclammina sp.*, *Cayeuxia sp.*, *Stromatoporidae* fosillerinden (Tayin Kemal Erdoğan, 1998; MTA) haretke birime Dogger yaşı verilebilir. Tespit edilen diğer fauna ve flora ise *Lagenidae*, *Gastropoda*, *Radiolaria spp.*, *Sünge spikülleri*, *Lamellibrans kavka parçaları*, *Echinoidea kavka parçaları ve detritik kömür parçaları*' dan oluşmaktadır. Ayrıca Hamurkesen Formasyonu'nu uyumlu olarak örten Berdiga Formasyonu'nun tabanından alınan örneklerde Kimmerisiyen yaşı veren mikro fosil topluluğu elde edilmiştir. Bu bakımdan da Hamurkesen Formasyonu' nun Dogger yaşı olduğu söylenebilir.

Hamurkesen Formasyonu Doğu Pontidler Güney Zonu'nda geniş bir yayılım sunmaktadır. İnceleme alanı dışında yapılan çalışmalar da birime Liyas veya Dogger yaşı verilmiştir. Ağar, (1977), *Lenticulina sp.*, *Radiolaria sp.* *Textularia sp.* *Pseudocyclamnia sp.* *Nubecularia sp.* fosillerine dayanarak birimin yaşını Üst Sinemüriyen olarak vermiştir. Korkmaz (1984) Hamurkesen Formasyonu'nun yaşının Dogger olabileceğini ifade etmiştir. Tanyolu, (1988) ise *Vidalina martana* Far, *Involutina liassica*, *Trocholina granosa* FRENTSEN, *Frondicularia sp.*, *Lingulinina tenera* BORNEMAN fosillerini tespit ederek Liyas yaşı vermiştir.

3.1.6.6. Çökelme Ortamı

Hamurkesen Formasyonu kırıntılı tortul kayaçlar, kireçtaşları ve bunlara eşlik eden volkanik kayaçlar ile karakteristikdir. Kinalıçam volkanik karmaşığı üzerine çakıltaşı ve kumtaşları ile uyumlu olarak gelmektedir. Kızıltas Tepe stratigrafik kesitinden alınan

kumtaşlarında oolitik doku yaygın olarak görülür. Gerek oolitik kumtaşları ve gerekse diğer çakıltaşları ve kumtaşları dalga hareketlerinin etkin olduğu çok sığ bir denizel ortamın varlığını göstermektedir. Kireçtaşlarında yaygın olarak bulunan detritik kömür parçaları ve formasyon içerisinde yer yer görülen kömür seviyeleri, ortamın sığ denizel olduğunu ve yer yer kısa süreli bataklık alanlarının gelişliğini gösterebilir. Ayrıca çamurtaşları içerisinde yaygın olarak görülen *Radiolaria*'lar ortamın zaman zaman nispeten sakin dönemler geçirdiğini ve dalga tabanı altı veya derin şelf ortamı haline geldiğini göstermektedir. Hamurkesen Formasyonu'nun genel olarak türbiditik özellik göstermesi de aktif blok faylanmalara bağlı olarak gelişen hareketli bir ortamın, dolerit ve diyabaz silleri de zaman zaman volkanik etkinliğin geliştiğine işaret etmektedir. Volkaniklerin tabakalaşma yüzeyine paralel olmaları, sil olabileceklerini düşündürmekle birlikte, genellikle mikrogronü porfirik dokuda ve tüfler ile geçişli seviyeler halinde olmaları, bunların çökelme sırasında zaman zaman meydana gelen kısa süreli volkanik etkinliklere karşılık geldiğini göstermektedir.

3.1.6.7. Deneştirme

Hamurkesen Formasyonu ile benzer volkano-tortul özellikteki birimler özellikle Doğu Pontidler Güney Zonu'nda yaygın olarak bulunmaktadır. Hemen her yerde genelde benzer litolojilere sahip birim, düşey ve yanal yönde farklılıklar gösterir. Trabzon yöresinde yapılan ilk çalışmalarda Liyas'tan başlayıp Alt Kretase'ye kadar devam eden spilitik bazalt, andezit ve piroklastikleri ve bunların arasında mercekler halinde bulunan kireçtaşlarından oluşan birimler için Alt Bazik Seri terimi kullanılmıştır (Schultze-Westrum, 1961; Gedikoğlu, 1978; Aslaner ve dig., 1982). Hamurkesen Formasyonu ilk olarak Demirözü yöresindeki Liyas yaşı aglomera ve tuf seviyeleri de içeren ve genellikle kumtaşı ve kiltaslarından oluşan birim için kullanılmıştır (Ağar, 1977). Daha sonra aynı yörede yapılan çalışmalarda bu isme bağlı kalınmıştır (Akdeniz, 1988, Tanyolu, 1988). Bu bakımından Hamurkesen Formasyonu batıdan doğuya doğru volkano-tortul özellik taşıyan Kayabaşı (Alp 1972), Seyfe (Öztürk, 1979), Umut (Boynukalın, 1985), Karatepe (Seymen, 1975), Hacıören (Pelin 1977, Yılmaz, 1985), Zimonköy (Eren, 1983), Karlı (Özsayar ve dig., 1982), Olurdere (Bozkuş, 1990) Formasyonları ile kısmen veya tamamen deneştirilebilir özelliktedir.

3.1.7. Berdiga Formasyonu (Malm-Alt Kretase)

3.1.7.1. Ad, Yayılım ve Topografik Görünüm

Taban seviyelerinde oldukça kalın çakıltaşı, kumtaşı, marn ve kilitaşları ile başlayan kireçtaşları Alucra (Giresun) yöresinde Berdiga Formasyonu olarak adlandırılmıştır (Pelin 1977). Demirözü-Kelkit yöresinde Berdiga Formasyonu ile deneştirilebilir özellikteki tek tip litolojiye sahip Üst Jura-Alt Kretase kireçtaşları ise Hozbirik Yayla Kireçtaşı olarak adlandırılmıştır (Ağar, 1977). İnceleme alanının doğu ve güneydoğu kesimlerinde yer alan ve çoğunlukla kireçtaşları ile temsil edilen Malm-Alt Kretase yaşılı birim, taban seviyelerinde çakıltaşı, kumtaşı, marn ve kilitaşları içerdiginden eski adlandırmalardan Berdiga Formasyonu adı tercih edilmiştir.

Berdiga Formasyonu inceleme alanının güneydoğu ve doğusunda yaklaşık 100 km² lik bir alanda yüzeylemektedir. Genellikle inceleme alanının güneyinde yer alan birim Tortum Gölü, Kemerlidağ, Kıraç Tepe, Kayadibi Boğazı, İşhan doğusu ve Kale Tepe civarında görülür. Berdiga Formasyonu gri-beyaz tonları ve belirgin litolojik farklılığı ile haritalanması en kolay birimdir. Genellikle sert bir morfolojiye sahiptir. Tortum Gölünden kuzeeye doğru devam eden Tortum Çayı boyunca 350 m ye varan dik şeveler oluşturur. Kendi içerisinde nispeten tatlı eğimli alanlar sunan Hamurkesen Formasyonunun tatlı eğimli morfolojisi ile olan geçişlerde ise genellikle dike yakın şeveler oluşturur.

3.1.7.2. Alt-Üst Sınırlar, Kalınlık

İnceleme alanının dışında çeşitli adlar (Hozbirik yayla Kireçtaşı, Ağar., 1977; Berdiga Kireçtaşı, Taşlı, 1984) altında çalışılan Berdiga Formasyonu alttaki ve üstteki birimler ile uyumsuz olarak tanımlanmaktadır. Ancak inceleme alanı içerisinde Kıraç Tepe, Copla Tepe ve İşhan civarında tanetaş-istiftaş fasiyesi kireçtaşları ile Hamurkesen formasyonunun kilitaşı ve marnları üzerine geçişli olarak gelir. Üstten ise Yusufeli formasyonunun kilitaşı ve marnları ile uyumlu olarak üzerlenir. İnceleme alanı sınırları içerisinde litolojik ve kalınlık farklılıklar gösteren birim Kıraç Tepe ve İşhan kesitlerinde sadece kireçtaşları ile temsil edilirken, Kemerlidağ kesitinde ara seviye halinde yaklaşık 400 m kalınlığında kırıntılı bir

fasiyes içerir. Ayrıca Morkaya ve Kinalıçam civarında, Berdiga Formasyonu İspır-Yusufeli fayı ve bu faydan ayrılan Kinalıçan bindirmesi boyunca Üst Kretase yaşı Yusufeli formasyonu üzerine itilmiştir.

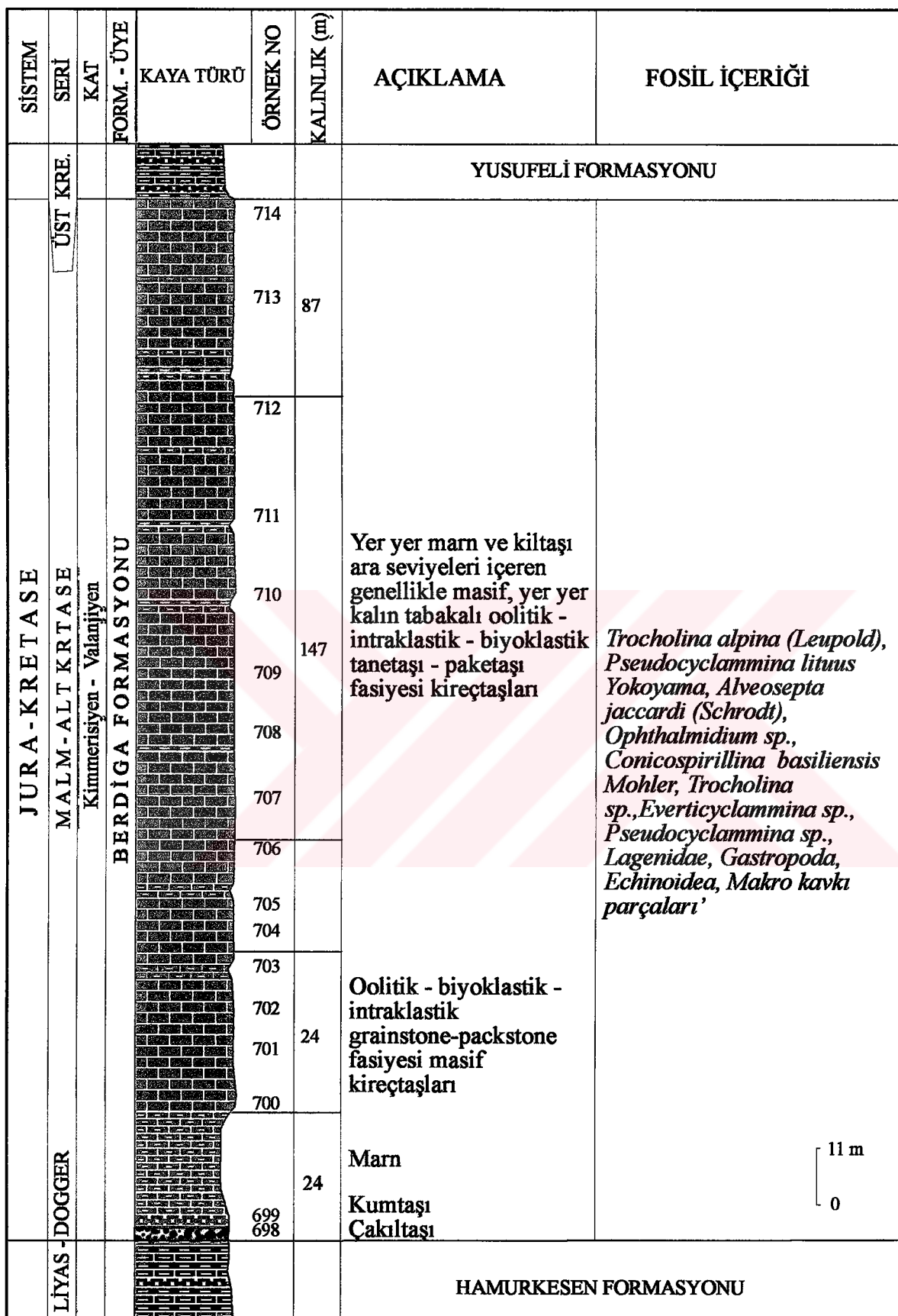
Birimin kalınlığı inceleme alanı içerisinde önemli farklılıklar göstermektedir. İspır Yusufeli bindirmesinin doğusunda kalan Kemerlidağ referans kesitinde üstteki mikritik kireçtaşlarına kadar olan kireçli (181.5 m) ve kırtılı tortuların (397.5 m) kalınlığı 578 m dir Birimin İşhan referans kesitinden ölçülen kalınlığı ise 678 m, dir. Bunların fayın batısındaki eşleniği olan Kıraç Tepe kesitinden ölçülen kalınlığı ise 201 m dir.

3.1.7.3. Referans Kesitler

Berdiga Formasyonu inceleme alanı içerisinde litolojik ve kalınlık olarak önemli farklılıklar gösterir. Bu nedenle birimden üç referans kesit çıkarılmıştır. Bunlar sırasıyla Kıraç Tepe, İşhan ve Kemerlidağ referans kesitleridir. Birim, Kıraç Tepe kesitinde tanetaş-istiftası fasiyesi kireçtaşları; İşhan kesitinde mikritik kireçtaşları, çört ve çörtlü kireçtaşları ile temsil edilir. Kemerlidağ kesitinde ise tabanda tanetaş-istiftası fasiyesi kireçtaşları ile başlar ve üste doğru çoğunlukla kumtaşı ve çakıltaşları ardisımdan oluşan kırtılı bir fasiyeye geçer. Bu fasiyesin üzerine ise İşhan civarındaki kireçtaşlarının eşleniği olan kireçtaşları gelir.

Birimin Kıraç Tepe referans kesiti Ormandibi' nin 1.5 km kadar kuzeydoğusundaki Kıraç Tepe'den güneybatı yönünde çıkarılmıştır (Pafita G47-d1, Başlangıç: Enlem = $40^{\circ} 43' 36''$, Boylam = $41^{\circ} 34' 55''$; Bitiş: Enlem = $40^{\circ} 43' 34''$, Boylam = $41^{\circ} 34' 22''$). İstifde gözlenen litolojiler ve kalınlıkları aşağıdaki gibi özetlenebilir;

Birim, Kıraç tepe kesitinde Hamurkesen Formasyonu'nun marnları üzerine çakıltaşı (3 m), kumtaşı (3 m) ve marnlardan (24 m) oluşan kırtılı bir fasiyes ile uyumlu gelmektedir. Bunların üzerine biyoklastik ve intraklastik tanetaş-istiftası fasiyesi ile başlayan ve intraklastik-oolitik tanetaş-istiftası fasiyesi ile devam eden, makroskopik olarak breşik yapılı kireçtaşları gelmektedir (24 m). Bunların üzerine ise orta-ince tabakalı marn ve kilitası ara seviyeleri içeren genellikle masif ve yer yer kalın tabakalı oolitik-intraklastik-biyoklastik



Şekil 3.33. Berdiga Formasyonu' nun Kırac Tepe referans kesiti

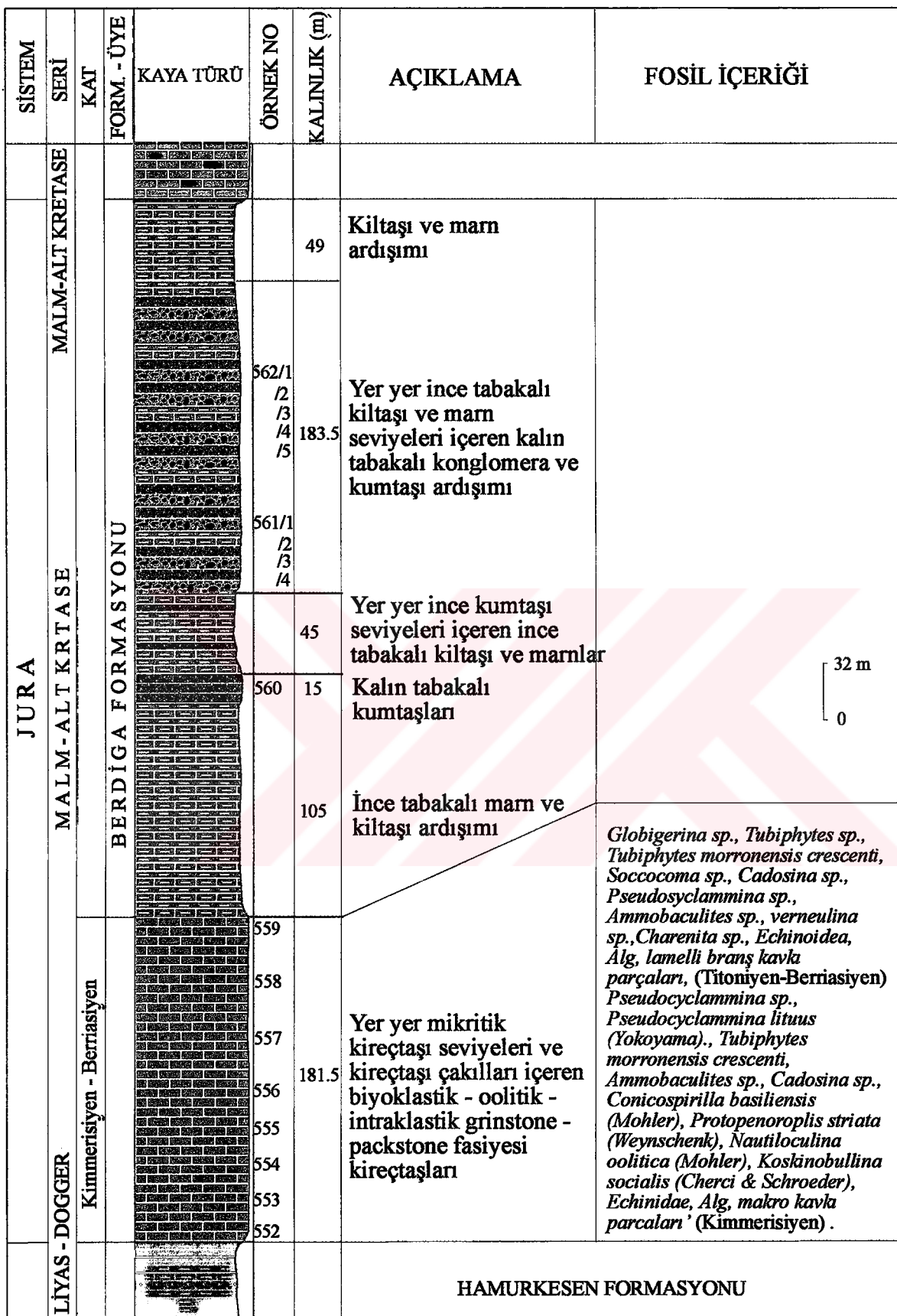
tanetaşı-istiftası fasiyesi kireçtaşları gelir (147 m). Bunlar, Geç Kretase yaşı Yusufeli formasyonunun kırmızı renkli kumtaşı, silttaşları, ve marnları ile uyumlu olarak üzerlenmektedir (Şekil 3.33). Birimin burada ölçülen kalınlığı 282 m dir.

Birimin ikinci referans kesitinin alt seviyeleri İşhan'ın 1 km kadar kuzeydoğusunda kuzeydoğu yönünde ölçülmüştür (Pafta G47-b4, Başlangıç: Enlem = $40^{\circ} 47' 42''$, Boylam = $41^{\circ} 45' 30''$; Bitiş: Enlem = $40^{\circ} 47' 48''$, Boylam = $41^{\circ} 45' 36''$). Üst seviyelerdeki çört ve çörtlü kireçtaşları ise dik şeveler oluşturduklarından kesit hattı 1 km kuzeybatıdaki Boğazlar Deresi mevkiine kaydırılarak aynı yönde ölçülmüştür (Pafta G47-b4, Başlangıç: Enlem = $40^{\circ} 48' 25''$, Boylam = $41^{\circ} 45' 20''$; Bitiş: Enlem = $40^{\circ} 48' 27''$, Boylam = $41^{\circ} 45' 54''$). Berdiga Formasyonu'nun İşhan referans kesitinde tabandan tavana izlenen litolojiler aşağıdaki gibidir;

Birim, İşhan referans kesitinde Hamurkesen Formasyonu'nun kilitşaları ve marnları üzerine çokince bir seviye halinde oolitik-intraklastik tanetaşı fasiyesi kireçtaşları ile uyumlu olarak gelmektedir (7.5 m). Bunların üzerine yer yer düzensiz şekilli çört yumruları ve ince tabakalı veya laminalı kil bantları içeren, oldukça kalın bir seviye halinde, orta-kalın tabakalı biyomikritler gelir (292.5 m). Bunlar, kalınlıkları 10-15 cm arasında değişen ve birbiri ile ardisıklı çört ve çörtlü kireçtaşı batlarından oluşan bir seviye ile üzerlenmektedir (291 m). Bu çört ve çörtlü kireçtaşı ardalanmasından oluşan seviye kendi içerisinde kalınlığı yer yer 10 m ye kadar çıkabilen masif bir yapı oluşturmaktadır. Bunların üzerine orta-ince tabakalı biyomikritler gelmektedir (87 m). Bunlar da Yusufeli formasyonunun kırmızı kilitası ve marnları ile uyumlu olarak örtülmektedirler (Şekil 3.34). Birimin burada ölçülen kalınlığı 678 m dir.

Berdiga Formasyonu'nun İspir-yusufeli bindirmesinin doğusunda ölçülen Kemerlidağ Referans kesiti ise Kemerlidağ'ın batısındaki Copla Tepe'den Kemerlidağ'a doğru alınmıştır (Pafta G47-d1, Başlangıç: Enlem = $40^{\circ} 41' 28''$, Boylam = $41^{\circ} 34' 22''$; Bitiş: Enlem = $40^{\circ} 41' 40''$, Boylam = $41^{\circ} 35' 55''$).

Sekil 3.34. Berdiga Formasyonu'nun İshan referans kesiti



Şekil 3.35. Bediga Formasyonu'nun Kemerlidağ referans kesiti

Kemerlidağ referans kesitinde yer yer mikritik kireçtaşları ara seviyeleri ve kireçtaşları çakılları içeren biyoklastlı oolitik-intraklastik tanetaşı-istiftaşı fasiyesi kireçtaşları Hamurkesen Formasyonu'nun kiltaşı ve marnları üzerine uyumlu olarak gelmektedir (181.5 m). Bunlar üste doğru kiltaşı ve marnlara geçmektedir (105 m). Bunların üzerinde kalın tabakalı koyu gri kumtaşları yer alır (15 m). Bunlar yer yer ince tabakalı kumtaşı seviyeleri de içeren ince tabakalı kiltaşı ve marnlara geçmektedir (45 m). Bunların üzerine yer yer ince tabakalı kiltaşı ve marn seviyeleri içeren konglomera ve kumtaşı ardışımından oluşan iri taneli bir fasiyes gelir (183.5 m). Üste doğru tekrar kiltaşı-marn ardışımına (49 m) geçen birim İshân referans kesitinin eşleniği mikritik kireçtaşları ile uyumlu olarak üzerlenmektedir (Şekil 3.35).

3.1.7.4. Litoloji

Kıraç Tepe kesitinde çoğunlukla intrasparitik, biyosparitik ve oolitik kireçtaşları ile temsil edilen birim, İshân referans kesitinde mikritik kireçtaşları, çört ve çörtlü kireçtaşları ile temsil edilmektedir. Kemerlidağ referans kesitinde ise tabanda Kıraç Tepe kesitindekiler ile aynı fasiyeste gelişen kireçtaşları yer alır. Üste doğru kiltaşı, marn, kumtaşı ve çakıltası ardışımından oluşan kırmızılı bir fasiyese geçen birim, daha üst kısımlara doğru İshân referans kesitindeki kireçtaşlarına benzer kireçtaşlarına geçmektedir. Kıraç Tepe ve Kemerlidağ referans kesitlerindeki intrasparitik, biyosparitik ve oolitik kireçtaşlarının içeriği bileşenler ve mikroskopik özellikleri aşağıdaki gibidir;

- Biyojen (% 15-40): Genellikle makro kavkı parçaları ve foraminiferlerden meydana gelir. Yer yer yuvarlaklaşmışlardır.
- İntraklast (% 40-80): Elipse yakın şekillerde ve koyu gri-kahve mikritik parçalar şeklinde dir.
- Ooid (% 0-5): Çekirdek olarak genellikle plajiyoklas ve kuvars parçalarını, daha az olarak da opak mineralleri, volkanik kayaç parçalarını ve biyoklastları bulundurmaktadır. Tek sarımlıdır.
- Litoklast (% 0-5): Kuvars ve plajiyoklas ve yer yer de opaklaşmış volkanik kayaç parçalarından oluşur.
- Bağlayıcı (10-30): Sparit
- Ortam: Dalga tabanı üzeri

- Adlama: İntrasparit, biyosparit (Folk, 1962), İntraklastik-biyoklastik tanetaşı-istiftası (Dunham, 1962).

İşhan kesitindeki mikritik kireçtaşlarının bileşenleri ve tahmini yüzde değerleri aşağıdaki gibidir;

- Biyojen (%10-40): Bentik foraminiferler, radiolaria, sünger spikülleri
- Bağlayıcı (% 70-90): Mikrit
- Enerji düzeyi: Düşük
- Ortam: Dalga tabanı altı
- Adlama: Biyomikrit (Folk, 1962), Wacketaşı (Dunham, 1962)

İşhan kesitindeki çörtler yer yer laminalı bir yapı gösteren mikro kalsit ve kuvars hamurundan oluşturmaktadır. Çörtlü Kireçtaşları ise çörtlü kısımların yanında biyojen ve önemli miktarlarda da litoklastik parçalar içerirler. Önemli bileşenler ve yüzdeleri aşağıdaki gibidir;

- Biyojen (% 5-15): Radyolarya ve sünger spikülleri
- Litoklast (% 30-40): Kuvars ve plajiyoklas parçaları
- Bağlayıcı (% 50-60): Mikrit
- Enerji düzeyi: Düşük
- Ortam: Dalga tabanı altı

Berdiga Formasyonu'nun Kemerlidağ referans kesitinden derlenen çakıltaşlarının türünü tespit etmek amacıyla değişik litolojilerdeki çakıllar derlenmiş ve mikroskopik olarak incelenmiştir. Volkanik çakıl örneklerinin mikroskopik incelemeleri sonucunda bunların Hamurkesen Formasyonu'nda bulunan çakıllar ile aynı bileşimlere sahip olduğu görülmüştür. Bunlar spilitik bazalt, bazalt, andezit ve dasit çakıllarıdır. Mikroskopik incelemeleri sonucunda benzer mineralojik ve dokusal özelliklere rastlanmıştır. Ancak çakılların bazlarında yüksek ayrışma nedeniyle mineraller ve dokusal özellikler belirgin değildir. Bunlardan başka daha az oranlarda granodiyoritik-tonalitik granitoyid ve kireçtaşı çakılları da bulunur. Granitoyid çakılları Sebzeciler granitoyidi kayaçları ile benzer mineralojik bileşime ve dokusal özelliklere sahiptir. Bunlarda da mineralojik ayrışma daha

ileri derecelerdedir ve özellikle biyotitler tamamen kloritleşmiş veya opaklaşmışlardır. Kireçtaşçı çakılları ise intrasparitik kireçtaşçı özelliğindedir.

Kemerlidağ referans kesitinin önemli bir bileşenini oluşturan kumtaşları Hamurkesen Formasyonu kumtaşları ile benzer özelliklere sahiptirler. Mikroskopik incelemeleri referans kesitten alınan 6 adet örnek üzerinde gerçekleştirilmiştir. Örneklerin seçiminde bileşenleri ayırt edilebilen ve eş boyutlu olanların seçilmesine özen gösterilmiştir. Kumtaşlarının sınıflaması modal analizleri sonucunda belirlenen kuvars, feldspat ve kayaç kirintisi içeriklerine göre yapılmıştır. K-feldspatlar açısından boyanana kumtaşı kesitlerindeki sayı 0.4 mm aralığı aralığı üzerinden kesitlerde 500 nokta sayılara yapılmıştır. Kumtaşlarının modal analizleri yapılırken dikkate alınan bileşenler ve özellikleri Hamurkesen Formasyonu'nda olduğu gibidir. Buna göre kumtaşları % 15' in altında bağlayıcı içeren litik arenit ve feldspatlı litik arenit bileşimindedirler. Çimento olarak kalsit içerirler. Taneleri genellikle iyi yuvarlaklaşmıştır

3.1.7.5. Çökelme Ortamı

Kıraç Tepe, Kemerlidağ ve İşhan referans kesitlerinde tabanda yer alan biyoklastlı, ooidli ve intraklastik resifal karbonatlar birimin sığ denizel ortamda çökelmeye başladığını göstermektedir. Kıraç Tepe referans kesitinde bu litolojik özellik çökelim süresince korunmuştur. Buna karşılık İşhan referans kesitinde üste doğru gelen ve çört yumruları içeren mikritik kireçtaşları, ortamın gittikçe derinleştiğini ve dalga tabanı altına indiğini göstermektedir. Kemerlidağ referans kesitinde ise resifal karbonatların üzerine yer yer altaki kireçtaşlarının çakıllarını da içeren ve çoğunlukla çakıltası-kumtaşı ardışımından oluşan türbiditik karakterli kirintili bir fasiyes gelmektedir. Bu durum ortamın blok faylar ile kırıldığına işaret edebilir. Buna karşılık İşhan kesitindeki çörtlü kireçtaşları içerisinde bulunan plajiyoklas ve kuvars kirintlarının 10-20 mikron mertebesinde olmaları blok faylanma sırasında İşhan civarının iri malzeme alamayan bir ortam olduğuna işaret edebilir. Bu bakımdan İşhan civarının blok faylanma ile yavaş yavaş derinleşen ortamda bir horst'a karşılık gelebileceği sonucu çıkarılabilir. Kemerlidağ civarındaki türbiditik kumtaşı-çakıltası çökelimde blok faylanma nedeniyle derinleşen havzada hızlı bir tortu çökelmanının olduğu bir

grabene karşılık gelebilir. Kırıntılı fasiyesin üzerine gelen mikritik kireçtaşları ise grabenin hızla dolduguunu ve çökelme yüzeyinin İşhan civarındaki seviyesine ulaştığını gösterebilir.

3.1.7.6. Fosil İçeriği ve Yaşı

Kıraç Tepe referans kesitinden alınan örneklerde *Trocholina alpina* (*Leupold*), *Pseudocyclammina lituus* *Yokoyama*, *Alveosepta Jaccardi* (*Schrodt*), *Ophthalmidium* sp., *Conicospirillina basiliensis* *Mohler*, *Trocholina* sp., *Everticyclammina* sp., *Pseudocyclammina* sp., *Lagenidae*, *Gastropoda*, *Echinoidea*, *Makro kavki parçaları*'ndan oluşan bir fauna tespit edilmiş ve birimin yaşı Kimmerisiyen-Valanjiyen olarak verilmiştir (Tayin Kemal Erdoğan, 1998, MTA, Ankara).

İşhan referans kesitinde istifin taban seviyelerinde (0-7.5 m arası) *Trocholina* Sp., *Cayeuxia* sp., *Tubiphytes morronensis* *Crescenti*, *Nautiloculina oolitica* *Mohler*, *Textularia* sp., *Oplithalmidium* sp., *Protopeneroplis striata* *Weynschenk*, *Trocholina alpina* (*Leupold*), *Everticyclammina* sp., *Conicospirillina* sp., *Koskinobullina socialis* (*Cherci & Schroeder*), *Echinoidea*, *Radiolaria* spp., *Patellina* sp., *Spirillina* sp., *Tintinidae*, *Hectinas* sp., *Protopeneroplis* cf. *trochangulata* *Septifontaine*, *Tintinopsella* sp., *Calpionellites* sp., *Calpionella* sp., *Lagenidae*, *Echinoidea plak ve dikenleri*, *Radiolaria. Sünger spikülleri*'nden oluşan ve Kimmerisiyen- Alt Valanjiyen yaşı veren bir fauna tespit edilmiştir. Buradan itibaren 175. m ye kadar her 15 m de bir alınan örneklerde tespit edilen *Spirillina* sp., *Radiolaria* spp., *Bolinopsis* sp., *Gaudryina* sp., *Lagenidae*, *Globigerina* sp., *Globigerina hoterivica* (*Subbotina*), *Cadosina* sp., *Meandrospira favrei* (*Charrolias*, *Brönniman & Zaninetti*), *Sünger spikülleri*, *Tintinopsella carpathica* (*Murgeanu & Filipescu*), *Cadosina* sp., *Patellina* sp., *Bolinopsis* sp' den oluşan faunaya göre kayaçların yaşı Valanjiniyen-Hotriyiyen olarak verilmiştir. 175. m' den 678. m' ye kadar yaklaşık 15 m de bir alıma örneklerde belirlenen *Spirillina* sp., *Globigerina hoterivica* (*Subbotina*), *Patellina* sp., *Meandrospira* sp., *Meandrospiranella* sp., *Bolinopsis* sp., *Cadosina* sp., *Globigerina* sp., *Meandrospira favrei* (*Charrolias*, *Brönniman & Zanietti*), *Lagenidae*, *Sünger spikülleri* faunasına göre kayaçların yaşı Hotriyiyen -Barremiyen yaşı elde edilmiştir. Bu fosil bulgularına göre Berdiga formasyonunun İşhan referans kesitindeki yaşı Kimmerisiyen-Barremiyen olarak elde edilmiştir.

Kemerlidağ referans kesitinin tabanındaki kireçtaşlarında *Pseudocyclammina sp.*, *Pseudocyclammina lituus* (Yokoyama) ., *Tubiphytes morronensis* Crescenti, *Ammobaculites* sp., *Cadosina* sp., *Conicospirilla basiliensis* (Mohler), *Protopeneroplis striata* Weynschenk, *Nautiloculina oolitica* (Mohler), *Koskinobullina socialis* (Cherci & Schroeder), *Echinoidea*, *Globigerina* sp., *Tubiphytes* sp., *Soccocoma* sp., *Pseudosyclammina* sp., *Ammobaculites* sp., *Verneulina* sp., *Charenita* sp., *Echinoidea*, *Alg*, *Lamelli branş kavkı parçaları*, *detritik kömür parçaları*'ndan oluşan fauna ve floraya rastlanmıştır. Bu fosil topluluğuna göre referans kesitin tabanındaki kireçtaşlarının yaşı Kimmerisiyen-Berriasiyen olarak elde edilmiştir. Kireçtaşları üzerine gelen kırtılı fasyeste yaşı verilebilecek mikrofauna bulunamadığından yaşı kat mertebesinde tespit edilememiştir. Ancak tabandaki kireçtaşı üzerine geldiğinden Berriasiyen sonrası yaşlı olduğu söylenebilir.

3.1.7.7. Deneştirme

Berdiga Formasyonu Doğu Pontidler Güney Zonu'nda karbonatlı bir fasyeste gelişmiş olan Amasya yöresinde Carcurum (Alp, 1972), Ladik-Niksar yöresinde Doğu (Öztürk, 1979), Reşadiye yöresinde Hankırıtepesi (Seymen, 1975), Ünye yöresinde Zinav (Terlemez ve Yılmaz, 1980), Demirözü yöresinde Hozbirikyayla (Ağar, 1977), Olur yöresinde Yeşilbaşlar (Bozkuş, 1990) ve aynı ad ile tanımlandığı Alucra yöresindeki Berdiga (Pelin, 1977), formasyonları ile deneştirilebilir.

3.1.8. Yusufeli Formasyonu (Üst Kretase)

3.1.8.1. Ad, Yayılım ve Topografik Görünüm

İnceleme alanında volkanikler ile ara katkılı ve çoğulukla kumtaşı, kilitaşı ve marnlar ile temsil edilen Üst Kretase yaşı türbiditik istife Yusufeli formasyonu adı verilmiştir. Birim, İspir-Yusufeli bindirmesinin doğusunda ve batısında olmak üzere iki yerde görülmektedir. Fayın doğusunda kalan bölümünde önemli bir yer tutan bazik ve asidik volkanitler kuzeye doğru gittikçe artmaktadır. Bunun yanında dört seviye halinde kireçtaşları, marn ve silttaşlarından oluşan kırmızı renkli tortular içerir. Fayın güneyinde kalan bölümünde ise kumtaşı, marn ve kilitaşlarının yanı sıra çört, çörtlü kireçtaşları ve gri kireçtaşları yer alır. İnceleme alanının daha doğusundaki Olur yöresinde kireçtaşları, marn kilitaşı ve kısmen de kumtaşları ile temsil olunan Üst Kretase yaşı litolojiler alttan üste doğru Karmasör, Boğazören ve Akbayır formasyonları olmak üzere üçe ayrılmıştır (Yılmaz, 1985; Bozkuş, 1990). Yusufeli formasyonunun İspir-Yusufeli fayının batısındaki bölümü güneyden kuzeye doğru Ormandibi Köyü batısı, Hazuket, Yusufeli, Vecanket, Minathev ve Çıralıköy batısında; doğusundaki bölümü ise Çağlayan doğusu, Tapır, Kışla ve Osker mezralarında yüzeylemektedir.

İnceleme alanı içerisinde en düşük rölyefli alanları oluşturan Yusufeli formasyonu volkanitlerin yoğunlukta olduğu kuzey kesimlerde sarp kayalıklar oluşturmaktadır. İstifin güneyde kalan kesimleri içerisinde ise çört, çörtlü kireçtaşları, çakıltaşları ve kumtaşı seviyeleri belirgin kornişler oluştururlar. Yusufeli formasyonu içerdiği litolojik çeşitlilikten dolayı çok değişik renklerde görülebilen bir birimdir. Dasitler kavun içi ve açık yeşil, oksidasyon nedeniyle de yer yer hematit kırmızısı renklerde görülür. Bazalt ve andezitler genellikle koyu yeşil ve koyu gri renklerdedirler. Kumtaşı ve çakıltaşları genellikle gri ve sarı renklerde, kırmızı biyomikrit, marn ve kilitaşları ise kırmızı renklerdedir. Tortular arasındaki bu renk farklılıklarını Çağlayan Köyü doğusunda görür. Burada alttan üste doğru: Koyu gri-siyah kilitaşı ve marn ardışımı; gri-yeşil kumtaşı; yine koyu renkli kilitaşı, marn ve kireçtaşları ardışımı; koyu kahve-kırmızı çört ve çörtlü kireçtaşları; gri-yeşil kumtaşları ve açık gri-beyaz kireçtaşları seviyeleri çok belirgindir.

3.1.8.2. Alt-Üst Sınırlar, Kalınlık

Yusufeli formasyonunun İspir-Yusufeli bindirmesinin batısında kalan kısmının doğu sınırı büyük bölümünde Yusufeli bindirmesi nedeniyle üstten Liyas yaşılı Kinalıçam volkanik karmaşığı ile faylıdır. Kinalıçan volkanik karmaşığı kuzeybatıya doğru Yusufeli formasyonu üzerine itilmiştir. Birimin normal sınır ilişkileri yalnızca alanın güneyindeki Ormandibi Köyü batısında görülmektedir. Yusufeli formasyonu burada kırmızı renkli marn, silttaşları ve kumtaşları ile uyumlu olarak Berdiga formasyonunun kireçtaşları üzerine gelir. Üste doğru çoğunlukla kırıntılı bir fasiyeste devam eden birim üstten Eosen diskordansı ile sınırlanmıştır. Eosen yaşılı türbitidik Yağmuralan formasyonu taban konglomeraları ile Yusufeli formasyonunun kırmızı biyomikrit, silttaşları ve kumtaşları üzerine açısal uyumsuzlukla gelmektedir. Yusufeli formasyonunun İspir-Yusufeli bindirmesinin doğusunda kalan bölümü ise yer yer çok ince kumtaşı seviyeleri içeren ince tabakalı kireçtaşı, marn ve kiltaşları ile Berdiga Formasyonu üzerine uyumlu olarak gelir. Üsten gri-beyaz orta-ince tabakalı mikritik kireçtaşları ile son bulan birimin üzerine inceleme alanı içerisinde herhangi bir birim gelmemektedir. Ancak inceleme alanının doğusundaki Olur yöresinde, Çağlayan formasyonu ile deneştirilebilir özellikteki Üst Kretase oluşuklarının (Karmasör, Boğazören ve Akbayır formasyonları) Eosen birimleri (Dağdibi formasyonu) tarafından uyumsuz olarak örtüldüğü bilinmektedir (Yılmaz, 1985; Bozkuş, 1990).

Yusufeli formasyonunun kalınlığı içeriği volkanik malzemeye bağlı olarak önemli değişiklikler gösterebilmektedir. Bu sebeple volkanik ara katının yoğun olduğu kuzey kesimlere doğru birimin kalınlığı artmaktadır. Tip kesitinin çıkarıldığı ve volkanik malzemenin az olduğu Ormandibi Köyü civarındaki kalınlığı 864 m, Çağlayan referans kesitinden ölçülen kalınlığı ise 870 m dir.

3.1.8.3. Tip ve Referans Kesit

Yusufeli formasyonu inceleme alanında tabandan tavana kadar yalnızca Ormandibi Köyü batısında görülmektedir. Bu nedenle birimin tip kesiti Ormandibi köyünün güneyindeki Kırac Tepe güneydoğusundan başlanarak güneydoğu yönünde çıkarılmıştır (Pafta G47-d1, Başlangıç: Enlem = $40^{\circ} 44' 2''$, Boylam = $41^{\circ} 34' 12''$, Bitiş: Enlem = $40^{\circ} 42' 48''$, Boylam =

$41^{\circ} 32' 48''$). Yusufeli formasyonunun İspir-Yusufeli bindirmesinin doğusundaki referans kesiti ise Çağlayan'ın yaklaşık 500 m doğusundaki vadi içinden başlayarak kuzey yönünde çıkarılmıştır (Pafta G47-d2, Başlangıç: Enlem = $40^{\circ} 39' 48''$, Boylam = $41^{\circ} 41' 38''$; Bitiş: Enlem = $40^{\circ} 40' 30''$, Boylam = $41^{\circ} 41' 44''$).

Yusufeli formasyonu, Ormandibi Köyü batısından çıkarılan tip kesitinde kırmızı renkli marn, silttaşları ve kumtaşları ile Berdiga Formasyonu'nun oolitik-intraklastik tanetaşı-iştiftası fasiyesi kreçtaşları üzerine uyumlu olarak gelir (23.5 m). Bu fasiyesin üzerinde biri alta diğer ise üst seviyelere yakın iki çakıltaşı seviyesi içeren gri renkli kumtaşları bulunur (90 m). Bunları kırmızı renkli kiltaşı, silttaşları ve kumtaşı ardisiminden oluşan bir seviye izler (42 m). Bu seviye üzerine ince bir seviye halinde sarı renkli dasitik türfler gelir (9 m). Bunlar en üstte 15 m kalınlığında konglomeratik bir seviye içeren kiltaşı, kumtaşı ardisimine geçmektedir (54 m). Konglomeraların üzerine çoğunuğu kiltaşlarının oluşturduğu kırmızı renkli kiltaşı ve marn ardisımı gelmektedir (174 m). Bunlar konglomeralar ile başlayan açık kahve-sarı renkli kumtaşı, kiltaşı ardisimine geçmektedir (66 m). Bunları Çayırlı Tepe zirvesine yakın tabanda makro fosil kavkaları içeren 50 cm kalınlığında gri renkli bir kumtaşı ve 1.5 m kalınlığında ince tabakalı bir kırmızı biyomikrit seviyesi izler. Kırmızı biyomikritler üzerine biri tabanda (20 cm), diğer 1.5 m sonra olmak üzere iki kumtaşı seviyesi içeren bazık volkanik seviye gelir (6 m). Bunlar çoğunuğu kumtaşlarının oluşturduğu gri-yeşil kiltaşı kumtaşı ve yer yer de marn ardisiminden oluşan bir istife geçerler (294 m). Bunların üzerine inoceramus kalıpları içeren orta-kalın tabakalı sarı renkli kumtaşları gelir (39 m). Bunlar kalınlığı batiya doğru artan bazalt, andezit ve piroklastlarına geçer (82 m). Bunların üzerine tabanda kırmızı kumtaşı ve silttaşlarından oluşan kırmızı biyomikritler gelir (25 m). Kırmızı biyomikritler Eosen diskordansı ile son bulmakta ve üzerlerine Yağmuralan formasyonunun taban konglomeraları gelmektedir (Şekil 3.36).

Yusufeli formasyonu Çağlayan referans kesitinde ise yer yer çok ince kumtaşı ve kırmızı biyomikrit seviyeleri içeren ince tabakalı kireçtaşı, marn ve kiltaşları ile Berdiga Formasyonu'nun biyomikritleri üzerine uyumlu olarak gelmektedir (88.5 m). Bunların üzerine yer yer ince tabakalı kireçtaşı ve marn seviyeleri içeren orta-kalın tabakalı, gri-yeşil renkli kumtaşları gelir (79.5 m). Bunlar, yer yer ince kumtaşı tabakaları içeren açık gri renkli, ince tabakalı kiltaşı ve marn ardisimine geçer (60 m). Bunlar da bantlı yapıya sahip

SİSTEM	TER.	SİSTEM	SERİ	KAT	FORM - ÜYE	KAYA TÜRÜ	ÖRNEK NO	KALINDLIK (m)	AÇIKLAMA		FOSİL İÇERİĞİ
KRETASE	EOSEN	ÜST - KRETASE	YUSUFELİ	FORMASYONU					YAĞMURALAN FORMASYONU		
MALM-ALT KRETASE							594 593	25	Kırmızı biyomikrit ve kumtaşları		
								82	Bazalt, andezit ve piroklastları		
							586 585	39	Orta-kalm tabakalı sarı renkli kumtaşları	<i>Inoceramus sp.</i>	
							584				
							583				
							582	294	Yer yer volkanik çakılı, çoğunuğu kumtaşlarının oluşturduğu gri-yeşil kilit kumtaşı ve yer yer de marn ardisımı	<i>Lithothamnium sp., Lithophillum sp., Globotruncana sp., Anomalinidae, Globigerinidae, Lagenidae, rudist kavka kesitleri, Lamelli branş kavka parçaları, detritik kömür parçaları (Üst Santonyen- Kampaniyen)</i>	
							581				
							580				
							579 578	6	Bazalt Kırmızı biyomikrit (1.5 m)	<i>Pseudocyclammina cf. Massiliensis Mayne, Dicarinella concavata Brotzeu, Marginotruncana coronata Boll, Marginotruncana sp., Dicarinella sp., Miliolidae, ostracoda, Lamelli branş kavka parçaları (Santonyen)</i>	
							576 576 575	66	Sarı renkli kumtaşı ve kilit kumtaşı ardisımı Kalink tabakalı çakıltıları		
							574				
							573	174	Kırmızı renkli kilit kumtaşı ve marn ardisımı		
							572	54	Çakıltı Orta-ince tabakalı kilit kumtaşı ardisımı Sarı renkli dasitik tüfler (9 m)		
							572	42	Orta-ince tabakalı, kırmızı renkli kilit kumtaşı, silt taşı ve kumtaşı ardisımı		
							571				
							570 569 568 567 566 565 563	90	Orta-kalm tabakalı çakıltıları Orta tabakalı gri kumtaşları Orta-kalm tabakalı çakıltıları Kırmızı renkli marn, silt taşı ve kumtaşları		50 m
							562	23.5	BERDİGA FORMASYONU (Kırca Tepe referans kesiti)		0

Şekil 3.36. Yusufeli formasyonunun Ormandibi Köyü batısında ölçülen tip kesiti

SİSTEM	SERİ	KAYA TÜRÜ	ÖRNEK NO	KALINLIK (m)	AÇIKLAMA	FOSİL İÇERİĞİ
FORM.-ÜYE.	KAT	FORM.-ÜYE.				
KRETASE	ÜST - KRETASE	Üst Santonyen-Kampanyen	461 460 459 458 457 456 455 154 453 452 451 450	99	Gri-beyaz mikritik kireçtaşları	<i>Globotruncana bullioides Vogler, Globotruncana linneiana (d'Orbigny), Rosita fornicata (Plummer), Pseudoguembelina sp, Globotruncanita sp, Pythonella ovalis (Kaufmann), Stomiosphaera sphaerica (Kaufmann), Heterohelicidae, Rugoglobigerina'</i>
MALM-ALT KRETASE	Apsiyen-Albiyen	Türonyen-Kampanyen	449 448 447 446 445 444 443 442 441 438	168	Marn ve kilitası seviyeleri ve 57. metresinde çapraz tabakalı bir seviye içeren açık gri renkli, orta-ince tabakalı kumtaşları	<i>Marginotruncana sp, Dicarinella sp, Globigerinidae, Globotruncanidae, Globotruncana sp, Marssonella oxcona (Reus), Stomiosphaera sphaerica (Kaufmann), Anomalinidae, Lagenidae Marginotruncana coronata BOLLI, Marginotruncana pseudolineana Pessagno, Dicarinella, Pythonella ovalis (Kaufmann), Globotruncana linneiana (d' Orbigny), Heterohelix sp, Lithothamnium sp, Bolivinopsis sp, Sulcoperculina sp, Amphistegina sp, Rotaliidae sp, Echinoidea, Radiolaria sp, Alg, Bryozoa, Sığır spikülleri ve makro kavka parçaları'</i>
YUSUFELİ FORMASYONU	Üst Albiyen- Senomaniyen		435 434 433 432 431 430	42	Yer yer bantlı yapı gösteren çört ve çörtlü kireçtaşları	<i>Rotalipora ticinensis (Gaundolfi), Rotalipora reichelli (Mornod), Rotalipora sp, Globigerinelloides sp, Globigerinidae, Ticinella sp, Hedbergella sp, Lithothamnium sp., Lithophillum sp, Praeglobotruncana sp, Rotaliporiidae, Stoimosphaera sphaerica (Kaufmann), Radiolaria sp,</i>
			437 436 435	60	Yer yer kilitası seviyeleri içeren kilitası ve marn ardisımı	
			434 433 432 431 430	79.5	İnce tabakalı kireçtaşı ve marn seviyeleri içeren orta-kalin tabakalı kumtaşları	
			429 428 427 426	88.5	Yer yer ince tabakalı kumtaşı ve kırmızı biyomikrit seviyeleri içeren marn ve kilitası ardisımı	<i>Globigerinelloides ferreolensis (Moullade), Globigerinelloides sp, Hedbergella spp, Anomalinidae, Lagenidae, lamelli branş kavka parçaları,</i>
			425		BERDİGA FORMASYONU (İşhan referans kesiti)	<i>Hedbergella trocoidea (Gandolfi), Hedbergella delrioensis (Carsey), Hedbergella sp, Ticinella sp ve Lagenidae (Apsiyen)</i>

Şekil 3.37. Yusufeli formasyonunun Çağlayan referans kesiti

koyu kahve renkli, orta tabakalı çört ve çörtlü kireçtaşları ile üzerlenir (42 m). Çörtlü kireçtaşları üzerine çok az oranlarda kireçtaşı seviyeleri ve 57. m sinde çapraz tabakalı bir seviye içeren açık gri renkli, orta-ince tabakalı kumtaşları gelir (168 m). Bunlar da yer yer çakıltaşı ve kireçtaşı seviyeleri içeren ve yer yer dereceli katmanlaşma gösteren kalın tabakalı koyu gri renkli kumtaşlarına geçer (333 m). Bunlar ise gri beyaz renkli orta-ince tabakalı mikritik kireçtaşları ile uyumlu olarak üzerlenir (99 m). Bunlardan sonra ise herhangi bir birim gelmemektedir (Şekil 3.37).

3.1.8.4. Litoloji

Yusufeli formasyonu genellikle kumtaşı, silttaşı, marn ve kiltaşı ardisumından oluşmaktadır. Bunların yanında kırmızı biyomikrit, çört, çörtlü kireçtaşı, gri-beyaz kireçtaşı ve kuzeye doğru gittikçe artan miktarlarda bazalt, andezit dasit ve piroklastlar da içerir. Birimin içeriği kayaçlar değerlendirilirken önce tortular ele alınacaktır.

3.1.8.4.1. Çakıltaşı, Kumtaşı ve Silttaşları

Yusufeli formasyonuna ait volkanik kayaç çakıllarının mikroskopik incelemeleri bunların genellikle andezit ve kısmen de dasit bileşiminde olduğunu göstermektedir. Bunlarda bulunan hakim fenokristal plajiyoklas (% 40-50) olup genellikle ince taneli ve yer yer hyalomikrolitik bir hamur (% 50-60) içerisinde yüzey halde ve kısmen de glomeroporfirik olarak bulunurlar. Genellikle zonlu yapıda olan plajiyoklasların kimyasal bileşimi mikroskopik olarak bulunamamıştır. Ancak yer yer görülen albit ikizine sahip plajiyoklasların andezin ve oligoklas (An 26-36) bileşiminde oldukları tespit edilmiştir. Biyotitler çok az oranlarda (% 0-10) ve öz şekilsiz olup, genellikle opaklaşmış ve kısmen de kloritleşmiş olarak bulunur. Klinopiroksenler de çok az oranlarda bulunurlar ve genellikle kloritlermişlerdir. Hamur çoğunlukla kuvars, plajiyoklas ve opak minerallerden meydana gelmektedir. Tortul kayaç çakılları ise kireçtaşı çakılları olup, genellikle intraklastik tanetaşı bileşimindedirler.

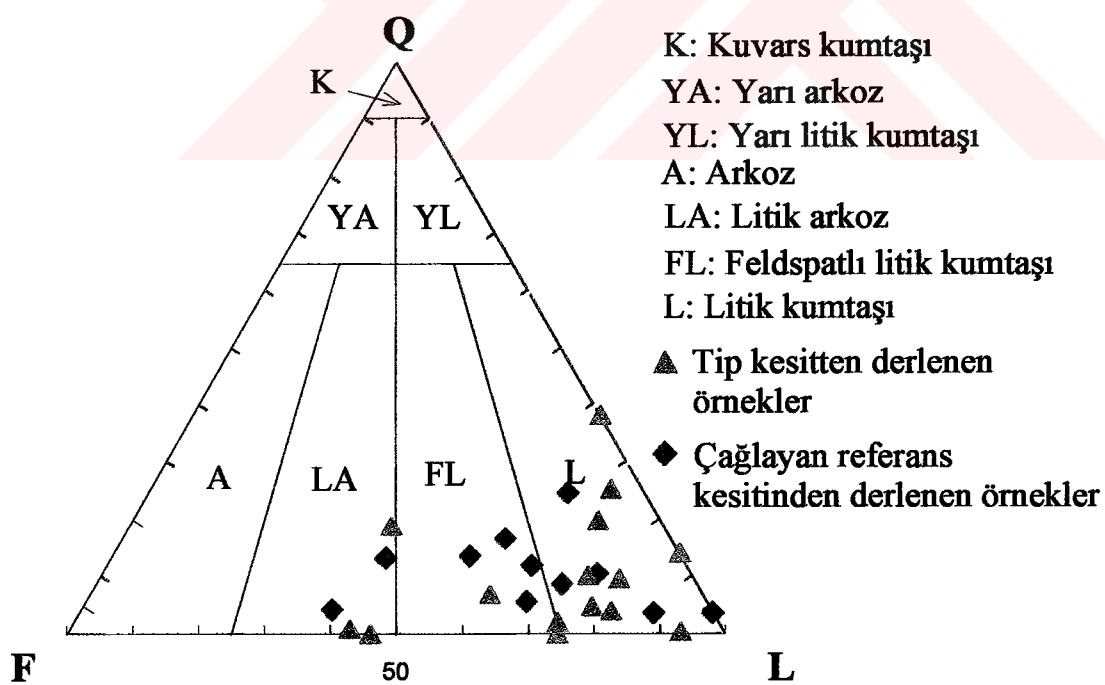
Kumtaşları Yusufeli formasyonu içerisindeki en yaygın kayaç grubudurlar. Mikroskopik incelemeleri İşhan tip kesitinden 15 ve Çağlayan referans kesitinden ise 11 olmak üzere toplam 26 örneğin modal analizleri sonucunda gerçekleştirılmıştır. Swift marka dijital nokta sayıcının kullanıldığı analizler sırasında her örnekte 1000 nokta sayılmıştır. Kumtaşlarında tespit edilen bileşenler ve yüzde değerleri Çizelge 3.17 de verilmiştir.

Yusufeli formasyonu kumtaşları kuvars (Q) içerikleri bakımından genellikle fakirdir. Bununla birlikte kuvarlar monokristalin (Qm) ve polikristalin (Qp) olmak üzere iki kısımda sayılmışlardır. Bir çok kesitte kuvarların genellikle 0,2 mm veya daha küçük boylarda olması, mono kuvars olarak sayılmasına sebep olmuş olabilir. Feldspatlar (F) tamamen

Çizelge 3.17. Yusufeli formasyonuna ait kumtaşlarının modal bileşenleri

Ö.No	Qm	Qp	Çört	Lv	Ls	PI	Klorit	Op	Amf	Ç	M
Tip kesitten derlenen örnekler											
565	0,6	-	-	30,2	0,0	40,4	-	14,0	-	-	14,8
566	-	-	-	55,7	0,0	19,2	-	4,4	-	-	20,7
569	-	-	-	33,9	0,0	39,8	-	11,8	-	-	14,5
570	1,7	-	-	61,3	0,0	20,6	-	9,3	-	-	7,1
573	3,1	-	0,8	47,6	14,2	12,0	-	0,8	-	-	21,5
574	11,5	0,8	1,3	68,4	5,5	0,0	-	0,0	-	-	12,5
576	34,5	1,7	1,0	36,4	21,4	0,0	-	0,4	-	-	4,6
577	6,1	-	-	17,2	27,0	9,5	0,6	4,7	-	-	34,9
579	0,3	-	-	29,1	39,8	5,0	-	1,0	-	-	24,8
580	2,1	-	1,5	28,7	4,5	8,1	2,6	6,6	-	-	45,9
582	15,0	-	1,3	31,2	21,1	7,2	14,1	7,1	-	-	3,0
584	4,4	-	-	13,4	25,3	20,7	3,0	7,5	-	-	25,7
588	6,8	-	0,5	19,8	35,4	8,0	3,5	5,0	-	-	21,0
590	10,5	5,7	2,2	41,5	1,0	3,1	-	7,5	-	-	28,5
591	10,9	2,3	1,3	23,9	2,6	28,9	-	4,1	-	-	26,0
Çağlayan referans kesitinden derlenen örnekler											
426	5	1,2	-	4,9	8,1	2,4	10,5	-	-	18,6	49,3
428	2,5	-	-	1,8	66,3	0,2	0,9	-	-	28,3	-
430	7,6	-	-	22,8	1,3	26,1	2,1	2,8	-	7,6	29,7
431	3,5	-	-	38,4	4	17,5	1,4	3,2	-	8,6	23,4
433	2,6	0,2	3,9	31,7	4,8	15,9	4,8	4	-	3	29,1
434	1,7	0	2	38,8	8,1	13,7	0,3	2,6	-	0,8	32
436	4,7	0,5	2,4	34,3	3,8	22,6	0,4	6,3	-	3	22
443	6,2	-	0,6	15,6	24,8	14,8	0	-	-	38	-
444	4,1	0,3	0,5	3,4	33,3	7	2,6	-	-	48,8	-
452	3,4	-	-	76,1	6,8	8,8	-	0,6	0,9	3,4	-
456	2,6	-	-	23,5	0,5	36,4	-	-	21,9	15,2	-

kalsik feldspat (Pl) olup ince kesitlerde çok değişik oranlarda bulunabilmektedirler. K-feldspatlar (Kfe) bakımından boyanan örneklerin hiçbirinde K-feldspata rastlanmamıştır. Çoğunlukla yarı yuvarlaklaşmış olan plajiyoklaslar genellikle zonlu yapıdadır. Zonlu yapıda olmayanlarda albit ikizleri yaygındır ve genellikle serizitleşmiş ve kalsitleşmiş olarak bulunurlar. Kumtaşlarındaki kayaç kırıntıları volkanik (Lv) ve sedimanter (Ls) olmak üzere iki türdedir. Bunlar kumtaşlarının en fazla yuvarlaklaşan bileşenleridir. Volkanik kayaç parçaları da kendi içerisinde ince taneli ve mikrolitik doku gösterenler olmak üzere iki türdedirler. Ancak mikrolitik kırıntıların bazıları iç yapıları tanınamayacak kadar kloritleşmiş veya oksitlenmişlerdir. Sedimanter kayaç parçaları (Ls) mikritik kireçtaşı parçalarıdır. Ancak bazı kesitlerde mikritleşmiş alg, ekinit ve pelesypod parçaları da sedimanter kayaç parçası olarak sayılmıştır. Çört (Cht) kumtaşları içerisinde oldukça az oranlarda rastlanan diğer bileşendir. Kalsit ve mikrogrönü kuvars tanelerinden meydana gelen çörtler kahve tonlardaki kirli görünümleri ile tanınırlar. Klorit bazı kumtaşlarında oldukça yaygın olarak bulunan ikincil bir bileşendir. Amfibol ve biyotit bazı kumtaşlarında oldukça yüksek oranlarda, opak mineraller ise kumtaşlarının çoğunda az oranlarda bulunan ağır minerallerdir.



Şekil 3.38 Yusufeli formasyonu kumtaşlarının modal sınıflaması (Folk, 1974)

Yusufeli formasyonu kumtaşlarının modal analizleri kumtaşlarının genellikle % 15' in üzerinde bağlayıcı malzeme içtiğini göstermektedir. Bu nedenle kumtaşları Folk (1974) sınıflamasına göre genellikle litik wake bileşimindedir (Şekil 3.38). Bununla birlikte çok az sayıdaki kumtaşının yüksek Ca-feldspat içerikleri ile diyagramda feldspatlı litik wake ve feldspat wake bileşiminde oldukları görülmektedir. Genellikle kötü boyanmalı taneli doku gösteren kumtaşları yer yer iyi boyanma da gösterirler. Bağlayıcı malzeme çoğunlukla kalsit olmakla birlikte özellikle kırmızı renkli kumtaşlarında önemli oranlarda Fe-oksitlerde bu görevi üstlenir. Kumtaşları kötü boyanmalı taneli bir dokuya sahiptirler. Kuvars ve plajiyoklaslar genellikle köşeli, kayaç parçaları ise köşeli ve yarı yuvarlak olarak bulunurlar.

3.1.8.4.2. Kireçtaşları

Yusufeli Formasyonu gri ve kırmızı olmak üzere iki tipte kireçtaşı içerir. Gri renkli kireçtaşları Çağlayan referans kesitinde kumtaşları arasında ince seviyeler halinde yer alan kireçtaşları Dunham (1962)' in sınıflamasına göre genellikle çamur destekli wacke taşı ozelliğindedirler. Mikritik malzemenin dışındaki bileşenler genellikle mikro fosillerdir. Bazı kireçtaşları yer yer oldukça fazla oranlarda kuvars, plajiyoklas ve kısmen de kayaç parçalarından oluşan ekstraklast veya litoklast parçaları içerirler. Bunlar kumlu veya litoklastlı kireçtaşı olarak adlandırılabilirler. Çok nadir olarak bazı kumtaşları kumlu biyosparit bileşimindedirler. En üstte nispeten kalın bir seviye halinde bulunan gri-beyaz kireçtaşları ise mikritik kireçtaşı bileşimi sunarlar. Kırmızı kireçtaşları ise tip kesitte dört seviye halinde, çağlayan referans kesitinin ise tabanında yer. Genellikle biyomikrit ozelliğindeki kireçtaşlarına yine kırmızı renkli kil, silt ve kumtaşları eşlik eder.

3.1.8.4.3. Çört ve Çörtlü Kireçtaşları

Makroskopik olarak siyah renk tonlarında görülen çörter mikroskopik olarak kahve renkli ince taneli bir görünüm sunarlar. Çörtlü kireçtaşları ise makroskopik olarak genellikle bantlı bir yapı ve kahve rengi bir görünüm sergilerler. Bunların mikroskopik incelemelerinde koyu bantların kireçli, açık renkli bantların ise çörtlü kısımlara karşılık geldiği

görülmektedir. Mikrogrönü kuvars ve kalsitten oluşan çört ve çörtlü kireçtaşları yaygın olarak radyolarya fosilleri içerirler.

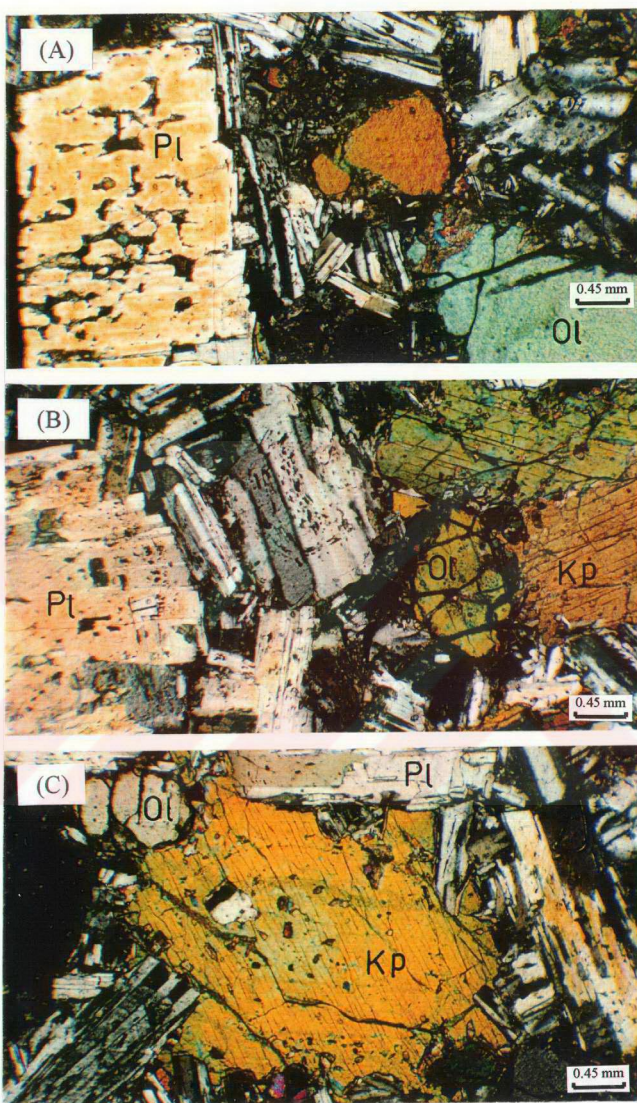
3.1.8.4.4. Volkanikler

Yusufeli formasyonu içindeki volkanikler bazaltik bileşimden dasitik bileşime kadar değişmektedirler. Bazaltlar genellikle küçük stoklar şeklinde dirler. Andezit ve piroklastları Ormandibi Köyünün batısındaki Kılıçkaya yolu üzerinde yayındırlar. Dasitler, volkanikler içerisindeki en yaygın gurubu oluştururlar ve oldukça yoğun bir şekilde kavun içi ve hematit kırmızısı renklerde yüzeysel alterasyona uğramışlardır.

Yusufeli'nin batısında kalan alanlarda ve genellikle küçük stoklar şeklinde görülmektedirler. Plajiyoklas, klinopiroksen ve Fe-Ti oksit minerallerini içeren bazaltlar yer yer olivin, biyotit ve kordiyerit fenokristalleri de içerirler. Bunlarda yaygın olarak görülen entersetal, mikrolitik, mikrolitik porfirik dokuların yanında yer yer subofitik doku da görülmektedir. Mikroskopik incelemelerinde aşağıdaki mineraller ve dokusal özellikleri tespit edilmiştir.

Plajiyoklas (% 50-60) öz ve yarı öz şekilli fenokristaller ve yer yer hamurda mikrolitler halindedirler. Karlsbad ikizi gösterenler zonlu yapıya sahiptirler ve dalgalı sönme göstermektedirler. Genellikle mikrolitik bir hamur içerisinde bireysel taneler halindedirler. Bazı kesitlerde plajiyoklas fenokristalleri yaygın olarak süzgeç dokusu ve yer yer de sünger dokusu (Şekil 3.39 A) gösterirler. Süzgeç dokusu genellikle plajiyoklasın kenarları boyunca halka şeklinde gelişmiştir. Süzgeç dokusunun geliştiği plajiyoklaslarda mineralin merkezi kısmında veya kenar kısmı boyunca hale şeklinde opak lekeler (Fe kirlenmeleri) yaygın olarak görülür (Şekil 3.39 B).

Klinopiroksen (% 5-25) dikdörtgene yakın şekilli fenokristaller ve hamurda küçük kristaller halindedir. Bütün piroksenler kenarları boyunca mikrogrönü ve mikrolitik hamur ile reaksiyon sonucu yenmiştir. Bunun sonucu bazı klinopiroksenlerde belirgin koy yapılan



Şekil 3.39. Yusufeli formasyonundaki bazaltlarda gözlenen dokular, Çift Nikol, Kesit no: 795 (A: plajiyoklasda gelişen sünger dokusu; B: plajiyoklasların üzerinde gelişen opak lekeler; C: klinopiroksende gelişen koy yapıları, Pl: plajiyoklas; Ol: olivin; Kp: klinopiroksen)

gelmiştir (Şekil 3.39 C). Çoğunlukla kırıklı yapıda olan piroksenler bu kırıklar boyunca uralıtlışmış ve kloritleşmişlerdir.

Olivin (% 0-15) bazı kesitlerde ve oldukça yüksek oranlarda görülür. Dairesel şekilli fenokristaller ve küçük kristaller halindedir. Klinopiroksenler ile birlikte sunan olivinler genellikle kırıklı yapıdadırlar (Şekil 3.39 A, B, C)). Kenar ve kırık yüzeyleri boyunca gelişen ayrışma, sarımsı kahve renk tonlarındaki hafif pleokroik iddingsite dönüşmüştür.

Kordiyerit (% 0-5) bazı kesitlerde görülen dikdörtgen şekilli fenokristaller halindedir. Genellikle kırıklı bir yapı gösteren kordiyeritler paralel sönmleri, kırıklar boyunca gelişen ve yer yer mineralin tamamını kapsayan biyotit ve klorit dönüşümleri (pinitleşme) sayesinde kuvars ve plajiyoklaslardan ayırt edilir. Ayrıca kordiyeritler üzerinde görülen nokta şeklindeki opak mineral gelişimleri de bunlarda yaygın olarak görülür. Kordiyeritler, çift nikolde bir fon aydınlanırken diğer fonun sonduğu ve yer yer yazı dokusuna benzer bir doku göstermeleriyle karakteristikdir.

Kloritler genellikle klinopiroksen ve kordiyeritlerin ayrışma ürünü olarak ve hamurda yaygın olarak bulunur. Biyotitler kordiyeritlerin, hornblendler ise klinopiroksenlerin kenar ve kırık yüzeyleri boyunca ayrışma ürünün olarak gelmiştir. Kalsitler bazı kesitlerde dairesel veya elips şeklinde ve yer yer de hamurda yaygın olarak görülür. Hamur (% 10-30), genellikle ince taneli klinopiroksen, plajiyoklas ve opak minerallerden meydana gelir. Bazı kesitlerde yoğun bir şekilde kalsit ve klorit de içermektedir.

Andezit ve andezitik piroklastlar Ormandibi Köyü'nün batısındaki alanda görülürler. Andezitler yaygın olarak değişik renklerde bazaltik ve andezitik ksenolitler içerirler. Andezitik litik tüflerdeki bileşenlerin boyları birkaç mm' den bir kaç cm' ye kadar değişebilmektedir. Litik tüflerdeki kırıntıların çoğunluğu andezitler ile benzer mineralojik bileşime ve dokusal özelliklere sahiptirler. Bunlar muhtemelen andezitik volkanizma sırasında oluşmuşlardır. Ancak yer yer görülen ayrışmış veya hamur kısmı kısmen veya tamamen opaklaşmış volkanik kayaç kırıntıları ise, daha önceki bazaltik veya andezitik bir magmanın ürünleri olabilir. Andezitik litik tuf ve lapilli tüfler büyük bir ihtimalle andezitik magmanın akması sırasında kendi parçalarını, değişik türdeki diğer volkanikleri ve hatta

tortul kayaç parçalarını kendi içeresine alması sonucunda oluşmuşlardır. Mikroskopik incelemelerinde andezit ve piroklastların mikrogrönü porfirk ve mikrolitik porfirk; litik tüflerin de genellikle mikrogrönü dokuya sahip tanelerin oluşturduğu taneli bir dokuya sahip oldukları görülmüş ve aşağıdaki mineralleri içerdikleri tespit edilmiştir;

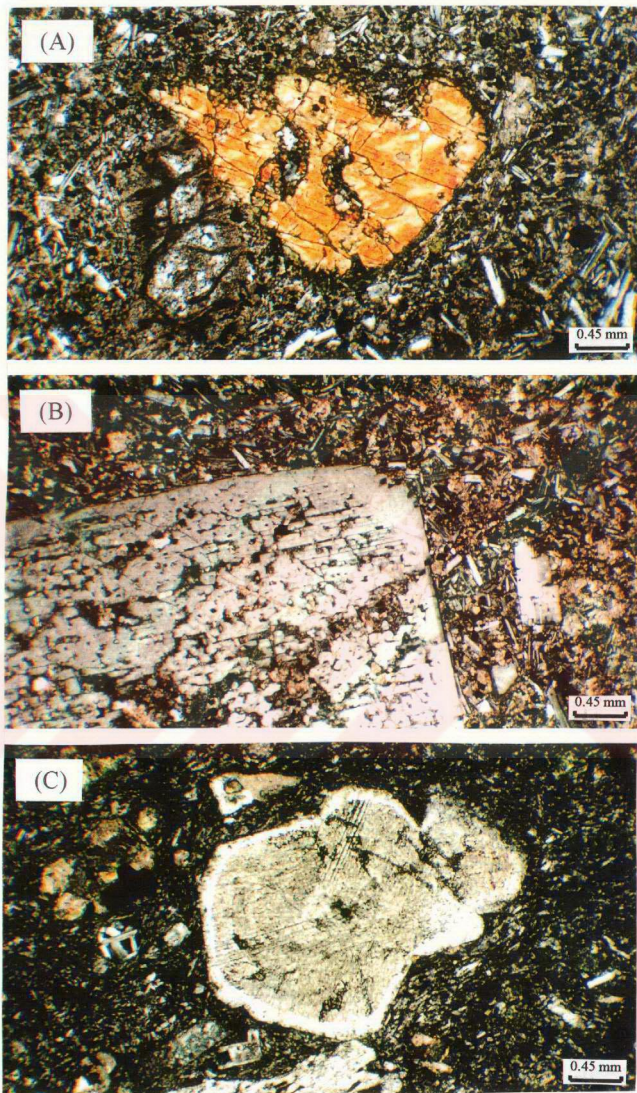
Plajiyoklas (% 40-60) dikdörtgene yakın şekilli porfirk kristaller ve mikrolitler halindedir. Porfirk kristaller bazı kesitlerde fenokristallerin tamamını oluşturur. Yer yer haç ikizi gösteren büyük plajiyoklaslar genellikle zonlu yapıdadır. Mikrolitik ve mikrogrönü hamur ile plajiyoklas arasında meydana gelen reaksiyonlar sonucu plajiyoklaslarda koy yapısı, süzgeç dokusu ve sünger dokusu yaygın olarak gelişmiştir (Şekil 3.40 B, C).

Biyotit (% 2-10) genellikle belirgin bir geometrik şekli olmayan ve yer yer çubuk şekilli olarak bütün andezitlerde görülen ikinci bileşendir. Biyotitler ya tamamen yada kenarları boyunca opaklaşmışlardır.

Klinopiroksen (% 0-5) bazı kesitlerde ve çok az oranlarda görülürler. Hamur ile klinopiroksen arasındaki reaksiyon sonucu klinopiroksenlerin çevresinde gelişen koy yapıları yaygındır (Şekil 3.40 A). Horbnlend (%0-5) bireysel kristaller ve kısmen de kayaç kırıntıları içerisinde olmak üzere yalnızca andezitik litik tüflerde görülür.

Kayaç Kırıntıları, andezitik litik tüflerde kesit alanının % 80' ini oluştururlar. Genellikle porfirk plajiyoklas ve kısmen de klinopiroksen içeren mikrogrönü taneler halindedirler. Ancak daha az oranlarda olmakla birlikte oldukça ayrılmış kahve renkli kırıntılar ve tamamen opaklaşmış bir hamur içerisinde plajiyoklaslar içeren kırıntılar da mevcuttur. Andezitler, plajiyoklas, kuvars ve opak minerallerden oluşan bir hamura sahiptirler. Andezitik litik tüfler ise genellikle tane destekli olup kısmen taneler arasında yine taneler ile aynı bileşimde bir bağlayıcı içerirler.

Volkanikler içerisinde andezitlerden sonra en yaygın kayaç gurubunu oluşturan dasitler, oldukça yoğun bir şekilde kavun içi ve hematit kırmızı renklerde yüzeysel alterasyona uğramışlardır. Yusufeli İlçesi' nin doğusu ve güneyinde Çoruh Nehri'ne bakan yamaçlarda yaygın olarak görülürler. Dasit ve dasitik ince tüfler genellikle mikrogrönü



Şekil 3.40. Yusufeli formasyonu andezitlerinde gözlenen dokular, Çift Nikol, kesit no: 793
(A: klinopiroksende gelişen koy yapısı; B: Pajiyoklasda gelişen sünger dokusu; C: plajiyoklasda gelişen süzgeç dokusu)

porfirik dokuya sahiptirler. Mikroskopik incelemeleri sonucunda aşağıdaki mineraller ve dokusal özellikleri tespit edilmiştir;

Plajiyoklas (% 20-30) bazı kenarları belirgin dikdörtgene yakın şekilli fenokristaller halindir. Genellikle kalsitleşmiş olduklarından karlsbad ve albit ikizini gösteren fenokristalleri çok nadir olarak görülür. Kalsitik mikrogronü hamur tarafından çevrelenmiş bireysel fenokristaller halindedirler. Kuvars (% 20-40) genellikle belirgin bir geometrik şekli olmayan fenokristaller ve boşluk dolgusu olarak bulunur. Bazı fenokristallerin kenar kısımları hamur tarafından yenmiştir. Hamur (% 40-60) mikrogronü kuvars ve kalsitten oluşur.

Dasitik tüfler ise kuvars, mikrogronü dokuya sahip kayaç kırıntıları ve plajiyoklas parçalarını içeren mikrogronü bir hamurdan oluşmaktadır.

3.1.8.5. Fosil İçeriği ve Yaş

Yusufeli formasyonu çoğunlukla çakıltaşı, kumtaşı, silttaşlı marn, kırmızı biyomikrit ve volkanitlerden oluşmaktadır. Tip kesitinde tabandaki kumtaşı ve kilittaşlarında birime yaş verebilecek fosil bulgusuna rastlanmamıştır. Birime, 578. metresindeki kırmızı biyomikrit ve bunun üzerine gelen bazı kumtaşlarında tespit edilen *Pseudocyclammina cf. Massiliensis* Mayne, *Dicarinella concavata* Brotzeu, *Marginotruncana coronata* Bolli, *Marginotruncana* sp., *Dicarinella* sp., *Lithothamnium* sp., *Lithophyllum* sp., *Globotruncana* sp., *Anomalinidae*, *Globigerinidae*, *Lagenidae*, *Miliolidae*, *Ostracoda*, *Lamellibrans* kavkı parçaları, *Rudist* kavkı kesitleri, detritik kömür parçaları'ndan oluşan fauna ve floraya göre Santonyen- Kampaniyen yaşı verilmiştir (Tayin, Kemal Erdoğan, MTA Enstitüsü, Ankara).

Buna karşılık Çağlayan referans kesitinde istife kat mertebesinde yaşlar verebilecek fosil bulguları elde edilmiştir. Burada, Çağlayan formasyonu ile Berdiga Formasyonu sınırına yakın ve Berdiga Formasyonu'ndan alınan mikritik kireçtaşları örneğinde (Örnek no: 425) belirlenen *Hedbergella trocoidea* (Gadolfi), *Hedbergella delrioensis* (Carsey), *Hedbergella* sp, *Ticinella* sp ve *Lagenidae*'den oluşan bir fauna bulunarak kayaca Apsiyen

yaşı verilmiştir. Bunların üzerine gelen kilitaşı, marn ve kırmızı biyomikritlerde ise *Globigerinelloides ferreolensis* (Moullade), *Globigerinelloides sp*, *Hedbergella spp*, *Anomalinidae*, *Lagenidae*, *lamelli branş kavkı parçaları*, *makro kavkı parçaları ve detritik kömür'* den oluşan fauna ve floraya göre kayaca Apsiyen-Albiyen yaşı verilmiştir. Bu bulgu Berdiga Formasyonu'ndan Çağlayan formasyonuna geçerken çökelmede bir kesiklik olmadığını, tedrici olarak Çağlayan formasyonuna geçildiğini göstermektedir.

Kilitaşı, marn ve kırmızı biyomikritlerden çörtlü kireçtaşlarına kadar olan litik wakelerde tespit edilen *Rotalipora ticinensis* (Gaundolfi), *Rotalipora reichelli* (Mornod), *Rotalipora sp*, *Globigerinelloides sp*, *Globigerinidae*, *Ticinella sp*, *Hedbergella sp*, *Lithothamnium sp.*, *Lithophillum sp*, *Praeglobotruncana sp*, *Rotaliporiidae*, *Stomiosphaera sphaerica* (Kaufmann), *Radiolaria sp*, *makro kavkı parçaları*, *detritik kömür parçaları'* ndan oluşan fauna ve floraya göre bu seviyeye Üst Albiyen- Senomaniyen yaşı verilmiştir. Çörtlü kireçtaşlarından gri beyaz renkli mikritik kireçtaşlarına kadar olan litik wakelerde *Marginotruncana sp*, *Dicarinella sp*, *Globigerinidae*, *Globotruncanidae*, *Globotruncana sp*, *Marsonella oxcona* (Reus), *Stomiosphaera sphaerica* (Kaufmann), *Anomalinidae*, *Lagenidae* *Marginotruncana coronata BOLLI*, *Marginotruncana pseudolinneiana Pessagno*, *Dicarinella*, *Pithonella ovalis* (Kaufmann), *Globotruncana linneiana* (d- Orbigny), *Heterohelix sp*, *Lithothamnium sp*, *Bolivinopsis sp*, *Sulcoperculina sp*, *Amphistegina sp*, *Rotaliidae sp*, *Echinoidea*, *Radiolaria sp*, *Alg*, *Bryozoa*, *Sünger spikülleri* ve *makro kavkı parçaları'* ndan oluşan faunaya göre bunların yaşı Türoniyen-Kampaniyen olarak elde edilmiştir. Çağlayan referans kesitin en üst kısmında yer alan gri-beyaz mikritik kireçtaşlarında belirlenen *Globotruncana bulloides Vogler*, *Globotruncana linneiana* (d' Orbigny), *Rosita fornicata* (Plummer), *Pseudogumbelina sp*, *Globotruncanita sp*, *Pithonella ovalis* (Kaufmann), *Stomiosphaera sphaerica* (Kaufmann), *Heterohelicidae*, *Rugoglobigerina'* dan oluşan faunaya göre kireçtaşlarının yaşı Üst Santoniyen-Kampaniyen olarak verilmiştir. Buna göre Yusufeli formasyonu Çağlayan referans kesitindeki yaş aralığı Apsiyen-Kampaniyen olarak elde edilmiştir.

3.1.8.6. Çökelme Ortamı

Yusufeli formasyonunun Berdiga Formasyonu kireçtaşları üzerine kilitaşı, marn, kumtaşı ve kırmızı biyomikritler ile geçişli olarak gelmesi, ortamın derinliğini ve ilk olarak kaba kırtılı malzemenin fazla gelmediğini ifade etmektedir. Birimin üste doğru türbiditik karakterde devam etmesi, havzanın blok faylar ile kırılması sonucunda gelişen, horst ve graben sistemlerinden grabenlere karşılık gelebileceğine işaret etmektedir. Bu durumda Çağlayan formasyonunun şelf ve kıta yamacı arasında gelişen göreceli olarak daha derin havzalarda çökeldiği söylenebilir. Gerek taban ve orta seviyelerdeki kırmızı biyomikritler, gerekse kumtaşlarında görülen radyolaria ve globotruncana şeklindeki pelajik fauna Yusufeli formasyonunun Berdiga Formasyonu'na göre daha derin bir ortamda çökeldiğine işaret etmektedir. Çağlayan referans kesitinin orta düzeylerdeki kırmızı renkli çörtlü kireçtaşları ortamın sakin bir döneme girdiğini, kırtılı malzeme gelişinin durulduğunu ve havzaya uzak bir yerlerde magmatik etkinliğin olduğunu gösterebilir. Tip kesitin çıkarıldığı Ormandibi civarı ve kuzeyinde volkanizmaya işaret eden volkanikler mevcuttur. Bunların üzerine gelen ve yer yer çakıl seviyeleri içeren oldukça kalın litik wakeler ise hareketliliğin tekrar başladığını gösterirken en üstteki gri-beyaz kireçtaşları da ortamın yeniden sağlamışlığını veya blok faylanmadan önceki konumuna geldiğini göstermektedir.

3.1.8.7. Deneştirme

Yusufeli formasyonu kaya türü, fosil içeriği ve oluşum ortamı gibi benzer özellikleri nedeniyle Doğu Pontid'lerdeki volkanik etkinliğe sahip türbiditik özellikteki birimler ile tamamen veya kısmen deneştirilebilir. Bunlar; Amasya yöresinde Lokman formasyonu (Alp, 1972), Ladik-Destek yöresinde Tersekan formasyonu (Öztürk, 1979), Reşadiye yöresinde Kapaklı Formasyonu (Seymen, 1975), Ünye-Koyulhisar yöresinde Mesudiye ve Fatsa formasyonları (Terlemez ve Yılmaz 1985), Alucra yöresinde Tepeköy formasyonu (Pelin, 1977), Gümüşhane yöresinde Kermutdere formasyonu (Tokel, 1972), ve Ardanuç Yöresinde Makenet formasyonlarıdır (Özsayar ve dig., 1982).

3.1.9. Üst Kretase Granitoyidleri

3.1.9.1. Giriş

İnceleme alanında farklı iki zamanda meydana gelmiş granitoyid yerleşimleri bulunmaktadır. Bunlardan ilki Karadağ metamorfitleri ve Demirkent plutonunu keserek yerleşen Jura öncesi (Geç Paleozoyik ?) yaşı Sebzeciler granitoyididir. Bu bölümün konusu olan ikinci grup granitoyidler ise Üst Kretase sonunda (Eosen ?) yerleşmişlerdir. İnceleme alanında dört ayrı yerde görülen granitoyidler genellikle 1-3 km² lik yüzeyleme alanına sahip küçük stoklar şeklinde dirler. Üst Kretase-Eosen granitoyidlerinden üçü Liyas-Dogger yaşılı Kinalıçam volkanik karmaşığı veya Hamurkesen Formasyonu'nu, bir tanesi ise Yusufeli formasyonunu kesmiş olarak görülmektedir (Bkz Şekil 3.1).

3.1.9.2. Modal Analizler ve Değerlendirmeleri

Genç granitoyidleri sağlıklı bir şekilde sınıflandırmak ve mineralojik değişimlerini ortaya koyabilmek amacıyla modal analizleri yapılmıştır (Çizelge 3.18). Bu amaca yönelik olarak granitoyidlerden alınan toplam 29 adet örnekte nokta sayımı yapılmıştır. Elde edilen değerler Q-A-P diyagramına (Şekil 3.41) aktarılarak granitoyidlerin bileşimleri bulunmuştur. Bunun sonucunda, uygun coğrafi isimler de kullanılarak granitoyidler Avazan granitoyidi, Sumbated kuvarslı monzodiyoriti ve Dutlupınar granodiyoriti olarak adlandırılmıştır. 200 m² lik stok Avazan granitoyidine benzer bileşime sahip olduğundan ayrıca adlandırılmamıştır. Modal analizler Sumbated kuvarslı monzodiyoritinin kuvarslı diyoritten granodiyorite kadar, Avazan granitoyidinin ise kuvarslı monzodiyoritten monzogranite kadar değişen orta K' lu granodiyoritik, Dutlupınar granodiyoritinin ise tonalitten granodiyorite kadar değişen düşük K' lu trondjemitik kayaçlardan oluştuğunu göstermektedir (Şekil 3.41).

3.1.9.3. Granitoyidlerin Yaşı ve Deneştirilmesi

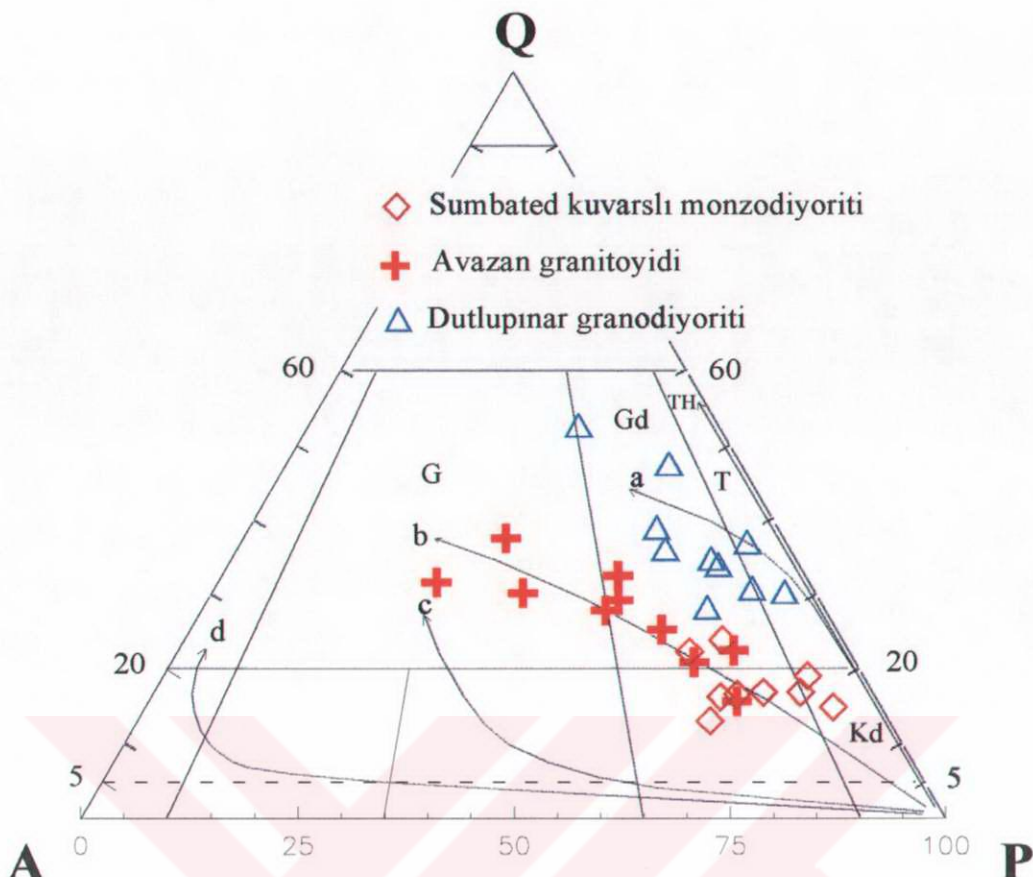
Üst Kretase granitoyidleri küçük stoklar şeklinde dirler. İnceleme sahasında ikinci bir granitoyid magmatizmasına işaret eden bu granitoyidlerin yaşları ile ilgili jeokronolojik veriler bulunmamaktadır. Avazan granitoyidi, Sumbated kuvarslı monzodiyoriti ve

Dutlupınar granodiyoriti olarak adlandırılan genç granitoyidlerin Doğu Pontidler'de bilinen magmatik etkinlik dönemlerinden hareketle Üst Kretase ve daha sonrası yaşlı olabilecekleri düşünülmektedir. Ancak Yusufeli'nin güneyinde yer alan ve Avazan granitoyidine benzer bileşimdeki küçük stok dışındaki Üst Kretase birimlerini kesmemektedir. Bunların stratigrafik olarak ortak özellikleri Liyas yaşı Kinalıçam volkanik karmaşığı ve Hamurkesen Formasyonu'nu kesmiş olmalarıdır.

Çizelge 3.18. Üst Kretase granitoyidlerine ait kayaçların modal analiz sonuçları

Ö.No.	Q	Plj	Or	Bi	Amf	Ep	Kl	Zr, Ap Op	SAT	COL	FELDS
Dutlupınar granodiyoriti											
664	36,8	44,5	13,3	3,6	0,0	0,8	0,3	0,0	0,7	38,9	5,4
665	31,8	50,8	9,1	6,8	0,3	0,5	0,3	0,0	0,6	34,7	8,4
799	36,2	57,4	4,6	0,7	0,0	1,1	0,1	0,0	0,0	36,9	1,9
800	45,0	41,9	7,9	3,9	0,0	0,4	0,2	0,2	0,5	47,4	5,1
803	32,5	54,3	9,1	3,4	0,0	0,5	0,0	0,0	0,2	33,9	4,1
804	27,6	57,1	13,4	1,9	0,0	0,0	0,0	0,0	0,1	28,1	2,0
805	49,4	29,3	15,3	4,5	0,0	0,6	0,0	0,0	0,9	52,5	6,0
806	34,0	46,7	13,7	4,3	0,0	0,4	0,5	0,0	0,4	36,0	5,6
807	28,4	57,4	6,6	3,6	0,6	1,6	0,7	0,0	1,1	30,7	7,6
763	27,1	59,3	3,2	5,9	1,4	0,6	1,2	0,0	1,3	30,2	10,4
Avazan granitoyidi											
189	29,8	23,8	40,9	3,5	0,0	0,0	0,5	0,0	1,5	31,5	5,5
292	28,8	34,4	32,6	1,7	0,0	1,3	0,4	0,0	0,9	30,0	4,3
846	24,5	41,2	22,6	0,0	9,4	0,6	0,0	0,0	1,7	27,7	11,7
850	29,7	42,0	20,0	0,5	2,9	0,0	3,7	0,1	1,2	32,4	8,3
851	22,6	48,9	18,3	0,0	6,2	2,5	1,5	0,0	0,0	25,2	10,2
853	25,6	41,8	20,6	0,0	10,3	0,0	0,0	0,0	1,7	29,1	12,0
856	34,8	28,2	30,0	0,0	3,7	0,6	0,2	0,0	2,5	37,4	7,0
852	18,6	53,3	11,2	0,0	12,0	2,1	0,0	0,0	2,8	22,4	16,9
847	14,2	62,1	15,1	0,0	3,4	1,8	0,3	0,0	3,1	15,5	8,6
848	19,6	57,0	17,8	0,0	3,1	0,9	0,0	0,0	1,6	20,8	5,5
Sumbated kuvarslı monzodiyoriti											
736	17,7	47,2	14,9	3,2	13,1	0,0	0,3	0,0	3,5	22,2	20,2
737	14,1	59,2	10,8	0,0	13,4	0,0	0,6	0,2	1,7	16,8	15,9
738	10,1	51,7	16,3	0,0	20,2	0,0	0,0	0,0	1,7	13,0	21,9
739	11,3	60,4	4,3	2,2	19,9	0,0	0,0	0,0	1,9	14,8	24,0
740	12,3	50,0	13,8	0,0	20,2	0,0	0,6	0,0	3,2	16,2	24,0
744	20,6	53,8	12,2	10,3	0,0	0,0	1,8	0,0	1,3	23,8	13,4
745	12,6	51,3	12,2	19,9	0,0	0,0	0,0	0,1	4,0	16,5	24,0
747	13,4	52,4	4,7	8,0	17,0	0,0	1,7	0,3	2,5	19,0	29,6
748	13,8	61,4	7,0	0,0	13,7	0,0	0,5	0,0	3,6	16,8	17,8
10,2											

SAT: doygunluk indisi ($Q/(Q+F)$), COL: renk indisi ($100-(Q+F)$), FELDS: feldspat indisi ($Or/(Or+Pl)$); F: feldspat ($Or+Pl$)



Şekil.3.41. Üst Kretase granitoyidlerinin Q-A-P diyagramı (Streckeisen ,1975). Kd: Kuvarslı diorit, T = tonalit, Gd = Granodiyorit, G = granit. Oklar magmatik kayaç serilerinin farklılaşmalarını göstermektedir (Lameyre ve Bowden, 1982): TH = toleyitik yönseme, a = kalk-alkali tronjemitik (düşük K'lu) yönseme, b = kalk-alkali granodiyoritik (orta K' lu) yönseme, c = kalk-alkali monzonitik (yüksek K' lu) yönseme, d = alkali yönseme.

İnceleme alanındaki granitoyidler Doğu Pontidler'de çok geniş bir alanda görülen Geç Kretase (Eosen?) yaşlı granitoyidler ile denetirilebilir. Bu granitoyidlerden bazıları Kaçkar granitoyidi (Çoğulu, 1975), Zigana granitoyidi (Yalçınalp, 1992; Karşılı, 1996), Torul granitoyidi (Kaygusuz, 2000), Harşit granitoyidi (Gedikoğlu, 1978; Ceryan, 1999) ve Saruhan granitoyidi (Aslan, 1998) şeklinde sıralanabilir.

3.1.10. Yağmuralan Formasyonu (Eosen)

3.1.10.1. Ad, Yayılım ve Topografik Görünüm

Birimin adı inceleme alanının güneybatısındaki Kılıçkaya Beldesi'ne bağlı Yağmuralan Mahallesi'nden türetilmiştir. İnceleme alanındaki bölümü Tortum G47-b1 paftası içerisinde yer alan birim 1.5 km genişliğindeki bir şerit halinde güneybatıdan inceleme alanına girerek Ormandibi Köyü'ne kadar devam eder. Birimin görüldüğü yerleri güneybatıdan kuzeydoğuya doğru Yağmuralan Mahallesi ve Ormandibi Köyü ve olarak sıralayabiliriz.

Yağmuralan formasyonunun inceleme alanında içerisinde kalan bölümü tamamen tortulardan meydana geldiğinden en düşük rölyefteki alanları oluşturur. Taban seviyelerinde yer alan marn ve kireçtaşları gri renklerde bunların üzerine gelen kiltaşları ve kumtaşları ise kirli gri veya siyah renklerdedir.

3.1.10.2. Alt-Üst Sınırlar, Kalınlık

Yağmuralan formasyonu, Yusufeli formasyonunun kırmızı renkli kireçtaşı marn, silttaşısı ve kumtaşları üzerine bağlayıcısı kırmızı renkli malzemeden meydana gelen ve çoğunlukla kireçtaşı çakıllarından oluşan taban konglomerası ile uyumsuz olarak gelir. Bu uyumsuzluk açısal uyumsuzluk niteliğindedir. Alttaki Yusufeli formasyonuna ait tabakaların eğim yönleri ile Yağmuralan formasyonuna ait tabakaların eğim yönleri aynı yöne doğru fakat eğim değerleri daha büyüktür. Birim üstten Kinalıçam volkanik karmaşığı ile tektonik dokanaklıdır. İspir-Yusufeli bindirmesi iki birim arasındaki dokanağı oluşturur. Kinalıçam volkanik karmaşığı kuzeydoğu doğrultulu bu fay yüzeyi üzerinde kuzeybatıya doğru Yağmuralan formasyonu üzerine itilmiştir. Birimin stratigrafik kesitten ölçülen kalınlığı 324 m dir.

3.1.10.3. Referans Kesit

Birimin tip kesiti inceleme alanı sınırları içerisinde yer almaz. İnceleme alanı içerisinde kalan kısmı üstten eksik olarak bulunur. İspir-Yusufeli Bindirmesi boyunca Kinalıçam volkanik karmaşığı Yağmuralan formasyonu üzerine itilmiştir. Bu nedenle birimin inceleme alanı içerisinde kalan kısmının referans kesiti, Ormandibi-Yağmuralan yol ayrimından İspir Yusufeli bindirmesine kadar yaklaşık güney yönünde çıkarılmıştır (Pafta G47-d1, Başlangıç: Enlem = $41^{\circ} 32' 46''$, Boylam = $40^{\circ} 42' 36''$; Bitiş: Enlem = $41^{\circ} 32' 44''$, Boylam = $40^{\circ} 41' 56''$).

Yağmuralan formasyonu çoğunlukla kireçtaşçı çakıllarından meydana gelen taban konglomerası ile Yusufeli formasyonu üzerine gelir (6 m). Bunu yer yer kumtaşı ve kireçtaş seviyeleri içeren kilitaş-marm ardışımı izler (72 m). Bunlar bol nummulit fosilleri içeren çamurtaş ve kumtaşlarına geçer (39 m). Bunlarda yer yer kumtaşı ve marm seviyeleri içeren kilitaşlarına geçer. Bunların üzerine Kinalıçam volkanik karmaşığı tektonik olarak gelir.

3.1.10.4. Fosil İçeriği ve Yaş

Birim içerisinde alınan bireysel nummulit örnekleri ve nummulitli kireçtaşlarında tespit edilen *Nummulites aff. Beaumonti d' Archiae ve Hoime* (B formları), *Discocyclina sp.* *Nummulites sp.* fosillerine göre birimin yaşı Orta-Üst Lütesiyen olarak tespit edilmiştir (Tayin Dr. Sefer Örçen, MTA Enstitüsü, Ankara).

3.1.10. 5. Deneştirme

Birim Doğu Pontidler'de Eosen yaşı, transgresif nitelikli, iri ve ince kirintılılardan meydana gelen bol fosilli birimler ile deneştirilebilir. Bu birimler; Ladik-Niksar yöresinde Ladik formasyonu (Öztürk, 1979), Reşadiye yöresinde Kuzbağı konglomerası, Çalyaylaşı kireçtaşçı Kabaklık formasyonu (Seymen 1975), Gümüşhane yöresinde Alibaba formasyonu (Tökel 1972), Ardanuç yöresinde Kızılçık formasyonu (Özsayar ve dig., 1982), Olur yöresinde Dağdibi formasyonudur (Bozkuş, 1990).

3.1.11. Yamaç Molozu, Taraça ve Alüvyon

İnceleme alanındaki yamaç molozları İşhan Köyü ve çevresi hariç genellikle küçük yüzeylemeler halindedirler. Genellikle tek tip litolojiye sahiptirler. Yaklaşık 4 km² lik bir alanı kapsayan İşhan yakınındaki yamaç molozu tamamen kireçtaşı parçalarından oluşmaktadır (Bkz Şekil 3.1). Hamurkesen formasyonu üzerine gelen Berdiga formasyonuna ait kireçtaşı parçaları uyumsuz olarak genellikle Hamurkesen Formasyonu'nun kumtaşı, marn ve kiltaşları ve yer yerde Kinalıçam volkanik karmaşığı üzerine oturmaktadır. İşhanın doğusundan geçen kuru vadide yamaç molozlarının peri bacaları şeklinde 2-3 m çapında ve 5-6 m yüksekliğinde konik yükseltiler oluşturdukları görülür.

Taraça ve alüvyonlar Oltu Çayı, Tortum Çayı, Barhal Çayı ve Çoruh Nehri boyunca genellikle 50 - 150 m genişliğindeki alanlarda görülür. Bununla birlikte Tortum Çayı boyunca Kayadibi Boğazı'ndan Olur-Oltu yol ayrımına kadar olan kesimde ve Olur Çayı boyunca dere yataklarının yer yer 300 m' ye yaklaşan genişliklere ulaştıkları görülür. Bu nedenle Sera alanları ve meyve bahçeleri bu kısımlarda yaygındır. Taraçalar Tortum Çayı boyunca Olur-Oltu yol ayrimı ile Su kavuşumu arasında kara yolu boyunca yer yer görülürler. Tortum Çayı'ndan yükseklikleri yer yer 50-60 m ye kadar çıkmaktadır.

3.2. Yapısal Jeoloji

3.2.1. Giriş

İnceleme alanındaki Paleozoyik, Mesozoyik ve Senozoyik yaşlı birimler içerisinde tabakalanmanın yanısıra Hersiniyen ve Alp orojenezlerinin ürünleri olan uyumsuzluklar kıvrımlı ve kırıklı yapılar bulunmaktadır. Değişik tür yaş ve konum gruplarına ait bu yapısal unsurlar aşağıda ayrıntılı olarak incelenecaktır.

3.2.2. Uyumsuzluklar

İnceleme alanında orogenik dönemlere bağlı olarak gelişmiş iki tane büyük uyumsuzluk bulunmaktadır. Bunlardan ilki Hersiniyen orojenezine bağlı olarak Paleozoyik birimleri ile Mesozoyik birimleri arasında gelişmiştir. Metamorfik kayaçlar ve magmatik derinlik kayaçları ile tabakalı ve tabakasız birimler arasında gelişen bir uyumsuzluktur. Paleozoyik yaşlı Karadağ metamorfitleri, Demirkent plütonu ve Sebzeciler granitoyidi ile Liyas yaşlı Kinalıçam volkanik karmaşığı ve Hamurkesen Formasyonu arasında yer almaktadır. Hersiniyen temel durumundaki Paleozoyik yaşlı birimler inceleme alanının büyük bir bölümünde Kinalıçam volkanik karmaşığı, Morkaya Köyü ve Karadağ civarında ise Hamurkesen Formasyonu tarafından uyumsuz olarak örtülür (Bkz Ek-1). Bununla birlikte temel durumundaki kayaçlar ile Liyas yaşlı birimler arasındaki sınırda taban konglomerasına rastlanmamıştır. Bu durum üste gelen birimlerin çoğunlukla volkanik olmasından kaynaklanabilir. Bununla birlikte Hamurkesen Formasyonu'nun kumtaşları ve çakıltaları içerisinde Paleozoyik yaşlı Karadağ metamorfitleri ve Sebzeciler granitoyidine ait kayaç parçalarına rastlanmaktadır. Bu durum temel durumundaki Karadağ metamorfitleri ve Sebzeciler granitoyidi kayaçlarının Liyas öncesinde yükseldiklerini ve Liyas yaşlı birimlere malzeme verdiklerini göstermektedir. İnceleme alanında Permilen ve Triyas devirlerine ait birimlerin olmayışi aşınma uyumsuzluğunun yaklaşık 80 milyon yıllık bir süreye karşılık gelebileceğini gösterebilir.

İnceleme alanındaki ikinci uyumsuzluk Geç Kretase yaşlı Yusufeli formasyonu ile Eosen yaşlı Yağmuralan formasyonu arasında görülmektedir. Geç Kretase yaşlı Yusufeli

formasyonunun kırmızı renkli kumtaşı silttaşları ve kireçtaşları üzerine Yağmuralan formasyonu taban konglomerası ile gelmektedir. Taban konglomerasının çakılları çoğunlukla kırmızı renkli kireçtaşları, kumtaşı ve yer yerde volkanik çakıllardan meydana gelmektedir. Bağlayıcısı ise yine kırmızı renkli silt ve kum boyutu malzemeden oluşur. Uyumsuzluk tabakalı birimler arasında geliştiğinden açısal uyumsuzluk niteliğindedir. Ancak alttaki tabakalar ile üsteki tabakalar arasında büyük bir açı söz konusu değildir. Güneydoğuya eğimli Yusufeli formasyonuna ait tabakalar üzerine yine aynı yöne doğru fakat biraz daha düşük veya aynı eğimle Yağmuralan formasyonu gelmektedir. Yağmuralan formasyonu alt kısımlara yakın nummulitli kireçtaşları, marn ve kumtaşı seviyeleri ile karakteristikdir.

3.2.3. Tabakalar

İnceleme alanının büyük bir bölümünde tabakalı yapıya sahip birimler yüzeyler. Kinalıçam volkanik karmaşından sonra oluşan bu birimlerden Hamurkesen ve Yusufeli formasyonları tabakalı kayaçların yanısıra masif seviyeler ve stoklar halinde volkanitler içerirken, Berdiga ve Yağmuralan formasyonları tamamen tabakalı kayaçlar içerir. Liyas yaşı Hamurkesen Formasyonu tabakalı yapıya sahip en yaşı birimdir. Birim, yine Liyas yaşı Kinalıçam volkanik karmaşığı üzerine kumtaşları ile uyumlu olarak gelir. Kumtaşı, marn, kilitaşı ve yer yer de volkanik ara seviyelerin ardışımından meydana gelen birim içerisinde, kumtaşları çoğunlukla kalın tabakalıdır. Marn ve kilitaşları ince tabakalı; volkanikler ise genelde masif yapıdadır. Üst seviyelere doğru marn ve kilitaşlarına geçen Hamurkesen Formasyonu içerisindeki tabakaların kalınlıklarında gittikçe azalmaktadır.

Berdiga Formasyonu tabandan orta seviyelerdeki çört ve çörtlü kireçtaşlarına kadar olan kesimde orta-kalın tabakalıdır. Tabaka kalınlıklar 20-70 cm arasında değişir. Bunlar içerisinde yer yer 5-10 cm lik seviyeler halinde kilitaşlarına da rastlanır. Orta seviyelerdeki çört ve çörtlü kireçtaşları ise masif tabakalıdır. Tabaka kalınlıkları 10 m' ye kadar çıkabilmektedir. Ancak yakından incelendiğinde bu masif tabakaların 10-20 cm kalınlıklarında çört ve çörtlü kireçtaşları ardışımından oluşturukları görülmektedir. Çört seviyeleri çörtlü kireçtaşları içerisinde genellikle sürekliliği olmayan budinler şeklinde dir. Berdiga formasyonu içerisindeki tabakaların kalınlıkları da genel olarak üste ve inceleme alanının güneyine doğru azalmaktadır.

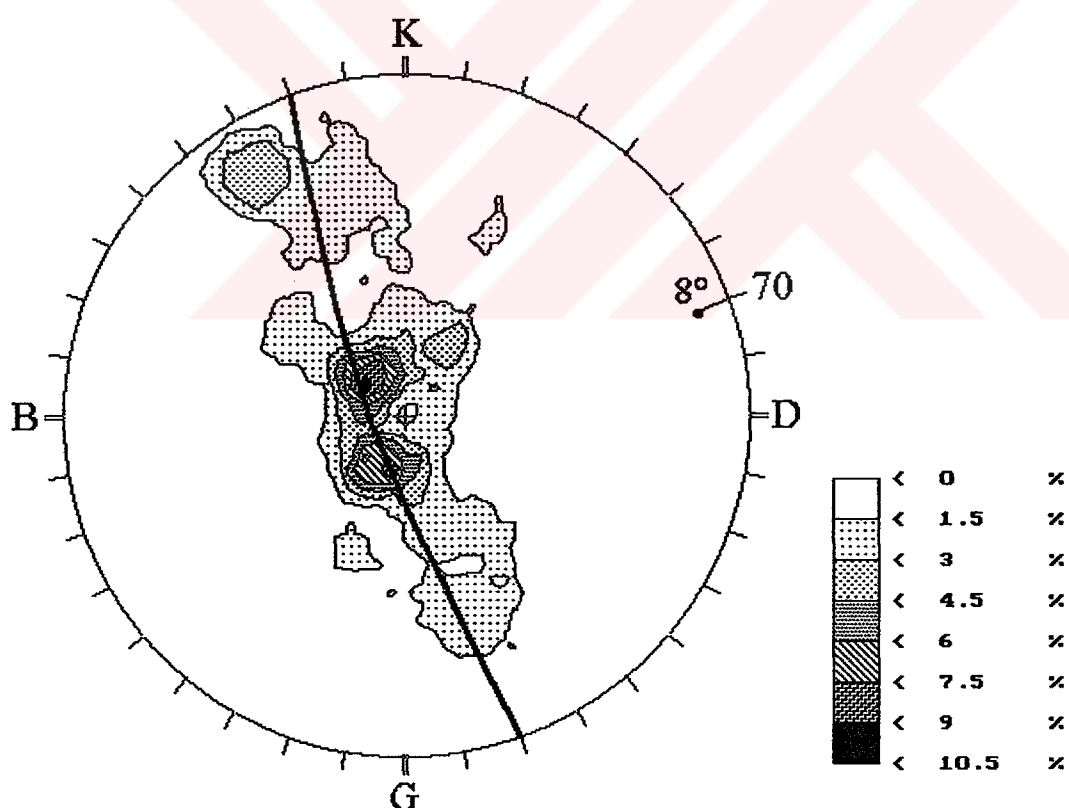
Yusufeli formasyonu türbiditik özellik gösteren Üst Kretase birimidir. Çakıltaşı ve kumtaşlarının kalın ve masif seviyeler oluşturduğu birim içerisinde kilitası, marn ve kireçtaşları ince tabakalıdır. Bu nedenle çakıltaşı ve kumtaşları birim içerisinde belirgin kornişler oluşturur. Volkanikler ise masif seviyeler halindedir. Çağlayan referans kesitinde orta seviyelerindeki çört ve çörtlü kireçtaşlarına kadar olan kesimde genel olarak ince-orta tabakalı kumtaşları, marn, kireçtaşları ve kilitaşlarından oluşur. Buradan itibaren üste doğru gittikçe tabaka kalınlıkları artan orta-kalın tabakalı ve yer yer masif kumtaşları yer alır. En üste ise ince-orta tabakalı gri kireçtaşları görülür.

Hamurkesen, Berdiga ve Yusufeli formasyonları birbiri üzerine uyumlu olarak geldikleri ve aynı deformasyonlara maruz kaldıklarından inceleme alanının her yerinde benzer konumlara sahiptirler. Kuzeydoğu-güneybatı uzanımlı olarak iki ayrı yerde görülen Hamurkesen Formasyonu genel olarak K20-40D doğrultulu ve güneydoğuya eğimli tabakalardan meydana gelmektedir. Tabakaların eğim değerleri birimin kuzeybatıdaki bölümünde genel olarak 65-85, güneydoğudaki bölümünde ise 30-60 arasındadır. İnceleme alanının güney ve güneydoğusunda Hamurkesen Formasyonu üzerine gelen Berdiga ve onunda üzerine gelen Yusufeli formasyonları Hamurkesen formasyonu ile benzer konumlara sahiptir. Ancak Tortum Gölü ve Kinalıçam Köyü arasında kalan kesimde Berdiga Formasyonu'ndaki tabakalar bu genel duruma uymazlar. Burada tabakalar kısa mesafelerde değişim gösterirler ve genel olarak K65-75D/20-30KB ve K65-75D/20-30GD konumludurlar (Bkz Ek-1). Yusufeli formasyonunun inceleme alanının batı ve güneybatı kesimlerinde görülen bölümü ve Yağmuralan formasyonu ise genel olarak K10-40D/30-50 GD konumlu tabakalardan meydana gelmektedir.

3.2.4. Kırımlılar

İnceleme alanında biri antiklinal diğeri senkinal olmak üzere iki tane büyük ölçekli kıvrımlı yapı bulunmaktadır. Bunların ilki merkezi kısmında Paleozoyik yaşı Karadağ metamorfitleri, Demirkent Plütunu ve Sebzeciler granitoyidini bulunduran Çoruh Nehri antiklinalı, ikincisi ise bunun daha doğusunda yer alan Çağlayan senkinalidir. Ancak Çoruh Nehri antiklinalının kuzeybatı kanadı Demirkent bindirmesi tarafından kırıldılarından kıvrım

bir bütün olarak görülememektedir. Çoruh Nehri Antiklinali ve Çağlayan Senklinalinin eksen duruşları birbirine paralel ve yaklaşık K 40 D/0 dır. Bu nedenle Bindirme faylarının doğrultuları ile kıvrım eksenleri yaklaşık birbirine paraleldir. Çoruh Nehri antiklinali boyunca Paleozoyik yaşı Karadağ metamorfitleri, Demirkent plutonu ve Sebzeciler granitoyidi, Çağlayan senklinal boyunca da Geç Kretase yaşı Yusufeli formasyonu yüzeylemektedir. Bunlardan başka Ormandibi Köyü kuzeyinde bir antiklinal görülmektedir. Kiraç Tepe antiklinali olarak adlandırılan yapıının merkezi kısmında Malm-Alt Krease yaşı Berdiga ve yer yer Liyas yaşı Hamurkesen formasyonu, dış kısımlarında ise Geç Kretase yaşı Yusufeli formasyonu yer alır. Kıvrım ekseninin konumu yaklaşık D-B/0 dır. Bunların dışında özellikle Berdiga Formasyonu'nda küçük ölçekli ve kıvrım eksenleri yer yer birbirine dik kıvrımlar görülmektedir. Bu kıvrımlar özellikle Tortum Gölü'nün 3 km kuzeyinden başlayarak Erzurum-Artvin karayolu boyunca Kinalıçam Köyü'ne kadar olan 7 km lik mesafede yer



Şekil 3.42. Tortum Gölü ile Kinalıçam arasında Berdiga Formasyonundan alınan tabaka ölçülerine göre hazırlanan kontur diyagramı (246 ölçü)



Şekil 3.43. Berdiga Formasyonu kireçtaşlarında görülen dom şeklindeki antiklinal (fotograf Kışla mezrasından güneydoğu yönünde çekilmiştir)



Şekil 3. 44. Yusufeli formasyonu içerisindeki kilitası ve marnlarda ters faya bağlı olarak gelişmiş küçük ölçekli antiklinal (fotoğraf Hazuket Mahallesi'nin güneyinden alınmıştır)

alırlar. Çağlayan senkinalinin güneydoğuya eğimli kuzeybatıdaki kanadı üzerinde gelişmişlerdir. Dalga boyları genellikle 20 - 100 m, amplitütleri (yükseklik) ise 5-10 m arasında değişmektedir. Kinalıçam Köyü'ne yaklaşıldıkça kıvrımların sıkılıklarının arttığı ve dolayısı ile amplitüd ve dalga boyalarının azaldığı görülür. Bu durum Kinalıçam Köyü civarında Malm-Alt Kretase yaşılı Berdiga Formasyonu'nun Üst Kretase birimleri üzerine itilmesine sebep olan Kinalıçam bindirmesinden kaynaklanmıştır. Sayıları yaklaşık 120 civarında olan kıvrımların Erzurum-Artvin Devlet karayolu boyunca kanaflarından alınan 246 tabaka ölçüsü alınmıştır. Bu ölçülere göre hazırlanan kontur diyagramında, kıvrım eksenlerinin ortalaması K70D/8 konumlu olduğu belirlenmiştir (Şekil 3.42). Bunların dışında karayolu boyunca kıvrım eksenleri bunlara dik kıvrımlarda söz konusudur. Az sayıdaki bu kıvrımlar eksen yönünde antiklinal ve senkinal şeklinde devam ederler (Bkz Ek 1). Benzer bir durum Morkaya köyünün 3 km kadar doğusundaki Kışla Mezrası'nda görülmektedir. Burada Berdiga ve Yusufeli formasyonlarında yaklaşık birbirine dik bir senkinal ve bir antiklinal gelişmiştir (Bkz Ek 1). Ayrıca senkinalin güneyindeki antiklinal üzerinde de kıvrım eksenleri antiklinalın eksenine yaklaşık dik ve her iki tarafa doğru dalaklı dom ve havza şeklinde kıvrımlar gelişmiştir (Şekil 3.43). Bütün bunların dışında Berdiga ve Yusufeli formasyonları içerisinde küçük ölçekli ters faylara bağlı olarak gelişen küçük kıvrımlar da bulunmaktadır. Bunlarda ters faylar tipik olarak antiklinallerin merkezi kısımlarında son bulmaktadır (Şekil 3.44).

3.2.5. Kırıklı Yapılar

Yusufeli yöresinde kırık tektoniği etkin biçimde gelişmiştir. İnceleme alanındaki kayaçlar, Geç Kretase' den Eosen sonuna kadar kuzeybatı-güneydoğu doğrultulu basınç gerilmeleri etkisi altında gelişmiş faylı ve çatlaklı yapılar içerir.

3.2.5.1. Faylar

Üst Kretase'nin ortalarından sonra sıkışma rejiminin etkisi altına giren inceleme alanı ve Doğu Pontidler'de Eosen sonrasında kısalma meydana gelmiştir. Bu kısalmanın verileri inceleme alanında bindirme fayları ve kıvrımlar şeklinde görülmektedir (Şekil 3.45).

Doğu Pontidler'de sıkışma tektonигine bağlı olarak Eosen sonrasında Niksar-İspir-Yusufeli-Ardanuç hattında görülen büyük ölçekli bir bindirme fayı gelişmiştir. İnceleme alanının güneyinde yüzeyleyen Liyas yaşı Kinalıçam volkanik karmaşığı bu fay yüzeyi boyunca Eosen yaşı Yağmuralan formasyonu üzerine itilmiştir. Bu fay aynı zamanda Doğu Pontidler'i kuzey ve güney olmak üzere iki kısma ayıran sınırı oluşturmaktadır (Osswald, 1912; Arni, 1939). İnceleme alanına güneybatıdaki Yağmuralan Mahallesi civarından giren Niksar-İspir-Yusufeli-Ardanuç fayı kuzeydoğu doğrultusunda devam etmektedir. Ormandibi Köyü yakınlarına gelindiğinde ise üç kola ayrılmaktadır (Bkz Ek 1). Bunlardan en batıdaki kol Yusufeli bindirmesi, kuzeydoğu yönünde Ardanuç'a doğru devam eden ortadaki kol Demirkent bindirmesi, doğudaki kol ise Kinalıçam bindirmesi olarak adlandırılmıştır. Genel olarak kuzeydoğu doğrultulu bu faylar güneydoğuda kalan blokları kuzeybatı yönünde taşımışlardır.

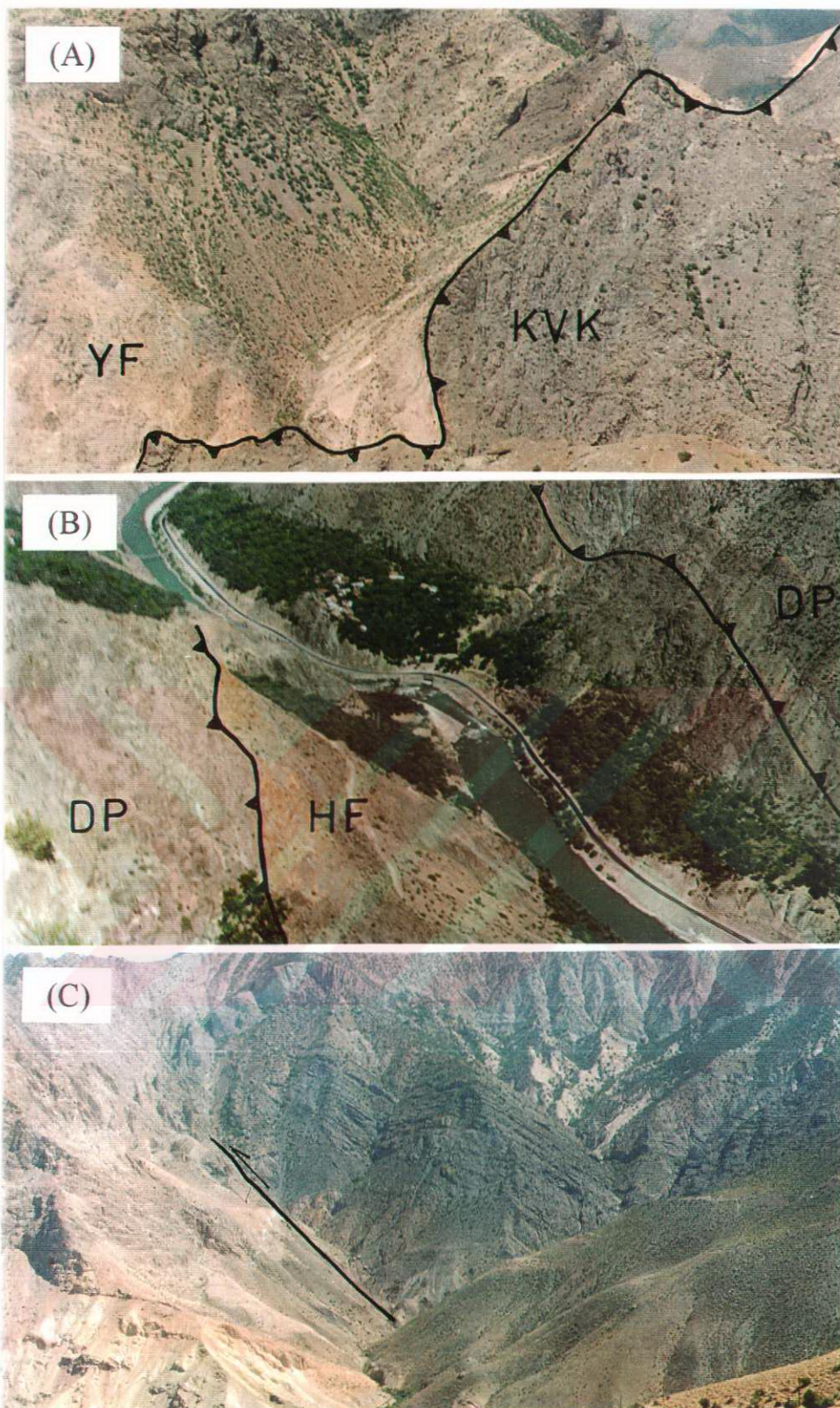
Yusufeli bindirmesi: İnceleme alanının batısında Üst Kretase yaşı Yusufeli formasyonu ile Kinalıçam volkanik karmaşığı arasındaki dokanağı oluşturan bindirme fayıdır. Ormandibi, Hazuket kuzeyi ve Yusufeli' nin doğusundan geçerek kuzeye doğru Minathev, Mutlugin ve Çıralıköy istikametinde devam eder (3.47A). Kinalıçam volkanik karmaşığı bu fay yüzeyi üzerinde kuzeybatıya doğru hareket ederek Yusufeli formasyonu üzerinde bindirmiştir. Fay hattı üzerinde doğrudan fay yüzeyinin eğimini verecek fay aynalarına rastlanmamıştır. Topografyadaki izinin eşyükseklik eğrilerini kestiği noktalardan yararlanarak bulunan eğimi 35° dir. Ancak bindirme faylarının yüzeye yaklaşıldıkça dikleştikleri düşünüldüğünde Yusufeli fayının eğim derecesi daha düşük olmalıdır.

Demirkent bindirmesi: Demirkent bindirmesi ormandibi köyü yakınlarında üç kola ayrılan Niksar-İspir-Yusufeli-Ardanuç fayının ana koludur. Yaklaşık K40D doğrultulu bu fay Karadağın kuzeybatısı, Irmakyani ve Legvan Dağının doğusundan geçerek Havuzlu Köyü ve Demirkent beldesine doğru devam eder. Demirkentin kuzeyinden inceleme alanı dışına çıkan fay yaklaşık K40D yönünde Ardanuç'a doğru uzanır (3.47B). Karadağ'dan Demirkent'e kadar olan bölümünde ise Karadağ metamorfitleri ve Demirkent plütonu ile Hamurkesen Formasyonu arasındaki tektonik sınıra karşılık gelir. Karadağ Metamorfitleri ve Demirkent plütonu kuzeybatıya doğru Hamurkesen Formasyonu üzerine itilmiştir.

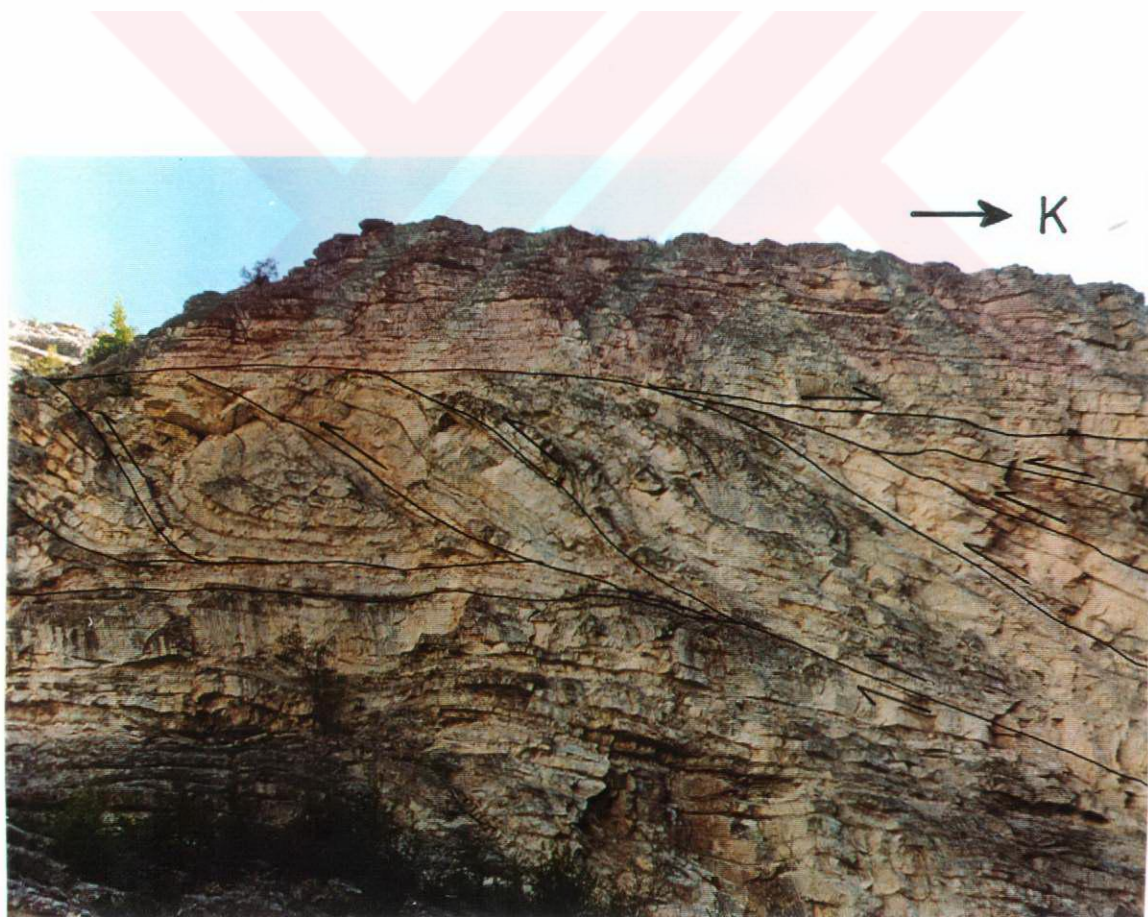
Demirkent fayının Havuzlu ve Demirkent arasında kalan bölümünün topografyadaki izinin eş yükseklik eğrilerinin kestiği noktalardan yararlanarak hesaplanan eğim açısı yaklaşık 10° dir. Fayın, Irmakyani mahallesinden havuzlu köyüne kadar olan kısmında sınırı genellikle düz olduğundan eğim derecesi hakkında fikir vermemektedir.

Kinalıçam bindirmesi: Ormandibi köyü civarında Niksar-İspir-Yusufeli-Ardanuç fayından kuzeydoğuya doğru ayrılan bir koldur. Morkaya, Kinalıçam, Olur-Erzurum yol ayrimı ve İşhan'ın batısından geçen hat boyunca devam eder (3.47 C). İnceleme alanının büyük bir bölümünde yaklaşık K40D doğrultuludur. Ormandibi'nden Morkaya'ya kadar olan bölümü Kinalıçam volkanik karmaşığı ve Hamurkesen Formasyonu içerisinde kalır. Morkaya' dan Olur-Erzurum yol ayrimına kadar olan bölümünde ise Berdiga formasyonuna ait mikritik kireçtaşlarını Geç Kretase yaşı Yusufeli formasyonunun kırmızı renkli tortuları üzerine itmiştir. Olur-Erzurum yol ayrimından kuzeydoğuya doğru devam eden bölümünde ise fayın etkinliği giderek azalır.

Bunların dışında Berdiga ve Yusufeli formasyonları içerisinde küçük ölçekli ters faylar da bulunmaktadır. Bunların bir grubu küçük kıvrımlar ile birlikte bulunurlar. Özellikle Yusufeli formasyonunun kiltaşı, marn ve silttaşları arasımda görülen bu faylar tipik olarak antiklinallerin merkezi kısımlarında veya devrik kanatlarında son bulmaktadır. Şekil 3.45 C' de Kinalıçam bindirmesinden ayrılan bindirme kolu ve üstteki Berdiga kireçtaşlarında meydana getirdiği antiklinal görülmektedir. İkinci grup küçük ölçekli ters faylar ise dubleks yapıları şeklindeki ters faylardır. Berdiga formasyonunda gözlenen bu faylar yatay kesme zonları içerisinde yer alırlar. Bunlar bir tabakanın kademeli bir şekilde kendi üzerine itilmesi şeklinde oluşmuşlardır. Bu yapılar forelanda (ön ülke) ve hinterlanda (arka ülke) dalımlı dubleksler ve antiformal yığışmalar şeklinde sınıflandırılmaktadır (Boyer ve Elliot, 1982). Bu sınıflamaya göre inceleme alanındaki dubleksler, kesme gerilmeleri ile zıt yöne eğimli olduklarından hinterlanda dalımlı dubleksler şeklinde uymaktadır (Şekil 3.46).



Şekil 3.45. İnceleme alanı içerisindeki bindirme-ters faylara ait görüntüler: A)- Yusufeli Bindirmesi; fotoğraf Sumbated Mahallesi’nden kuzeybatı yönünde, B)- Demirkent Bindirmesi; fotoğraf Havuzlu Köyü’nden kuzeydoğu yönünde, C)- Kinalıçam Bindirmesi’nden ayrılan kolon Berdiga Formasyonunun kireçtaşlarında meydana getirdiği antiklinal; fotoğraf Kinalıçam Köyü’nden güneydoğu yönünde alınmıştır; YF: Yusufeli formasyonu, KVK: Kinalıçam volkanik karmaşıklığı, HF: Hamurkesen Formasyonu, DP: Demirkent Plütonu



Şekil 3.46. Berdiga Formasyonu kireçtaşlarında dubbleks şeklinde gelişen küçük ölçekli faylar. Bunlar bir tabakanın kademeli bir şekilde kendi üzerine itilmesi ile oluşurlar (fotograflar Morkaya Bahçeleri' nin güney ve kuzeyinden doğu ve batı yönünde alınmıştır)

3.2.5.2. Çatlaklar

İnceleme alanı Alpin orojenik kuşağında yer aldığından bütün birimlerde çatlaklı yapılar gelişmiştir. Gabroyik Demirkent plütonu kayaçlarında gelişen, yaklaşık kuzey-güney doğrultulu ve Sebzeciler granitoyidi kayaçları ile dolgulu çatlaklar muhtemelen Hersiniyen orojenezine bağlı olarak gelişmiş Jura öncesi yaşılı kırıklardır. Bu bakımdan Sebzeciler granitoyidi büyük bir bölümündeki çizgisel yüzeyleme şekli ile kırık kontrollü bir stuktur. Bunların dışında kalan ve bütün kayaçlarda çok sıkılıkla görülen diğer çatlaklar Alpin orojenine bağlı olarak muhtemelen Eosen sonrasında gelişmişlerdir. Bütün kayaç guruplarında en az iki çatlak sisteminin geliştiği gözlenmiştir. Özellikle Kinalıçam volkanik karmaşığı ve Yusufeli formasyonlarına ait volkanitlerde genelde 3, yer yer de 4 adet çatlak sisteminin varlığı tespit edilmiştir. Demirkent plütonu, Sebzeciler granitoyidi ve Berdiga Formasyonu'ndan alınan çatlak ölçülerinde belirgin olarak guruplanmalar sağlanırken, Kinalıçam volkanik karmaşığı ve Yusufeli formasyonundan alınan ölçülerde bu özellik kısmen sağlanabilmiştir. Bu durum ölçü alınan noktalarda birinci derecede gelişmiş çatlak sistemleri ile ikinci derecede gelişmiş çatlak sistemlerinin birbirinden ayırt edilemeyeşinden ve gerekli yoğunlukta ölçü alınamayışından kaynaklanmış olabilir.

3.3. Jeokimya

3.3.1. Giriş

Bu bölümde inceleme alanında yüzeyleyen kayaçların ana, iz ve nadir toprak element içerikleri belirlenerek jeokimyasal özellikleri ortaya konulmuştur. Mesozoyik birimlerinden Karbonifer yaşı Karadağ metamorfitleri köken kayaçları ve tektonik ortamları bakımından değerlendirilmiştir, Jura öncesi yaşı Demirkent plütonu ofiyolitik ve ada yollarının kök zonu mafik kayaçları ile, Sebzeciler granitoyidi ise plajiyogranitler ve kıtasal granitoyidlere karşılaştırılmıştır. Mesozoyik birimlerinden Liyas yaşı Kınalıkam volkanitleri ve Üst Kretase yaşı Yusufeli formasyonu içindeki volkanitler (Yusufeli volkanitleri) de jeokimyasal özellikleri ve tektonik ortamları bakımından değerlendirilmiştir.

3.3.2. Karadağ Metamorfitleri

Metamorfitlerin jeokimyasal özelliklerini, jeotektonik ortamlarını değerlendirmek ve kaynak alanlarını belirlemek amacıyla gnays, şist ve amfibolitlerden derlenen 29 örneğin kimyasal analizleri yapılmıştır. Gnays-şist ve amfibolitler olmak üzere iki kısımda incelenenek olan metamorfitlerin ana ve iz element analizleri ile Niggli parametreleri Çizelge 3.19' da, nadir toprak element analizleri de Çizelge 3.20' da verilmiştir.

3.3.2.1. Gnays ve şistler

Gnays ve şistlerin SiO_2 (% 58.8-76.8) içerikleri yüksek ve geniş bir değişim aralığına sahiptir. Fe_2O_3^* (% 0,9-8,6) içerikleri bütün örneklerde MgO (% 0,3-3) içeriklerinden ve Na_2O (% 0,8-6.) içerikleri de genellikle CaO (% 0,2-4,7) içeriklerinden yüksektir. Ancak plajiyoklasın yanında genellikle ikincil epidot ve kısmen de amfibol içeren örneklerde (Örnek No. 488, 652), CaO içerikleri Na_2O içeriklerinden daha yüksektir. K_2O (% 0,5-3) içerikleri iki örnek dışında (Örnek No. 312, 491) genellikle Na_2O içeriklerinin yarısı kadardır. Bu iki örnek biyotit bakımından oldukça zengin, plajiyoklas bakımından ise fakirdir. ACF diyagramında (Şekil 3.47) gnays ve şistlerin mineralojik bileşimleri ile kimyasal bileşimleri

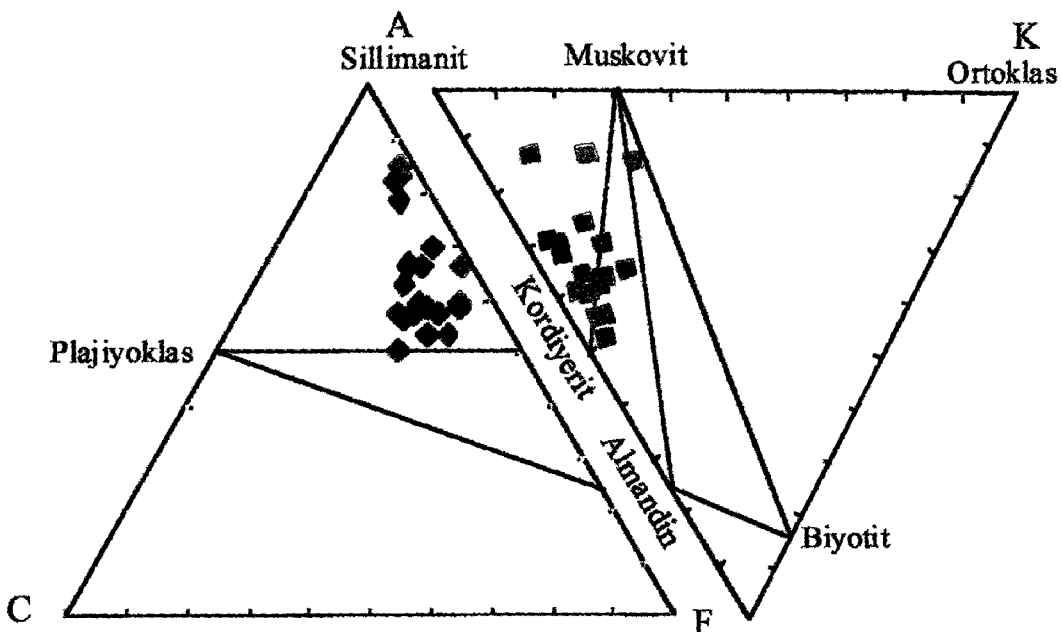
Çizelge 3.19. Karadağ metamorfitleri gnays ve sistlerinin ana (%) ve iz (ppm) element analizleri ile Niggli parametreleri

Örn. No	39	312	330	483	485	486	488	490	491	508
SiO ₂	74,96	65,56	67,51	65,91	67,97	71,49	72,01	66,48	71,27	74,81
TiO ₂	0,02	0,91	0,4	0,78	0,37	0,48	0,45	0,71	0,72	0,06
Al ₂ O ₃	14,53	15,75	15,6	14,67	15,97	13,92	11,76	15,14	12,55	14,62
Fe ₂ O ₃ *	1,23	6,45	4,58	5,54	3,23	2,74	3,63	5,47	5,2	0,93
Fe ₂ O ₃	0,26	2,3	1,4	1,47	1,22	0,89	0,77	1,08	1,36	0,17
FeO	0,97	4,15	3,18	4,07	2,01	1,85	2,86	4,39	3,84	0,76
MnO	0,13	0,13	0,14	0,07	0,05	0,04	0,05	0,08	0,08	0,01
MgO	0,29	2,68	1,4	2,6	1,64	1,54	2,24	2,77	1,98	0,48
CaO	0,48	0,29	2,51	1,13	1,68	1,04	3,39	2,85	0,86	0,21
Na ₂ O	4,77	0,86	4,12	3,49	6,22	5,37	3,21	3,62	1,51	6,03
K ₂ O	2,03	2,98	0,76	1,51	0,57	0,69	0,47	0,86	2,44	0,93
P ₂ O ₅	0,21	0,05	0,2	0,14	0,19	0,05	0,02	0,04	0,02	0,04
A.kayıp	0,9	3,3	1,7	2,4	1,1	1,4	0,7	1,3	1,9	1,1
Toplam	99,55	98,96	98,92	98,24	98,99	98,76	97,93	99,32	98,53	99,22
Sr	15	43	312	85	130	156	133	248	50	52
Rb	-	-	-	25	21	16	22	26	45	13
Ba	93	1260	310	427	147	162	194	245	378	172
Th	-	-	-	15	4	47	1,2	15	17	5,6
Ta	-	-	-	1	0,85	0,70	0,74	0,62	1	0,50
Nb	6	6	12	9	8	7	5	11	10	8
Ce	50	80	67	55	50	202	50	102	85	50
Zr	20	242	136	266	194	303	132	210	257	36
Hf	-	-	-	6	3	7	1	6	9	2
Sm	-	-	-	5,7	3	12	0,5	5	5,9	2,5
Y	10	20	16	17	10	10	10	14	11	12
Yb	-	-	-	2,8	0,6	0,2	0,2	4,1	2,9	2
Cr	10	14	2	25	8	13	11	20	15	2
Ni	-	-	-	37	15	18	20	52	41	16
Co	-	-	-	13	6	5	10	18	17	3
Sc	-	-	-	<10	<10	<10	<10	12	<10	<10
al	51,76	42,91	41,27	38,18	41,48	42,05	34,10	36,10	39,78	51,39
fm	9,36	43,02	26,56	37,29	22,41	23,30	31,25	35,12	39,02	8,87
c	3,11	1,44	12,07	5,35	7,93	5,71	17,87	12,36	4,96	1,34
alk	35,77	12,64	20,10	19,19	28,17	28,94	16,78	16,42	16,24	38,40
al-alk	15,98	30,27	21,16	18,98	13,30	13,11	17,31	19,69	23,54	12,99
mg	0,28	0,43	0,35	0,46	0,48	0,50	0,53	0,48	0,41	0,48
k	0,22	0,70	0,11	0,22	0,06	0,08	0,09	0,14	0,52	0,09
p	0,54	0,10	0,38	0,26	0,35	0,11	0,04	0,07	0,05	0,10
ti	0,11	3,96	1,69	3,24	1,53	2,31	2,08	2,70	3,64	0,34
si	453,05	303,05	303,01	291,03	299,55	366,43	354,26	268,99	383,35	446,17

Çizelge 3.19' un devamı

Örn. No	510	519	524	525	527	646	648	649	650	652
SiO ₂	74,99	73,41	76,81	70,36	70,09	75,77	68,49	65,82	58,79	62,56
TiO ₂	0,08	0,54	0,19	0,66	0,44	0,03	0,64	0,77	0,81	0,65
Al ₂ O ₃	14,72	12,98	12,58	13,71	14,19	14,15	13,85	15,68	17,25	17,45
Fe ₂ O ₃ *	1,01	3,33	2,14	4,43	4,18	1,41	6,2	6,41	8,63	7,59
Fe ₂ O ₃	0,19	0,52	0,21	0,71	0,79	0,24	1,48	2,1	3,39	2,46
FeO	0,82	2,81	1,93	3,72	3,39	1,17	4,72	4,31	5,24	5,13
MnO	0,05	0,04	0,02	0,06	0,05	0,04	0,16	0,14	0,18	0,23
MgO	0,5	1,63	0,9	1,97	1,86	0,36	3,03	2,7	2,23	1,61
CaO	0,5	1,82	0,55	1,77	2,47	0,65	2,11	2,57	4,65	4,55
Na ₂ O	4,75	3,3	3,82	3,48	2,92	4,05	2,43	2,16	3,61	3,84
K ₂ O	2,02	0,84	1,31	0,82	1,44	2,83	1,16	1,9	1,18	0,8
P ₂ O ₅	0,07	0,02	0,1	0,16	0,1	0,13	0,01	0,09	0,34	0,38
LOI	0,8	1,8	1,3	2,1	2	1,1	2,3	2,1	1,5	0,7
Toplam	99,49	99,71	99,72	99,52	99,74	100,5	100,4	100,3	99,17	100,4
Sr	115	257	75	232	165	53	134	201	397	402
Rb	-	-	-	-	-	45	40	74	39	27
Ba	538	230	279	269	475	611	580	459	536	410
Th	-	-	-	-	-	1,3	5	16	1,7	1,5
Ta	-	-	-	-	-	2	0,81	1	0,6	0,75
Nb	4	8	10	7	10	11	10	11	5	4
Ce	50	201	50	51	70	50	61	111	61	63
Zr	33	249	48	178	208	42	177	196	134	171
Hf	-	-	-	-	-	2	6	6	4	5
Sm	-	-	-	-	-	2	2	6,1	4,1	3,9
Y	15	10	10	19	16	11	23	21	18	36
Yb	-	-	-	-	-	1,7	6,5	4	3	8,6
Cr	2	6	6	12	2	4	6	17	2	1
Ni	-	-	-	-	18	25	30	65	20	20
Co	-	-	-	-	11	3,5	14	18	12	9
Sc	-	-	-	-	12	10	21	16	13	12
al	51,88	41,26	47,31	39,40	39,82	50,55	35,14	37,52	34,10	36,56
fm	9,67	28,07	19,97	32,34	29,73	10,48	41,81	37,87	34,92	31,06
c	3,20	10,52	3,76	9,25	12,60	4,22	9,73	11,18	16,71	17,33
alk	35,24	20,14	28,96	19,00	17,85	34,74	13,32	13,42	14,26	15,05
al-alk	16,64	21,12	18,35	20,40	21,97	15,81	21,81	24,10	19,84	21,51
mg	0,46	0,47	0,43	0,44	0,44	0,31	0,46	0,43	0,32	0,27
k	0,22	0,14	0,18	0,13	0,25	0,31	0,24	0,37	0,18	0,12
p	0,18	0,05	0,27	0,33	0,20	0,33	0,02	0,15	0,48	0,57
ti	0,45	2,74	1,14	3,03	1,97	0,17	2,59	2,94	2,56	2,17
si	448,50	395,97	490,10	343,13	333,72	459,31	294,82	267,26	197,21	222,41

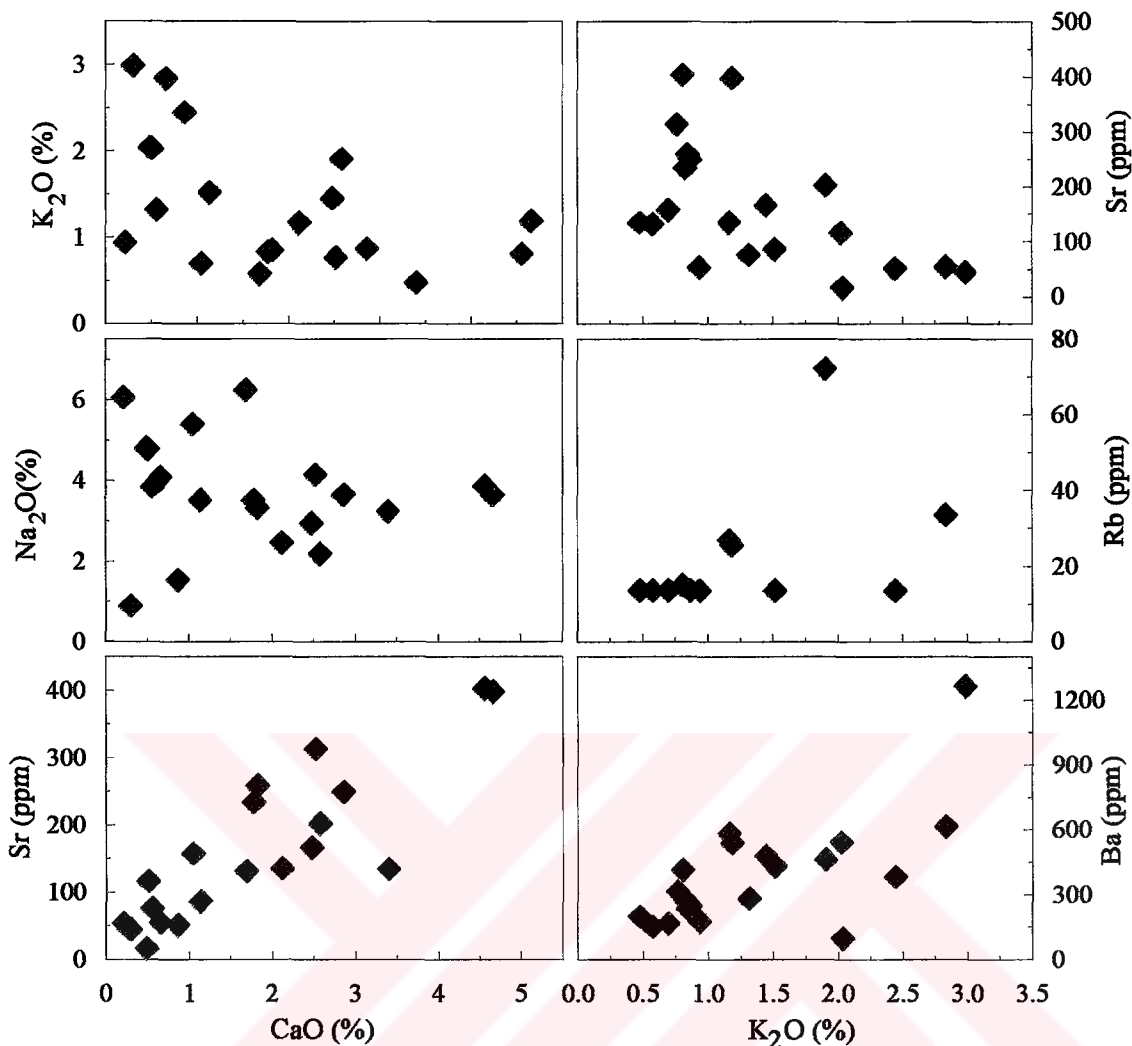
* toplam Fe₂O₃



Şekil 3.47. Gnays ve şistlerin ACF ve AFK projeksiyonlarındaki dağılımları (Winkler, 1976). Diyagramda gnays ve şistlerin mineralojik bileşimleri ile kimyasal bileşimleri arasındaki ilişki görülmektedir. A = $\text{Al}_2\text{O}_3 + \text{Fe}_2\text{O}_3 - (\text{Na}_2\text{O} + \text{K}_2\text{O})$, C = $\text{CaO} - 3.3(\text{P}_2\text{O}_5)$, F = $\text{MgO} + \text{MnO} + \text{FeO}$, K = K_2O

arasındaki ilişki görülmektedir. Diyagramda bazı gnays ve şistler A köşesine ve A-F kenar çizgisine daha yakındır. Bu örneklerde plajiyoklaslar azınlıkta, kordierit ve sillimanit gibi Al³⁺ ca zengin mineraller çokluğundadır. A-F kenarına yakın ve orta noktalardaki örneklerde ise granat ve muskovit gibi Fe, Mg ve Mn bakımından zengin mineraller çokluğundadır. Niggli mg 0.27 ile 0.53 arasındadır.

Gnays ve şistlerde Sr (15- 402 ppm) ile CaO arasında çok kuvvetli bir pozitif ilişki varken Sr ile K₂O arasında negatif bir ilişki söz konusudur (Şekil 3.48). CaO ve Sr kıl mineralleri ile ilişkili olmadıklarına göre bunlar plajiyoklaslara bağlı olarak bulunmaktadır. CaO' e karşı K₂O zayıf bir negatif korelasyon verirken, CaO' a karşı Na₂O korelasyon vermemektedir. Bu durum Na₂O' in tamamen plajiyoklaslara bağlı olduğunu, gnays ve şistlerde herhangi bir şekilde Na zenginleşmesi olmadığını göstermektedir (Leake, 1964). Gnays ve şistlerin Rb (13-74 ppm) ve Ba (93-1260 ppm) içerikleri çok geniş değişim aralıklarına sahiptir ve her ikisi de K₂O ile pozitif ilişkilidirler (Şekil 3.48). K/Rb oranları 156-628 arasında değişmekte ve genel olarak ortalama kabuk değerlerine çok yakın bulunmaktadır (284 ppm; Taylor ve McLennan, 1985).



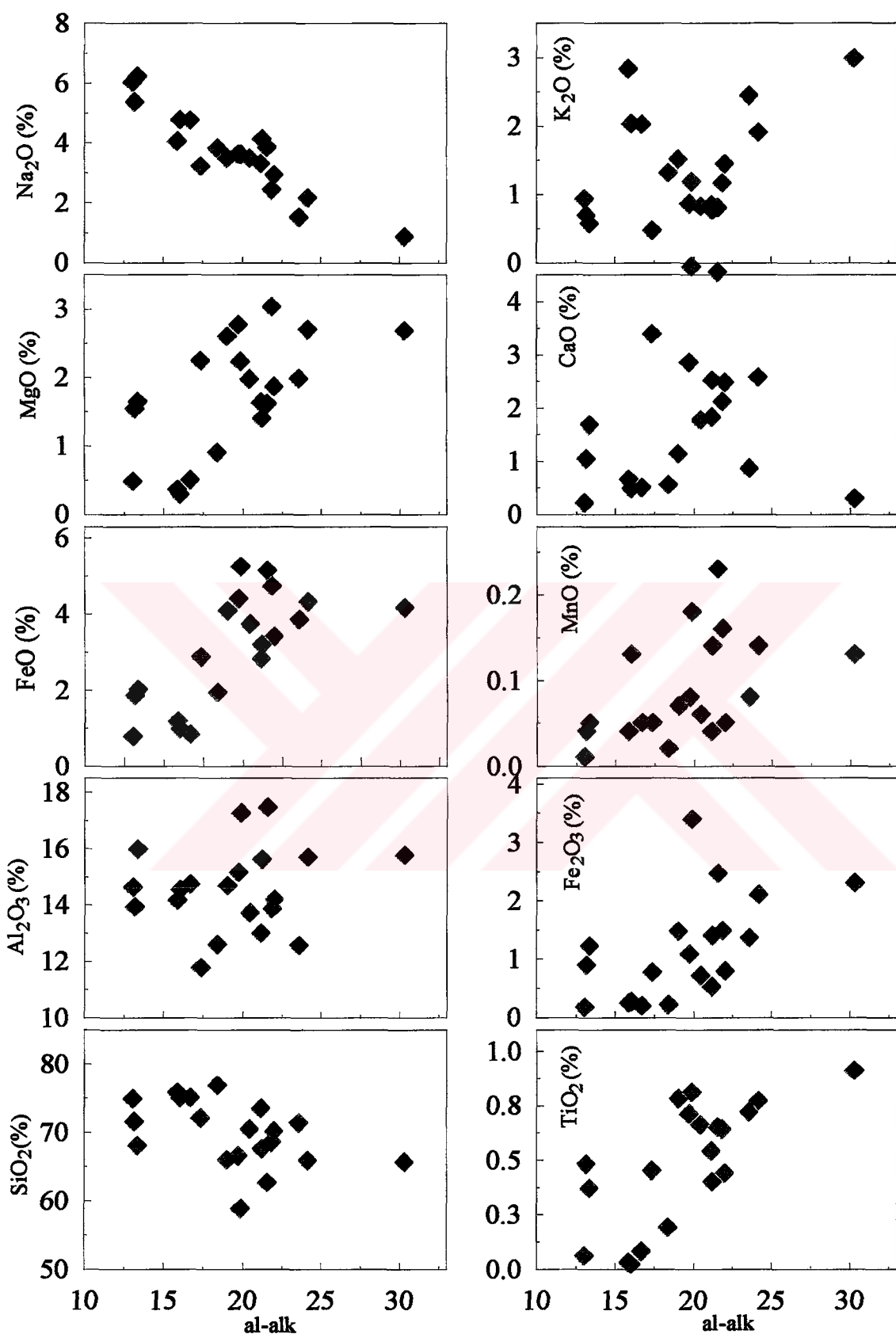
Şekil 3.48. Gnays ve şistlerin CaO 'e karşı Sr ve Na_2O ; K_2O ' e karşı Ba , Rb ve Sr değişim diyagramları

Gnays ve şistlerin Cr, Ni ve Sc içerikleri sırasıyla 2-25 ppm, 20-53 ppm ve <16 ppm gibi oldukça düşük miktarlardadır ve bu değerler üst kabuk değerlerine yakındır (35 ppm; 20 ppm ve 11 ppm Taylor ve McLennan, 1985). Ce (50-201 ppm), Zr (20-303 ppm) ve Hf (1-9 ppm) değerleri ise büyük değişim aralıklarına sahiptirler.

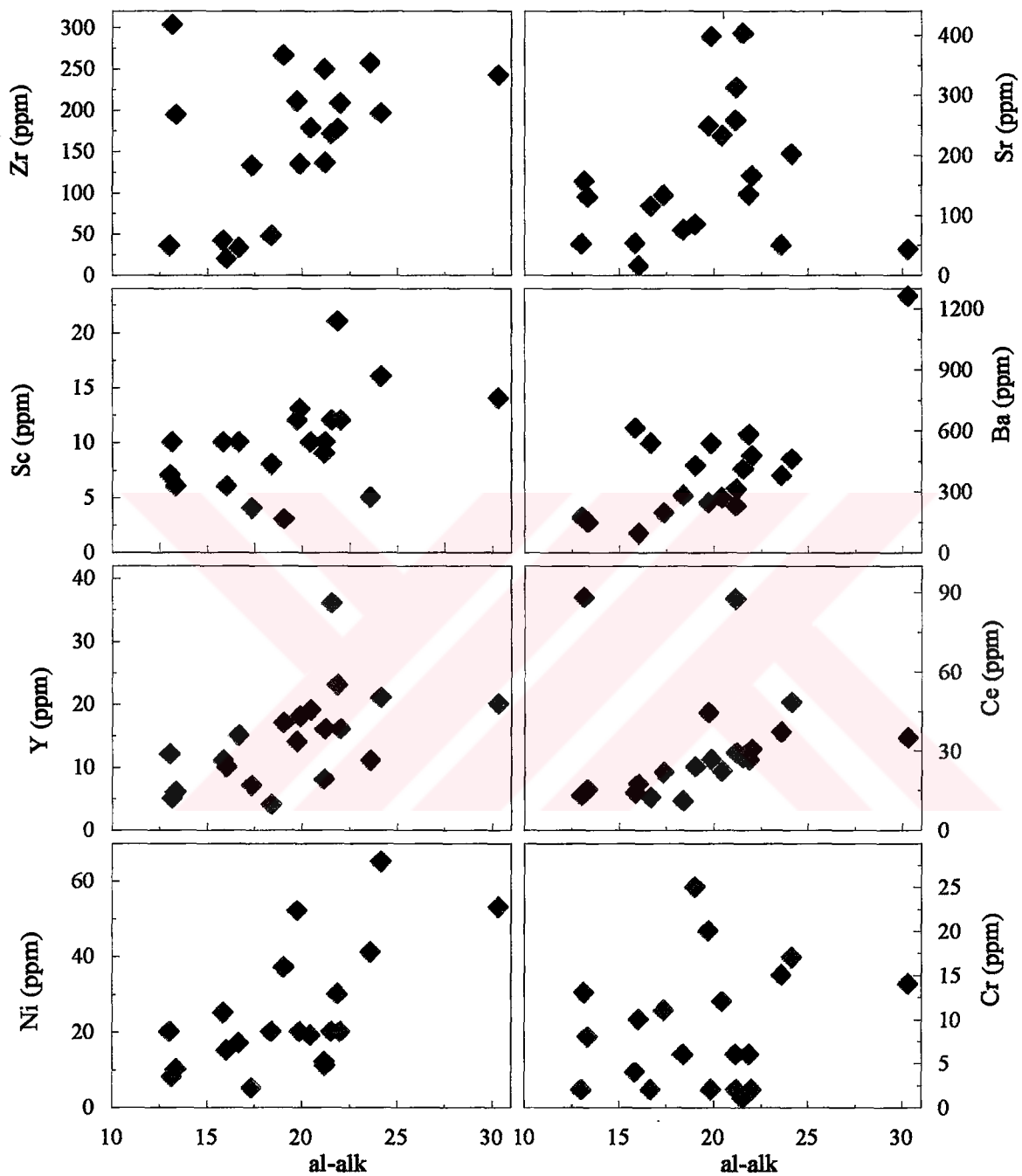
Niggli al-alk, ilksel tortulardaki kil ve mika minerallerinin Al içeriğinin ölçülmesine ışık tutar. Albit ve K' lu feldspatlarda al-alk=0 olması ve Ca ile al-alk arasında pozitif korelasyonun olmayacağı, feldspatların al-alk değerleri üzerinde fazla bir etkisinin olmadığı göstermektedir. al-alk' ya karşı yapılan ana ve iz element değişim diyagramları hangi elementlerin kil ve mika minerallerinden geldiğini göstermektedir. Diyagamlarda gözlenen

Ti, Fe, K, Rb, Y, Cr, Ni ve muhtemelen Ba ve Mn zenginleşmesi yapraksı minerallerden gelmekte olup, kil ve mika minerallerinin tek faktör olup olmadığı açık olmamakla birlikte ana etken olduğu bilinmektedir (Senior ve Leake, 1978). Şekil 3.49' da inceleme alanındaki gnays ve şistlerin al-alk'ya karşı ana oksit değişim diyagramları verilmiştir. Bu diyagramlarda da görüleceği gibi gnays ve şistlerdeki Ti, Fe²⁺, Fe³⁺, Mn, Mg' un al-alk' ya karşı belirgin, pozitif korelasyonlar sunması; ilksel sedimentlerde bir miktar kil minerallerinin veya kırtılı mika minerallerinin veya her ikisinin birden olmasını gerektirmektedir. Benzer şekilde Ni, Cr, Ba, Sr, Y, Zr' un al-alk' ya karşı pozitif korelasyonları aynı bulguları desteklemektedir (Şekil 3.50).

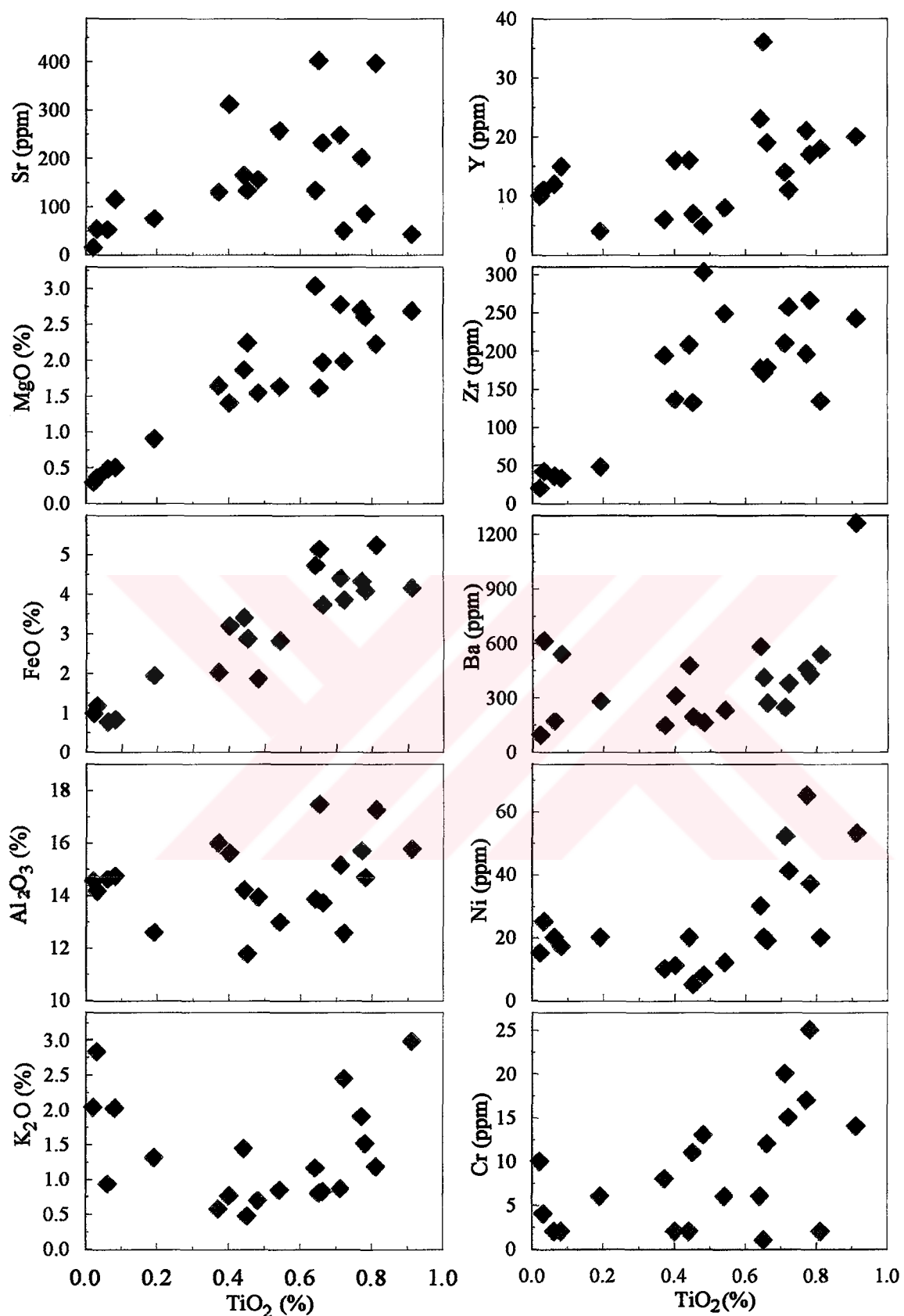
Ti' un al-alk ile özellikle pozitif korelasyon göstermesi, hangi element zenginleşmesinin kil minerallerinden kaynaklandığını bulmada alternatif indikatör olarak kullanılabilir mesine olanak sağlar. al-alk'ının değişebilecegi alkali metasomatizması geçirmiş meta-sedimentlerde Ti kullanışlı olabilir (Senior ve Leake, 1978). Şekil 3.51 te kil ve mika mineralleri ile ilişkili bazı ana oksit ve iz elementlerin TiO₂'ye karşı değişim diyagramları gösterilmiştir. Diyagramlarda feldspatlara bağlı alkalilerin etkisi devre dışı bırakıldığından, al-alk' ya karşı yapılan diyagramlardan genellikle daha iyi bir korelasyon sağlanmıştır. Fe²⁺ ve Mg' un TiO₂' ye karşı al-alk' dan daha iyi bir korelasyon sağladığı sekilden de açıkça görülmektedir. TiO₂' e karşı yapılan değişim diyagramları kil ve mika minerallerinin ilksel sedimentlerde bulunduğu ve miktarlarındaki artışın kimyasal analizlere Fe ve Mg miktarlarındaki artış şeklinde yansadığını göstermektedir. Benzer şekilde kil ve mika mineralleri ile ilişkili elementlerden Cr, Ni, Ba, Y, Sr ve Zr'un TiO₂' e karşı pozitif korelasyonları açıkça görülmektedir. Cr ve Ni' nin pozitif korelasyonu Fe' in pozitif korelasyonu sonucudur. Zr' a karşı al-alk ve TiO₂ ye karşı al-alk diyagramlarında Zr ve TiO₂ çok kuvvetli pozitif ilişkiler vermektedir. Kil minerallerinde Zr bulunmadığı bilindiğinden bu durum kumtaşları ve kuvarsitlerdeki kırtılı zirkonlardan ileri geldiği şeklinde yorumlanmaktadır (Senior ve Leake, 1978).



Şekil 3.49. Gnays ve şistlerin al-alk' ya karşı ana oksit değişim diyagramları



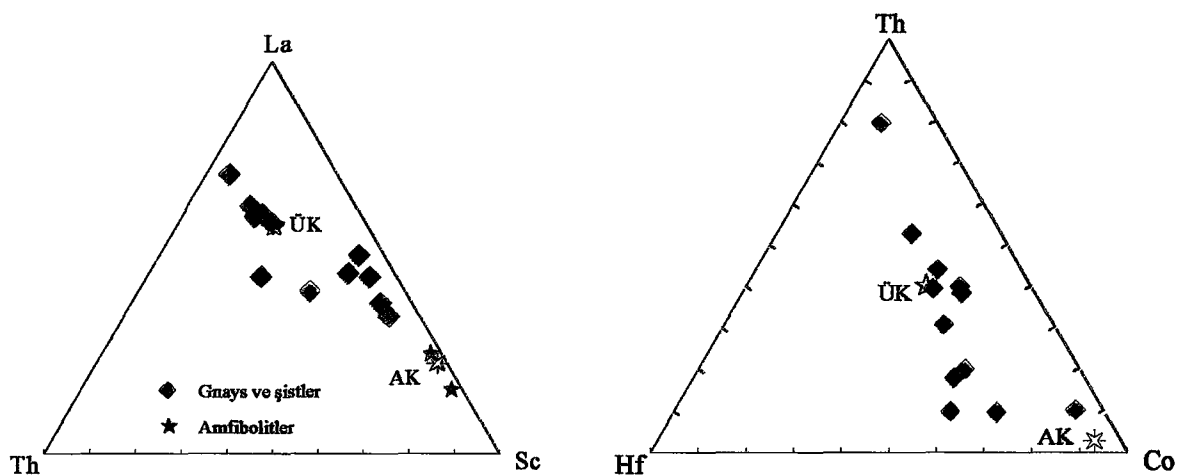
Şekil 3.50. Gnays ve şistlerin al-alk' ya karşı iz element değişim diyagramları



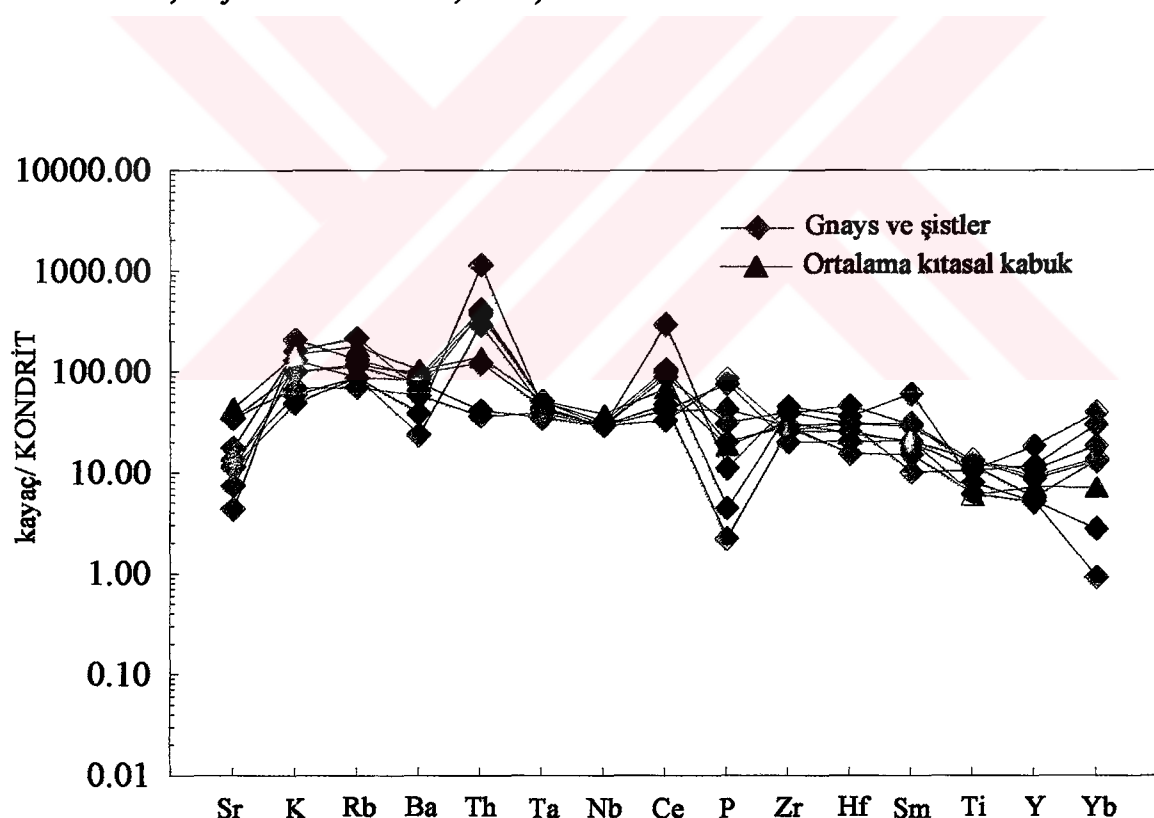
Şekil 3.51. Gnays ve şistlerin TiO_2 ' ye karşı bazı ana oksit ve iz element değişim diyagramları

Yüksek derecelerde duraylı elementler (Th, Hf, Co, Sc ve La) de meta-sediment ve meta-bazitlerin köken ayrimında kullanılabilir ve köken kayaçları ile ilgili bilgiler sağlayabilir. McLennan ve Taylor (1984) magmatik, sedimanter ve metamorfik kayaçlarda bu elementlerin konsantrasyonları geniş aralıklarda değişse bile Th/Hf ve La/Th oranlarının çok az değiştigini görmüşlerdir. Bunun sonucu olarak da çoğu kabuksal malzemelerin La-Th-Sc ve Th-Hf-Co üçgen diyagramlarında çok dar aralıklarda değişen lineer yönsemeler gösterdiğini belirtmişlerdir. Karadağ metamorfitleri La-Th-Sc ve Th-Hf-Co diyagramlarına aktarıldığında gnays ve şistlerin La-Th ve Th-Hf eksenlerine doğru lineer bir yönseme oluşturdukları, amfibolitlerin ise Sc köşesine yakın toplandıkları görülmektedir (Şekil 3.52). Bu eksenlerden uzaklaşıkça gnays ve şistlerin granat, biyotit, hornblend gibi mafik mineral oranları; yaklaşıkça da plajiyoklas ve ortoklas gibi felsik mineral oranları artmaktadır. Bu nedenle Sc ve Co köşesine yakın örnekler diğerlerine göre daha mafik kökenli kayaçlardan kaynaklanmış olmalıdır. Gnays ve şistlerin La/Th (1.9-8.82) ve Th/Hf (0.3-6.7) oranları ile ortalama kabuk değerlerine, amfibolitlerin La/Th (9.1-6.1) ve Th/Hf (1-0.93) oranları ise alt kabuk değerlerine yakındır (üst kabuk 4.57 ve 1.16; alt kabuk 10.3-0.5; Taylor ve McLennan 1985).

Karadağ metamorfitleri gnays ve şistlerinin kondrite göre normalleştirilmiş uyumsuz element diyagramında genellikle yukarı doğru düzbükey bir dağılım gösterirler (Şekil 3.53). Sr' dan Yb' a kadar olan bütün uyumsuz elementlerce zenginleşmişlerdir. Nb ve Ta negatif anomaliler vermektedirler. Büyük iyonik potansiyelli elementlerden Sr, kondrite göre 4-30 kez, K, Rb, Ba, Th ise 40-200 kez zenginleşmişlerdir. Zr, Hf, Ti, Sm, Y, Yb gibi yüksek çekim alanlı elementlerin kondrite göre zenginleşme miktarları daha düşüktür (10-40 x kondrit). Dağılımda pozitif P anomalileri sunan örneklerde, apatit yaygın olarak bulunmaktadır. Th ve Ce' un pozitif anomalileri biyotit ve zirkonlar ile ilgilidir. Çünkü bu minerallerde Th ve Ce' un dağılım katsayıları oldukça yüksektir (Mahood ve Hildreth, 1983). Gnays ve şistlerde küçük zirkon minerallerinin yaygın olarak bulunması da bu sonucu desteklemektedir. Gnays ve şistlerin K/Rb (156-628), La/Th (1,9-8,82) ve Th/Hf (0,3-6,7) oranları ortalama kabuk değerlerine yakındır (284; 4,57 ve 1,16; Taylor ve McLennan, 1985).



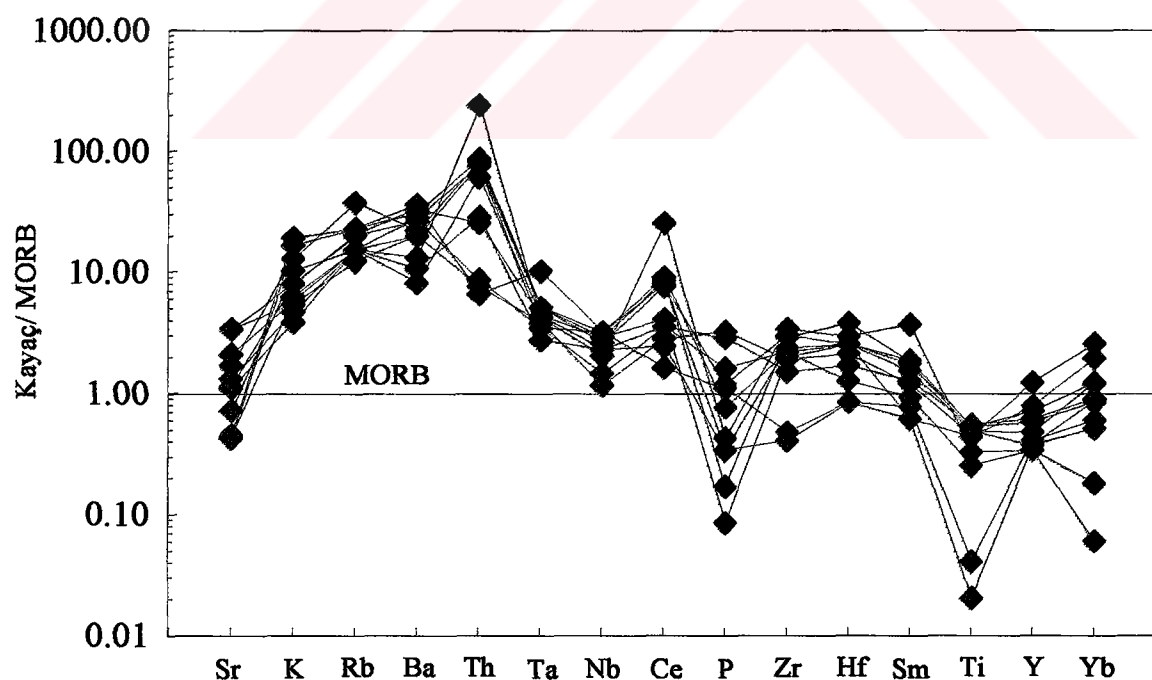
Şekil 3.52. Karadağ metaorfitlerinin La-Th-Sc ve Th-Hf-Co diyagramları (ÜK: üst kabuk, AK: alt kabuk, Taylor ve McLennan, 1985)



Şekil 3.53. Gnays ve sıstlerin kondrite, göre normalleştirilmiş uyumsuz element değişimleri (kondrit değerleri; Thompson, 1982' den).

Okyanus ortası sırtı bazaltlarına (MORB) göre normalleştirilmiş uyumsuz element diyagramında Sr'dan Th' a kadar olan büyük iyon yarıçaplı elementler (LILE) alterasyon, diyajenez ve metamorfizma olayları sırasında hareketli; Ta'dan Yb'a kadar olan yüksek çekim alanlı elementler (HFSE) ise oldukça hareketsiz davranışlılardır (Pearce, 1983). Bununla birlikte bu diyagram gnays ve şistlerin köken kayaçlarının kaynak alanları ile ilgili bilgiler verebilmektedir. Şekil 3.54' de böyle bir diyagram verilmiş bulunmaktadır. Diyagramdan da görüleceği gibi bölgesel gnays ve şistler genelde MORB' a göre yüksek LILE ve MORB seviyelerinde HFSE içeriklerine sahiptirler. Ayrıca Ta, Nb ve Ti' da komşu elementlere göre negatif anomalilerin varlığı söz konusudur. Gnays ve şistlerin bu şekildeki uyumsuz element dağılımları, yitimle ilişkili kayaçların uyumsuz element dağılımları ile benzerdir ve köken kayaçlarının kıtasal bir yaydan kaynaklandığına işaret etmektedir (Pearce, 1983, Hickey ve diğ., 1986).

Sedimentlerdeki nadir toprak elementler genellikle kaynaklandıkları köken kayacın yapısını yansıtırlar (Mc Lennan ve diğ., 1980; Taylor ve Mc Lennan, 1981; Sawyer, 1986).



Şekil 3.54. Gnays ve şistlerin okyanus ortası sırtı bazaltlarına (MORB) göre normalleştirilmiş iz element dağılımları (MORB değerleri; Pearce, 1982'den).

Çizelge 3.20. Karadağ metamorfitleri gnays ve şistlerinin nadir toprak element (ppm) analizleri

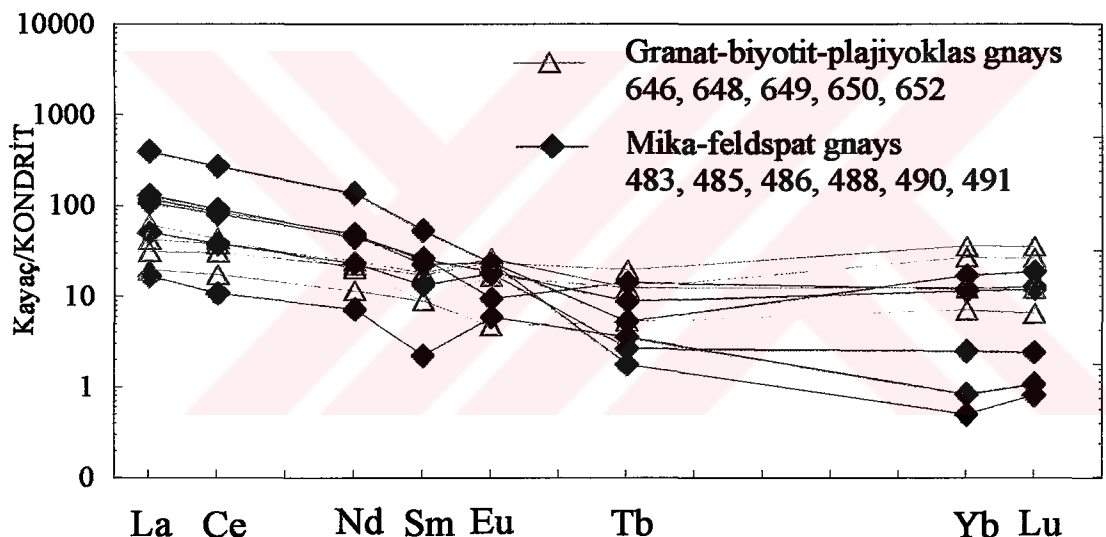
Örn. No.	483	490	491	508	520	646	648	649	650	652 PAAS	Üst Kabuk
La	38	42	46	11	3	7	22	45	15	11	38,2
Ce	75	79	84	24	10	16	40	89	35	28	79,6
Nd	31	34	32	9	6	8	14	33	17	15	33,9
Sm	5,7	5	5,9	2,5	2,3	2	2	6,1	4,1	3,9	5,55
Eu	1,6	2	0,8	0,6	1,1	0,4	1,4	1,6	2,2	2	1,08
Tb	0,5	0,3	0,8	0,6	0,7	0,3	0,7	0,8	0,7	1,1	0,774
Yb	2,8	4,1	2,9	2	2,8	1,7	6,5	4	3	8,6	2,82
Lu	0,45	0,69	0,48	0,28	0,42	0,24	0,98	0,64	0,45	1,32	0,433
(La/Lu) _N	8,77	6,32	9,95	4,08	0,74	3,03	2,33	7,3	3,46	0,86	9,16
(Tb/Yb) _N	0,76	0,31	1,18	1,28	1,07	0,75	0,46	0,86	0,99	0,55	1,17
(La/Sm) _N	4,2	5,29	4,91	2,77	0,82	2,2	6,92	4,64	2,3	1,78	4,33
(La/Yb) _N	9,17	6,92	10,72	3,72	0,72	2,78	2,29	7,6	3,38	0,86	9,15
Eu*	16,65	13,4	19,67	10,58	11,01	6,92	10,363	20,1	14,91	17,92	18,69
Eu	1,1	1,71	0,48	0,65	1,148	0,66	1,55	0,91	1,7	1,28	0,66

Üst Kabuk değerleri, Taylor ve Mc Lennan 1985' den, $Eu_N^* = (Sm+Tb)_N/2$, $Eu = Eu_N/Eu^*$

Gnays ve şistler kondrite göre normalleştirilmiş REE diyagramında (Şekil 3.55) genellikle yukarı doğru içbükey bir dağılım sunarlar. Bunlar yüksek değerlerde hafif REE zenginleşmesi ($La_N/Lu_N = 7,4-99,2$) ve az miktarlarda ağır REE farklılaşması ($Tb_N/Yb_N = 0,3-1,3$) ile karakteristikdir. Bazı örnekler zayıf bir pozitif, bazıları da zayıf bir negatif Eu anomalisi ($Eu_N/Eu_N^* = 0,5-1,7$) göstermektedir. Pozitif Eu anomalisi gnays ve şistlerin ilksel kayaçlarında plajiyoklas ve alkali feldspat zenginleşmesinin yüksek değerlerde olduğunu, negatif Eu anomalileri de granat, muskovit ve biyotit zenginleşmesinin daha fazla olduğunu işaret etmektedir (Mc Lennan, 1989).

Ortoklas-muskovit plajiyoklas gnays, kuvars-mika şist ve iki mikali şist gibi mika ve feldspat bakımında zengin gnays ve şistler hafif nadir toprak element (LREE) zenginleşmesi ve ağır nadir toprak element (HREE) fakirleşmesi ile karakteristikdir ($La_N/Lu_N = 4-484$). Bunlar hafif REE içerikleri açısından da önemli oranlarda farklılaşmıştır ($La_N/Sm_N = 2,7-7,5$). Hafif REE elementlerce zenginleşen dağılım profilleri, bunların magmatik veya volkanik yaydan türeyen genellikle arkoz ve kısmen de grovak kökenli olduklarına işaret etmektedir. Çoğunlukla pozitif Eu anomalisinin elde edilmesi üst kabuğun orta kısımlarında granitik malzemenin üretimine bağlı bir farklışmanın olduğunu göstermektedir (Mc Lennan, 1989). Granat-biyotit-plajiyoklas gnayslar gibi granat içeriği yüksek gnayslar ise genel olarak yataya yakın REE dağılımları ($La_N/Lu_N = 0,86-7,29$) ve yüksek oranda ağır

REE içerikleri ($\text{Lu}_{\text{N}} = 6-34 \times$ kondrit) ile diğerlerinden ayrılmaktadır. Bunlar daha çok Al'ca zengin şeyl-kum karışımı yarı pelitik bir kökene işaret etmektedirler. Gnays ve şistlerin ağır REE içerikleri granat içerikleri ile orantılı olarak artmaktadır. Granatların ağır REE dağılım katsayıları dasitik ve riyolitik eriyiklerde (10-42), bazaltik ve andezitik eriyiklere (3-11) göre daha yüksektir (Arth, 1976; Irving ve Frey, 1978). Bu nedenle mika ve feldspat içeriği yüksek gnays ve şistler (Örnek No: 483, 485, 486, 488, 490, 491) zenginleşmiş hafif REE ve fakir ağır REE içerikleri ile yay ortamındaki felsik volkanik kayaçlara (dasit, riyolit, granit) benzemektedirler. Granat-biyotit-plajiyoklas gnayslar gibi granat içeriği yüksek gnayslar (Örnek No: 646, 648, 649, 650, 652) ise yüksek ağır REE içerikleri ve yataya yakın dağılım profilleri nedeniyle yay ortamındaki mafik ve ortaç kayaçlara (bazaltik andezit ve andezitler) benzerlik göstermektedir (Henderson, 1984).



Şekil 3.55. Gnays ve şistlerin kondrite göre normalleştirilmiş REE profilleri. (kondrit değerleri; Taylor ve McLennan, 1985' den)

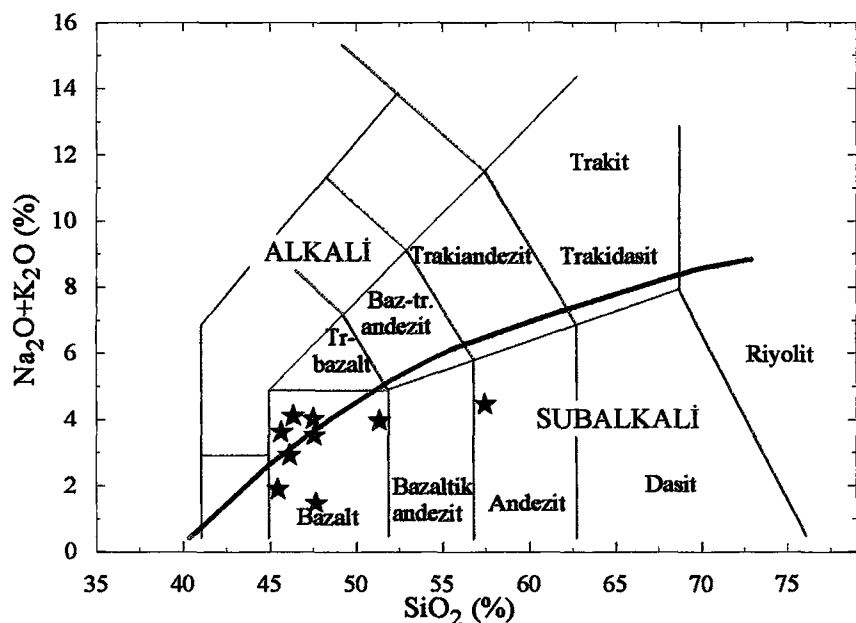
3.3.2.2. Amfibolitler

Karadağ metamorfitleri amfibolitlerinden 9 örnek ana ve iz elementler bakımından analiz edilmişlerdir. Analiz sonuçları ve Niggli parametreleri Çizelge 3.21' de verilmiştir.

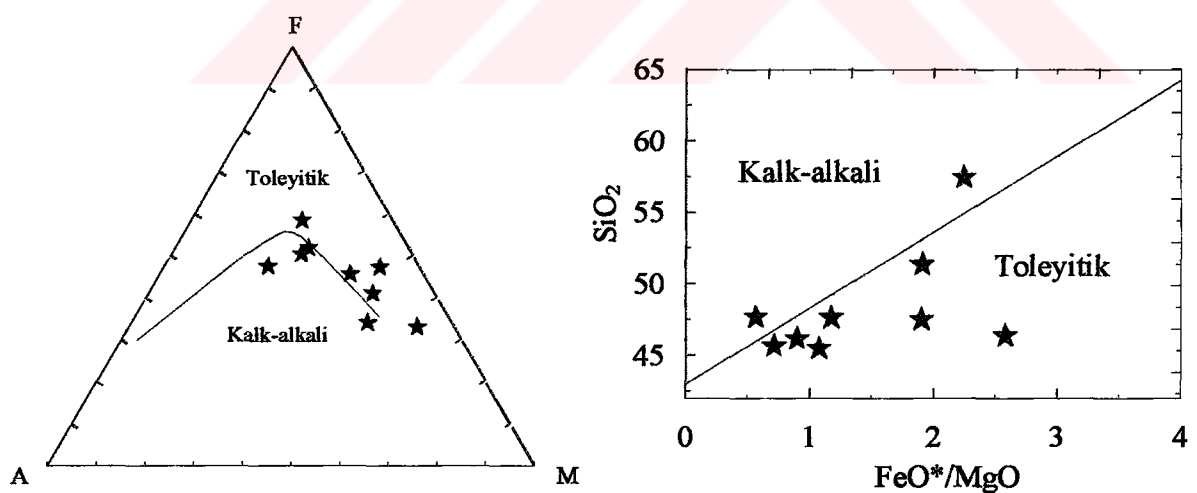
Amfibolitler SiO_2 içerikleri (% 45-51) bakımından çoğunlukla bazaltik bileşime yakındır. Toplam alkali-silis diyagramında andezit alanına düşen bir örnek dışındakilerin

Çizelge 3.21. Karadağ metamorfitleri amfibolitlerinin ana (%) ve iz (ppm) analizleri ile Niggli parametreleri

Örn No	56	59	520	824	832	833	834	835	836
SiO₂	47,63	57,39	47,55	51,3	45,61	46,11	46,3	47,46	45,42
TiO₂	0,19	0,76	1,12	1,05	0,25	0,71	1,29	1,2	0,42
Al₂O₃	19,7	18,53	16,18	17,85	21,28	17,69	14,45	21,56	18,3
FeO	4,53	5,02	2,91	7,01	5,30	6,63	8,42	7,05	8,20
Fe₂O₃	1,56	1,72	7,52	2,77	1,68	2,48	4,22	1,72	2,40
MnO	0,13	0,11	0,14	0,19	0,15	0,17	0,29	0,2	0,2
MgO	10,93	3,01	8,95	5,14	9,93	10,23	4,91	4,63	9,93
CaO	11,46	7,43	8,79	8,54	6,96	9,36	12,05	9,67	10,66
Na₂O	1,3	4,19	2,5	3,25	0,92	1,13	3	3,66	1,46
K₂O	0,14	0,24	0,99	0,67	2,66	1,75	1,07	0,33	0,4
P₂O₅	0,07	0,16	0,08	0,29	0,04	0,06	0,2	0,49	0,05
LOI	2,1	1,3	2,5	1,8	4,3	3,1	3,4	1,8	2,5
Toplam	99,74	99,86	99,23	99,86	99,08	99,42	99,6	99,77	99,94
Sr	339	381	141	343	230	241	300	603	296
Rb	22	16	31	14,03	35	28	21,55	17	19
Ba	279	135	110	159	813	412	220	176	106
Th	1,3	1,13	0,5	1,03	1,35	1,6	1,21	2,1	2,21
Ta	0,08	0,1	50	0,1	0,07	0,05	0,06	0,09	0,06
Nb	3,5	6	10	8	4	3	2,56	2	2,3
Ce	19	25	50	21	15,5	14,2	16,7	18,5	20
Zr	10	61	71	17	10	12	22	153	10
Hf	1,12	0,8	2	0,98	1,4	1,35	1,29	2	2,12
Sm	2,55	2,78	15	2,68	2,22	3,01	2,73	1,55	2,05
Y	7	9	15	12,6	8	20,8	17	11	10
Yb	1,74	1,18	2,8	1,14	1,84	1,62	1,92	1,2	2,3
Cr	290	50	42	50	280	510	20	60	210
Ni	43	16	174	27	52	67	22	41	32
Sc	32	14	32	28	18	37	38	21	28
al	25,12	33,35	21,70	27,37	29,33	23,21	20,23	31,38	23,03
fm	45,40	29,47	49,92	39,50	47,18	49,53	40,56	33,76	49,00
c	26,57	24,31	21,43	23,81	17,44	22,33	30,67	25,59	24,39
alk	2,92	12,87	6,95	9,31	6,05	4,92	8,53	9,28	3,57
al-alk	22,20	20,48	14,75	18,06	23,27	18,29	11,70	22,10	19,47
mg	0,78	0,46	0,61	0,50	0,73	0,69	0,43	0,50	0,64
k	0,07	0,04	0,21	0,12	0,66	0,50	0,19	0,06	0,15
p	0,06	0,21	0,08	0,32	0,04	0,06	0,20	0,51	0,05
ti	0,39	2,18	2,40	2,57	0,55	1,49	2,88	2,79	0,84
si	103,05	175,25	108,20	133,49	106,65	102,67	109,99	117,20	97,00



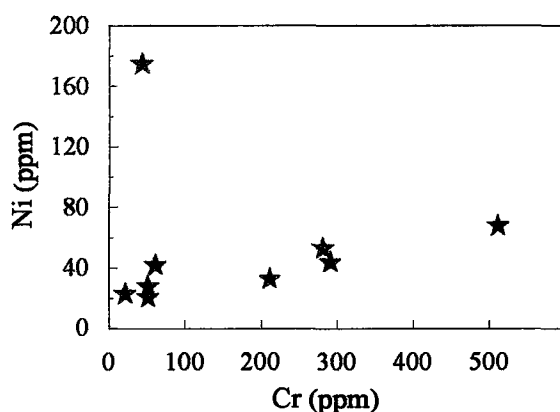
Şekil 3.56. Amfibolitlerin toplam alkali-silis adlandırma diyagramı (Le Maitre ve dig., 1989; subalkali ve alkali alanları Kuno, 1966' dan)



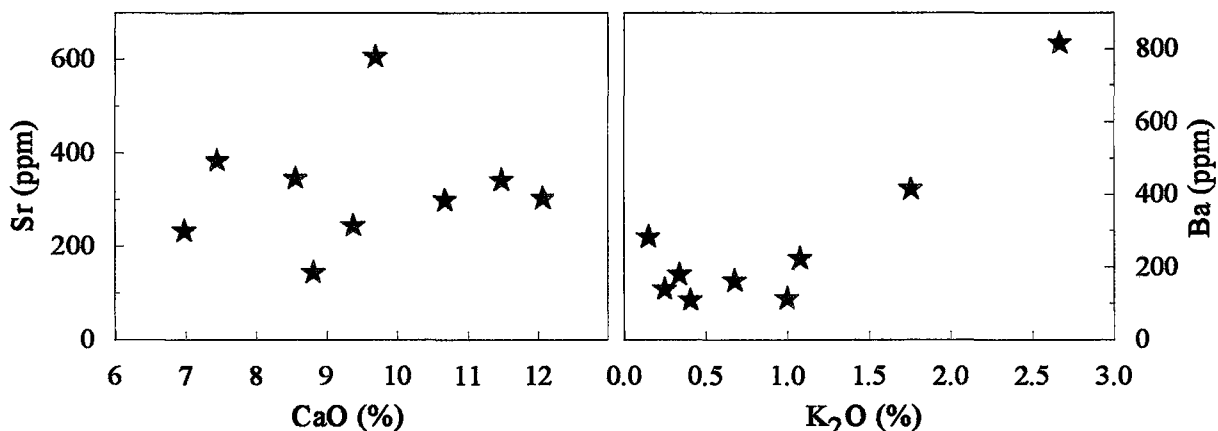
Şekil 3.57. Amfibolitlerin AFM (Irvine ve Baragar, 1971) ve $\text{FeO}^*/\text{MgO}-\text{SiO}_2$ diyagramları (Miyashiro, 1974)

hepsi bazalt alanına düşmektedir (Şekil 3.56). Ancak bu sınıflamada kullanılan elementler yüzeyel alterasyon, hidrotermal alterasyon ve metamorfizma olayları karşısında son derece hareketli davranışlarından hareketsiz elementlerle test edilmesi gereklidir. MgO (% 3- 11) en büyük değişim aralığına sahip ana elementtir. Bu iki ana element bakımından bazik kökenli kayaçlara benzemektedirler. Al_2O_3 ve $Fe_2O_3^*$ içerikleri sırasıyla % 14-21 ve % 6-12 arasında değişmektedir. TiO_2 içerikleri (% 0.2-1.6) düşük, MnO ve P_2O_5 içerikleri de sırasıyla % 0.1-0.3 ve % 0.04-0.29 gibi çok düşük değerlerdedirler. CaO , Na_2O ve K_2O konsantrasyonları sırasıyla % 7-12; % 0.9- 4.2 ve % 0.14-2.66 arasındadır. FeO^*/MgO oranları 0.5-2.6 arasında değişen amfibolitler SiO_2-FeO^*/MgO diyagramında (Şekil 3.57) çoğunlukla toleyitik, AFM diyagramında (Şekil 3.57) ise toleyitik-kalk alkali geçişinde toplanmaktadır (Miyashiro, 1974; Irvine ve Baragar, 1971). Kısmen düşük Mg-numaraları (0.36-0.70) ve Niggli mg değerleri (0.43-0.78) orta ve yüksek değerlerde Fe zenginleşmesine işaret etmektedir.

İz elementlerden Cr, Ni ve Sc içerikleri sırasıyla 20-510 ppm, <20-174 ppm ve 14-38 ppm gibi yüksek değerlerdedir. Bu yönyle Cr, Ni ve Sc içerikleri sırasıyla 2-25 ppm, 53-20 ppm ve <16 ppm gibi oldukça düşük değerlerdeki gnays ve şistlerden ayrırlırlar. Cr ve Ni arasında zayıf da olsa pozitif bir korelasyon vardır (Şekil 3.58). LIL elementlerden Sr ve Ba sırasıyla 141-603 ppm ve 106-813 ppm değerlerindedir ve Ba ile K_2O kuvetli pozitif, Sr ile CaO ise zayıf pozitif ilişkilidir (Şekil 3.59).



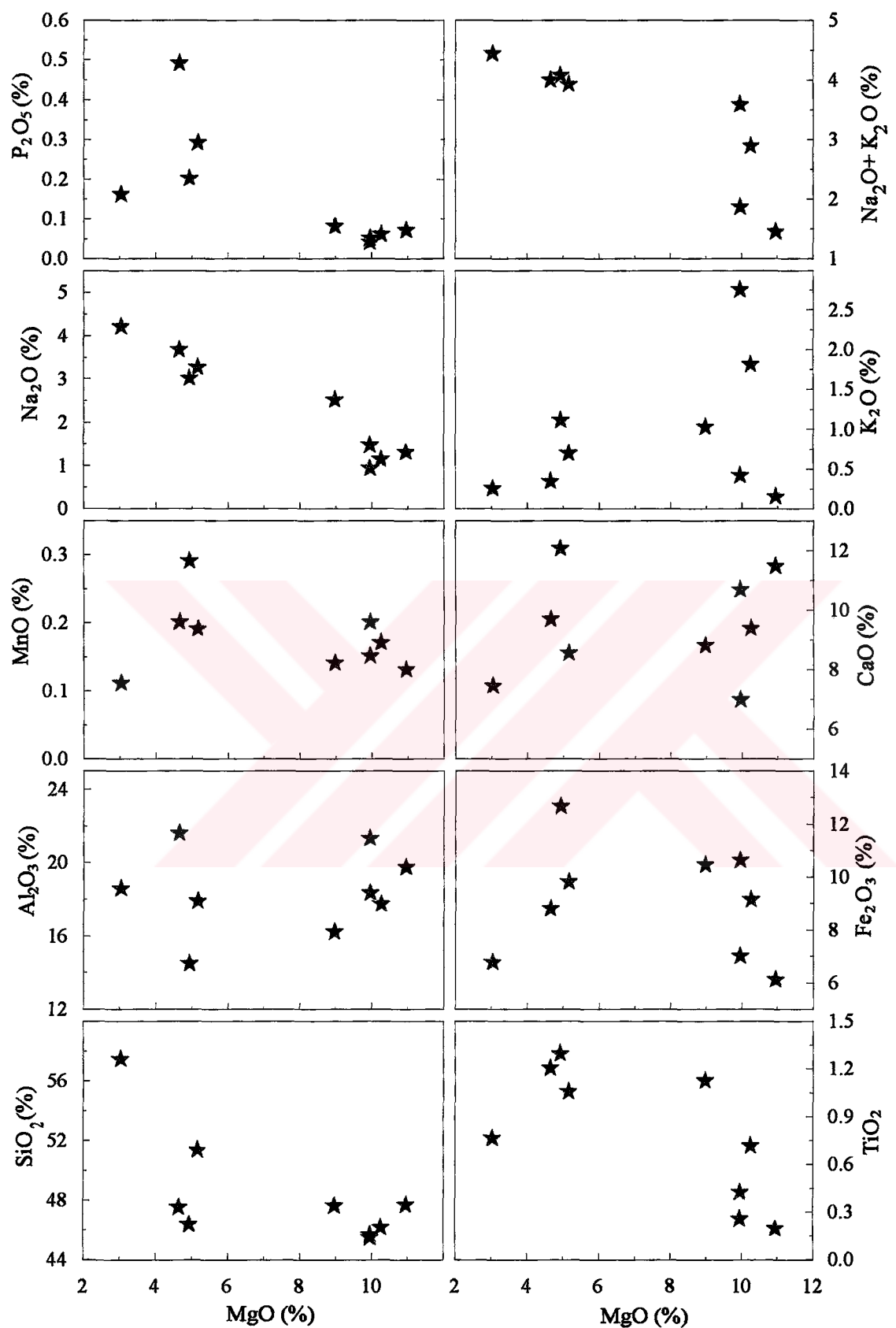
Şekil 3.58. Amfibolitlerin Cr' a karşı Ni değişim diyagramı



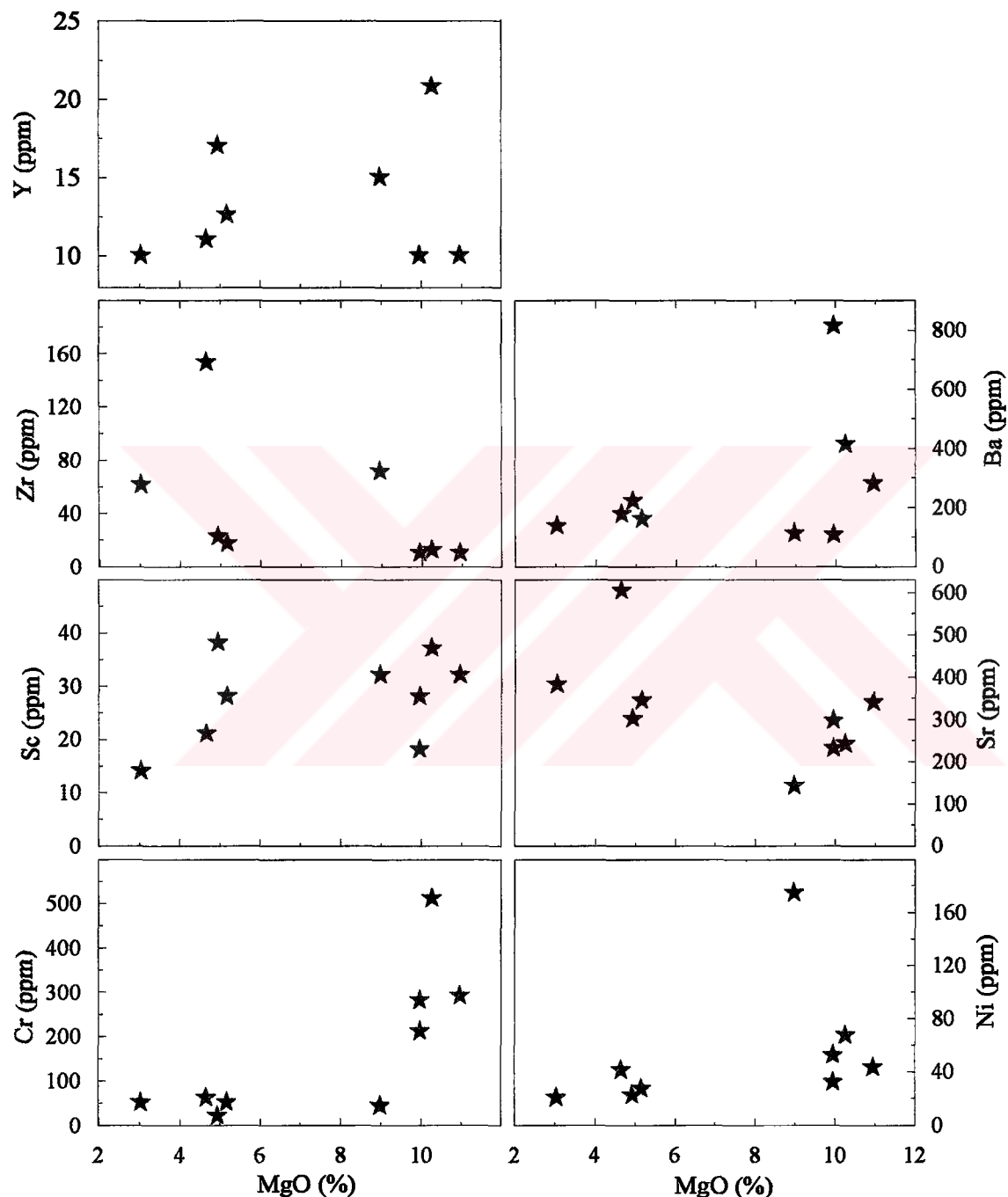
Şekil 3.59. Amfibolitlerin CaO' a karşı Sr ve K₂O' e karşı Ba değişim diyagramları

Bütün örneklerin Nb içerikleri 10 ppm' in altında ve dolayısı ile alt kabuk değerlerine yakındır (6 ppm; Taylor ve McLennan, 1985). Ce, Zr ve Hf içerikleri sırasıyla 21-16 ppm; 10-71 ppm ve 0.98-2 ppm arasındadır ve alt kabuk değerleri ile uyumludur (23 ppm, 70 ppm, 2.1 ppm; Taylor ve McLennan, 1985). Zr/Hh oranları ~17 ve alt kabuk değerinden küçüktür (33.3; Taylor ve McLennan, 1985). Th ve U konsantrasyonları sırasıyla 1-1.2 ppm ile 1.06 ppm lik alt kabuk değerlerine yakındır (Taylor ve McLennan, 1985).

Amfibolitler SiO₂ ve MgO içerikleri bakımından bazik bileşime sahiptir. Bunlarda MgO (% 3.01-10.93) en büyük değişim aralığına sahip ana elementtir. Bu nedenle köken kayaçtaki farklılaşmayı belirlemek amacıyla MgO' e göre değişim diyagramları çizilmiştir. MgO ya karşı SiO₂, TiO₂, Na₂O ve P₂O₅ belirgin negatif ilişkiler göstermelerine karşılık, CaO ve Fe₂O₃* çok kuvvetli pozitif ilişkiler göstermektedir. K₂O' in zayıf pozitif bir ilişki vermesine karşılık, Al₂O₃ ve MnO herhangi bir ilişki vermemektedir (Şekil 3.60). Bu ilişkiler amfibolitlerin ilksel kayaçlarının metamorfizmaya uğramadan önce fraksiyonel kristalleşmeye bağlı olarak farklılaştığını göstermektedir. Örneğin SiO₂ ile MgO arasındaki negatif ilişki klinopiroksen ve hornblend gibi MgO içeren fazların ayrımlaşmasından sonra, arta kalan ergiyinin SiO₂ bakımından zenginleştiğini göstermektedir. CaO'ın MgO' e karşı pozitif korelasyonu da aynı şekilde klinopiroksen, hornblend ve kalsik plajiyoklas ayrımlaşmasına işaret etmektedir. Her üç mineralin birlikte bulunduğu örnekler de MgO ve CaO içerikleri yüksek olmakta ve ayrımlaşmanın ilk ürünlerine karşılık gelmektedirler. Buna karşılık klinopiroksenlerin bulunmadığı, hornblendlerin az plajiyoklasların bol olduğu



Şekil 3.60. Amfibolitlerin MgO ' ya karşı ana oksit değişim diyagramları

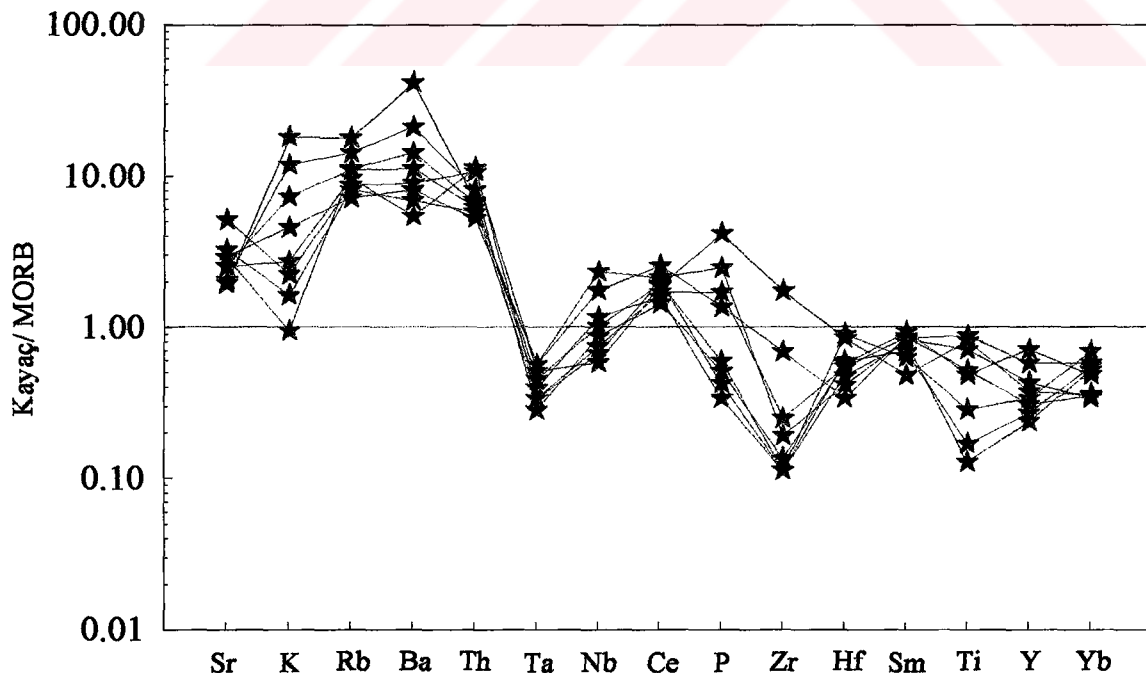


Şekil 3.61. Amfibolitlerin MgO° ya karşı iz element değişim diyagramları

örneklerde ise MgO ve CaO oranları düşmekte ve farklılaşmanın daha sonraki ürünlerine karşılık gelmektedirler.

Benzer ilişkiler iz elementlere karşı yapılan değişim diyagramında da görülmektedir (Şekil 3.61). Cr, Ni, ve Sc' un artan MgO' e karşı pozitif korelasyonları, bu elementlerin klinopiroksenlere bağımlı olduğunu ortaya koymaktadır. Ba ve Y' ise belirgin bir korelasyon vermemektedirler. Buna karşılık MgO ile negatif ilişkili olan Sr ve Zr; klinopiroksenlerin yapısına girmeyip arta kalan eriyikte zenginleşmiş veya plajiyoklasların yapısına girmiştirler.

Amfibolitlerin Okyanus Sırtı Bazaltları (MORB)' na göre normalleştirilmiş uyumsuz element diyagramlarında, Sr' dan Yb' a kadar olan bütün uyumsuz elementlerce zenginleşmiş oldukları görülmektedir (Şekil 3.62). Genellikle MORB değerlerinin altında HFSE oranlarına sahip amfibolitler negatif Nb, Ta ve Ti anomalileri göstermektedirler. Buna karşılık Ce ve bazı P değerlerinde komşu elementlere göre pozitif anomaliler görülmektedir. Sr, K, Rb, Ba, Th gibi büyük iyonik potansiyelli litofil elementler (LILE) MORB a göre ortalama 50 kat daha zenginleşmiştir. Amfibolitlerin MORB değerleri altındaki HFS içerikleri bunların ilksel kayaçlarının MOR bazaltlarının kısmi ergimesi ile



Şekil 3.62. Amfibolitlerin MORB' a göre normalleştirilmiş uyumsuz element dağılım diyagramları (MORB değerleri Pearce, 1983 den).

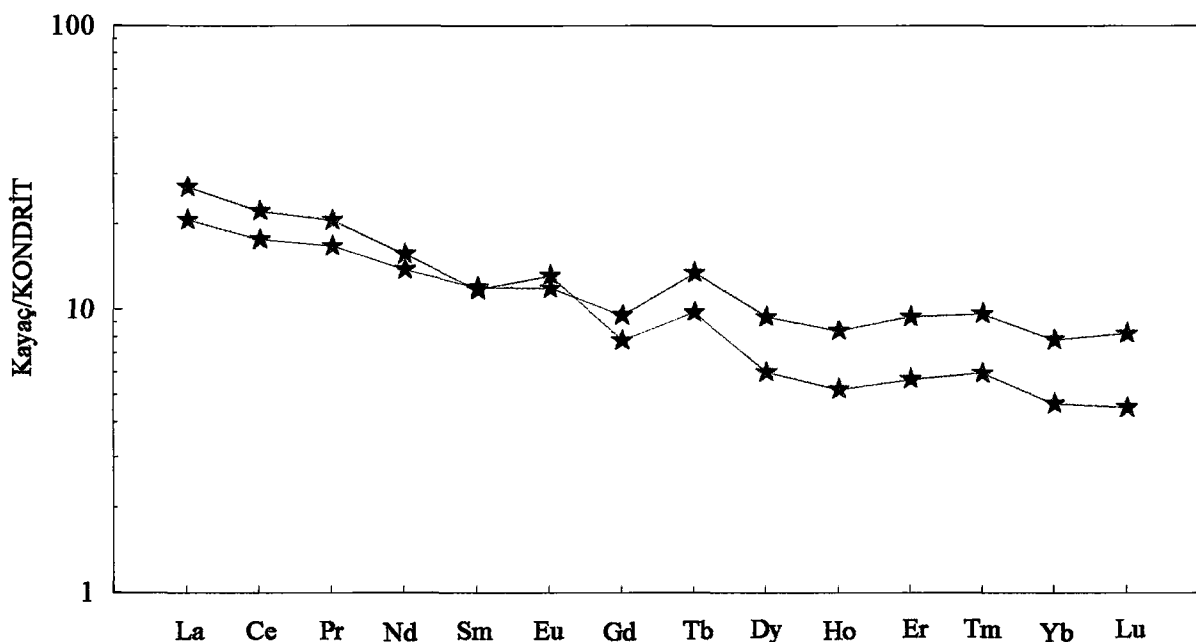
oluşamayacaklarını ve manto kamasından kaynaklanmış olabileceklerini göstermektedir. Buna karşılık LIL element içeriklerinin MORB değerlerinin çok üzerinde zenginleşmiş olması bunların ilksel kayacını oluşturan magmanın gelişiminde alkaliler bakımından zengin tortuları da içeren okyanusal kabuğun katkısına işaret etmektedir.

Amfibolitlerden iki örneğin nadir toprak element analizleri yapılmıştır (Çizelge 3.22). Bunların kondrite göre normalleştirilmiş REE diyagramında hafifçe sağa doğru eğimli bir dağılım sundukları görülmektedir (Şekil 3.63). Bütün REE' ler bakımından orta değerlerde bir farklılaşma ($\text{La}_N/\text{Lu}_N = 2.51-5.98$) ve hafif pozitif Eu ($\text{Eu}_N/\text{Eu}_N^* = 1.10-1.34$) anomalisi göstermektedirler. Hafif nadir toprak element içerikleri bakımından da kendi içlerinde çok küçük oranlarda farklılaşmışlardır ($\text{La}_N/\text{Sm}_N = 1.72-2.30$). Ağır nadir toprak element içeriklerinde ise çok az bir farklılaşma vardır ($\text{Gd}_N/\text{Lu}_N = 1.16-1.72$). Pozitif Eu anomalisi klinopiroksen ve hornblendlerin ayırmalarının ilksel kayacın gelişiminde önemli rol oynadığını göstermektedir (Hanson, 1980). Amfibolitler nadir toprak element dağılımları ve pozitif Eu anomalileri ile yay ortamındaki mafik ve ortaç magmatik kayaçlara benzemektedirler (Henderson 1984).

Çizelge 3.22. Karadağ metamorfitleri amfibolitlerinin nadir toprak element analizleri

	824	834
La	9,8	7,5
Ce	21	16,7
Pr	2,79	2,26
Nd	11,01	9,7
Sm	2,68	2,73
Eu	1,13	1,02
Gd	2,35	2,89
Tb	0,56	0,77
Dy	2,27	3,55
Ho	0,44	0,71
Er	1,4	2,32
Tm	0,21	0,34
Yb	1,14	1,92
Lu	0,17	0,31
(La/Lu)_N	5,9846	2,5116
(La/Sm)_N	2,3016	1,7292
(Gd/Lu)_N	1,7212	1,1608
Eu*	1,5107	1,2513
Eu	8,5977	9,3693

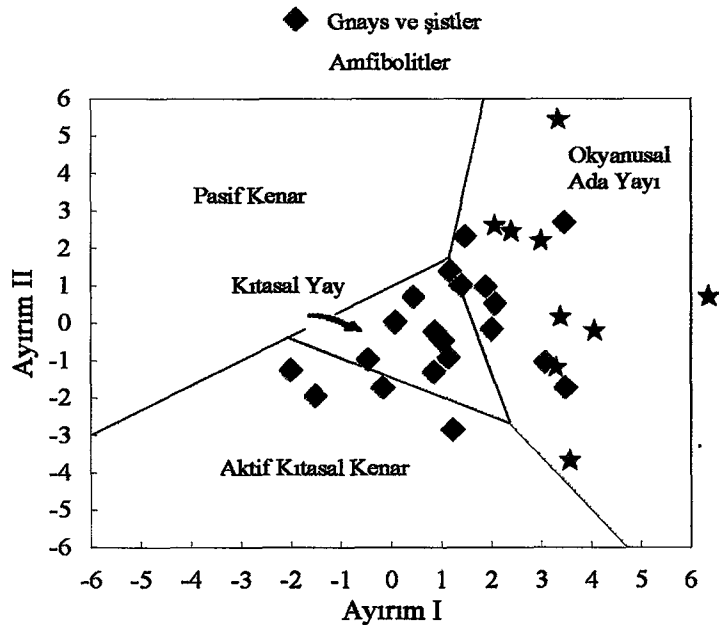
$$\text{Eu}_N^* = (\text{Sm} + \text{Gd})_N / 2, \quad \text{Eu} = \text{Eu}_N / \text{Eu}^*$$



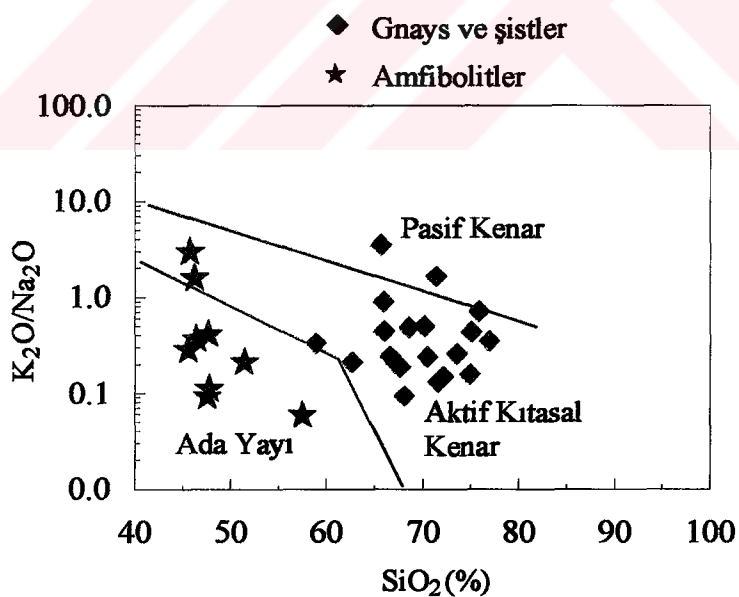
Şekil 3.63. Amfibolitlerin kondrit'e göre normalleştirilmiş nadir toprak element dağılım diyagramı (kondrit değerleri; Taylor ve McLennan, 1985' den)

3.3.2.3. Tektonik Ortam

Karadağ metamorfitleri gnays ve şistlerinin tektonik ortamlarının belirlenmesinde kıırıntılı tortul kayaçlardan özellikle kumtaşları için geliştirilen tektonik ayırım diyagramları kullanılmıştır Bhatia (1983) kumtaşlarının ana element jeokimyasının eski sedimanter havzaların köken tiplerini ve tektonik ortamlarını yorumlamada kullanılabileceğini ileri sürmektedir. 11 ana oksit değerlerini değişken olarak kullanarak Ayırım I ve Ayırım II fonksiyonlarını oluşturmuş ve Doğu Avustralya da önceden tanımlanan beş ayrı kumtaşı alanına uygulamıştır (Şekil 3.64). Karadağ metamorfiterinde standart olmayan fonksiyon katsayıları kullanılarak Ayırım I ve II fonksiyonları oluşturulmuştur. Ayırım I' e karşı Ayırım II değişim diyagramında gnays ve şistler belirli bir alanda toplanmamıştır (Şekil 3.64). Aktif kıtasal kenar ortamına düşen 4 örnek hariç diğerleri kıtasal yay ve okyanusal ada yayı alanlarında yoğunlaşmışlardır. Şekil de görüldüğü gibi gnays ve şistleri okyanusal ada yayın ortamından başlayarak kıtasal yay ve aktif kıtasal kenar ortamlarına geçiş gösteren bir dağılım sunmaktadır.



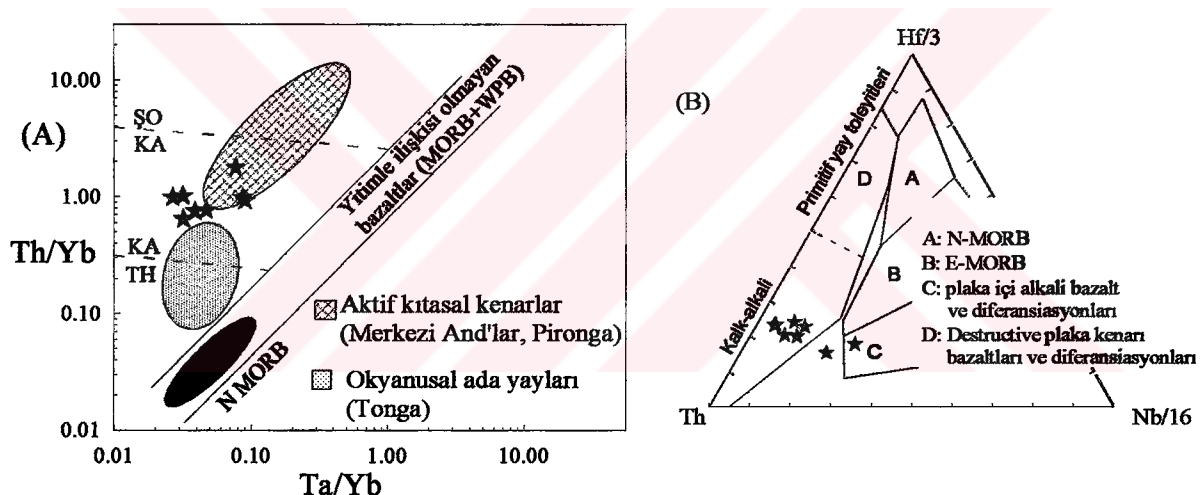
Şekil 3.64. Gnays ve şistlerin Ayırım I' e karşı Ayırım II tektonik diyagramındaki dağılımı (Bhatia, 1983' den).



Şekil 3.65. Gnays ve şistlerin SiO₂' e karşı log (K₂O/Na₂O) diyagramındaki dağılımı (Roser ve Korsch, 1986)

Roser ve Korsch (1986) SiO_2 karşı $\text{Log}(\text{K}_2\text{O}/\text{Na}_2\text{O})$ değerlerini kullanarak pasif kenar, aktif kıtasal kenar ve okyanusal ada yayı alanlarını oluşturmuştur. Karadağ metamorfitlerinin gnays ve şistleri SiO_2' e karşı $\text{Log}(\text{K}_2\text{O}/\text{Na}_2\text{O})$ diyagramında büyük bir çoğunlukla aktif kıtasal kenar tektonik ortamında toplanmışlardır. Üç örnek okyanusal ada yayı ve iki örnek de pasif kenar tektonik ortamlarına geçiş göstermektedir (Şekil 3.65).

Amfibolitlerin tektonik ortamlarının belirlenmesinde volkanikler için geliştirilen bazı tektonik ayırım diyagramlarından yararlanılmıştır (Şekil 3.66). Amfibolitler ile ilgili jeokimyasal veriler yitimle ilişkili bir tektonik ortamı göstermektedir. $\text{Hf}/3$ - Th - $\text{Nb}/16$ diyagramında (Wood, 1980) plaka kenarı kalk-alkali bazalt ve diferansiyasyonları alanında toplanan Amfibolitler, Ta/Yb - Th - Yb diyagramında (Pearce, 1983) yüksek Th/Yb , düşük Ta/Yb oranları ile yitimle ilişkili aktif kıtasal kenar ortamlarında toplanmaktadır.



Şekil 3.66. Karadağ metamorfitleri amfibolitlerinin tektonomagmatik ayırım diyagramlarındaki dağılımı. A)- Pearce, 1983 (SO = şoşonitik; KA = kalk-alkali; TH = toleyitik, MORB = Okyanus ortası bazaltları; WPA = plaka içi alkalileri), B)- Wood, 1980, MORB; N-MORB = normal tip MORB)

3.3.3. Demirkent Plütonu

Demirkent plütonunun gabro, gabro pegmatit ve diyoritlerinin jeokimyasal özelliklerini belirlemek, ofiyolitler ve ada yayları ile ilişkili kümülatlar ve gabrolar ile karşılaştırmalarını yapmak amacıyla kimyasal analizleri yapılmıştır. Ana ve iz element analizleri Çizelge 3.23 de verilmiştir.

3.3.3.1. Ana, İz ve Nadir Toprak Elementler

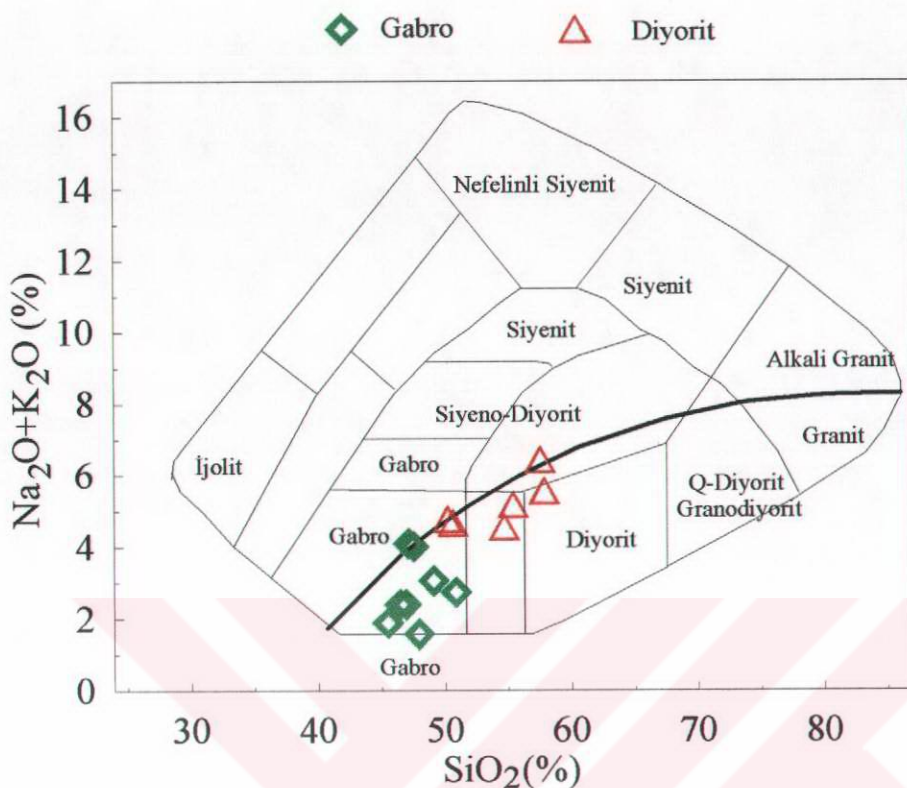
SiO_2 içerikleri % 45- 58 arasında değişen Demirkent plütonu kayaçları, toplam alkali-silis adlandırma diyagramında (Şekil 3.67) gabro ve diyorit alanlarında toplanmaktadır (Cox ve dig., 1979). Genel olarak yüksek Al_2O_3 (% 14.9-22.88) ve orta değerlerde MgO (% 2.9-9.9) içerikleri ile Brophy ve Marsh, (1986)'ın düşük Mg, yüksek Al'lu ($\text{Al}_2\text{O}_3 > \% 15$; $\text{MgO} < \% 10$) yay bazaltlarına benzerler. Na_2O içerikleri % 1.6-5.3 arasında, $\text{Na}_2\text{O} + \text{K}_2\text{O}$ içerikleri ise % 1.5-6.4 arasında değişmektedir. Genellikle düşük K_2O (% 0.1-1.3) içeriklerine sahip Demirkent plütonu kayaçları, $\text{SiO}_2-\text{K}_2\text{O}$ diyagramında (Şekil 3.68) düşük K'lu bazalt ve andezit alanlarına düşmektedirler (Gill, 1981). Bu özellikleri bakımından gabro ve gabro pegmatitler güncel yaylarda yer alan kalk-alkali toleyit geçişindeki düşük K'lu bazaltlara, diyoritleri ise andezitlere benzemektedirler. Volkanik ada yaylarında düşük-orta - K'lu toleyitler ($\text{SiO}_2 = \% 57$ olduğunda $\text{FeO}/\text{MgO} > 2.25$; $\text{K}_2\text{O} 0.4-1.7$) yaygındır (Gill, 1981). Demirkent plütonu gabrolarının FeO^*/MgO oranları 0.5-3.1 arasında, diyoritlerinin ise 1.3-2.8 arasındadır. Farklaşmaya bağlı olarak büyük bir bileşimsel değişim gösteren okyanus ortası sırtlara bağlı gabrolar ve ilişkili kayaçların SiO_2 içerikleri % 54'un altında ve FeO^*/MgO oranları ise 2' den büyütür (Miyashiro, 1974). Demirkent plütonu kayaçları 0.3-0.7 arasında değişen Mg-numaraları ($\text{MgO}/(\text{MgO}+\text{FeO})$) ile orta derecede demir zenginleşmesine sahiptirler. $\text{MgO}/(\text{MgO}+\text{FeO})$ oranları ultramafik kümülatlarda 0.7-0.8 arasında, mafik kümülatlarda ise 0.8-0.2 arasındadır (Coleman, 1977). Gabro, gabro pegmatit ve diyoritler bu özelliklerile ofiyolitlere bağlı mafik kümülatlar ile çok az bir benzerlik gösterirler. $\text{FeO}^*/(\text{FeO}^*+\text{MgO})-\text{SiO}_2$ ve $\text{CaO}-\text{Al}_2\text{O}_3-\text{MgO}$ (Şekil 3.69) diyagramlarında da kısmen mafik kümülat alanında yer almaktadırlar. Ancak Demirkent plütonu kayaçları AFM (Şekil 3.70) ve $\text{SiO}_2-\text{FeO}^*/\text{MgO}$ (Şekil 3.70) diyagramlarında kalk-alkali - toleyitik geçişli yönsemeleriyle, kuvvetli toleyitik yönsemeye sahip mafik ve

Çizelge 3.23. Demirkent plüton kayaçlarının ana (%) ve iz (ppm) element analizleri ile CIPW normları

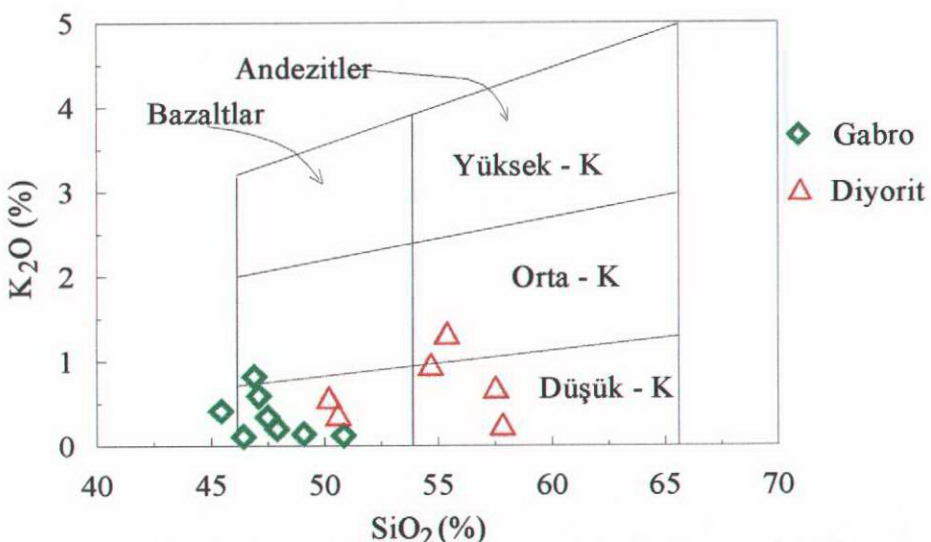
Örn No.	G 499	G 515	G 518	G 607	G 612	G 621	G 625	G 630	G 633	G 635	G 681	G 694	908	909
SiO₂	50,17	57,50	47,07	46,88	46,40	50,57	54,65	55,37	49,06	57,81	50,81	47,89	47,46	45,42
TiO₂	2,34	0,78	2,54	0,22	0,75	2,32	0,72	0,92	0,73	1,61	0,29	0,30	1,20	0,42
Al₂O₃	15,30	17,46	15,92	22,88	20,56	14,90	17,91	18,50	15,71	16,00	19,81	19,91	21,56	18,30
Fe₂O₃*	12,57	5,14	14,38	4,97	7,76	12,57	7,01	7,07	8,62	8,08	5,20	4,80	8,77	10,60
Fe₂O₃	4,70	1,85	5,30	1,80	3,06	4,04	2,61	2,23	2,37	1,66	1,76	1,74	3,63	4,35
FeO	7,87	3,29	9,08	3,17	4,70	8,53	4,40	4,84	6,25	6,42	3,44	3,06	5,14	6,25
MnO	0,20	0,09	0,19	0,08	0,12	0,19	0,17	0,13	0,15	0,13	0,10	0,09	0,20	0,20
MgO	4,00	3,55	4,64	5,79	6,11	4,75	5,34	3,74	8,15	2,87	7,24	9,12	4,63	9,93
CaO	6,78	6,61	8,70	12,97	12,85	7,91	7,62	7,07	11,30	7,51	12,71	15,09	9,67	10,66
Na₂O	4,19	5,73	3,49	1,56	2,28	4,29	3,58	3,84	2,90	5,30	2,60	1,35	3,66	1,46
K₂O	0,56	0,68	0,58	0,81	0,10	0,36	0,95	1,32	0,13	0,24	0,11	0,19	0,33	0,40
P₂O₅	1,42	0,10	0,06	0,04	0,03	0,25	0,10	0,19	0,06	0,23	0,01	0,01	0,49	0,05
LOI	2,20	1,30	1,30	2,90	2,00	1,20	1,80	2,20	3,20	0,70	1,70	1,90	1,80	2,50
Toplam	99,73	98,94	98,87	99,10	98,96	99,31	99,85	100,3	100,0	100,5	100,6	100,6	99,8	99,9
 Sr	225	285	238	377	299	248	240	227	141	207	212	134	603	296
Rb	24	-	15	17	-	22	26	30	-	28	16	12	-	-
Ba	142	279	127	199	29	133	345	273	48	134	35	55	176	106
Th	2,8	-	0,8	0,4	-	2,2	2,1	3,1	-	3,9	1,6	1,9	-	-
Ta	0,1	2	0	0	1,2	0	1	1	1	2	0	0	0,35	0,2
Nb	3,5	7	2,0	1,0	3	5,0	6,0	8,0	4,5	11,0	3,0	1,5	2	2,5
Ce	38	42	13	5	25	42	27	24	35	45	9	3	12	10
Zr	97	110	62	10	12	209	91	120	42	355	43	13	115	6
Hf	3,0	-	2,0	1,0	-	6,0	3,0	3,0	-	8,0	1,0	1,0	-	-
Y	26	25	13	10	10	38	17	21	11	47	10	10	15	7
U	1,2	-	0,3	0,1	-	0,3	0,2	0,2	-	0,15	1,7	0,35	-	-
Cr	10	40	20	250	130	50	190	50	200	20	160	640	60	210
Ni	20	20	20	35	48	41	71	33	50	24	64	103	41	32
Sc	18	13	33	23	24	28	17	25	34	20	35	35	21	28
 Qr	4,59	3,48	-	-	-	0,6	5,42	6,13	-	6,28	-	-	-	-
Or	3,29	4	3,41	4,76	0,59	2,12	5,59	7,76	0,76	1,41	0,65	1,12	1,94	2,35
An	21,27	19,9	26,06	53	45,54	20,32	29,97	29,32	29,44	19,14	42,03	47,67	41,39	42,17
Ab	35,42	48,44	29,51	13,19	19,28	36,27	30,27	32,47	24,52	44,81	21,98	11,41	30,94	12,34
Di	2,63	9,84	13,69	8,83	14,41	14,18	5,76	3,67	21,12	13,8	16,68	21,44	2,74	8,29
Hy	15,73	7,51	9,27	10,45	5,44	13,73	15,59	13,3	8,79	8,27	13,64	7,81	4,9	16,6
Ol	-	-	-	2,96	2,78	5,73	-	-	7,16	-	0,72	6,13	7,32	8,42
Mt	6,83	2,67	7,69	2,6	4,43	5,85	3,78	3,23	3,44	2,41	2,56	2,53	5,27	6,32
İlm	4,55	1,48	4,83	0,42	1,43	4,41	1,37	1,75	1,39	3,06	0,55	0,57	2,28	0,8
Ap	3,06	0,22	0,13	0,09	0,06	0,54	0,22	0,41	0,13	0,5	0,2	0,2	1,05	0,11

* toplam Fe₂O₃

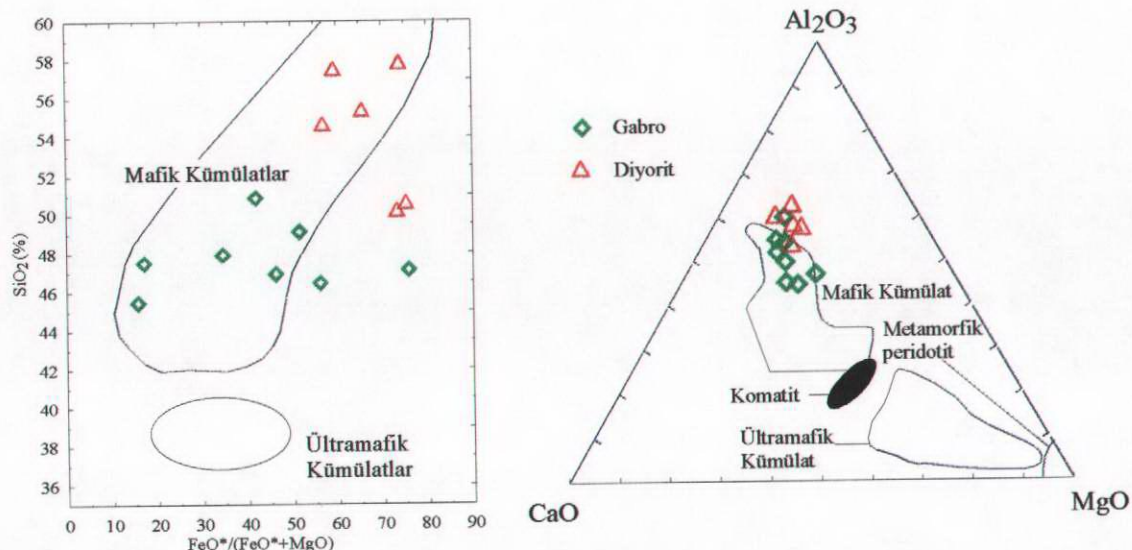
ültramafik kümülatlardan belirgin olarak ayrılırlar (Irvine ve Baragar, 1971; Miyashiro, 1974). MnO içerikleri % < 0.2 dir.



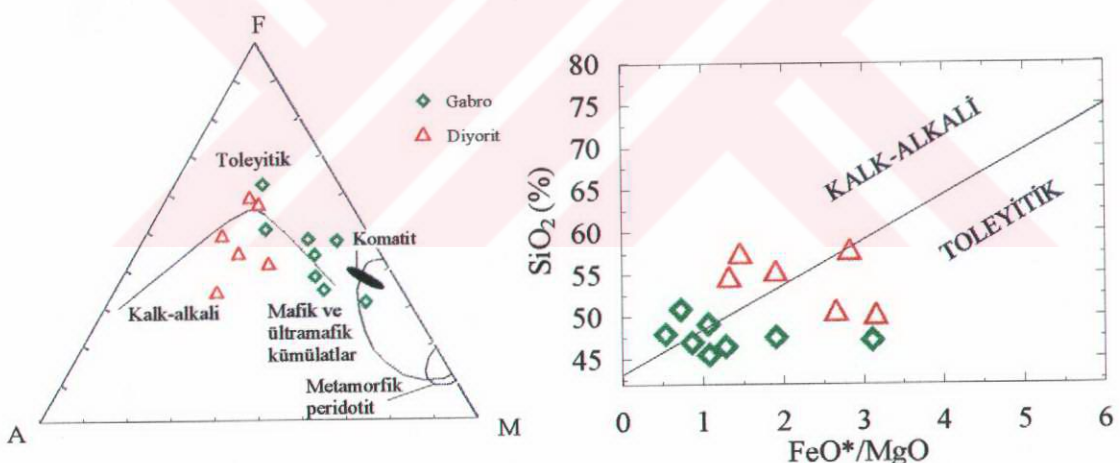
Şekil 3.67. Demirkent plutonu kayaçlarının toplam alkali-silis adlandırma diyagramı (Cox ve dig., 1979). Kalın eğri alkali subalkalı ayrimını göstermektedir



Şekil 3.68. Demirkent plutonu kayaçlarının SiO_2 - K_2O diyagramı (Gill, 1981).

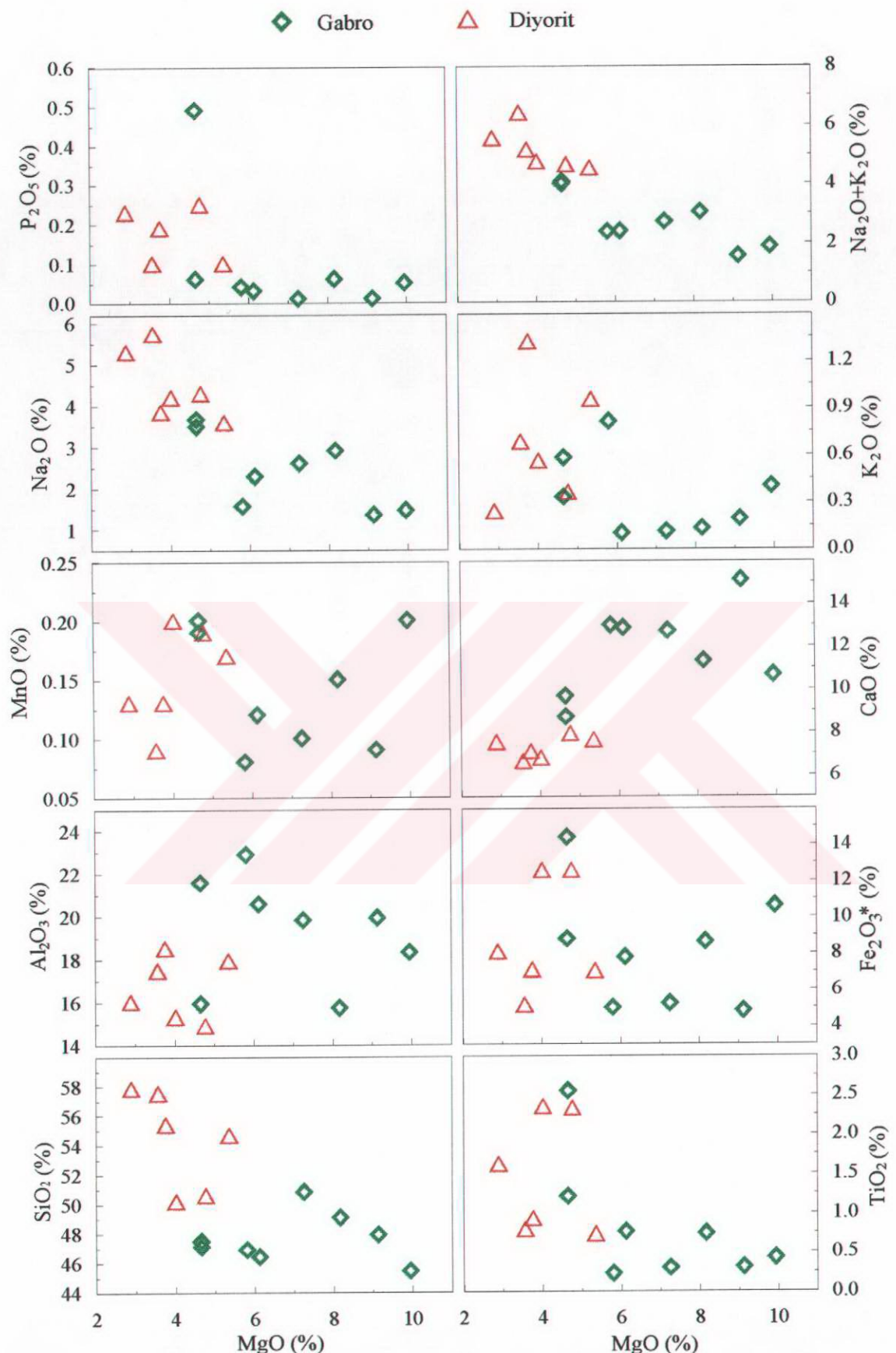


Şekil 3.69. Demirkent plütonu kayaçlarının SiO_2 ye karşı $\text{FeO}^*/(\text{FeO}^*+\text{MgO})$ değişim diyagramı ve Al_2O_3 - CaO - MgO üçgen diyagramında ofiyolitlerle ilişkili ultramafik kümülatlar, mafik kümülatlar ve komatitler ile karşılaştırılması (Coleman, 1977' den).

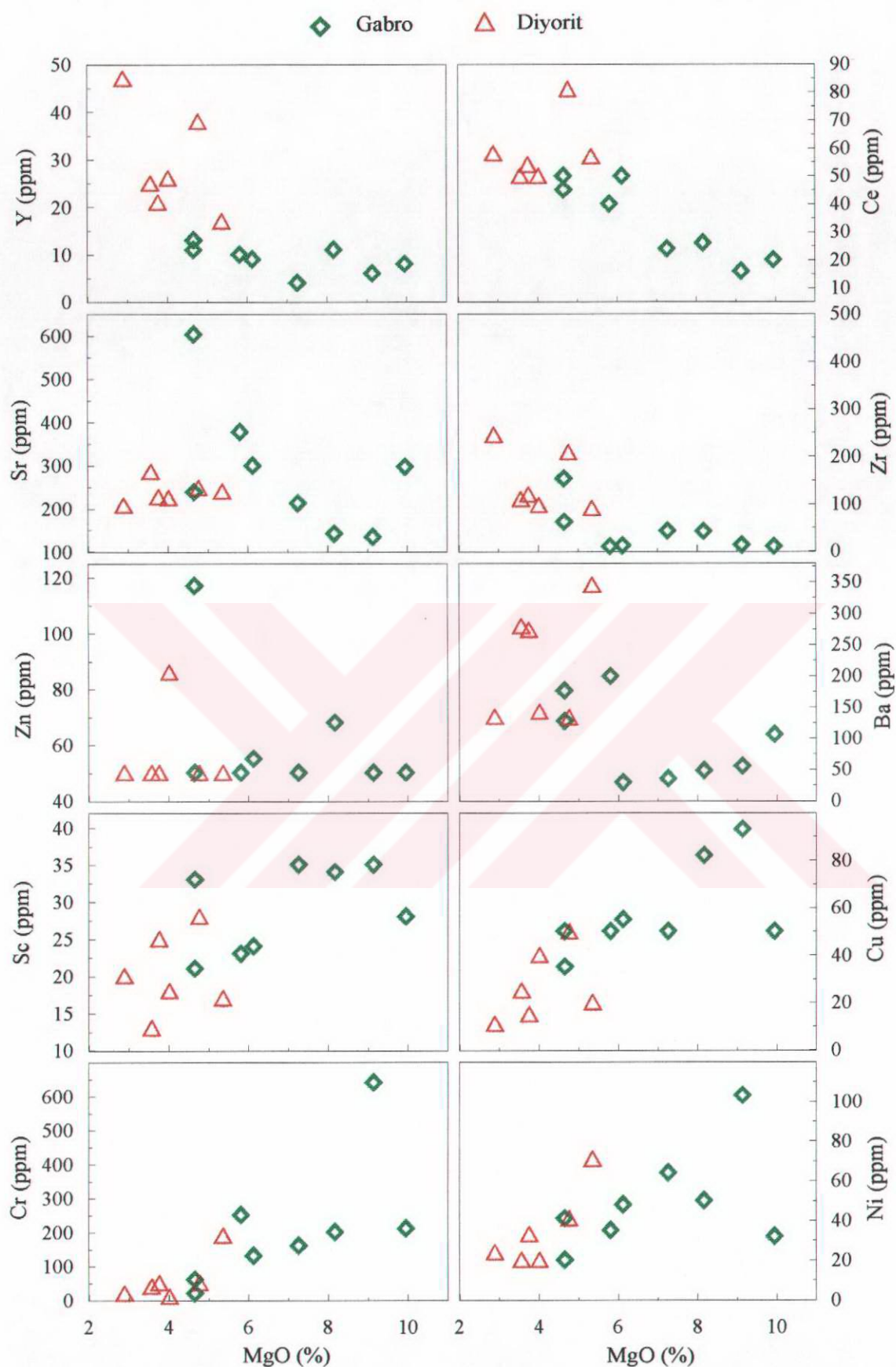


Şekil 3.70. Demirkent plütonu kayaçlarının AFM (Irvine ve Baragar, 1971, Mafik ve ultramafik kümülat, metamorfik peridotit ve komatit alanları Coleman, 1977'den) ve FeO^*/MgO - SiO_2 (Miyashiro, 1974) diyagramları

Şekil 3.71' de MgO karşı ana element değişim diyagramları görülmektedir. Artan MgO' e karşı CaO ve Al_2O_3 belirgin pozitif ilişkiler gösterirken, geriye kalan SiO_2 , TiO_2 , Na_2O , K_2O , MnO , Fe_2O_3^* ve P_2O_5 negatif ilişkiler gösterirler. Bu ilişkiler Demirkent plütonunun kesirli kristalleşme sonucu farklılaşmaya uğradığını göstermektedir. MgO - CaO ve MgO - Al_2O_3 diyagramları, Demirkent plütonunun az farklılaşmış kayaçlarının, Ca ve Al



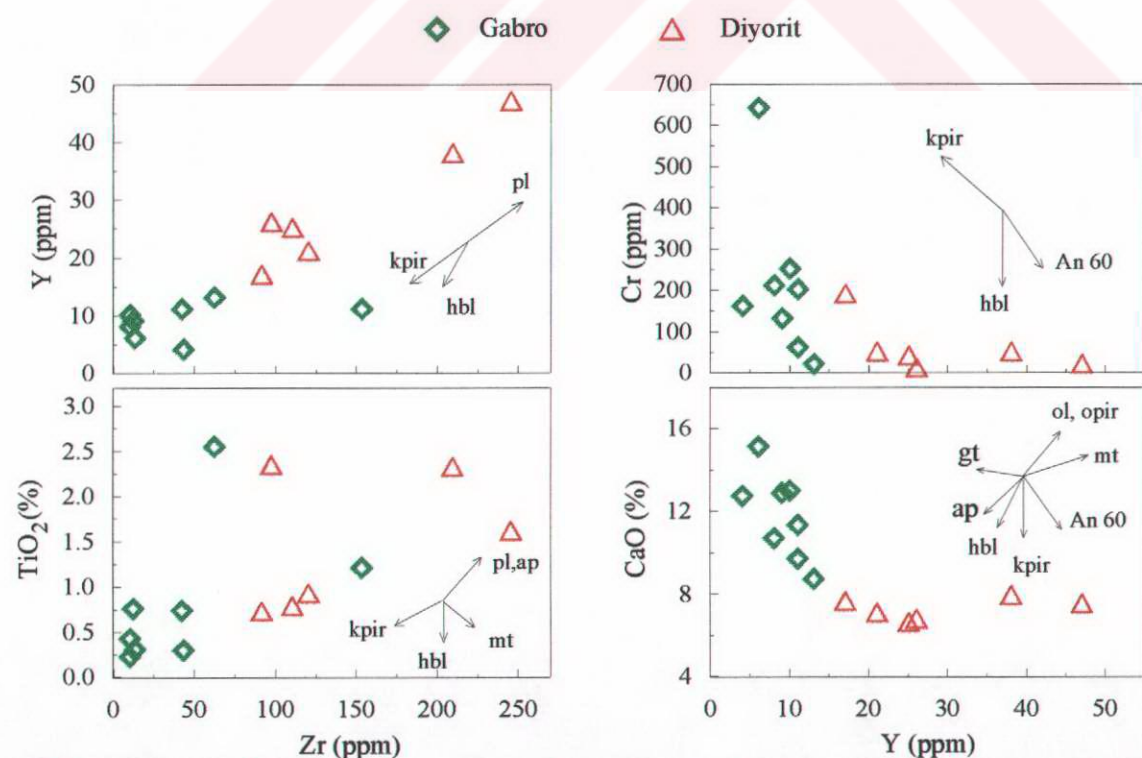
Şekil 3.71. Demirkent plütonu kayaçlarını MgO ' e karşı ana oksit değişim diyagramları



Şekil.3.72. Demirkent plutonu kayaçlarını MgO' e karşı iz element değişim diyagramları

İçeriği yüksek, alkali içerikleri düşük minerallerden oluştuğunu göstermektedir. Nitekim Demirkent plütonunun en az farklılaşan kayaçları yüksek oranlarda MgO (% 9) ve Al₂O₃ (% 20) içeren; klinopiroksen, hornblend ve kalsik plajiyoklas içerikleri yüksek gabrolardır. Kesirli kristalleşmeye bağlı olarak gabro ve gabro pegmatitlerde gözlenen klinopiroksenlerin kristalleşmesinden sonra, geriye kalan eriyiğin alkaliler ve silis bakımından zenginleşmesi sonucu diyorit ve kuvarslı diyoritler oluşmuştur. SiO₂, Na₂O ve K₂O'ın MgO ile negatif ilişkileri de yukarıdaki değerlendirmeyi doğrulamaktadır. MgO-Fe₂O₃* ve MgO-TiO₂ diyagramlarındaki negatif ilişkiler Demirkent plütonu kayaçlarının gelişimi sırasında manyetit, titano-manyetit, rutil ve ilmenit birikimi olduğuna işaret etmektedir. Benzer şekilde MgO-P₂O₅ diyagramındaki negatif ilişki de apatit birikimi olduğu şeklinde yorumlanabilir.

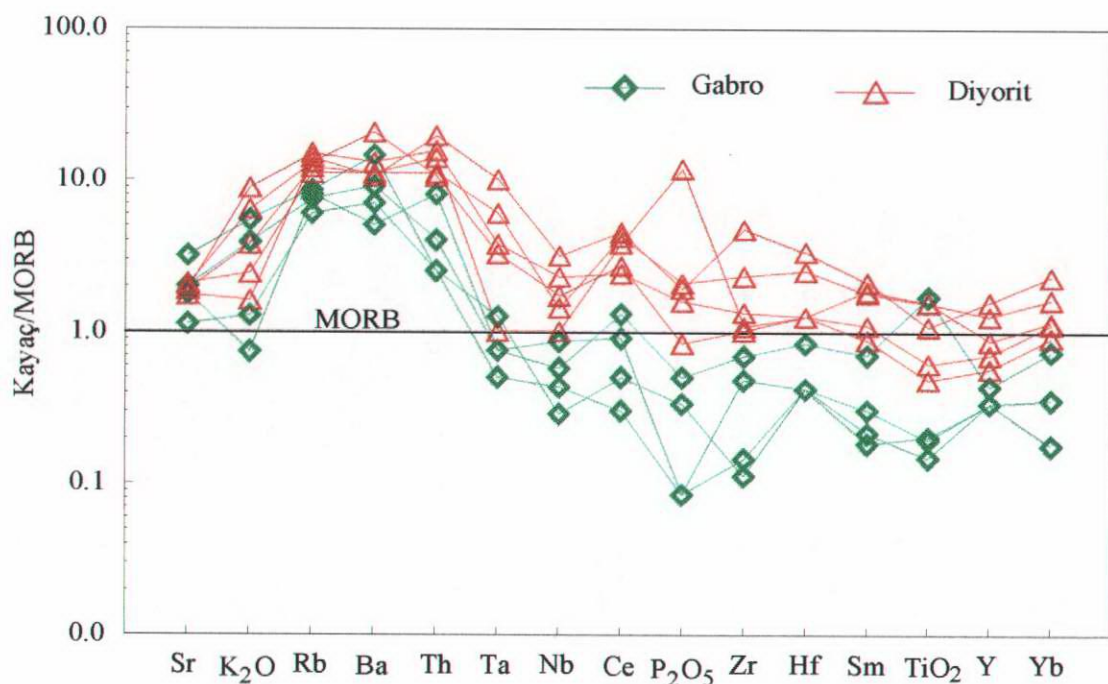
Benzer ilişkiler iz elementlere karşı yapılan değişim diyagramlarında (Şekil 3.72) da görülmektedir. Cr, Ni, Sc ve Cu'ın artan MgO ile pozitif ilişkileri bu elementlerin klinopiroksenlere bağımlılık gösterdiğini ortaya koymaktadır. Buna karşılık Sr, Ba, Ce, Y ve Zr'ın MgO ile negatif ilişkileri; Sr, Ba ve Ce'ın plajiyoklas, Y'un hornblend ve Zr'unda Fe-Ti oksitlerin (ilmenit ve titanomagnetit) yapısına girdiğini ifade etmektedir.



Şekil 3.73. Demirkent plütonunda muhtemel ayrılma yollarını gösteren değişim diyagramları.

Kesirli kristalleşmenin Demirkent plütonu kayaçlarının gelişimindeki rolü Zr' a karşı TiO_2 , Y ve Y' a karşı CaO ve Cr değişim diyagramlarında da görülmektedir (Şekil 3.73). Cr' un spinel ve klinopiroksen; Y' un granat, amfibol ve daha az olarak da klinopiroksen; Zr ve Ti' un ise Fe-Ti oksitlerin (ilmenit ve titano-manyetit) yapısına girdikleri bilinmektedir. Zr-Y, Y-Cr ve Zr- TiO_2 değişim diyagramlarında klinopiroksen, hornblend ve kalsik plajiyoklas ayrımlaşmasının Demirkent plütonu kayaçlarının gelişiminde önemli rol oynadıkları görülmektedir. Y-CaO diyagramında artan Y' a karşı CaO' in L şeklindeki yönemesi klinopiroksen, hornblend ve plajiyoklas (An 60) kontrollü ayrımlaşmalara işaret etmektedir (Lambert ve Holland, 1974).

Demirkent plütonunun Okyanus Ortası Sırtı Bazaltlarına (MORB) göre normalleştirilmiş uyumsuz element diyagramları Şekil 3.74'de verilmiştir. Gabro ve diyoritler genel olarak yüksek LIL, düşük HFS element içerikleri ve yüksek Ba/Nb, Th/Nb Sr/Nb, Sr/Zr gibi LIL/HFS element oranlarına sahiptirler. Plütonun bütün kayaçları Sr' dan Th' a kadar olan LIL elementlerce MORB' a göre ortalama 10 kez zenginleşmişlerdir. HFS elementler bakımından gabrolar MORB' a göre genel olarak tüketilmiş iken, diyoritler kısmen zenginleşmişlerdir. Astenosferin kısmi ergimesi ile oluşan bazatlarda Ba, Nb, Th, Sr gibi elementlerin yüksek miktarları, bunların en fazla zenginleşen elementler oldukları ve zenginleşme derecesinin uyumsuzluk derecesi ile ilişkili olduğunu ortaya koymuştur. Mantodan kaynaklanan bazaltların aksine yitimle ilişkili bazaltlar özellikle Sr, K, Rb, Ba, Th gibi büyük iyonik potansiyelli (LIL) elementler ve hafif nadir toprak elementlerce (LREE) belirgin zenginleşme gösterir (Pearce, 1983). Daha az bahsedilmekle birlikte, kabuksal özümlemede yitimde olduğu gibi LIL element zenginleşmesine sebebiyet verebilir (Pearcy ve diğ., 1990). Yitimle ilişkili kayaçlarda görülen yüksek LIL/HFS oranları, özellikle düşük HFS içerikli kayaçlarda daha iyi gelişme eğilimindedir. Bu bakımından yitimle ilişkili bir çok alanda yay sistemlerine eklenen LIL element miktarlarının göreceli olarak sabit olduğu ve LIL/HFS oranlarındaki değişimin, manto kamasındaki HFS elementlerin yitim öncesi bolluklarına bağlanmaktadır (Le Bel ve diğ., 1985; Arculus ve Powell, 1986; Hawkesworth ve Elam, 1989; Hawkesworth ve diğ., 1991). Demirkent plütonu kayaçları düşük Ta, Nb, Ti ve diğer HFS element içerikleri ile de tipik olarak ada yayı kayaçlarına benzemektedirler.



Şekil 3.74. Demirkent plutonu kayaçlarının MORB' a göre normalleştirilmiş iz element değişim diyagramları (MORB değerleri, Pearce, 1983'den)

Ta ve Nb' un rutilin yapısına girmesi ve okyanus kabuğunun 80-100 km derinliklerinde 750-800 °C de dehidratasyonu sırasında rutilin kalıntı fazda kalması, yaklaşan plaka sınırlarındaki kayaçların düşük Ta, Nb ve Ti içerikli olmasına yol açmaktadır (Tatsumi ve diğ., 1986; Ryerson ve Watson, 1988; Hawkesworth ve Powell, 1980; Green ve Pearson, 1987; Ringwood, 1990).

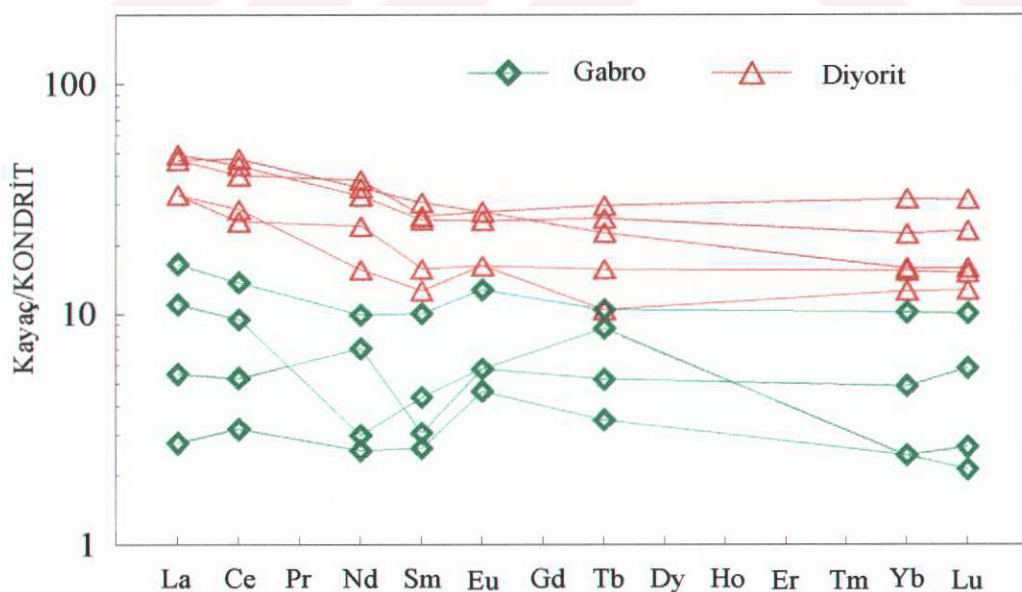
Demirkent plütonu kayaçlarından seçilen örneklerin nadir toprak element (REE) analizleri Çizelge 3.24' de verilmiştir. REE içerikleri bakımından kondrite göre zenginleşen kayaçlar genellikle yataya yakın, kısmen yukarı doğru konkav bir dağılım sunarlar (Şekil 3.75). Bu nedenle ağır ve hafif REE içerikleri bakımından az oranlarda farklılaşmışlardır ($\text{La}_N/\text{Lu}_N = 1.03\text{-}2.94$). Ağır REE yatay bir dağılım gösterirken, hafif REE kendi içlerinde küçük oranlarda farklılaşmışlardır ($\text{La}_N/\text{Sm}_N = 1.04\text{-}2.60$). Gabro ve gabro pegmatitler hafif pozitif Eu ($\text{Sm}_N/\text{Tb}_N = 1.1\text{-}1.5$) anomalisi gösterirken, diyoritlerde Eu anomalisi kaybolmakta ve kısmen de negatif (0.92-0.98) olmaktadır. Pozitif Eu anomalisi gabroların oluşumu sırasında plajiyoklas birikimi olduğu şeklinde yorumlanabilir. Yatay ve kısmen yukarı doğru konkav dağılım profilleri ve pozitif Eu anomalileri; Demirkent p lütonu

Çizelge 3.24. Demirkent plütonu kayaçlarının nadir toprak element (ppm) analizleri

Örn. No.	G-499	G-518	G-607	G-621	G-625	G-630	G-635	G-681	G-694
La	17	6	2	18	12	12	17	4	1,0
Ce	38	13	5	42	27	24	45	9	3,0
Nd	27	7	5	23	11	17	25	2,1	1,8
Sm	6,1	2,3	0,7	5,9	2,9	3,6	7	1	0,6
Eu	2,4	1,1	0,5	2,2	1,4	1,4	2,4	0,5	0,4
Tb	1,3	0,6	0,5	1,5	0,6	0,9	1,7	0,3	0,2
Yb	3,9	2,5	0,6	5,5	3,1	3,8	7,8	1,2	0,6
Lu	0,6	0,38	0,08	0,87	0,48	0,57	1,19	0,22	0,1
(La/Lu) _N	28,33	15,79	25,00	20,69	25,00	21,05	14,29	18,18	10,00
(La/Sm) _N	2,79	2,61	2,86	3,05	4,14	3,33	2,43	4,00	1,67
(La/Yb) _N	4,36	2,40	3,33	3,27	3,87	3,16	2,18	3,33	1,67
Eu*	3,70	1,45	0,60	3,70	1,75	2,25	4,35	0,65	0,40
Eu	0,65	0,76	0,83	0,59	0,80	0,62	0,55	0,77	1,00

$$\text{Eu}^* = (\text{Sm} + \text{Tb})_N / 2, \quad \text{Eu} = \text{Eu}_N / \text{Eu}^*$$

kayaçlarının gelişiminde klinopiroksen, hornblend ve kısmen de plajiyoklas ayrılmamasının önemli rol oynadığına işaret etmektedir (Hanson, 1980). Gabro ve diyoritler birbirine paralel, yatay ve hafifçe yukarı doğru konkav REE dağılım profilleri ile Gill (1981)'in düşük K'lu orojenik andezitlerine benzemektedirler (Şekil 3.75). Artan SiO₂ veya azalan MgO



Şekil 3.75. Demirkent plutonu kayaçlarının kondrite göre normalleştirilmiş REE diyagramı (kondrit değerleri; Taylor ve McLennan, 1985' den)

İçeriğine bağlı olarak Demirkent plütonu kayaçlarının REE içerikleri de artmaktadır. Bütün kayaçlar REE bakımından kondrite göre 3-60 arasında değişen oranlarda zenginleşmişlerdir. Bu değişim aralığı ile kondrite göre çok az oranlarda zenginleşme gösteren ofiyolitlere bağlı mafik kümülatlar ve gabrolardan ayrılmaktadır (ortalama 0.8 x kondrit; 1.2 x kondrit; Coleman, 1977).

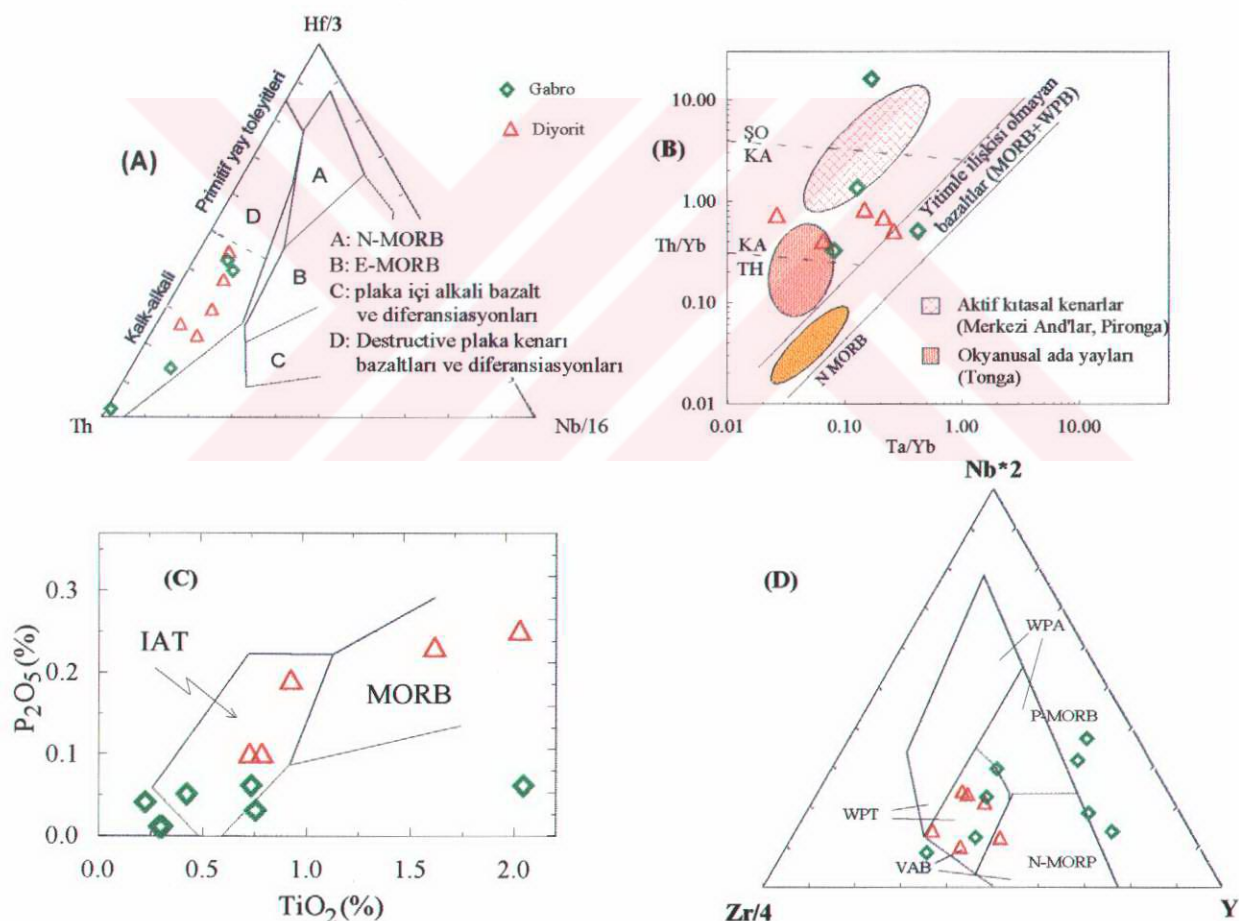
3.3.3.2. Tektonik Ortam

Gabroyik Demirkent plütonu ile ilgili jeokimyasal veriler yitimle ilişkili bir tektonik ortamı göstermektedir. Hf/3-Th-Nb/16 diyagramı bazaltların yanında nötr ve felsik volkaniklere de uygulanabilen bir diyagramdır (Wood, 1980). Demirkent plütonu kayaçları bu diyagramda plaka kenarı kalk-alkali bazalt ve diferansiyasyonları alanında toplanmaktadır (Şekil 3.76 A). Ta/Yb-Th/Yb diyagramında kullanılan hareketsiz elementler farklılaşma olayları sırasında değişseler bile, oransal değerleri sabit kaldığından bazik, nötr ve asidik magmatik kayaçlar için kullanılabilir (Pearce, 1982). Demirkent plütonu kayaçları yüksek Th/Yb, düşük Ta/Yb oranları nedeniyle diyagramda yitimle ilişkili okyanusal ada yayı ve aktif kıtasal kenar ortamlarında toplanmaktadır (Şekil 3.76 B). Gabro ve diyoritler TiO₂-P₂O₅ (Hawkins, 1980) diyagramında genellikle ada yayı toleyitleri (AIT) alanına düşerler (Şekil 3.76 C). P₂O₅ içeriği çok yüksek iki örnek diyagramın sınırları dışına çıktıığı için diyagramda gösterilmemiştir. Bu örneklerin (Örnek No. 499, 518) modal olarak diğerlerine göre oldukça yüksek (% 1.5) oranlarda apatit içerdikleri belirlenmiştir (Bkz. Çizelge 3.16). Nb₂O₅ - Zr/4 - Y (Meschede, 1986) diyagramında ise, alanların dışına düşen 4 örnek dışında, örneklerin volkanik yay bazaltları (VAB) ve plaka içi toleyitleri (WPT) alanında toplandıkları görülmektedir (Şekil 3.76 D).

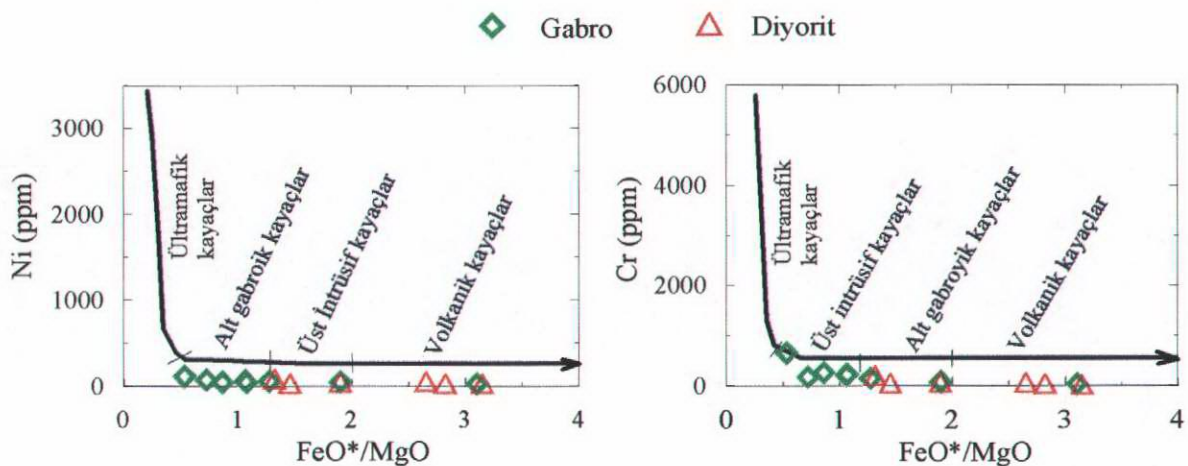
Ada yaylarında gözlenen mafik kayaçlar diferansiyasyona bağlı olarak alttan üste doğru genellikle (1) ültramafik kümülatlar, (2) alt gabroik kayaçlar, (3) üst gabroik-diyoritik-tonalitik kayaçlar ve (4) volkanik kayaçlar şeklinde bir istiflenme göstermektedirler. Ancak kıtasal yaylarda benzeri bir istiflenme olabilmekle birlikte kesin değildir (Talkeetna ada yayı, DeBari ve Sleep, 1991). Demirkent plütonu çoğunlukla gnays ve sistlerden meydana gelen

Karadağ metamorfitlerini kestiğine göre bir ilksel ada yayından daha çok Paleozoik yaşı bir kıtasal yay' a ait olmalıdır. Bu bakımdan aynı istiflenmeyi görmeyebiliriz. Bununla birlikte Demirkent plütonunu bu stratigrafiye uyarladığımızda; gabro, gabro pegmatit, diyorit ve kuvarslı diyorit şeklindeki stratigrafik dizilimi ile bunlardan ikinci ve daha çok üçüncü sıradakine uyduğu görülmektedir. Stratigrafide dördüncü sırada yer alan volkaniklere Demirkent plütonunda rastlanmamaktadır. Bir ve ikinci sıradaki ultramafik ve gabroik kayaçlar muhtemelen Demirkent plütonunun kök kısımlarında olabilir.

Kimyasal farklılaşmayı, uyumlu elementlerden Cr ve Ni' e karşı FeO^*/MgO diyagramında da gayet açık olarak görmek mümkündür (Şekil 3.77). Diyagramda Talkeetna ada yayındaki bütün kayaçların Cr ve Ni yönsemesi ile birlikte Demirkent plütonu



Şekil 3.76. Demirkent plütonu kayaçlarının tektonomagmatik ayırım diyagramları. A)-Wood, 1980, B)- Pearce, 1982 (ŞO = şoşonitik; KA = kalk-alkali; TH = toleyitik, MORB = Okyanus ortası bazaltları; WPA = plaka içi alkalileri), C)- Meschede, 1986 (VAB = volkanik yay bazaltları; WPT = plaka içi toleyitleri; WPA = plaka içi alkalileri; P-MORB = Plume tip MORB; N-MORB = normal tip MORB), D)- Hawkins, 1980 (IAT = ada yayı toleyitleri; MORB = okyanus ortası sırtı bazaltları).



Şekil 3.77. Demirkent pütönu kayaçlarının FeO^*/MgO ya karşı Ni ve Cr değişim diyagramları. Kimyasal farklılaşma eğrisi Talkeetna (Alaska) ada yayına aittir (DeBari ve Sleep, 1991).

kayaçlarının Cr ve Ni değişimleri görülmektedir. Diyagramdan da görüldüğü gibi Demirkent plütonu'nun gabro, gabro pegmatit ve diyoritleri, Cr ve Ni içerikleri bakımından Talkeetna ada yayındaki alt gabroyik kayaçlar ve üst gabroyik, diyoritik kayaçlar ile benzerdir.

3.3.3.3. Petrojenez

Ada yaylarında mantodan gelerek kabuğa eklenen kütlenin kimyasal bileşiminin belirlenmesi petrolojik literatürde çok tartışılan konulardan biri olmuştur (Green ve Ringwood, 1968; Jakes ve Gill, 1970; Gill, 1981; Kay, 1980; Brophy and Marsh, 1986). Yay petrojenezi ile ilgili ilk modellerde ada yaylarına özgü birincil magmaların andezitik olduğu ve yiten okyanus dilimindeki bazaltik okyanus kabuğunun tekrar ergimesinden kaynaklandığı ileri sürülmekteydi (Green ve Ringwood, 1968). Buna rağmen günümüzde ada yaylarına özgü magmaların daha çok yiten okyanus diliminin dehidratasyonıyla üsteki manto kamasının ergimesinden kaynaklandığı ve bazaltik bileşimde olduğu görüşü yaygındır (Arculus ve Johnson, 1978; Kay, 1980; Gill, 1981; Anderson, 1982; Leeman, 1983; Nye ve Reid, 1986). Manto peridotitleri ile aynı bileşime sahip birincil magmalarda $\text{Mg}/(\text{Mg}+\text{Fe}) > 0,67$, $\text{Ni} > 200 \text{ ppm}$ dir (Gill, 1981, Tatsumi ve diğ., 1983; Ramsay ve diğ., 1984). Bununla birlikte yitimle ilişkili bu tür magmalar ada yaylarında son derece azdır. Bu bakımından DeBari ve Sleep (1991) mantonun kısmi ergimesi modeline göre ada yaylarında meydana gelen

lavların kompleks bir farklılaşma süreci geçirdiğini ve yay magmatizmasını temsil etmediklerini ileri sürmektedirler. Manto peridotitleri ile dengeli ilksel magma ların ada yaylarında çok nadir oluşu, düşük Mg- yüksek Al' lu bazaltların ada yaylarının ilksel magması olduğu ve okyanus kabuğunun kısmı ergimesinden kaynaklandığı gibi alternatif görüşün doğmasına yol açmıştır (Marsh ve Carmichael, 1974; Myers ve dig., 1986; Brophy ve Marsh, 1986). Myers (1988), ada yaylarında nadir olarak bulunan yüksek Mg toleyitlerin yüksek Al' lu bazaltların peridotit özümlemesi ile oluştuğunu ileri sürmektedir.

Demirkent plütonu kayaçlarının mafik bileşen oranları yüksek ($MgO > \% 10$, $Cr = 723$ ppm, $Ni = 247$ ppm) ve Al_2O_3 oranı düşük (% <15) gabroyik kayaçlar, manto kamاسının kısmı ergimesi ile oluşmuş olmalıdır. Bu oranlar manto hazburjİtleri ile dengede olabilecek kadar yüksek oranlarda mafik, yiten okyanus diliminin kısmı ergimesinden oluşmuş olamayacak kadar da Al bakımından fakirdirler (DeBari ve Sleep, 1991). Demirkent plütonunun az ayırmış bazı gabroları (633, 694, 909) mantonun kısmı ergimesinden oluşmuş olabilecek kadar yüksek mafik bileşen (Örnek No. 694; $MgO = \% 9.12$; $Cr = 640$ ppm; $Ni = 103$ ppm) oranlarına sahiptirler. Diyoritlere doğru gidildikçe mafik bileşen içerikleri azalmaktadır. Az farklılaşmış gabroların mafik bileşen oranları, manto kamاسının kısmı ergimesi ile oluşmuş bir magmadan itibaren oluşabileceklerini göstermektedir. Daha fazla farklılaşmış bazı gabro ve diyoritler ise bu magmadan itibaren kesirli kristallenme ile oluşabilir. Nitekim değişim diyagramları ve REE dağılımları diyoritlerin az farklılaşmış gabrolardan itibaren kesirli kristallenme ile oluşuklarına işaret etmektedir. Ancak Demirkent plütonu kayaçlarının mafik bileşen içerikleri ile Al_2O_3 içerikleri arasında negatif bir ilişki vardır. Az ayırmış kayaçlar direk manto hazburjİtlerinin kısmı ergimesi ile oluşamayacak kadar yüksek Al_2O_3 (% 18-22) içeriğine sahiptirler. Bu değerler Demirkent plütonunun oluşumunda yiten okyanus kabuğunun kısmı ergimesi ile oluşmuş eriyiklerin katmasına işaret etmektedir. MORB' a göre normalleştirilmiş uyumsuz element dağılımlarında görülen yüksek LILE içerikleri de okyanus kabuğunun kısmı ergimesi ile oluşan eriyiklerin ana magmanın oluşumuna katkıda bulunduğuuna işaret etmektedir (Pearce, 1983). Sonuç olarak Demirkent plütonu kayaçlarının yiten okyanus kabuğundan türeyen eriyiklerle metasomatize olmuş manto kamاسının kısmı ergimesi ile oluşan bir ana magmadan itibaren kesirli kristallenme ve assimilasyon gibi farklılaşma olayları sonucunda oluştuğu söylenebilir.

3.3.4. Sebzeciler Granitoyidi

Sebzeciler granitoyidinin kimyasal özelliklerini belirlemek amacıyla 17 örneğin ana ve iz, 11 örneğin de nadir toprak element analizleri yapılmıştır. Ana ve iz element analizleri ile CIPW parametreleri Çizelge 3.25' de, nadir toprak element analizleri de Çizelge 3.26' da verilmiştir.

3..3.4.1. Ana, İz ve Nadir Toprak Elementler

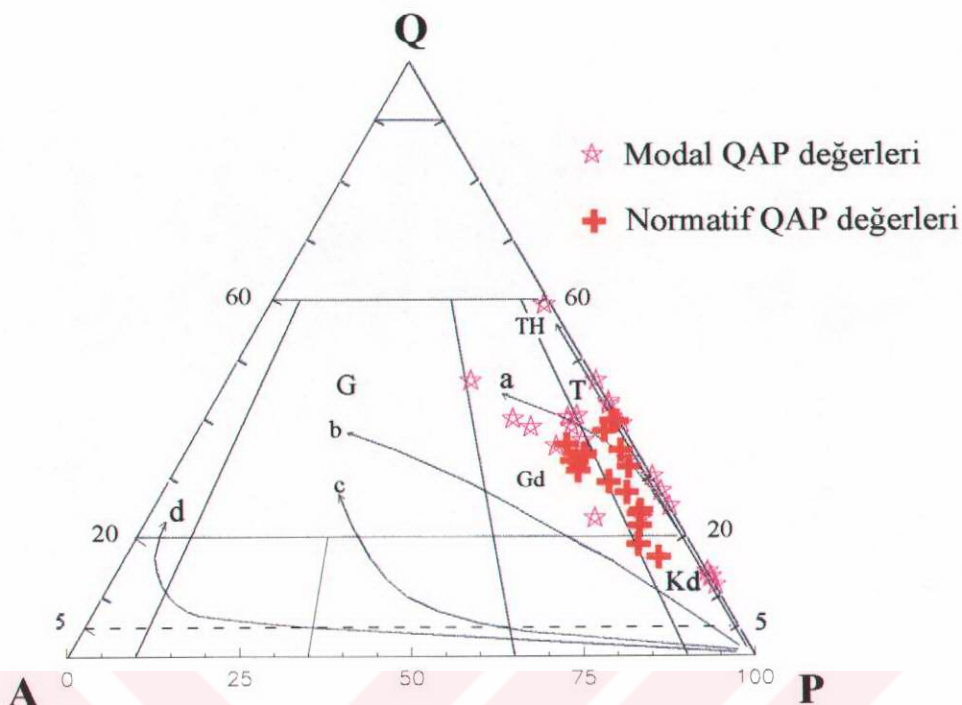
Sebzeciler granitoyidi normatif Q-A-P (Le Maitre, 1989) diyagramında, modal Q-A-P (Streckeisen, 1976) diyagramında olduğu gibi, kuvarslı diyoritten granodiyorite kadar değişen düşük K'lu kalk-alkali tronjemitik yönsemeye sahiptir (Şekil 3.78). Debon Le Fort (1983)'un multikatyonik kimyasal adlandırma diyagramlarında ise bir örnek kuvarslı diyorit, diğerleri tonalit alanında toplanmaktadır (Şekil 3.79). Ancak IUGS' nin 1976 yılındaki sınıflamasında plajiyoklas olarak oligoklas veya andezin içeren loko-tonalitler tronjemit olarak tanımlanmışlardır (Streckeisen, 1976). Bu bakımından petrografi kısmında da belirtildiği gibi tonalit alanına düşen örneklerin büyük çoğunluğu renk indisleri 10' dan düşük olduğundan trondjemit bileşimindedirler.

Sebzeciler granitoyidi kayaçları Debon Le Fort (1983)' un A-B karakteristik mineral diyagramında kafemik ve kısmen de alumina kafemik bir yönseme göstermektedir (Şekil 3.80). Tonalit ve kuvarslı diyoritler kafemik trendin biyotit ve hornblend bakımından zengin başlangıç kısmına yakın toplanırken, tronjemitler biyotitce zengin kafemik ve kısmen de alumina kafemik kısımda toplanmaktadır. Biyotit ve hornblend içeriği yüksek olan tonalitler metalümin alanda; biyotit içeriği yüksek, hornblend içeriği düşük olan tronjemitler ise metalümin-peralümin geçişinde yer alırlar.

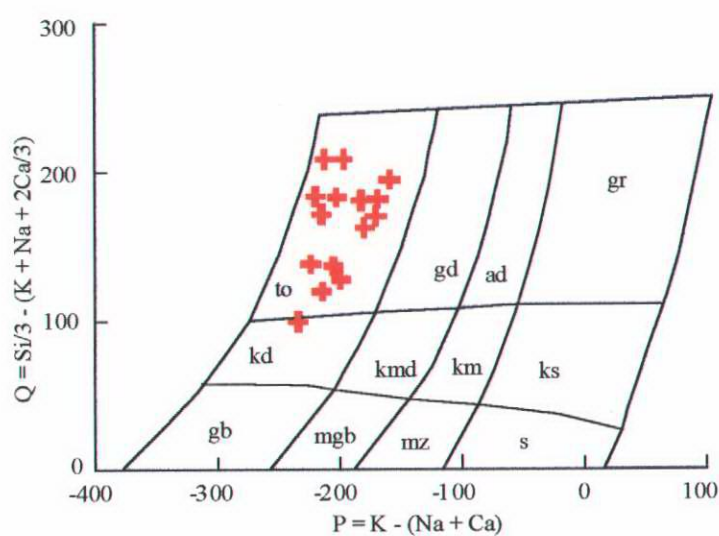
Çizelge 3.25. Sebzeciler granitoyidi kayaçlarının ana (%) ve iz (ppm) element analizleri ile CIPW normları

Ör. No.	420	502	614	615	619	620	622	631	653	654	655	677	678	689	691
SiO₂	73,59	75,72	70,69	70,85	72,86	72,17	67,95	69,97	60,73	61,01	60,94	72,84	69,7	63,55	58,52
TiO₂	0,29	0,13	0,37	0,36	0,33	0,3	0,4	0,39	0,66	0,67	0,61	0,2	0,34	0,5	0,72
Al₂O₃	12,95	12,44	14,37	14,08	13,65	13,84	14,07	14,29	16,75	17,1	17,01	13,78	14,82	16,17	19,72
Fe₂O₃ *	3,58	2,97	3,26	3,26	3,24	2,67	3,25	3,59	6,8	6,54	6,65	2,12	3,21	6,17	5,82
Fe₂O₃	1,47	0,95	0,33	0,94	0,77	0,72	1,04	0,93	2,64	2,46	2,75	0,51	0,64	2,34	2,21
FeO	2,11	2,02	2,93	2,32	2,47	1,95	2,21	2,66	4,16	4,08	3,9	1,61	2,57	3,83	3,61
MnO	0,04	0,04	0,06	0,1	0,05	0,09	0,07	0,08	0,14	0,16	0,16	0,06	0,07	0,11	0,12
MgO	0,98	0,12	0,77	0,7	0,55	0,54	0,88	0,94	2,31	2,37	2,42	0,36	0,68	2,13	1,87
CaO	0,74	0,64	2,41	2,62	1,95	2,98	3,32	2,86	6,09	5,98	6,06	1,83	2,7	5,39	7,32
Na₂O	5,83	6,23	4,88	4,8	4,83	5,4	5,69	4,52	3,87	3,55	3,52	5,39	5,43	3,26	3,72
K₂O	0,17	0,07	1,57	1,61	1,51	0,36	0,74	1,24	0,82	0,7	0,63	1,23	0,38	0,96	0,85
P₂O₅	0,01	0,01	0,02	0,12	0,02	0,09	0,07	0,03	0,15	0,1	0,09	0,07	0,06	0,08	0,14
LOI	0,8	0,8	1,3	1,3	1,2	1,4	4,1	1,1	1,4	1	1,4	2,4	1,6	0,9	1,7
Toplam	98,98	99,17	99,7	99,8	100,2	99,84	100,5	99,01	99,72	99,18	99,49	100,3	98,99	99,22	100,5
Sr	49	15	114	130	112	177	71	110	206	190	200	84	169	156	222
Rb	30	24	37	35,96	-	6,52	-	-	9,57	-	8,15	-	-	-	11,57
Ba	90	8	349	382	450	231	82	307	262	221	146	208	179	228	198
Th	8,7	9,9	7,3	4,98	7,7	6,09	6,2	-	1,8	-	1,8	9,6	-	-	1,9
U	2,2	1,9	0,4	0,9	2,3	1,1	0,5	-	0,2	-	0,26	1,7	-	-	0,31
Ta	2	2	0,7	0,2	0,6	0,6	1	-	0,1	-	0,15	1	-	-	0,2
Nb	10	10	10	10	11	11	10	10	10	10	10	10	10	10	10
Ce	91	100	36	31,8	41	64,7	22	-	19,1	-	21	44	-	-	22
Zr	466	410	128	90	233	122	120	110	53	69	80	113	139	72	59
Hf	12	13	5	3,86	7	4,99	4	-	2,58	-	3	4	-	-	2
Sm	9,2	11	2,9	3,19	3,6	5,62	1,9	-	3,34	-	2,8	2,7	-	-	2,9
Y	49	78	17	20,4	28	34,3	12	12	26,7	19	20	15	16	16	19
Yb	11,5	13,3	3,5	2,09	5,9	3,59	2,5	-	2,71	-	3,5	3	-	-	3,3
Cr	2100	200	100	85	500	71	300	500	300	500	400	200	400	500	300
Ni	20	20	20	20	20	20	20	20	20	20	20	20	20	20	20
Co	5	4,2	5	-	3,8	-	5	-	-	50	12	4,4	-	50	9
Sc	4	2	8	1,3	6	1,4	6	10	19	19	19	3	10	13	18
Qr	34,98	36,42	27,94	30,08	32,47	31,61	23,73	29,84	17,62	19,57	19,97	31,46	28,32	24,37	13,97
Or	1	0,41	9,23	9,47	8,88	2,12	4,35	7,29	4,82	4,12	3,7	7,23	2,23	5,65	5
An	3,6	3,11	11,82	12,11	9,54	12,45	10,66	13,98	25,89	28,63	28,73	8,62	13	26,21	34,57
Ab	49,29	52,67	41,26	40,58	40,84	45,65	48,11	38,21	32,72	30,01	29,76	45,57	45,91	27,56	31,45
Di	-	-	-	0,1	-	1,48	4,46	-	2,74	0,3	0,6	-	-	-	0,67
Hy	4,7	3,08	6,53	3,03	4,82	3,26	2,64	5,96	9,03	10,41	9,91	3,21	5,45	9,78	8,17
Mt	2,14	1,38	0,48	1,37	1,12	1,05	1,51	1,35	3,84	3,57	4	0,74	0,93	3,4	3,21
İlm	0,55	0,25	0,7	0,68	0,63	0,57	0,76	0,74	1,26	1,27	1,16	0,38	0,65	0,95	1,37
Ap	0,02	0,02	0,04	0,26	0,04	0,19	0,15	0,06	0,32	0,22	0,19	0,15	0,13	0,17	0,3
Crn	1,85	0,98	0,31	-	0,57	-	0,38	-	-	-	0,42	0,71	0,16	-	-
Mg#	45,3	9,6	31,9	5,1	28,4	33	41,5	38,6	49,7	50,9	52,5	28,5	32	49,8	48
A/CNK	1,16	1,08	1,02	0,98	1,04	0,94	0,87	1,02	0,91	0,98	0,97	1,02	1,04	1	0,97
A/NK	1,32	1,2	1,48	1,46	1,42	1,49	1,38	1,63	2,31	2,59	2,63	1,35	1,59	2,53	2,8
DI	85,27	89,5	78,43	80,13	82,19	79,38	76,19	75,34	55,16	53,7	53,43	84,26	76,46	57,58	50,42

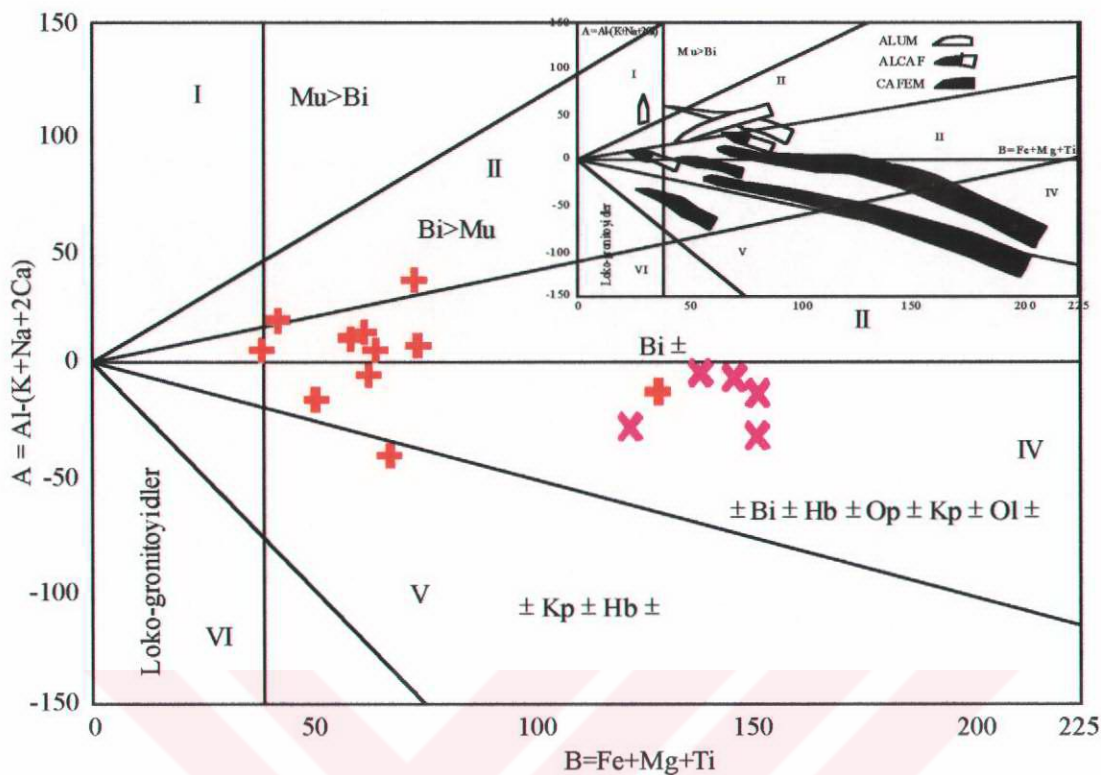
* toplam F₂O₃, (DI=q+or+ab+ne+lc+kp)



Şekil 3.78. Sebzeciler granitoyidinin normatif ve modal Q-A-P diyagramı (Le Maitre, 1989; Streckeisen, 1976). Kd: Kuvarslı diyorit, T = tonalit, Gd = Granodiyorit, G = granit. Oklar magmatik kayaç serilerinin diferansiyasyon yönsemelerini göstermektedir (Lameyre ve Bowden, 1982): TH = toleyitik yönseme, a = kalk-alkali tronjemistik (düşük K'lu) yönseme, b = kalk-alkali granodiyoritik (orta K'lu) yönseme, c = kalk-alkali monzonitik (yüksek K'lu) yönseme, d = alkali yönseme.



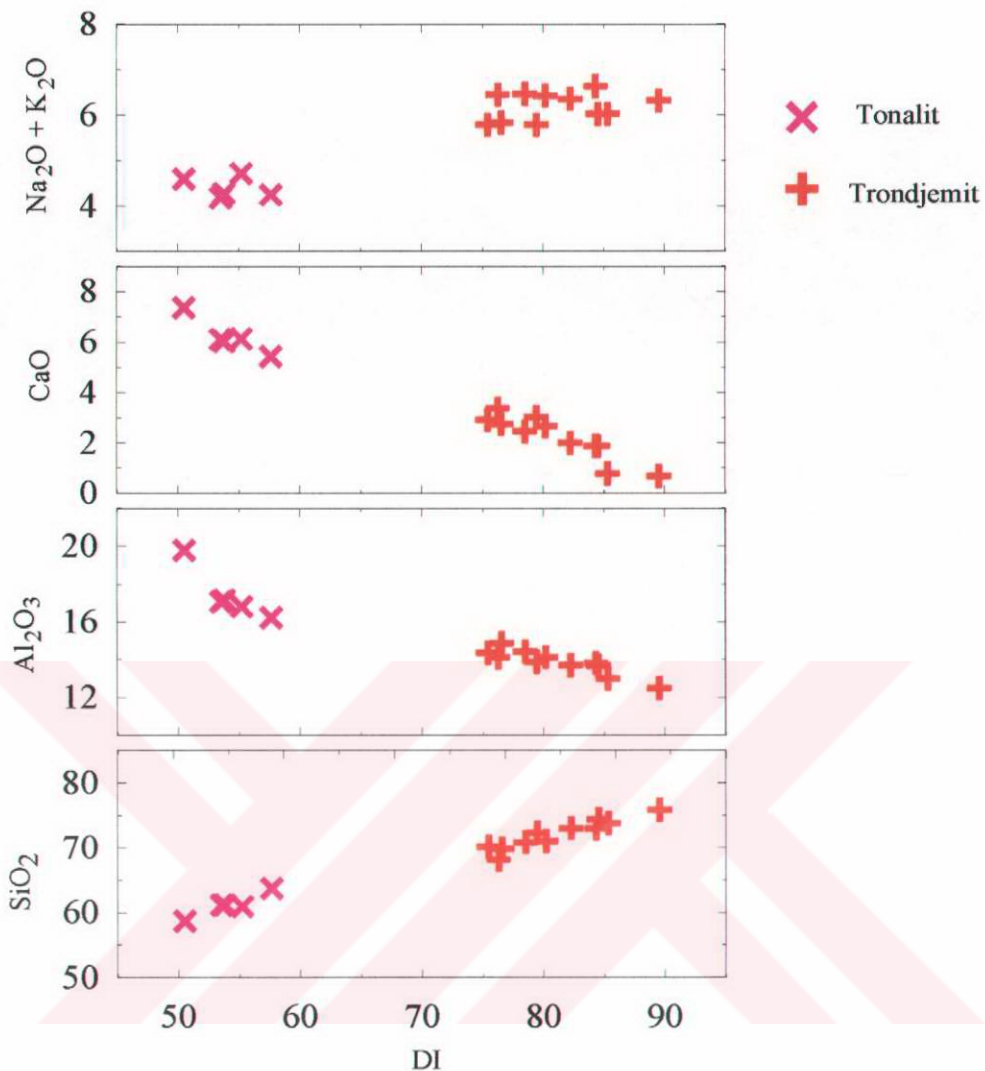
Şekil 3.79. Sebzeciler granitoyidinin P-Q kimyasal sınıflandırma diyagramı (Debon ve Le Fort, 1983). gb = gabro; mgb = monzogabro; mz = monzonit; s = siyenit; kd = kuvarslı diyorit; kmd = kuvarslı monzodiyorit; km = kuvarslı monzonit; ks = kuvarslı siyenit; to = tonalit; gd = granodiyorit; ad = adamellit; gr = granit



Şekil 3.80. Sebzeçiler granitoyidi kayaçlarının kimyasal değişimini gösteren A-B karakteristik mineral diyagramı (Debon Le fort, 1983). I, II ve III, peralümin; IV, V ve VI metalümin alanları temsil etmektedir

Trondjemitlerin SiO_2 (% 68-76) içeriği ve değişim aralığı, tonalitlerin SiO_2 (% 58-64) içeriği ve değişim aralığından daha büyuktur. Benzer şekilde trondjemitlerin Na_2O (% 4.52-6.23) ve K_2O (% 0.07-1.61) içerikleri tonalitlerin Na_2O (% 3-26-3.87) ve K_2O (% 0.63-0.96) içeriklerinden daha yüksektir. Geriye kalan ana oksit yüzdeleri bakımından trondjemitler tonalitlere oranla daha yüksek konsantrasyonlara sahiptir ve herhangi bir çakışma söz konusu değildir. Örneğin tonalitler Al_2O_3 (% 16 -20) bakımından trondjemitlere oranla (% 12-15) daha zengindir. Benzer şekilde MgO (% 1.87-2.42) ve CaO (% 5.39-7.32), TiO_2 (% 0.5-0.72) ve MnO (% 0.11-0.16) ve P_2O_5 (% 0.08-0.15) oranları trondjemitlerin MgO (% 0.12-0.98) ve CaO (% 0.64-3.32), TiO_2 (% 0.13-0.40), MnO (<% 0.1) ve P_2O_5 (<% 0.12) oranlarından yüksektir.

Toplam $Fe_2O_3^*+MgO+TiO_2$ içerikleri granitoyidlerin farklılaşma dereceleri hakkında bilgi vermesi bakımından önemlidir. Tonalitler, yüksek toplam ferromagnezyen içeriği (%



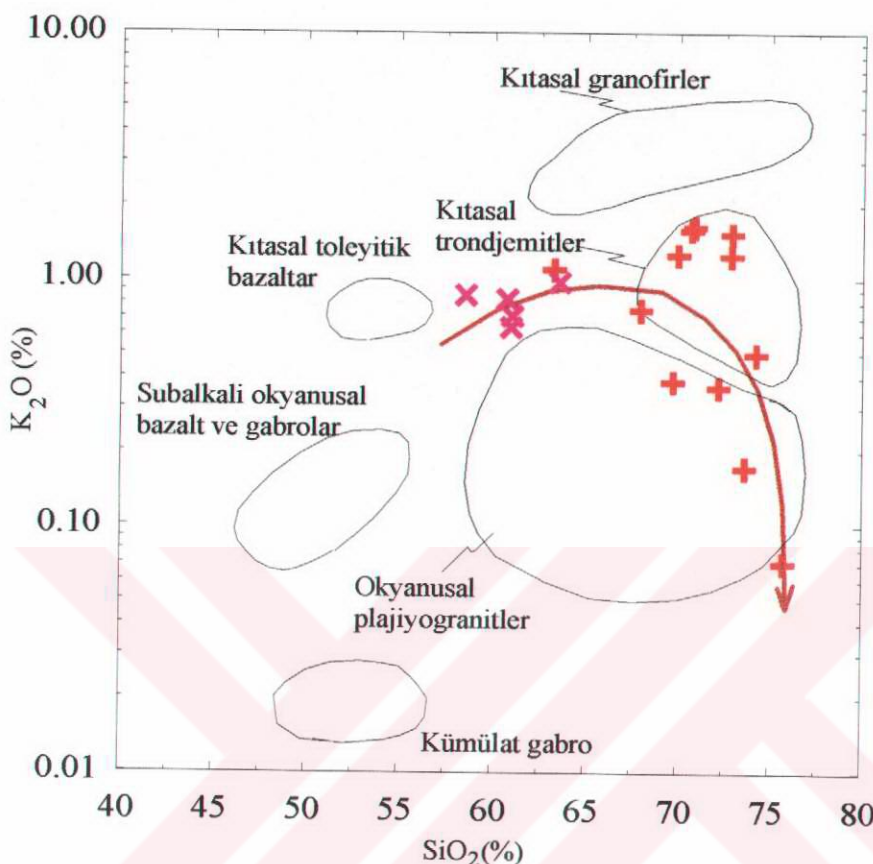
Şekil 3.81. Sebzeçiler granitoyidi kayaçlarının diferansiyasyon indeksi ($DI = q+or+ab+ne+lc+kp$)' ne karşı bazı ana oksit değişim diyagramları

4.8-5.8) ile Sebzeçiler granitoyidinin en az farklılaşan; tronjemitler ise düşük toplam ferromagnezyen içeriği (% < 2.7) ile orta derecede farklılaşan ürünlerini oluşturmaktadır.

DI (diferansiyasyon indeksi) - ana oksit diyagramı (Şekil 3.81) tronjemit ve tonalitlerin artan DI değerlerine bağlı olarak silis ve toplam alkali içeriklerinin göreceli olarak arttığını; CaO ve Al₂O₃ içeriklerinin ise azaldığını göstermektedir. Tonalitlerin düşük silisyum ve DI değerlerine (53-57) karşılık tronjemitler daha yüksek silisyum ve DI (75-89) değerlerine

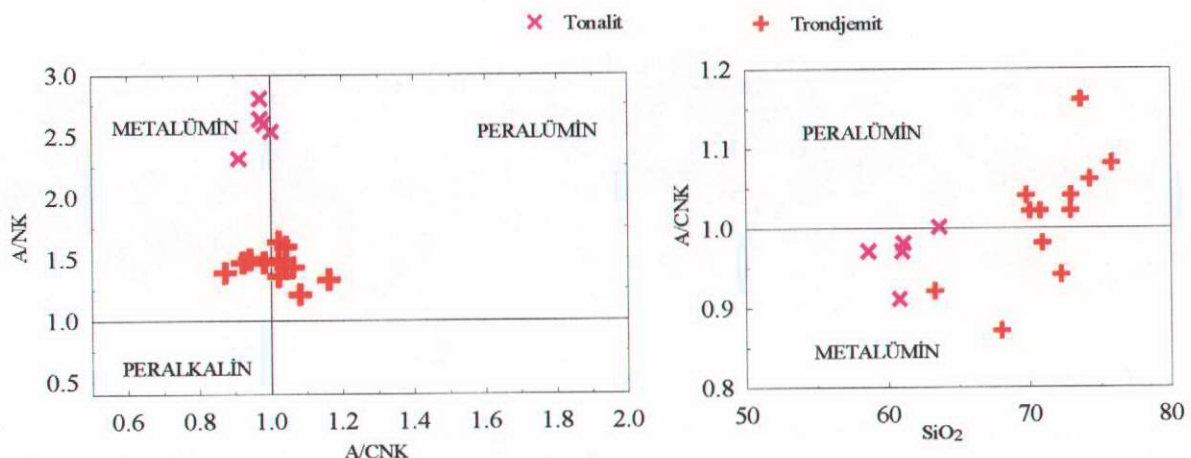
sahiptir. Tronjemit ve tonalit yönsemelerinin aynı doğrular üzerine düşmesi, tronjemitlerin kesirli kristallenmenin daha sonraki ürünleri olduğu şeklinde yorumlanabilir.

Adamia ve diğ. (1996) Sebzeciler granitoyidinin gabroik Demirkent plütonu'nu keserek yerleştigiini, K₂O oranlarının oldukça düşük olduğunu ve jeokimyasal olarak okyanusal karaktere sahip olduklarından bahsederek bunları okyanusal plajiyogranitler olarak değerlendirmiştir. Yüksek oranlarda silisyum (% 65-69), düşük-orta oranlarda alüminyum (% 13.5-14.5), düşük oranlarda toplam demir-magnezyum (% 6-10) ve son derece düşük K₂O oranı (% 0.07-0.67) okyanusal plajiyogranitleri karakterize eder. Bunların normatif ortoklas içerikleri genellikle % 4' den azdır (Coleman ve Peterman, 1975). Sebzeciler granitoyidi bu açıdan değerlendirildiğinde, tronjemitlerin tamamen farklı olduğu, tonalitlerin ise bir takım benzerlikler sunduğu görülmektedir. Tronjemitlerin SiO₂ ve K₂O oranları, plajiyogranitlerin SiO₂ ve K₂O oranlarından genellikle daha yüksektir. Ancak Al₂O₃ oranları bakımından plajiyogranitlere benzemektedir. Toplam demir-magnezyum oranları (2.48-4.56) plajiyogranitlerin bu oranlarından çok daha düşüktür. Normatif ortoklas oranının % 0.41-9.47 gibi oldukça yüksek değerlere kadar çıkması da granitoyide ait kayaçların plajiyogranit olamayacağını açıkça göstermektedir. Bu jeokimyasal özellikleri ile kıtasal tronjemitlere büyük benzerlik göstermektedirler. Tonalitler ise düşük SiO₂, yüksek Al₂O₃ oranları ile plajiyogranitlerden ayrılmaktadır; ancak toplam demir-magnezyum (% 7.69-9.11), K₂O ve normatif ortoklas (% 3.7-5.65) oranları ile plajiyogranitlere benzemektedirler. Ofiyolit istifinin en önemli karakteristiklerinden biri son derece düşük K₂O içeriklerine sahip olmalarıdır. Yarı logaritmik SiO₂ - K₂O diyagramında (Şekil.3.82) Sebzeciler granitoyidine ait verilerle birlikte ofiyolitik kayaçlar, kıtasal bazaltlar ve bunların diferansiasyon ürünleri görülmektedir (Coleman ve Peterman, 1975). Burada ofiyolitik kayaçların son derece düşük K₂O içeriklerine sahip oldukları görülmektedir. Alkali oranları (K₂O x 100)/(K₂O x Na₂O) kıtasal granofirlerde yaklaşık % 49, plajiyogranitlerde ise yaklaşık % 5 dir ve iki tip arasında bir geçiş yoktur (Coleman ve Peterman, 1975). Sebzeciler granitoyidine ait örnekler SiO₂ -K₂O diyagramında genellikle tronjemit alanında toplanırken, trondjemitlere ait örneklerin dördü düşük K₂O içerikleri ile plajiyogranit alanına düşmektedir. Ancak alkali oranlarının (16-31) yüksek olması ile plajiyogranitlerden, nispeten düşük olması ile de kıtasal granofirlerden ayrılmaktadırlar. Bu özellikleri ile Sebzeciler granitoyidi kıtasal tronjemitlere benzerlik göstermektedir.



Şekil 3.82. Sebzeciler granitoyidi kayaçlarının SiO_2 ' ye karşı $\log \text{K}_2\text{O}$ değişim diyagramı (Coleman ve Peterman, 1975)

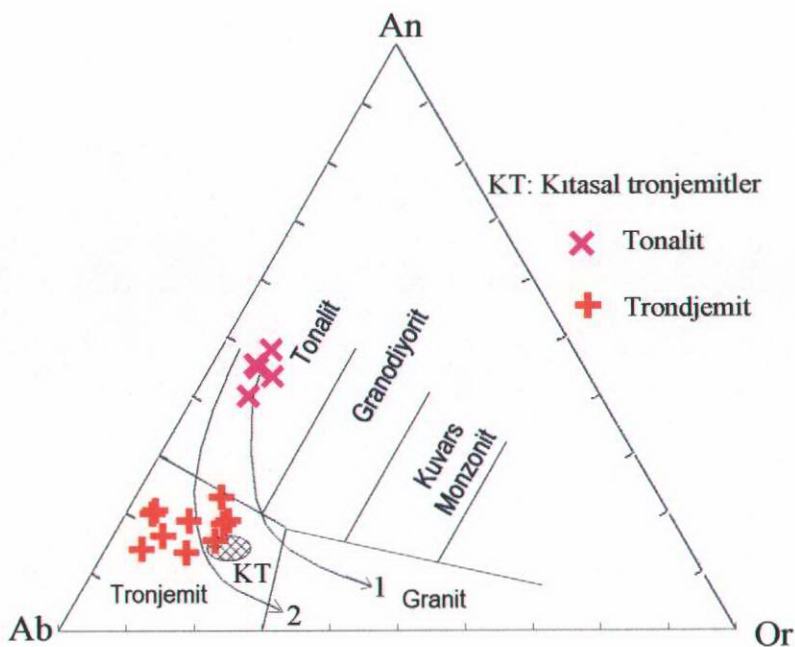
Tonalitlerin molar A/CNK ($\text{Al}_2\text{O}_3 / (\text{CaO} + \text{Na}_2\text{O} + \text{K}_2\text{O})$) oranlarının 0.91-1 arasında olmasına karşılık, tronjemitlerin A/CNK oranları 0.87-1.16 arasındadır (Şekil 3.83). Bu oranlar tonalitlerin metalümin, tronjemitlerin ise peralümin olduğunu göstermektedir (Shand, 1947, Clarke, 1981). Tonalitlerin metalümin özellikleri bitovnit labradorit gibi anortit içeriği yüksek minerallerin yanı sıra yaygın olarak hornblend bulundurmalarından kaynaklanmaktadır. Bu minerallerin Al_2O_3 içerikleri düşük, CaO içerikleri ise yüksektir. Tronjemitlerin % An içeriği düşük plajiyoklasların yanı sıra K' lu feldspat içermeleri peralümin olmalarını sonuçlandırmıştır.



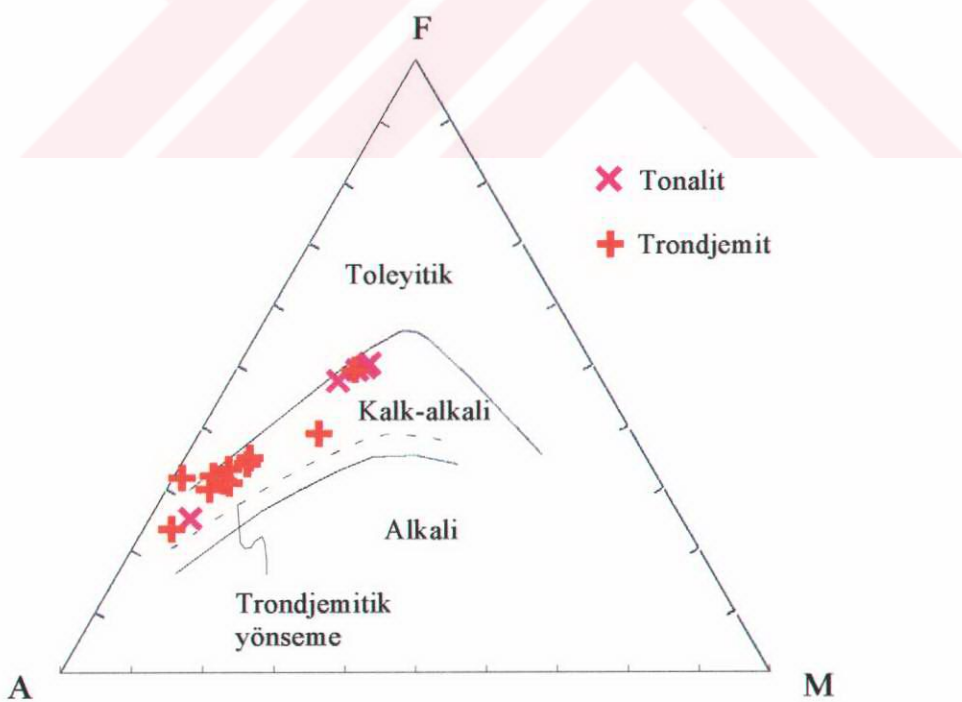
Şekil 3.83. Sebzeciler granitoyidi kayaçlarının molar A/CNK - A/NK ve A/CNK' ya karşı SiO_2 değişim diyagramları (Shand, 1947; Clarke, 1981)

Barker ve Arth (1976) ve Barker (1979) tonalit-trondjemit-dasitleri düşük- Al_2O_3 tipi ($\text{Al}_2\text{O}_3 < \% 15$) ve yüksek- Al_2O_3 tipi ($\text{Al}_2\text{O}_3 > \% 15$) olmak üzere ikiye ayırmışlardır. Alümina içerikleri bakımından granitoyidin tonalitleri $\% 15$ 'den büyük Al_2O_3 içerikleri ile yüksek Al'lu, trondjemitleri ise $\% 15$ 'den düşük Al_2O_3 içerikleri ile düşük Al'lu tipe uymaktadır.

Tonalit ve trondjemitler arasındaki bu farklılıklar normatif An-Ab-Or üçgen diyagramında daha belirgin olarak görülmektedir (Şekil 3.84). Bu diyagram normatif olarak $\% 10$ dan fazla kuvars içeren kayaçlar için geçerlidir. Granitoyide ait bütün kayaçlar $\% 10$ dan yüksek normatif kuvars içeriğine sahiptir (Çizelge 3.25). Trondjemitler O'Connor (1965) ve Barker (1979) tarafından tanımlanan trondjemit ve özellikle kıtasal trondjemit alanında, tonalitler ise tonalit alanında toplanmaktadır. Ayrıca diyagramda 1 ve 2 ile temsil edilen amfibolit (Sen ve Dunn, 1994) ve amfibolit/eklojitin (Rapp, 1991) kısmi ergimesi ile oluşan eriyiklerin değişimleri görülmektedir. Sebzeciler granitoyidi, amfibolit/eklojitin 8 kbar basınçlar altında kısmi ergimesi ile oluşan Arkeen trondjemit ve tonalitlerin izlediği farklılaşmayı izlemektedir (Rapp, 1991). Deneysel çalışmalarındaki farklı değişim yönsemeleri başlangıç malzemesinin farklı bileşimlerde olmasından kaynaklanmaktadır, hepsinde yüksek basınç ve sıcaklıklarda tonalitik eriyiğin oluştuğu belirtilmiştir (Rapp, 1991; Sen ve Dunn, 1994).



Şekil 3.84. Sebzeciler granitoyidi kayaçlarının normatif An-Ab-Or diyagramı. An = anortit; Ab = albit; Or = ortoklas. Alanlar Barker (1979) ve O' Connor (1965)' dan alınmıştır. Değişim trendleri: (1); bazaltik bileşimli amfibolitin 1.5 ve 2 GPa da kısmi ergimesi ile oluşan eriyiğin izlediği değişim trendi (Şen ve Dun, 1994), (2); Amfibolit/eklojitin 8 kbar basınçta kısmi ergimesi ile oluşan eriyiğin izlediği değişim trendi (Rapp ve diğ., 1991)

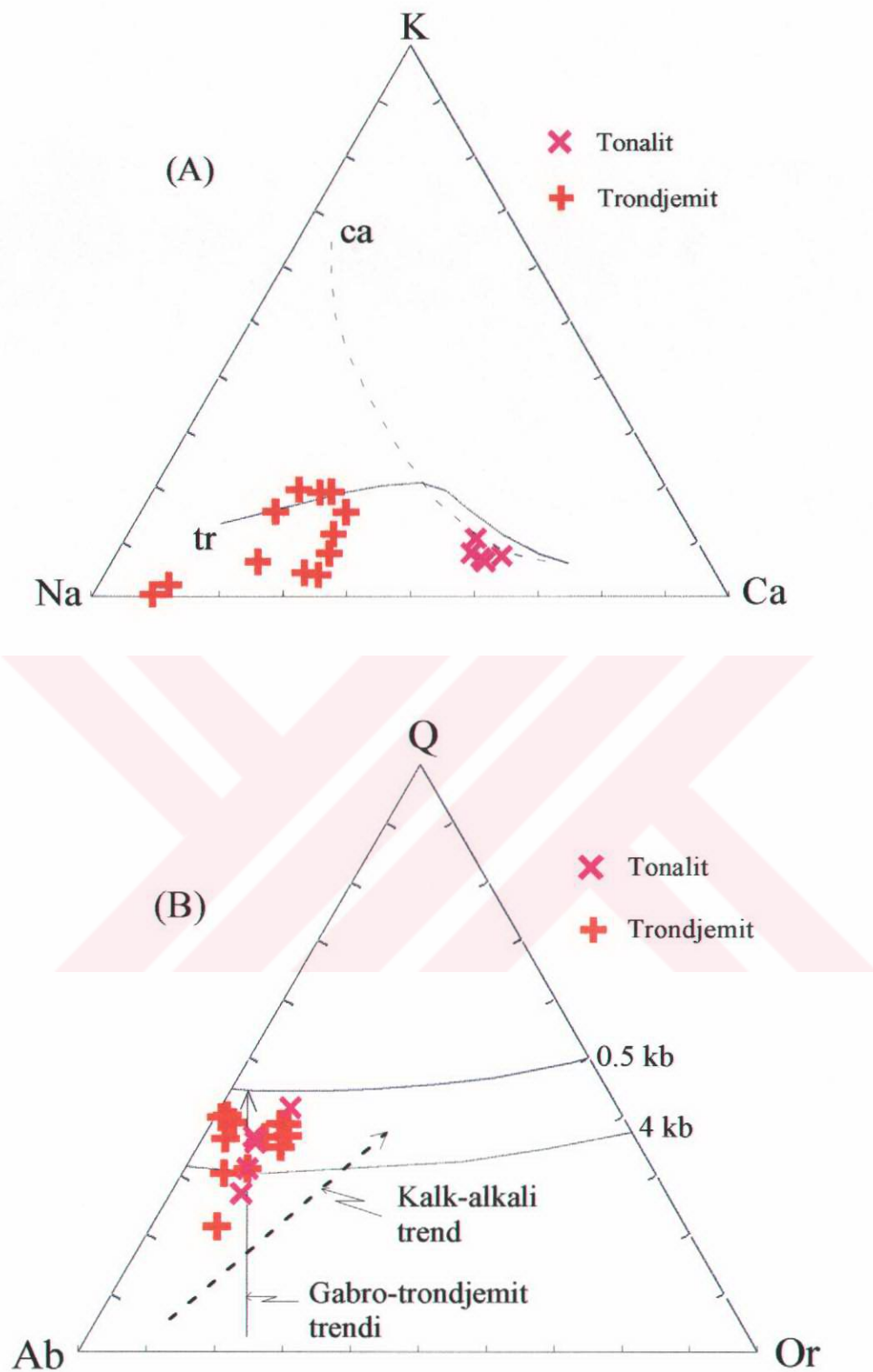


Şekil 3.85. Sebzeciler granitoyidi kayaçlarının AFM diyagramı. Gabro-tronjemetic trend Barker ve Arth, (1976); Toleytik, kalk-alkali ayırım eğrisi Irvine ve Baragar (1971), kalk alkali-alkali ayırım eğrisi Kuno (1966)' den alınmıştır

AFM diyagramında tonalit ve tronjemitler, Barker ve Arth (1976)'ın gabro-tronjemit yönsemesi ile Irvine ve Baragar (1971)'in kalk-alkali yönsemesi arasında toplanmakta ve daha çok kalk-alkali bir yönseme göstermektedirler (Şekil 3.85).

Klasik kalk-alkali yönseme ile gabro-tronjemitik yönsemenin birbirinden ayırimının daha belirgin olarak yapıldığı (Barker ve Arth, 1976) normatif K-Na-Ca üçgen diyagramında, granitoyide ait kayaçlar belirgin olarak gabro-tronjemitik yönseme göstermektedirler (3.86 A). Tronjemitlere ait örnekler gabro-tronjemitik yönsemenin felsik uç bileşenlerini oluştururken, tonalitler mafik uç bileşenlerini oluşturmaktadır. Son yıllarda yapılan deneysel çalışmalar, değişik basınçlar altında amfibolitin dehidratasyonla ergimesi sırasında K ve Ca' a nazaran Na zenginliğini göstermektedir (Rapp ve diğ., 1991; Şen ve Dunn, 1994). Na zenginleşmesi gösteren bir çok Arkeen tronjemit ve tonalitlerin metamorfize olmuş bazaltik kökenden kaynaklandığına inanılmaktadır (tronjemitik yönseme) (Arth ve diğ., 1978; Drummond ve Defant, 1990, Defant ve Drummond, 1990; 1993).

Normatif Q-Ab-Or üçgen diyagramında (Şekil 3.86 B) da bütün örnekler kalk-alkali yönsemeden belirgin bir ayılma göstererek gabro-tronjemitik yönsemeye uymakta ve daha çok felsik ucuna yakın toplanmaktadır (Barker ve Arth, 1976; Arth ve diğ., 1978). Kümelenme gösteren tronjemitler Or ucundan uzak, Q-Ab ekseniye yakın ve 1-3 kbar su buharı basıncını göstermektedirler. Bu kümelenme tronjemitlerde kristalleşme başlangıcı ile kristalleşmenin tamamlanması olaylarının aynı kabuk derinliklerinde ve benzer su buharı basınçlarında gerçekleştiğine işaret etmektedir. Tronjemitlerin aksine tonalitler yönseme oluşturmakta ve 4 kbar üzerinde değişen su buharı basınçları vermektedirler. Bu basınç değerlerine bağlı olarak da farklı kabuk derinlikleri söz konusu olmaktadır.

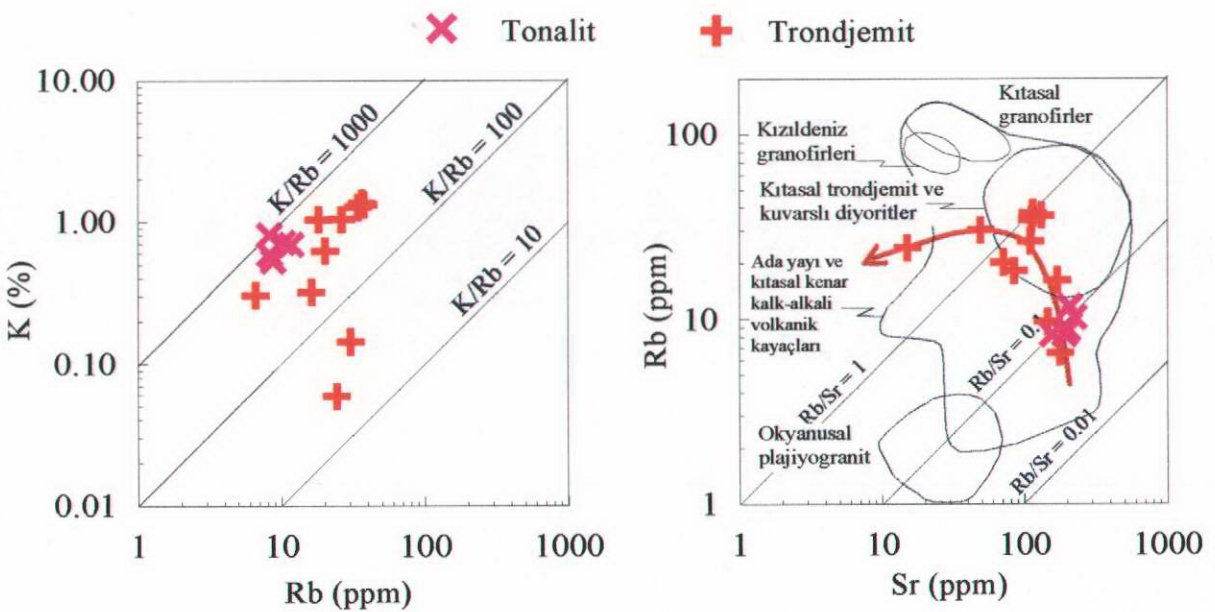


Şekil 3.86. (A) Sebzeciler granitoyidi kayaçlarının K-Na-Ca diyagramı. Tr; trondjemitik trend, ca; kalk-alkali trend (Barker ve Arth, 1976). (B) Senzeciler granitoyidi kayaçlarının normatif Q-Ab-Or diyagramı. 0.5 ve 4 kbar ait kotektitk eğriler Tuttle ve Bowen (1958)' in $\text{NaAlSi}_3\text{O}_8\text{-KAlSi}_3\text{O}_8\text{-SiO}_2\text{-H}_2\text{O}$ sisteminden alınmıştır.

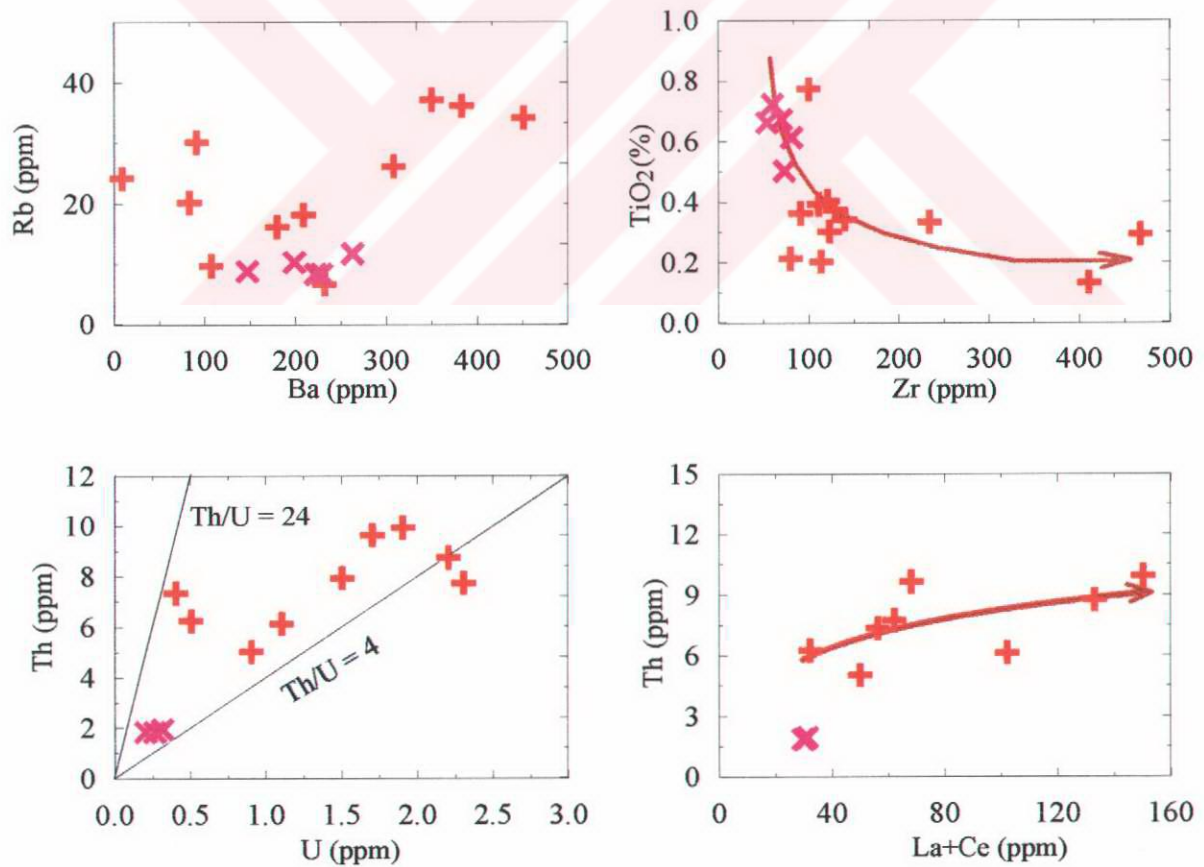
Rb/Sr oranları (0.036-0.32) nispeten geniş bir dağılım aralığı sunmaktadır. Ancak bu oranlar 420 nolu tonalit granofir (0.61) ve 502 nolu mikrotonalitte (1.6) oldukça yüksek değerlere çıkmaktadır. Rb-Sr diyagramında Sebzeciler granitoyidine ait örnekler nispeten geniş bir dağılım göstermelerine rağmen okyanusal plajiyogranit alanından belirgin olarak ayrılmakta ve daha çok kıtasal tronjemit alanına yaklaşmaktadır (Şekil 3.87). Bununla birlikte bütün örnekler daha büyük dağılım alanı olan ada yayı ve kıtasal kenar kalk-alkali kayaçları (bazalt-riyolit) alanında toplanırlar.

K/Rb oranlarındaki değişimler, batolitlerin son safhalarında meydana gelen magmatik olayları anlamamız açısından son derece önemlidir. Taylor (1965) ve Shaw (1968) K/Rb oranlarının 160' dan büyük olmasının sisteme kristal-eriyik dengesinin kurulduğunu, daha küçük değerlerin ise kristal-eriyik dengesinin kurulmadığını ve sisteme akışkan bir fazın etkin olduğunu gösterdiğini ileri sürmektedirler. Bu açıdan Sebzeciler granitoyidi değerlendirildiğinde, granitoyidin büyük bir bölümünde K/Rb oranlarının 424-856 gibi oldukça yüksek değerlerde olduğu görülmektedir. Bu da granitoyidin büyük bir bölümünde kristal-eriyik dengesinin kurulduğunu, akışkan fazların sonradan sisteme girmedğini ve granitoyidin kesirli kristalleşmesine devam ettiğini göstermektedir. Buna karşılık tonalit granofir ve mikro-tonalitlerde K/Rb oranları sırasıyla 56 ve 29 gibi oldukça düşük değerlerdedir (Şekil 3.87). Bu da granitoyidin bu kesimlerinde kristal-eriyik dengesinin kurulmadığını ve akışkan fazların sisteme daha etkin olduğuna işaret etmektedir.

Ba-Rb değişim diyagramı, alkali feldspatların ve biyotitlerin kesirli kristalleşmesini göstermektedir (Şekil 3.88). Rb alkali feldspatlar ve biyotitlerin, Ba ise alkali feldspatların yapısına girdiği bilindiğine göre sistemdeki Rb önce biyotitler daha sonra alkali feldspatlar tarafından kontrol edilmiştir. U' a karşı Th değişim diyagramında iki element arasında pozitif ilişki görülmektedir (Şekil 3.88). Sebzeciler granitoyidinin Th/U oranları genellikle 4' den büyktür. Granitoyidin ilk ürünleri olan tonalitlerde Th (1.9 ppm) ve U (0.2-0.3 ppm) içerikleri oldukça düşük; farklılaşmış ürünleri olan tronjemitlerde ise (Th = 4.6-9.6 ppm; U = 0.4-2.2) yüksektir. Nispeten yüksek dağılım katsayıları nedeniyle tonalitlerde Th ve U' u



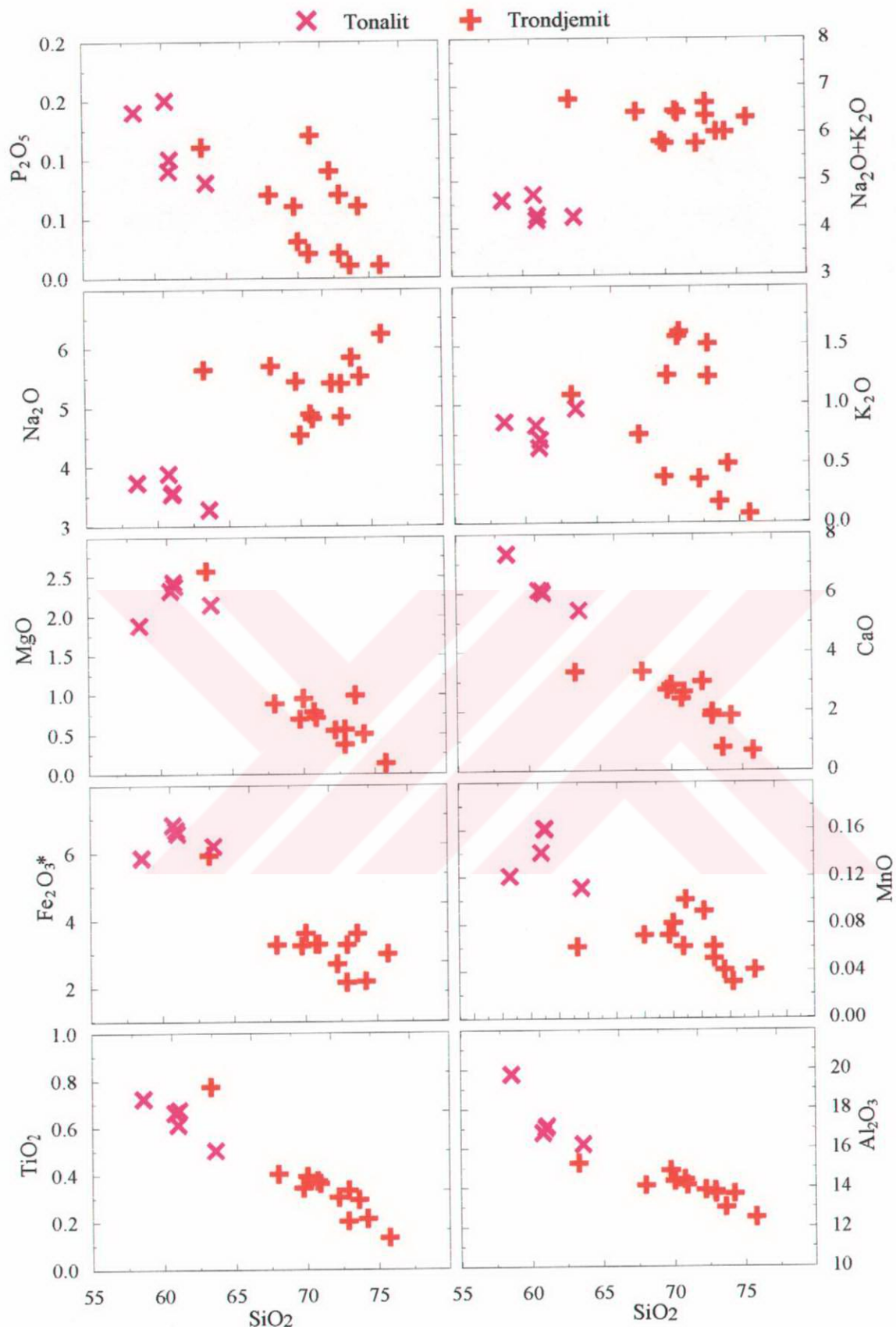
Şekil 3.87. Sebzeciler granitoyidi kayaçlarının Rb-K ve Sr-Rb değişim diyagramları. Sağdaki diyagramda görülen alanlar Coleman ve Peterman (1975)' den alınmıştır.



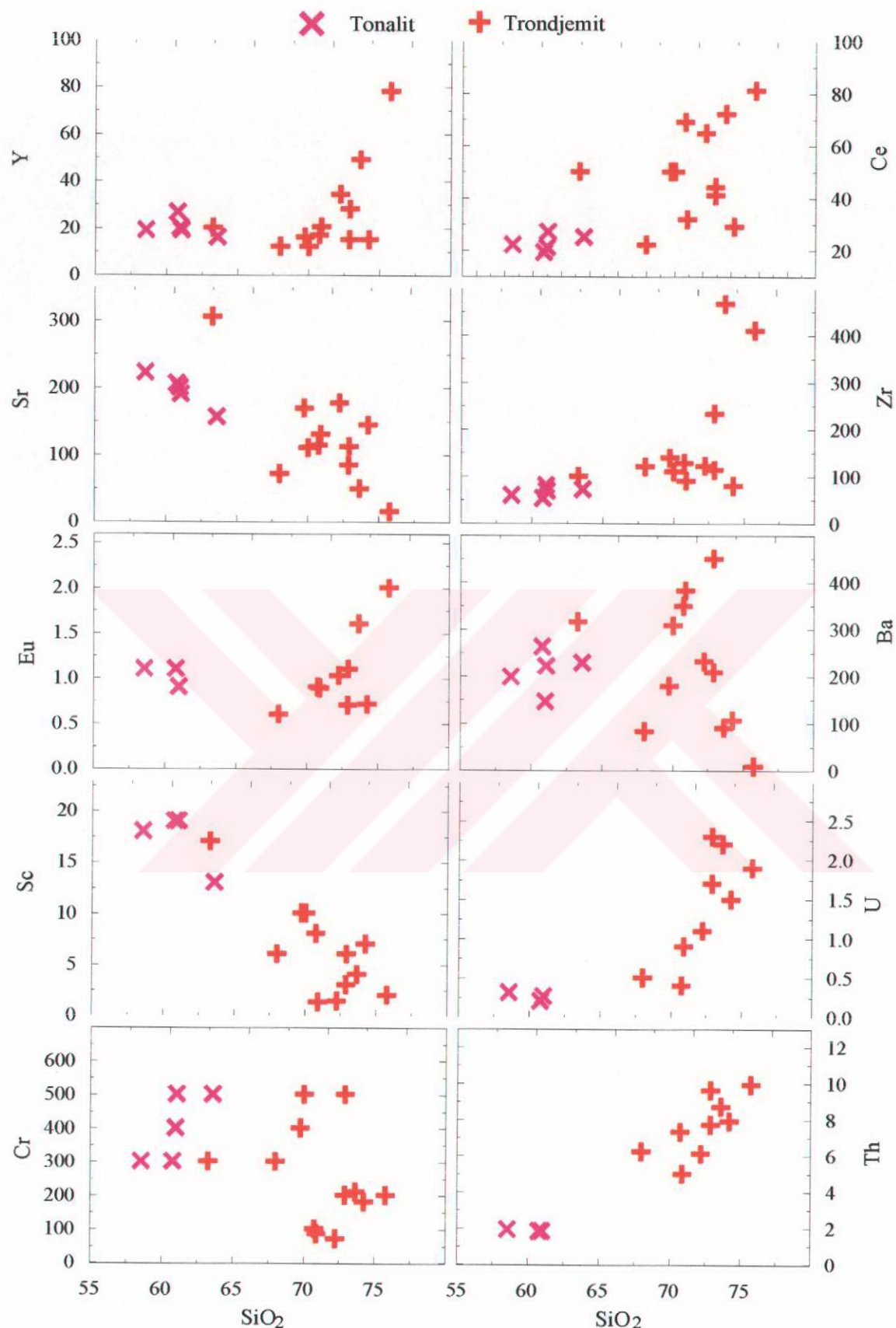
Şekil 3.88. Sebzeciler granitoyidi kayaçlarının bazı iz element değişim diyagramları (semboller Rb-K diyagramındakiiler ile aynıdır)

kontrol eden mineral biyotittir. Ancak tronjemitlerde bu iki element daha çok zirkon ve epidot gibi tali fazlar tarafından kontrol edilmiştir. Dasitik eriyiklerde zirkon ve epidot minerallerinin Th ve U bakımından dağılım katsayıları son derece yüksektir (Mahood ve Hildreth, 1983). Yine benzer şekilde ($\text{La}+\text{Ce}$) - Th diyagramında da elementler arasında pozitif bir ilişki vardır (Şekil 3.88). Th ve U' da olduğu gibi nadir toprak elementlerde zirkon ve epidotta oldukça yüksek dağılım katsayısına sahiptirler (Mahood ve Hildreth, 1983). Bu bakımından nadir toprak elementler tonalitlerde biyotit ve hornblend; tronjemitlerde ise daha çok zirkon ve epidotlar tarafından kontrol edilmişlerdir. Zr' a karşı TiO_2 diyagramında Ti ile Zr arasında negatif bir ilişki vardır (Şekil 3.88). Sebzeciler granitoyidinin ilk ürünleri olan tonalitlerde Ti (% 0.50-0.72) yüksek, Zr (53-80 ppm) ise az oranlardadır. Buna karşılık sonraki ürünler olan tronjemitlerde ise Ti (% 0.13-0.40) düşük, Zr (90-466 ppm) yüksek oranlardadır. Bu ilişkilerden, tonalitlerde Ti' un rutil ve ilmenit gibi Ti içeren fazların yanı sıra hornblend ve biyotitler tarafından kontrol edildiği söylenebilir. Buna karşılık tronjemitlerde hornblend ve biyotitlerin oran olarak çok azalmış olması Ti' un azalmasını, zirkon'un göreceli olarak artması ise Zr' un atmasını sonuçlandırmıştır.

Şekil 3.89' da SiO_2 'e karşı ana element değişim diyagramları görülmektedir. Sebzeciler granitoyidi çok geniş bir aralıktı (SiO_2 % 58-76) değişim göstermektedir. SiO_2 içeriği artarken; TiO_2 , Al_2O_3 , Fe_2O_3 , MnO , MgO ve P_2O_5 içerikleri azalmaktadır. Buna karşılık Na_2O ve K_2O içerikleri ise artmaktadır. Ancak granitoyidin granofir ve mikrotonalitlerinin yüksek oranlarda SiO_2 içermelerine rağmen K_2O oranları oldukça düşüktür. Bu özellikleri ile SiO_2 'ye karşı negatif ilişki göstermektedirler. SiO_2 - iz element değişim diyagramlarında da ana elementlerde olduğu gibi belirgin korelasyonlar elde edilmiştir (Şekil 3.90). SiO_2 ile Sc ve Sr arasında çok belirgin negatif ilişki; Th, U, Zr, Ce ve Y arasında da pozitif ilişki görülmektedir. Cr ve Ba da düzensiz dağılım görülmekle birlikte Cr negatif, Ba ise pozitif ilişkilidir. Bu ilişkilerden Sebzeciler granitoyidinin gelişiminde kesirli kristalleşmenin en önemli rolü oynadığı sonucu çıkarılabilir.



Şekil 3.89. Sebzeciler granitoyidi kayaçlarının SiO_2 'ye karşı ana element değişim diyagramı

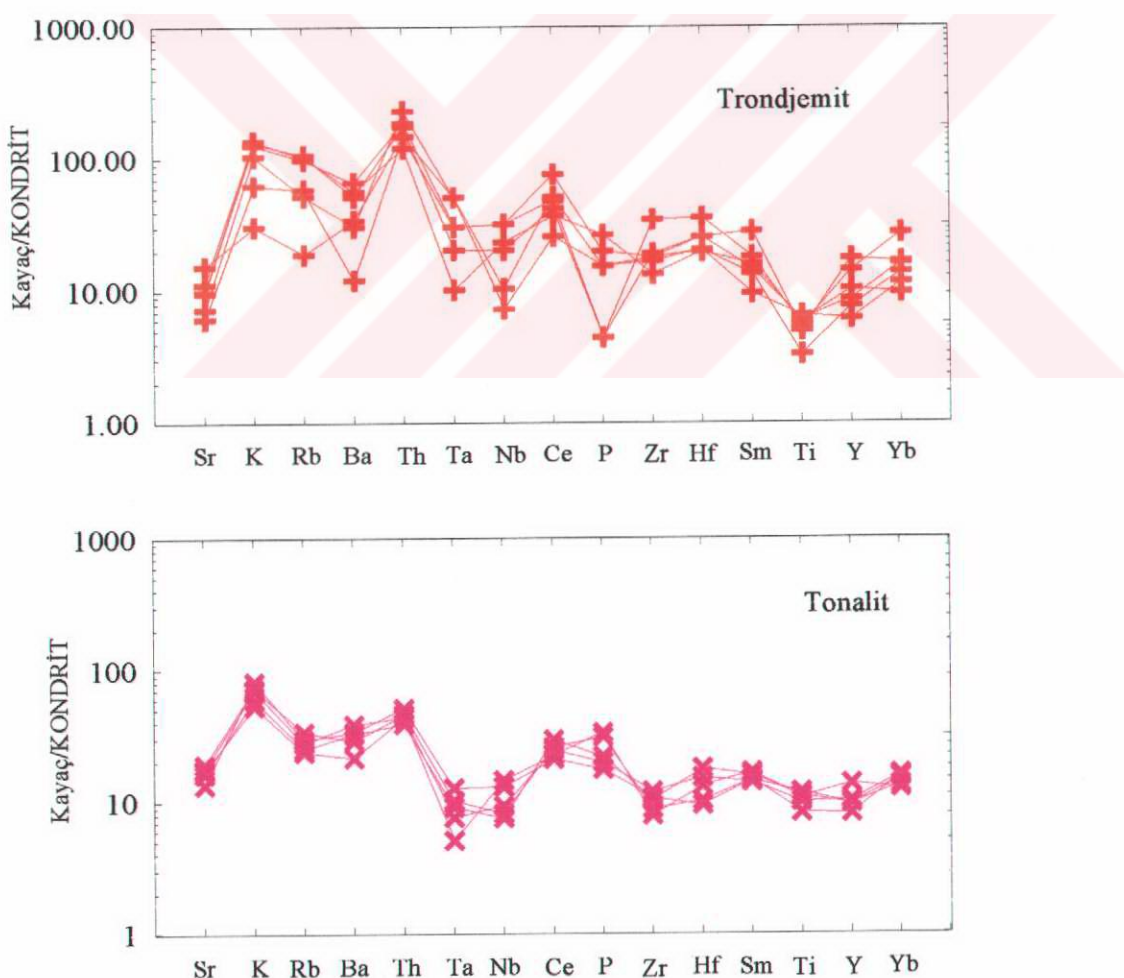


Şekil 3.90. Sebzeciler granitoyidi kayaçlarının SiO_2 'ye karşı iz element değişim diyagramı

Ana ve iz element diyagramlarında gözlenen lineer ilişkiler, kesirli kristallenme ile ayrılan mineral topluluğunun kimyasal bileşimlerini farklılaşmanın sonuna kadar koruduğunu göstermektedir. Ayrıca kuvvetli zonlu yapı gösteren plajiyoklasların varlığı, hornblendlerde $Mg/(Mg+Fe)$ oranlarının mineralin kenarından merkezine doğru azalması, granitoyid magmasının kesirli kristallenme olaylarını geçirdiğini göstermektedir. Bu sonuç ana oksit verileri (Şekil 3.89) ile desteklendiği gibi Sc, Sr, Y ve Ce gibi iz element verileri (Şekil 3.90) ile de desteklenmektedir. SiO_2' e karşı Fe, Mg, Mn, Ca ve Al değişim diyagramlarındaki negatif ilişkiler kesirli kristallenmenin hornblend, biyotit ve An içeriği yüksek plajiyoklaslar tarafından kontrol edildiğini göstermektedir. Tonalitlerde; hornblend ve biyotit'in yaygın, tronjemitlerde ise çok az oranlarda görülmesi de bu minerallerin ayırmalandığına işaret etmektedir. Na_2O , K_2O ve toplam alkali içeriklerinin SiO_2 ile pozitif ilişkileri de ayırmalanın gelişimi ile birlikte arta kalan eriyiğin alkalilere zenginleştiğini göstermektedir. Tronjemitlerde alkali feldspat ve % An içeriği düşük plajiyoklasların yaygın olması bu görüşü desteklemektedir. SiO_2-TiO_2 değişim diyagramındaki negatif ilişki Fe-Ti oksit (ilmenit, titanomanyetit), $SiO_2-P_2O_5$ diyagramındaki negatif ilişki de apatit ayırmamasına işaret etmektedir. Tonalitlerden tronjemitlere doğru azalan normatif manyetit ve apatit oranları da bu ilişkileri doğrulamaktadır (Çizelge 3.25). SiO_2' e karşı Y değişim diyagramında Y' un önce azalan ve giderek artmaya başlayan kavisli değişimini, hornblend ayırmamasına işaret etmektedir. Asidik magmalarda hornblendin dağılım katsayısının büyük ($D_Y = 1.52$; Pearce ve Norry, 1979) olması geriye kalan eriyikte Y'un azalmasına sebep olmaktadır. SiO_2-Y diyagramında görüldüğü gibi Y, % 67'ye kadar olan SiO_2 içeriklerinde azalmakta, % 67 den büyük SiO_2 içeriklerinde ise giderek artmaktadır. Bu ilişkiden tonalitlerde hornblend ayırmamasına bağlı olarak Y içeriğinin azaldığı, tronjemitlerde ise hornblend olmadığından Y içeriğinin artığı sonucu çıkarılabilir.

Şekil 3.91'de tonalit ve tronjemitlerin kondrite (Taylor ve McLennan, 1985) göre normalleştirilmiş uyumsuz element dağılımları görülmektedir. K, Rb, Ba, Th, Ce, Hf, Sm gibi elementler artan SiO_2 içeriğine bağlı olarak genellikle artarken, P ve Ti azalmaktadır. Uyumsuz elementlerin artan SiO_2 içeriğine bağlı olarak artması yay ortamları ile uyuşmaktadır. K, Rb, Ba, Th gibi uyumsuz elementler, dağılım katsayılarının oldukça küçük ($D \ll 1$; Clarke , 1992) olması nedeniyle tonalitlerden tronjemitlere geçildikçe artmaktadır.

Benzer şekilde Zr, Hf, Nb ve hafif REE elementlerde dağılım katsayıları küçük ($D < 1$; Clarke 1992) olduğundan artmaktadır. Sr ve Eu' un azalması plajiyoklas ayrımlaşması; Ti ve P' nin azalması ise magnetit ve apatit ayrımlaşması ile açıklanabilir. Monazit' te P' un azalmasına sebep olabilir. Ancak Ce, La, Y ve Th oranlarındaki artış monazit ayrımlaşması ile uyuşmamaktadır. Ayrıca hiç birörnekte monazit bulunamamıştır. SiO_2 -Th, SiO_2 -U değişim diyagramları ve uyumsuz element diyagramında görüldüğü gibi Th ve U artan SiO_2 içeriği ile pozitif ilişkilidir. Watson ve Harrison (1983) monazit/apatit, allanit/epidot, sfen ve zirkon' un magmaların iz element davranışlarında önemli etkileri olduğunu ortaya koymuşlardır. Bu gibi tali fazların kuvarslı diyoritik veya tonalitik gibi daha mafik magmalardan ayrımlaşması tronjemitik magmalarda Th, U, K, Ba ve Rb gibi uyumsuz elementlerin zenginleşmesine yol açmaktadır. Bu minerallerin dağılım katsayılarından yola çıkararak bu fazların genel olarak magmaların gelişiminde önemli roller oynamadıklarını



Şekil 3.91. Sebzeciler granitoyidi kayaçlarının kondride göre normalleştirilmiş uyumsuz element dağılım diyagramları (kondrit değerleri; Taylor ve McLennan, 1985)

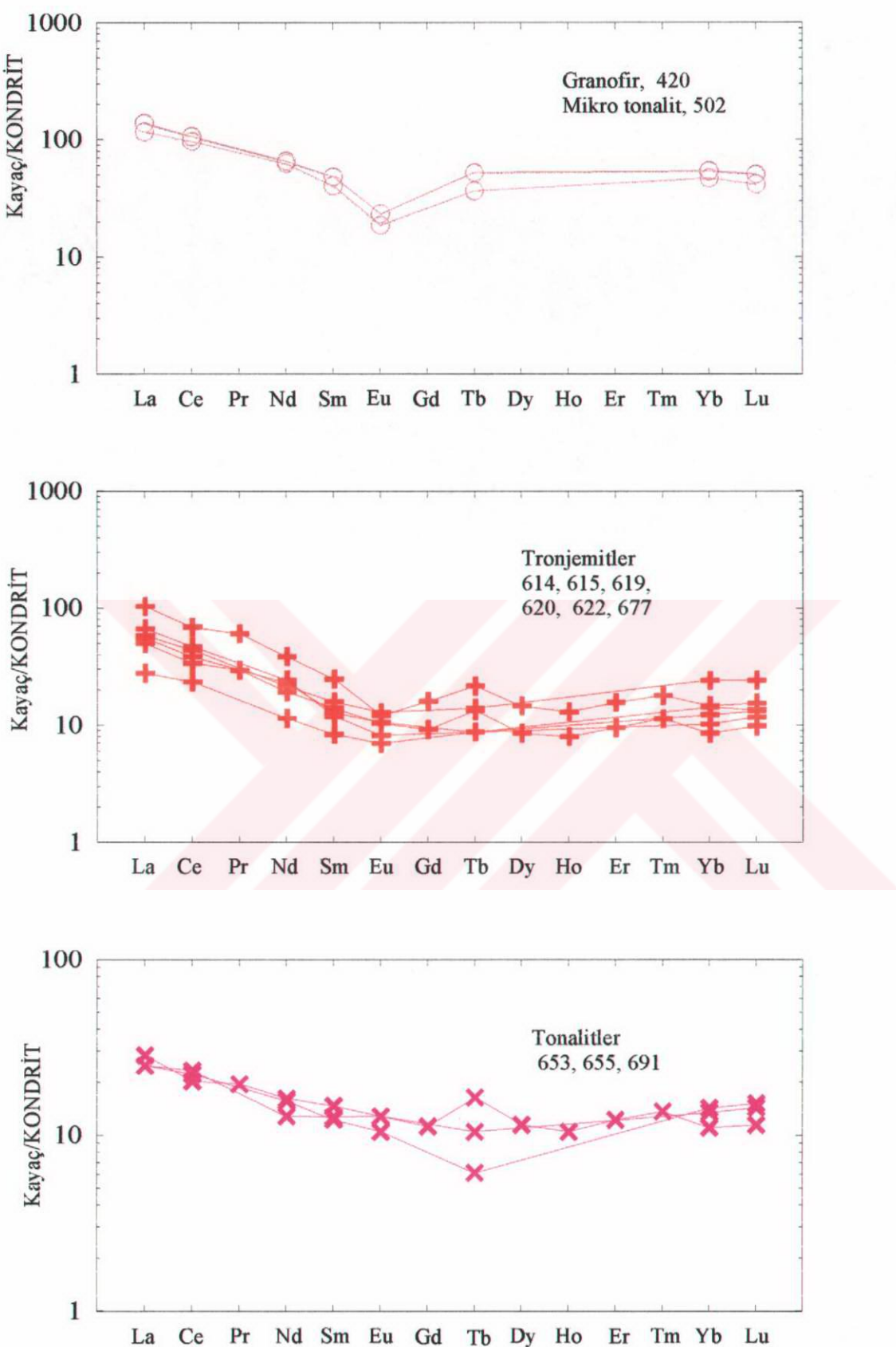
söylenebilir (Pearce ve Norry, 1979; Fujimaki, 1986). Bununla birlikte zirkon' un ağır REE dağılım katsayısı hafif REE' e nazaran daha büyüktür. Ayrıca Th' a nazaran U' a karşı son derece seçicidir ($D_{Th} > 50$ ve $D_U > 250$; Mahood ve Hildreth, 1983). Tonalitlerde Zr, Hf, Th ve U' un düşük, tronjemiterde nispeten yüksek değerlerde olması zirkonyum birikimi olduğunu göstermektedir.

Sebzeciler granitoyidi kayaçlarında yapılan nadir toprak element analizleri Çizelge 3.26' de verilmiştir. Tonalit, tonalit granofir ve mikro tonalitler çok az oranlarda farklılaşmış ($La_N/Lu_N = 1.64-2.78$) bir REE dağılımı sunmaktadır (Şekil 3.92). Ancak zenginleşme dereceleri son derece farklıdır. Tonalitler kondrite göre ortalama 20 kez zenginleşme gösterirken; tonalit granofir ve mikro-tonalitler kondrite göre ortalama 100 kez zenginleşmişlerdir. Tonalitler belirgin bir Eu (0.82-1.14) anomalisi göstermezken; granofir ve mikro-tonalitler çok kuvvetli negatif Eu (0.46-0.48) anomalisi göstermektedirler ($Eu_N^* =$

Çizelge 3.26. Sebzeciler granitoyidi kayaçlarının nadir toprak element (ppm) analizleri

Örn. No.	420	502	614	615	619	620	622	653	655	677	691
La	42	50	20	17,9	21	37,4	10	10,3	9	24	9
Ce	91	100	36	31,8	41	64,7	22	19,1	21	44	22
Pr	-	-	-	3,95	-	8,14	-	2,64	-	-	-
Nd	44	46	16	13,44	15	26,91	8	11,35	11	17	9
Sm	9,2	11	2,9	3,19	3,6	5,62	1,9	3,34	2,8	2,7	2,9
Eu	1,6	2	0,9	0,89	1,1	1,03	0,6	1,1	0,9	0,7	1,1
Gd	-	-	-	2,77	-	4,81	-	3,39	-	-	-
Tb	2,1	3	0,5	0,76	0,8	1,23	0,5	0,94	0,35	0,5	0,6
Dy	-	-	-	3,21	-	5,49	-	4,31	-	-	-
Ho	-	-	-	0,67	-	1,09	-	0,88	-	-	-
Er	-	-	-	2,34	-	3,84	-	3,01	-	-	-
Tm	-	-	-	0,4	-	0,63	-	0,48	-	-	-
Yb	11,5	13,3	3,5	2,09	5,9	3,59	2,5	2,71	3,5	3	3,3
Lu	1,57	1,91	0,51	0,37	0,91	0,58	0,44	0,43	0,57	0,5	0,54
$(La/Sm)_N$	2,87	2,86	4,34	3,53	3,67	4,19	3,31	1,94	2,02	5,59	1,95
$(Tb/Lu)_N$	0,88	1,03	0,64	1,35	0,58	1,39	0,75	1,44	0,40	0,66	0,73
$(La/Lu)_N$	2,78	2,72	4,07	5,02	2,40	6,69	2,36	2,49	1,64	4,98	1,73
Eu_1^*	38,02	49,67	10,59	13,46	14,69	22,77	8,42	15,33	9,08	10,15	11,45
Eu_2^*	19,91	23,81	6,28	11,43	7,79	20,02	4,11	12,77	6,06	5,84	6,28
Eu_1	-	-	-	0,89	-	0,59	-	0,99	-	-	-
Eu_2	0,48	0,46	0,98	0,76	0,86	0,52	0,82	0,82	1,14	0,79	1,10

$$Eu_1^* = (Sm+Gd)_N/2, \quad Eu = Eu_N/Eu^*; \quad Eu_2^* = (Sm+Tb)_N/2, \quad Eu = Eu_N/Eu^*$$

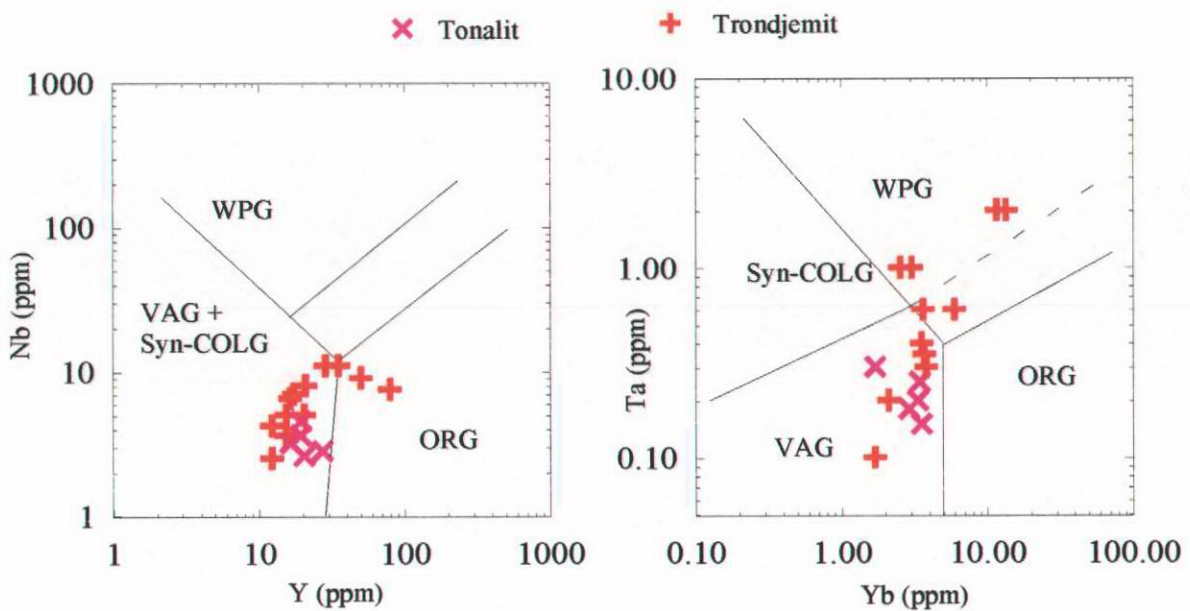


Şekil 3.92. Sebzeciler granitoyidi kayaçlarının kondrite göre normalleştirilmiş REE dağılım diyagramları (kondrit değerleri; Taylor ve McLennan, 1985)

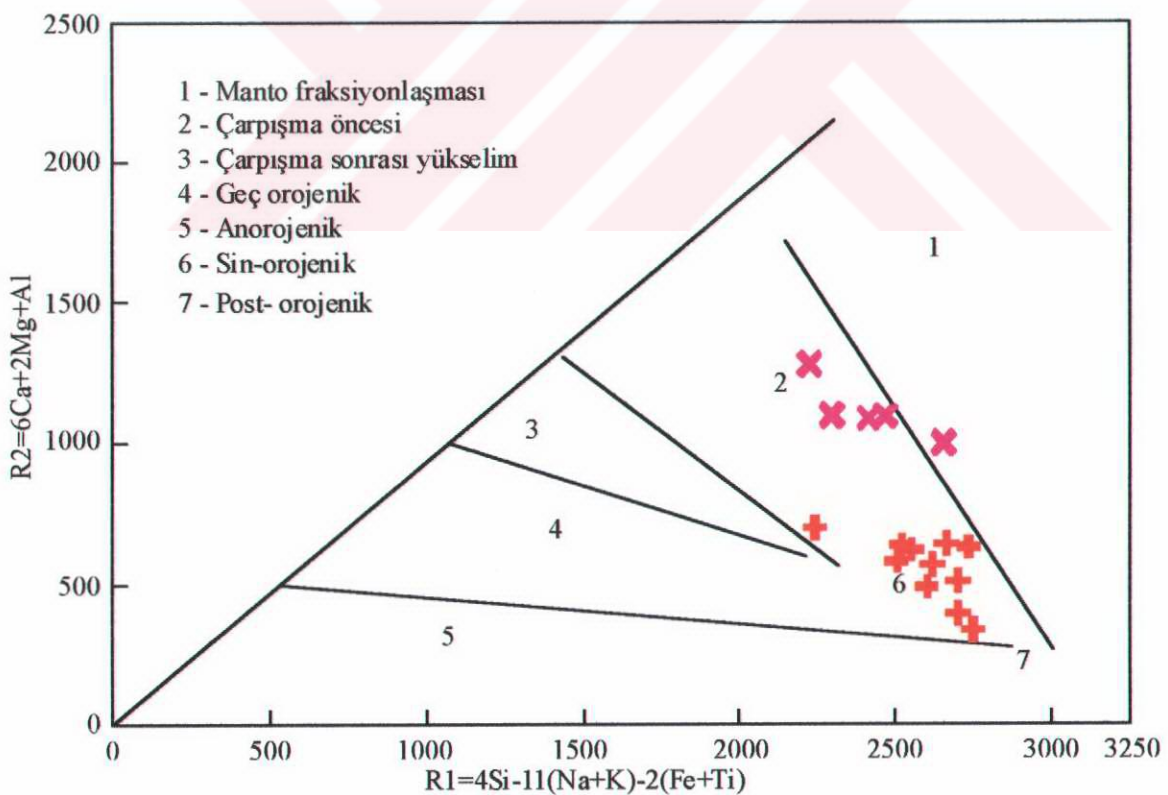
$(\text{Sm}_N + \text{Tb}_N)/2$). Tronjemitler ise diğerlerine göre toplam REE elementler bakımından daha yüksek değerlerde ($\text{La}_N/\text{Lu}_N = 2.09-6.69$) farklılaşmışlardır. Bunlar tonalit ve granofirlerden farklı olarak orta değerlerde Eu (0.52-0.98) anomalisi sunmaktadır. Toplam REE bakımından kondrite göre 30-90 arasında değişen oranlarda zenginleşmişlerdir. Tronjemitler Eu anomalileri ve zenginleşme oranları bakımından tonalitler ile granofirler arasında yer almaktadır. Hafif REE içeriklerinde de La_N/Sm_N oranları 3.31-5.59 arasında değişen orta değerlerde bir farklılaşma sunmaktadır. Her üç grup kayaçta ağır REE bakımından yataya yakın dağılım tarzı sunmakta ve kendi içlerinde belirgin bir farklılaşma göstermemektedirler.

3.3.4.2. Tektonik Ortam

Volkanik yay granitleri, volkanik yay bazaltlarına benzer şekilde K, Rb, Ba ve Th gibi büyük iyon yarıçaplı elementler bakımından Ta, Nb, Hf, Zr, Y ve Yb gibi yüksek çekim alanlı elementlere göre zenginleşmişlerdir. Ancak bu zenginleşme miktarları genellikle plaka içi granitler, çarpışmayla eş yaşı granitler, ve çarpışma sonrası granitler kadar yüksek değerlerde değildir. Bunların önemli bir özelliği de Y ve Yb değerlerinin normalleştirme (ORG) değerlerinin altında olmasıdır (Pearce ve diğ., 1984). Sebzeciler granitoyidine ait örnekler K, Rb, Ba ve Th bakımından Okyanus sırtı granitlerine göre ortalama 5 kez daha zenginleşmişlerdir. Ancak granofir (420) ve damar kayacına (502) ait örneklerin K_2O oranları okyanus sırtı granitlerinden düşüktür. Hf değerleri okyanus sırtı granitlerine göre 15-80 kez daha zenginleşmişlerdir. Zr, Sm, Y ve Yb değerleri ise okyanus sırtı granitlerine oranla düşüktür. Sebzeciler granitoyidi kayaçlarının okyanus sırtı granitlerine göre (ORG) büyük iyon yarı çaplı elementler bakımından zenginleşmiş, yüksek çekim alanlı elementler bakımından fakirleşmiş olması gibi özellikleri ile volkanik yay granitlerine benzemektedir (Bkz Şekil 95). Buna ilave olarak yine Pearce ve diğ., (1984) nin Y- Nb diyagramında Sebzeciler granitoyidine ait örneklerin iki tanesi hariç diğerlerinin volkanik yay granitleri (VAG) ve çarpışma eş yaşı granitoyideler (Syn-COLG) alanında toplandıkları görülmektedir (Şekil 3.93). Ancak çarpışma eş yaşı granitler ile volkanik yay granitlerinin ayrimının yapıldığı $\text{Rb}-(\text{Y}+\text{Nb})$ ve $\text{Rb}-(\text{Yb}+\text{Ta})$ diyagramlarında ise volkanik yay granitleri alanında toplanmaktadır.



Şekil 3.93. Sebzeçiler granitoyidi kayaçlarının Y-Nb ve Yb-Ta tektonik ayırım diyagramları (Pearce ve dig., 1984). VAG; volkanik yay granitleri, Syn-COLG; çarpışma eş yaşı granitler, WPG; plaka içi granitler, ORG; Okyanus sirtı granitleri (plajiyogranitler)



Şekil 3.94. Sebzeçiler granitoyidi kayaçlarının jeodinamik R1-R2 diyagramı (Batchelor ve Bowden, 1985)

Batchelor ve Bowden (1985)'in multikatyonik diyagramında Sebzeciler granitoyidi örneklerinin büyük çoğunluğunun 6 nolu, dört tanesinin de 2 nolu alana düştüğü görülmektedir (Şekil 3.94). Çarpışma eş yaşılı granitlerin toplandığı 6 nolu alan petrolojik olarak da anatektik iki mikali granitlere karşılık gelir (Lamayre ve Bowden, 1982). Tronjemitler bu alanda toplanmaktadır. Tonalitler ise çarşisma öncesi alanda toplanarak tronjemitlerden ayrılmaktadır.

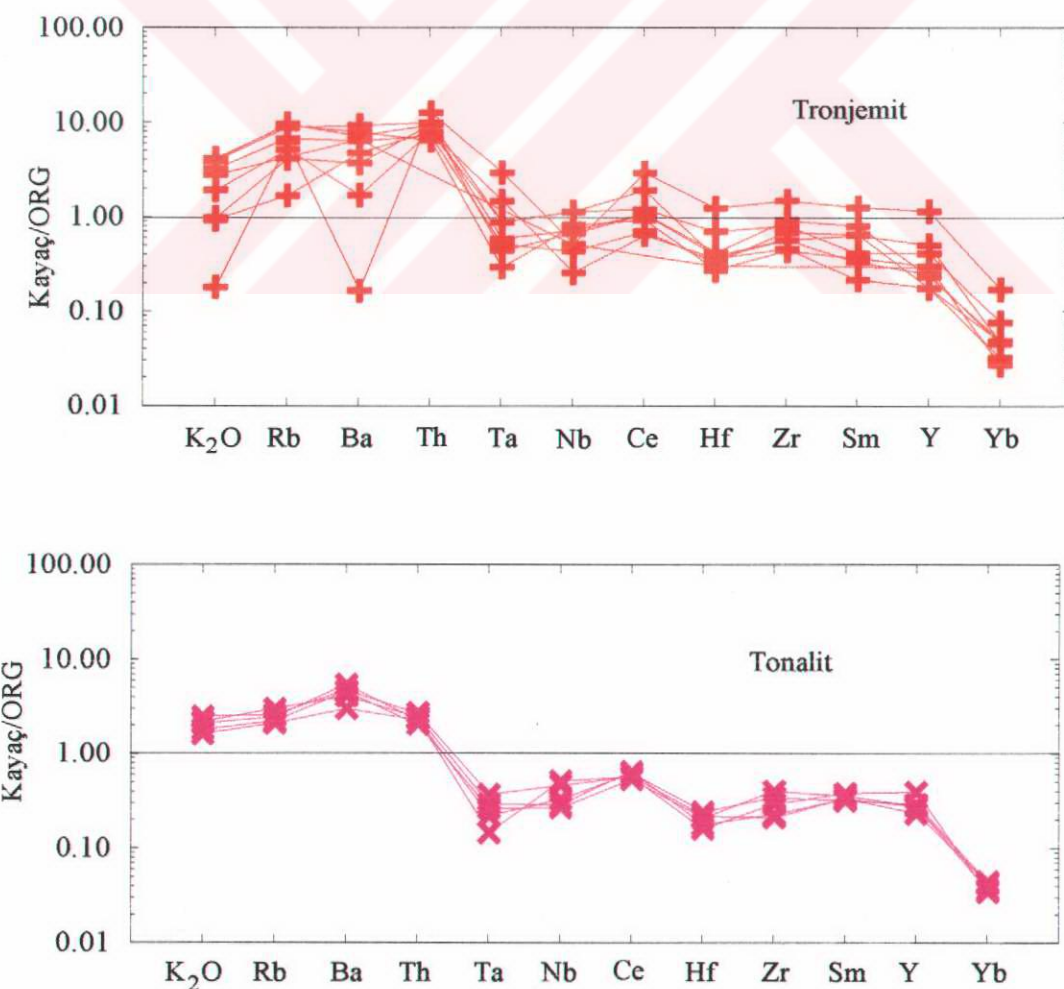
3.3.4.3. Petrojenez

Tonalit ve tronjemitlerin okyanus sırtı granitlerine (ORG) göre LIL elementler (K, Rb, Ba, Th) bakımından zenginleşmiş, Ta' dan Yb'a kadar olan HFS elementler bakımından ise fakirleşmişlerdir (Şekil 3.95). Granitoyid bu özellikleri ile Pearce ve dig., (1984) nin volkanik yay granitlerine (VAG) benzemektedir. Sr' dan Th' a kadar olan LILE zenginleşmesi tonalit ve tronjemitlerin oluşumunda okyanusal kabuğun katkısını gösterirken, Ta' dan Yb'a kadar olan düşük HFS içerikleri de manto kamasından gelen katkıyı göstermektedir. Ada yaylarında $Ba/La > 15$, $La/Th < 10$ dur (Gill, 1981). Tonalitler Ba/La oranlarının 16-25 arasında, La/Th oranlarının da 4.7-5.7 arasında olması ile ada yayı karakterindedirler. Tronjemitlerde ise Ba/La (6-21) oranları daha geniş bir aralığa sahiptir ve bazı örneklerde bu oran 15 den küçüktür. Ancak La/Th (1.6-6.15) oranları ile tamamen ada yayı özelliğindedirler (Şekil 3.96). Sebzeciler granitoyidi kayaçları, oluşumlarında okyanusal kabuğun önemli rol oynadığı yüksek Al'lu TTD' lere benzer şekilde düşük K' lu kalk-alkali tronjemitik yönsemeye sahiptirler (Martin, 1987; Defant ve Drummond, 1990; Drummond ve Defant, 1990).

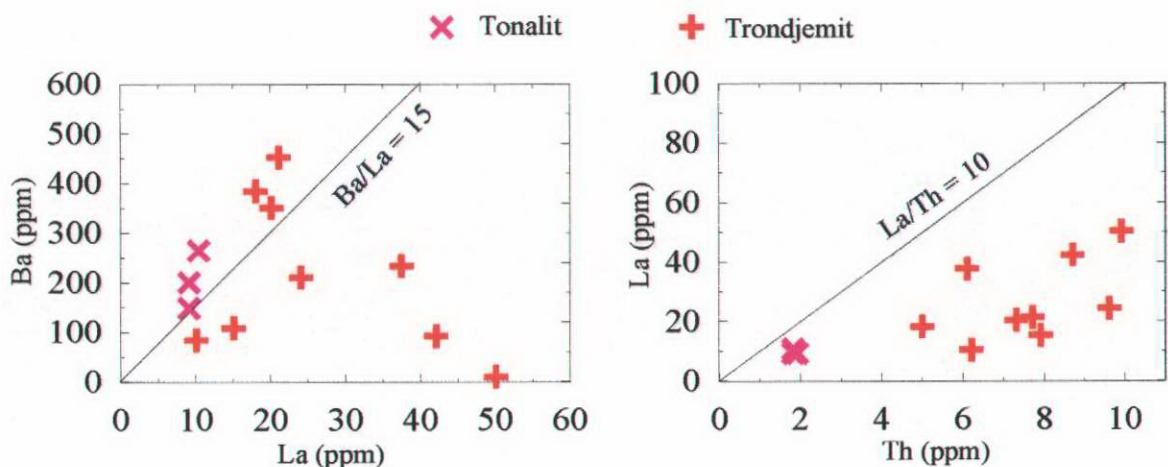
Sebzeciler granitoyidinin orojenik dönemde ilişkileri bakımından tonalitler çarşisma öncesi, tronjemitler ise çarşisma eş yaşılı döneme karşılık gelmektedir (Batchelor ve Bowden, 1985). Granitoyidin Geç Paleozoyik yaşı Karadağ metamorfitleri ve Demirkent plütonu tarafından sınırlanmış olması ve tektonomagmatik diyagramındaki konumları (Şekil 3.93, 94); tonalitlerin Kimmerisiyen ? orojeni öncesi, tronjemitlerin ise Kimmerisiyen orojeni ? sırasında yerleşmiş olabileceği söylenebilir.

Bölgelerde Sebzeciler granitoyidinden daha yaşlı, sialik karakterli Karadağ metamorfitleri (Paleozoyik) bulunmaktadır. Karadağ metamorfitlerinin amfibolit fasiyesinin üst seviyelerine kadar çıkabilen nispeten düşük basınç ve sıcaklıklarda oluşmuş olmaları, granitoyidin yönlü yapılar göstermemesi ve metamorfitleri keserek yerleşmesi gibi veriler yaşlı sialik karakterli kabuksal kayaçların (metamorfitlerin) tonalit ve tronjemitlerin köken kayaçları olma ihtimalini ortadan kaldırmaktadır.

I-tipi granitoyidler $A/CNK < 1.1$, $Sr^{87}/Sr^{86} < 0.705$ ve $\% 0.9 > \delta^{18}O$ değerlerine, M-tipi granitoyidler ise $A/CNK < 1$, $Sr^{87}/Sr^{86} < 0.705$ ve $\delta^{18}O < \% 0.9$ değerlerine sahiptirler (Clark, 1992). I-tipi granitler için mafik ve ortaç derinlik kayaçları veya kabuk altı kökeni önerilirken (Chappell ve White, 1974; Chappell ve Stephenson, 1988); M-tipi granitler için manto kökeni önerilmekte ve yiten okyanus kabuğunun direkt veya dolaylı katkısından



Şekil 3.95. sebzeciler Granitoyidi kayaçlarının MORB' a göre normalleştirilmiş uyumsuz element dağılım diyagramları (ORG değerleri; Pearce ve diğ., 1984)



Şekil 3.96. Sebzeciler granitoyidi kayaçlarının La-Ba ve Th-La değişim diyagramları

bahsedilmektedir (White, 1979; Pitcher, 1982). Sebzeciler granitoyidinin A/CNK oranları tonalitlerde genel olarak 1' den küçük (0,97-1), tronjemitler de ise 1' den büyütür (0.87-1.16). Granitoyidin A/CNK değerleri ile SiO_2 içeriği arasında artan yönde doğrusal bir ilişki vardır. Bu nedenle Sebzeciler granitoyidini oluşturan ilk ana magmanın metalümin karakterli diyoritik-tonalitik bir magma olduğu, zaman içerisinde basınç ve sıcaklıkta meydana gelen azalma ve kesirli kristallenme sonucunda peralümin özellik kazandığı ve tronjemitleri oluşturduğu söylenebilir. Diğer taraftan tonalitler 1' den düşük A/CNK değerleri ile M-tipi granitoyidlere benzemektedirler.

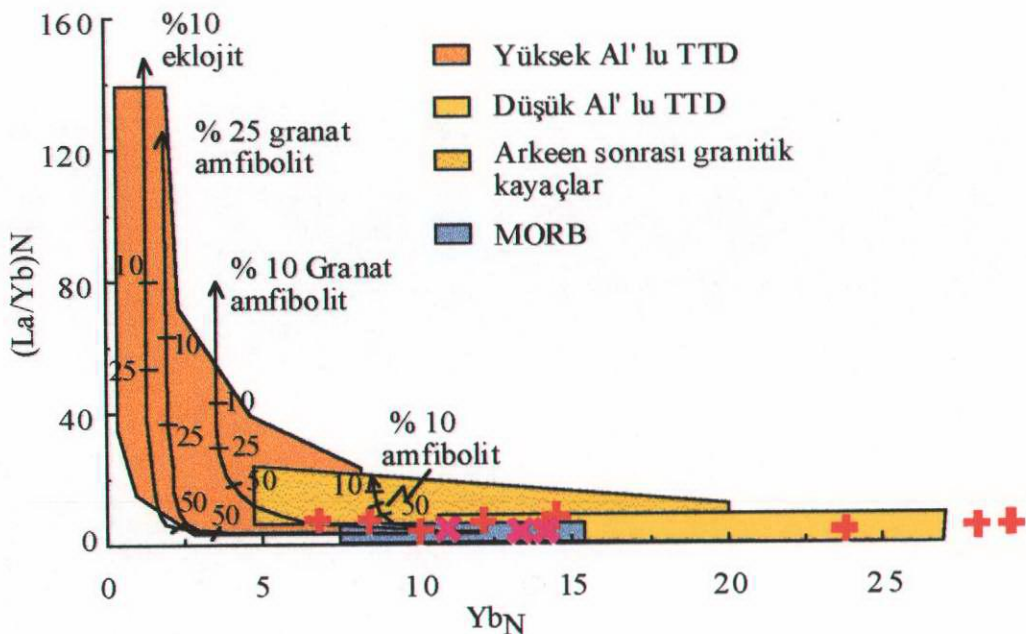
Okyanusal kabuk-kıtasal kabuk çarşımı sonucu oluşan granitoyidlere örnek olarak Peninsular Ranges Batoliti (California) verilmektedir. Bunlar genellikle eş tektonik (syn-tectonic), daha az olarak da post-tektoniktirler. Çevre kayaçlar olarak da meta volkanik ve meta-sedimentler ile ilişkilidirler (DePolo, 1981; Baird ve Miesch, 1984; Gromet ve Silver, 1987; Ague ve Brimhal, 1988). Sebzeciler granitoyidinin Karadağ metamorfitleri ve Demirkent plütonu ile olan uyumsuz dokanlığı, kenar kısımlarında ince taneli tonalit ve tronjemit dayaklarının varlığı çevre kayaçlarını keserek yerleştiğine işaret etmektedir. Bu özellikleri açısından Sebzeciler granitoyidi kıtasal kabuk-okyanusal kabuk çarşımı sonucunda kıtasal kabuğa yerleşmiş M-tipi bir granitoyid özelliğindedir.

Şekil 3.97 yüksek ve düşük Al'lu TTD lerin gelişimlerini özetlemektedir. Diyagramda yüksek Al'lu TTD' ler $\text{Yb}_{\text{N}} = 10-12$ içeriğine sahip MORB kökenin (refraktör olarak

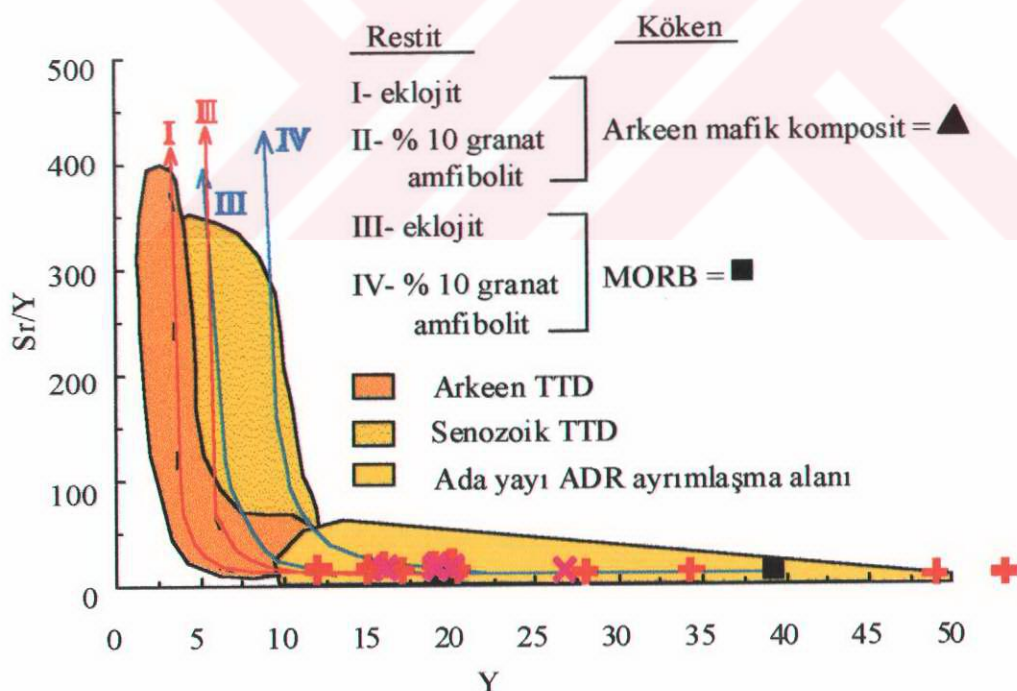
granat amfibolit veya eklojıt bırakır) kısmi ergimesi ile oluşturduğu kabulüne dayanmaktadır (Jahn ve diğ., 1981; Martin, 1986). Düşük Al' lu TTD' ler, düşük $(La/Yb)_N$ oranları, yatay REE profili ve yüksek Yb_N değerlerini ağır nadir toprak elementleri uzaklaştıramayan fazların (plajiyoklas ve piroksen) sistemden uzaklaşmasına bağlıdır (Martin, 1987). Sebzeciler granitoyidi kayaçları genel olarak yüksek Yb_N (7-53) içerikleri, düşük La_N/Yb_N oranları ile direkt olarak MORB' un kısmi ergimesi ile oluşan yüksek Al' lu TTD' lerden ayrılmakta ve düşük Al'lu TTD alanına düşmektedir.

Yüksek Al'lu TTD' ler ile düşük Al' lu TTD' lerin ayrimının yapıldığı diğer bir diyagramda Y-Sr/Y diyagramıdır (Şekil 3.98). Bu modelde de yüksek Al' lu TTD' ler kalıntı olarak % 10 granat amfibolit veya eklojıt bırakılan MORB ve Arkeen Mafik Komposit' in kısmi ergimesi ile oluşturulmaktadır (Drummond ve Defant, 1993; Şen ve Dun, 1994). Sebzeciler granitoyidi kayaçları, tonalitlerinin % 15'den büyük Al_2O_3 içerikleri dışında, genel olarak düşük Sr içerikleri, negatif Eu anomalileri, hafifçe zenginleşmiş LREE, hafifçe tüketilmiş ve yatay HREE dağılımı ile düşük Al' lu TTD' lere benzemektedirler. Y-Sr/Y diyagramında da genel olarak yüksek Y içeriği ve düşük Sr/Y oranları ile ada yayı andezit-dasit ve riyolit (ADR) alanına düşmektedirler (Şekil 3.98).

Bir çok Kuvarerner ada yayı ADR 'nin silis içerikleri adakit ve TTD'ler ile benzer olmakla birlikte, bir çok yönden onlardan ayrılmaktadırlar. Bu tür ada yayı volkanikleri muhtemelen çok düşük oranlarda sediment bileşenler ile metasomatize olmuş manto kamاسından kaynaklanan bazaltik magmalardan itibaren oluşmuş görülmektedirler (Ewart ve Hawkesworth, 1987). Adakit ve TTD' ler ile karşılaştırılabilir Sr ve Y değerlerine sahip bazaltik eriyikler muhtemelen assimilasyon ve kesirli kristallenme (AFC) ve magma karışımı olayları ile daha silisik bileşimlere ulaşabilirler. Peridotitik kökenin kısmi ergimesi ve sonraki farklılaşma olayları altere MORB' un kısmi ergimesi ile oluşan yüksek-Al' lu TTD ve adakitlerin aksine, yüksek Y (düşük Sr/Y oranları) ve düşük Sr içerikleri olan kalk-alkali ada yayı andezit dasit ve riyolitlerini oluşturur (Defant ve diğ., 1991). Sebzeciler granitoyidi kayaçlarının düşük Sr/Y, $(La/Yb)_N$ oranları ve yüksek Y içerikleri, yiten dilimden gelen bileşenler tarafından metasomatize olmuş manto kökenin kısmi ergimesi ile oluşmuş olabileceklerine işaret etmektedir.



Şekil 3.97. Sebzeciler granitoyidi kayaçlarının kondrite göre normalleştirilmiş Yb_N 'a karşı $(\text{La/Yb})_N$ diyagramı (Jahn ve dig. 1981, Martin, 1986). Şekilde ayrıca yüksek ve düşük-Al'lu TTD'ler ve granitik kayaçların MORB köken ile olan ilişkilerini özetlenmektedir



Şekil 3.98. Sebzeciler granitoyidi kayaçlarının Y' a karşı Sr/Y diyagramı. Diyagramda ayrıca MORB ve Arkeen mafik kompositin kısmi ergimesi ile oluşan yüksek Al'lu Arkeen ve Senozoyik TTD'lerin değişimleri görülmektedir. Her iki modelde de restit olarak % 10 granat amfibolit ve eklojит kalmaktadır (Drummond ve Defant, 1990; Şen ve Dun, 1994)

3.3.5. Kinalıçam Volkanitleri

3.3.5.1. Giriş

Doğu Pontidler'in kuzey-güney geçişinde yer alan Yusufeli yöresindeki Liyas yaşı Kinalıçam volkanik karmaşığı Pontidler'in jeotektonik gelişiminin ortaya konulmasında faydalı bilgiler sağlayabilir. Kinalıçam volkanitleri dolerit, bazalt, sipilitleşmiş bazalt, bazaltik andezit, andezit, dasit ve riyolitlerden meydana gelmektedir. Erken Jura' da ekstansiyonel rejimin etkisi altına giren Pontidler Güney Zonu'nda bir havzalaşma süreci başlamıştır (Bektaş ve diğ., 1987; Aslan ve diğ., 1997). Bu bakımından özellikle dolerit daykları ve bazaltlar kıtasal riftler ile ilişkili dayklar ve diğer kayaçlar ile karşılaştırılabilir. Kıtasal riftleşme döneminde gelişen dayklar mantoya açılan birer pencere gibidirler ve ilk magmatik olaylar hakkında bilgi verirler (Hart ve diğ., 1989; Coish ve Sinton, 1992). Bu bölümde Kinalıçam volkanitleri jeokimyasal olarak kıtasal riftlerle ilişkili volkanitler, yay gerisi havzalarla ilişkili volkanitler ve genç/olgun ada yayları ile ilişkili volkanitler ile karşılaştırılarak hangi grup veya gruplar ile hangi oranlarda benzer oldukları ortaya konulmaya çalışılmıştır. Ana ve iz element analizleri ile CIPW parametreleri Çizelge 3.27'de, nadir toprak elemet analizleride 3.28'de verilmiştir.

3.3.5.2. Ana, İz ve Nadir Toprak Elementler

Kinalıçam volkanitleri toplam alkali-silis diyagramında (LeMaitre ve diğ., 1989) bazalttan fonolite ve fonolitten de riyolite kadar bir değişim göstermektedirler (Şekil 3.99). Ancak diyagramda kullanılan silisyum ve alkaliler; yüzeysel ve hidrotermal alterasyonlar karşısında duraysız davranışlarından, alterasyon ve kabuksal kirlenmeye uğramamış kayaçların adlandırılmasında sağlıklı sonuçlar verebilir. Bu diyagrama göre Kinalıçam volkanitleri bazalttan fonolite ve fonolitten de riyolite kadar hilal şeklinde bir değişim göstermektedirler. Bu bakımından Ti, Zr, Nb ve Y gibi alterasyonlar karşısında duraklı elementlere göre oluşturulan adlandırma diyagramları Kinalıçam volkanitleri için daha sağlıklı sonuçlar verecektir. Toplam alkali-silis diyagramına göre alkalilerce zengin kayaç grubu alanlarına düşen bazı örnekler $\text{SiO}_2 - \text{Zr}/\text{TiO}_2$ ve $\text{Nb}/\text{Y}-\text{Zr}/\text{TiO}_2$ (Winchester ve

Çizelge 3.27. Kinalıçam volkanitlerinin ana (%) ve iz (ppm) element analizleri ile CIPW normaları

Örn. No.	Doleritler								
	10	59	317	523	660	661	66	826	847
SiO₂	47,77	54,77	48,48	50,15	47,16	50,59	49,41	48,04	49,17
TiO₂	1,22	1,97	1,48	3,07	1,03	1,6	3,51	1,1	0,76
Al₂O₃	16,22	14,68	15,04	13,92	17,93	15,18	14,84	17,11	18,9
Fe₂O₃	3,22	4,07	2,87	6,50	3,22	2,96	4,63	2,87	2,97
FeO	6,77	6,40	7,26	6,79	5,76	8,30	10,58	5,86	5,25
Fe₂O₃*	9,99	10,47	10,13	13,29	8,98	11,26	15,21	8,73	8,22
MnO	0,12	0,19	0,17	0,21	0,14	0,18	0,19	0,22	0,19
MgO	6,4	3,13	6,9	5,69	9,02	6,07	7,53	9,62	5,99
CaO	9,02	4,07	8,25	3,46	11,45	10	5,64	5,4	8,6
Na₂O	3,23	5,65	3,61	4,74	2,08	3,3	4,53	4,33	3,54
K₂O	0,37	0,75	0,3	0,06	0,08	0,19	0,55	0,05	0,65
P₂O₅	0,11	0,76	0,18	0,31	0,06	0,08	0,29	0,13	0,09
LOI	4,3	2,5	3,3	4,9	1,5	0,6	0,16	4,8	3,2
Toplam	98,75	98,94	97,84	99,8	99,43	99,05	101,86	108,26	107,53
Sr	655	153	229	57	195	175	224	111	317
Rb	6,52	17,32	5,14	18,6	11,2	12	7,64	1,2	21,17
Ba	141	192	120	11	38	94	9	51	394
Th	1,7	3,2	0,7	3,8	2,3	2,5	3,3	6,1	2
Ta	0,80	0,40	1,00	0,70	0,25	0,51	0,20	0,07	0,05
Nb	2,81	8,36	3,50	3,00	5,00	6,00	4,85	2,11	0,62
Ce	18	54	14	54	21	15	4	14,5	11
Zr	54	114	81	175	80	94	154	49	32
Hf	2	2,8	3	3,5	2,2	2,7	3,1	1,3	1,0
Sm	2,6	7,5	3,3	6,8	4,2	3,8	5,5	2,8	2,2
Y	12	31	20	34	14	26	3	21	17
Cr	320	60	660	80	440	130	16	180	270
Ni	77	21	79	30	159	47	7	32	57
Co	35	50	50	50	50	50	50	29	31,8
Sc	23	18	32	28	28	29	8	30	36
U	0,5	0,8	0,5	1,2	0,6	0,7	0,3	0,2	0,3
Q	-	5,88	-	6,22	-	0,61	-	-	-
Or	2,18	4,41	1,76	0,35	0,47	1,12	3,23	0,29	3,82
An	28,64	12,47	23,93	15,16	39,32	26,03	18,52	25,93	33,73
Ab	27,31	47,77	30,52	40,17	17,59	27,9	38,3	36,61	29,93
Di	12,45	2,31	12,82	-	13,63	18,84	6,15	-	6,71
Hy	13,14	12,14	13,5	16,57	14,22	16,4	9,37	9,51	10,49
Ol	3,43	-	4,56	-	5,89	-	12,02	15,37	5,41
Mt	4,68	5,91	4,17	9,44	4,66	4,29	6,73	4,17	4,31
İlm	2,32	3,75	2,82	5,84	1,96	3,04	6,68	2,09	1,45
Ap	-	1,64	0,39	0,67	0,13	0,17	0,62	0,28	0,19
Crn	-	-	-	-	-	-	-	0,42	-
Mg#	62,8	46,6	62,9	59,9	73,6	56,6	55,9	74,5	67

* toplam Fe₂O₃; Mg# = MgO/(MgO+FeO)

Çizelge 3.27'nin devamı

Bazalt ve andezitler

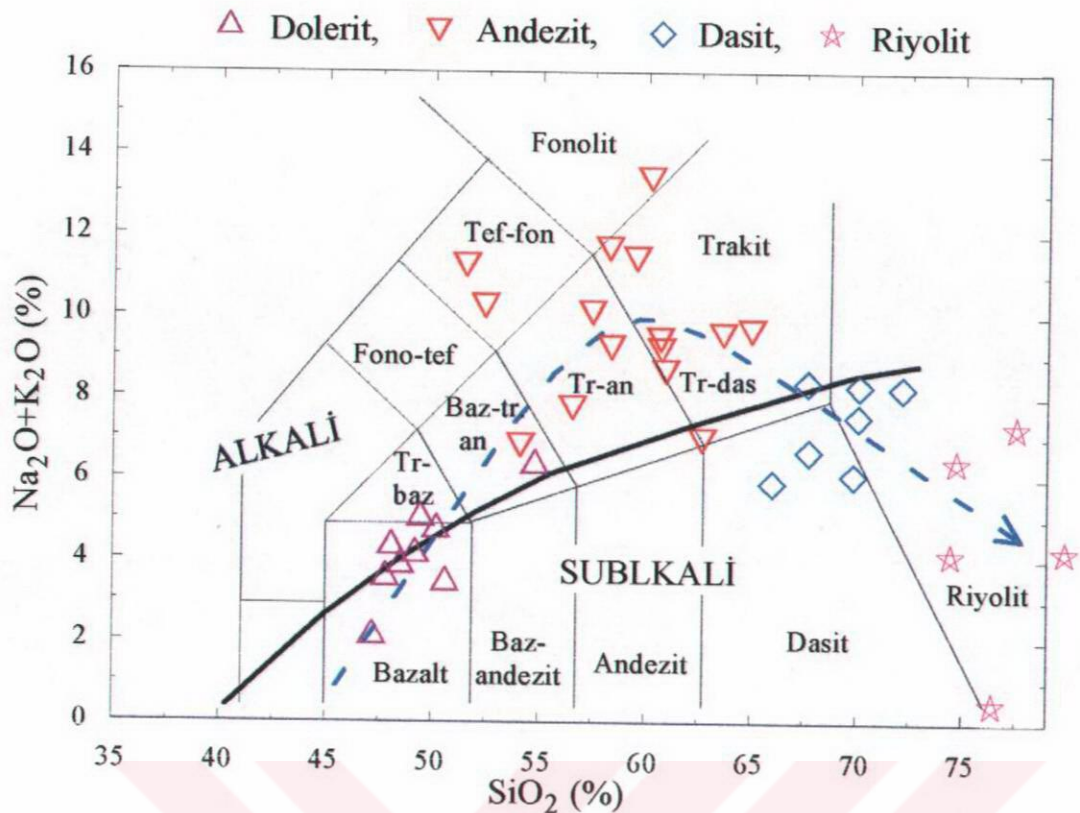
Örn. No.	17	18	27	92	151	170	173	174	302	303	304	344	346	348	492	
SiO₂	56,5	63,6	60,2	65	54,1	60,6	51,5	57,4	52,4	60,7	58,2	59,5	58,3	62,6	60,9	
TiO₂	0,85	0,62	1,42	0,71	0,69	0,62	0,89	0,95	0,78	0,61	0,62	0,61	0,6	0,65	0,84	
Al₂O₃	17,1	14,8	12,9	18,7	18,8	17,4	19,5	16,8	17,2	16,6	15,8	13,9	14,8	14,3	16,1	
Fe₂O₃	2,96	2,45	3,87	2,73	3,66	3,50	5,02	6,43	6,70	2,92	3,93	3,37	3,66	1,39	3,61	
FeO	2,43	1,58	2,51	1,87	4,53	2,91	4,13	3,76	2,68	1,67	1,54	2,58	3,64	4,24	3,88	
Fe₂O₃*	5,39	4,03	6,38	4,6	8,19	6,41	9,15	10,2	9,38	4,59	5,47	5,95	7,3	5,63	7,49	
MnO	0,04	0,03	0,08	0,07	0,13	0,11	0,14	0,13	0,11	0,07	0,09	0,21	0,1	0,08	0,1	
MgO	3,48	1,74	1,46	1,53	5,72	1,87	8,17	2,54	2,9	1,07	1,44	1,52	4,37	2,87	2,48	
CaO	2,8	3,63	6,29	0,19	3,75	4,14	5,76	3,58	5,83	4,61	5,98	6,53	5,52	3,95	3,29	
Na₂O	4,91	5,89	7,06	9,42	3,42	5,27	5,45	6,48	4,38	4,53	5,65	4,86	3,68	2,98	5,32	
K₂O	3,99	1,89	0,19	0,03	3,37	1,09	0,47	0,48	2,67	3,39	1,33	1,47	1,58	0,51	0,12	
P₂O₅	0,17	0,27	0,28	0,03	0,23	0,09	0,04	0,19	0,16	0,2	0,11	0,04	0,1	0,01	0,17	
LOI	4,2	3,2	2,87	0,01	1,55	1,4	0,01	1,24	3,2	3,4	4,2	5,1	2,6	6,3	2,5	
Toplam	99,4	99,7	99	100	99,9	99	101	100	99	99,8	98,9	99,7	99	99,9	99,4	
Sr	755	530	134	149	284	417	336	284	510	334	351	240	378	156	159	
Rb	73	-	-	-	-	39	-	-	120	-	-	56	-	30	-	
Ba	1049	583	101	141	69	242	184	69	513	782	414	381	201	24	117	
Th	8,9	-	-	-	-	5,7	-	-	13	-	-	4,5	-	5,8	-	
Ta	0,8	-	-	-	-	0,6	-	-	0,7	-	-	0,1	-	0,3	-	
Nb	5	3,5	8	5	2	8	7	2	9	7	4	3	10	11	7	
Ce	50	70	26	19	11	50	22	11	50	60	50	50	50	50	19	
Zr	124	120	167	50	81	105	137	81	95	138	106	88	65	136	121	
Hf	4	-	-	-	-	4	-	-	4	-	-	3	-	4	-	
Sm	4,2	-	-	-	-	3,6	-	-	4,2	-	-	2,6	-	4,4	-	
Y	10	11	5	2	22	17	11	22	10	11	17	11	11	26	20	
Yb	1,7	-	-	-	-	3,6	-	-	2,3	-	-	2,9	-	4,2	-	
Cr	20	2	106	27	100	4	46	10	21	4	6	90	41	4	1	
Ni	42	23	11	11	28	20	22	6	20	20	21	26	20	20	20	
Sc	15	10	-	-	21	14	-	-	18	10	17	19	25	13	12	
Q	1,68	14,2	9,22	7,37	3,53	13,7	-	-	15,2	2,15	11,9	8,89	13,2	13,1	28,1	17,9
Or	23,5	11,1	1,12	0,18	19,8	6,41	2,76	54,8	15,7	19,9	7,82	8,64	9,29	3	0,71	
An	12,7	8,36	2,84	0,75	17,1	19,9	27,4	1	19,3	15	13,8	11,8	19,2	19,5	15,2	
Ab	41,5	49,8	59,7	79,6	28,9	44,6	44,4	6,12	37	38,3	47,7	41,1	31,1	25,2	45	
Di	0,03	6,16	7,84	-	-	-	0,67	-	6,66	5,14	7,74	10,7	5,97	-	-	
Hy	9,32	1,48	-	3,95	18,6	6,29	-	9,34	4,13	0,28	-	-	10,9	12,8	9,1	
Ol	-	-	-	-	-	-	15,8	-	-	-	-	-	-	-	-	
Mt	4,3	3,4	4,24	3,97	5,32	5,08	7,29	1,81	6,75	3,85	3,47	4,9	5,32	2,02	5,24	
Hmt	-	0,11	0,95	-	-	-	-	-	2,06	0,27	1,55	-	-	-	-	
İlm	1,62	1,18	2,7	1,35	1,31	1,18	1,69	0,41	1,48	1,16	1,18	1,16	1,14	1,24	1,6	
Ap	0,37	0,58	0,6	0,6	0,35	0,19	0,09	-	0,34	0,43	0,24	0,09	0,22	0,02	0,37	

* toplam Fe₂O₃; Mg# = MgO/(MgO+FeO)

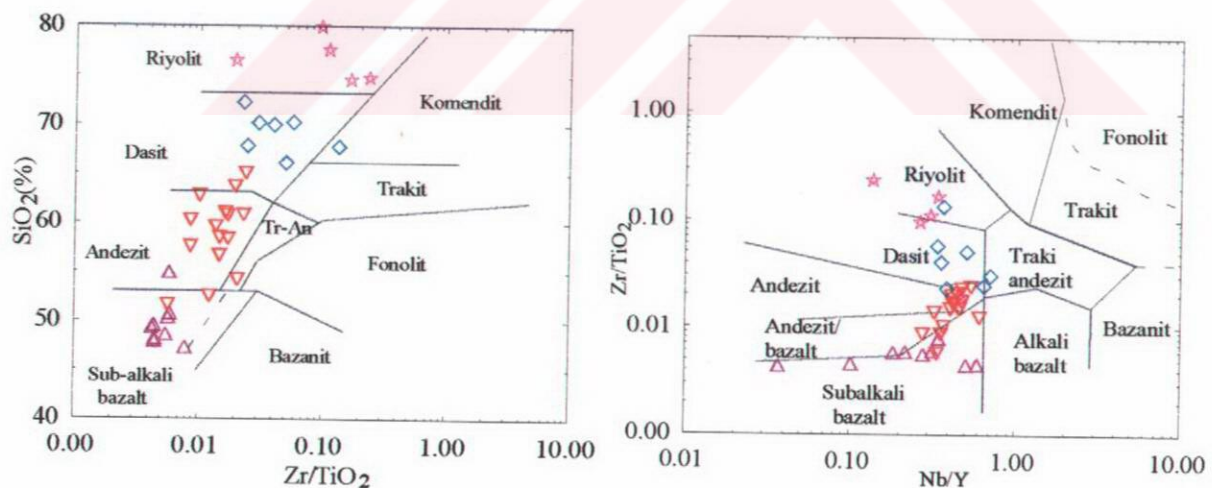
Çizelge 3.27' nin devamı

Örn No.	Dasit ve riyolitler											
	11	30	49	50	64	69	179	227	232	279	347	656
SiO₂	79,84	77,52	74,69	67,7	67,64	75,44	72,12	76,4	65,97	69,82	70,03	70,08
TiO₂	0,12	0,12	0,1	0,57	0,4	0,26	0,55	0,49	0,32	0,36	0,36	0,33
Al₂O₃	8,99	12,12	11,06	11,2	13,05	13,54	14,2	11,34	15,31	12,87	12,04	14,75
Fe₂O₃	0,62	0,59	0,51	2,58	1,91	0,42	0,22	1,49	1,24	1,02	2,23	0,62
FeO	0,60	0,70	0,52	1,12	1,26	0,76	1,63	0,51	3,20	1,70	1,47	2,58
Fe₂O₃*	1,22	1,29	1,03	3,7	3,17	1,18	1,85	2	4,44	2,72	3,7	6,209
MnO	0,02	0,01	0,02	0,08	0,1	0,07	0,02	0,02	0,09	0,05	0,09	0,05
MgO	0,43	0,05	0,58	0,89	0,76	0,13	0,57	0,65	1,07	1,22	1,51	0,55
CaO	1,09	0,95	0,76	1,93	1,54	0,56	1,69	0,2	1,9	1,84	2,35	2,57
Na₂O	3,1	6,28	5,62	4,71	6,79	3,53	6,51	0,23	3,96	4,22	5,14	5,67
K₂O	1,16	0,12	0,1	0,76	0,12	0,23	0,14	4,77	3,55	2,64	0,12	0,13
P₂O₅	0,01	0,01	0,02	0,12	0,8	0,07	0,1	0,01	0,12	0,01	0,06	0,07
LOI	2,1	0,7	5,87	7,89	3,47	3,77	0,6	3,9	2,5	3,3	2,6	1,3
Toplam	98,08	99,17	99,85	99,55	97,84	98,78	98,35	100	99,23	99,05	98	101,7
Sr	106	71	769	336	40	56	188	61	247	72	122	250
Rb	20	25	34	30	20	18	15	12	30	27	30	32
Ba	229	48	96	184	39	173	52	760	765	633	85	67
Th	5,6	5,1	8	7,3	4,2	3,6	8,8	6,2	6,5	5,7	7,7	7,1
Ta	0,42	0,56	0,48	0,61	0,66	0,35	0,65	0,36	0,56	0,44	0,51	0,35
Nb	7	9	4	7	59	23	8	6	5	7	4	10
Ce	28	47	30	22	116	101	38	32	34	25	12	21
Zr	113	130	230	137	528	422	124	94	159	142	107	186
Hf	5	5	4	5	6	6	5	3	4	2	4	2
Sm	3,5	5	5	5,5	6	2,5	3,8	3,2	4	2,6	1,3	1,8
Y	27	30	30	11	122	61	21	13	10	20	10	27
Yb	1	0,8	0,7	1,4	1,3	0,4	1	0,7	1,2	0,6	0,5	0,4
Cr	6	3	1	32	9	49	5	4	1	4	22	4
Ni	20	20	15	6	17	10	20	20	20	20	20	20
Sc	10	10	-	-	-	-	10	10	10	10	10	10
Q	54,23	39,19	38,99	32,62	25,36	51,51	28,65	55,44	21,98	28,77	32,76	28,76
Or	6,82	0,71	0,59	4,47	0,71	1,3	0,82	28,04	20,88	15,53	0,71	0,76
An	5,34	4,52	3,64	7,17	2,49	2,33	7,73	0,93	8,65	8,37	9,42	12,29
Ab	26,21	53,09	47,51	39,82	57,41	29,84	55,04	1,94	33,48	35,68	43,46	47,94
Di	-	0,11	-	1,27	-	-	-	-	-	0,56	1,45	-
Hy	1,5	0,69	1,85	1,63	2,15	1,02	3,34	1,62	7,14	4,54	3,51	5,13
Mt	0,9	0,86	0,74	2,22	2,77	2,22	0,32	0,26	1,8	1,48	3,24	0,9
Hmt	-	-	-	1,05	-	-	-	1,32	-	-	-	-
İlm	0,23	0,23	0,19	1,08	0,76	0,49	1,05	0,93	0,61	0,68	0,68	0,63
Ap	0,02	0,02	0,04	0,26	1,72	0,13	0,22	0,02	0,26	0,02	0,13	0,15
Crn	0,68	-	0,37	-	0,84	6,63	0,5	5,46	1,78	-	-	0,77
Mg#	56,1	11,3	66,5	58,6	51,8	15,9	38,5	69,9	37,4	56,1	64,7	27,6
A/CNK	1,08	0,99	1,03	0,93	0,93	1,91	1,02	1,92	1,111	0,98	0,94	1,04
A/NK	1,41	1,16	1,18	1,31	1,15	2,24	1,31	2,05	1,48	1,31	1,4	1,56

* toplam Fe₂O₃; Mg# = MgO/(MgO+FeO)



Şekil 3.99. Kinalıçam volkanitlerinin toplam alkali-silis adlandırma diyagramı (Le Maitre ve
diğ., 1989). Siyah çizgi subalkali ve alkali alanlarını ayırmaktadır (Kuno, 1966)



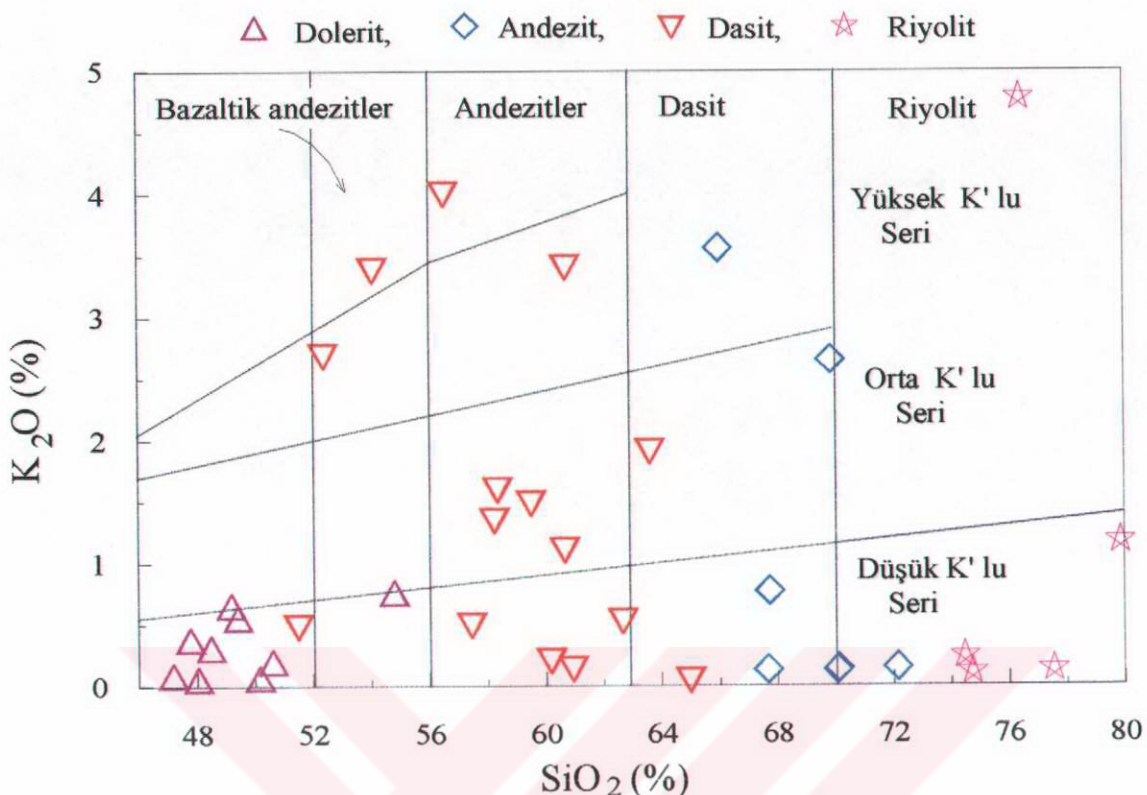
Şekil 3.100. Kinalıçam volkanitlerinin SiO_2 - Zr/TiO_2 ve Nb/Y - Zr/TiO_2 adlandırma diyagramı (Winchester ve Floyd, 1977). Semboller toplam alkali-silis diyagramı ile aynıdır.

Floyd, 1977) diyagramlarında alkalilerce fakir sub-alkali bazalt, andezit, dasit ve riyolit alanlarında toplanmaktadır (Şekil 3.100). Bir kısım volkanitlerin toplam alkali-silis diyagramında alkalilerce zengin alanlara düşmesi, üst kabuktaki yüksek K₂O içeriği

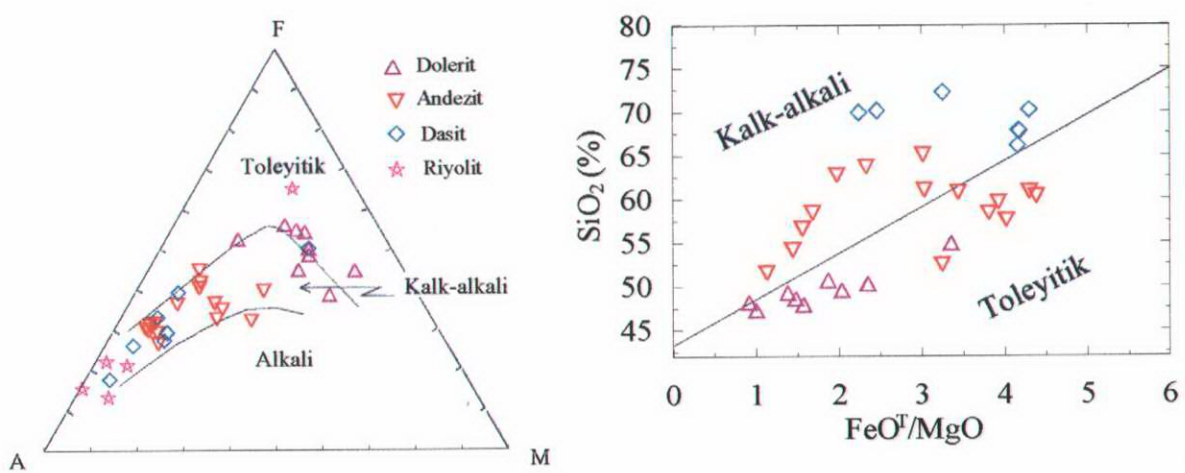
(3.4,Taylor ve McLennan, 1985) nedeniyle üst kabuk kirlenmesine uğramış olabileceklerine işaret edebilir.

Doleritler ana element içerikleri bakımından bazaltlara karşılık gelirler. SiO_2 içerikleri bir örnek hariç (Örnek No 59 % 54.77) % 47-51 arasında değişmektedir. En fazla ayrımlaşmış örnekte mikroskopik olarak da çok az miktarda, 0.2-0.3 mm boyalarında kuvars tanelerine rastlanmaktadır. Üç örneğin çok az miktarda (< % 6.22) normatif kuvars içерdiği doleritler, normatif olarak kuvarlı toleyitten olivin toleyite kadar değişen bileşimlere sahiptirler. Bazalt ve andezitlerin SiO_2 içerikleri % 52 den % 65'e kadar değişmektedir. SiO_2 içeriği % 63'den büyük olan, ancak normatif olarak andezit bileşimindeki örneklerde kabuksal kirlenme diğerlerine oranla daha yüksek değerlerde olabilir. Normatif olarak olivin bazalt, bazaltik andezit ve andezit bileşimindeki nötr volkanikler önemli oranlarda normatif kuvars (% 2-148) içermektedirler. Ana element içerikleri bakımından dasit ve riyolitolere karşılık gelen asidik volkanitler, bazalt ve andezitlerin devamı niteliğindedirler ($\text{SiO}_2 =\%$ 65.97- 79.84). Bütün örnekler normatif olarak kuvars, hipersten ve apatit içermektedirler.

Doleritlerin Al_2O_3 içerikleri (% 14-18) Jakes ve White (1972) in ada yayı volkanitleri için öngördükleri değerlere (% 14-17.5) yakındır. MgO içerikleri (% 3-9) bakımından düşük Mg 'lu bazaltlara karşılık gelen doleritlerde MgO 'in değişim aralığı SiO_2 den daha büyüktür. Mg numaraları 46-73 arasında değişen, orta ve kısmen yüksek değerlerde bir demir zenginleşmesine sahiptirler. $\text{Fe}_2\text{O}_3^*/\text{MgO}$ oranları (0.99-3.34) okyanus ortası sırtlarla ilişkili kayaçlardaki bu oranların (< 2; Miyashiro, 1974) kısmen üzerine çıkmakla birlikte çoğunlukla bir çakışma söz konusudur. TiO_2 içerikleri (% 1.03-3.51) nispeten yüksek, K_2O ve P_2O_5 içerikleri (% 0.06-0.75; 0.06-0.6) ise oldukça düşüktür. K_2O içerikleri bakımından genellikle düşük K^+ lu bazaltlara, bir tanesi ise düşük K^+ lu andezitelere karşılık gelmektedir (Şekil 3.101). Toplam alkali-silis diyagramında subalkali-alkali geçişindeki doleritler, AFM diyagramında (Irvine ve Baragar, 1971) toleyit-kalkalkali geçişinde yer alırlar. Normatif olarak Di ve Hy içeren doleritlerin dördü önemli miktarda (% 3.43-12.03) da normatif Ol içermektedirler. Normatif olarak olivin-toleyit bileşimindeki bu kayaçların dışındaki hipersten-bazalt, kuvars-toleyit ve bazaltik andezit bileşimine sahiptirler.



Şekil 3.101. Kinalıçam volkanitlerinin SiO_2 'e karşı K_2O değişim diyagramı (Peccerillo ve Taylor, 1976)



Şekil 3.102. Kinalıçam volkanitlerinin AFM (toleyit-kalk alkali ayrimı Irvine ve Baragar, 1971, kalk alkali-alkali ayrimı Kuno, 1966' dan) ve $\text{SiO}_2\text{-FeO}^T/\text{MgO}$ diyagramları (Miyashiro, 1974)

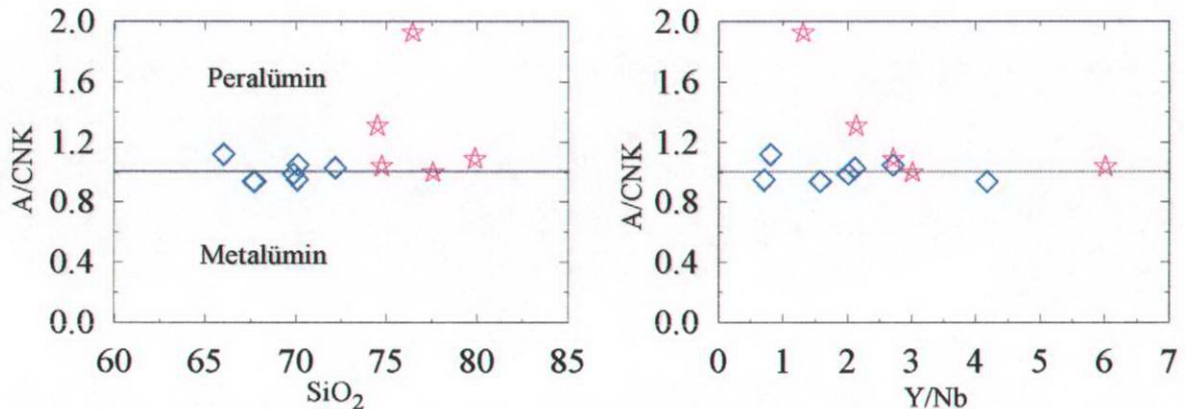
Orta ve yüksek değerlerde toplam Fe_2O_3 içeriğine (% 4.03-10.19) sahip bazalt ve andezitler düşük ve orta miktarlarda (% 1.07-8.17) da MgO içeriğine sahiptirler. Genellikle andezit bileşiminde olmalarına rağmen Mg numaraları 50.9-77.9 arasında değişen orta ve yüksek değerlerde bir magnezyum zenginleşmesine sahiptirler. MnO içerikleri düşük (% < 0.22), Na_2O içerikleri (% 3.42-9.42) ise orta değerlerdedir. K_2O içerikleri (0.03-3.99) bakımından düşük, orta ve yüksek K' lu bazalt ve andezitlere karşılık gelmektedirler (Şekil 3.101). Bazalt ve andezitler toplam alkali-silis ve AFM diyagramlarında, kalk-alkali ve bazıları ise ikincil zenginleşmeye bağlı olarak alkali karakter göstermektedirler (Şekil 3.102). K_2O ' in üst kabukta yüksek konsantrasyonlarda (% 3.4, Taylor ve McLennan, 1985) olması da bu volkanitlerin üst kabuk kirlenmesine uğradıklarına işaret edebilir. TiO_2 içerikleri (% 0.57-0.95) genellikle % 1'in altındadır. Ancak bir örnekte (27) 1,47 gibi nispeten yüksek değere çıkmaktadır. Bazalt ve andezitler %1' den küçük TiO_2 içerikleri ile yaklaşılan plaka kenarlarında oluşan orojenik andezitlere benzemektedirler (Jakes ve Gill, 1970; Gill, 1981).

Toplam alkali silis diyagramında (Şekil 3.99) subalkali veya toleyit özellikte görülen dasit ve riyolitlerin kalk-alkali özellikleri, yüksek toplam alkali ve düşük MgO içerikleri ile en güzel AFM (Irvine ve Baragar, 1971) diyagramında görülmektedir (Şekil 3.102). Peccerillo ve Taylor (1976)'un sınıflama şemasında genellikle düşük K' lu dasit ve riyolit ($\text{K}_2\text{O} = \% 0.1-4.77$) alanlarına düşerken bir tanesi orta K' lu, bir tanesi yüksek K' lu dasit ve diğer bir tanesi de yüksek K' lu riyolit alanlarına düşmektedir (Şekil 3.101). K_2O içerikleri bakımından genelden sapma gösteren bu örnekler kabuksal kirlenme olayına maruz kalmış olabilirler. Na_2O içerikleri iki örnekte 0.23 ve 0.53 gibi düşük değerlerde olmakla birlikte genellikle orta (% 3.1-6.79) değerlerdedir. Belirli bir SiO_2 içeriğine sahip ada yayı volkanik kayaçlarında Na_2O içeriği K_2O içeriği kadar çok değişmemektedir. Bu nedenle $\text{K}_2\text{O}/\text{Na}_2\text{O}$ oranı K_2O 'un artmasına bağlı olarak artmaktadır ve bu oran okyanus tarafındaki düşük K' lu kayaçlarda 0.1 değerinde, kıtasal taraftaki şoşonitik kayaçlarda ise 1 oranındadır (Jakes ve Gill, 1972). Dasit ve riyolitler $\text{K}_2\text{O}/\text{Na}_2\text{O}$ oranı çok yüksek (20.74) bir örnek dışında, 0.02-0.90 arasında değişen $\text{K}_2\text{O}/\text{Na}_2\text{O}$ oranları ile kalk-alkali ve kısmen şoşonitik özellik göstermektedirler. Üst kabukta K_2O ' in yüksek konsantrasyonlarda (% 3.4, Taylor ve McLennan, 1985) olması $\text{K}_2\text{O}/\text{Na}_2\text{O}$ oranı çok yüksek örneklerin üst kabuk kirlenmesine

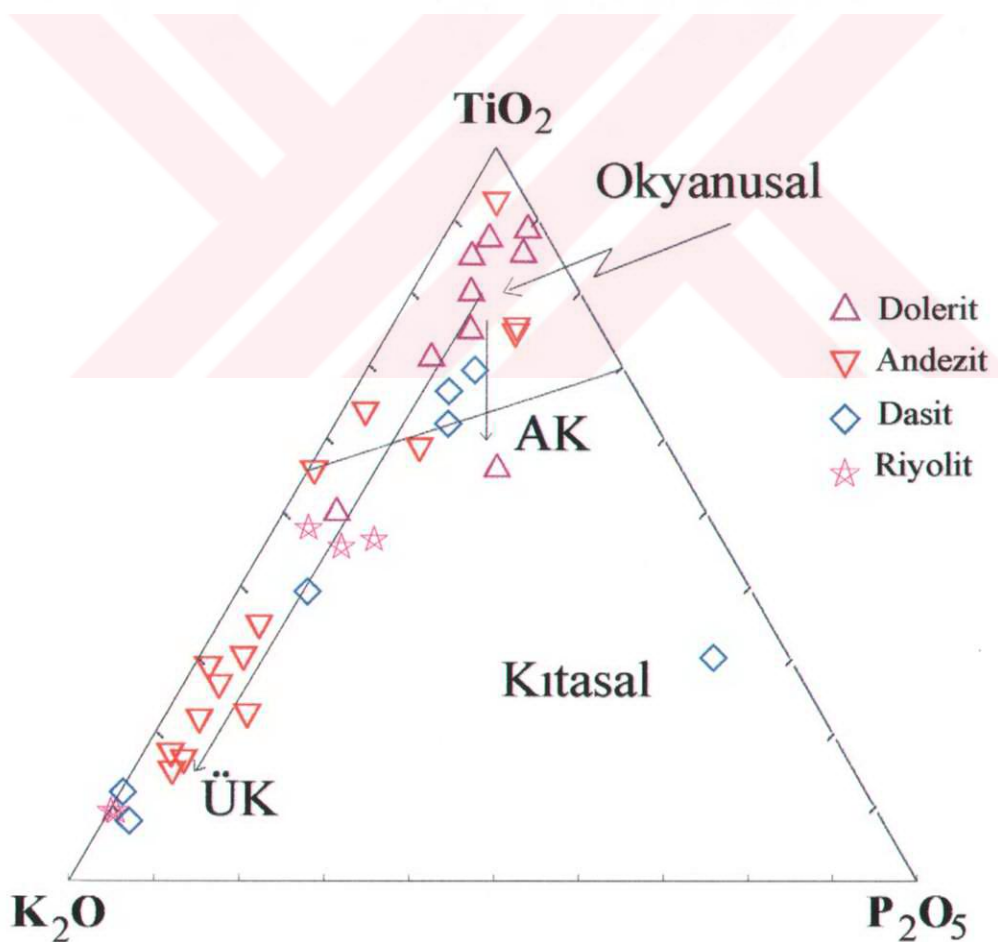
uğradığını gösterebilir. Al_2O_3 içerikleri (% 8.99-15.54) bakımından Jakes ve White (1972)'in ada yayı volkanik kayaçları için öngördükleri Al_2O_3 içeriklerinden (% 14-17.5) düşüktür. TiO_2 içerikleri (% 0.1-0.57) bakımından Kuno (1966)'nın düşük TiO_2 içerikli toleyitik volkanik kayaçlarına benzemektedirler. Aynı SiO_2 içeriğine sahip ada yayı volkanik kayaçlarında TiO_2 içeriği şoşonitik olanlarda yüksek, kalk alkali olanlarda orta ve toleyitiklerde düşüktür (Kuno, 1966).

Dasit ve riyolitlerin Al_2O_3 içeriğindeki (% 8.99-15.54) büyük değişim aralığı, gelişimleri sırasında feldspat oranının giderek artmasına işaret etmektedir. Ayrıca toplamları genellikle % 4.19-8.61 arasında değişen yüksek konsantrasyonlarda alkali ($\text{Na}_2\text{O} + \text{K}_2\text{O}$) içeriğine sahiptirler. Ancak iki örnekte alkali toplamları % 1'in altına düşmektedir. Molar olarak $\text{Al}_2\text{O}_3/\text{Na}_2\text{O}+\text{K}_2\text{O}+\text{CaO}$ (A/CNK) oranları (Shand, 1947) genellikle 0.93-1.08 arasında değişerek metalümin ve peralümin geçişinde yer almaktadır. SiO_2 içerikleri arttıkça peralümin özellik kazanmaktadır. Genelde 1' den büyük A/CNK oranları ile dasit ve riyolitlerin peralümin bileşimli oldukları söylenebilir (Şekil 3.103).

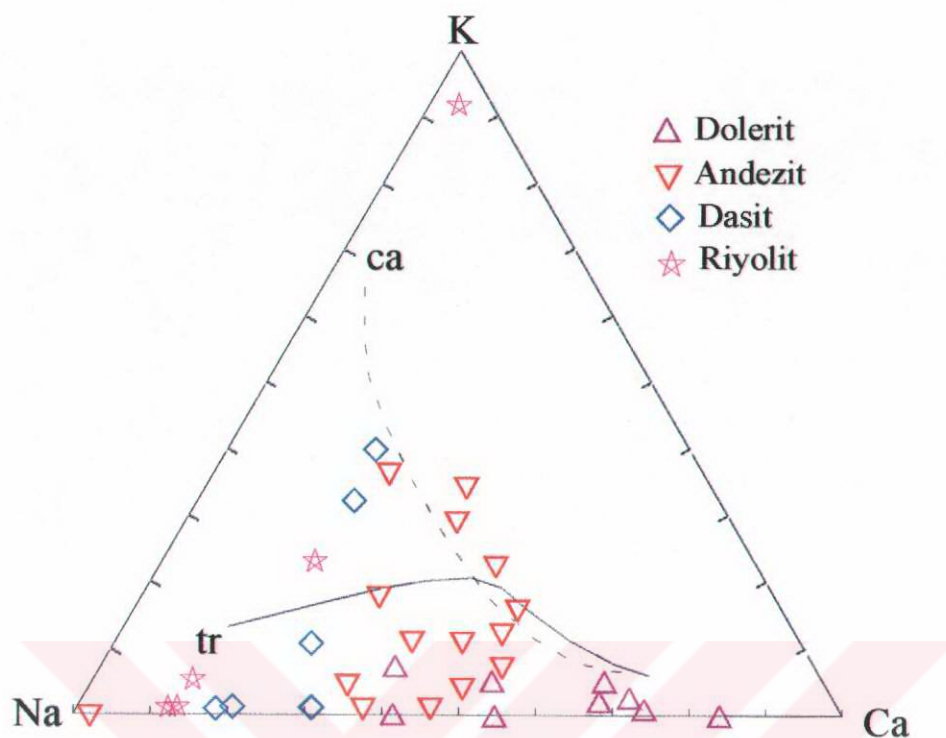
Kabuksal kirlenmeye uğramamış ve göreceli olarak az ayırmış riftlerle ilişkili volkanitlerin TiO_2 içerikleri (% 2-4) yüksek olmak durumundadır (Hart ve diğ., 1989; Coish ve Sinton, 1992). Benzer şekilde P_2O_5 içerikleri de kabuksal kirlenme olup olmadığını kontrol etmede kullanılabilir. Alt kabukta P_2O_5 yüksek, üst kabukta ise düşük konsantrasyonlardadır (Taylor ve McLennan, 1985). Kinalıçam volkanitlerinin düşük konsantrasyonlarda P_2O_5 (< % 0.28) içeriğine sahip olmaları farklılaşmanın yanısıra bunların üst kabuk kirlenmesi olayına maruz kaldıklarını gösterebilir. Farklı tektonik ortamlarda oluşmuş bazaltları birbirinden ayırmak için kullanılan $\text{TiO}_2 - \text{K}_2\text{O} - \text{P}_2\text{O}_5$ (Pearce ve diğ, 1975) ve diyagramı magma oluşumu, kabuksal kirlenme ve farklılaşma olaylarını yorumlamak için kullanılabilmektedir (Şekil 3.104). Kinalıçam volkanikleri $\text{TiO}_2 - \text{K}_2\text{O}-\text{P}_2\text{O}_5$ diyagramında okyanusal alandan başlayarak üst kabuk karışımı yönünde bir yönsemeye sahiptirler. Volkanitlerdeki bu yönseme diferansiyasyona bağlı olarak gelişebileceği gibi kabuksal kirlenme sonucunda da gelişebilmektedir (Pearce ve diğ 1975).



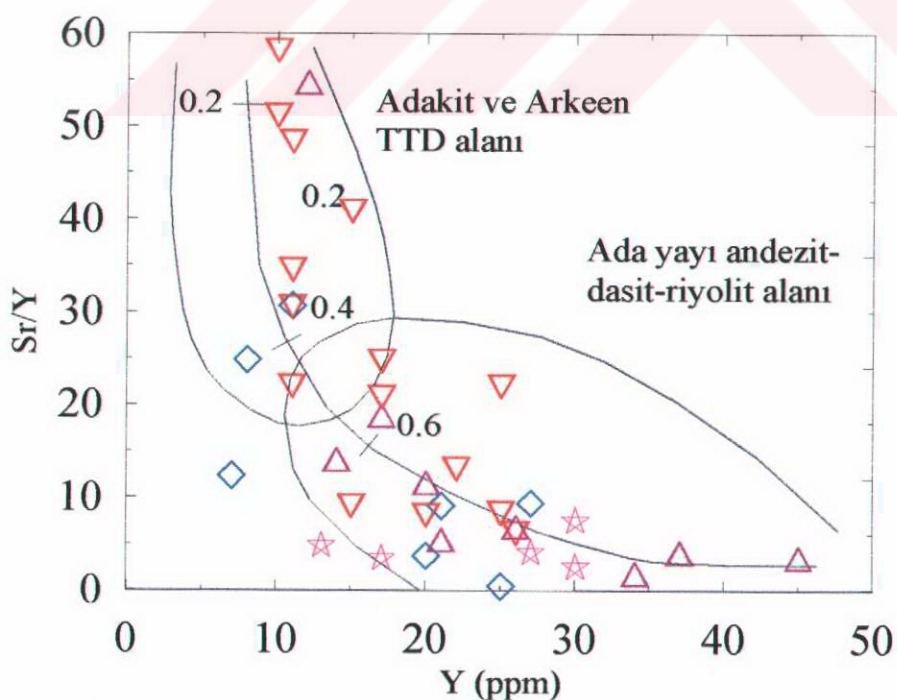
Şekil 3.103. Kinalıçam volkanitleri dasit ve riyolitlerinin molar A/CNK - SiO₂ ve A/CNK'ya karşı Y/Nb değişim diyagramları (Shand, 1947; Clarke, 1981)



Şekil 3.104. Kinalıçam volkanitlerinin $\text{TiO}_2\text{-K}_2\text{O-P}_2\text{O}_5$ diyagramı (Pearce ve diğ., 1975). Vektörler MORB (Pearce, 1983) ile üst kabuk (ÜK) ve alt kabuk (AK) bileşimlerinin (Taylor ve McLennan, 1985) karışım yönsemelerini göstermektedir. Okların üç kısımları kabuksal bileşimlere karşılık gelmektedir



Şekil 3.105. Kinalıçam volkanitlerinin normatif K-Na-Ca diyagramı. Ca; kalk-alkali yönseme, (Nockolds ve Allen, 1953), tr; tronjemitik yönseme (Barker ve Arth, 1976)



Şekil 3.106. Kinalıçam volkanitlerinin Y' a karşı Sr/Y değişim diyagramı (Adakit ve Arkeen tronjemit-tonalit dasit (TTD) ve ada yayı andezit-dasit-riyolit alanları (ADR) Defant ve Drummond, 1990' dan alınmıştır). Semboller K-Na-Ca diyagramı ile aynıdır

Kalk-alkali yönseme ile tronjemitik yönsemenin birbirinden ayrimının daha belirgin olarak yapıldığı normatif K-Na-Ca üçgen diyagramında, Kinalıçam volkanitleri belirgin Na zenginleşmesi (tronjemitik yönseme; Barker ve Arth, 1976) göstermektedirler (Şekil 3.105). Bu yönü ile Kinalıçam volkanitleri çoğu ada yaylarında karakteristik olan kalk-alkali yönseme ile belirgin bir tezat oluşturmaktır ve metamorfize olmuş bazaltların kısmi ergimesi ile oluştuğu ileri sürülen Arkeen tronjemit tonalit ve dasitler (Drummond ve Defand, 1990) ile uyuşmaktadır. Defant ve Drummond (1993) Y-Sr/Y diyagramında da ada yayı andezit dasit riyolit alanından tonalit tronjemit alanına doğru bir değişim göstermektedirler (Şekil 3.106). Na zenginleşmesi gösteren Arkeen tronjemit-tonalit-dasit yönsemesinin (tronjemitik yönseme) yiten okyanus kabuğunun kısmi ergimesi ile oluşmuş olabileceğini ileri sürmektedir.

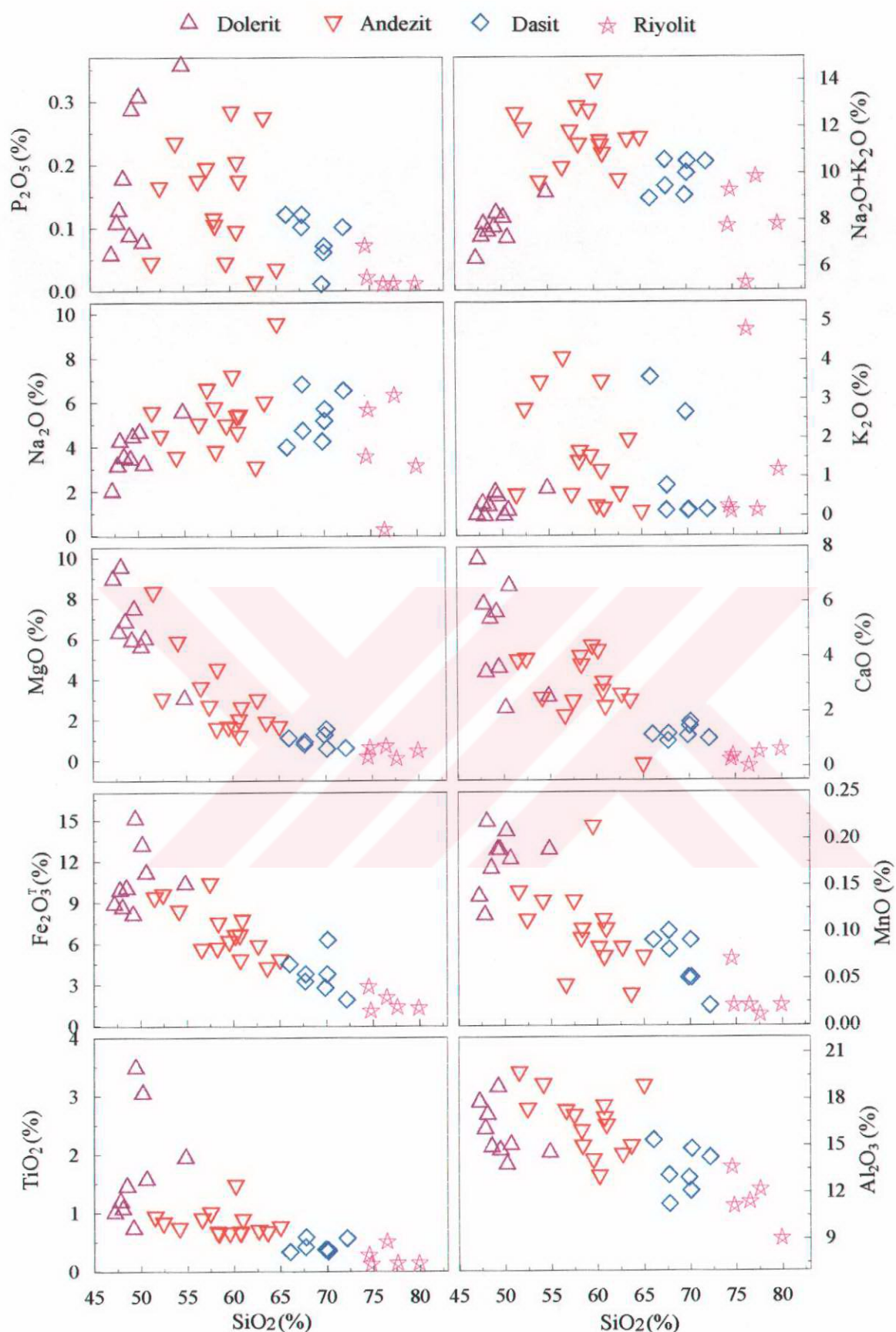
SiO_2' e karşı ana ve iz element değişim diyagramlarının bazlarında düzensiz dağılmalar olmakla birlikte genellikle iyi korelasyon vermeleri, Kinalıçam volkanitlerinin gelişiminde ayrimlaşmanın önemli bir rol oynadığını göstermektedir (Şekil 3.107). SiO_2' e karşı ana element değişim diyagramında; Al_2O_3 , TiO_2 , Fe_2O_{3T} , MgO , CaO , MnO ve P_2O_5 negatif ilişki Na_2O ve K_2O ise pozitif ilişki göstermektedir. Iz elemetlere göre oluşturulan değişim diyagramlarında da benzer ilişkiler görülmektedir. Bu ilişkiler özellikle andezit, dasit ve riyolitlerin doleritik ve bazaltik bir magmadan itibaren ayrimlaşma ile oluşuklarına işaret etmektedir.

Kinalıçam volkanitlerinin artan SiO_2 içeriğine karşılık TiO_2 , Fe_2O_3^* , ve MnO içeriklerinin giderek azalması manyetit, titanomanyetit ve rutil gibi (Fe-Ti oksitler) fazların ayrimlaşmasına işaret etmektedir. SiO_2' e karşı CaO , MgO ve Fe_2O_3 diyagramlarındaki negatif ilişkilerde olivin, klinopiroksen ve plajiyoklas ($\text{An} > 50$) gibi fazların fraksiyonel kristalleme ile ayrimlaştığını gösterir. Ca, Mg ve Fe olivin ve piroksen gibi mafik minerallerin yapısına dahil olduklarından bu elementlerin yüksek konsantrasyonlarda olduğu örnekler dolerit ve bazatlara karşılık gelmektedir. Volkanitlerinin Al_2O_3 içeriklerindeki büyük değişim aralığı (% 9-18) ve dasitlere doğru belirginleşen negatif Eu anomalileri özellikle andezit, dasit ve riyolitlerin gelişiminde plajiyoklas ayrimlaşmasının önemli rol oynadığını göstermektedir. SiO_2' e karşı Na_2O ve K_2O diyagramlarında dağınık olmakla

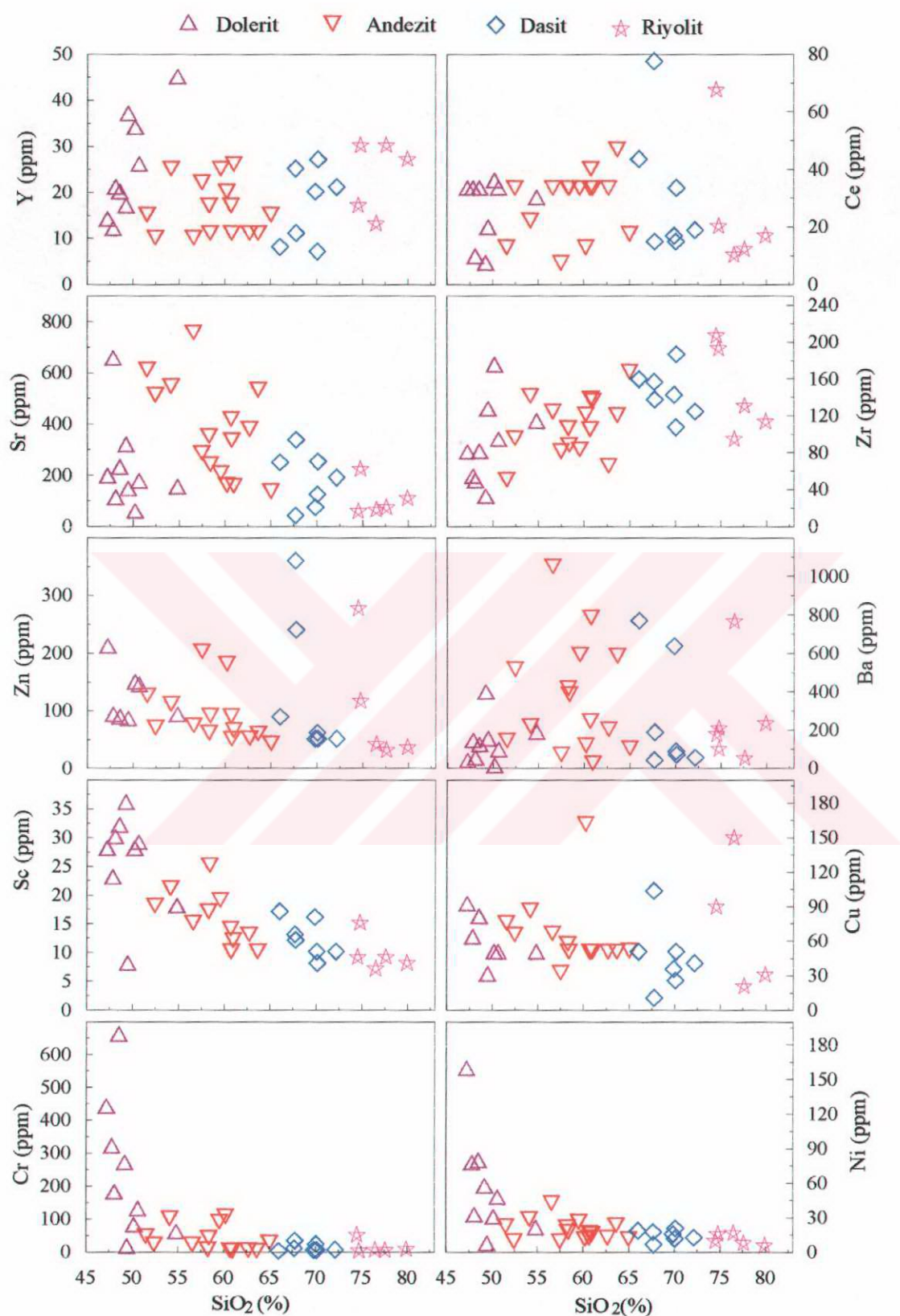
birlikte pozitif ilişkiler söz konusudur. Bu dağınıklık andezit ve dasitlerde kabuksal kirlenme olayları yanında altaresyon olaylarının bu iki ana element bakımından etkin olduğuna işaret etmektedir. Bu elementlerin genel olarak artma eğilimi bazik plajiyoklasların giderek ayırmalığını ve arta kalan eriyiğin alkalilerce zenginleştiğini ifade etmektedir. $\text{SiO}_2\text{-P}_2\text{O}_5$ diyagramındaki negatif ilişkide apatit ayırmaması şeklinde yorumlanabilir.

SiO_2' e karşı iz element değişim diyagramlarında da bazı elementlerde sistematik değişimler görülmektedir (Şekil 3. 108). Sr-SiO_2 diyagramındaki negatif ilişki $\text{SiO}_2\text{-CaO}$ diyagramındaki negatif ilişki ile uyumludur ve Sr' un bazik plajiyoklasların bünyesine dahil olduğunu göstermektedir. $\text{SiO}_2\text{-Zr}$ diyagramındaki pozitif ilişki manyetit, hornblend ayırmaması ve biyotit birikimi ile ilişkilidir. Bazaltik eriyiklerde dağılım katsayılar nedeniyle Ni' in olivin ve klinopiroksenin ($\text{Ni}_{\text{olivin}}/\text{Ni}_{\text{eriyik}} = 5.9\text{-}29$; $\text{Ni}_{\text{klp}}/\text{Ni}_{\text{eriyik}}=1.5\text{-}14$), Cr ve Sc' un klinopiroksenin ($\text{Cr}_{\text{klp}}/\text{Cr}_{\text{eriyik}}= 34$, $\text{Sc}_{\text{klp}}/\text{Ni}_{\text{eriyik}}=1.7\text{-}3.2$) ve Y' un ise granat ve kısmen de klinopiroksenin ($\text{Y}_{\text{granat}}/\text{yeriyik}=9$; $\text{Y}_{\text{klp}}/\text{Y}_{\text{eriyik}}=0.9$) bünyesine dahil oldukları bilinmektedir (Arth, 1976; Fujimaki ve diğ., 1984). Bu elementlerin SiO_2 içeriğine bağlı olarak dolerit ve bazatlarda negatif ilişki göstergeleri MgO , Fe_2O_3^+ , MnO ve CaO değişimleri ile uyumludur. Mg- numaraları yüksek ve göreceli olarak az ayırmış örneklerde yüksek konsantrasyonlardaki bu elementler, Mg- numarasının azalmasına bağlı olarak azalmaktadırlar. Kısaca bu elementlerin SiO_2' e karşı değişim diyagramları doleritlerin çoğunlukla klinopiroksen ve daha az olarak da olivin veya ortopiroksenler tarafından kontrol edilen bir ayırmalama evresi geçirdiğini göstermektedir. Bu durum dolerit ve bazaltların yüksek oranlardaki normatif klinopiroksen ve olivin içerikleri ile uyumludur.

Mg numarasına karşı Cr, Ni ve Ni' ye karşı Sc ve Cr gibi iz element değişim diyagramlarında(Şekil 3.109) da doleritlerin çoğunlukla klinopiroksen ve daha az olarak da olivin veya ortopiroksenler tarafından kontrol edilen bir ayırmalama evresi geçirdiğini göstermektedir. Sc- Ni diyagramı olivin ayırmaması ile ilgili bilgiler vermektedir. Doleritlerdeki yatay yönseme Sc' un tüketilmesine karşılık gelen fazın sistemden uzaklaştığını göstermektedir (Villemant ve diğ, 1981). Bunlarda modal olarak olivinin olmaması, ancak normatif olarak olivin içermeleri diğer minerallerin ayırmaması sırasında olivinin magma ile reaksiyona devam etmesi şeklinde açıklanabilir (Esparanca ve Hollaway, 1987).



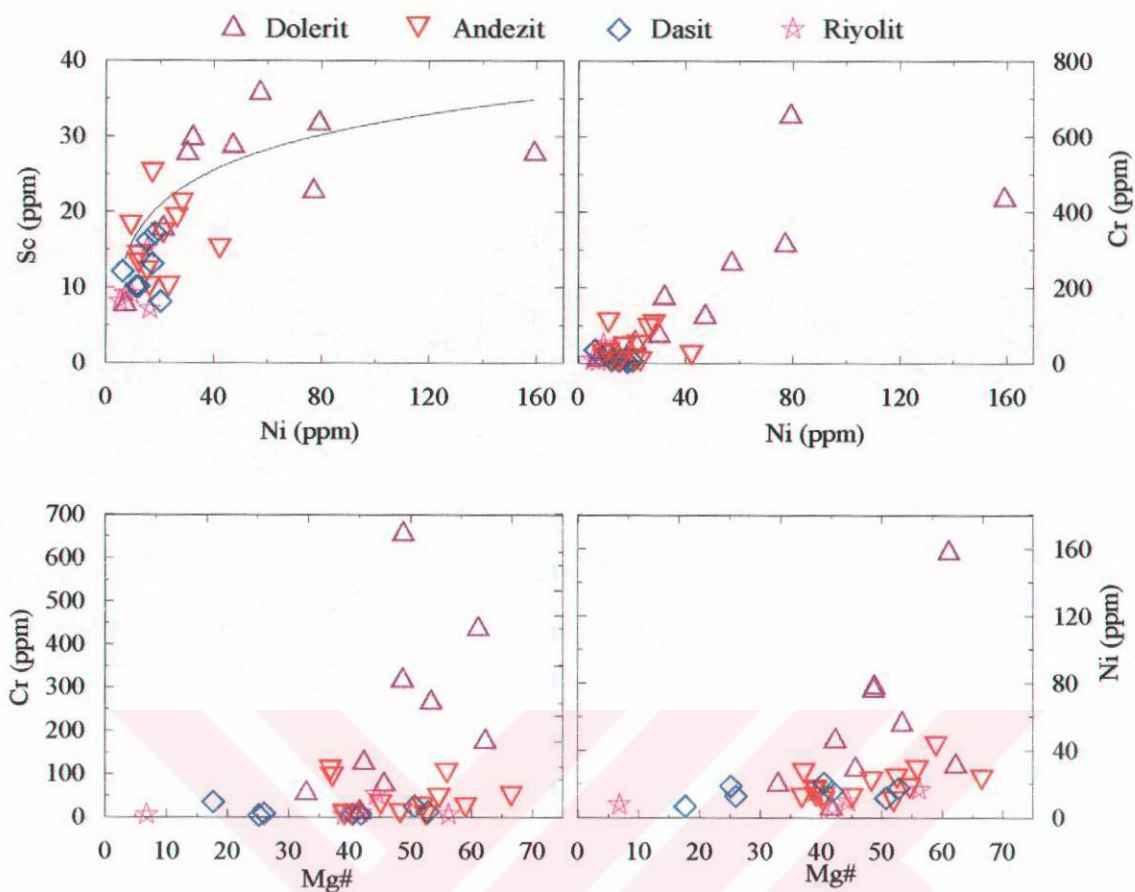
Şekil 3.107. Kınalıçam volkanitlerinin SiO_2 'e karşı ana element değişim diyagramları



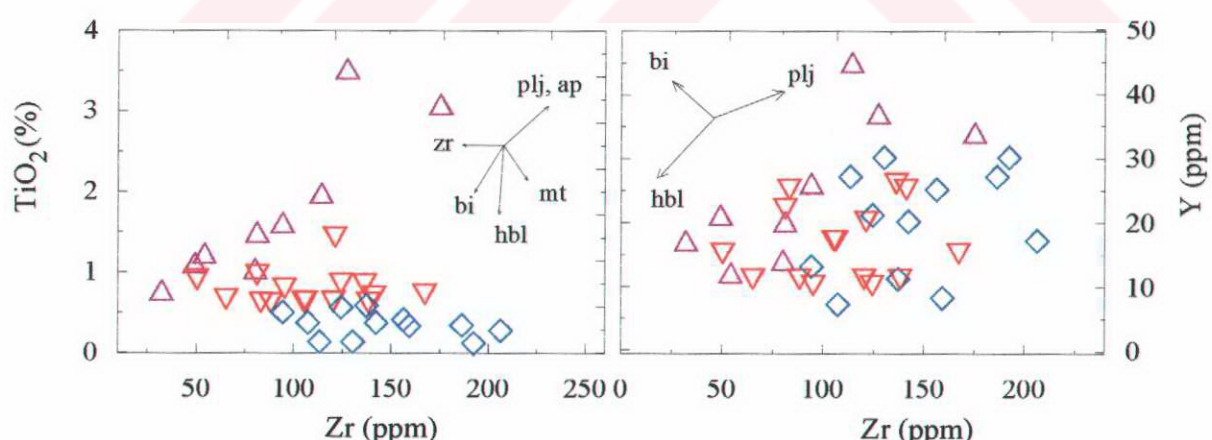
Şekil 3.108. Kinalıçam volkanitlerinin SiO₂' e karşı iz element değişim diyagramları

Zr-TiO₂ diyagramı (Şekil 3.110) doleritler ile diğer volkanitlerin bu iki element bakımından farklı davranışları gösterdiğini vurgulamaktadır. Doleritlerde Zr ile TiO₂ arasında pozitif bir ilişki varken andezit ve dasitlerde negatif bir ilişki vardır. Ayrımlaşma vektörlerinden de görüldüğü gibi doleritlerde Zr ve Ti' un birlikte artması Fe-Ti oksitlerin birikimi şeklinde yorumlanabilir. Buna karşılık andezit ve dasitlerde Zr' un artmasına karşılık TiO₂'nin azalması genellikle manyetit, hornblendin ve çok az olarak da biyotitin ayrımlaşmasından kaynaklanabilir. Pearce (1982) manyetitin erken kristalizasyonu nedeniyle Ti' un ada yayı volkanitlerinde hiç bir zaman plaka içi lavları kadar yüksek değerlerde olamayacağını ifade etmektedir. Zr-Y diyagramında da Y' un hornblendin bünyesine girdiğini ve dolayısı ile dasitik ve riyolitik kayaçlarda hornblendin ana kristal fazını oluşturduğunu görmekteyiz.

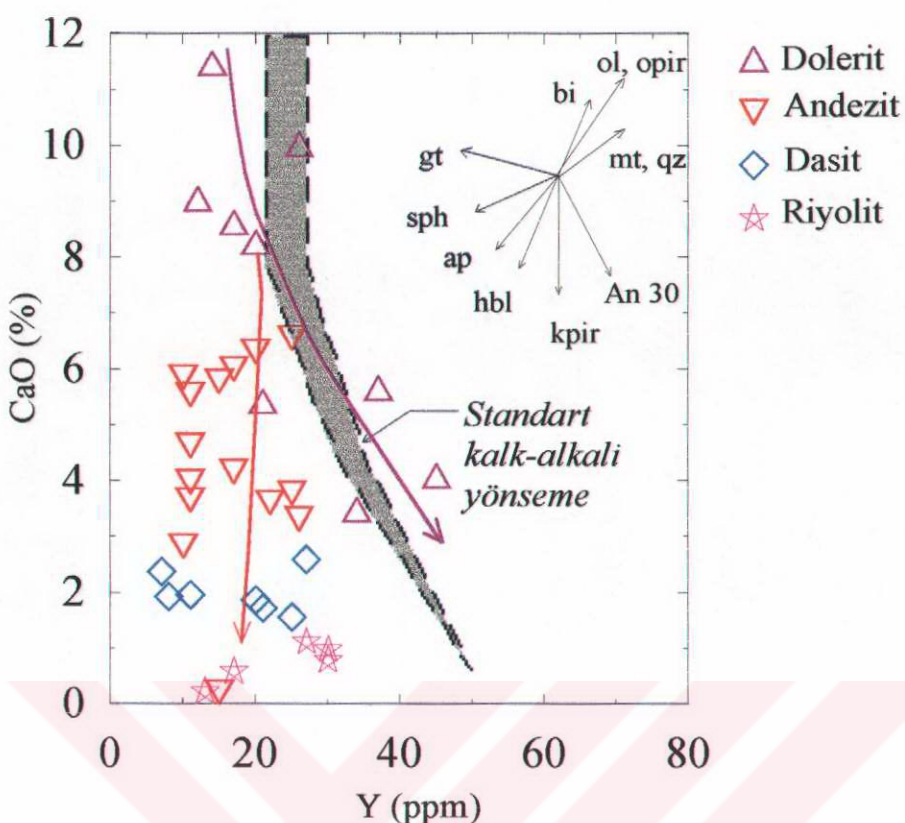
Lambert ve Holland (1974) yüksek, orta ve düşük CaO içerikli kayaçlarda Y' un fakirleşmesine ve zenginleşmesine bağlı olarak gelişen J ve L tipi yönsemeleri tanımlamak amacıyla CaO'e karşı Y değişim diyagramını önermişlerdir (Şekil 3.111). Standart kalk-alkali yönseme referans alındığında, J tipi yönseme Y ve Ca bakımından giderek fakirleşen, L tipi yönseme ise Y artarken CaO bakımından fakirleşen yönsemelere karşılık gelmektedir. Bu nedenle J tipi yönsemeler standart kalk alkali yönsemenin solunda kalırken L tipi yönsemeler sağa doğru ayrılırlar. J tipi yönsemeler hornblend (\pm granat), apatit kontrollü, L tipi yönsemeler ise piroksen ve plajiyoklas kontrollü farklılaşmalara karşılık gelir. Hornblend ve piroksenler bu yönsemelerin oluşmasında en kritik rolü oynarlar. Kinalıçam volkanitlerinde doleritler diğer volkanitlerden farklı bir davranış göstermektedirler. Bunlar Y-CaO diyagramında piroksen ve plajiyoklas fraksiyonlaşmasının baskın olduğu standart kalk alkali yönsemenin (Lambert ve Holland, 1974) CaO bakımından tüketilen ve Y bakımından zenginleşen tarafına yönelik L tipi yönseme gösterirler (Şekil 3.111). Andezit, dasit ve riyolitler ise standart kalk-alkali yönsemenin Y bakımından fakirleşen tarafında toplanarak L tipi yönsemeye uyarlar. Bu bakımından doleritlerin gelişiminde klinopiroksen ve plajiyoklas ($An > 60$) ayrımlaşmasının; buna karşın andezit, dasit ve riyolitlerin oluşumunda ise hornblend ve apatit fraksiyonlaşmasının önemli olduğu söylenebilir. Andezit ve dasitlerin bütün örneklerinde normatif hornblend ve apatit' in varlığı da hornblend ve apatit ayrımlaşmasını doğrulamaktadır.



Şekil 3.109. Kinalıçam volkanitlerinin Mg#’na karşı Cr ve Ni ve Ni’ e karşı Sc ve Cr değişim diyagramları



Şekil 3.110. Kinalıçam volkanitlerinin Zr’ a karşı TiO₂ ve Y değişim diyagramları. Vektörler muhtemel ayrimlaşma yollarını göstermektedir. Semboller Mg#-Cr diyagramı ile aynıdır



Şekil 3.111. Kınalıçam volkanitlerinin Y-CaO değişim diyagramı. Taralı alan Lambert ve Holland (1974)' in standart kalk-alkali yönmesini temsил etmektedir. Vektörler çeşitli silikatların ayırmalarını göstermektedir

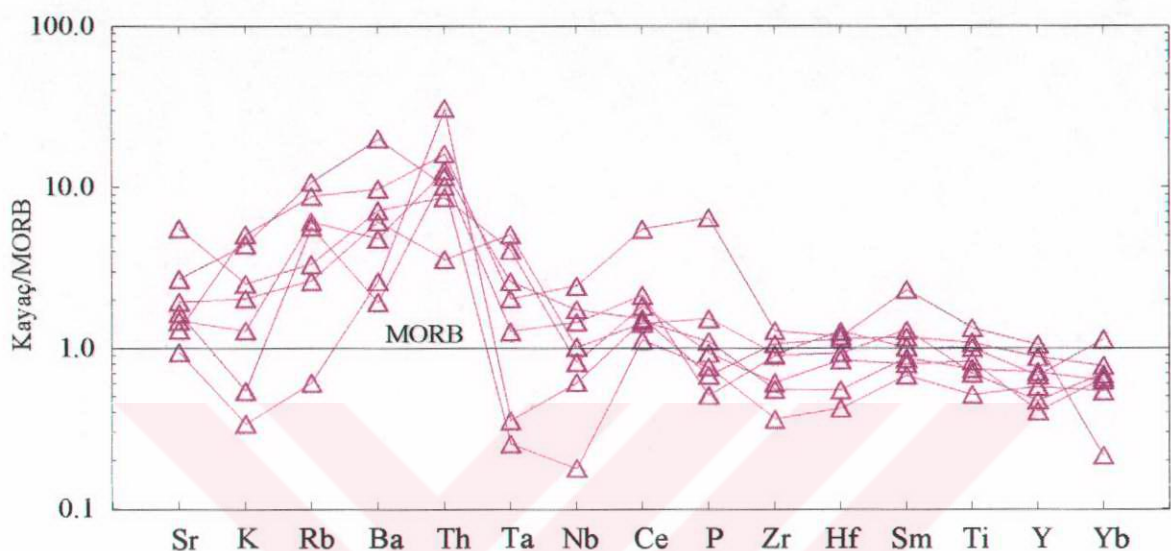
Kınalıçam volkanitlerinin MORB' a göre normalleştirilmiş uyumsuz element diyagramları Şekil 3.112, 113, ve 114' de verilmiştir. Diyagamlarda görüldüğü gibi LILE zenginleşmesi ve HFSE tüketilmesi kayaçların karakteristik özellikleridir. Göreceli olarak az ayırmış doleritler (D 660; Mg# = 73.6, Ni = 159 ppm, Cr = 440 ppm) ile nispeten fazla ayırmış doleritler (D 59; Mg# = 46.6, Ni = 21 ppm, Cr = 60 ppm) çok benzer bir dağılım sunmaktadır. Fazla ayırmış doleritin LILE zenginleşmesi genel olarak az ayırmış olanlara benzemekle birlikte, onlardan farklı olarak K, Ce ve P' da pozitif anomaliler vermektedir. Ana element diyagamlarında da görülen bu zenginleşmeler, bu örnekte muhtemel bir kabuk kirlenmesinin olabileceği işaret etmektedir. HFS elementler MORB' göre paralel ve çok az oranlarda fakirleşmiş bir dağılım göstermektedirler. Zr/Y (3.61-6.41) oranları ise E-MORB oranlarına benzemektedir (3.3; Sun ve McDonough, 1989).

Andezit ve dasitlerin MOR bazaltlarına göre normalleştirilmiş uyumsuz element diyagramlarında (Şekil 3.113 ve 114) doleritlerde gözlenen LILE zenginleşmesi daha belirgin olarak görülmektedir. Andezit ve dasitler yüksek LIL, düşük HFS element içerikleri ve yüksek Ba/Nb, Th/Nb Sr/Nb, Sr/Zr gibi LIL/HFS element oranları ile tipik olarak yitimle ilişkili kayaçlara benzemektedirler. Dasit ve riyolitler K ve buna bağlı olarak da Ba bakımından diğer LIL elementlere göre düzensiz bir dağılım göstermektedirler. K ve Ba' daki bu düzensiz dağılım dasit ve riyolitlerin kabuksal kirlenme olaylarına maruz kaldığını gösterebilir. Dasit ve riyolitlerin bazlarında görülen diğerlerine göre daha belirgin negatif P ve Ti' anomalileri de kabuksal kirlenme olaylarına işaret edebilir. Bunların dışında kalan örneklerde SiO₂ içeriğindeki artışa bağlı olarak belirginleşen negatif P ve Ti' anomalileri, diferansiasyon sırasında apatit ve Fe-Ti oksitlerin ayrılmamasını göstermektedir.

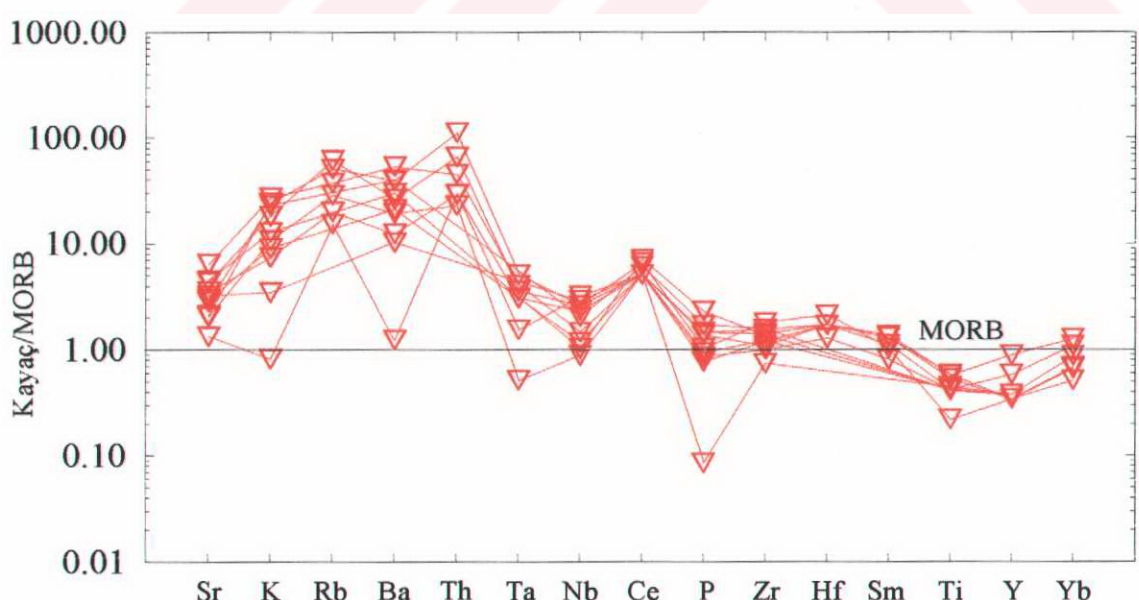
Şekil 3.115' de dasit ve riyolitlerin okyanus sırtı granitlerine (ORG) göre normalleştirilmiş iz element değişimleri görülmektedir. Dasit ve riyolitlerin bazıları MORB' a göre normalleştirilen diyagramda olduğu gibi K ve Rb bakımından ORG' a göre fakirleşmiş değerler verirken diğer bazıları ise zenginleşmişlerdir. Bunun dışında kalan Rb, Ba, Th gibi LIL elementler bakımından zenginleşmiş Ce, Hf, Zr, Y gibi HFS ve REE elementler bakımından ORG' paralel fakat daha düşük değerlerdedirler. Dasit ve riyolitler bu dağılımlar ile ada yayı granitoyidlerinin dağılımları benzerdir (Pearce ve dig., 1984). Ta' dan Yb' a kadar olan HFS elementlerin genel olarak MORB ve ORG değerlerinden düşük olması manto kaması içerisindeki minör fazların duraylılığından ileri gelmektedir (Saunders ve dig., 1980; Brihueve ve dig., 1984; Arculus ve Powell, 1986; Green ve Pearson, 1987).

Yitimle ilişkili kayaçlar yüksek LIL, düşük HFS element konsantrasyonları sunduğundan yüksek LIL/HFS oranları ile karakteristikler. Bununla birlikte yüksek LIL/HFS oranları özellikle düşük HFS içerikli kayaçlarda daha iyi gelişme eğilimindedir. Bu nedenle bir çok alanda ada yaylarına eklenen LIL element miktarları göreli olarak sabit görülmektedir ve LIL/HFS element oranlarının değişimi HFS element içeriklerinin yitim öncesi manto kamاسındaki bolluklarına bağlıdır (Le Bel ve dig., 1985; Arculus ve Powell, 1986; Hawkesworth ve Elam, 1989; Hawkesworth ve dig., 1991).

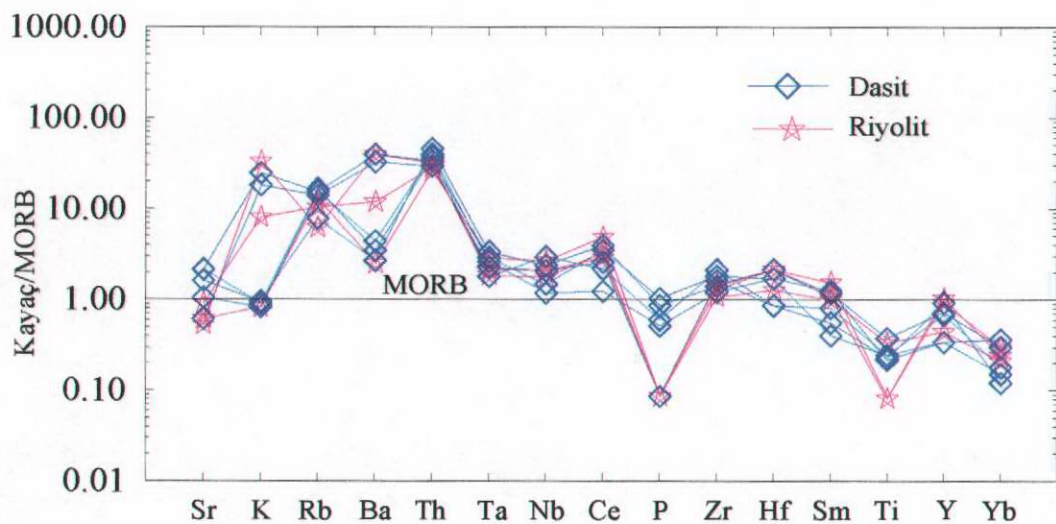
Kinalıçam volkanitleri MORB' a göre Ta ve Nb bakımından fakirleşmişlerdir. Green ve Pearson (1987) Ta ve Nb için 1000 °C ve 1.6 Gpa'da rutil ve sulu andezit eriyiği arasındaki dağılım katsayılarını sırasıyla 45 ve 27 olarak bulmuşlardır. Bu sonuçlar sulu koşularda 750-800 °C de yiten okyanus kabuğunun kısmi ergimesi ile oluşan



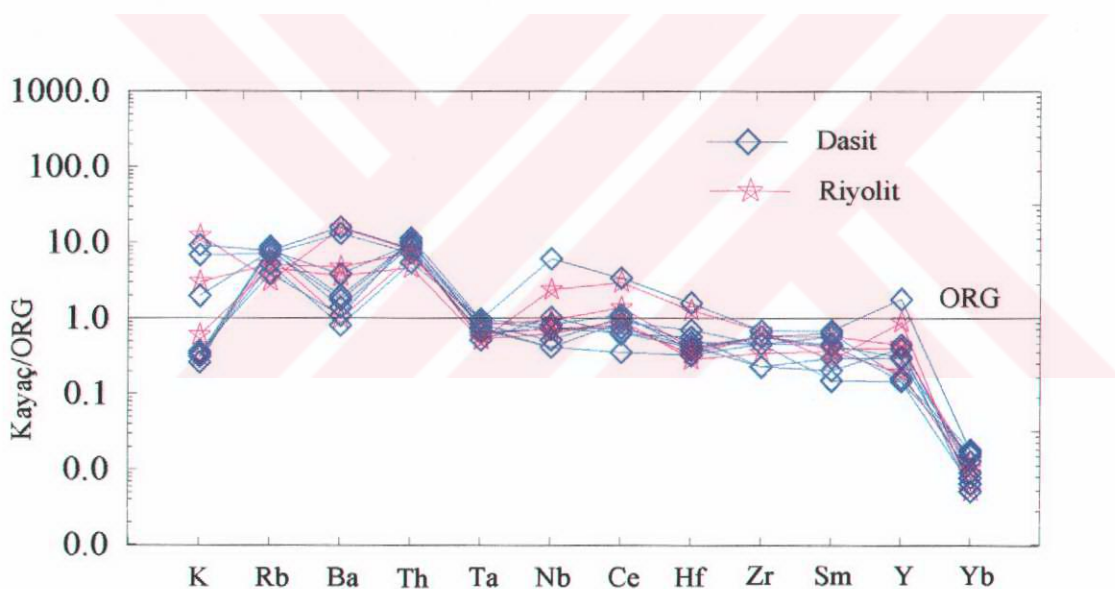
Şekil 3.112. Doleritlerin MORB' a göre normalleştirilmiş uyumsuz element dağılımı (MORB değerleri; Pearce, 1983' den)



Şekil 3.113. Andezitlerin MORB' a göre normalleştirilmiş uyumsuz element diyagramları (MORB değerleri; Pearce, 1983' den)



Şekil 3.114. Dasit ve riyolitlerin MORB' a göre normalleştirilmiş uyumsuz element dağılımı (MORB değerleri Pearce; 1983' den)



Şekil 3.115. Dasit ve riyolitlerin ORG' a göre normalleştirilmiş uyumsuz element dağılımı (ORG değerleri; Pearce, 1984' den)

eriyiğin Nb ve Ta bakımından oldukça fakirleşmiş olacağı sonucunu desteklemektedir (Ryerson ve Watson, 1988). Bununla birlikte, alkaliler, alkali topraklar ve LREE gibi LIL elementler çok kuvvetli bir şekilde eriyiğin içine geçmeye devam edecktir (Nicholls ve Harris, 1980). Kalk alkali magmaların kökenini oluşturan yitim zonu üzerindeki zenginleşmiş manto kamaları içindeki peridotitler Nb, Ta ve Ti bakımından K, Rb, Ba, Sr, ve LREE' e göre göreli olarak fakirleşmiş olabilir (Ringwood, 1990). Kinalıçam volkanitlerinin

yüksek LIL/HFS oranları, negatif Nb, Ta ve Ti anomalileri ve MORB' a göre düşük HFS içerikleri yiten dilimden gelen eriyikler ile zenginleşmiş manto kamasının kısmi ergimesi ile oluştukları sonucu çıkarılabilir.

Kıralıçam volkanitlerinden seçilen örneklerde yapılan nadir toprak element analizleri Çizelge 3.28' de verilmiştir. Doleritler kondrite göre normalleştirilmiş nadir toprak element diyagramında yatay ve yataya yakın bir dağılım sunarlar (Şekil 3.116). Toplam REE içeriklerinde önemli oranlarda farklılaşmaların olmadığı görülmektedir ($La_N/Lu_N = 0.8-3.93$). Hafif REE de kendi içlerinde küçük oranlarda farklılaşmışlardır ($La_N/Sm_N = 0.9-2.18$). Ağır REE ise hemen hemen yatay dağılım izlemektedir ($Tb_N/Lu_N = 0.89-1.36$). Bu dağılım ile E-MORB' a benzerler (Sun ve McDonough, 1989). Genel olarak belirgin bir Eu ($Eu/Eu^* = 0.99-1.33$) anomali göstermemektedirler. REE içerikleri düşük örneklerde görülen pozitif Eu anomalisinin, REE içerikleri yüksek örneklerde kaybolması, plajiyoklas ayırmamasına işaret etmektedir. Sm^* dan Ho^* a kadar olan orta ağırlıktaki (medium) REE' in yukarı doğru konkav dağılımları klinopiroksen ve hornblend ayırmamasını göstermektedir. Klinopiroksen ve hornblendlerin orta ağırlıktaki REE için dağılım katsayılarının küçük olması ($D_{MREE} < 1$; Fujimaki ve diğ., 1984) farklılaşan eriyikte bu elementlerin konsantrasyonlarını yükseltecektir.

Bazalt ve andezitler LREE bakımından genellikle yüksek oranlarda zenginleşmiş HREE bakımından yataya yakın dağılım sunarlar (Şekil 3.117). Genellikle hafif negatif bir Eu anomali gösterirler ($Eu^*/Eu = 0.60-0.91$, $Eu^* = [Sm+Yb]/2$). Tüm REE bakımından genellikle orta oranlarda farklılaşan ($La_N/Lu_N = 2.59-10.94$) ve kısmen yukarı doğru konkav dağılımları ile Gill (1981)' in orta K'lu orojenik andezitlerine benzemektedirler. Bununla birlikte yüksek SiO_2 içerikli bazı andezitler orojenik andezitlere göre oldukça yüksek LREE içeriklerine sahiptirler ($La_N = 29-106$). HREE içerikleri ise orojenik andezit değerleri ile son derece benzerdir ($Lu_N = 8-17$). Hafif nadir toprak elementlerin kendi içlerinde de az oranlarda farklılaşmalarına ($La_N/Sm_N = 2.66-7.43$) karşılık ağır nadir toprak elementlerde önemli bir farklılaşma ($Tb_N/Lu_N = 0.88-1.59$) olmamıştır. Göreceli olarak yüksek oranlarda farklılaşmamış REE profilleri ve nispeten yüksek Yb konsantrasyonları bazalt ve andezitlerin gelişiminde granatın ayırmasma veya kalıntı faz olarak önemli bir rolü olmadığını

Çizelge 3.28. Kınalıçam volkanitlerinin nadir toprak element (ppm) analizleri

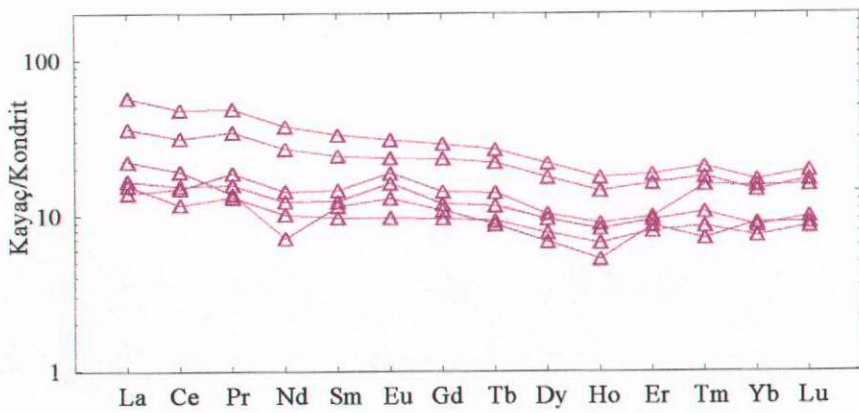
Örn.No.	Doleritler					
	10	59	66	317	826	846
La	8	20,6	13	5	6	5,6
Ce	18	45,1	29,6	14	14,5	11
Pr	1,85	6,54	4,64	2,51	2,12	1,76
Nd	5	26,2	18,8	10	8,6	7,1
Sm	2,6	7,5	5,5	3,3	2,8	2,2
Eu	1,1	2,63	2	1,6	1,38	0,83
Gd	3,26	8,68	6,96	4,28	3,57	2,89
Tb	0,5	1,52	1,25	0,8	0,66	0,53
Dy	2,55	8,11	6,56	3,84	3,56	2,91
Ho	0,44	1,47	1,21	0,75	0,69	0,56
Er	2,11	4,51	3,94	2,42	2,31	1,95
Tm	0,25	0,72	0,62	0,55	0,37	0,3
Yb	2,2	4,14	3,56	3,8	2,11	1,81
Lu	0,34	0,73	0,64	0,59	0,37	0,32
(La/Lu) _N	2,44	2,93	2,11	0,88	1,68	1,82
(La/Sm) _N	1,94	1,73	1,49	0,95	1,35	1,60
(Tb/Lu) _N	0,97	1,37	1,28	0,89	1,17	1,09
Eu*	10,95	30,42	23,28	14,14	11,89	9,48
Eu	1,15	0,99	0,99	1,30	1,33	1,01

$$\text{Eu}^* = (\text{Sm} + \text{Gd})/2, \quad \text{Eu} = \text{Eu}_N/\text{Eu}^*$$

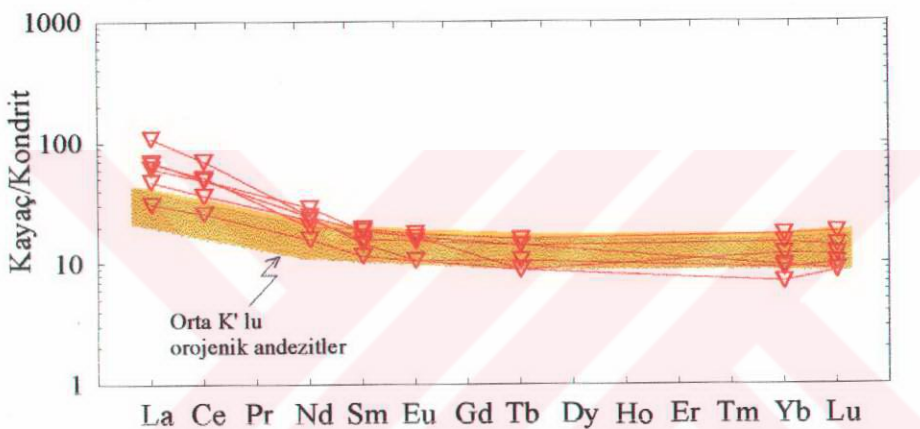
Çizelge 3.28'in devamı

Örn. No.	Bazalt ve andezit						Dasit ve riyolit					
	17	170	232	302	346	492	11	30	179	232	347	
La	22	17	39	25	11	24	14	21	24	39	4	
Ce	46	34	66	46	24	48	28	47	38	66	12	
Nd	17	16	17	20	11	14	14	21	16	17	5	
Sm	4,2	3,6	3,3	4,2	2,6	4,4	3,5	5	3,8	3,3	1,3	
Eu	1,4	1,3	0,9	1,4	0,9	1,5	0,7	0,8	1,1	0,9	0,5	
Tb	0,5	0,8	0,6	0,8	0,5	0,9	1	0,8	1	0,6	0,5	
Yb	1,7	3,6	2,2	2,3	2,9	4,2	6,3	5,7	4,3	2,2	3,2	
Lu	0,32	0,52	0,37	0,33	0,44	0,67	0,97	0,9	0,65	0,37	0,55	
(La/Lu) _N	7,137	3,394	10,94	7,865	2,595	3,719	1,50	2,42	3,83	10,94	0,76	
(La/Sm) _N	3,297	2,972	7,439	3,747	2,663	3,433	2,52	2,64	3,98	7,44	1,94	
(Tb/Lu) _N	1,026	1,011	1,065	1,592	0,746	0,882	0,68	0,58	1,01	1,07	0,60	
Eu*	13,4	14,69	12,32	15,99	9,938	17,28	16,20	17,72	16,85	12,32	7,12	
Eu	1,201	1,017	0,84	1,007	1,041	0,998	0,50	0,52	0,75	0,84	0,81	

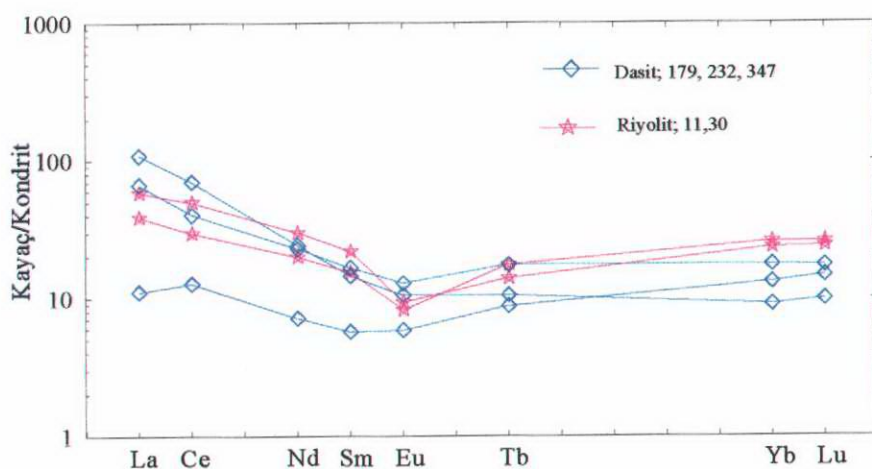
$$\text{Eu}^* = (\text{Sm} + \text{Tb})_N/2, \quad \text{Eu} = \text{Eu}_N/\text{Eu}^*$$



Şekil 3.116. Doleritlerin kondrite göre normalleştirilmiş REE dağılımları (kondrit değerleri; Taylor ve McLennan, 1985' den)



Şekil 3.117. Andezitlerin kondrite göre normalleştirilmiş REE dağılımları (kondrit değerleri; Taylor ve McLennan, 1985' den; Orta K'lu orojenik andezitler Gill, 1981'den)



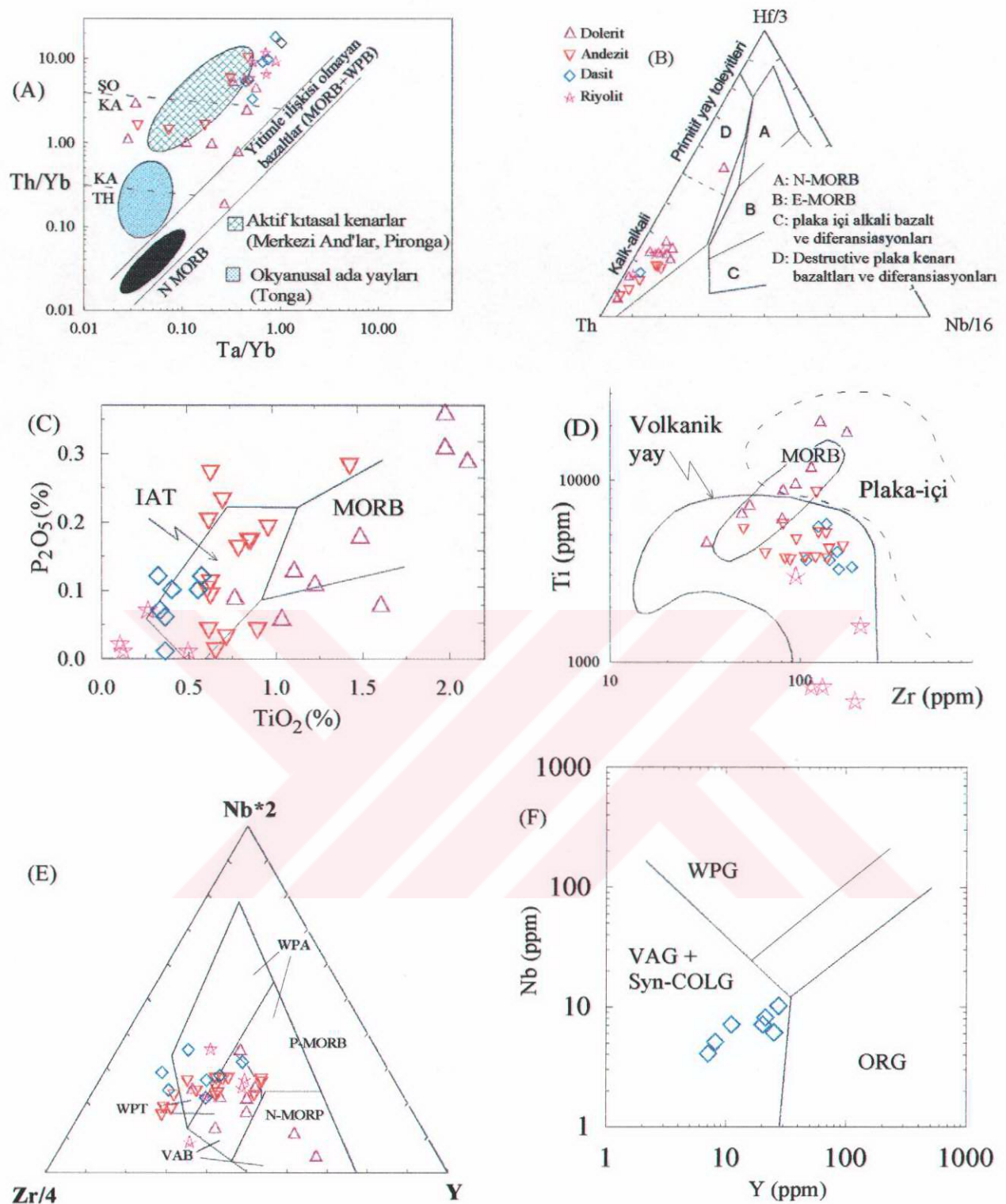
Şekil 3.118. Dasit ve riyolitlerin kondrite göre normalleştirilmiş REE dağılımları (kondrit değerleri Taylor ve McLennan, 1985' den)

göstermektedir. Ancak bazaltik-andezitik bir eriyikde hornblend ($D_{HREE} > 1$, $D_{LREE} < 1$; Fujimaki ve dig., 1984) ve klinopiroksenlerin ($D_{HREE} > 0.5$, $D_{LREE} < 0.5$, Arth, 1976; Fujimaki ve dig., 1984) yüksek HREE ve düşük LREE dağılım katsayıları nedeniyle, bu minerallerin ayrımlaşması ile oluşan kayaçlar, LREE bakımından zenginleşmiş, yukarı doğru konkav bir REE dağılımı sunarlar.

Dasit ve riyolitler REE içerikleri bakımından çok az oranlarda farklılaşmış ($La_N/Lu_N = 0.75-3.83$), negatif Eu anomalisi ve yukarı doğru içbükey bir dağılım sunarlar (Şekil 3.118). Negatif Eu anomalisi gösteren ve hafif REE bakımından zenginleşen REE dağılımlar yitime bağlı olarak gelişen asit özellikteki kalk-alkali kayaçlarda yaygın olarak bilinmektedir (Henderson, 1984). Ağır REE içerikleri bakımından $Lu_N = 14-25$ oranlarında yataya yakın bir dağılım sunan dasit ve riyolitler hafif nadir toprak elementler bakımından $La_N = 10-106 \times$ oranlarında zenginleşmişlerdir. Dasit ve riyolitlerin belirgin özelliklerinden biride SiO_2 içeriğindeki artışa bağlı olarak belirginleşen negatif Eu ($Eu_N/Eu_N^* = 0.49-0.95$) anomalisi göstermeleridir. Hafif REE içeriklerinde az oranlarda farklılaşmışlardır ($La_N/Sm_N = 2-7$). Oldukça belirgin negatif Eu anomalisi dasit ve riyolitlerin gelişiminde plajiyoklas ayrımlaşmasının önemli olduğunu göstermektedir. Hafif REE bakımından zenginleşmiş ve yukarı doğru konkav dağılım profili amfibol ayrımlaşmasına karşılık gelmektedir (Green ve Pearson, 1985; Romick, 1987). Bununla birlikte yataya yakın, ağır REE dağılımı köken kayaçlarında granat veya amfibolün varlığı ile uyuşmamaktadır (Hanson, 1980).

3.3.5.3.Tektonik Ortam

Kınalıçam volkanitleri tektonik ayırım diyagramlarında kıtasal yay veya yitimli ilişkili tektonik ortamlara düşmektedirler (Şekil 3.119). Ta/Yb-Ta/Th (Pearce, 1982, 1983) ve Hf/3-Th-Nb/16 (Wood, 1980) diyagramları tüm volkanik kayaçlar için geliştirilen tektonik ortam diyagramları olduklarından bazalttan riyolite kadar değişim gösteren Kınalıçam volkanitleri için en kullanışlı diyagramları oluştururlar. Hf/3-Th-Nb/16 diyagramında (Wood, 1980) plaka kenarı kalk-alkali bazalt ve diferansiyasyonları alanında toplanan Kınalıçam volkanitleri (Şekil 3. 119 A), Ta/Yb-Th/Yb diyagramında (Pearce, 1983) yüksek Th/Yb, düşük Ta/Yb oranları ile yitimle ilişkili aktif kıtasal kenar ortamlarında toplanmaktadır.



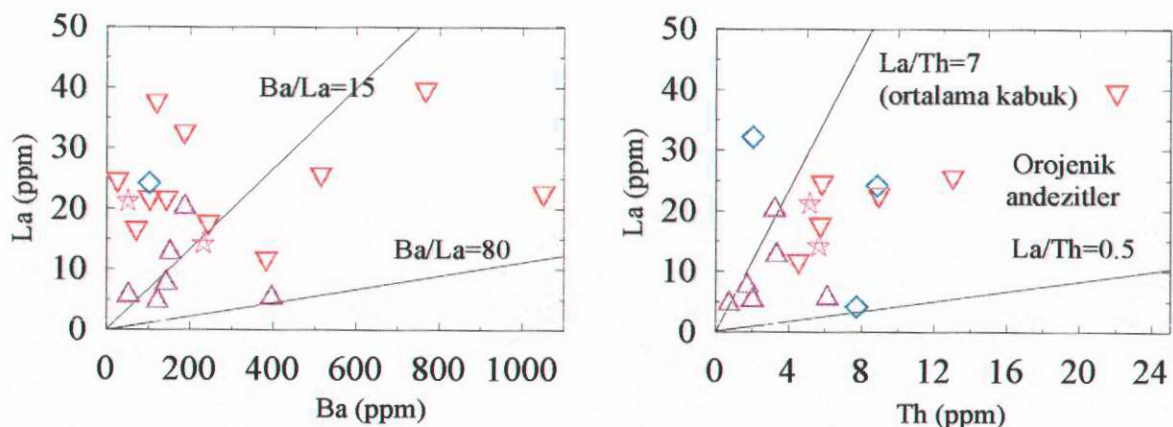
Şekil 3.119. Kinalıçam volkanitleri için seçilen tektonomagmatik ayırım diyagramları. A)- Pearce, 1982 (SO = şoşonitik; KA = kalk-alkali; TH = toleyitik, MORB = Okyanus ortası bazaltları; WPA = plaka içi alkalileri), B)- Wood, 1980, C) - Hawkins, 1980 (IAT = ada yayı toleyitleri; MORB = okyanus ortası sırtı bazaltları) ve D) - Pearce ve Cann., 1973 (MORB=okyanus ortası sırtı bazaltları); E)- Meschede, 1986 (VAB = volkanik yay bazaltları; WPT = plaka içi toleyitleri; WPA = plaka içi alkalileri; P-MORB = Plume tip MORB; N-MORB = normal tip MORB), F)- Parce ve diğ., 1984 (VAG = volkanik yay graniti; Syn-COLG = çarpışma eş yaşılı granitler; WPG = plaka içi granitler; ORG = okyanus ortası granitleri

(Şekil 3. 129 B). Yb her iki oranda da payda olarak kullanıldığında kısmi petrojenetik modellemelerde ergime ve fraksiyonel kristallenme olaylarından kaynaklanan etkileri ortadan kaldırdığı için kullanışlı olmaktadır. Okyanus ortası bazaltları (MORB) ve kirletilmemiş plaka içi bazaltların (WPB) yaklaşık 45° eğimli çok düzgün çizgisel bir band şeklindeki değişimleri Ta ve Th için manto zenginleşme olaylarının benzer olduğunu göstermektedir. Buna karşılık ada yayı ve aktif kitasal kenarlar ile ilişkili bazaltlarının yüksek Th/Yb oranları bunların gelişiminde muhtemelen Th bakımından zengin yitim zonu akışkanlarının önemini yansıtmaktadır (Pearce, 1982, 1983).

Doleritler TiO_2 - P_2O_5 (Hawkins, 1980) ve Zr-Ti (Pearce ve Cann, 1973) diyagramlarında MORB alanında toplanırken; bazalt, andezit ve dasitler ada yayı toleyitleri ve volkanik yay alanında (Şekil 3. 119 C), Zr-Ti diyagramında (Pearce ve Can, 1973) da ada yayı alanında toplanırlar (Şekil 3. 119 D). Nb^{*2} -Zr/4-Y (Meschede, 1986) diyagramında ise çoğunlukla volkanik yay bazaltları alanında yer alırlar (Şekil 3. 119 E). Ayrıca dasit ve riyolitler Pearce ve dig. (1984)'nin granitoidler için oluşturdukları Y-Nb diyagramında volkanik yay graniti (VAG) alanında toplanırlar (Şekil 3. 119 F). Doleritlerin plaka içi özellik göstergeleri yay içi rifleşmeye işaret edebilir. Diğer taraftan MORB' a yakın özellikleri ile metasomatize olmuş manto kökenli ve az ayrımlaşmış volkanik kayaçlara benzemektedir. Nitekim bunların uyumsuz element diyagramlarında gözlenen MORB' a göre zenginleşmiş LILE ve tüketilmiş HFSE içerikleri yiten okyanus dilimi tarafından metasomatize olmuş manto kamاسından kaynaklandıklarını göstermektedir (Pearce, 1982).

3.3.5.4. Petrojenez

Kınalıçam volkanitleri düşük Na_2O / K_2O oranları, düşük, Ta, Nb ve TiO_2 içerikleri, yüksek LILE/HFSE ve LILE/LREE oranları ile yitimle ilişkili kayaçların jeokimyasal özelliklerini yansıtmaktadır (Saunders ve dig., 1980; Gill, 1981; Pearce, 1983; Thompson ve dig., 1984; White ve Patchett, 1984). Ta, Nb ve TiO_2 deki tüketilmeler sulu şartlar altındaki yitim zonunda kısmi ergime sırasındaki minör fazlara atfedilmekle (Saunders ve dig., 1980) birlikte bu durum bu elementlerin çözülmeyezlikleri ve büyük iyonik potansiyelleri



Şekil 3.120. Dasit ve riyolitlerin La-Ba ve Th-La diyagramları. $Ba/La = 15$ ve $La/Th = 10$ (sinirler; Gill, 1981)

nedeniyle yiten dilimin dehidratasyonundan kaynaklanan akışkan içerisinde geçememelerinden de ileri gelmektedir (Woodhead, 1989). LILE ve LREE' deki belirgin zenginleşmeler yiten dilimin dehidratasonu ve/veya yiten dilime eşlik eden sedimentlere atfedilmektedir (Pearce, 1983; Thompson ve diğ., 1984).

Yaklaşan plaka sınırlarında oluşan volkanik kayaçlarda Ba/La oranları >15 , La/Th oranları <10 dir (Gill, 1981). Buna karşılık Ba/La , La/Th ve La/Nb oranları sırasıyla N-MORB' da 4-10, 15-25; E-MORB ve kıta içi bazaltlarında da ise 10-15, 7-15 arasında değişir (Wood ve diğ., 1980). Kinalıçam volkanitleri genel olarak 15 den büyük (doleritler 8-70, bazalt ve andezitler 10-47, dasitler 2-21) Ba/La ve 10' dan küçük (dolerit, bazalt ve andezitler 1-7, dasitler 1-21) La/Th oranları ile yaklaşan plaka sınırlarında oluşan volkaniklere benzemektedirler (Şekil 3.120) Benzer şekilde Zr/Nb oranları (doleritler 13, 31, bazalt ve andezitler 8.3-20, dasitler 14-30) ile de N-MORB' dan ayrılmaktadırlar (N-MORB; $Zr/Nb \geq 30-35$; Bazaltik Volkanizmayı İnceleme Projesi, 1981).

Kinalıçam volkanitlerinin en az ayırmıştır ürünleri olan dolerit ve bazı bazaltlarında MgO içeriklerinin % 9' kadar çıkması dolerit, bazalt ve andezitlerin oluşumunda manto kamasının kısmi ergimesi ile oluşan bazaltik magmanın olmasına gerektiğine işaret etmektedir (Gill, 1981; Ewart ve Hawkesworth, 1987; Drummond ve Defant, 1990). Ayrıca düşük Nb , Ta ve diğer HFSE içerikleri de manto kamasını kısmi ergimesi ile oluşmuş olabileceklerini göstermektedir. Düşük Nb ve Ta konsantrasyonları manto kamasının kısmi ergimesi sırasında genellikle refraktör olarak Ti içeren fazların (rutil, sfen, perovskit ve Ti-

klinohümít) engellenmesinden kaynaklandığı şeklinde yorumlanmaktadır (Brique ve diğ., 1984; Green ve Pearson, 1987). Ancak Th, Ba Rb gibi yüksek LILE içerikleri manto kamasının yiten okyanus kabuğundan kaynaklanan eriyikler tarafından metasomatize olduğuna işaret etmektedir (Pearce, 1982).

Kinalıçam volkanitleri kıtasal yayın rıftleşmesi dönemine karşılık geldiklerinden kıtasal riftler için geliştirilen yöntemler özellikle doleritler ve bazı bazaltlar için kullanılabilir. Doleritlerin 1-9 arasında, bazalt ve andezitlerin ise 5.5-22 arasında değişen La/Nb oranları bunların yitimle etkileşmiş kıtasal litosfer ile ilişkili bir magmadan itibaren oluşuklarını göstermektedir (kıtasal rift bazaltları $\text{La/Nb} > 1.5$; Leat ve diğ., 1988)). Benzer şekilde dolerit (5-112), bazalt ve andezitlerde (11-25) nispeten yüksek La/Ta oranları da kıtasal kabuk ve litosferik manto ile kirletilmiş bir magmadan (kıtasal litosfer) oluşuklarına işaret etmektedir (kıtasal rift bazaltları $\text{La/Ta} > 30$; Leat ve diğ., 1988). Bu değerler yitimden etkilenmiş litosferden kaynaklanan bazatlardaki değerlere benzemektedir (Hawkesworth ve diğ., 1988). Bunlara ilave olarak Kinalıçam volkanitlerinin Ta/Yb-Th/Yb diyagramında görüldüğü gibi yüksek Th/Yb ve düşük Ta/Yb oranları ile yitimle ilişkisi olmayan kayaçlardan ayrılarak kıtasal yay kayaçları alanında toplanmaktadır (Pearce, 1983).

Liyas yaşı Kinalıçam volkanitlerinin SiO_2 karşı bazı ana ve iz element içeriklerindeki düzensiz değişimler, doleritler hariç TiO_2 içeriklerinin ($< \% 1$) üst kabuk değerlerine çok yakın olması, Ti-K-P (Pearce ve diğ., 1975) diyagramında K_2O yönündeki zenginleşmeler bunların gelişiminde kabuksal assimilasyon olayının önemli rol oynadığını işaret etmektedir. Kıtasal riflerde olduğu gibi ekstansiyonel dönemlere karşılık gelen magmatik faliyetlerde Ti, Co, Sc, Cr gibi geçiş elementleri yüksek konsantrasyonlarda yer alırlar (Hart ve diğ., 1989; Coish ve Sinton, 1992). Kinalıçam volkanitlerinin en mafik ürünleri olan doleritler kıtasal riftlerle ilişkili bazatlara benzer şekilde nispeten yüksek geçiş element içeriklerine sahiptirler ($\text{Cr} = 16-660 \text{ ppm}$; $\text{Ni} = 7-159 \text{ ppm}$; $\text{Sc} = 8-36 \text{ ppm}$; $\text{Co} = 25-35 \text{ ppm}$) Ancak bazalt, andezit ve dasitlerin ortalama kabuk değerlerine (Taylor ve McLennan, 1985) benzer $\text{Cr} (< 100 \text{ ppm})$, $\text{Ni} (< 42 \text{ ppm})$, $\text{Sc} (< 25 \text{ ppm})$ ve $\text{Co} (< 23 \text{ ppm})$ içerikleri fraksiyonel kristalleşme ve kabuksal assimilasyon olaylarını desteklemektedir. Bu nedenle dolerit ve bazaltlar kıtasal riftler ile ilişkili dayklar ve bazaltlar ile karşılaşılabilir.

Kıtasal riftler ile ilişkili bazaltlar ve farklılaşmış ürünlerindeki kabuksal kirlenmeler K/P ve Ti/Yb oranları ile test edilmektedir. Üst kabukta K zenginleşmiş, P tüketilmiş olduğundan K/P oranı bazaltik magmalarda kabuksal kirlenmeyi belirlemek için kullanılmıştır (Leeman ve Hawkeswoth, 1986; Van Calsteren ve dig., 1986; Carlson ve Hart, 1987). Dolerit, bazalt ve andezitler 0.36 - 70 arasında değişen K/P oranlarına sahiptirler. K/P oranı 3' den düşük örneklerde K ve P' nin birlikte zenginleştiği söylenebilir. K/P oranı 3' den çok büyük örneklerde ise üst kabuk kirlenmesi olabilir (Hart ve dig., 1989).

Mafik alt kabuk malzemesinin (mafik granülit) assimile olması durumunda, bunu K/P oranı ile belirlemek güçtür. Ancak Ti; alt kabuk ve üst kabuk malzemelerinde düşük değerlerde olduğundan Ti/Yb oranı kıtasal akıntı bazaltlarında manto ve kabuk etkisini ayırmada kullanılabilir (Hart ve dig., 1989). Yüksek Ti/Yb oranı (>5000) kabuksal katının olmadığını veya çok az olduğunu gösterirken, düşük Ti/Yb oranı (<5000) kesin olmamakla birlikte kabuksal katının olabileceği işaret etmektedir (Leeman ve Hawkeswoth, 1986; Van Calsteren ve dig., 1986). Doleritlerde altı örnekte Ti/Yb oranları 2335 ve 3689 arasında değişirken üç örnekte ise 11798-33939 arasında değişen oldukça yüksek değerlerdedir. Düşük Ti/Yb oranları doleritlerin oluşumu sırasında genel olarak alt kabuk kirlenmesi olduğu şeklinde yorumlanabilir. Yüksek Ti/Yb oranlarının yüksek SiO₂ içerikli örneklerle karşılık gelmesi bu örneklerde TiO₂ içeren fazların birikimi olduğu şeklinde yorumlanabilir. Çünkü fraksiyonel kristalleme de yüksek TiO₂ içerikleri düşük SiO₂ içerikli veya en az ayrımlaşan örneklerle karşılık gelmesi gerekmektedir. Bazalt ve andezitlerde Ti/Yb oranları 1032-2997 arasında değişmektedir. Bu oranlardan da görüldüğü gibi dolerit, bazalt ve andezitlerin düşük Ti/Yb oranları üst kabuk kirlenmesi olayına maruz kaldıklarını göstermektedir. Dasit ve riyolitler bazalt ve andezitlerin farklılaşmış ürünleri olduklarıandan doğal olarak bu oranlar daha da düşüktür.

MORB ve OIB gibi tamamen manto kökenli eriyikler dar bir aralıkta değişen (47 ± 10) Nb/U oranlarına sahipken (Hofman ve dig., 1986), alt ve üst kabuk sırasıyla ~21 ve ~9 oranlarında Nb/U değerlerine sahiptir (Taylor ve McLennan, 1985). Bu nedenle kabuksal malzemeler tarafından kirletilmiş manto kökenli bazaltlar Yellowstone bazaltlarında (16-42) olduğu gibi (Hildreth ve dig., 1991) ~40 dan daha düşük Nb/U oranlarına sahip olacaklardır.

Doleritler 2-16 arasında, bazalt ve andezitler ise 2.2-10 arasında değişen düşük Nb/U oranlarına sahip olmaları da kabuksal malzemeler tarafından kirletildiklerini gösterebilir.

Kıtascal yaylarla ilişkili volkanitler (bazaltlar) okyanusal yaylardaki bazaltlar gibi LIL element zenginleşmesi gösterirler. Ancak kıtasal yaylardaki volkaniklerde zenginleşme derecesi diğerlerine göre daha yüksektir. HFS elementler bakımından ise Kinalıçam volkanitlerinde olduğu gibi MORB' a göre az oranlarda zenginleşmiş veya tüketilmişlerdir. Pearce (1983) bu özelliğin ana magmanın metasomatize olmuş kita altı litosferden kaynaklanmasına bağlamaktadır. Kinalıçam voltanikleri LIL bakımından MORB' a göre yüksek oranlarda zenginleşmiş, HFS elementler bakımından tüketilmiş olmaları ve yüksek LREE/HREE oranları ile kıtasal yaylarla ilişkili volkaniklere benzemektedirler.

Yay gerisi (marjinal havza) havzalarla ilişkili bazaltlar MORB' a göre K,Rb, Sr ve Ba gibi LIL elementler bakımından göreceli olarak zenginleş, HFS elementler bakımından ise ada yaylarında olduğu gibi fakirleşmişlerdir (Gill, 1987; Donato, 1990). Yay gerisi havza bazaltları bu dağılımları ile ada yayı bazaltlarına benzer özellikler sunarlar. Bu nedenle iz element oranları türedikleri ana magmanın bileşimi hakkında daha sağlıklı sonuçlar verebilir (Gill, 1987; Donato, 1990). Bu nedenle Kinalıçam doleritleri marjinal havza bazaltları ile de benzer özelliklere sahiptirler.

Kıtascal riftler ile ilişkili volkanik kayaçlar LIL elementler bakımından çok fazla zenginleşmiş olmakla birlikte Kinalıçam volkanitlerinden farklı olarak HFS elementler bakımından da MORB' a göre zenginleşmişlerdir. Ayrıca Kinalıçam volkanitlerindeki gibi Ta ve Nb' da diğerlerine göre negatif anomaliler yoktur (Hart ve dig., 1989; Coish ve Sinton, 1989). Rift kenarı ve rift düzluğu bazaltlarında Rb, Ba, Th, Ta ve Nb zenginleşmesi karakteristik (Hart ve dig., 1989).

Kinalıçam volkanitleri bazı okyanus ortası bazaltları, okyanus adası bazaltları (Wood ve dig., 1979; Weawer ve dig 1987) ve kıtasal akıntı bazaltlarında (Thompson ve dig., 1983) gözlenen HFS element (Nb, Ti Zr, Hf) zenginleşmelerinin aksine negatif Nb, Ta ve Ti anomalileri, MORB' a göre zenginleşmiş LILE ve tüketilmiş HFSE içerikler ile tipik olarak kıtasal yaylar ile ilişkili volkaniklere benzemektedirler.

3.3.6. Yusufeli Volkanitleri

3.3.6.1. Giriş

Üst Kretase, Pontidler de ada yayı volkanizmasının en yaygın olduğu döneme karşılık gelmektedir. Bimodal özellikte gelişen volkanizma tortularla ara tabakalı volkanikler ve tortuları kesen, çoğunlukla prizmatik debili stoklar olmak üzere iki şekildedir. Doğu Pontidler’de yaygın olarak ilk kez Liyas’da görülen ada yayı volkanizması, havzalaşma sürecine karşılık gelen ve volkanizma açısından sakin geçen Malm-Alt Kretase dönemlerinden sonra, Üst Kretase’de ikinci kez daha yoğun olarak karşımıza çıkmaktadır. Malm-Alt Kretase ve Üst Kretase’nin başlarında açılan yay içi havzalar, Üst Kretase’nin sonlarına doğru kapanmaya başlamış ve yoğun bir magmatik faliyet meydana gelmiştir. Bu bölümde Üst Kretase yaşlı Yusufeli volkanitlerinin jeokimyasal karakteristikleri ortaya konulmaya çalışılmıştır. Bu amaca yönelik olarak 13 örnek ana ve iz (Çizelge 3.29), 9 örnek de nadir toprak element içerikleri bakımından analiz edilmişlerdir (Çizelge 3.30).

3.3.6.2. Ana, İz ve Nadir Toprak Elementler

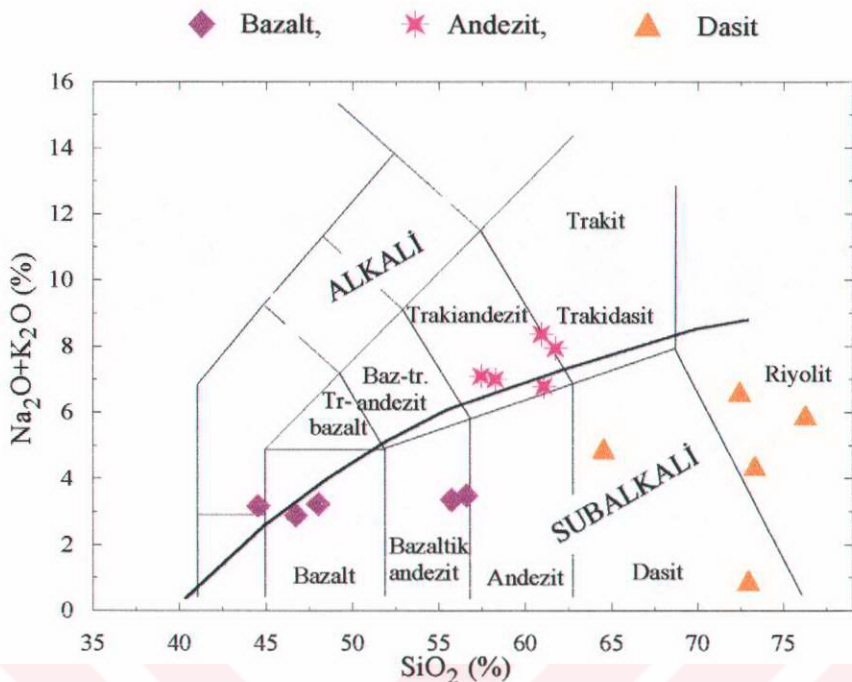
Geç Kretase yaşlı Yusufeli volkanitleri jeokimyasal olarak bazalttan riyolite kadar değişen bileşimlere sahiptirler ($\text{SiO}_2 = \% 44.5-76$). SiO_2 içerikleri % 44.5-61 arasında değişen bazik ve nötr kayaçların üçü bazalt diğerleri ise andezit bileşimindedirler. Dasit ve riyolitler ($\text{SiO}_2 = \% 65-76$) ise bazalt ve andezitlerin devamı niteligidelerdir. Bazaltlar normatif olarak hipersten bazalt ve kuvarlı toleyit bileşimindedirler. Andezitlerin çoğunuğu önemli oranlarda normatif hipersten (% 0- 15), diyopsit (% 0-14), manyetit (% 3-6), ilmenit (% 1-2) ve az oranlarda da apatit (% 0.2-0.5) içermektedir. Dasit ve riyolitler ise daha az oranlarda normatif hipersten (% 1-5), manyetit (% 0.3-3), ilmenit (% 0-1.5) ve apatit (% 0-0.5) içerirler.

Toplam alkali-silis adlandırma diyagramında (LeMaitre ve diğ., 1989) bazalt, andezit, traki andezit, dasit ve riyolit alanlarında toplanan Yusufeli volkanitleri (Şekil 3.121), yüzeysel alterasyon ve hidrotermal alterasyonlar karşısında hareketsiz davranan

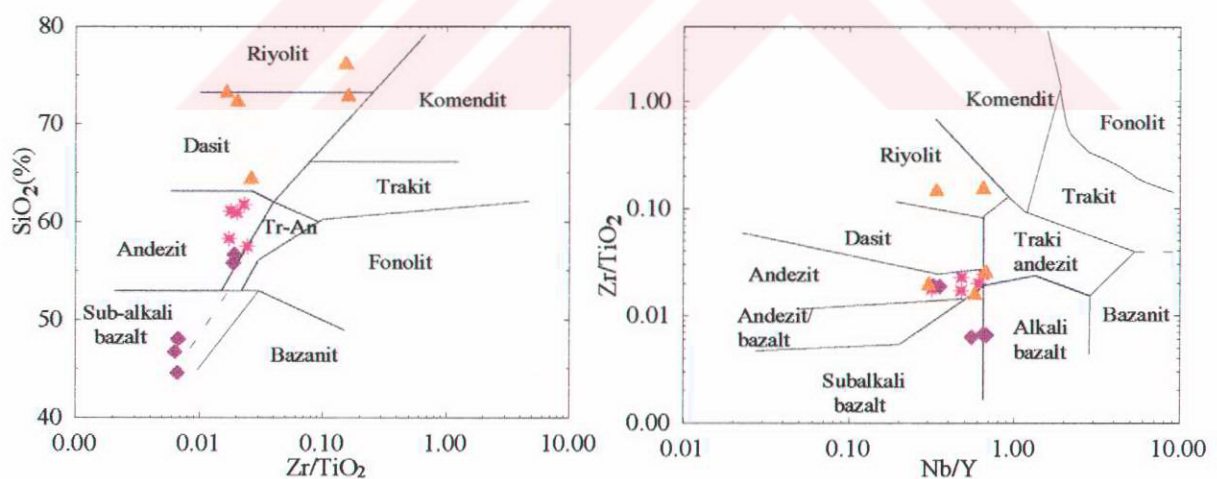
Çizelge 3.29. Yusufeli volkanitlerinin ana (%) ve iz (ppm) element analizleri ile CIPW normları

Ör. No	Bazalt					Andezit					Dasit				
	585	587	762	793	795	111	118	571	579	790	178	572	575	754	785
SiO₂	55,71	56,55	46,68	44,51	47,98	60,7	58,2	60,88	57,40	61,04	73,3	72,91	64,48	76,24	72,38
TiO₂	0,89	0,85	0,85	0,87	0,9	0,61	0,62	0,50	0,61	0,59	0,59	0,13	0,77	0,08	0,56
Al₂O₃	18,13	18,08	18,39	19,18	18,37	16,6	15,8	18,35	16,25	16,43	15,9	16,06	15,82	14,01	14,16
Fe₂O₃	2,55	2,94	3,50	4,26	2,96	2,92	3,93	3,51	3,96	3,52	0,26	0,76	3,59	0,24	1,22
FeO	5,41	4,89	6,10	6,22	7,13	1,67	1,54	1,77	1,79	2,28	0,48	0,66	0,76	0,38	1,66
Fe₂O₃*	7,959	7,829	9,6	10,48	10,09	4,59	5,47	5,28	5,748	5,8	0,74	1,425	4,353	0,62	2,88
MnO	0,12	0,11	0,18	0,18	0,19	0,07	0,09	0,04	0,07	0,16	0,02	0,01	0,03	0,02	0,02
MgO	2,61	2,57	4,32	3,16	4,97	1,07	1,44	2,02	1,41	2,29	0,6	0,17	2,07	0,32	0,74
CaO	8,15	7,91	11,58	9,81	11,14	4,61	5,98	1,87	5,81	3,23	0,22	0,19	3,31	0,63	0,76
Na₂O	2,97	2,88	1,99	2,12	2,17	4,53	5,65	7,03	5,71	4,31	0,1	0,09	4,23	4,68	5,15
K₂O	0,37	0,59	0,88	1,03	1,04	3,39	1,33	1,32	1,37	2,46	4,28	0,82	0,66	1,22	1,48
P₂O₅	0,10	0,09	0,2	0,21	0,22	0,2	0,11	0,12	0,11	0,16	0,06	0,02	0,14	0,03	0,21
LOI	1,90	1,60	5,2	8,1	2,6	3,4	4,2	1,90	4,60	3,5	3,5	7,10	3,50	2,1	1,5
Top.	98,9	99,1	99,9	99,7	99,7	99,8	98,9	99,3	99,1	100	99,3	98,9	99,4	100	998
Sr	249	353	254	516	368	334	351	749	356	305	120	147	336	35	182
Rb	21,5	25,75	18,4	18,28	32,1	84	76	22,8	20,3	26,4	30	25	25	45,76	35
Ba	217	222	203	331	309	782	414	272	57	810	756	631	142	44	358
Th	20,3	24,3	4,4	10,42	7,68	17,2	8,4	6,2	11,23	32	55	30	12	127	35
Ta	0,12	0,1	0,15	0,2	0,2	0,2	0,12	0,31	0,18	0,16	0,6	0,8	1	0,9	0,7
Nb	3	2	3	6	7	7	4	3	5	7	8	7	11	10	6
Ce	22	26,3	35	30,5	29,1	60	50	31	26	24	18	95	59	49,1	3,5
Zr	165	53	161	57	60	138	106	99	147	104	96	205	199	120	112
Hf	2,1	2,5	5	2,39	2,39	3,6	2,8	3	2,9	5	5	6	6	5,78	7
Sm	3,11	3,41	4,1	3,69	3,63	3,4	2,6	1,9	3,5	4	5	3,4	3	5,84	4
Y	23	11	22	12	11	11	17	10	14	15	14	11	10	30	20
Yb	1,16	1,59	3,8	1,85	1,72	2,6	2	1,2	1,58	3,58	3,8	3,1	1,8	4,54	4,02
Cr	40	7	80	60	90	4	6	27	23	20	80	2	1	50	20
Ni	20	20	32	24	32	20	21	20	20	8	12	20	22	11	15
Sc	20	22	24	12	24	10	17	10	18	16	5	10	10	6	8
Q	13,96	15,43	1,52	1,63	-	11,9	8,89	8,25	7,60	16,39	38,83	45,84	27,66	42,42	34,09
Or	2,18	3,47	5,18	6,06	6,12	19,9	7,82	7,76	8,06	14,47	13,47	4,82	3,88	7,17	8,7
An	35,02	34,64	38,62	39,75	37,28	15	13,8	8,50	14,65	14,98	0,7	0,81	15,51	2,93	2,42
Ab	25,11	24,35	16,82	17,92	18,35	38,3	47,7	59,43	48,28	36,44	35,68	33,65	35,76	39,57	43,54
Di	3,93	3,29	14,31	6,21	13,56	5,14	7,74	7,58	-	-	-	-	-	-	-
Hy	11,14	10,14	11,02	11,59	15,03	0,28	-	5,03	-	6,31	1,49	0,81	5,16	1,2	2,98
Ol	-	-	-	-	0,16	-	-	-	-	-	-	-	-	-	-
Mt	3,69	4,26	5,07	6,19	4,29	3,85	3,47	4,39	4,24	5,1	-	1,10	3,55	0,35	-
Hmt	-	-	-	-	-	0,27	1,55	0,49	1,03	-	0,26	-	-	-	1,77
İlm	1,69	1,62	1,62	1,66	1,66	1,16	1,18	0,95	1,16	1,12	1,06	1,46	1,46	0,15	1,07
Ap	0,22	0,19	0,43	0,45	0,47	0,43	0,24	0,26	0,24	0,34	0,13	0,30	0,30	0,06	0,45
Crn	-	-	-	-	-	-	-	2,24	-	1,18	6,23	2,46	2,46	3,92	3,2

* toplam Fe₂O₃



Şekil 3.121. Yusufeli volkanitlerinin toplam alkali-silis adlandırma diyagramı (Le Maitre ve
diğ., 1989). Siyah çizgi subalkali ve alkali alanlarını ayırmaktadır (Kuno, 1966)

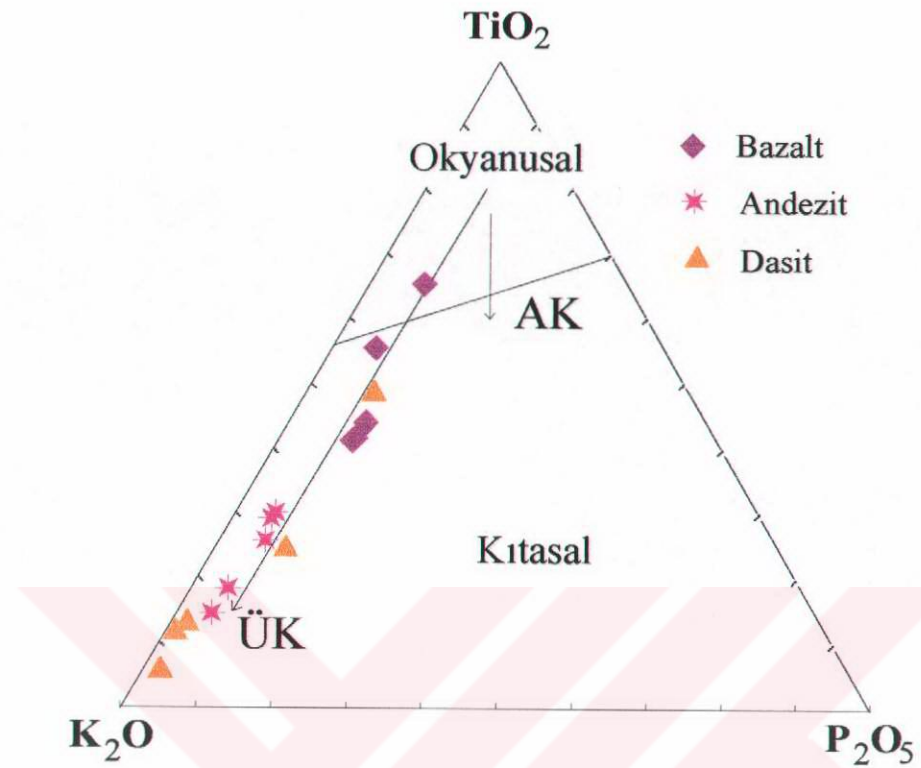


Şekil 3.122. Yusufeli volkanitlerinin SiO_2 - Zr/TiO_2 ve Nb/Y - Zr/TiO_2 adlandırma diyagramları (Winchester ve Floyd, 1977). Semboller toplam alkali-silis diyagramındaki ile aynıdır

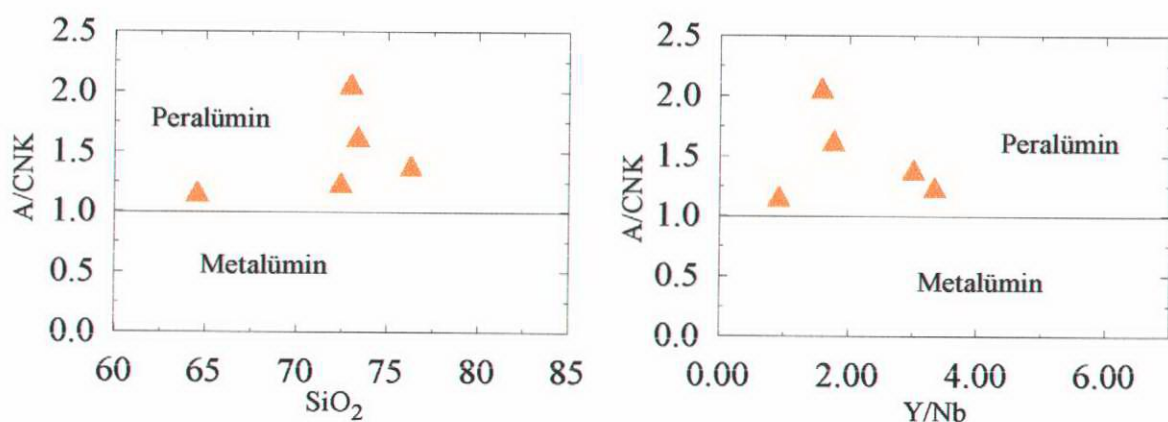
elementlere göre oluşturulan Zr/TiO₂-SiO₂ ve Nb/Y-Zr/TiO₂ (Winchester ve Floyd, 1977) diyagramlarında sub-alkali bazalt, andezit ve riyolit alanlarında toplanmaktadır (Şekil 3.122). Kabuksal kirlenme ve diferansiasyon olaylarını yorumlamak için kullanılan TiO₂ - K₂O -P₂O₅ diyagramında (Pearce ve diğ., 1975) Liyas yaşılı Kinalıçam volkanitlerine benzer şekilde diferansiasyon ve kabuksal kirlenme olaylarına ugradıklar açıkça görülmektedir (Şekil 3.123).

Yusufeli volkanitlerinin MgO (% 1-5), Fe₂O₃^T (% 4-10) ve Al₂O₃ (% 14-19) içerikleri bazatlardan dasitlere doğru azalmaktadır. Bazalt ve andezitler bu element içerikleri bakımından tipik olarak Gill (1981)' in orojenik andezitlerine (MgO = % 1-5; Al₂O₃ = % 16-18) benzemektedirler. Bir çok orojenik alanda Fe₂O₃^T ve MgO içerikleri ile SiO₂ arasında negatif ilişkinin olduğu görülmektedir. Bu oranlar dasit ve riyolitlere doğru azalmaktadır (Gill, 1981). Yusufeli volkanitleri Mg numaraları (Mg/Mg+Fe²⁺) 20-73 arasında değişen orta ve yüksek oranlarda demir zenginleşmesine sahiptirler. Bazı dasit ve andezitlerdeki yüksek Mg numaraları önemli oranlarda demir oksitlenmesi olduğuna işaret etmektedir. Dasit ve riyolitlerin Al₂O₃ içerikleri ise Jakes ve White, (1972)' in ada yayı volkanik kayaçları için öngördükleri değerler (Al₂O₃ = % 14-17.5) ile son derece uyumludur. Dasit ve riyolitlerin tamamı perlümin karakterlidir (Şekil 124). Genel olarak düşük toplam alkali ve CaO içerikli olmaları molar Al₂O₃/(CaO+Na₂O+K₂O) (Shand, 1947) oranlarının 1'in üzerinde olmasını sonuclamaktadır.

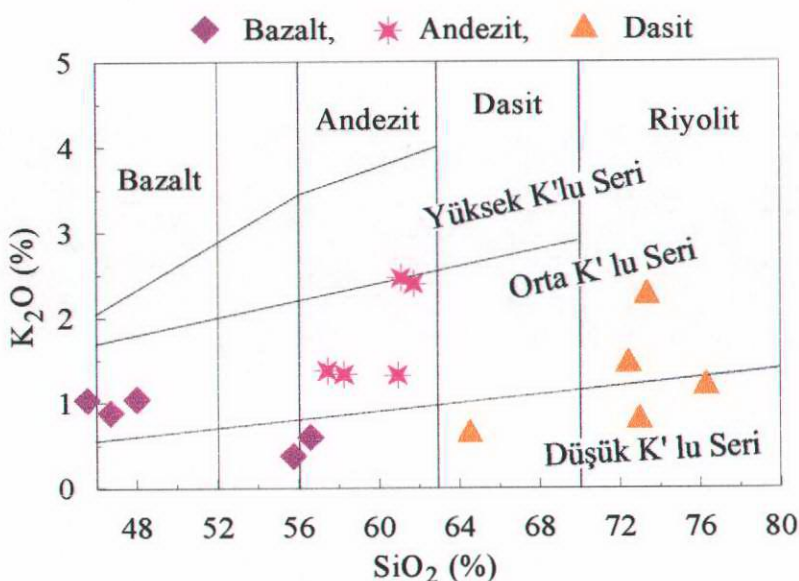
Bazalt ve andezitler TiO₂ içerikleri (% 0.50-0.90) ile tipik olarak Gill (1981)' in orojenik andezitlerine benzemektedirler. Yaklaşan plaka sınırlarında oluşan andezitler de dahil bütün volkanikler düşük TiO₂ içeriklerine sahiptirler (Pearce ve Cann, 1973). TiO₂ ada yayı bazalt ve andezitlerinde nadir olarak % 1.3'ün üzerine çıkar (Gill, 1981). Dasit ve riyolitler ise Kuno (1966)' nun genellikle düşük TiO₂ içerikli toleyitik volkanik kayaçlarına benzemektedirler. Aynı SiO₂ içeriğine sahip ada yayı volkanik kayaçlarında TiO₂ içeriği şoşonitik olanlarda yüksek, kalk alkali olanlarda orta ve toleyitiklerde düşüktür (Kuno, 1966).



Şekil 3.123. Yusufeli volkanitlerinin TiO_2 - K_2O - P_2O_5 diyagramı (Pearce ve dig., 1975). Vektörler MORB (Pearce, 1983) ile üst kabuk (ÜK) ve alt kabuk (AK) bileşimlerinin (Taylor ve McLennan, 1985) karışım yönsemelerini göstermektedir. Okların üç kısımları kabuksal bileşimlere karşılık gelmektedir



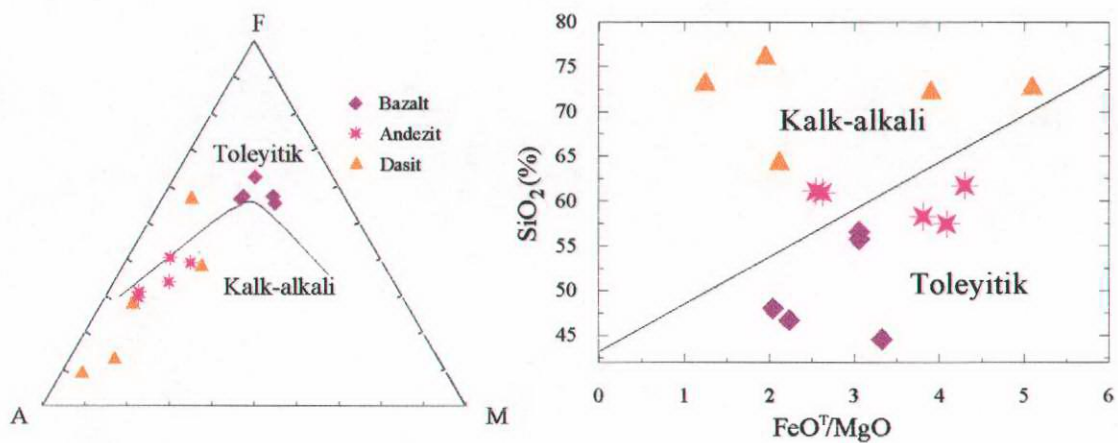
Şekil 3.124. Dasit ve riyolitlerin molar A/CNK' ya karşı SiO_2 ve Y/Nb diyagramları (Shand, 1947)



Şekil 3.125. Yusufeli volkanik kayaçlarının SiO_2 'e karşı K_2O diyagramı (Peccerillo ve Taylor, 1976)

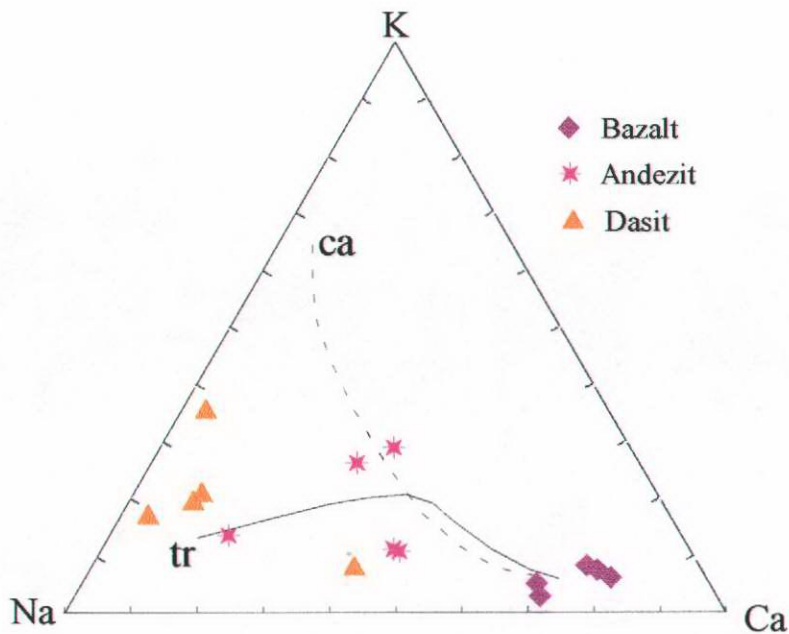
Peccerillo ve Taylor (1976)'un sınıflamsında genellikle orta K' lu olan Yusufeli volkanitlerinin K_2O içerikleri genel olarak bazaltlardan riyolitlere doğru azalma eğilimindedir (Şekil 3.125). Belirli bir SiO_2 içeriğine sahip ada yayı volkanik kayaçlarında Na_2O içeriği K_2O içeriği kadar çok değişmemektedir. Bu nedenle $\text{K}_2\text{O}/\text{Na}_2\text{O}$ oranı, K_2O 'un artışına bağlı olarak artmaktadır ve bu oran okyanus tarafındaki düşük K' lu kayaçlarda 0.1, kıtasal taraftaki şoşonitik kayaçlarda ise 1 değerindedir (Jakes ve Gill, 1970). Yusufeli volkanitleri 0.12-0.57 arasında değişen $\text{K}_2\text{O}/\text{Na}_2\text{O}$ oranları ile çoğunlukla kalk alkali ada yayı kayaçlarına benzemektedirler. Üst kabukta K_2O 'in yüksek konsantrasyonlarda (% 3.4, Taylor ve McLennan, 1985) olması $\text{K}_2\text{O}/\text{Na}_2\text{O}$ oranı yüksek örneklerin üst kabuk kirlenmesine uğradığını gösterebilir.

Yusufeli volkanitleri toleyitik- kalk alkali geçişli özellik göstermektedirler. AFM diyagramında (Şekil 3.126) bazalt ve andezitler yüksek Fe_2O_3 , MgO ve düşük toplam alkali içerikleri ile toleyitik özellik gösterirken, dasit ve riyolitler düşük Fe_2O_3 , MgO ve yüksek toplam alkali içerikleri ile kalk alkali özellik göstermektedirler (Irvine ve Baragar, 1971). $\text{SiO}_2\text{-FeO}^*/\text{MgO}$ diyagramında (Şekil 3.126) da benzer özellikler görülmektedir (Miyashiro, 1974).

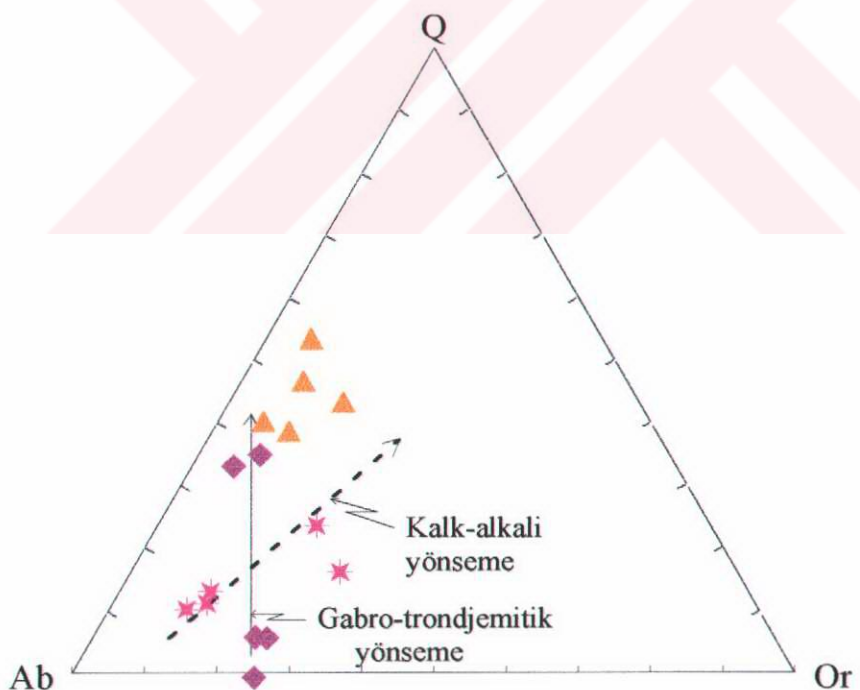


Şekil 3.126. Yusufeli volkanitlerinin AFM (Irvine ve Baragar, 1971) ve FeO^T/MgO ' e karşı SiO_2 diyagramı (Miyashiro, 1974)

Kalk-alkali yönseme ile tronjemitik yönsemenin birbirinden ayırimının daha belirgin olarak yapıldığı normatif K-Na-Ca diyagramında (Şekil 3.127), dasit ve riyolitler belirgin K ve Na zenginleşmesi (tronjemitik yönseme) göstermektedirler (Barker ve Arth, 1976). Benzer bir ilişki normatif Q-Ab-Or diyagramında (Şekil 3.128) görülmektedir (Barker ve Arth, 1976). Bu yönü ile Yusufeli volkanitleri çoğu ada yayalarında karakteristik kalk-alkali yönseme ile uyuşmamakta, metamorfize olmuş bazaltların kısmi ergimesi ile oluşturukları ileri sürülen Arkeen tronjemit-tonalit ve dasitler ile uyuşmaktadır (Drummond ve Defand, 1990).

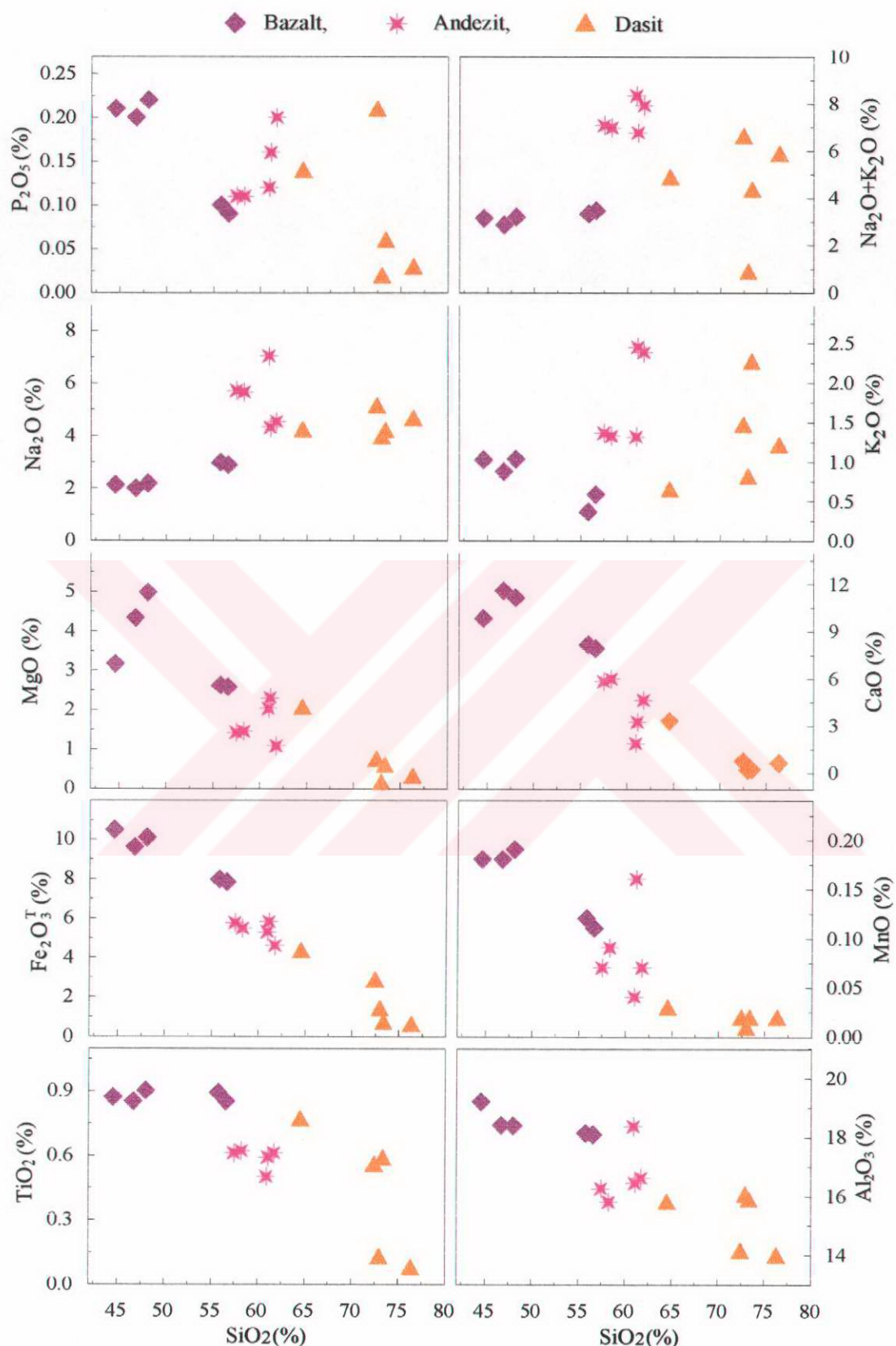


Şekil 3.127. Yusufeli volkanitlerinin kalk-alkali (Nockolds ve Allen, 1953) ve tronjemitik (Barker ve Arth, 1976) yönsemelerin ayırımının yapıldığı K-Na-Ca diyagramı (ca: kalk-alkali yönseme, tr: tronjemitik yönseme)

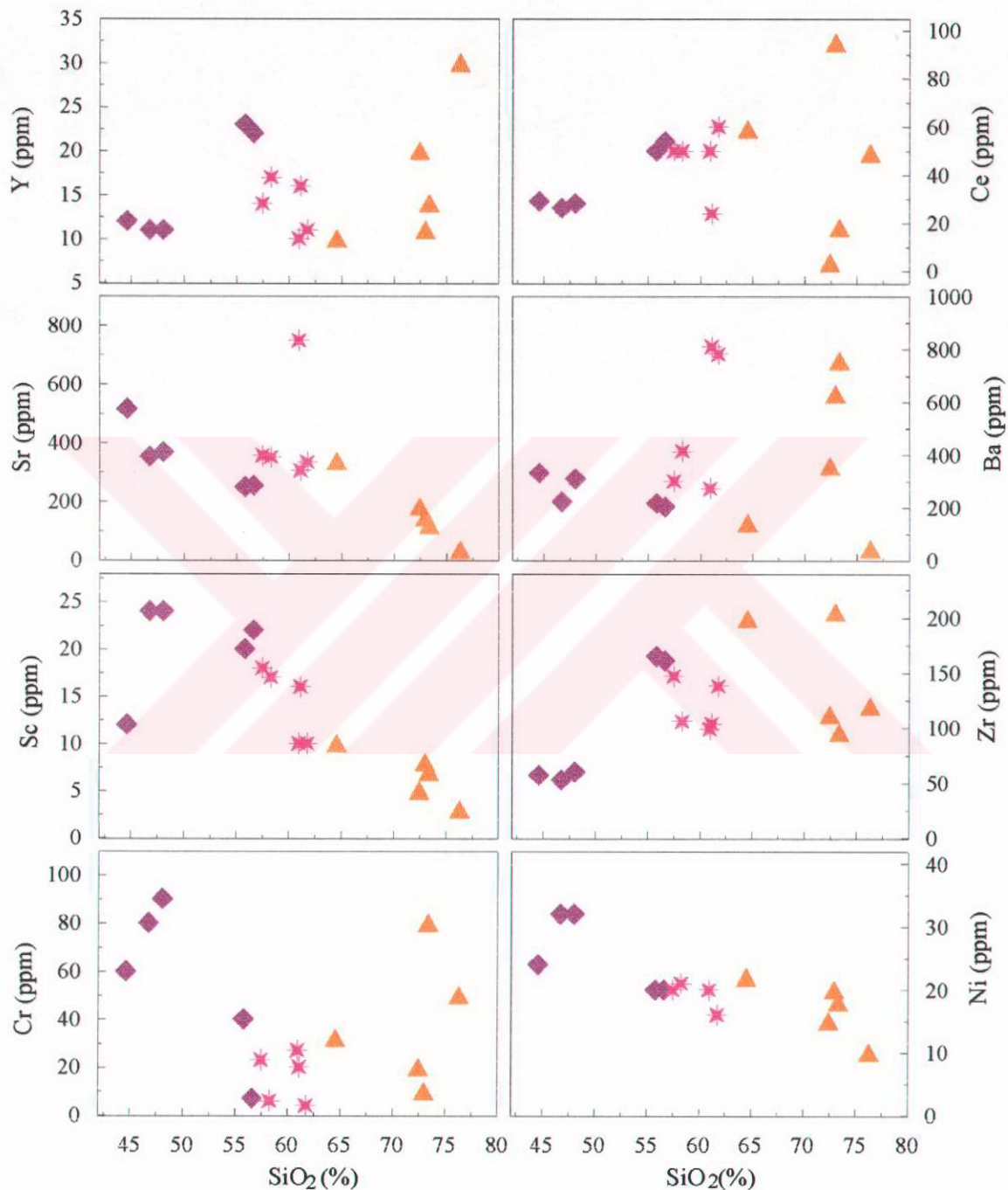


Şekil 3.128. Yusufeli volkanitlerinin normatif Q-Ab-Or diyagramı. (kalk-alkali ve gabro-tronjemitik yönsemeler Barker ve Arth, 1976' dan). Semboller K-Na-Ca diyagramı ile aynıdır

Ana ve iz elementlerin genel olarak SiO_2' e karşı iyi korelasyon göstermeleri, Yusufeli volkanitlerinin oluşumunda mineral/eriyik ayrımlaşmasını göstermektedir (Şekil 3.129 ve 140). Bununla birlikte bazalt ve andezitler bazı ana ve iz elementler bakımından SiO_2' e karşı farklı davranışlar göstermektedirler. Örneğin SiO_2 içeriğindeki artışa bağlı olarak bazatlarda MgO , CaO , ve MnO içerikleri artarken, andezitlerde azalmaktadır. Bu özellik bazatlarda olivin, klinopiroksen gibi Mg, Mn ve Ca bakımından zengin fazların birliğini, andezitlerde ise ayırmışlığını göstermektedir. Bu durum bazaltların yüksek oranlardaki olivin ve klinopiroksen, andezitlerin ise az oranlardaki klinopiroksen içerikleri ile uyumludur. Bazalt ve andezitlerin Al_2O_3 içeriklerindeki sınırlı değişim aralığı (% 17-19) ve Eu anomalisi göstermemeleri, bunların gelişiminde plajiyoklas ayrımlaşmasının önemli bir rol oynamadığını göstermektedir. Bununla birlikte Sr içeriklerinin bazatlarda azalma eğilimi kısmen bir ayrımlaşma, andezitlerdeki artma eğilimi ise plajiyoklas birikimi olabileceği işaret etmektedir. SiO_2' in artmasına bağlı olarak TiO_2 , toplam Fe_2O_3 ve MnO içeriklerinin azalması, olivin ve klinopiroksenin ayrımlaşmasına bağlı olarak gelişebileceği gibi; rutil ve titanomanyetit gibi Fe ve Ti içeren fazların ayrımlaşmasına bağlı olarak da gelişebilir. SiO_2 - Na_2O ve SiO_2 - K_2O diyagramlarındaki pozitif ilişkiler andezit, dasit ve riyolitlerin ayrımlaşma ilerledikçe sodik plajiyoklas ve alkali feldspatlar bakımından zenginleştiğini göstermektedir. Zr ile SiO_2 arasındaki negatif ilişki de Zr' un Ti eğilimli olması nedeniyle Fe-Ti oksit ayrımlaşmasını desteklemektedir. Y' un granat, amfibol ve daha az olarak da klinopiroksenlerin yapısına girdiği bilindiğine göre Y ile SiO_2 arasındaki pozitif ilişki apatit ve sfen gibi aksesuar fazların varlığı ile açıklanabilir. SiO_2 ile Sc ve Ni arasındaki negatif ilişki klinopiroksen ayrımlaşmasını, Sr ile SiO_2 arasındaki negatif ilişki ise bazalt ve andezitlerdeki kalsik plajiyoklas ayrımlaşmasını göstermektedir. SiO_2 - P_2O_5 diyagramında P_2O_5 'in genel olarak azalması ise apatit ayrımlaşması ile açıklanabilir.



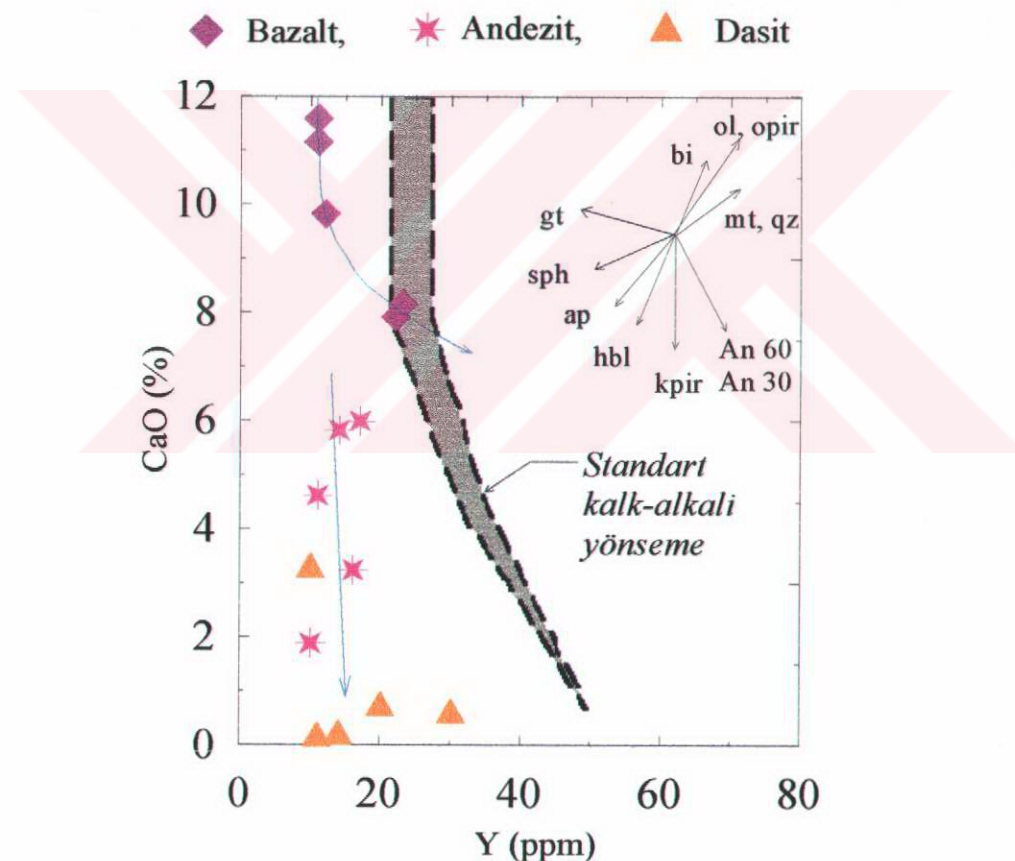
Şekil 3.129. Yusufeli volkanitlerinin SiO_2 ' e karşı ana element değişim diyagramları



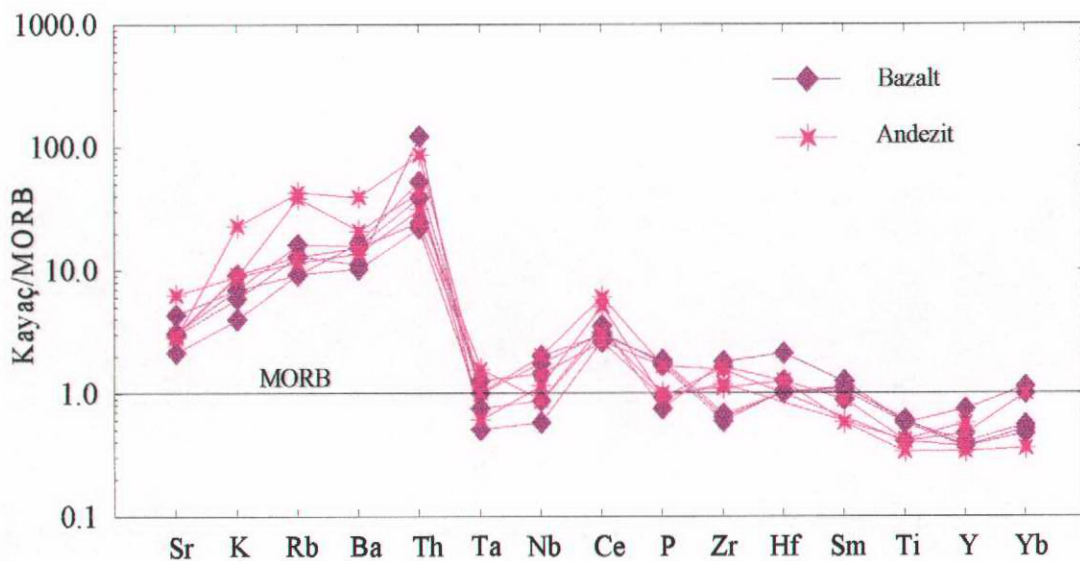
Şekil 3.130. Yusufeli volkanitlerinin SiO_2 ' e karşı iz element değişim diyagramları. Semboller ana oksit değişim diyagramları ile aynıdır

Alkali elementlerden Ba, Sr ve Ce' un bazaltlarda azalma eğiliminde olmalarına karşılık andezitlerde artmaları plajiyoklasların sodik karakter kazandıklarına işaret edebileceği gibi, kabuksal kirlenme olayına da işaret edebilir (Şekil 3.130). SiO_2 'ye karşı Zr' un genel olarak artması zirkon birikimi ile olabileceği gibi, Ti eğilimli olması nedeniyle rutil ve sfen gibi Ti içeren fazların ayrımlaşmasını ile de gelişebilir.

Y-CaO diyagramında (Şekil 3.131) bazaltların L şeklindeki değişimi, gelişimlerinde klinopiroksen ve plajiyoklas (An_{60}) ayrımlaşmasının önemli olduğuna işaret ederken; andezit, dasit ve riyolitlerin J şeklindeki değişimi de gelişimlerinde hornblend ve apatit ayrımlaşmasının önemli olduğuna işaret etmektedir (Lambert ve Holland, 1974).



Şekil 3.131. Yusufeli volkanitlerinin Y-CaO değişim diyagramı. Taralı alan Lambert ve Holland, (1974)' in standart kalk-alkali yönmesesini temsil etmektedir. Vektörler çeşitli silikatların ayrımlaşma sırasındaki yönemelerini göstermektedir

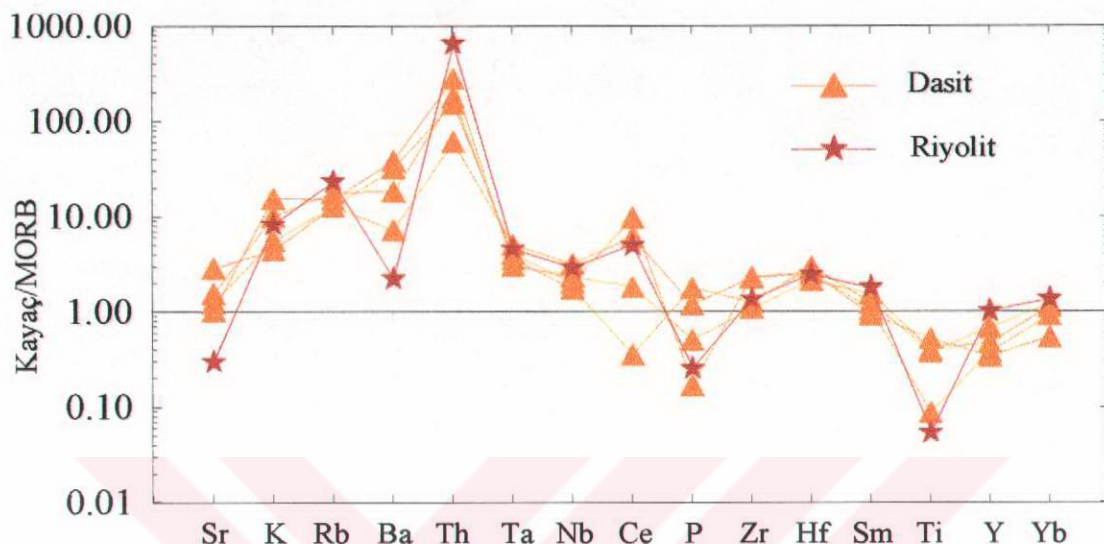


Şekil 3.132. Bazalt ve andezitlerin MORB'a göre normalleştirilmiş uyumsuz element dağılım diyagramları (MORB, Pearce, 1983' den)

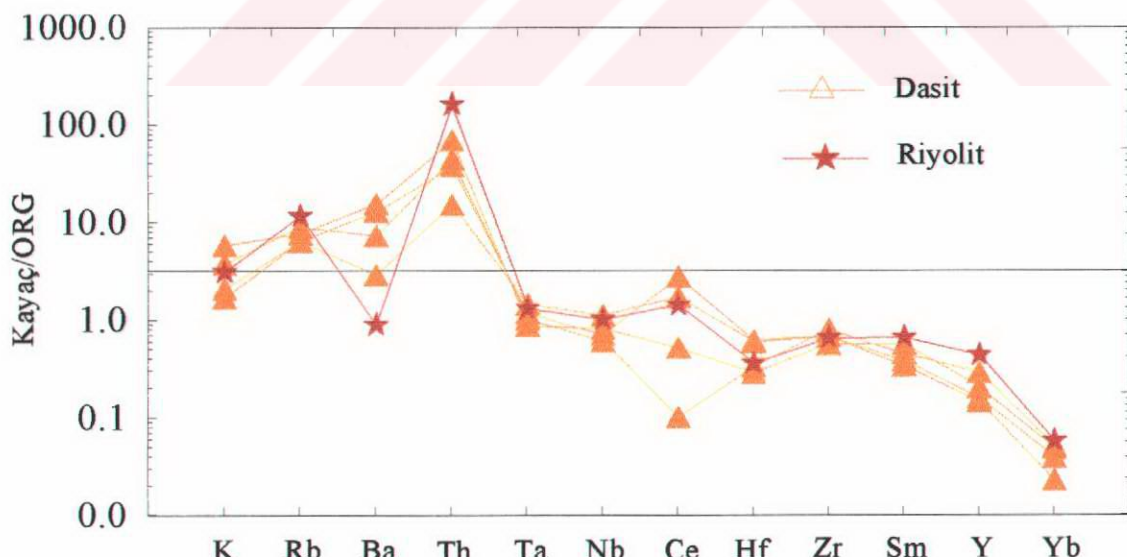
Bazalt ve andezitlerin MOR bazatlarına göre normalleştirilmiş uyumsuz element diyagramları Şekil 3.132'da görülmektedir. Bazalt ve andezitler yüksek LIL, düşük HFS element içerikleri ve yüksek Ba/Nb, Th/Nb, Sr/Nb, Sr/Zr, gibi LIL/HFS element oranları ile tipik olarak yitimle ilişkili kayaçlara benzemektedirler. Yitimle ilişkili kayaçlarda LIL elementler yüksek konsantrasyonlar sunduğundan yüksek LIL/HFS oranları ile karakteristiktirler. Bununla birlikte yüksek LIL/HFS oranları özellikle düşük HFS içerikli kayaçlarda daha iyi gelişme eğilimindedir. Bu nedenle bir çok alanda yay sistemlerine eklenen LIL element miktarları göreli olarak sabit görülmektedir ve LIL/HFS oranlarının değişimi HFS element içeriklerinin yitim öncesi manto kamاسındaki bolluklarına bağlanmaktadır (Le Bel ve diğ., 1985; Arculus ve Powell, 1986; Hawkesworth ve Elam, 1989; Hawkesworth ve diğ., 1991).

Şekil 3.133 ve 134'de dasit ve riyolitlerin MORB ve ORG'a göre normalleştirilmiş uyumsuz element diyagramları görülmektedir. Her iki diyagramda da dasit ve riyolitler genel olarak Sr'dan Th' a kadar olan LIL elementlerce MORB ve ORG'a göre zenginleşmişlerdir. Zenginleşme oranları Th'da en yüksek oranlarına ulaşmaktadır. HFS elementler genel olarak MORB'a yakın değerlerde olmakla birlikte Ce, Zr, Hf ve Sm bakımından kısmen zenginleşmiş, Y ve Yb bakımından fakirleşmişlerdir. Ta, Nb, Ti ve P ise

diğerlerine göre belirgin negatif anomaliler sunmaktadır. Negatif P anomalisi de $\text{SiO}_2\text{-P}_2\text{O}_5$ ve Y-CaO diyagramlarındaki ilişkilere benzer şekilde dasit ve riyolitlerin gelişimi sırasında apatit ayrılmaşması olduğuna işaret etmektedir.



Şekil 3.133. Dasit ve riyolitlerin MORB' a göre normalleştirilmiş uyumsuz element dağılım diyagramları (MORB, Pearce, 1983' den)



Şekil 3.134. Dasit ve riyolitlerin ORG' a göre normalleştirilmiş uyumsuz element dağılım diyagramları (MORB, Pearce ve diğ., 1984' den)

Dasit ve riyolitler yüksek LIL, düşük HFS element içerikleri ve yüksek LIL/HFS oranları ile yitimle ilişkili kayaçlara benzemektedirler. Ayrıca negatif Ta, Nb ve Ti anomalileri ile de tipik olarak yitimle ilişkili kayaçların karakteristiklerine sahiptirler. Düşük Nb, Ta ve Ti konsantrasyonları güncel kalk-alkali yay volkanitlerinin karakteristik özelligidir. Güncel yaylar da Nb ve diğer HFS elementlerin tüketilmesinin açıklaması çok tartışmalı olmakla birlikte (Briqueu ve diğ., 1984; Arculus ve Powell, 1986; Tatsumi ve diğ., 1986) bunların tüketilmesi, okyanus kabuğunun kısmi ergimesi sırasında Ti içeren fazların (rutil, sfen perovskit ve Ti-klinohümít) genellikle refraktör olarak kalmasından kaynaklandığı şeklinde yorumlanmaktadır (Briqueu ve diğ., 1984; Green ve Pearson, 1987).

Çizelge 3.30. Yusufeli volkanitlerinin nadir toprak element (ppm) analizleri

	571	579	587	762	793	795	572	575	754
La	16	14	18	24,3	10,42	7,68	55	25	127,06
Ce	31	26	35	26,3	30,5	29,1	85	44	49,10
Pr	-	-	-	4,03	4,53	4,32	-	-	7,09
Nd	12	15	18	15,7	17,43	17,05	23	17	24,82
Sm	1,9	2,9	4,1	3,41	3,69	3,63	3,4	3	5,84
Eu	0,7	0,9	1,3	1,1	1,11	1,13	0,8	1	0,10
Gd	-	-	-	3,28	3,56	3,47	-	-	5,72
Tb	0,5	0,5	1	0,62	0,68	0,66	0,5	0,6	1,25
Dy	-	-	-	3,12	3,46	3,28	-	-	6,62
Ho	-	-	-	0,61	0,67	0,64	-	-	1,38
Er	-	-	-	1,84	2,08	1,93	-	-	4,50
Tm	-	-	-	0,25	0,29	0,26	-	-	0,66
Yb	1,2	3,4	3,8	1,59	1,85	1,72	3,1	1,8	4,54
Lu	0,17	0,53	0,59	0,22	0,25	0,24	0,45	0,27	0,67
La/Lu	11,47	4,33	3,32	9,77	2,74	3,17	12,69	9,61	19,69
La/Sm	4,49	1,78	1,33	5,30	3,04	2,76	0,79	0,99	0,05
Tb/Lu	1,85	1,79	1,81	1,93	0,62	1,11	0,73	1,46	1,23
Eu*	12,73	13,85	13,55	8,42	10,59	17,50	10,18	5,25	13,69
Eu	1,01	1,09	1,04	1,05	1,02	1,17	11,67	11,67	23,42

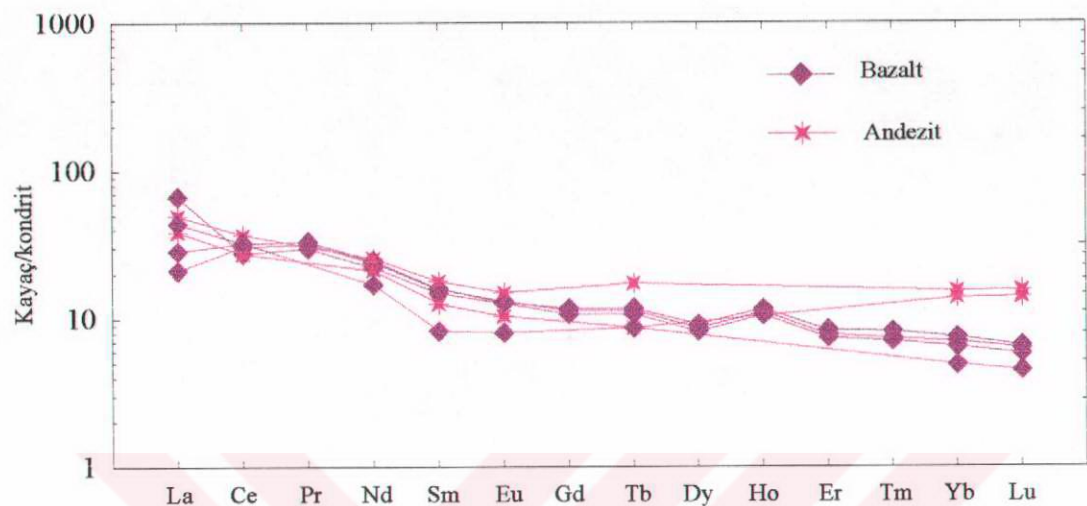
Eu* = (Sm+Gd)/2, Eu = Eu_N/Eu*

Eu* = (Sm+Tb)_N/2, Eu = Eu_N/Eu*

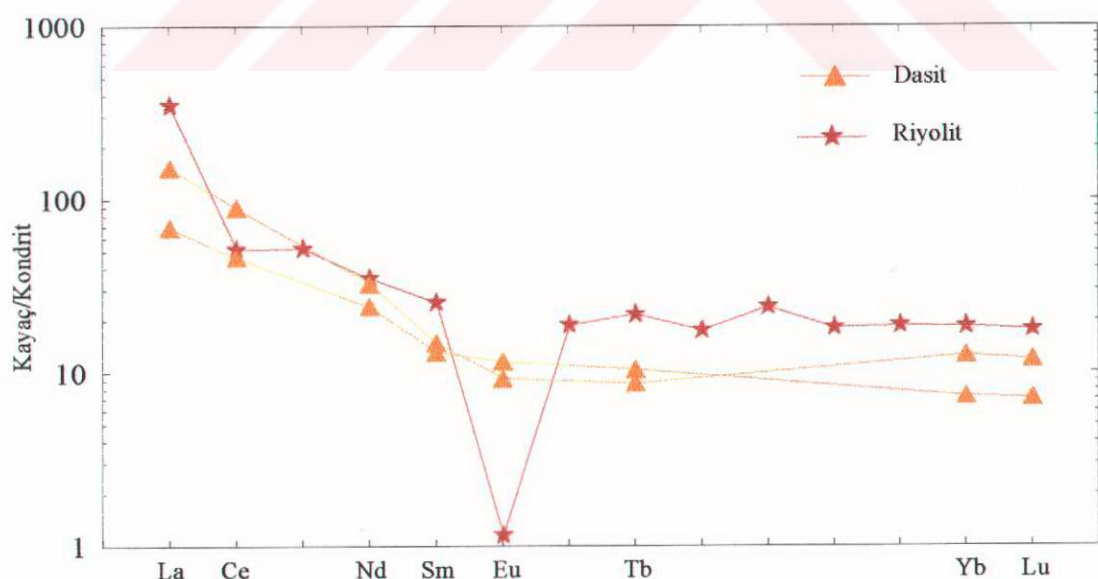
Bazalt ve andezitlerin nadir toprak element analizleri Çizelge 3.30'de, kondrite göre normalleştirilmiş değişimleri de Şekil 3.135' de verilmiştir. Bazalt ve andezitler az oranlarda farklılaşmış ($La_N/Lu_N = 3-11$), belirgin bir Eu anomalisi göstermeyen ve yataya yakın bir dağılım sunarlar. Bu şekildeki dağılımları ile Gill (1981)' in orta K' lu andezitlerine benzemektedirler. Artan SiO_2 içeriğine bağlı olarak bazalt ve andezitlerin REE içerikleri de artmaktadır. Bu oranlar hafif REE için 20-90 x kondrit, ağır REE için 10-50 x kondrit şeklindedir.

Bazalt ve andezitlerin belirgin bir Eu anomalisi göstermemeleri, gelişimlerinde plajiyoklas fraksiyonlaşmasının önemli bir rol oynamadığını gösterebilir. Göreceli olarak ağır REE' in sabit kalmasına karşılık hafif REE zenginleşmesi bazalt ve andezitlerin gelişiminde klinopiroksen ve hornblend ayrımlasının etkin olduğuna işaret etmektedir (Nicholls ve Harris, 1980). Plajiyoklas \pm ortopiroksen \pm titanomanyetit ayrımlaması yukarı doğru konkav bir REE gelişiminde düşük öneme sahiptirler. Klinopiroksen ve hornblendin yukarı doğru konveks REE dağılımları (Arth, 1976; Henderson, 1984) bu mineraller bakımından ayrımlanan bazaltik ve andezitik eriyiklerin yukarı doğru konkav REE dağılım sunmalarına neden olur.

Dasit ve riyolitler hafif REE bakımından ağır REE göre zenginleşmiş ve yukarı doğru konkav bir dağılım gösterirler (Şekil 3.136). Bu şekildeki dağılım profilleri ile Gill (1981)' in yüksek K' lu orojenik andezitlerine benzemektedirler. Tüm REE içerikleri bakımından orta derecede farklılaşan ($La_N/Lu_N = 9-19$) dasit ve riyolitler, hafif REE elementler bakımından orta ($La_N/Sm_N = 5-13$), ağır REE bakımından ise az oranlarda ($Tb_N/Lu_N = 0.72-1.45$) farklılaşmışlardır. Artan SiO_2 içeriğine bağlı olarak dasit ve riyolitlerin REE içerikleri de artmaktadır. Bu oranlar hafif REE'den La'da 60-350 x kondrit, genel olarak yatay dağılımlar izleyen ağır REE için 10-20 x kondrit değerlerindedir. Dasitler genel olarak SiO_2 içeriği arttıkça belirginleşen negatif Eu (Eu/Eu^*) anomalisi gösterirler. Negatif Eu anomalisi dasit ve riyolitlerin gelişiminde plajiyoklasın köken kayaçlarında duraylı olduğunu ve farklılaşma sırasında ayrılmışlığını göstermektedir. Klinopiroksen ve hornblendlerin REE bakımından yukarı doğru konveks dağılım profilleri nedeniyle diferansiyasyon sırasında bu minerallerin ayrılmaması, dasit ve riyolitlerin yukarı doğru konkav dağılım profili kazanmalarını sağlamış olabilir (Green ve Pearson, 1987; Romick, 1987).



Şekil 3.135. Bazalt ve andezitlerin kondrite göre normalleştirilmiş REE dağılımları (kondrit değerleri Taylor ve McLennan, 1985' den)



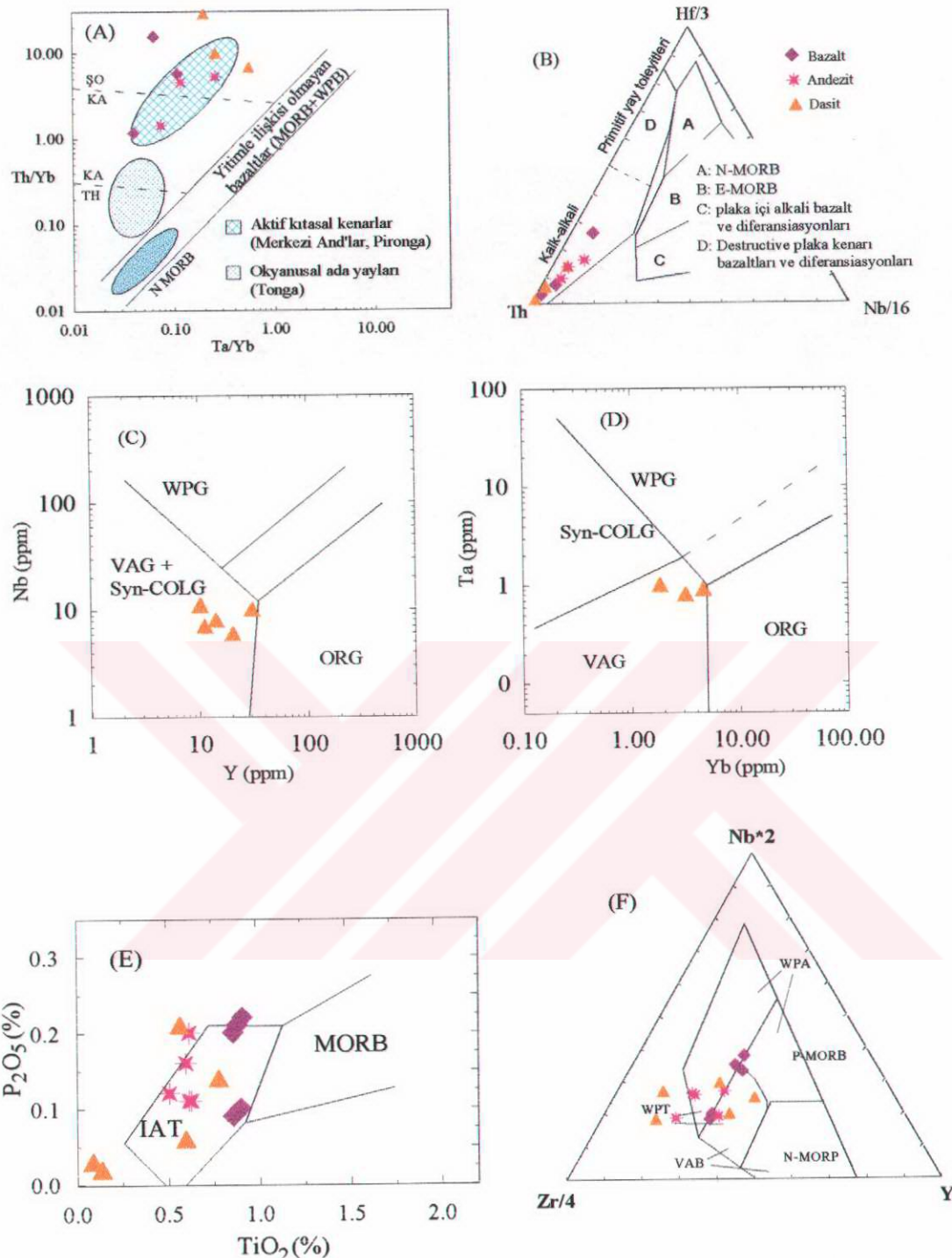
Şekil 3.136. Dasit ve riyolitlerin kondrite göre normalleştirilmiş REE dağılımları (kondrit değerleri Taylor ve McLennan, 1985' den)

3.3.6.3. Tektonik Ortam

Bazaltik kayaçlar ve bunların diferansiyasyon ürünleri için geliştirilen Ta/Yb-Ta/Th (Pearce, 1982, 1983) ve Hf/3-Th-Nb/16 (Wood, 1980) diyagramları, bazalttan riyolite kadar değişim gösteren Yusufeli volkanitlerinin tektonik ortam ayrimı için en kullanışlı diyagramlardır. Yusufeli volkanitleri bu diyagramlarda kitasal yay ve yitimle ilişkili kalk-alkali kayaç alanlarına düşmektedirler (Şekil 3.137 A ve B). Ayrıca dasit ve riyolitler Pearce ve dig. (1984)'nin granitoidler için oluşturdukları tektonomagmatik diyagramlarda (Y-Nb ve Ta-Yb) volkanik yay graniti (VAG) alanında toplanmaktadır (Şekil 3.137 C ve D). Bazalt ve andezitler için kullanılan TiO₂-P₂O₅ (Hawkins, 1980) ve Nb*2-Zr/4-Y (Meschede, 1986) diyagramları alterasyon olayları sırasında hareketsiz davranan ve farklılaşma sırasında oransal değerlerini koruyan elementlere göre oluşturulmuşlardır. TiO₂-P₂O₅ diyagramında (Hawkins, 1980) ada yayı toleyitleri alanında toplanan (Şekil 3.137 E) bazalt ve andezitler Nb*2-Zr/4-Y diyagramında da volkanik yay bazaltları (WAB) ve plaka içi toleyitleri (WPT) alanında toplanmaktadır (Şekil 3.137 F)

3.3.6.4. Petrolojenez

Yitime bağlı olarak oluşan magmalarla ilgili tartışmalar, bunların manto kamاسından mı? yiten okyanus kabuğundan mı? yoksa her ikisinin kombinasyonu sonucunda mı? oluşturukları konularında yoğunlaşmaktadır. Ancak bu kökenlerin tanınması ile ilgili veriler daha sonra meydana gelen düşük basınç kesirli kristallenme olayları tarafından örtülmekte ve karmaşık hale gelmektedir. Buradaki problem göreceli olarak HFS elementlerin tüketilmesi magmanın oluşumuna katkıda ve LIL elementlerin zenginleşmesinden ileri gelmektedir. Rb, Sr, K, Ba ve Th gibi LIL element içeriklerindeki belirgin zenginleşmeler ada yayı bazaltlarının karakteristik özellikleri olarak yorumlanmakta ve yiten okyanus diliminden manto kökene geçen katkılara atfedilmektedir (Saunders ve dig., 1980, Gill, 1981; Pearce, 1983; Thompson ve dig., 1984; White ve Patchett, 1984). Üst Kretase yaşlı Yusufeli volkanitlerinin LILE zenginleşmesi ile tipik olarak yitimle ilişkili kayaçların özelliklerini yansımaktadır. LIL elementlerdeki zenginleşmeler yiten okyanus diliminden gelen



Şekil 3.137. Yusufeli volkanitleri için seçilen tektonomagmatik ayırım diyagramları. A)- Pearce, 1982 (SO = şoşonitik; KA = kalk-alkali; TH = toleyitik, MORB = Okyanus ortası bazaltları; WPA = plaka içi alkalileri), B)- Wood, 1980 (MORB = Okyanus ortası bazaltları; N-MORB = normal MORB; E-MORB = zenginleşmiş MORB), C ve D)- Pearce , 1984 (dasit ve riyolitler için, VAG = volkanik yay graniti; Syn-COLG = çarpışma eş yaşılı granitler; WPG = plaka içi granitler; ORG = okyanus ortası granitleri, E)- Hawkins, 1980 (IAT = ada yayı toleyitleri; MORB = okyanus ortası sırtı bazaltları), F)- Meschede, 1986 (VAB = volkanik yay bazaltları; WPT = plaka içi toleyitleri; WPA = plaka içi alkalileri; P-MORB =Plume tip MORB; N-MORB = normal tip MORB)

LIL elementlerce zengin akışkanların Yusufeli volkanitlerini oluşturan ana bulunduğu göstermektedir. Yitimle ilişkili kayaçlarda Ta' dan Yb' a kadar olan HFS elementlerin MORB' a göre genel olarak tüketilmiş değerleri, bu elementler açısından magma bileşimine yitim zonundan herhangi bir element girdisinin olmadığını ve manto kamasının bu elementler bakımından MORB'a göre fakir olduğunu göstermektedir (Le Bel ve diğ., 1985; Arculus ve Powell, 1986; Hawkesworth ve Elam, 1989; Hawkesworth ve diğ., 1991). Yusufeli volkanitlerinin HFS element içeriklerinin MORB ve ORG' a göre düşük olması yiten okyanus diliminin direk kısmi ergimesi ile oluşum modelini engellemekte ve MORB' a göre çok daha düşük HFSE içerikli bir kökeni gerektirmektedir. Bazalt, andezit ve dasitlerin ağır REE bakımından yüksek oranlarda ayrılmamış dağılımları da köken kayaçlarının kısmi ergime sırasında kalıntı granat bırakmadığını işaret etmektedir. HREE bakımından fakirleşmiş dağılımlar kalıntı olarak granat bırakan okyanus kabuğunun (altered MORB) kısmi ergimesi ile oluşan birincil magmalara özgüdür (Martin, 1987).

MORB' a göre yüksek LIL element içerikleri bazalt ve andezitlerin yiten dilimden gelen akışkanlarla metasomatize olmuş manto kamasının kısmi ergimesi ile oluşabileceğine işaret etmektedir. Ancak manto peridotitleri ile aynı bileşime sahip birincil magmalarda $(Mg/Mg+Fe) > 0,67$; $Al_2O_3 < \% 10$; $MgO > \% 10$; $Ni > 200$ ppm; $Cr > 700$ ppm) dir (Gill, 1981, Tatsumi ve diğ., 1983; Ramsay ve diğ., 1984). Bu oranlar manto peridotitleri ile dengede olabilecek kadar yüksek oranlarda mafik, yiten okyanus kabuğunun kısmi ergimesinden oluşmuş olamayacak kadar Al_2O_3 bakımından fakirdirler (Gill, 1981; Tatsumi ve diğ., 1983; Ramsay ve diğ., 1984; DeBari ve Sleep, 1991)). Yusufeli bazalt ve andezitlerinin MgO (% 1.41-5), Cr (7-90 ppm), Ni (<% 32) içerikleri doğrudan tüketilmiş manto lerzolitlerinin kısmi ergimesinden oluşmuş olamayacak kadar düşük, Al_2O_3 (% 16-19) içerikleri ise yüksektir. Bu nedenle Yusufeli volkanitleri metasomatize manto kamasının kısmi ergimesi ile oluşmuş bazaltik magmadan itibaren farklılaşma yolu ile oluşmuşlardır.

4. İRDELEME

4.1. Metamorfizma

4.1.1. Giriş

Yayılım alanları bakımından inceleme alanındaki metamorfizma yersel ve bölgesel olmak üzere iki grup altında değerlendirilebilir. Yersel metamorfizma olarak fay zonları boyunca görülen kataklastik metamorfizma belirgindir. Diğer bir yersel metamorfizma çeşidi olan kontak metamorfizmaya Demirkent plütonu ve Sebzeciler granitoyidinin dokanak kısımlarında rastlanmamıştır. İnceleme alanındaki bölgesel metamorfizma ilerleyici ve gerileyici olmak üzere iki şekildedir. Bu bölümde ilerleyici bölgesel metamorfizma mineral parajenezleri, oluşum koşulları ve köken kayaçları açısından irdelendikten sonra gerileyici ve kataklastik metamorfizmaya kısaca degeinilecektir.

4.1.2. Bölgesel Metamorfizma

4.1.2.1. Mineral Parajenezleri

Bölgesel metamorfizmada sıcaklığın giderek artması ile kayaçlarda kimyasal bileşimlerine de bağlı olarak yeni mineraller veya mineral toplulukları ortaya çıkmaktadır. Karadağ metamorfitleri amfibolit ve granulit fasiyesi koşullarında oluşan mineral parajenezlerini içerir. Ancak burada amfibolit fasiyesi temsil eden mineral parajenezleri daha yaygındır. Granülit fasiyesi mineral parajenezlerine ise sadece granat-biyotit-plajiyoklas gnayslarda rastlanmıştır. Amfibolit fasiyesini temsil eden mineral toplulukları, gnayslarda;

- kuvars + plajiyoklas (An_{16-36}) \pm biyotit \pm muskovit $\pm K'$ lu feldspat \pm almandin \pm apatit \pm opak,

Şistlerde;

- kuvars + plajiyoklas \pm biyotit \pm muskovit \pm opak

Amfibolitlerde;

- hornblend ± plajiyoklas (An_{31-50}) ± opak
şeklinde izlenir.

Granülit fasiyesi mineral parajenezleri ise bazı granat-biyotit-plajiyoklas gnays ve amfibolitlerde gözlenir. Bu mineral topluluğu granat-biyotit-plajiyoklas gnayslarda;

- kuvars + plajiyoklas (An_{31-41}) ± biyotit ± granat ± K' lu feldspat ± kordiyerit ± sillimanit ± antofilit ± opak;

amfibolitlerde ise

- hornblend ± plajiyoklas (An_{31-64}) ± klinopiroksen ± opak
şeklinde temsil edilmektedir.

4.1.2.2. Metamorfizma Zon ve Fasiyeleri

İlerleyici metamorfizma sırasında özellikle pelitik bileşimdeki kayaçlarda indeks mineraller olarak adlandırılan bazı minerallerin metamorfizma derecesini yansitan bir sıra izledikleri bilinmektedir. Klorit-biyotit-granat-stavrolit-kyanit-sillimanit şeklindeki bu sıra bir çok bölgede saptanabilmektedir. Kumlu veya kil-kum karışımı sedimentlerin ilerleyen metamorfizması sonucunda oluşan mineral parajenezleri killi sedimentlerin ilerleyen metamorfizması sonucu oluşan mineral parajenezleri ile büyük ölçüde benzerlik göstermektedir. Bu nedenle daha çok gnayslardan meydana gelen Karadağ metamorfitlerinin mineral parajenezlerini ve metamorfizma derecelerini belirlemek amacıyla pelitik kayaçların Barrow tipi (orta basınç/orta-yüksek sıcaklık) ve Abukuma tipi (düşük basınç/orta-yüksek sıcaklık) metamorfizma sonucu oluşan mineral parajenezleri ve metamorfizma dereceleri ile karşılaştırılmışlardır. Abukuma tipi metamorfizma; basınç ve kayaç kimyasındaki değişikliklere de bağlı olarak bir alandan başka bir alana değişiklik göstermektedir (Miyashiro, 1973). Abukuma tip metamorfizmada kordiyerit düşük ve yüksek dereceli kısımlarda yaygındır. Stavrolit yoktur veya son derece nadir olarak bulunur. Granat yaygın olarak yalnızca yüksek dereceli kısımlarda bulunur. Orta ve düşük derecelerde oluşan granatlar MnO bakımından zengin meta-pelitler tarafından kuşatılırlar ve spessartin bileşenleri oldukça yüksektir. Karadağ metamorfitleri orta ve yüksek derecelerde metamorfizma koşullarında oluşmuş mineral toplulukları göstermektedirler. Düşük

Çizelge 4.1. Orta basınç/orta-yüksek sıcaklık koşullarında ilerleyici bölgesel metamorfizma sırasında metapelitik kayaçlarda gözlenen mineralojik değişimler. Kesikli çizgilerin devamı şeklindeki sürekli çizgiler Karadağ metamorfitleri gnays ve şistlerinde bulunan mineralleri temsil etmektedir.

Zon	Klorit zonu	Biyotit zonu	Granat zonu	Stavrolit zonu	Sillimanit muskovit zonu	K'lu feldspat-sillimanit zonu	Kordiyerit-granat-K'lu feldspat zonu
Kuvars							
Plajiyoklas							
Muskovit							
Klorit							
Kloritoyid							
Biyotit							
Granat		--Mn zengin--			Almandin		
Stavrolit				--			
Al ₂ O ₃				Ky → ←		Sillimanit	
Kordiyerit							
K'lu feldspat						Ortoklas	
Met. fasiyes	Yeşil şist	Geçiş		Amfibolit		Granülit	

Çizelge 4.2. Orta basınç/orta-yüksek sıcaklık koşullarında ilerleyici bölgesel metamorfizma sırasında meta-bazitlerde gözlenen mineralojik değişimler. Kesikli çizgilerin devamı şeklinde çizilen sürekli çizgiler karadağ metamorfitleri amfibolitlerinde gözlenen mineralleri temsil etmektedir.

Met. fasiyes	Yeşil şist fasiyesi	Geçiş safhası	Amfibolit fasiyesi	Granülit fasiyesi			
Kayaç tipi	Yeşil şist	Geçiş	Amfibolit	Geçiş	İki pir. granülit		
Kuvars							
Albit							
Pl % An > 30							
Epidot							
Klorit							
Amfibol	-- Aktinolit --	Akt+Hbl	Yeşil veya kahve hornblend				
Ojit	- Mn zengin -						
Opir							
Biyotit							
Granat							
Muskovit	----- Fenjít -----						
Zon	Klorit zonu	Biyotit zonu	Granat zonu	Stavrolit zonu	Sillimanit muskovit zonu	K'lu feldspat-sillimanit zonu	Kordiyerit-granat-K'lu feldspat zonu

basınç/orta-yüksek sıcaklık metamorfizmasını (Abukuma tipi) karakterize eden mineral topluluklarına rastlanmamıştır. Kordiyerit yalnızca yüksek basınç ve sıcaklık koşullarını temsil eden granat-biyotit-plajiyoklas gnayslarda ve sillimanit ile birlikte bulunmaktadır. Ayrıca granatların hepsi Mn (spessartin) bileşenleri düşük, Al bileşenleri yüksek almandin-granat bileşimindedir. Karadağ metamorfitlerinin bu özellikleri Abukuma tipi düşük basınç/orta-yüksek sıcaklık metamorfizmasının aksine; Barrow tipi orta basınç/orta-yüksek sıcaklık metamorfizması geçirmiş olduklarına işaret etmektedir.

Hiç bir metamorfik kayaçörneğinde yeşil şist fasiyesini karakterize eden mineral topluluğuna rastlanmamıştır. Yeşil şist fasiyesinin üst seviyelerine karşılık gelen granat zonunda granat, biyotit ve muskovitin yanı sıra albit plajiyoklas, epidot ve klorit de yaygın olarak bulunmaktadır. Metamorfitlerde klorit, albit ve metamorfik epidot bulunmadığından, yeşil şist fasiyesinin üzerine çıkan bir metamorfizma geçirdikleri söylenebilir (Çizelge 4.1, 2). Ayrıca granat-biyotit-plajiyoklas gnayslardaki granat-biyotit çiftlerinden hesaplanan dağılım katsayılarının ($K_D = (\text{Mg}/\text{Fe})_{\text{Gr}} / (\text{Mg}/\text{Fe})_{\text{Bi}}$) ortalama granat zonunu temsil eden değerinin ($K_D = 0.13$) üzerine çıkması da bu sonucu doğrulamaktadır (Bkz Şekil 3.10). Granat-biyotit çiftleri çoğunlukla 0.16-0.25 arasında değişen dağılım katsayıları (K_D) ile ortalama stavrolit-kyanit zonu ($K_D = 0.15$) ve ortalama sillimanit zonu ($K_D = 0.27$) arasında yer almaktadırlar. Dağılım katsayıları az sayıdaki bazı granat-biyotit çiftlerinde dağılım katsayısı (K_D) 0.27 nin üzerine de çıkmaktadır.

4.1.2.3. Metamorfizmanın Oluşum Koşulları

Karadağ metamorfitleri şistlerinde yaygın olarak gözlenen biyotit-muskovit ve andezin cinsi pajiyoklas birlaklılığı stavrolit zonunun mineral topluluğuna işaret etmektedir. Ancak stavrolit zonunun karakteristik minerali olan stavrolite hiç bir kesitte rastlanmamıştır. Stavrolit yalnızca pelitik kökenli kayaçlarda yaygın olarak bulunan, diğer kayaçlarda ise nadir olan bir mineraldir. Stavrolit zonunun bir üstü olan kyanit zonunda, kyanitle birlikte stavrolit zonu mineralleri yaygın olarak bulunur. Ancak, kyanit daha çok basınçla bağlı olarak gelişen ve orta basınç-yüksek sıcaklık koşullarında yerini sillimanite bıraktığından, stavrolit zonundan sillimanit zonuna geçilmektedir. Gnays ve şistlerde stavrolit zonunu karakterize eden granat-biyotit muskovit-kuvars-plajiyoklas mineral birlaklığının yaygın

olarak görülmeye karşılık, bu mineralin gözükmemesi köken kayaçlarının psamitik karakterli oluşları ile ilgili olabilir (Çizelge 4.1). Granat-biyotit-plajiyoklas gnayslarda, sillimanit zonunun karakteristik minerali olan sillimanitle birlikte biyotit ve yüksek sıcaklık koşullarına işaret eden almandin-granat yaygın olarak bulunmaktadır. Bunlara ilave olarak kordiyerit ve alkali feldspatın bulunması, metamorfizma zonunun granülit fasiyesinin alt zonu veya geçiş zonu olan K'lu feldspat-sillimanit zonuna ve hatta daha üst seviyesi olan kordiyerit-granat-K'lu feldspat zonuna kadar çıktığına işaret etmektedir.

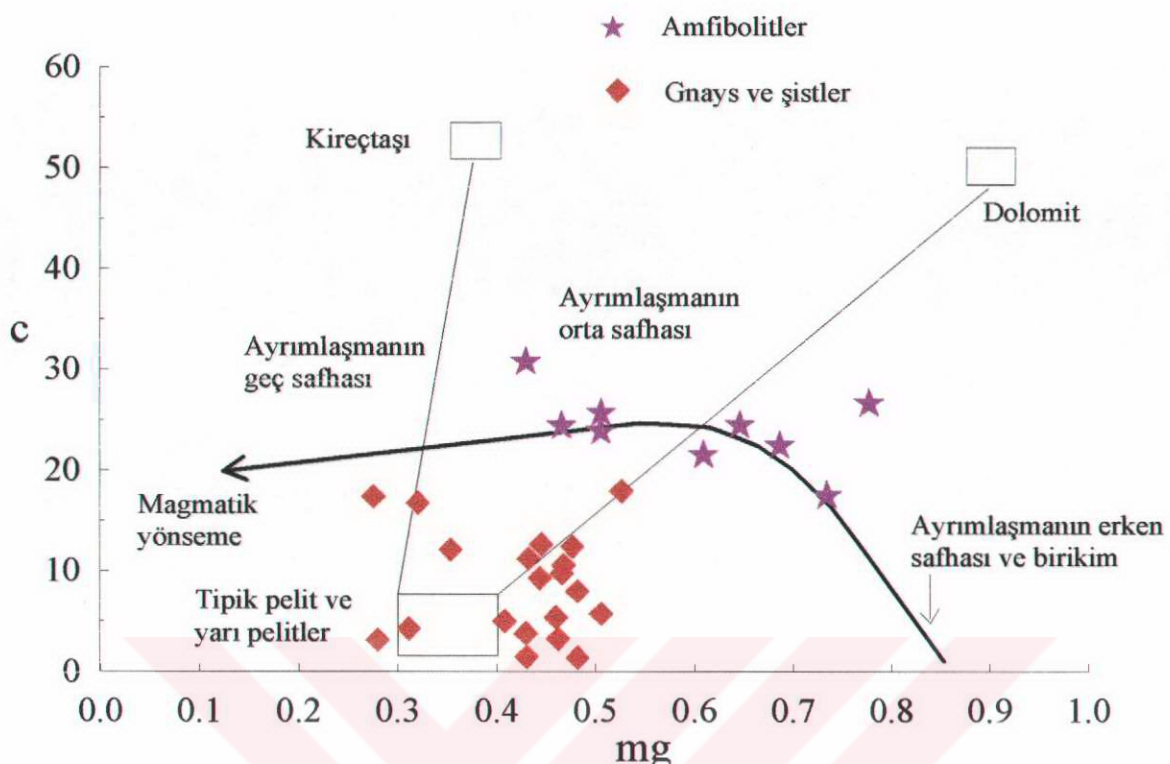
Amfibolitlerde yeşil kahve rengi hornblend ile birlikte andezin ve labradorit cinsi plajiyoklaslar stavrolit ve sillimanit zonuna karşılık gelen amfibolit fasiyesini karakterize etmektedir. Ancak bazı kesitlerde görülen klinopiroksenler metamorfizma derecesinin, granülit fasiyesinin geçiş zonuna karşılık gelen K'lu feldspat-sillimanit zonuna kadar çıkış olabileceğine işaret etmektedir (Çizelge 4.2).

Metamorfizmanın oluşum koşulları ile ilgili olarak mineral parajenezlerine göre elde edilen bulgular jeotermobarometrik yöntemlere göre elde edilenler ile uyumludur. Yeşil sist-amfibolit geçişinin 500-550 °C arasında, amfibolit-granülit geçişinin de 700-725 °C arasında olduğu bilinmektedir. Granat-biyotit-plajiyoklas gnayslarda (GBPG); granat-biyotit $\text{Fe} \leftrightarrow \text{Mg}$ değişim termometresine (Ferry ve Spear, 1978) göre hesaplanan sıcaklıklar 550-810 °C arasında değişmektedir. Bu duruma göre GBPGların oluşum sıcaklıklarını amfibolit fasiyesinden başlayan ve granülit fasiyesinin alt seviyelerine kadar olan sıcaklık koşullarını yansıtmaktadır. Bu kayaçlarda granat-biyotit-plajiyoklas-kuvars (GBPQ) jeobarometresine (Hoisch, 1990) göre hesaplanan basınçlar (4-8 kbar) da amfibolit ve alt granülit fasiyesi koşulları ile uyumludur. Amfibolitlerde amfibol jeobaometresine (Johnson ve Rutherford, 1989) göre hesaplanan basınçlar 5.6-6.8 kbar arasında, plajiyoklas-amfibol jeotermometresine (Blundy ve Holland, 1990) göre hesaplanan sıcaklıklar da 747 ± 40 °C dir. Jeotermobarometrik yöntemlere göre hesaplanan bu basınç ve sıcaklıklar da amfibolit fasiyesinin üst seviyeleri ile amfibolit-granülit geçişini yansıtmaktadır.

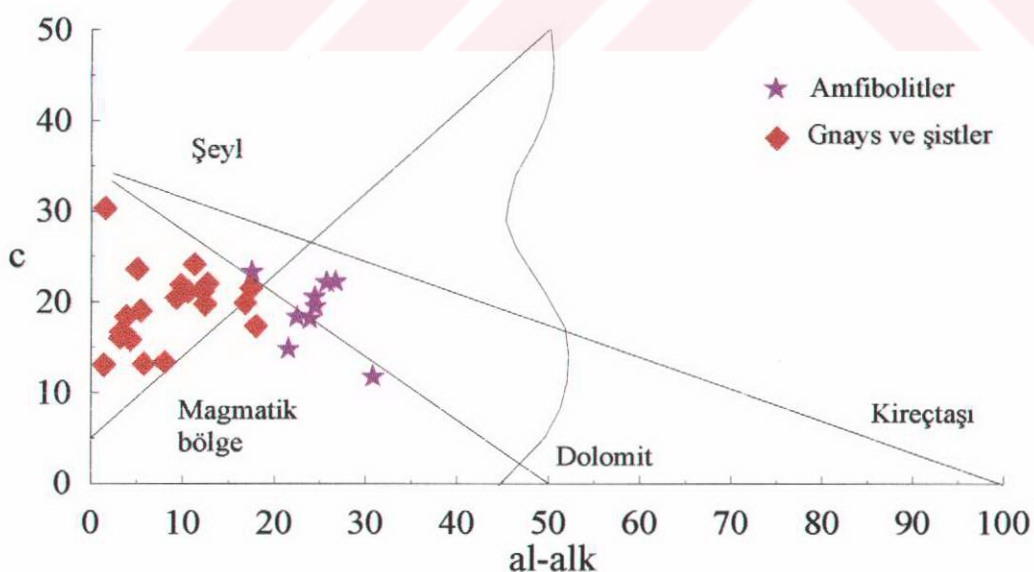
4.1.2.4. Köken Ayırımı

Yöre metamorfitlerinin köken kayaçlarını araştırmak için değişik diyagramlar ayırtman olarak kullanılmıştır. Bu amaçla bölgelik gnays şist ve amfibolitlere ilişkin kimyasal analiz değerleri bu diyagramlara uygulanmıştır. Bu alt bölümde bölgelik metamorfitlerin öncelikle magmatik veya tortul kökenli olup olmadıkları irdelendikten sonra köken kayaçlarının neler olabileceği tartışılacaktır.

Şekil 4. 1 ve 2' de bölgelik gnays ve şistlerin tortul kökenli, amfibolitlerin ise magmatik kökenli oldukları görülmektedir. Şekil 4.1'deki eğri çizgi bazık kayaçlarda bilinen magmatik farklılaşmayı göstermektedir. Magmatik farklılaşmada mg ile c arasındaki ilişki değişkendir ve çoğunlukla farklılaşma safhasına bağlıdır. Bu nedenle bazık magmalarda kristalizasyonun erken safhalarında genellikle c' deki belirgin artmaya karşılık mg' nin azalmasına olivin ile klinopiroksenlerin kristalleşmesi ve kalsik plajiyoklasların birikimi sebep olmaktadır. Bununla birlikte, daha sonra plajiyoklasların gittikçe albitik özellik kazanmaları ve klinopiroksenlerin azalmaları c ile mg'nin birlikte azalmasına sebep olmaktadır. Buna karşılık pelitik kayaçlar çeşitli oranlarda dolomit ile karışıklarında Niggli mg' de sistematik bir artış si, al ve alk' de bir azalma olmaktadır. Bu bakımdan pelitlerin kireçtaşı ve dolomit veya her ikisiyle birlikte karışması mg-c diyagramında sağa eğimli bir profil oluşturmaktadır (Leake, 1964). Karadağ metamorfitleri gnays ve şistlerinin magmatik yönseme ile bir paralellik göstermemesi ve pelitik bölge etrafında toplanmaları bunların kısmen pelitik bir kökenden gelen çökeller olma ihtimallerini artırmaktadır. Buna karşılık amfibolitler tipik olarak magmatik yönsemeyi izlemektedir. Bunların kökenini oluşturan kayaçlar bazık magmatik kayaçlardır. Ayrıca granoblastik poligonal doku göstergeleri de köken kayaçlarının bazık derinlik kayaçları olabileceği işaret etmektedir. Amfibolitlerin kimyasal bileşimleri ise Şekil 4.1 de görüldüğü gibi farklılaşmanın erken safhasının üst seviyelerinden başlayarak farklılaşmanın orta seviyelerine kadar devam eden kayaçlara işaret etmektedir. Amfibolitler bu dokusal ve kimyasal özellikleri bakımından bir sonraki bölümde irdelenecek olan Demirkent plütonu kayaçlarına benzemektedirler. Niggli al-alk' ya karşı Niggli c diyagramı gnays ve şistler için daha ayırtmandır (Şekil 4.2). Diyagramda herhangi bir yönseme göstermeyen gnays ve şistlerin şeyl, amfibolitlerin ise magmatik alanda toplandıkları görülmektedir.



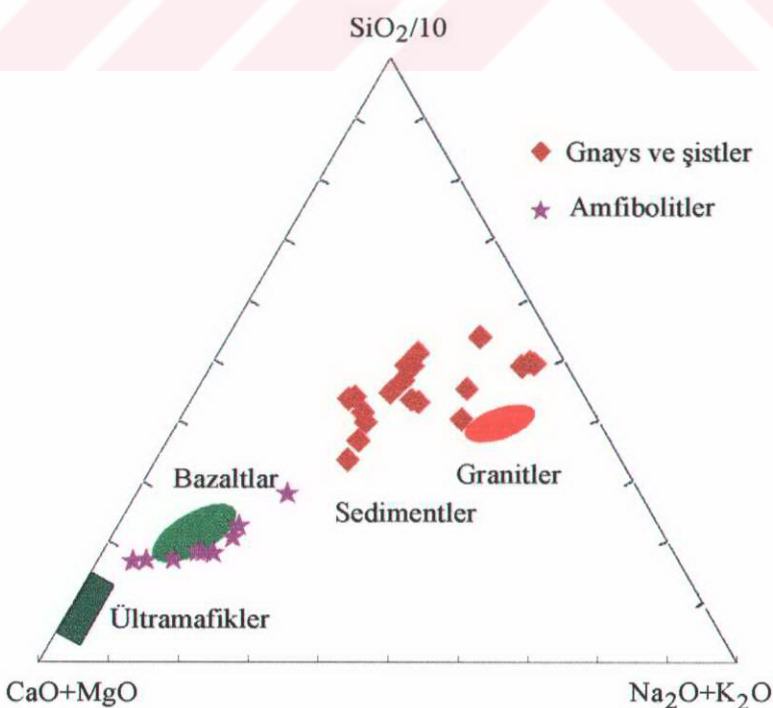
Şekil 4.1. Karadağ metamorfitlerinin Niggli mg' a karşı c diyagramı. Amfibolitler kuvvetli olarak magmatik yönseme gösterirken, gnays ve şistler pelitik ve yarı pelitik bölge etrafında toplanmaktadır (Leake, 1964)



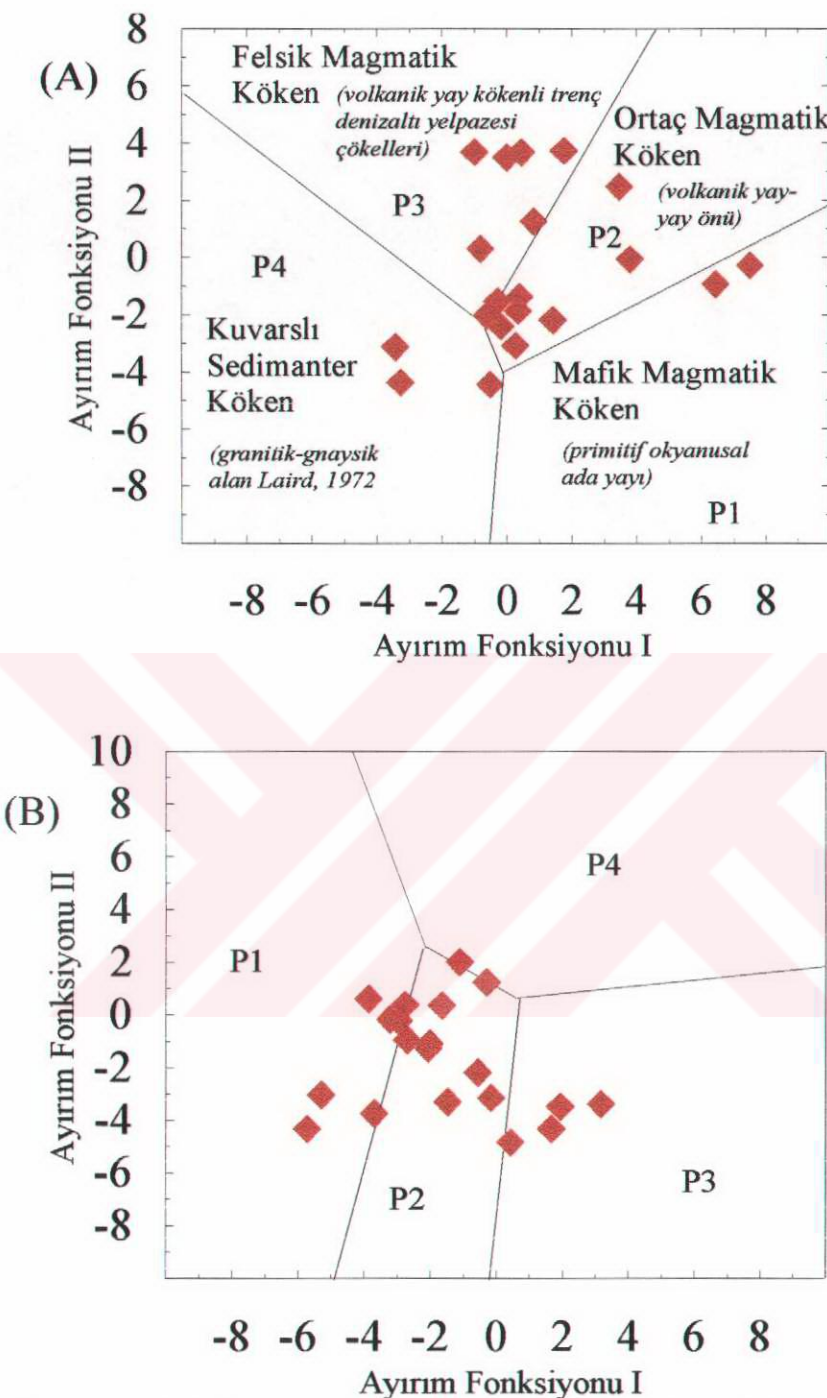
Şekil 4.2. Karadağ metamorfitlerinin Niggli al-alk' ya karşı Niggli c değişim diyagramı. Düz çizgiler şeyl-kireçtaşının ve şeyl-dolomit karışımını göstermektedir (Leake, 1964)

Benzer ilişkiler ana oksitlere göre oluşturulan $\text{SiO}_2 /10$ - $\text{CaO}+\text{MgO}$ - $\text{Na}_2\text{O}+ \text{K}_2\text{O}$ diyagramında (Şekil 4.3) görülmektedir. Bu diyagramda $\text{CaO}+\text{MgO}$ köşesi mafik kayaçların mafik minerallerce zenginleşmesini, $\text{SiO}_2 /10$ - $\text{Na}_2\text{O}+ \text{K}_2\text{O}$ ekseni ise felsik ve ortaç bileşimli kayaçların SiO_2 ve alkalilerce bolluğuunu göstermektedir (Taylor ve McLennan, 1985). Bölgesel metamorfitlerin meta-sedimentler, granitler, bazaltlar ve ultramafikler ile karşılaşıldığı diyagramda; gnays ve şistlerin granitik köken ile yakından ilişkili meta-sedimentler; amfibolitlerin ise bazalt ile kuvvetli bir benzerliğe sahip oldukları görülmektedir.

Gnays ve şistler sedimanter kökenli olduklarından kumtaşları ve silt taşlarının köken kayaçlarının tahmin edilmesinde kullanılan diyagramlar bunlar için de kullanılabilir. Roser ve Korsch (1988) kumtaşı ve silttaşlarının Al_2O_3 , Fe_2O_{3t} , MgO , CaO , K_2O , Na_2O içeriklerini kullanılarak Ayırım I ve Ayırım II fonksiyonlarını oluşturmuş ve bu fonksiyonlara göre köken ayırım diyagramları geliştirmiştir. Ayırım I' e karşı Ayırım II diyagramında sırasıyla P1 (mafik) bazaltik ve daha az andezitik, P2 (ortaç) çoğunlukla andezitik, P3 (felsik) asit volkanik ve volkanik ve P4 (tekrar taşınan) olgun, çok döngülü kuvarslı kırtıtları temsil



Şekil 4.3. Karadağ metamorfitlerinin ($\text{SiO}_2 /10$) - ($\text{CaO}+\text{MgO}$) - ($\text{Na}_2\text{O}+ \text{K}_2\text{O}$) diyagramında dağılımı (Taylor ve McLennan, 1985' den).

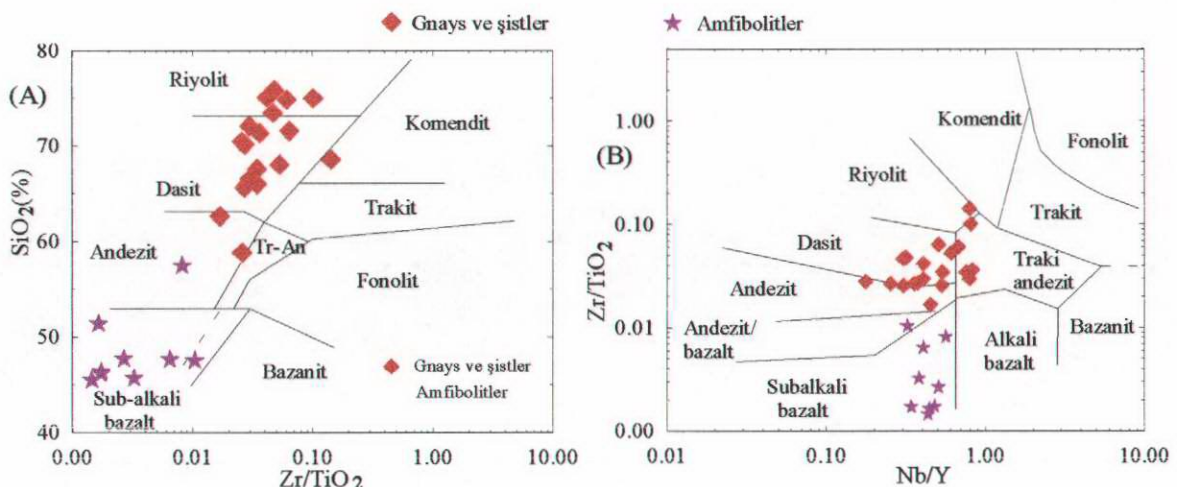


Şekil 4.4 Gnays ve şistlerin (A) ana oksitlere ve (B) ana oksit/ Al_2O_3 ' e göre oluşturulan Fonksiyon I ve Fonksiyon II köken ayırım diyagramlarındaki dağılımları (Roser ve Korsch, 1988). P1 = mafik magmatik köken, P2 = ortaç magmatik köken, P3 = felsik magmatik köken, P4 kuvarslı sedimanter köken

etmektedir. Ancak bu diyagram daha çok biyojenik kırıntılar içermeyen veya bunlara göre düzeltlenen kumtaşları için kullanılırken, oksit/ Al_2O_3 oranlarına göre oluşturulan fonksiyonlar ve diyagram ise biyojenik kırıntılar içeren kumtaşları içinde kullanılır (Şekil 4. 4 A, B). Ayırm I' e karşı ayırm II diyagramında gnays ve şistlerin tek bir alanda toplanmadığı görülmektedir (Şekil 4.4 A). Nötr magmatik köken ile felsik magmatik köken alanlarında bir yoğunlaşma olmaktadır. Oksit/ Al_2O_3 oranlarına göre oluşturulan köken ayırm diyagramında da benzer sonuçlar elde edilmekle birlikte nötr magmatik köken alanında bir yoğunlaşma söz konusudur (Şekil 4.4 B). Her iki diyagramda da gnays ve şistlerin mafik magmatik kökenden felsik magmatik kökene doğru bir yönseme gösterdikleri dikkati çekmektedir.

Winchester ve Floyd (1977) tarafından volkanik kayaçlar için geliştirilen $\text{Zr}/\text{TiO}_2\text{-SiO}_2$ ve $\text{Zr}/\text{TiO}_2\text{-Nb/Y}$ diyagramlarında kullanılan elementler alterasyon, diyajenez ve metamorfizma sırasında son derece hareketsiz olduklarından (Pearce, 1983) metamorfitlerin kaynak alanları ile ilgili bilgiler verebilir. Bununla birlikte alan sınırları güncel volkanik malzemelere göre oluşturulan diyagramların karışık metamorfik geçmişi olan kayaçlara uygulanmaları sakıncalı olabilir (Pharaoh ve Pearce, 1984). Karadağ metamorfitlerinin gnays ve şistleri bu diyagramlarda andezit dasit ve riyolit alanlarına, amfibolitleri ise subalkali bazalt alanlarına düşmektedirler (Şekil 4. 5 A ve B). Diyagramlardan elde edilen sonuçlar diğer diyagramlara göre elde edilen köken bulgularını desteklemektedir. Sonuç olarak gnays ve şistlerin andezit gibi ortaç kökenden gelen grovaklar ile dasit, riyolit veya granit gibi felsik kökenden gelen arkozların, amfibolitlerin ise bazalt veya gabro gibi mafik kayaçların metamorfizması ile oluşukları söylenebilir.

Amfibolitler gnays ve şistler içinde siller veya mercekler şeklinde bulunurlar ve birincil dokusal özelliklerini genellikle korumuşlardır. Bunlar kısmen yönelik oluşturan taneli dokuları ile Demirkent plütonu kayaçlarına benzerler. Bu bakımdan amfibolitler, bölgesel gnays ve şistlerin metamorfizması sırasında yay ortamına sokulum yapmış Demirkent plütonunun gnays ve şistler içeresine siller şeklinde girmiş uzantıları olabilir. Metamorfizma etkilerinin sadece gnays ve şistler içerisindeki merceksel amfibolitlerde görülmesi, gabroların oluşum sıcaklığı ve hacimleri ile ilişkilidir. Gabrolar 900-1000 °C civarında oluşum ısısına sahip kayaçlardır. Gnays, şist ve amfibolitlerin mineral jeotermometresi ile hesaplanan



Şekil 4.5. Karadağ metamorfitlerinin (A) Zr/TiO_2 - SiO_2 ve (B) Nb/Y - Zr/TiO_2 diyagramları (Winchester ve Floyd, 1977)

oluşum ısları ise 550-810 °C dir. Bölgesel metamorfizma olayının devam ettiği bir alana gabroyik magmanın büyük hacimler halinde yerleşmiş olanları (örneğin, Demirkent plütonu) metamorfizmadan etkilenmezler. Ancak mercekler şeklindeki küçük küteler metamorfizma etkilerine maruz kalabilirler. Amfibolitlerin içerisindeki klinopiroksenlerin yoğun bir şekilde amfibolleşmeleri ve opaklaşmaları gabroyik magma içerisinde kalıntı (restit) olarak bulunan klinopiroksenlerin birden oluşum ıslarının çok altında ısisal ortama girdikleri ve dengelerini kaybettikleri şeklinde yorumlanabilir. Klinopiroksenlerin bu özellikleri de amfibolitlerin gnays ve şistlerin bölgesel metamorfizması sırasında siller şeklinde yerleşmiş olabileceklerini gösterebilir.

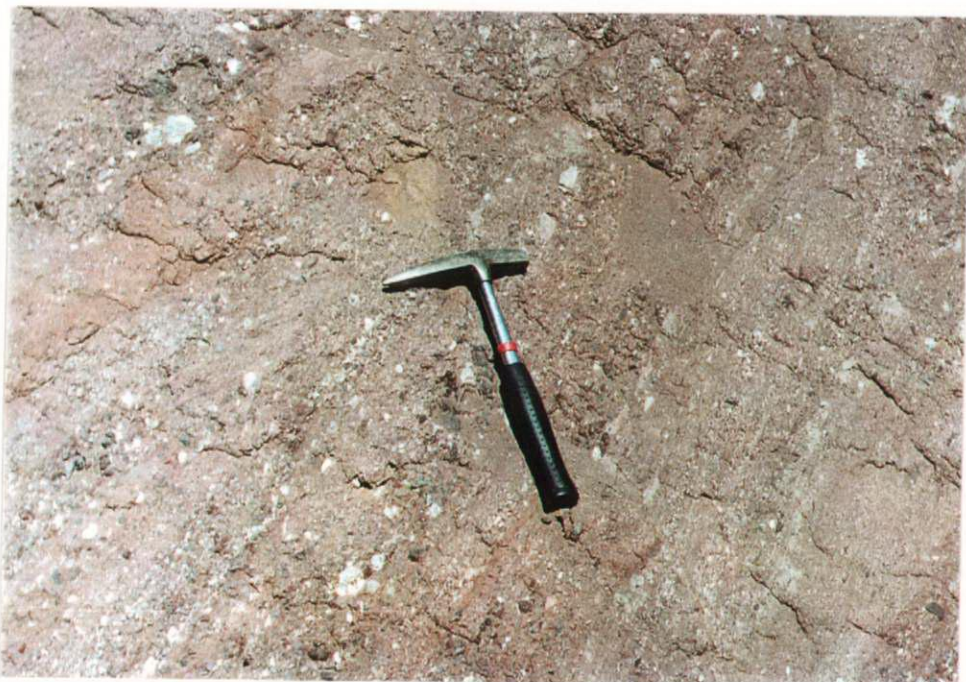
4.1.3. Gerileyen Metamorfizma

İlerleyici metamorfizma sırasında oluşan metamorfik kayaçlarda mineraller kapanlandıktan sonra genellikle ısı ve basıncın azalması ve akışkan fazın etkisi ile meydana gelen yeni mineralojik dengeler gerileyici metamorfizmayı oluştururlar. Bu olay ilerleyici metamorfizma sırasında oluşan yüksek derecelere özgü minerallerin ayrışarak düşük derecelere dönüşmesi şeklinde olmaktadır. Bu şekilde oluşan mineraller ilerleyici bölgesel metamorfizma sırasında oluşan mineral yöneliklerine uymayan yönelikler veya kuralsız yönelikler sunarlar. İnceleme alanındaki metamorfik kayaçların hepsinde gözlenen gerileyici

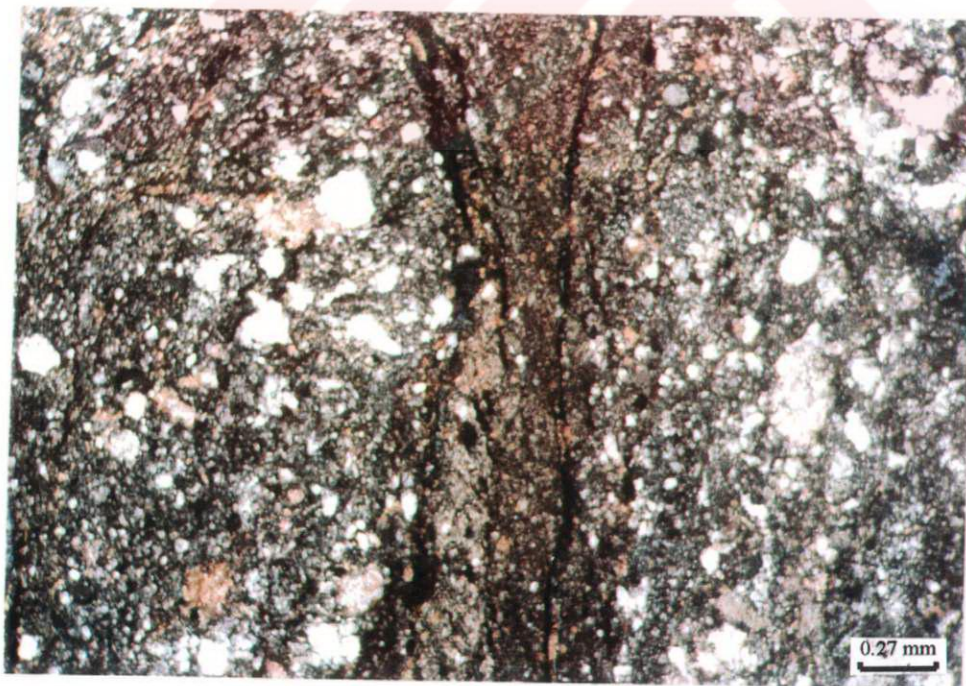
metamorfizma özellikle şistlerde daha yaygındır. Granat biyotit plajiyoklas gnayşların bazlarında gözlenen ve birincil mineral yönelimlerine aykırı yönelimler sunan muskovitler büyük bir olasılıkla gerileyici metamorfizma ürünüdür. Bu şekildeki muskovitler genellikle yelpaze yapısı da sunabilmektedirler. Ayrıca kordiyeritlerin serizitik hamur haline dönüşmeleri, granatların serizitleşmeleri, kordiyeritleşmeleri de bu kayaçlarda gerileyici metamorfizmaya verilebilecek diğer örneklerdir. Gerileyici metamorfizma şistlerde en güzel biyotitlerde görülmektedir. Bunlarda biyotitler belirgin olarak kloritleşmişlerdir. Amfibolitlerde ise bu olay klinopiroksenlerin amfibol ve hematite dönüşümü şeklinde görülmektedir.

4.1.4. Kataklastik Metamorfizma

Güneybatıdan inceleme alanına giren Niksar-İspir Yusufeli-Ardanuç fayı, Ormandibi Köyü'ne kadar olan kısmında Kinalıçam volkanik karmaşığını kuzeybatı yönünde Eosen yaşı Yağmuralan formasyonu üzerine itmiştir. Kuzeydoğu-güneybatı doğrultusunda uzanan bindirme Ormandibi Köyü yakınlarında doğudan batıya doğru Kinalıçam, Demirkent ve Yusufeli bindirmesi olmak üzere üç kola ayrılmaktadır. Üç bindirme fayı da güneydoğuda kalan blokları kuzeybatı yönünde diğer bloklar üzerine itmiştir (Bkz Ek-1 ve 2). Bu nedenle inceleme alanında fay zonları boyunca nispeten yaygın bir kataklastik metamorfizma görülür. Özellikle stabilize yollar ve vadilerin fay zonlarından geçtiği kesimlerde kataklazma etkisi belirgindir (Şekil 4.6). Buralarda malzemenin cinsine de bağlı olmakla birlikte genellikle kırmızı renk tonları hakimdir. Malzeme boyları milimetreden bir kaç santimetreye kadar değişmekte birlikte ince malzeme daha yaygındır. Malzemenin boyları ezipme zonunun derinliği ile ilişkilidir. Yüzeye yakın kesimlerde megabreş (> 0.5 m) ve breş(1-500 mm) adı verilen malzemeler görülür. Derin kısımlara doğru mikrobreş (< 1 mm), kataklasit ($\leq \sim 10$ mm) ve milonitlere geçilmektedir. Yönü yapıların geliştiği milonitler sıcaklığın $250\text{--}300^{\circ}\text{C}$ nin üzerine çıktıığı yaklaşık 10 km derinlikten sonra oluşurlar (Twiss ve Moores, 1992). İnceleme alanındaki kataklastik kayaçlar içerdikleri malzeme boylarına göre genellikle mikro breş, yer yer de breş ve kataklasittir. Milonitlere rastlanmamıştır. Ancak kataklasitlerdeki hamur yer yer milonitlere benzer şekilde yönelimler sunar. Kinalıçam volkanik karmaşığından alınan ince taneli örneklerin mikroskopik incelemelerinde



Şekil 4.6. Yusufeli Bindirmesinin boyunca gelişen fay zonunun Muzrat Yaylası güneyindeki görünümü

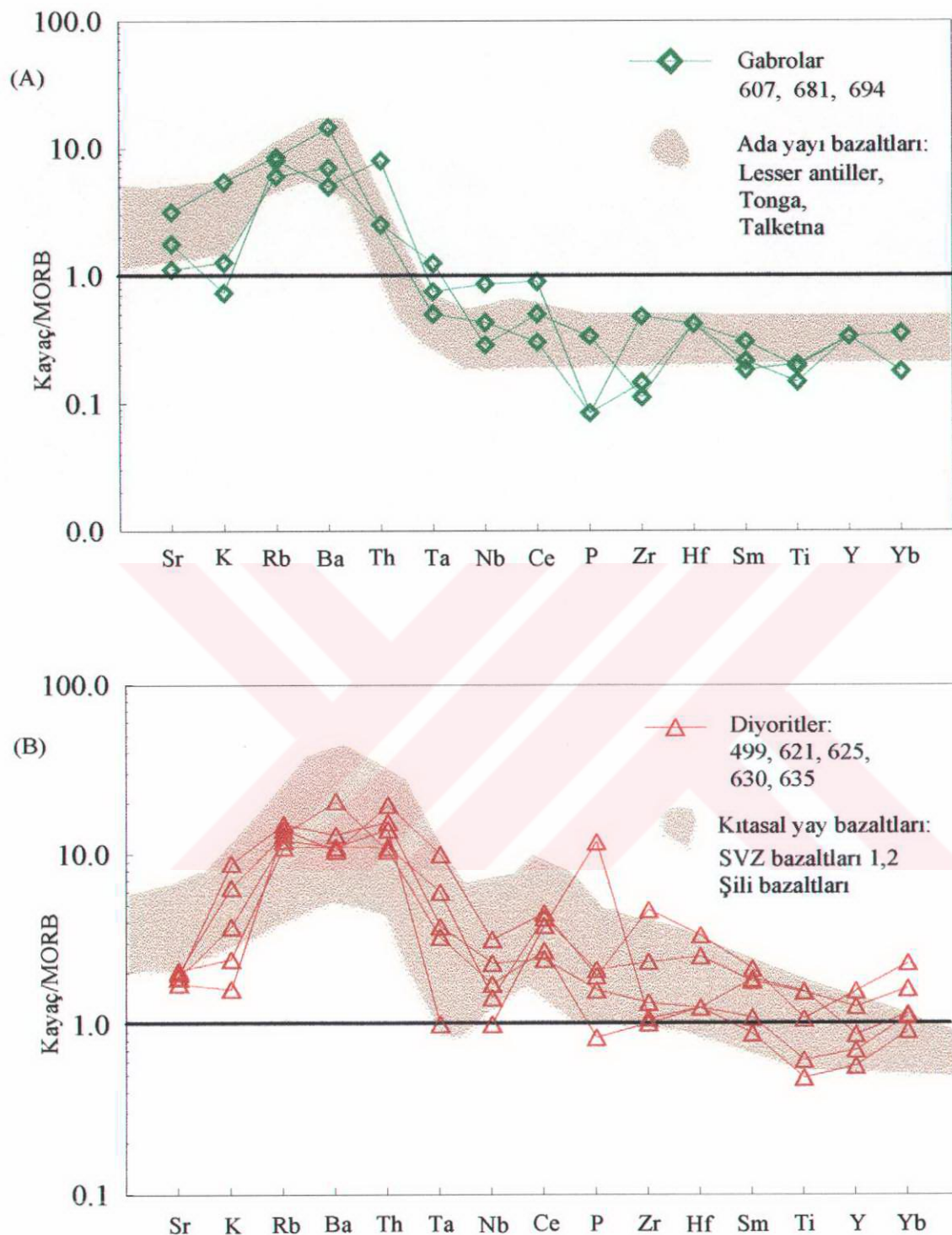


Şekil 4.7 İspir-Yusufeli-Ardanuç Fayı boyunca gelişen fay zonundan alınan kataklastik kayaç örneğinin (Yağmuralan Mahallesi'nin doğusu) mikroskopik görünümü. Fotografta görüldüğü gibi ufalanma oldukça ileri derecededir ve en büyük dane boyu 50-60 μm kadardır.

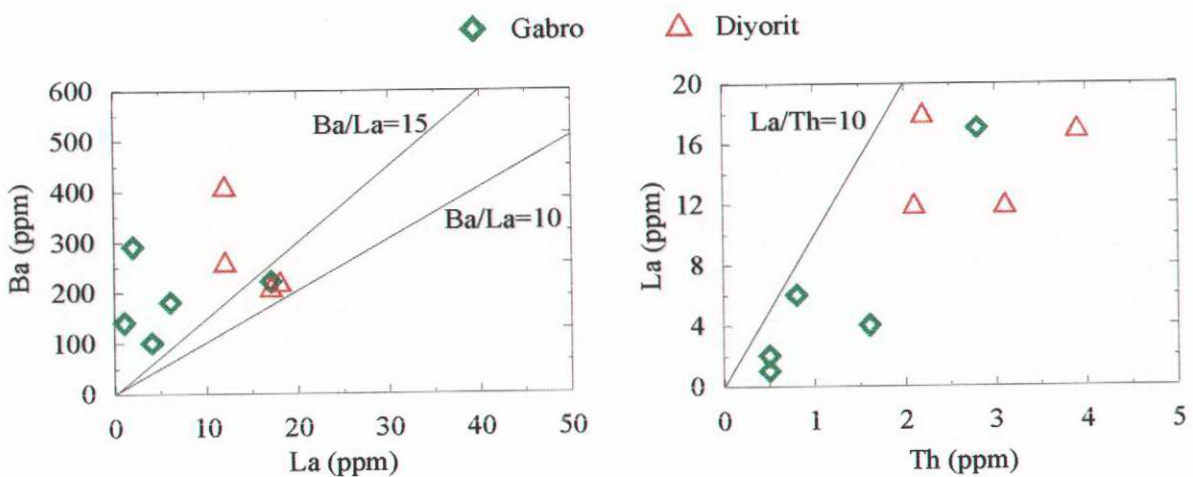
kahve renkli mikrogronü bir hamur içerisinde 50-60 μm boylarında kuvars ve plajiyoklas taneleri görülür (Şekil 4.7). Breşlerde ise kısmen gelişen bir hamur içerisinde kırıkçı yapıda iri plajiyoklas ve kuvars taneleri mevcuttur. Ayrıca bunlarda kırıklar boyunca hematit kırmızısı renginde bir demiroksit getirimi de yaygındır.

4.2. Demirkent Plütonunun Yitimle İlişkili Kayaçlar ile Karşılaştırılması

Şengör ve diğ. (1980) inceleme alanındaki kayaçları okyanusal ve kıtasal topluluk olmak üzere ikiye ayırmışlardır. Bunlardan Paleozoyik yaşı gabroyik Demirkent plütonu kayaçlarını ofiyolitik topluluğa, Karadağ metamorfitlerini de kıtasal topluluğa dahil etmektedirler. Bu sınıflandırmadan hareketle kurdukları plaka tektoniği ile ilişkili modelde okyanusal topluluk ile kıtasal topluluğun Orta Jura' da tektonik olarak birleştiğini ileri sürmektedirler. Adamia ve diğ.,(1995) ise aynı kayaçlardan "Ahalt masifi" adı altında bahsetmektedir. Araştırmacılar bu çalışmalarında inceleme alanındaki gabro ve diyabazların şiddetle amfibolleştiğini, kimyasal bileşimlerinin çok belirgin bir toleyitik trend ile okyanusal bazalt ve plütonik kayaçlara benzediğini ileri sürmektedirler. Bu nedenle, Demirkent plütonu kayaçlarının jeokimyasal olarak yitimle ilişkili kayaçlar ve okyanus ortası sırtı bazaltları ile karşılaşmasını uygun olacağı düşünülmüştür. Ada yayı kayaçları Sr, K, Rb, Ba ve bazen de Th gibi büyük iyon yarı çaplı litofil elementler (LILE) ve hafif nadir toprak elementler (LREE) bakımından okyanus ortası sırtı bazaltlarına (MORB) göre tipik olarak belirgin bir zenginleşme gösterirler. Bu zenginleşmenin yiten okyanus kabuğundan kaynaklandığı düşünülmektedir (Pearce, 1982; Le Bel ve diğ., 1985; Arculus ve Powell, 1986). Ayrıca ada yayı kayaçları okyanus ortası bazaltlarına göre Nb, Zr, Hf, Ti,Y gibi yüksek çekim alanı elementlerce (HFSE) fakirleşmişlerdir. Bu göreceli zenginleşmeler ve fakirleşmeler en güzel MORB' a göre normalleştirilmiş uyumsuz element diyagramlarında görülmektedir. Demirkent plütonundan seçilen örneklerin ada yayı ve kıtasal yay bazaltları ile birlikte MORB' a göre normalleştirilmiş uyumsuz element dağılımları Şekil 4.8' de verilmektedir. Gabrolar (607, 681, 694) MORB' a göre LILE bakımından zenginleşikleri ve HFSE bakımından da fakirleşiklerinden tipik olarak ilksel ada yayı karakteristiklerini göstermektedirler. İleri derecede farklılaşmış bazı gabro ve diyoritler (499, 621, 625, 630, 635) ise MORB' a göre genel olarak yüksek LILE ve düşük HFSE içerikleri ile kıtasal



Şekil 4.8. Demirkent plütonu gabro ve diyoritlerinin MORB' a göre normalleştirilmiş uyumsuz element dağılımlarının ada yayı ve kıtasal yay bazaltları ile karşılaştırılması (Şili bazaltları, Lesser Antiller ve Tonga, Pearce 1983; Talkeetna, DeBari ve Sleep, 1991, Southern volcanic zone (SVZ) bazaltları 1,2, Hickey ve dig., 1986' dan). Demirkent plütonu kayaçları tipik olarak yitimle ilişkili olarak oluşmuş bazaltlara benzer dağılım göstermektedirler



Şekil 4.9. Demirkent plütonu kayaçlarının Ba/La ve Th/La oranlarını gösterir Ba-La ve La-Th değişim diyagramları

yaylardaki bazatlara benzemektedirler. Gerek ana ve iz element değişim diyagramları, gerekse REE diyagramları kıtasal yay biçimli uyumsuz element dağılımlarının (diyoritler; Şekil 4.8 A) ada yayı biçimli dağılımdan (gabrolar; Şekil 4.8 B) itibaren kesirli kristalleme ile oluştuğunu göstermektedir.

Diğer taraftan Ba' a karşı La ve La' a karşı Th iz element değişim diyagramları da Demirkent plütonunun bir ada yayı veya kıtasal yaya ait olduğunu göstermektedir (Şekil 4.9). Diyagramda görüldüğü gibi Demirkent plütonu kayaçlarının Ba/La oranları 12-145 arasında, La/Th oranları ise 2-8 arasında değişmektedir. Ada yaylarında $\text{Ba/La} > 15$ ve $\text{La/Th} < 10$ olduğu dikkate alındığında (Gill, 1981) Demirkent plütonunun bir ada yayında olmuş olduğu görülmür.

4.3. Sebzeciler Granitoyidi Kayaçlarının Plajiyogranitler ile Karşılaştırılması

Şengör ve diğ., (1980) Şengör ve Yılmaz, (1981) gabroyik Demirkent plütonunun farklılaşmış ürünleri olarak kabul ettikleri Sebzeciler granitoyidi kayaçlarını yukarıda sözü edilen okyanusal topluluğa dahil ederek Triyas (Permiyen ?) dan Erken Juraya kadar olan zaman aralığında oluşturuklarını ileri sürmektedirler. Benzer bir yaklaşım Adamia ve diğ., (1995) tarafından yapılmıştır. Bunlar Sebzeciler granitoyidi kayaçlarının okyanusal toleyit karakterinde olduklarını belirterek, Demirkent plütonu ve Liyas yaşılı volkanikler ile birlikte

yay gerisi havza tipi ofiyolitik topluluk olarak yorumlamışlardır. Plajiyogranit adı altında değerlendikleri asidik kayaçların K₂O içeriklerinin çok düşük olduğunu ve jeokimyasal olarak okyanusal eğilime sahip olduklarını ileri sürmüştür. Bu nedenle Sebzeciler granitoyidi kayaçları dokanak ilişkileri, hacimsel boyutları ve mineralojik bileşimleri bakımından plajiyogranitler ile karşılaştırılmıştır.

Plajiyogranitler ofiyolitlerdeki gabrolarla sıkı ilişki içersindedirler. Bu bakımından bir çok araştırmacı bunların ofiyolitlerdeki gabroların bir parçası olduğunu ve tonalitten albit-granite kadar olan bileşimsel değişimleri nedeniyle de ofiyolit istifindeki farklılaşmanın son ürünü olduğunu ileri sürmektedirler (Wilson, 1959; Thayer, 1963; Coleman ve Peterman 1975). Ofiyolit istiflerinin detaylı haritalanması plajiyogranitlerin hacimsel olarak istifteki mafik ve ultramafik kayaçların % 2' sinden az olduğunu göstermektedir (Wilson, 1959; Thayer ve Himmelberg, 1968). Plajiyogranitler ile mafik kayaçlar arasındaki dokanak ilişkisi genellikle belirgin değildir. Bununla birlikte ofiyolitlerle ilişkili plajiyogranitlerin ofiyolitleri keserek yerleşmedikleri açıklıktır. Bir çok yerde bu kayaçlar alttaki kümülatif gabrolar veya daha az olarak da üstteki diyabaz daykları ile iç içe girmiş ve çoğulukla tedrici bir geçiş sahip olarak görülürler. Diyabaz daykları içerisinde küçük kütleler veya paralel dayklar şeklindeki bazı örnekleri de vardır (Thayer ve Himmelberg, 1968; Thayer, 1974).

Sebzeciler granitoyidi dokanak ilişkileri bakımından incelemişinde sadece gabroları kesmediği, aynı zamanda Karadağ metamorfitleri ile de dokanak oluşturduğu açıkça görülmektedir (Bkz Şekil 3.1). Diğer taraftan gabroyik Demirkent plütonu kayaçları ile olan dokanaklarında plajiyogranitlerde olduğu gibi tedrici bir geçiş yoktur. Buradan granitoyide ait kayaçların gabroyik Demirkent plütonu kayaçlarından farklılaşma yolu ile oluşmadıkları sonucu çıkarılabilir. Sebzeciler granitoyidi 24 km² lik yüzeyleme alanı ile Demirkent plütonuna yakın bir büyüklüğe sahiptir. Diğer bir ifade ile gabroyik Demirkent plütonu kayaçlarının farklılaşması ile oluşmuş olamayacak kadar büyütür. Plajiyogranitler ise çoğulukla ince damarlar veya küçük stoklar halindedir (Coleman ve Peterman, 1975; Flagler, ve Spray, 1991). Bu bakımından da Sebzeciler granitoyidi kayaçlarının plajiyogranit olma olasılıkları yoktur. Ayrıca plajiyogranitlerin Q-A-P üçgeninin kuvars-plajiyoklas eksenindeki albit-granit, diyorit, tonalit ve trondjemit şeklindeki toleyitik değişimine karşılık (Coleman ve Peterman, 1975); Sebzeciler granitoyidi kayaçları kuvarslı diyoritten

granodiyorite doğru farklılaşan düşük K' lu tronjemitik bir değişime sahiptir (Bkz. Şekil 3.78).

Granitoyide ait kayaçların okyanus sırtı granitlerine (ORG) göre normalleştirilmiş uyumsuz element diyagramlarında (Bkz Şekil 3.95), ORG' a göre zenginleşmiş LIL element ve fakirleşmiş HFS element içerikleri ile de plajiyogranitlerden ayrırlırlar (Pearce ve diğ., 1984). Granitoyid bu özelliklerini ile Pearce ve diğ., (1984) nin volkanik yay granitlerine (VAG) benzemektedir.

4.4. Sebzeciler Granitoyidinin Yerleşimi

Granitoyid plütonların iki boyutlu yüzeyleme şekilleri daireselden elips ve hatta çizgisele kadar değişir. Bunda yaşı kayaçların geçirdikleri ana deformasyonun yaşı, kazandıkları yapısal unsurların miktarı ve plütonun yerleşim yaşı önemlidir. Çizgisel şekilli yüzeyleme alanına sahip granitoyid plütonların oluşumunda yapısal unsurlar birinci derecede öneme sahiptir (Sharma, 1980; Charoy, 1986; Hanson ve diğ., 1988). Sebzeciler granitoyidi biri büyük diğeri küçük olmak üzere iki stoktan meydana gelmektedir. Uzun ekseni kuzey-güney doğrultusunda uzanan büyük stok çizgisel, uzun ekseni kuzeydoğu-güneybatı doğrultusunda uzanan küçük stok ise çizgisele yakın elips şeklinde bir yüzeyleme alanına sahiptir. Sebzeciler granitoyidi bu yüzeyleme şekli ile yapısal (kırık) kontrollü bir granitoyid olduğunu düşündürmektedir.

Granitoyidlerin üç boyutlu şekillerini belirlemek daha da zordur. Topografik rölyef, saha gözlemleri, deneysel çalışmalar ve jeofiziksel verilere dayanılarak granitoyidlerin dom, ters dönmuş gözyaşı daması, mantar ve düzlemsel şekilli oldukları ortaya konmuştur (Lynn ve diğ., 1981; Bateman, 1984; Michael, 1984). Sebzeciler granitoyidinin kuzey-güney doğrultulu batıdaki uzun kenarına ait noktaların vadi ve sırtlarda yaklaşık aynı düşey düzlem üzerine düşmesi, bu sınırın düşey bir düzlem şeklinde olduğunu göstermektedir. Yüzeylemenin kuzey ve güneydeki kısa kenarları ise Demirkent plütonu kayaçları ile ardışıklı ve uzun kenara paralel dayklar şeklindedir. Bütün bu dokanak özellikleri ve yüzeyleme şekli Sebzeciler granitoyidinin düzlemsel şekilli bir granitoyid olduğunu göstermektedir.

Çizgisel veya düzlemsel şekilli granitoyidler transtensional veya doğrultu atımlı deformasyonlara bağlı olarak gelişmektedirler. Bu durumda magmanın içine yerleştiği temel durumundaki kayaçlarda yanal yer değiştirmeler olmaktadır. Magmanın kendisi kırıkları oluşturabileceği gibi, daha önce oluşmuş kırık yollarını da kullanabilir. Bu kırıklara zorlayıcı (forceful injection) veya pasif bir şekilde yerleşebilir (Clarke, 1992).. Zorlayıcı bir şekilde yerleşmesi durumunda yan kayaçlar yukarıya veya yanlara doğru zorlanmakta, tabakalanma, foliasyon ve lineasyon gibi yapılarda sapmalar meydana gelmektedir. Pasif yerleşme durumunda ise yan kayaçların yanal hareketlerine bağlı olarak kırıklar açılmakta ve dayklar meydana gelebilmektedir (Clarke, 1992). Sebzeciler granitoyidinin çizgisel veya düzlemsel yüzeyleme şekli ve Demirkent plütonu ile ardisıklı dayk şeklindeki dokanak özellikleri yanal hareketlere bağlı olarak gelişen kırıklara pasif bir şekilde yerleştiğini göstermektedir. Bu bakımdan transtensional veya doğrultu atımlı deformasyonlara bağlı olarak gelişmiş olduğu söylenebilir. Yaklaşan plaka kenarlarında; yay önünde kompresif, yay içinde kesme ve yay gerisinde ise ekstansiyonel gerilmeler etkin durumdadır (Nakamura ve Uyeda, 1980). Bu açıdan Sebzeciler granitoyidi, Hersiniyen orojenezi sırasında makaslama gerilmeleri etkisi altında kalan yay ortamına yerleşen granitoyid durumundadır.

Granitoyid plütonların yerleşme derinlikleri arazi gözlemleri ve birlikte oluşan mineral çiftlerinde gerçekleştirilen jeotermobarometrik hesaplamalara göre yapılmaktadır. Sığ derinliklere yerleşen granitoyidler yerli kayaçlar ile keskin ve uyumsuz dokanağa sahip olup, yan kayaçlardan izole edilmiş durumdadırlar. Dokanak fasiyesleri genellikle ince tanelidir. Diğer kısımlarda porfiritik ve granofirik olmaktadır. Yan kayaçların metamorfizma derecesi yeşil şist veya amfibolitin alt seviyeleridir. Sığ granitoyidlerde görülebilen diğer özellikler olarak pegmatit dayları, hidrotermal alterasyon, breş dayları, yakınlardaki eş yaşılı volkanikler ve oldukça yaygın yerli kayaç ksenolitleri sayılabilir (Clarke , 1992).

Sebzeciler granitoyidi yerli kayaçlardan gabroyik Demirkent plütonu ile keskin ve uyumsuz dokanağa sahiptir ve izole edilmiş durumdadır. Dokanak kesimlerinde ince taneli tonalitler yaygındır. İç kısımlarda genellikle taneli dokuya sahip olan granitoyid özellikle Satıhe Sırtı civarında granofir özelliğindedir. Büyük ekseni kuzeydoğu-güneybatı doğrultulu küçük stok çok yaygın bir şekilde Demirkent plütonu ksenolitlerini içerir. Yaygın olarak çatlak dolgusu şeklinde epidot içermeleri hidrotermal alterasyona uğradıklarına işaret

eder. Granitoyidin bu yapısal ve dokusal özellikleri sığ derinliklere yerleşmiş olduğunu göstermektedir. Ancak Karadağ metamorfitlerinin metamorfizma derecelerinin amfibolit-alt graniülüt fasiyesi arasında olması bu görüş ile çelişir durumdadır. Buna karşılık Sebzeciler granitoyidinin tektonomagmatik diyagramda (Bkz. Şekil 3.94) da görüldüğü gibi çoğunlukla sin-orojenik bir granitoyid olması, yükselen bir metamorfik temele yerleştigiğini göstermektedir. Bu durumun böyle olduğu Karadağ metamorfitleri ve Sebzeciler granitoyidindeki mineral çiftlerinde gerçekleştirilen jeotermobarometrik hesaplamalarda da görülmektedir.

Metamorfitlerdeki amfibolitlerde Al-jeobarometresine (Hammarstrom ve Zen, 1986; Johnson ve Rutherford, 1989) göre hesaplanan basınçlar 5.6-6.8 arasındadır. Bu basınçlara karşılık gelen kristallenme derinlikleri $P = h.d.g$ formülüne göre 21-25.6 km arasındadır. Burada P: basınç (bar), h: derinlik (m) d: yoğunluk (litostatik basınç için 2.7 gr/cm³), g: gravite sabiti (0.0981) dir. Granat-biyotit-plajiyoklas gnayslarda GBPQ jeobarometresine (Hoisch, 1990) göre daha geniş bir aralık da değişen basınçlar (4-8 kbar) elde edilmiştir. Yüksek basınçlar mineral birlikteliklerinin merkezi kısımlarına, düşük basınçlar ise kenar kısımlara karşılık gelmektedir. Minerallerin kristallenme basınçlarının kenar ve merkezi kısımları arasındaki bu farklılık metamorfitlerin yükselen bir temel durumunda olduğunu göstermektedir. Metamorfitlerde birlikte oluşan minerallerin merkezi kısımları için yukarıda tanımlanan formüle göre 30 km, kenar kısımları için ise 15 km lik kristallenme derinlikleri bulunmaktadır. Kristallenme derinliklerdeki bu değişimler metamorfik temelin gittikçe sığlaştığını gösterebilir. Sebzeciler granitoyidi tonalitlerinde Al-jeobarometresine göre hesaplanan basınçlar hornblendelerin merkezi kısımlarından (4 kbar) kenar kısımlarına doğru (1 kbar) azalmaktadır. Bu basınçlara karşılık gelen kristallenme derinlikleri de merkezi kısımları için 15 km' den başlayarak kenar kısımlara doğru 4 km' ye kadar azalmaktadır. Metamorfitlerde olduğu gibi kristallenme derinliklerinin geniş bir değişim aralığına sahip olması Sebzeciler granitoyidinin metamorfik temel yükselirken yerleştigi ve kristallenmesini gittikçe sığlaşan derinliklerde tamamladığını işaret etmektedir.

Yukarıda deñinilen görüşler arazi ve mikroskopik gözlemlere göre test edilebilir. Karadağ metamorfitleri, Demirkent plütonu ve Sebzeciler granitoyidi stratigrafik olarak Hersiniyen temel durumundadır ve Liyas' tan sonra kırıntılı fasiyeste gelişen Hamurkesen

(Liyas-Dogger), Çağlayan (Üst Kretase) ve Yusufeli (Üst Kretase) formasyonlarına malzeme vermişlerdir. Bu temel kayaçlarının Hamurkesen Formasyonu'na malzeme vermiş olmaları, Liyas öncesinde aşınma durumuna gelecek kadar yükselen olmalarını gerektirmektedir. Bu bakımdan Demirkent plütonu ve Sebzeciler granitoyidi, temel durumunda olan ve muhtemelen Hersiniyen orojenine bağlı olarak yükselen Karadağ metamorfitleri içerisinde yerleştikleri söylenebilir.

4.5. Pontidler' in Jeotektonik Evrimi Üzerine Düşünceler

Pontidler'in Jeotektonik evrimi ile ilgili geliştirilen farklı modeller esasta Orta Anadolu Ofiyolitik Sütur Zonu'nun jeotektonik ortamının farklı şekillerde yorumlanmasıından kaynaklanmaktadır. Bu görüşleri üç ana grup altında toplamak mümkündür.

Dumont ve dig. (1972), Dewey ve dig. (1973), Stocklin (1974; 1977) Biju-Duval ve dig. (1977), Robertson ve Dixon (1984) ve Bektaş (1991) Triyas'da kıtasal kabuğa ait bir dilimin Gondwana'nın kuzeyinden rıftleşerek ayrıldığını ve rıftleşmenin, bu dilimin Lavrasya kıtası ile çarşışmasına kadar devam ettiğini ileri sürmektedirler. Robertson ve Woodcock (1981) rıftleşmenin Doğu Akdeniz ve Batı Toroslar'da birbiri ile ardisıklı uzun okyanus çukurları ve incelmiş kıtasal kabuğun gelişimine yol açtığını ve Batı Toroslar'ın Mesozoyik boyunca pasif kenar olarak kaldığını ileri sürerek bu görüşü desteklemiştir. Diğer taraftan Ricou ve dig (1974;1986), Delaune ve dig. (1977) ve Adamia ve dig. (1977), Torid platformunun Kretase' den önce Afrika'dan kopmadığını, Akdeniz ofiyolitlerinin (Hatay, Trodos, Antalya ofiyolitleri) kuzeydeki kök zonundan kaynaklandıklarını ileri sürerek önceki görüşe karşı çıkmışlardır. Ricou ve dig (1974) ayrıca, Antalya naplarının Tetis'in güney kenarından kaynaklanan allokton birimler olduğunu ve Torid karbonat platformu üzerine itildiğini ileri sürmektedirler. Şengör ve dig., (1980), Şengör ve Yılmaz (1981) ise Pontidler ile Lavrasya arasına yerleştirdikleri Paleo-Tetis'i Dogger'e dek güney yönlü bir yitimle kapatırken; Dogger-Üst Kretase arasında Pontidler'in güneyinde açıkları Neo-Tetis okyanusunu da Üst Kretase' den Eosen'e kadar kuzey yönlü bir yitimle kapatmaktadır. Bu görüşlerden bazıları aşağıda daha geniş bir şekilde aşağıda özetilmüştür.

Adamia ve dig.(1977, 1995) fasiyes ve paleobiyolojik analizler, magmatik etkinlik tipleri ve paleomanyetik verilere dayanarak Transkafkas-Doğu Pontidler'in bir çok üiteden olduğunu ileri sürmekte ve bunları Kuzey Tetis'in Paleozoyik, Mesozoyik ve Senozoyik'teki yay-yay gerisi sisteminin parçaları olarak sınıflandırmaktadır. Ana Tetis süturu olarak Erzincan-Sevan ofiyolit kuşağı belirtmektedir. Bayburt-Karabağ ve Erzincan-Sevan ünitelerinin şiddetle deform olmuş, dilimlenmiş, karışmış tortul ve volkanik istifleri Pasifik tipi eklenir prizma kalıntısı olarak düşünülmektedir. Liyas öncesi, Orta Jura ve Senonyen'de bindirmiş ofiyolit dilimleri yer almaktadır. Bunlar sırasıyla Orta-Üst Paleozoyik, Triyas, Jura-Alt Kretase ve Üst Kretase ofiyolitleridir. Okyanus tabanı parçaları, okyanusal ada yayı-yay gerisi çiftleri ve okyanusal adalar ofiyolit dilimleri içerisinde birbirleri ile sıkıca ilişkilidirler. Kuzey Tetis'in Pasifik tip eklenir prizması içinde Paleozoyik'ten Üst Kretase'ye kadar olan okyanusal toplulukların varlığı, Tetis okyanusunun Paleozoyik, Mesozoyik ve Erken Senozoyikteki sürekli gelişimine işaret ettiğini ileri sürmektedirler.

Khain (1984) Alt-Orta Jura'da güneyden kuzeye doğru yitimin başladığını buna eşlik eden toleyitik volkanizmanın Bajosiyen'den itibaren gittikçe kalk-alkalen volkanizmaya dönüştüğünü ve bunun da Kretase sonuna kadar devam ettiğini belirtmiştir. Büyük Kafkaslar da çarpışarak kapanmanın Eosen'de başladığını, Küçük kafkaslar da ise volkanizmanın Oligosen'e kadar sürdüğünü, Geç Miyosen'den Holosen'e kadar Küçük Kafkaslar, Türkiye ve İran civarında yaygın bir çarpışma volkanizması alanı olduğunu ileri sürmektedir.

Kazmin ve dig. (1986) Volkanizma ve diğer jeolojik verilerin, yitim zonunun güneyden kuzeye doğru eğimli olduğunu, son 200 my dan beri Avrazya kenar denizine eşlik eden durgunluk safhalarının olduğunu söylemektedir. İlk olarak Liyas'ta (Sinemuriyen-Pliyensbahiyen) başlayan volkanik aktivitenin, en yüksek noktasına Bajosiyen'de ulaştığını ve Neokomiyen'de bittiğini, bunu takip eden yeni volkanik aktivitenin Alt Kretase'de (Albiyen-Apsiyen) oluşduğunu ve Kampaniyen'den Paleosen'e kadar devam ettiğini, bunu Orta Miyosen'de sakin bir dönemin izlediğini, Geç Miyosen'de başlayan volkanik dönemin günümüze kadar sürdüğünü belirtmektedir.

Tokel (1981) Paleozoyik'ten beri Pontidler'de polaritesi güneyden kuzeye doğru olan bir yitim rejimi olduğunu savunmuştur. İlk ilksel ark safhasını karakterize eden toleyitik dönemi Erken Liyas'ta başlatır ve Kimmerisiyen'de sona erdirir. Güneye doğru uyumsuz element konsantrasyonlarının arttığını ve Rb/Sr oranının azaldığını, fakat K/Rb oranının güneyde volkanik cepheden uzaklaşıkça azaldığını belirterek yitimin kuzeye doğru olduğunu ve ark gerisi havzanın kuzeyde mümkün olabileceğini ileri sürmektedir.

Şengör ve diğ (1980), Şengör ve Yılmaz (1981) "Türkiye'de Tetis'in Evrimi" adlı çalışmalarında Doğu Pontidler'de Jura öncesi temelin iki değişik litoloji topluluğundan olduğunu ve bunların Orta Jura'da tektonik olarak birleşiklerini belirtmişlerdir. Bunlardan biri Bayburt yöresinde Permiyen veya Jura öncesi bir okyanusun kalıntıları olarak yorumlanan ve metamorfize ofiyolitler üzerine gelen okyanusal çökeller (Bayburt Permo-Karboniferi); diğeri ise Permiyen-Jura yaşı bir kıtasal topluluk olup, kuzeye bakan bir magmatik yayı temsil eder (Bayburt bölgesindeki Permo-Karbonifer yaşı hornblendli-biyotitli andezit, tuf ve silisli lavlardan oluşan volkanitler ve Gümüşhane graniti gibi granitik-granodiyoritik plutonlar). Dogger'e kadar yitimin güneye doğru olduğunu, kıtasal topluluk ile okyanusal topluluğun çarpıştığını ve kıtasal topluluğun okyanusal topluluk (Skityen Platformu) üzerine itildiğini belirtmişlerdir. Liyas'ta bu yay ikiye bölünerek Neo-Tetis'in kuzey kolunun açılmasına başladığını, Üst Jura-Alt Kretase boyunca Doğu Pontidler'de şelf çökeliminin sürdüğünü ve resif arası alanlarda filiş çökeliminin olduğunu vurgulamışlardır. Üst Kretase'de Neo-Tetis'in kuzeye doğru yitime başladığı ve Anatolid/Torid kesimi ile Pontid kesiminin Geç Paleosen-Erken Eosen'de çarpıştığını, Oligosen-Orta Miyosen'de aradaki havzanın tamamen kapandığını ve sıkışmanın daha ileri evresinde de Kuzey Anadolu Fayı'nın gelişliğini ileri sürmüştür.

Bektaş ve diğ. (1984; 1987) Pontidler ve komşu bölgelerdeki litofasiyes dağılımları, magmatik ve metallojenik zonalitenin yanı sıra paleomanyetik verilerden hareketle Doğu Pontid arkının Paleozoyik sonlarından itibaren Eosen sonuna dek süre gelen güney yönlü yitimle gelişmiş olabileceğini düşünmektedir. Yitim zonu geometrisinin (Şili ve Mariana tipi yitimler) Pontid ark-gerisi baseni veya basenlerinde gerilme ve basınç rejimlerini sağlamış olduğunu savunmaktadır. Liyas ve Liyas öncesinde başlayan çok safhalı manto yükselimi ve bunun sonucu olan ilerleyici kısmı ergimelerle birlikte transform fay hareketlerinin ark-gerisi

pull-apart havzalara ve bu havzalarında polijenik ofiyolit olgularına olanak sağladığını ileri sürmektedir. Ark-gerisi havza veya havzaları Üst Kretase sonlarına doğru Paleo-Tetis'in düşük eğimli yitim (Şili tipi yitim) ve buna bağlı olarak ark-gerisinde gelişen basınç gerilmeleri ve transform fay hareketleri ile kapatmaktadır.

Tüysüz (1996) Orta Pontidler'de Neo-Tetis'in tektonik evrimi adlı çalışmasında Kuzey Anadolu'nun orta kısmının doğu-batı yönelimli, birbirinden ofiyolitik sütur zonları ile ayrılan bir çok kıtasal parçadan oluştuğunu ileri sürmektedir. Kuzeyden güneye bölgenin ana tektonik ünitelerini Pontid Kıtasal Parçası, İnter-Pontid Süturu, Sakarya Kıtası, Ankara-Yozgat Sütur Zonu ve Kırşehir Kıtasal Parçası şeklinde ayırmaktadır. Kıtasal parçalar Liyas öncesi Pan-Afrikan, Hersiniyen ve Kimmerisiyen orojenleri etkisi ile birleşerek bölgenin Liyas-Tersiyer'deki kıtasal temelini oluşturmuştur. Neo-Tetis Okyanusunu, Liyas'ta bu kıtasal parçaların, kuzeyde İnter-Pontid okyanusu ve güneyde Ankara-Yozgat-Erzincan Okyanusu olmak üzere iki hat boyunca rıftleşmesi ile açmaktadır. Üst Kretase'nin başlarında okyanusların her ikisini de kuzeye doğru yitimle kapatmaktadır. İnter-Pontid Okyanusu Pontid Kıtasal Parçası altına ve Ankara-Yozgat okyanusu da Sakarya Kıtası altına doğru daldırmaktadır. Ankara-Yozgat okyanusunda muhtemelen kuzeye dalımlı diğer bir okyanus içi yitim olduğunu ileri sürmektedir. Bu okyanusal havzaların Üst Kretase sonunda kapanarak ofiyolit bindirmelerini, kıtasal çarşışmayı ve Çankırı havzası gibi Tersiyer'de sütur üzerinde gelişen sedimanter molas havzalarını sonuçladığı belirtmektedir.

Okay ve Şahintürk (1997) Üst Jura-Alt Kretase' de Pontidler'in güneyinin güneye eğimli pasif kenar durumunda olduğunu belirtmektedirler. Bölgede Senomaniyen yaşlı birimlerin olmayışını, bu dönem boyunca tüm Pontidler'in yükseldiği ve aşındığı şeklinde yorumlamaktadırlar. Ayrıca bu kompresif olayı ofiyolitik melanjin pasif kenar üzerine itilmesi ile ilişkilendirmekte ve obduksiyonu kısmen Doğu Pontid kıtasal kenarının okyanus içi yitim zonu boyunca güney yönlü yitimine bağlamaktadırlar. Bu olaydan sonra Senomaniyen-Turöniyen sırasında yitim polaritesini terslendirerek Doğu Pontidler'deki Senoniyen volkanik yayın gelişimini Tetis okyanus kabuğunun kuzey yönlü yitimine bağlamaktadırlar.

Chorowicz ve dig., (1998) Karadeniz ve Pontidler'in ilişkisi adlı çalışmalarında Karadeniz'in yay gerisi havza olmasının durumunda pasif kenarlar ile sınırlandırılmış olması gerektiğini belirterek, bu teorinin güneybatı Karadeniz'deki sismik profiller ile uyusmadığını ileri sürmüşlerdir. Çalışmalarında Batı Karadeniz'de, riftleşmenin en önemli verileri olarak bilinen, birbirini örten (overlapping) sedimanter birimlerin, kitasal blokların sürekli olarak çöktüğünü gösteren aşmalı (progresif) uyumsuzlukların ve çökelme ile eş yaşı büyümeye faylarının görülmediğinden bahsetmektedirler. 11.500 m kalınlığındaki istiften litoloji ve porozite gibi bir takım geri çözümleme yöntemleri ile hesapladıkları ilk çökelme derinliğinin 6000-8000 m arasında olduğunu belirterek, bunun genç okyanusal kabuğa sahip yay gerisi havzanın davranışını olmadığını ileri sürmüşlerdir. Mesozoyik volkanik yay çökellerinin Neo-Tetis süturunun her iki tarafında bulunduğu işaret ederek, bunun Karadeniz okyanusunun güneye doğru yitimini vurguladığını belirtmişlerdir.

4.6. Jeolojik ve Jeotektonik Evrim

4.6.1. Giriş

Doğu Pontidler'de bilinen en yaşlı kayaçlar Paleozoyik zamanına ait bölgesel metamorfitler (Karadağ metamorfitleri) ve bunları kesen mafik-asidik intrüzyonlardır (Demirkent plütonu ve Sebzeciler granitoyidi). Pontidler'in bir çok yerinde en yaşlı kayaçlar olarak çoğunlukla volkanitlerden meydana gelen Erken Jura yaşlı birimler bilinmektedir. Yusufeli yöresi ise Paleozoyik'e kadar inen litolojileri ile Doğu Pontidler'de bilinen en yaşlı kayaların yüzeylediği yörelerden biridir. Bu bakımdan Doğu Pontidler'in jeotektonik gelişimini aydınlatmada adı sıkça geçen alanlardan biri olmuştur (Şengör ve dig., 1980; Şengör ve Yılmaz 1981; Adamia ve dig., 1995). Yerel ölçekte yapılan bu çalışma ile tüm Doğu Pontidler'in evrimi hakkında kesin görüşler bildirmek sakıncalıdır. Konunun diğer yörelerde yapılan çalışmalar ile birlikte korele edilerek değerlendirilmesi gereklidir. Bununla birlikte Yusufeli yöresi, gerek Pontidler'in kuzey-güney geçişinde yer alan konumu ve gerekse bulundurduğu kaya stratigrafisi açısından Doğu Pontidler'in bir özeti gibidir. Bu bakımdan burada bu çalışmada ve daha önceki çalışmalardan sağlanan veriler ışığında bölgenin jeolojik gelişimi tartışılmacaktır.

4.6.2. Paleozoyik Dönemi

Paleozoyik döneminde Anadoludaki pek çok masif (örneğin; Kırşehir, Tokat, Ağvanis, Pulur masifleri ve Karadağ metamorfitleri) Paleotetis okyanusu içerisinde küçük kıtacıklar veya okyanus platoları şeklinde bulunmaktadır (Ricou ve diğ., 1974; Robertson ve Dixon, 1984). Kuzeyde Avrasya ve güneyde de Gondwana kıtaları arasında büyük bir okyanusu temsil eden bu deniz tabanının güney yönünde Gondwana kıtası altına doğru yitimi sırasında okyanus içerisinde adalar şeklinde bulunan metamorfik masifler zaman içerisinde Gondwana kıtasına eklenmişlerdir (Şengör ve diğ., 1980; Şengör ve Yılmaz, 1981; Bektaş ve diğ., 1987; Tüysüz, 1990).

Şengör (1987), Gondwana kıtasının kuzey kenarının bir magmatik yay konumunda olduğunu ve Türkiye-Arabistan platformunun bu yayın arkasında bugünkü Sumatra kıta kenarı arkasındaki Sunda şelfine benzer şekilde, içerisinde yer yer adalar ve derince havzalar bulunan bir şelf konumunda olduğunu öne sürmüştür. Paleozoyik'te Gondwana'ya eklenen okyanusal platolar Paleo-Tetis okyanus kabuğunun yitimine bağlı olarak gelişen gabroyik ve granitoyidik intrüzyonlar ile kesilmiştir (Örneğin; Demirkent plütonu ve Sebzeciler granitoyidi). Bunlardan biri olan Gümüşhane granitinin yerlesim yaşı 298-338 milyon yıl ile Karbonifer'dir (Yılmaz, 1972; Çoğulu, 1975). Kösedağı granitoyidinin yaşı ise Rb^{87}/Rb^{86} yöntemine göre 360 ± 2 yıl ile Alt Karbonifer (Bergougnan, 1987) olarak bulunmuştur. Straigrafik konumu dikkate alındığında Sebzeciler granitoyidi Gümüşhane graniti ve Kösedağı granitoyidinin inceleme alanındaki eşleniği olmalıdır.

Demirkent plütonu ve Sebzeciler granitoyidinin jeokimyasal özellikleri bunların yiten okyanus kabuğu tarafından metasomatize olmuş manto kamasının kısmi ergimesi ile oluştuklarını göstermektedir. Demirkent plütonu kayaçları yüksek Al_2O_3 ve düşük MgO içerikleri ile yüksek Al'lu ada yayı ve kıtasal yay bazaltlarına benzemektedirler (Marsh ve Carmichael, 1974; Brophy ve Marsh, 1986). Genel olarak düşük K_2O içeriklerine sahip kayaçlar, CA-TH geçişli karakterleri ile ofiyolitik topluluktaki TH karakterli mafik ve ultramafik kümülatlardan ayırmaktadırlar. Ayrıca yüksek LIL, düşük HFS element içerikleri ve yüksek LIL/HFS oranları ile tipik olarak yitimle ilişkili kayaçlara benzemektedirler (Pearce, 1982). Diğer taraftan Sebzeciler granitoyidi hacimsel olarak gabroyik Demirkent

plütonu kayaçlarının farklılaşması ile oluşmuş son ürün olamayacak kadar büyktür. Modal ve normatif Q-A-P diyagramlarında da toleyitik yönsemeye sahip plajiyogranitlerin aksine düşük K'lu trondjemitik bir yönsemeye sahiptir. Bu bakımdan Sebzeciler granitoyidi, yitim zonunda okyanusal bazaltlar veya altere MORB' un dehidratasyonu ve manto kamasının kısmi ergimesi ile oluşmuş tonalit-trondjemit-dasitik (TTD)' bir magmadan itibaren oluşmuş olmalıdır (Green ve Ringwood, 1968; DeVore, 1983; Hsui ve dig., 1983; Martin, 1986, 1987). Ayrıca granitoyide ait kayaçlar okyanus sırı granitlerine göre (ORG) zenginleşmiş K, Rb, Ba, Th gibi LILE ve tüketilmiş Ta, Nb, Ti gibi HFSE içerikleri ile de Pearce ve dig. (1984)' in volkanik yay granitlerine (VAG) benzemektedirler.

Granat-biyotit-plajiyoklas gnays ve amfibolitlerde jeotermobarometrik yöntemlere göre hesaplanan basınç ve sıcaklıklar (Hammarstrom ve Zen, 1986; Blundy ve Holland, 1990; Ferry ve Spear, 1978; Hoisch, 1990) Karadağ metamorfitlerinin bölgede yükselen bir temel durumunda olduğunu göstermektedir. Karadağ metamorfitlerini keserek yerleşen Sebzeciler granitoyidi tonalitlerinde gerçekleştirilen jeotermobarometrik hesaplamlarda granitoyidin metamorfik temel yükselirken yerleştiğini ve kristallenmesini gittikçe sığlaşan derinliklerde tamamladığını göstermektedir. Bölgede Hersiniyen temel durumundaki kayaçların yükselişimi, gittikçe genleşen (Şili tipi yitim) bir okyanusal kabuğun yitimini veya okyanusal platoların yay ile çarşısını gerektirmektedir. Böyle bir durumda yiten okyanus kabuğunun genleşmesi için ada yayının okyanus ortası sırtı veya okyanus ortası sırtın ada yayına doğru göçü söz konusudur. Hersiniyen temelin yükselişimi, gittikçe genleşen okyanusal kabuğun yitimı sırasında okyanusal plato durumundaki sırtın düşük açılı yitimine bağlı olarak gelişmiş olabilir. Jeotermobarometrik hesaplamlar da çarşisma sonucu meydana gelen hızlı bir yükselimden daha çok gittikçe genleşen okyanusal kabuğun yitimine bağlı yavaş bir yükselim olduğunu göstermektedir (Şekil 4.10).

4.6.3. Orta-Geç Triyas Rifleşme Dönemi

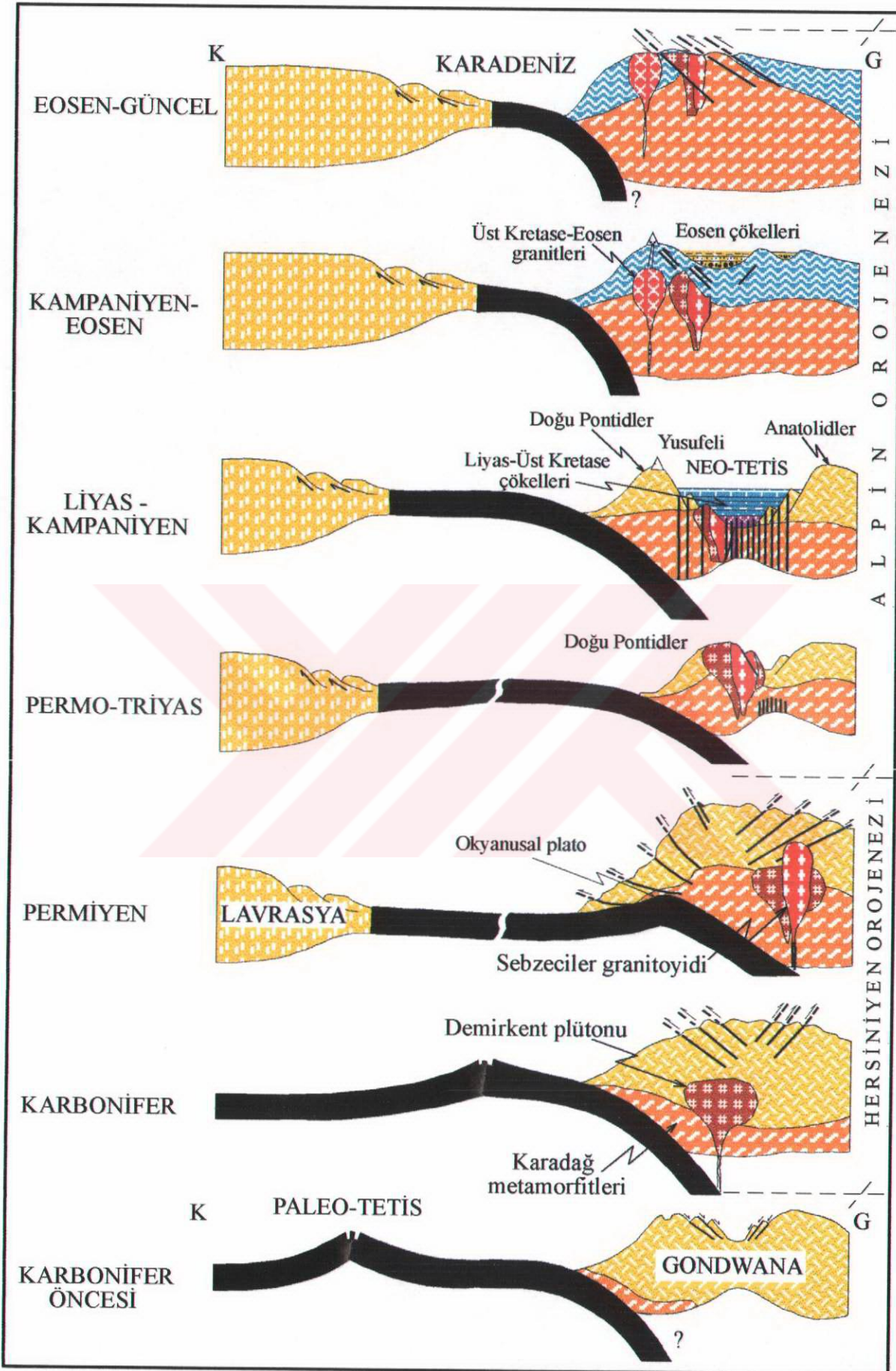
İnceleme alanında Triyas dönemine ait birimler bulunmamaktadır. Ancak alanın güneyindeki Doğu Toros bölgesinde Üst Paleozoyik karbonat platformunun Orta-Geç Triyas' ta faylar ile parçalanarak çöktüğünü gösteren veriler bulunmaktadır (Altiner, 1981; Özer ve dig., 1984; Yılmaz ve dig., 1990; Özer, 1992). Munzur dağlarında olduğu gibi,

Bütün Doğu Toros bölgesi ve Arabistan platformu Orta Triyas' da riftleşmeyi kanıtlayan verilerle doludur. Munzur dağlarından güneybatıya Orta Toroslara doğru Orta-Geç Triyas' da rift çökelleri ve buna eşlik eden alkali volkanikler gelişmiştir. Bir çok araştırcı terrijen ve pelajik tortuların denizaltı alkali lavlar ile birlikte bulunmasını kraton içi bir denizde riftleşmeyi ve ilk okyanus tabanı yayılmasını gösterdiğini belirtmişlerdir (Delaune-Mayere ve diğ., 1977; Robertson ve Woodcock, 1981; Robertson ve Dixon, 1984).

4.6.4. Liyas-Senomaniyen Dönemi

Liyas Doğu Pontidler'de riftleşme aşamasına karşılık gelmektedir. Bununla ilgili veriler inceleme alanında yoğun bir şekilde görülmektedir. İnceleme alanının güneyindeki Munzur dağları ve Doğu Toros bölgesinde Orta-Geç Triyas' da başlayan riftleşmenin (Şengör ve diğ., 1980; Bektaş ve diğ., 1984; Okay ve Şahintürk, 1997) kuzeye doğru göçettiği veya etkisini bölgede ancak Liyas' da göstermeye başladığı söylenebilir. Bu bakımından Liyas Doğu Pontidler'de yay içi riftleşme dönemidir. Nitekim Liyas yaşı Kinalıçam volkanik karmaşığına ait bazikten asideye kadar değişen kayaçlar jeokimyasal açıdan ada yayı karakterindedirler. Kinalıçam volkanikleri negatif Ta ve Nb anomalileri yanında, HFS elementler bakımından da MORB' a göre tüketilmiş olmaları, bunları kıtasal riftler ile ilişkili volkaniklerden ayıran en belirgin özellikleridir. Kıtasal riftler ile ilişkili volkanikler MORB' a göre LIL elementler bakımından çok fazla zenginleşmiş olmakla birlikte HFS elementler bakımından da zenginleşmişlerdir. Ayrıca Ta ve Nb da diğerlerine göre negatif anomaliler yoktur (Hart ve diğ., 1989; Coish ve Sinton, 1992). Kinalıçam volkanikleri, bazı okyanus ortası bazaltları (Wood ve diğ., 1979; Weawer ve diğ., 1987) ve kıtasal akıntı bazaltlarında (Thompson ve diğ., 1983) gözlenen HFSE zenginleşmesinin aksine negatif Nb ve Ta anomalilerine sahiptirler ve diğer HFS elementler bakımından MORB' a göre genel olarak tüketilmişlerdir. Bu veriler, Liyas yaşı Kinalıçam volkaniklerinin yitimle ilişkili olarak bir ada yayında oluşuklarına işaret etmektedir (Şekil 4.10).

Dogger ve Malm-Alt Kretase dönemleri yay gerisi rift havzasının giderek geliştiği dönemlere karşılık gelir. Nitekim inceleme alanında Hamurkesen Formasyonu'na ait çökellerin yukarı doğru tabaka kalınlıkları ve tane boylarının incelmesi, daha sonra karbonatlara (Berdiga Formasyonu) geçmesi gelişen bir denizin varlığını gösterir. Diğer



Şekil 4.10. Yusufeli yöreninin Karbonifer'den günümüze kadar olan jeolojik evrimini gösteren şematik paleocoğrafik kesitler. Ayırtılar Tezin Jeolojik ve Jeotektonik Evrim bölümünde tartışılmaktadır.

taraftan Berdiga Formasyonu'nun kuzeyde masif resifal karbonatlardan meydana gelmesine karşılık güneye doğru tabaka kalınlıklarının incelmesi ve daha kalın bir istif oluşturması, rift havzasının gelişen ve güneye bakan bir havza olduğuna işaret etmektedir. Nitekim Bektaş ve dig., (1996) Liyas' da tektonik kontrolü bu rift havzalarında, çökel istiflerin kalınlıkları ve yaş konaklarının kuzeyden güneye doğru arttığını belirtmektedirler.

4.6.5. Geç Kretase Dönemi

Yusufeli yöresinde Apsiyen' e kadar sakin ortam koşulları egemendir. Apsiyen' de yeniden gelişen ekstansiyon rejimi ile platform karbonatları niteliğindeki Berdiga Formasyonu parçalanmış ve çökmeye başlamıştır. Bu sebeple Geç Kretase çökelleri (Çağlayan ve Yusufeli formasyonları) Alt Kretase karbonatları (Berdiga Formasyonu) ile geçişli olarak bulunmaktadır. Geç Kretase' nin alttaki karbonatlar üzerine ince tabakalı kiltaşı, marn, kumtaşı ve kırmızı biyomikritler ile geçişli olarak gelmesi, daha derin bir havzada çökeldiklerini göstermektedir. Türoniyen' e? kadar bu şekilde devam eden Geç Kretase havzası Türoniyen' den itibaren kapanmaya başlamıştır. Çağlayan formasyonunun ince tabakalı, kahve-siyah renkli çört ve çötlü kireçtaşları üzerine alttan üste doğru tane boyutu ve tabaka kalınlığı artan kumtaşlarının gelmesi, bölgenin sıkışma rejiminin etkisi altına girdiğini ve Geç Kretase havzasının sıkıştığını göstermektedir. İstifin en üst kesiminde bulunan orta tabakalı, gri-beyaz mikritik kireçtaşları olasılı olarak ortamın derinlik olarak blok faylanmadan önceki konumuna geldiğini göstermektedir. Böylece havza kapanmaya devam etmiş ve su üstüne çıkmıştır (Şekil 4.10).

İnceleme alanının güneyinde bu şekildeki gelişime karşılık kuzeyde tortulaşmanın üst kısımlarına doğru (Kampaniyen sonu) bimodal yay magmatizması gelişmeye başlamıştır. Bunların yüksek LIL, LREE ve düşük HFS içerikleri ve düşük HFS/LIL oranları, yitimle zenginleşen manto kökenli magmayı işaret etmektedir. Bu arada ada yayının sıg derinliklerine inceleme alanında stoklar, daha kuzeyde büyük batolit (Kaçkar granitoyidi) şeklinde granitik kayaçlar yerleşmiştir (Çoğulu, 1975; Moore ve dig., 1980)

Kazmin ve dig (1986) ve Tokel, (1992) Mesozoyik ve Senozoyik' teki yoğun magmatik etkinliğin Avrasya kıtasının aktif kenarına işaret ettiğini belirtmektedirler. Orta

Pontidler' deki Kastamonu granitoyidleri de ada yayı ortamına işaret eder (Boztuğ, 1985). Buna karşılık Şengör ve Yılmaz (1981) bu plütonları, naplar ile karşılıklı olarak birbirlerini kesmeleri nedeniyle kabuksal kalınlaşma olarak tanımlamakta ve Kimmer Kıtası'nın Avrupa ile çarşımıası sırasında oluşturuklarını savunmaktadır. Çoğunlukla hornblend-biyotit ve magnetit mineral parajenezleri ile karakterize olan Pontid granitik kayaçları (Taner, 1977; Gedikoğlu ve diğ., 1979; Bingöl ve diğ., 1982) yitim zonu ile ilişkili olarak gelişmiş ve az çok kitasal kabuktan etkilenmiş olarak değerlendirilir (Bingöl ve diğ., 1982). Buna karşılık Bektaş (1983) Doğu pontid Kuzey Zonu'nda tonalit-granodiyorit gibi gri granitik kayaçların daha bol bulunmasına karşın Güney Zonu'nda siyenit-monzonit-kuvarslı monzonit türü pembe granitik kayaçların daha bol bulunduğuunu belirterek yitimin güneye olması gerektiğini savunur.

4.6.6. Eosen-Miyosen Dönemi

Geç Eosen-Erken Miyosen arasındaki dönemde Doğu Pontidler ve Türkiye orojenik kuşağı kuzey güney doğrultusunda sıkıştırılmaya devam etmiş ve meydana gelen yükselmeler ile birlikte aynı zamanda aşındırılmalar başlamıştır. Orta Eosen Çökelleri (Yağmuralan formasonu) Üst Kretase çökelleri (Yusufeli formasyonu) üzerine taban konglomeraları ile açısal uyumsuz olarak gelmiştir. Bu bakımından bölgede Geç Kretase' de meydana gelen bindirmeler, Eosen' deki yaygın transgresyonla örtülümüşlerdir. Buna karşılık Eosen sonu veya Oligosen (?) de sıkıştırma rejimi etkisi altındaki bölgede yatay yer değiştirmelere bağlı olarak bindirme fayları meydana gelmiştir. Bu fayları İnceleme alanı ve Doğu Pontidler'de yaygın olarak görmekteyiz. İnceleme alanının güneyinde İspir-Yusufeli fayının Liyas yaşı Kinalıçam volkanik karmaşığını Eosen' in Yağmuralan formasyonu üzerine ittiği görülmektedir (Şekil 4.10).

4.6.7. Miyosen Sonrası Dönem

Miyosen'den sonraki dönem bölgeyi etkileyen büyük yatay yer değiştirmelerin durulduğu, yanal ve düşey blok hareketlerinin başladığı dönemdir. Bölge doğrultu atımlı Kuzey Anadolu ve Doğu Anadolu faylarının etkileri altında doğuya doğru yer değiştirmeye başlamıştır.

5. SONUÇLAR

Yusufeli yöreni ile ilgili bu çalışmada 1/25.000 ölçüğünde yaklaşık 500 km² lik bir alanı kapsayan 4 parça haritalanarak yerel ve bölgesel ölçekte büyük öneme sahip bir çok sonuç elde edilmiştir. Sonuçlar stratigrafik-petrografik ve jeokimyasal olmak üzere iki alt grupta verilecektir.

5.1 Stratigrafi-Petrografi

1- 1/25.000 ölçekli haritası yapılan Yusufeli yöreninde, Türkiye Stratigrafi komitesinin “Stratigrafi Sınıflama ve Adlama Kuralları” esasına uygun şekilde 4 litostratigrafi, 5 litodem olmak üzere 9 birim ayrıtlanarak haritalanmıştır. Önceki çalışmalar da dikkate alınarak adlandırmaların 7 tanesi ilk defa bu çalışmada kullanılmıştır.

2- İnceleme alanında orojenik dönemlere bağlı olarak gelişmiş iki tane büyük uyumsuzluk tespit edilmiştir. Bunlardan biri Paleozoyik birimleri (Karadağ metamorfitleri, Demirkent plütonu ve Sebzeciler granitoyidi) ile Liyas yaşı Kinalıçam volkanik karmaşığı arasında, diğer ise Geç Kretase yaşı Yusufeli formasyonu ile Eosen yaşı Yağmuralan formasyonları arasındadır. Bunlardan ilki Hersiniyen, diğer ise Alpin orojenine bağlı olarak gelişmiştir.

3- İnceleme alanında Geç Kretase çökelleri (Çağlayan ve Yusufeli formasyonları) Malm-Alt Kretase karbonatları (Berdiga Formasyonu) üzerine uyumlu olarak gelir.

4- Mineralojik bileşimleri ve petrografik karakteristiklerine göre Karadağ metamorfitleri gnays, şist, kuvarsit ve amfibolitler olmak üzere dört grupta toplanmışlardır.

5- Hiç bir metamorfik kayaçörneğinde klorit, albit ve metamorfik epidot gibi yeşil şist fasiyesini karakterize eden mineral topluluğuna rastlanmamıştır. Karadağ metamorfitleri yeşil şist fasiyesinin üzerine çıkan orta ve yüksek derecelerde metamorfizma koşullarında oluşmuş mineral topluluklarını içermektedirler. Düşük basınç/orta-yüksek sıcaklık

metamorfizmasını karakterize eden mineral topluluklarına rastlanmamıştır. Kordiyerit yalnızca yüksek basınç ve sıcaklık koşullarını temsil eden granat-biyotit-plajiyoklas gnayslarda sillimanit ile birlikte bulunmaktadır. Ayrıca granatların hepsi spessartin bileşenleri düşük almandin-granat bileşimindedir. Karadağ metamorfitlerinin bu özellikleri Barrow tipi (orta basınç/orta-yüksek sıcaklık) metamorfizması geçirmiş olduğunu işaret etmektedir.

6- Granat biyotit-plajiyoklas gnayslarda granat-biyotit çiftlerinden hesaplanan dağılım katsayıları ($K_D = (Mg/Fe)_{Gr}/(Mg/Fe)_{Bi}$) ortalama granat zonunu temsil eden değerin ($K_D = 0.13$) üzerine çıkmaktadır (Şekil). Granat-biyotit çiftleri çoğunlukla 0.16-0.25 arasında değişen dağılım katsayıları (K_D) ile ortalama stavrolit-kyanit zonu ($K_D = 0.15$) ve ortalama sillimanit zonu ($K_D = 0.27$) arasında yer almaktadırlar. Az sayıdaki bazı granat-biyotit çiftlerinde dağılım katsayıları (K_D) 0.27 nin üzerine çıkararak sillimanit zonuna yaklaşmaktadır.

7- Granat-biyotit-plajiyoklas gnayslarda (GBPG) granat-biyotit Fe-Mg değişim termometresine (Ferry ve Spear, 1978) göre hesaplanan sıcaklıklar 550- 810 °C arasında değişmektedir. Bu oluşum sıcaklıkları amfibolit fasiyesinden başlayan ve granülit fasiyesinin alt seviyelerine kadar çıkan sıcaklık koşullarını yansımaktadır. Granat-biyotit-plajiyoklas-kuvars barometresine (Höisch, 1990) göre hesaplanan basınçlar (4-8 kbar) da amfibolit ve granülit fasiyesi koşulları ile uyumludur.

8- Amfibolitlerde alüminyum-hornblend jeobarometresine göre hesaplanan basınçlar 5.6-6.8 kbar arasındadır (Johnson ve Rutherford, 1989). Plajiyoklas-hornblend jeotermometresi kullanılarak hesaplanan sıcaklıklar ise 747 ± 40 °C dir (Blundy ve Holland, 1990).

9- Sebzeciler granitoyidi batıdaki düşey dokanağı, kuzey ve güney sınırının Demirkent plutonu kayaçları ile kuzey güney doğrultulu ardışıklı dayk yapısı, yaklaşık kuzey-güney doğrultusunda uzanan çizgisel yüzeyleme şekli ile yapısal kontrollü orojenik bir granitoyid görünümündedir. Bu yüzeyleme şekli ve dokanak özellikleri ile sin-tektonik bir granitoyid durumundadır.

10- Petrografik incelemeler Sebzeciler granitoyidinin kuvarslı diyoritten tonalit ve granodiyorit'e doğru değişen düşük K' lu kalk-alkali tronjemitik bir yönsemeye sahip olduğunu göstermektedir.

11- Sebzeciler granitoyidi tonalitlerinde Al jeobarometresi kullanılarak hornblendlerin merkezi kısımları için 2-4 kbar, kenar kısımları için 0,5-1,5 kbar basınç değerleri elde edilmiştir. Bu ampirik basınçlara karşılık gelen hornblendlerin kristalleşme derinlikleri merkezi kısımları için 15 km' ye kadar çıkarken, kenar kısımları için ortalama 4 km kadardır.

12- Tonalitlerde hornblend-plajiyoklas jeotermometri kullanılarak elde edilen kristalleşme sıcaklıkları merkezi kısımlar için 775 ± 25 °C, kenar kısımlar için ise 675 ± 25 °C olarak bulunmuştur.

13- Kınalıkam volkanik karmaşığı dolerit, diyabaz, bazalt ve spilit gibi bazik kayaçlardan başlayarak andezit gibi nötr ve dasit-riyolit gibi asidik kayaçlara kadar değişen çok geniş bir litolojik birlikteliğe sahiptir.

14- Dogger yaşı Hamurkesen ve Malm-Alt Kretase yaşı Berdiga formasyonları tabaka kalınlıkları ve içerdikleri malzeme boyları yukarı doğru azalan transgresif istif özellikle dendirler.

15- Üst Kretase Alt Kretase ile geçişlidir. Genellikle kumtaşlarının hakim olduğu türbiditik istifler Geç Kretase'nin ortalarına kadar transgresif özelliktedirler. Ancak daha sonra üste doğru tane boyu ve tabaka kalınlıkları artan regresif özellikte devam etmiş ve Eosen uyumsuzluğu ile son bulmuşlardır.

5.2. Jeokimya

1- Gnays ve şistler yüksek LILE, düşük HFSE içerikleri, Yüksek LILE/HFSE oranları ve negatif Ta, Nb ve Ti anomalileri köken kayaçlarının yitimle ilişkili olarak oluşturularını göstermektedir. Hafif nadir toprak elementler bakımından farklılaşan ve kondrite göre yüksek oranlarda zenginleşen örnekler, ortoklas-muskovit-plajiyoklas gnays, kuvars-mika

şist ve kuvarsitlere aittir. Bu örnekler magmatik ve/veya volkanik yaydan türeyen grovak ve arkozlara işaret etmektedir. Hafif nadir toprak elementler bakımından az, ağır nadir toprak elementler bakımından yüksek oranlarda zenginleşen örnekler de granat-biyotit-plajiyoklas gnayslara karşılık gelmektedir. Bunlar ise daha çok Al'ca zengin şeyl-kum karışımı yarı-pelitik bir kökene işaret etmektedirler.

2-Çoğunlukla amfibol-plajiyoklas gnays bileşimindeki amfibolitler iz element içerikleri alt kabuk değerleri ile benzerdir. Bazaltik bir kökenden kaynaklanan amfibolitlerin TH-CA geçişli olmaları ve MORB' a göre yüksek LILE ve düşük HFSE içerikleri ada yayı ortamında oluştuklarına işaret etmektedir.

3- Önceki çalışmaların bazlarında okyanusal eğilime sahip oldukları ileri sürülen gabroyik Demirkent plütonu kayaçları yüksek Al_2O_3 ve düşük MgO içerikleri ile yüksek Al'lu ada yayı ve kıtasal yay bazaltlarına benzemektedirler. Genel olarak düşük K_2O içeriklerine sahip kayaçlar, CA-TH geçişli karakterleri ile ofiyolitik topluluktaki TH karakterli mafik ve ültramafik kümülatlardan ayrılmaktadır. Ayrıca yüksek LILE, düşük HFSE içerikleri ve yüksek LILE/HFSE oranları ile de tipik olarak yitimle ilişkili kayaçlara benzemektedirler.

4- Yine önceki çalışmaların bazlarında okyanusal affinityeye sahip oldukları ileri sürülen Sebzeciler granitoyidi kayaçlarının düşük K'lu tronjemitik yönsemeye sahip oldukları görülmüştür. Okyanus sırtı granitlerine göre LIL elementler bakımından zenginleşmiş, HFS elementler bakımından ise tüketilmişlerdir. Granitoyid bu özellikleri ile Pearce ve diğ., (1984) nin volkanik yay granitlerine (VAG) benzemektedirler.

5- Liyas yaşılı Kinalıçam volkanitleri ve Üst Kretase yaşılı Yusufeli volkanitleri jeokimyasal özellikleri bakımından ada yayı veya kıtasal yay volkanitlerine karşılık gelmektedirler.

6. KAYNAKLAR

- Adamia, S., Lordkipanidze, M.B., Zakariadze, G.S., 1977, Evolution of an active continental margin as exemplified by the Alpine history of the Caucasus, *Tectonophysics*, 40, 183-189.
- Adamia, S., Bayraktutan, S., Lordkipanidze, M.B., 1995, Structural correlation and Phanerozoic evolution of the Caucasus-Eastern Pontides, In: Erler, A., Ercan, T., Bingöl, E., Örçen S., (Eds), *Geology of the Black Sea Region*, 69-75, Ankara.
- Ague, J. J., Brimhall, G. H., 1988, Regional variations in bulk chemistry, mineralogy and the composition of mafic minerals in the batholiths of California. *Geol. Soc. Am. Bull.*, 100, 891-911.
- Ağar, Ü., 1977, Demirözü (Bayburt) ve Köse (Kelkit) Bölgesinin Jeolojisi, Doktora Tezi, İ.Ü., K.T.Ü. Matbaası, Trabzon, 58 s
- Akdeniz, N., 1988, Demirözü Permo-Karboniferi ve bölgesel yapı içindeki yeri, *TJK*, 31, 71-80
- Alp, D., 1972, Amasya Yöresinin Jeolojisi, İstanbul Üniversitesi Fen Fakültesi Monografileri Tabii İlimler Kısımlı, Doktora Tezi, Sayı: 22.
- Altiner, D., 1981, Recharges Stratigraphiques et Micropaléontologiques au NW de Pınarbaşı (Taurus oriental Turquie): Univ. de Geneve, These 450 s.
- Altınlı, İ. E., 1969. Oltu-Olur-Narman dolaylarının jeolojik incelenmesi. *TPAO. Rap. No. 449*, Ankara.
- Anderson, A. T., 1982, Parental basalts in subduction zones: implications for continental evolution. *J. Geophys. Res.* 87, B8, 7047-7060.
- Arculus, R.J., Johnson, R. W., 1978, Criticism of generalized models for the magmatic evolution of arc-trench system: *Earth. Planet. Sci. Lett.*, 39, 118-126
- Arculus, R. J., Powell, R., 1986, Source component mixing in the regions of arc magma generation. *J. Geophys. Res.* 91, 5913-26.
- Arni, P., 1939, Şarkı Anadolu ve mücavir mıntıkların tektonik ana hatları, MTA yayını Seri B, No: 4, Ankara.
- Arslan, M., Tüysüz, N., Korkmaz, S., Kurt, H., 1997, Geochemistry and petrogenesis of the Eastern Pontide volcanic rocks, Northeast Turkey, *Chem. Erde* 57, 157-187.
- Arth, J. G., 1976, Behaviour of trace elements during magmatic processes - a summary of theoretical models and their applications, *J. Res. U. S. Geological Surv.*, 4, 41-47.

- Arth, J. G. Barker, F., Peterman, Z. E., Friedman, I., 1978, Geochemistry of the gabbro-diorite-tonalite-trondhjemite suite of southwest Finland and its implications for the origin of tonalitic- trondhjemitic magmas, *J. Petrol.*, 19, 289-316.
- Aslan, Z., 1998, Saraycık-Sarıhan Granitoyidleri (Bayburt) ve Çevre Kayaçlarının Petrografisi, Jeokimyası ve Petrolojisiyle Sarıhan Granitoyidinin Jeokronolojik İncelenmesi. Doktora Tezi, K.T.Ü., Trabzon.
- Aslaner, M., Gedikoğlu, A., Tülümen, E., 1982, Harşit polimetallik mineralizasyonlarının ayrıntılı araştırılması, TÜBİTAK Matematik-Fiziki ve Biyolijik Bilimler Araştırma grubu, proje no: TBAG 390, Ankara
- Baird, A. K., Miesch, A. T., 1984, Batolithic rock of southern California- a model for the petrochemical nature of source materials, *Prof. Paper*, 1284, 42 p.
- Baltatzis, E., 1979, Distribution of Fe and Mg between garnet and biotite in Scottish Barrovian metamorphic zones, *Min. Mag.*, 43, 155-7.
- Barker, F., Arth, J. G., 1976, Generation trondhjemitic-tonalitic liquids and Archean bimodal trondhjemite-basalt suites, *Geology*, 4, 596-600.
- Barker, F., 1979, Trondhjemites: definition, environment and hypothesis of origin, In: Barker, F. (Eds), *Trondhjemites, Dacites and Related Rocks*, Amsterdam, Elsevier, 1-12.
- Basaltic Volcanism Study Projec, 1981, Basaltic volcanism on the terrestial planets. New York Pergamon Press, 1286 p.
- Batchelor, R.A., Bowden, P., 1985, Petrogenetic interpretation of granitoid rock series using multicationic parameters, *Chem. Geol.*, 48, 43-55.
- Bateman, R., 1984, On the role of diapirism in the segregation, ascent and final emplacement of granitoid magmas, *Tectonophys.*, 110, 211-231.
- Baydar, O., Erdoğan, B., Topçam, A., Kengil, R., Korkmazer, B., Kaynar., A., Selim, M., 1969. Yusufeli-Madenköy-Tortum Gölü ve Kılıçkaya arasındaki bölgenin jeolojisi, MTA Rap. No. 5202 (yayımlanmamış), Ankara.
- Baykal, F., 1951, Oltu-Göle- Ardahan-Çıldır bölgesinin jeolojik ana çizgileri: MTA Rap. No. 1928, Ankara.
- Bektaş, O., 1983, Kuzeydoğu Pontid magmatik yayındaki I tipi granitler ve jeotektonik konumları, 37 Türkiye Jeoloji Bilimsel Teknik Kurultayı Bildiri Özeti Kitabı, 49-50, Ankara.
- Bektaş, O. Pelin, S. korkmaz, S., 1984, Doğu Pontid yay-gerisi havzasında manto yükseltimi ve polijenik ofiyolit olusu, TJK. Ketiñ Simpozumu, 175-188.

- Bektaş, O. Van, A. Boynukalın, S., 1987. Doğu Pontidler'de Jura volkanizması ve jeotektoniği, Türkiye Jeoloji Bülteni, 30, 9-18
- Bektaş, O., 1991, Doğu Pontid (KD Türkiye) ark gerisi basende ensialik ofiyolit oluşumu, T.J.K. Bült. 6, 187-197.
- Bektaş, O., Güven, İ., 1995, Alaskan-appinic type ultramafic and mafic complexes as the root zone of the Eastern Pontide magmatic arc (NE Turkey), In: Erler, A., Ercan, T., Bingöl, E., Örçen S., (Eds), Geology of the Black Sea Region, Ankara, 189-196.
- Bektaş, O., Yılmaz, C., Taslı, K., 1996, Doğu Pontid yay gerisi havzasında derin yayılma çukurlarının oluşumu (KD Türkiye): Neo-Tetis'in pasif kıta kenarı evrimi, KTÜ. Jeoloji Müh. Böl. 30. Yıl Sempozyumu Bildiriler Kitabı, 263-273.
- Bergougnan, H., 1987, Etudes Geologiques dans L'est Anatolien, Mem. des Sci. De la Terre, universite Pierre, et Marie Curie, These de Doctorat D'etat, 86-33, Paris.
- Bhatia, M. R., 1983, Plate tectonics and geochemical composition of sandstones, Jour. Geol., 91, 611-627.
- Biju-Duval, B., Dercourt, J., Le Pichon., 1977, From the Tethys Ocean to the Mediterranean Seas: a plate tectonic model of the evolution Western Alpine system, In B. Biju-Duval and Montadert, L., (Eds), Structural History of the Mediterranean Basins, Editions Technip, Paris, 143-164.
- Blundy, J. D., Holland, T. J. B., 1990, Calcic amphibole equilibria and a new amphibole-plagioclase geothermometer, Contrib. Mineral. Petrol., 104, 208-224.
- Bohlen, S. R., Essene, E. J., 1979, A critical evaluation of two-pyroxene thermometry in Adirondack granulites, Lithos, 12, 335-345.
- Boyer, S. E., Elliot, D., 1982. Thrust System¹, AAPG, 66, No.9, 1196-1230.
- Boynukalın, S., 1990, Dereli (Giresun) Baraj Yeri ve Göl Alanının Mühendislik Jeolojisi ve Çevre Kayaçlarının Jeomekanik Özellikleri, Doktora Tezi, KTÜ, Trabzon, 255 s.
- Bozkuş, C., 1990. Olur-Kömürülü-Aksar (Erzurum) Arasının Stratigrafik ve Tektonik Özellikleri, C.Ü. Fen-Bil. Ens., Doktora Tezi, Sivas, 162 s.
- Boztuğ, D., Debon, F. L., Le Fort, P., Yılmaz, O., 1985, Geochemical characteristics of some plutons from the Kastamonu gneiss belt (Northern Anatolia, Turkey), Schweizerische Mineralogische und Petrographische Mitteilungen, 64 (3), 389-403.

- Brique, L., Bougault, H., Joron, J. L., 1984, Quantification of Nb, Ta, Ti and V anomalies in magmas associated with subduction zones: petrogenetic implications, *Earth Planet. Sci. Lett.*, 68, 279-308.
- Brophy, J. G., Marsh, B. D., 1986, On the origin of high alumina arc basalts and mechanics of melt extraction, *J. Petrol.*, 27, 763-787.
- Carlson, R. W., Hart, W. K., 1987, Crustal genesis on the Oregon Plateau, *J. Geophys. Res.*, 92, 6191-6206.
- Ceryan, Ş., 1999, Harşit Granitoyidinin Ayrışması, Sınıflandırılması, Ayrışmanın Mühendislik Özelliklerine Etkisi, KTÜ. Fen Bil. Ens., Dotora Tezi, Trabzon.
- Chappell, B. W., White, A. J. R., 1974, Two contrasting granite types, *Pacific Geol.*, 8, 173-204.
- Chappell, B. W., Stephenson, W. E., 1988, Origin of infracrustal (I-type) granite magmas., *Trans. Roy. Soc. Edinburgh*, 79, 71-86.
- Charoy, B., 1986, The genesis of the Cornubian batholith (southwest England): the example of the Carnmenellis pluton, *J. Petrol.* 27, 571-604.
- Chorowicz, J., Dhont, D., Adiyaman, Ö, 1998, Black Sea and Pontides relationships: interpretation in terms of subduction, Third International Turkish Geology Symposium, Abstracts of Oral and Poster Presentations, Ankara, p. 258.
- Clarke, D. B., 1981, The mineralogy of peraluminous granites: a review, *Can. Miner.* 19, 3-17.
- Clarke, D. B., 1992, Granitoid Rocks. Chapman & Hall, London-New York, p: 282.
- Coish, R. A., Sinton, C. W., 1992, Geochemistry of mafic dikes in the Adirondack mountains: implications for Late Proterozoic continental rifting, *Contrib. Mineral. Petrol.* 110, 500-514.
- Coleman, R. G., 1977, Ophiolites, ancient oceanic lithosphere? Springer-Verlag 201 p.
- Coleman, R. G., Peterman, Z. E., 1975, Oceanic plagiogranite, *J. Geophys. Res.*, 80, 1099-1108.
- Cox, K.G, Bell, J. D., Pankhurst, R. J., 1979, The Interpretation of Igneous Rocks. George, Allen and Unwin, London.
- Çoğulu, E., 1975, Gümüşhane ve Rize Granitik Plütonlarının Mukayeseli Petrojeolojik ve Jeokronometrik Etüdü, Doçentlik Tezi, İTÜ, Yayın no: 1034, İstanbul, 112s.

- DeBari, S. M., Sleep, N., 1991, High-Mg, low-Al bulk composition of the Talkeetna island arc: implications for the primary magmas and the nature of arc crust, *Geol. Soc. Am. Bull.*, 103, 37-47
- Debon, F., Le Fort, P., 1983, A chemical-mineralogical classification of common plutonic rocks and associations, *Trans. Roy. Soc. Edinburgh, Earth Sci.* 73, 135-149.
- Deer, W. A., Howie, R. A., Zussman, J., 1992, An Introduction to the Rock-forming Minerals, Longman, London, 696p.
- Defant, M. J., Drummond, M. S., 1990, Derivation of some modern arc magmas by melting of young subducted lithosphere, *Nature*, 347, 662-665.
- Defant, M. J., Drummond, M. S., 1993, Mount St. Helens: potential example of the partial melting of the subducted lithosphere in a volcanic arc, *Geology*, 21, 547-550.
- Delaune-Mayere, N., Marcoux, J., Parrot, J.F., Poisson, A., 1977, Modele d'évolution Mesozoique de la Paleo-Marge Téhysienne niveau des nappes radiolaritique et ophiolitique du Taurus lycien d'Antalya et du baer, 25, Congress de la I:E:S:M. Split 1976, Ed., Technip, 79-94.
- DePolo, D. J., 1981, A Neodmium and strontium isotopic study of the Mesozoic calc-alkaline granitic batholiths of the Sierra Nevada and Peninsular Ranges, California, *J. Geophys. Res.*, 86, 10470-10488.
- DeVore, G. W., 1983, The influence of submarine weathering of basalts on their partial melting during subduction, *Lithos*, 16, 203-213.
- Dewey, J.F., Pitman, W.C., Ryan, W.B.F., Bonin, J., 1973, Plate Tectonics and the Evolution of the Alpine System, *Geol. Soc. Am. Bull.*, 84, 3137-3180.
- Donato, M. M., 1991, Geochemical recognition of a captured back-arc basin metabasaltic complex, Southwestern Oregon, *J. Geol.*, 99, 711-728.
- Drummond, M. S., Defant, M. J., 1990, A model for trondhjemite-tonalite-dacite genesis and crustal growth via slab melting: Archean to modern comparisons, *J. Geophys. Res.*, 95, B13, 21503-21521.
- Dumont, J.F., Guntic, M., Marcoux, J., Monod, O., Poisson, A., 1972, Le Trias des Taurides occidentales (Turquie) délimitation du bassin Pamphlien un Nouveau Domaine à ophiolites à la marge externe de la chaîne Taurique, *Zeits. Deutsch. Geol. Gesell.*, 123, 385-409.
- Dunham, R. J., 1962, Classification of carbonate rocks according to depositional texture, *Mem. A.A.P.G.* No 1, 108-121.

- Eren, M., 1983, Gümüşhane-Kale Arasının Jeolojisi ve Mikrofasiyes İncelemesi K.Ü. Fen Bil. Ens. MMLS Tezi, Trabzon (yayınlanmamış).
- Erentöz, C., 1954. Aras havzası jeolojisi. TJK Bül., Cilt V, Sayı 1-2, Ankara.
- Erentöz, C. ve Kettin, İ., 1974. 1/500 000 ölçekli Türkiye jeoloji haritası ve izahnamesi. MTA yayınları, Ankara.
- Erentöz, C., Kettin İ., 1974, Explanatory text of the geological map of Turkey at 1/500.000 G scale (Kars): Spec. Publ. Of Min.Res. and Expl., Ankara, p: 57.
- Esparanca, S., Holloway, J. R., 1987, On the origin of some mica-lamprophyres: experimental evidence from a mafic minette, *Ibid*, 95, 207-216.
- Ewart, A., Hawkesworth, C. J., 1987, The Pleistocene-Recent Tonga-Kermadec arc lavas: interpretation of new isotopic and rare earth data in terms of a depleted mantle source model, *J. Petrol.*, 28, 495-530.
- Ferry, J. M. and Spear, F. S., 1978, Experimental calibration of the partitioning of Fe and Mg between biotite and garnet, *Contrib. Mineral. Petrol.*, 66, 113-117.
- Flagler, P. A., Spray, J. G., 1991, Generation of plagiogranite by amphibolite anatexis in oceanic shear zone, *Geology*, 19, 70-73.
- Folk, R. L., 1962, Skeletal subdivision of limestone types: classification of carbonate rocks, *Mem. A.A. P.G.*, No. 1, 62-84.
- Folk, R. L., 1974, Petrology of sedimentary rocks: Hemphill, Austin, Tex., 182 p
- Fujimaki, H., Tatsumoto, M., Aoki, K., 1984, Partition coefficient of Hf, Zr, And REE between phenocriysts and groundmass, proceeding of fourteenth lunar and planetary sicience conference, part 2, *J. Geophys. Res.*, 89, Suppl. B662-B672.
- Fujimaki, H., 1986, Partition coefficients of Hf, Zr, and REE between zircon apatite and liquid, *Contrib. Mineral. Petrol.*, 94, 42-45.
- Gattinger, T.E., 1955. Kuzey Doğu Türkiye'de Çoruh ile Erzurum arasındaki bölgede yapılan jeolojik harita çalışmaları hakkında rapor, MTA. Rap. No. 2379, Ankara.
- Gedikoğlu, A., 1978, Harşit Granit Karmaşığı ve Çevre Kayaçları (Giresun-Doğankent), Doçentlik Tezi, KTÜ- Trabzon (yayınlanmamış), 161 s.
- Ghent, E. D., 1976, Plagioclase-garnet-Al₂SiO₅-quartz: a potential geobarometer-geothermometer, *Am. Mim.*, 61, 710-714.
- Ghent, E.D., Nicholls, j., Siminy, P.S., Sevigny , J. H., Stout, M. Z., 1991, Hornblende geobarometry of the Nelson Batholith, Southeastern British Columbia: tectonic implications, *Can J. Earth Sci.*, 28, 1982-1991.

- Gill, J. B., 1981, Orogenic Andesites and Plate Tectonics. Springer- Verlag, Berlin Heidelberg New York, 390p.
- Gill, J. B., 1987, Early geochemical evolution of an oceanic island arc and back-arc: Fiji and the south Fiji basin, *J. Geol.* 95, 589-615.
- Goldman, D. S. and Albee, A. L., 1977, Correlation of Mg/Fe partitioning between garnet and biotite with $^{18}\text{O}/^{16}\text{O}$ partitioning between quartz and magnetite. *Am. J. Sci.*, 277, 750-767.
- Green T. H. ve Ringwood, A. E., 1968, Genesis of calc-alkaline igneous rock suite, *Contrib. Mineral. Petrol.*, 18, 105-162.
- Green, T. H., Pearson, N. J., 1987, An experimental study of Nb and Ta partitioning between Ti-rich minerals and silicate liquids at high pressure and temperature, *Geochim. Cosmochim. Acta*, 51, 55-62.
- Gromet, L.P., Silver, L. T., 1987, REE variations across the Peninsular Ranges Batoliths: implications for the batholithic petrogenesis and crustal growth in magmatic arc. *J. Petrol.*, 28, 75-125.
- Grove, T. L., Ferry, J. M., Spear, F. S., 1983, Phase transition and decomposition relation in calcic plagioclase, *Am. Min.*, 68, 41-59.
- Habiboğlu, Y.E., 1989, Doğu Pontid güney Zonu'ndaki (Bayburt- Demirözü) Metamorfik Ofiyolit Birliğinin Tektonik Anlamı, K.T.Ü. Fen Bil. Enst, Yüksek Lisans Tezi, Trabzon, 104 s.
- Hakyemez, H.Y. and Konak, N., 1996. Tectonic evolution and stratigraphy of Eocene Basins in the Easternmost Part of the Pontides. Second International Symposium on the Petroleum Geology and Hydrocarbon Potential of the Black Sea Area, Şile-İstanbul, 31-32.
- Hammarstrom, J. M., Zen, E-an, 1986, Aluminum in hornblende: an empirical igneous geobarometer, *Am. Mineral.*, 71, 1297-1313.
- Hanson, G. N., 1980. Rare earth elements in petrogenetic studies of igneous systems. *Ann. Rev. Earth Planet. Sci.* 8, 3071-406.
- Hanson, R. E., Saleeby, J. B., Schweickert, R. A., 1988, Composite Devonian island-arc batolith in the northern Sierra Nevada, California. *Geol. Soc. Am. Bull.* 100, 446-457.
- Hart, W. K., Wolde Gabriel G., Walter, R. C., Mertzman, S. A., 1989, Basaltic volcanism in Ethiopia: constraints on continental rifting and mantle interactions, *J. Geophys. Res.*, 94, 7731-7748.

- Hawkesworth, C.J., Powell, M., 1980, Magma genesis in the Lesser Antilles island arc, *Earth Planet. Sci. Lett.*, 51, 297-308.
- Hawkesworth, C.J., Elam, R. M., 1989, Chemical fluxes and wedge replenishment rates along recent destructive plate margins, *Geology*, 17, 46-49.
- Hawkesworth, C.J., Mantovani, M., Peate, D., 1988, Litosphere remobilization during Parana CFB magmatism, In: Cox K.G., Menzies M.A., (Eds) *Oceanic and Continental Litosphere: Similarities and Differences*, J. Petrol. Special Volume 205-223.
- Hawkesworth, C.J., Hergt, J.M., McDermott, F., Elam, R. M., 1991, Destructive margin magmatism and the contributions from the mantle wedge and subducted crust, *Aust. J. Earth Sci.* 38, 577-594.
- Hawkins, J.W., 1980, Petrology of back-arc basin and island arcs: their possible role in the origin of ophiolite, in Panayiotou, A. Ed.. *Proc. Int. Ophiolite Sym. (Cyprus)*, Nicosia, Ministry Agric. Nat. Res., Geol. Survey. Dept. 244-254.
- Henderson, P., 1984, *Rare Earth Element Geochemistry*: Amsterdam, Elsevier, 510 p.
- Hickey, R. L., Frey, F. A., Gerlach, D. C. ve Lopez-Escobar, L., 1986. Multible sources for bassaltic arc rocks fram the southern volcanic zone of the Andes (34-41 °S): trace element and izotopic evidence for contributions from subducted oceanic crust, mantle and continental crust, *J. Geophys. Res.*, 91, B6, 5963-5983.
- Hietanen, A. 1969, Distribution of Fe and Mg between garnet, staurolite and biotite in an aluminum-rich schist in various metamorphic zones north of the Idaho Batholith, *Am. J. Sci.*, 267, 422-456.
- Hildreth, W., Halliday, A.N., Christiansen, R.L., 1991, Isotopic and chemical evidence concerning the genesis contamination of basaltic and rhyolitic magma beneath the Yellowstone Plateau volcanic field, *J. Petrol.*, 32, 63-138.
- Hofman, A. W., Jochum, K.P., Seufert, M., White, W. M., 1986, Nb and Pb in oceanic basalts: new constraints on mantle evolution, *Earth Planet. Sci. Lett.*, 79, 33-45.
- Hoisch, T. D., 1990, Empirical callibration of six geobarometers for the mineral assemblage quartz-muscovite-biotite-plagioclase-garnet, *Contrib. Mineral. Petrol.*, 104, 225-234.
- Hollister, L.S., Grissom, G. C. Peters, E. K. Stowell, H. H., Sisson, V. B., 1987, Confirmation of the empirical correlation of Al in hornblende with pressure of solidification of calk-alkaline plutons, *Am. Mineral.*, 72, 231-239.
- Hsui, A.T., Marsh, B.D., Toksov, M.N., 1983, On melting of the subducted oceanic crust: effect of subduction induced mantle flow, *Tectonophysics*, 99, 207-220.

- Irvine T. N., Baragar, W. R. A., 1971, A guide to chemical classification of the common volcanic rocks, *Can. J. Earth. Sci.*, 8, 523-548.
- Irving, A. J., Frey, F. A., 1978, Distribution trace elements of between garnet megacrysts and host volcanic liquids of kimberlitic to rhyolitic composition, *Geochim. Cosmochim. Acta*, 42, 771-787.
- Jahn, B. M., Glickson, A. Y., Peucat, J. J., Hickman, A. H., 1981, REE geochemistry and isotopic data of Archean silicic volcanics and granitoids from the Pilbara Block, Western Australia: implications for the early crustal evolution, *Geochim. Cosmochim Acta*, 45, 1633-1652.
- Jakes, P., Gill, J. B., 1970, Rare earth elements and the island arc tholeitic series, *Can. Earth planet. Sci. Lett.*, 9, 17-28.
- Jakes, P., White, A. J. R., 1972, major and trace element abundances in volcanic rocks of orogenic areas, *Geol. Soc. Am. Bull.*, 83, 29-40.
- Johnson M. C., Rutherford, M. J., 1989, Experimental calibration of aluminum-in-hornblende geobarometer with application to Long Valley Caldera (California) volcanic rocks, *Geology*, 17, 837-841.
- Karşılık, O., 1996, Zigana Granitoyidi'nin (Maçka-Trabzon) Mineralojik ve Jenetik Açıdan İncelenmesi, Yüksek Lisans Tezi (yayınlanmamış), KTÜ-Trabzon, 125 s.
- Kay, R. W., 1980, Volcanic arc magmas: implications of a melting-mixing model for element recycling in the crust upper mantle system, *Jou. Geol.*, 88, 497-522.
- Kaygusuz, A., 2000, Torul ve Çevresinde Yüzeyleme Veren Kayaçların Petrografik ve Jeokimyasal İncelenmesi, Doktora Tezi (yayınlanmamış), KTÜ- Trabzon, 253 s.
- Kazmin, V.G., Sbortshikov, M., Ricou, L. E., Zonenshan, L. P., Boulin, J., Knipper, A. L., 1986, Volcanic belt as markers of the Mesozoic-Cenozoic active margin Eurasia, *Tectonophysics*, 123, 123-152.
- Ketin, İ., 1949. Artvin Bölgesinin jeolojik etüdü hakkında memuar, MTA Rap. No: 1951, Ankara.
- Khain, E.V., 1984, The Alpine-Mediterranean fold-belt of U.S.S.R., *Episodes*, 7, 20-29.
- Konak, N., Hakyemez, H.Y., 1996, Tectonic units of the easternmost part of the Pontides: stratigraphical and structural implications, Second International Symposium on the Petroleum Geology and Hydrocarbon Potential of the Black Sea Area, s. 32-33, şile-İstanbul.
- Korkmaz, S., Baki, Z., 1984, Demirözü (Bayburt) güneyinin stratigrafisi, *TJK Bülteni*, 5, 107-115.

- Kraef, A., 1963. Sirya ile Ardanuç arasındaki bölgenin jeolojisi hskkndda rapor, MTA Derg., 60, 37-43, Ankara.
- Kuno, H., 1966, Lateral variation basalt magma types across continental margin and island arcs, Bull. Volcanol., 29, 195-222.
- Lambert, R. S. J., Holland, J. G., 1974, Yttrium geochemistry applied to petrogenesis utilizing calcium-yttrium reletionships in minerals and rocks, Geochim. Cosmoc. Acta, 38, 1393-1414.
- Lameyre, J., Bowden, P., 1982, Plutonic rock type series: discrimination of various granitoid series and releated rocks, J. Volcanol. Geotherm.Res. 14, 169-186.
- Leake, B. E., 1964, The chemical distinction between ortho- and para-amphibolites, J. Pet., 5-2, 238-254.
- Leake, B.E., 1971, On aluminous and edenitic hornblendes, Mineral. Mag., 38, 389-407.
- Leake, B.E., 1978, Nomenclature of amphiboles, Mineral. Mag., 42, 533-563.
- Leat, P.T., Thompson, R.N., Morrison, M.A., Hendry, G. L., Dickin A. P., 1988, Compositionally-diverse Miocene-Recent rift-releated magmatism in northwest Colorado: partial melting, and mixing of mafic magmas from three different asthenospheric and lithospheric mantle sources. In Cox K.G., Menzies M.A., (Eds) Oceanic and continental lithosphere: similarities and differences, J. Petrol. Special Volume 351-377.
- Le Bell, L., Cocherie, A., Bourbon J. C., Fouillac, A. M., Hawkesworth, C. j., 1985. A high-K mantle derived plutonic suite from 'Linga' near Arequipa (Peru), J. Petrol., 26, 124-148.
- Leeman, W. P., 1983, The influence of crustal structure on composition of subduction-releated magmas, J. Vol. Geotherm. Res., 18, 561-588.
- Leeman, W. P., Hawkesworth, C. J., 1986, Open magma systems: trace elements and isotopic constraints, J. Geophys. Res., 91, 5901-5912.
- Le Maitre, R. W., Bateman, P., Dudek, A., Keller., J., Lameyre Le Bas M. J., Sabine, P. A., Schmid, R., Sorensen, H., Streckeisen, A., Woolley, A. R., Zanettin, B., 1989, A Classification of Igneous Rocks and Glossary of Terms Blackwell, Oxford.
- Lynn, H. B., Hale, L. D., Thompson, G. A., 1981, Seismic reflections from the basal contacts of batoliths, J. Geophys. Res., 69, 759-773.
- Mahood, G., Hildreth, W., 1983, Large partition coefficients for trace elements in high silica rhyolites, Geochim. Cosmochim. Acta, 47, 11-30.

- Marsh, B. D., Carmichael, I. S. E., 1974, Benioff zone magmatism, *J. Geophys. Res.*, 79, 1196-1205.
- Martin, H., 1986, Effects of steeper Archean geothermal gradient on geochemistry of subduction zone magmas, *Geology*, 14, 753-756.
- Martin, H., 1987, Petrogenesis of Archean trondhjemites, tonalite, and granodiorites from eastern Fennoscandia: major and trace element geochemistry, *J. Petrol.*, 28, 921-953.
- McLennan, S. M., Nance, W. B., Taylor S. R., 1980, Rare earth element-thorium correlations in sedimentary rocks, and the composition of the continental crust, *Geochim. Cosmochim. Acta.*, 44, 1833-1840.
- Mc Lennan, S. M., Taylor, S. R., 1984, Archean sedimentary rocks and their relation to the composition of the Archean continental crust, in Kröner, A., et al., (eds.), *Archean Geochemistry* Berlin, Springer-Verlag, 42-72.
- Mc Lennan, S. M., 1989, Rare earth element in sedimentary rocks: influence of provenance and sedimentary processes. In Lipin, B.R.& McKay , G.A.(eds) *Geochemistry and Mineralogy of Rare Earth Elements*, Min. Soc. Am., Rev. Min., 21, 169-200.
- Mechede, M., 1986, A method of discriminating between different types of mid ocean ridge basalts and continental tholeiites with the Nb-Zr-Y diagram, *Chem. Geol.*, 56, 207-218.
- Michael, P. J., 1984, Chemical differentiation of the Cordillera Paine granite (southern Chile) by in situ fractional crystallisation, *Contrib. Mineral. Petrol.*, 87, 179-195.
- Miyashiro, A., 1973, Metamorphism and Metamorphic Belts. George Allen & Unwin, London, 492 p.
- Miyashiro, A., 1974, Classification, characteristics, and origin of ophiolites, *Jou. Geol.* , 83, 249-281.
- Moore, M. J., Mc Kee, E. H., Akinci, Ö., 1980, Chemistry and chronology of plutonic rocks, in the Pontid mountains, Northern Turkey, European Cooper Deposites, 209-216, Belgrade.
- Myers, J.D., Frost, C.D., Angevine, C. L., 1986, A test of a quartz eclogite source for parental Aleutian magmas: a mass balance approach, *J. Geol.*, 94, 811-828.
- Myers, J. D., 1988, Possible petrogenetic relations between low-and high- MgO Aleutian basalts, *Geol. Soc. Am. Bull.*, 100, 1040-1053.
- Nakamura, K., Uyeda, S., 1980, Stress gradient in arc/back-arc regions and plate subductions, *J. Geophys. Res.*, 85, 6419, 6428.

- Nebert, K., Engin, T. Ve Engin, O., 1964. Oltu çevresindeki Oligosen çökellerinin(Alacalı Horizon) jeolojisi hakkında rapor. MTA Rap. No. 3485, Ankara.
- Nicholls, I. A., Harris, K. L., 1980, Experimental rare earth element partition coefficient for garnet, clinopyroxene, and amphibole coexisting with andesitic and basaltic liquids. *Geochim. Cosmochim. Acta.*, 44,287-308.
- Nockolds, S. R., Allen, r., 1953, The geochemistry of some igneous rock series, *Geochim. Cosmochim. Acta*, 4, 105-142.
- Nye, C. J., Reid, M. R., 1986, Geochemistry of primary and least fractionated lavas from Okmok volcano, Central Aleutians: implications for arc magma genesis, *J. Geophys. Res.*, 91, B10, 10271-10287.
- O' Connor, J. T., 1965, A classification for quartz-rich igneous rocks based on feldspar ratios, *U. S. Geol. Surv. Prof. Pap.*, 525-B, 79-84.
- Okay, A., 1983, Ağvanis metamorfitleri ve çevre kayaçlarının jeolojisi, *MTA Dergisi*, 99/100, 51-71, Ankara.
- Okay, A., 1996, Granulite Facies Gneisses from the Pulur Region, Eastern Pontides, *Journal of Earth Sciences* 5, 55-61, TÜBİTAK.
- Okay, A., Şahintürk, Ö., 1997, Geology of the Eastern Pontides, in Robinson, A. G., (ed.), Regional and petroleumgeology of the Black Sea and surrounding reagion: AAPG Memoir 68, 291-311.
- Oswald, F., 1912, *Armenien-Handbuchder regionalen, Geologie*, 10/3, Heidelberg
- Özcan, A., Erkan, A., Keskin, E., Oral, Keskin, A., Özer, S., Sümengen, M., Tekeli O., 1980, Kuzey Anadolu Fayı Kırşehir masifi arasındaki temel jeolojisi: M.T.A. Rapor No: 6722, Ankara (yayınlanmamış).
- Özer, S., Terlemez, İ., Sümengen, M., Erkan, E., 1984. Pınarbaşı (Kayseri) çevresindeki allokton birimlerin stratigrafisi ve yapısal durumları, *TJK. Bülteni*, 27\1 61-68.
- Özer, E., 1992, Munzur dağlarının jeolojisi ve tektonik özellikleri, KTÜ. Fen Bil. Ens. Doktora Tezi, Trabzon,179 s.
- Özsayar, T., Pelin, s., Gedikoğlu, A., Eren, A. A., Çapkinoğlu, Ş., 1982. Ardanuç (Artvin) yöreninin jeolojisi. *KTÜ. Derg.*, 1-2, 21-38, Trabzon.
- Öztürk, A., 1979, Ladik-Destek yöreninin stratigrafisi, *T.J.K Bull.*, 22, 27-34.
- Pharaoh , T.C., Pearce, J.A. 1984. Geochemical evidence for the geotectonic setting of early Proterozoyik metavolcanic sequences in Lapland, *Precamp. Res.*, 25, 283-308.

- Pearce, J. A., Cann, J. R., 1973, Tectonic setting of basic volcanic rocks determined using trace element analyses, *Earth Planett. Sci. Lett.*, 19, 290-300.
- Pearce T. H., Gorman, B. E., Birkett, T. C., 1975, The $\text{TiO}_2\text{-K}_2\text{O-P}_2\text{O}_5$ diagram: A method of discriminating oceanic and non-oceanic basalts, *Earth Planet. Sci. Lett.*, 24, 419-426.
- Pearce. J. A., Norry, M. J., 1979, Petrogenetic implications of Ti, Zr, Y and Nb variations in volcanic rocks, *Contrib. Mineral. Petrol.*, 69, 33-47.
- Pearce. J. A., 1982. Trace element characteristics of lavas from destructive plate margins. In: Thorpe R. S. (Eds) Andesites: orogenic Andesites and Related Rocks, John Wiley, New York, 525-548.
- Pearce. J. A., 1983, Role of the sub-continental lithosphere in magma genesis at active continental margin, In: Hawkesworth, C. J. Ve Norry, M. J. (Eds) Continental Basalts and Mantle Xenoliths, Shiva, Cheshire, 230-249.
- Pearce. J. A., Harris N. B. W., Tindle, A. G., 1984, Trace element discrimination diagrams for the tectonic interpretation of granitic rocks, *J. Petrol.*, 25, 956-983.
- Pearce, T. H., Gorman, B. E., Birkett, T. C., The $\text{TiO}_2\text{-K}_2\text{O-P}_2\text{O}_5$ diagram: a method of discriminating between oceanic and non oceanic basalts, *Earth planet. Sci. Lett.*, 24, 419-426.
- Pearcy, L., DeBari, S. M., Sleep, N., 1990, Mass balance calculations of island arc crust and implication for formation of the continents, *Earth Planet. Sci. Lett.*, 96, 427-442.
- Peccerillo, A., Taylor, S.R., 1976, Geochemistry of Eocene calc-alkaline rocks from the Kastamonu area, Northern Turkey, *Contrib. Mineral. Petrol.*, 58, 63-91.
- Pelin, S., 1977, Alucra (Giresun) Güneydoğu Yöresinin Petrol Olanakları Bakımından Jeolojik İncelemesi, K.T.Ü. Yayın No:87 Yerbilimleri Fakültesi Yayın No: 13, 103 s., Trabzon.
- Pharaoh, T. C., Pearce, J. A., 1984, Geochemical evidence for the geotectonic setting of Early Proterozoic metavolcanic sequences in Lapland, *Precam. Res.*, 25, 283-308.
- Pitcher, W. S., 1982, Granite type and tectonic environment. In, Hsü, K. J., (Eds) Mountain Building Processes, Academic Press, London. 19-40.
- Ramsay, W. R. H., Crawford, A. J., Foden, J. D., 1984, Field setting, mineralogy, chemistry and genesis of arc picrites, New Georgia Solomon Islands, *Contrib. Mineral. Petrol.*, 88, 386-402.

- Rapp, R. P., Watson, E. B., Miller, C.F., 1991, Partial melting of amphibolite/eclogite and origin of Archean trondhjemites and tonalites, *Precamb. Res.*, 51, 1-25.
- Ricou, L.E., Argyriadis, I., Lefure, R., 1974, Proposition d'une origine interne pour les nappes d' Alanya (Taurides Occidentale, Turquie), *Bull. Soc. Geol. France*, 16, 107- 11.
- Ricou, L.E., Dercourt, J., Geyssant, J., Grandjacquet, C., Lepvrier, C., Biju-Duval, B., 1986, Geological constraints on the evolution of the Mediterranean Tethys, *Tectonophysics*, 123, 83-122.
- Ringwood, A. E., 1990, Slab-mantle interactions: petrogenesis of intraplate magmas and structure of upper mantle, *Chemical Geol.* 82, 187-207.
- Robertson, A.H.F., Dixon, J.E., 1984, Introduction: aspects of the geological evolution of the eastern Mediterranean, In Dixon, J.E., Robertson, A.H.F., (Eds), *The Evolution of the Mediterranean*, Spec. Publ. Geol. Soc. London, 17, 1-74.
- Robertson, A.H.F., Woodcock, N.H., 1981, Godene Zone, Antalya complexes, S. W. Turkey: volcanism and sedimentation on Mesozoic marginal oceanic crust, *Rdsch*, 70, 1177-1214.
- Romick, J. D., 1987, Amphibole fractionation and magma mixing in andesites and dacites from the central Aleutians, Alaska, *Trans. Am. Geophy. Un.*, (EOS) 68, 461.
- Roser, B. P., Korsch, R.J., 1986, Determination of tectonic setting of sandstone-mudstone suites using SiO₂ content and K₂O /Na₂O ratio: *J. Geol.*, 94, 635-650.
- Roser, B. P., Korsch, R. J., 1988, Provenance signatures of sandstone-mudstone suites determined using discriminant function analysis of major element data, *Chem. Geol.*, 67, 119-139
- Ryerson, F. J., Watson, E. B., 1988, Rutile saturation in magmas: implications for Ti-Nb-Ta depletion in island-arc magmas, *Earth Planet. Sci. Lett.*, 86, 225-239.
- Saunders, A. D., Tarney, J. Weaver S. D., 1980, Transverse geochemical variations across the Antarctic Peninsula: implications for the genesis of the calcalkaline magmas, *Earth planet. Sci. Lett.*, 46, 344-360.
- Sawyer, E. W., 1986, The influence of source rock type, chemical weathering, and sorting on the geochemistry of clastic sediments from the Quentico metasedimentary belt. Superior provenance, Canada. *Chem. Geol.*, 55, 77-95.
- Schmidt, M. W., 1992, Experimental calibration of the Al-in-hornblende geobarometer at 650 °C, 3,5 kbar, *Terra (abstracts)*, 3, 30.

- Schultze-Westrum, H. H., 1961, Giresun civarındaki Aksu Deresi'nin jeolojik profili: kuzeydoğu Anadolu'da Pontus cevher ve mineral bölgesinin jeolojisi ve maden yatakları ile ilgili mütalaalar, MTA Derg., 57, Ankara.
- Schumacher, J. C., 1991 Empirical ferric iron correction: necessity, assumptions, and effects on selected geothermobarometers, Min. Mag., 55, 3-10.
- Senior, A., Leake, B. E., 1978, Regional metasomatism and the geochemistry of the Dalradian metasediments of Connemara. Western Ireland, J. Pet., 19, 585-625.
- Seymen, İ., 1975, Kelkit vadisi kesiminde Kuzey Anadolu Fay Zonu'nun tektonik özelliği, Doktora tezi, İ.T.Ü., İstanbul, 192 s.
- Shand, S.J., 1947, Eruptive Rocks, Their Genesis, Composition, Classification and Their Relation to Ore-Deposits, 3rd edition, J Wiley Sons, New York, 448 p.
- Sharma, K. K., 1980, Structure, petromineralogy ve petrochemistry of Ojagar granite. Central Rajasthan, India, Recent Research in Geology, 6, 385-418.
- Shaw, D. M., 1968, A review of K-Rb fractionation trends by covariance analysis, Geochim. Cosmochim. Acta, 32, 573-601.
- Spear, F. S., 1980, NaSi ⇔ CaAl exchange equilibrium between plagioclase and amphibole: an empirical model, Contrib. Mineral. Petrol., 72, 33-41.
- Spear, F.S., Selverstone, J., 1983, Quantitative P-T paths from zoned minerals: theory and tectonic applications, Contrib. Mineral. Petrol., 83, 348-357.
- Stocklin, J., 1974, Possible ancient continental margins in Iran, in the Geology of Continental Margins, Springer, New York, 873- 887.
- Stocklin, J., 1977, Structural correlation of the Alpine Ranges between Iran and Central Asia, Mem. Soc. Geol. France, Hors Ser., 8, 333-353.
- Streckeisen, A., 1976, To each plutonic rock its proper name, Earth Sci. Rev., 12, 1-33.
- Sun, S., McDonough, Q. F., 1989, Chemical and isotopic systematics of oceanic basalts: implications for mantle compositions and processes. in Saunders, A. D.& Norry, M. J. (Eds), Magmatism in the Ocean Basins, Geol. Soc. London Spec. Publ., 42, 312-345.
- Sen, C, Dunn, T., 1994, Dehydration melting of a basaltic composition amphibolites at 1.5 and 2.0 GPa: implications for the origin of adakites. Contrib. Mineral. Petrol., 117, 394-409.

- Şengör, A.M.C., Yılmaz, Y., Ketin, İ., 1980, Remnants of Pre-Late Jurassic ocean in northern Turkey: fragments of Permian-Triassic Paleo-Tethys, Geol. Soc. Am. Bull., 91, 599-609.
- Şengör, A. M. C., Yılmaz, Y., 1981, Tethyan evolution of Turkey: a plate tectonic approach. *Tectonophysics*, 75, 181-241.
- Şengör, A.M.C., 1987, Orojenik mozayiklerde yanal atım tektoniğinin önemine bir örnek, İran ve çevresinin Mesozoyik tektonik evrimi, Türkiye 7. Petrol Kongresi Bildiriler Kitabı, 50-64.
- Tanyolu, E., 1988, Pulur Masifi (Bayburt) doğu kesiminin jeolojisi, MTA Dergisi, 108, 1-17.
- Tarhan, F., 1976, Tokat-Zile Alsancak Baraj Yeri ve Göl Alanının Mühendislik Jeolojisi, Doktora Tezi, İ.T.Ü., K.T.Ü., 82 s.
- Tatsumi, Y., Sakuyama, M., Fujiyama, H., Kushiro, I., 1983, Generation of arc basalt magmas and thermal structure of mantle wedge in subduction zones, *J. Geophys. Res.*, 88, B7, 5815-5825.
- Tatsumi, Y., Hamilton, D. L., Nesbitt, R. W., 1986, Chemical characteristics of fluid phase released for a subducted lithosphere and origin of arc magmas: evidence from high pressure experiments and natural rocks, *J. Volcanol. Geotherm. Res.*, 29, 293-309.
- Taylor, S. R., 1965, The application trace element data to problems in petrology, *Phys. Chem. Earth*, 6, 133-213.
- Taylor, S. R., McLennan, S. M., 1981, The composition and evolution of the continental crust: rare earth element evidence from sedimentary rocks, *Phil. Trans. R. Soc. London*, A301, 381-399.
- Taylor, S. R., McLennan, S. M., 1985, The Continental Crust: Its Composition and Evolution, Geoscience Text, Blackwell Scientific Publication.
- Terlemez, İ., Yılmaz, A., 1980, Ünye-Ordu-Koyulhisar-Reşadiye arasında kalan yörenin stratigrafisi, *T. J.K. Bull.*, 23, 179-191.
- Thayer, T. P., 1963, The canyon Mountain Complex, Oregon and the Alpine mafic magma stem, *U.S. Geol. Surv. Prof. Pap.*, 475-C, C82-C85.
- Thayer, T.P., 1974, Some implications of sheeted dike swarms in Alpine-peridotite-gabbro complexes, paper presented at International Symposium on Ophiolites in the Earth's Crust, Academy of Sciences USSR, Moscow.

- Thayer , T. P., Himmelberg, G. R., 1968, Rock succession in the Alpine type mafic complex at Canyon Mountain, Oregon, Int. Geol. Cong. Rep. Session Prague 23rd, 1, 175-186
- Thompson, A.B., 1976, Mineral reaction in pelitic rocks II: calculation of some P-T-X (Fe-Mg) phase relations, Am J. Sci., 276, 425-456.
- Thompson, R. N., 1982, British Tertiary volcanic provenance, Scott. J. Geoll., 18, 49-107
- Thompson, R. N., Morrison, M.A., Dickin, A. P., Hendry, G. L., 1983, Continental flood basalt... Arachnids rule Ok? In: J.C. Hawkesworth nad Norry, M.j., (Eds), Continental Basalts and Mantle Xsenoliths 158-185, Shiva, Cheshire, England.
- Thompson, R. N., Morrison, M. A., Hendry, G. L., Parry, S. J., 1984, An assesment of the relative roles of crust and mantle in magma genesis: an elemental approach. Phil. Trans. R. Soc. London, A310, 549-590.
- Tokel, S., 1972, Stratigraphical and Volcanic History of the Gümüşhane Area, NE Turkey. Univercity of London, Ph. D. Thesis.
- Tokel, S., 1981., Plaka Tektoniğinde magmatik yerleşimler ve jeokimya, Türkiye'den örnekler. Yer yuvarı ve insan, 6/3-4, 55-65.
- Tokel, S., 1992, Magmatic and geochemical evolution of the Pontide segment of the northern Tethys subduction system, ISGB-92, Ankara-Turkey, Abstracts, p. 134.
- Topuz, G., 2000, Tur Petrologie der metamorphen Gesteine des Pulur-Massivs, NE-Turkei Unpublizierte Dissertation, Universitat Heidelberg, 276 p
- Tuttle, O. F., Bowen, N. L., 1958, Origin of granite in the light of experimental studies in the system NaAlSi₃O₈-KAlSi₃O₈-SiO₂-H₂O, Geol. Soc. Am. Mem., 74, 153 p.
- Tüysüz, O., 1996. Neo-Tethyan tectonic evolution of Central Pontides, In: Second International Symposium on the Petroleum Geology and Hydrocarbon Potential of the Black Sea Area, s. 6, Şile-İstanbul.
- Twiss, R. J., Moores, E. M., 1992, Structural Geology, Freeman and Company, 532 p.,USA.
- Van. A., 1990. Pontid Kuşağında Artvin Bölgesinin Jeokimyası, Petrojenezi ve Masif Sülfit Mineralizasyonları, Doktora Tezi, KTÜ, Trabzon, 220 s.
- Van Calsteren P.W.C., Harris, N. B. W., Hawkesworth, J. C., Menzies, M. A., Rogers, N. W., 1986, Xsenoliths from Southern Africa: a perspective on the lower crust, In J. B. Dawson, D. A: Carswell, J. Hall, and K.H. Wedepohl, (Eds), The Nature of the Lower Continental Crust, Blackwell Scientific, Oxford, England, 351-362.

- Villemant, B., Jafferezeic, H., Joron, J-L., Treuil, M., 1981, Distribution coefficients of major and trace elements: fractional crystallisation in the alkali basalt series of Chaine des Puys (Massif Central, France). *Geochim. Cosmochim. Acta*, 45, 1997-2016.
- Watson, E. B., Harrison, T. M., 1983, Zircon saturation revisited: temperature and composition effects in a variety of crustal magma types. *Earth planet. Sci. Lett.*, 64, 295-304.
- Weaver, B. L., Wood, D. A., Tarney, J., Joron, J. L., 1987, Geochemistry of ocean island basalts from the South Atlantic: accession, bouvet, St. Helena, Gough and Tristan da Cunha, Alkaline Igneous Rocks, Spec. Publ. Geol. Soc. London, 30, 253-267.
- White, A. J. R., 1979, Source of granite magmas. *Geol. Soc. Am. Abs. With Prog.*, 11, 539.
- White, W. M., Patchett, J., 1984, Hf-Nd-Sr isotopes and incompatible element abundances in island arcs. Implications for magma origins and crust-mantle evolution, *Earth Planet. Sci. Lett.*, 67, 167-185.
- Willson, R. A., 1959, The geology of the Xeros-Todos area, Cyprus Geol. Surv. Dep. Mem., 1, 1-184.
- Wilson, M., 1989, Igneous Petrogenesis, Unwin Hyman, London.
- Winchester, J. A.; Floyd, P. A., 1977, Geochemical discrimination of different magma series and their differentiation products using immobile elements, *Chem. Geol.*, 20, 97-127.
- Winkler, G.F., 1976, Petrogenesis of Metamorphic Rocks: Springer-Verlag, New York, Heidelberg Berlin.
- Wood, D. A., 1980, The application of a Th-Hf-Nb diagrams to problems of tectonomagmatic classification and to establishing the nature of crustal contamination of basaltic lavas of the British Tertiary volcanic province, *Earth Planet. Sci. Lett.*, 50, 11-30.
- Wood, D. A., Joron, J-L., Treuil, M., Norry, M., Tarney, J., 1979, Elemental and Sr isotopic variations in basic lavas from Iceland and surrounding ocean floor: the nature of the mantle sources inhomogeneities, *Contrib. Mineral. Petrol.*, 70, 319-339.
- Wood, D. A., Joron, J-L., Marsh, N.G., Tarney, J., Treuil, M., 1980, Major and trace element variations in basalts from the North Philippine Sea DSDP Leg 58: a comparative study of back-arc basin basalts with lava series from Japan and mid ocean ridges, *Initial Rep DSDP Leg 58*, p 873-894.

- Woodhead, J. D., 1989, Geochemistry of the Mariana arc (western Passific). Source composition and processes. *Chem. Geol.*, 76, 1-24.
- Yalçınalp, B., 1992, Güzelyayla (Maçka-Trabzon) Porfiri Cu-Mo Cevherleşmesinin Jeolojik Yerleşimi ve Jeokimyası, Doktora Tezi YYayımlanmamış, KTÜ-Trabzon, 175s.
- Yalçınlar, İ., 1952. İspir-Pazar-Arhavi ve Yusufeli arasındaki bölgenin jeolojisi. MTA: Rap. No. 2022, Ankara.
- Yılmaz, H., 1985. Olur (Erzurum) yörensinin jeolojisi. KTÜ. Derg., 4, 23-43 s, Trabzon.
- Yılmaz, C. ve Yılmaz, H., 1993. Olur (Erzurum) yörenindeki Mesozoyik istifin jeotektonik evrimi. Yerbilimleri (Geosound), No. 23, 27-41, Adana.
- Yılmaz, Y., 1972, Petrology and Structure of the Gümüşhane Granite and Surrounding rocks, North-Eastern Anatolia, Ph. D. Thesis, Univ. London, 260p.
- Yılmaz, Y., Yiğitbaş, E., Yıldırım, M, 1990, Güneydoğu Anadolu'da Triyas sonu tektonizması ve bunun jeolojik anlamı, Türkiye 7. Petrol Kongresi, Bildiriler Kitabı, 65-77, Ankara.
- Yılmaz, A., Adamia, S., Lordkipanidze, M., Gugushvili, V., Lazarashvili, T., Beradze, R., Nadareishvili G., Kuloshvili S., Salukvadze, N., Konak, N., Yılmaz, T., Kurt, I., Özkan, M., Güven, I.H., Hakyemez, Y., 1996. A study of the tectonic units of the area along Turkish-Georgian border, Second International Symposium on the Petroleum Geology and Hydrocarbon Potential of the Black Sea Area, s. 6, Şile-İstanbul.

8. ÖZGEÇMİŞ

Abdurrahman Dokuz, 18.11.1965 tarihinde Arsin'de doğdu. İlk öğrenimini Çiçekli Köyü İlkokulu'nda, orta öğrenimini Arsin'de tamamladıktan sonra 1982-1983 öğretim yılında Karadeniz Teknik Üniversitesi Jeoloji Mühendisliği Bölümünde Lisans eğitimine başladı. Lisans eğitimini 1986 yılında, yüksek lisans eğitimini de 1990 yılında tamamladıktan sonra 1992 yılında KTÜ Jeoloji Mühendisliği Bölümü Genel Jeoloji Anabilim Dalına Araştırma Görevlisi olarak atandı. Halen bu görevine devam etmekte olan Dokuz, İngilizce bilmektedir.